



ДРУШТВО ЗА ПРОСТОРНИ И УРБАНИСТИЧКИ ПЛАНОВИ,
ИНЖЕНЕРИНГ И ДР.

„УРБАН ДОО„ - ШТИП

ПРОЕКТНА ПРОГРАМА

за изработка на Урбанистички проект вон опфат на Урбанистички план, со намена Г2 – Лесна преработувачка и помалку загадувачка индустрија, на КП 38/1 и дел од КП528/1, КО Црвени Брегови 2, Општина Неготино

КО Црвени Брегови 2
Општина Неготино



ПРОЕКТНА ПРОГРАМА

за изработка на Урбанистички проект вон опфат на Урбанистички план, со намена Г2 – Лесна преработувачка и помалку загадувачка индустрија, на КП 38/1 и дел од КП528/1, КО Црвени Брегови 2, Општина Неготино

Место: Општина Неготино
КО Црвени Брегови 2

Предмет: Формирање на градежна парцела и урбанистичко архитектонско обликување и разработка на ГП1.1 за објект со намена за Лесна преработувачка и помалку загадувачка индустрија во КО Црвени Брегови 2, Општина Неготино согласно член 58, став 6, од Законот за просторно и урбанистичко планирање (Сл.весник на РМ 32/20).

Нарачател: ИГМ Кавадарци

Одобрува: Општина Неготино

Изработувач: Урбан доо Штип

Управител: д.и.а. Дејан Диневски

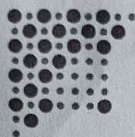
Планери: д.и.а. Дејан Јурак овластување: 0.0494
д.и.а. Дејан Диневски овластување: 0.0371

Соработник: д.и.а. Елена Стојкова

Технички број: 248/22
Датум на изработка: Април 2023

Урбан доо Штип





Број: 0809-50/150120220026220

Датум и време: 19.9.2022 г. 11:58:08

ПОТВРДА
за регистрирана дејност

ТЕКОВНИ ПОДАТОЦИ ЗА СУБЈЕКТОТ	
ЕМБС:	5651395
Назив:	Друштво за просторни и урбанистички планови,инжинеринг и др.УРБАН ДОО Штип
Седиште:	ТОШО АРСОВ ББ ШТИП, ШТИП

ПОДАТОЦИ ЗА РЕГИСТРИРАНА ДЕЈНОСТ	
Предмет на работење:	Не е регистрирана општа клаузула за бизнис
Приоритетна дејност/ главна приходна шифра:	71.11 - Архитектонски дејности
Други дејности во внатрешниот промет:	Нема
Евидентирани дејности во надворешниот промет:	Нема
Одобренија, дозволи, лиценци, согласности:	Нема

Правна поука: Против овој реален акт може да се изјави приговор до Централниот регистар на Република Северна Македонија во рок од 8 дена од денот на приемот.

Изготвил:

Овластено лице:



Република Македонија
МИНИСТЕРСТВО ЗА ТРАНСПОРТ И ВРСКИ
СКОПЈЕ

Врз основа на член 16 став (2) Законот за просторно и урбанистичко планирање,
Министерство за транспорт и врски издава:

ЛИЦЕНЦА
ЗА ИЗРАБОТУВАЊЕ НА УРБАНИСТИЧКИ ПЛАНОВИ
НА

Друштво за просторни и урбанистички планови,
инжинеринг и др. УРБАН ДОО Штип

(назив, седиште, адреса и ЕМБС на правното лице)

ул. ТОШО АРСОВ бр.ББ ШТИП, ШТИП
ЕМБС: 5651395

СО ДОБИВАЊЕ НА ОВАА ЛИЦЕНЦА ПРАВНОТО ЛИЦЕ СЕ СТЕКНУВА СО ПРАВО ЗА
ИЗРАБОТУВАЊЕ НА УРБАНИСТИЧКИ ПЛАНОВИ, УРБАНИСТИЧКО-ПЛАНСКИ ДОКУМЕНТАЦИИ,
УРБАНИСТИЧКО-ПРОЕКТНИ ДОКУМЕНТАЦИИ И РЕГУЛАЦИСКИ ПЛАН НА ГЕНЕРАЛЕН
УРБАНИСТИЧКИ ПЛАН

ЛИЦЕНЦАТА Е СО ВАЖНОСТ ДО: 06.12.2025 година

Број: 0007

06.12.2018 година
(ден, месец и година на издавање)



МИНИСТЕР

Горан Сугарески



Република Северна Македонија
КОМОРА НА ОВЛАСТЕНИ АРХИТЕКТИ
И ОВЛАСТЕНИ ИНЖЕНЕРИ

Врз основа на член 67, став (10) од Законот за урбанистичко планирање,
(„Службен весник на Република Северна Македонија“ бр. 32 од 10 февруари 2020 г.)
Комората на овластени архитекти и овластени инженери издава

ОВЛАСТУВАЊЕ
ЗА ИЗРАБОТУВАЊЕ НА УРБАНИСТИЧКИ ПЛАНОВИ

на

ДЕЈАН ДИНЕВСКИ

дипломиран инженер архитект (NQF VII/1)

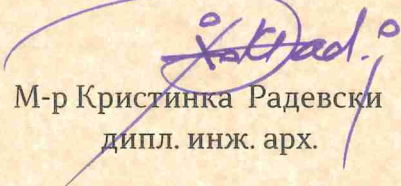
Овластувањето се издава на НЕОПРЕДЕЛЕНО ВРЕМЕ и важи се додека лицето носител на овластувањето ги исполнува условите пропишани во овој закон и во статутот на комората

Број: **0.0371**

Издадено на: 25.10.2021 год.



Претседател на
Комората на овластени архитекти
и овластени инженери


М-р Кристинка Радевски
дипл. инж. арх.



Република Северна Македонија
КОМОРА НА ОВЛАСТЕНИ АРХИТЕКТИ
И ОВЛАСТЕНИ ИНЖЕНЕРИ

Врз основа на член 16 од Законот за просторно и урбанистичко планирање („Службен весник на Република Македонија“ бр. 199 од 30.12.2014, 44/15, 193/15, 31/16, 163/16, 64/18, 168/18) Комората на овластени архитекти и овластени инженери издава

ОВЛАСТУВАЊЕ

ЗА ИЗРАБОТУВАЊЕ НА УРБАНИСТИЧКИ ПЛАНОВИ ОДНОСНО
ПЛАНЕР-ПОТПИСНИК НА ПЛАНСКА ДОКУМЕНТАЦИЈА

на

ДЕЈАН ЈУРАК

дипломиран инженер архитект

со подмирување на членарината за секоја тековна година
овластувањето важи до: 28.05.2025 год.

Број: **0.0494**

Издадено на 29.05.2020 год.



Претседател на
Комората на овластени архитекти
и овластени инженери

Проф. д-р Миле Димитровски
дипл. маш. инж.



РЕПУБЛИКА СЕВЕРНА МАКЕДОНИЈА
АГЕНЦИЈА ЗА КАТАСТАР НА НЕДВИЖНОСТИ
1105-5878/2022 од 23.11.2022 14:54:28

Податоци за сертификаторот на АНН на Р. Македонија
Издаден на: ЕЛЕКТРОНСКИ СПАЛТЕР
Издавач: Македонски Телеком СА
Сервисен број: 5725 90 90
Валиден до: 16.08.2023
Датум и час на потпишување: 23.11.2022 во 14:54:54
Документот е дигитално потпишан и е правно валиден



ИМОТЕН ЛИСТ БРОЈ: 473 ИЗВОД
Катастарска општина: ЦРВЕНИ БРЕГОВИ 2

ЛИСТ А: ПОДАТОЦИ ЗА НОСИТЕЛОТ НА ПРАВТО НА СОПСТВЕНОСТ									
Бр. ред.	ЕМБГ / ЕМБС	Име и презиме / Назив	Адреса / Седиште	Дел на недвижност	Правен основ на запишување	Бр. на пред. по кој е извршено запишување	Датум и час на запишување		
1	***	ДРУШТВО ЗА ПРОИЗВОДСТВО, ТРГОВИДА И УСЛУГИ ИЛПА-ТРЕЈД ИЛИДА И ДР. ДОО КАВАДАРЦИ	ИНДУСТРИСКА 2, КАВАДАРЦИ	1/1	Договор за продажба на недвижен имот ОДУ бр. 289/21 од 27.08.2021 год. нотар Ванчо Тренев.	1112-561/2021	31.08.2021 08:36:04		

ЛИСТ Б: ПОДАТОЦИ ЗА ЗЕМЛИШТЕТО (КАТАСТАРСКА ПАРЦЕЛА) И ЗА ПРАВТО НА СОПСТВЕНОСТ										
Бр. на катастарска парцела	Викано место/лица	Катастарска			Површина во м2	Сопственост / сосопственост / заедничка сопственост	Право преземено при конверзија на податоците од стариот ел.систем	Бр. на евид. лист	Бр. на пред. по кој е извршено запишување	Датум и час на запишување
		култура	Н	класа						
38	1	КУКУРИЧАНИ	33	Н	4	45413	СОПСТВЕНОСТ		1112-561/2021	31.08.2021 08:36:04

Периода на внесени шифри и кратенки:		Тип		Опис	
Шифра	Опис	Извод	Дел од содржината на имотниот лист за избраните парцели или згради		
33	Проданите земјишта				
Н	Нива				



Овластено лице:
Љубинка Јаковлева
Име и презиме: Јаковлевска

РЕПУБЛИКА СЕВЕРНА МАКЕДОНИЈА
АГЕНЦИЈА ЗА КАТАСТАР НА НЕДВИЖНОСТИ
1105-361/2023 од 24.01.2023 10:35:08

Податоци за сертифицирање на АКН на Р. Македонија
Издавач: ЕЛЕКТРОНСКИ ШАЛТЕР
Издавач: Македонски Телеком СА
Сервисен број: 5725 99 99
Валиден до: 16.08.2023
Датум и час на потпишување: 24.01.2023 во 10:35:33
Документот е дигитално потпишан и е правно валиден



ИМОТЕН ЛИСТ БРОЈ: 5 ИЗВОД Катастарска општина: ЦРВЕНИ БРЕГОВИ 2

ЛИСТ А: ПОДАТОЦИ ЗА НОСИТЕЛОТ НА ПРАВОТО НА СОПСТВЕНОСТ

Ред. бр.	ЕМБГ / ЕМБС	Име и презиме / Назив	Адреса / Седиште	Дел на недвижност	Правен основ на запишување	Бр. на пред. по кој е извршено запишување	Датум и час на запишување
1	***	РЕПУБЛИКА МАКЕДОНИЈА		1/1		1122-185/2017	12.07.2017 12:21:36

ЛИСТ Б: ПОДАТОЦИ ЗА ЗЕМЛИШТЕТО (КАТАСТАРСКА ПАРЦЕЛА) И ЗА ПРАВОТО НА СОПСТВЕНОСТ

Број на катастарска парцела	Викано место/улица	Катастарска		Површина во м2	Сопственост / сопственост / заедничка сопственост	Право преземено при конвизија на податоците од стариот егзитен	Бр. на евид. лист	Бр. на пред. по кој е извршено запишување	Датум и час на запишување
		култура	класа						
528	ГОРОВА ЛАКА	г3	пвз	173809	СОПСТВЕНОСТ			1122-185/2017	12.07.2017 12:21:36
528	ГОРОВА ЛАКА	г3	зпз 1	140	СОПСТВЕНОСТ			1122-185/2017	12.07.2017 12:21:36
528	ГОРОВА ЛАКА	г3	зпз 2	55	СОПСТВЕНОСТ			1122-185/2017	12.07.2017 12:21:36
528	ГОРОВА ЛАКА	г3	зпз 3	42	СОПСТВЕНОСТ			1122-185/2017	12.07.2017 12:21:36

Легенда на внесени шифри и кратеники:

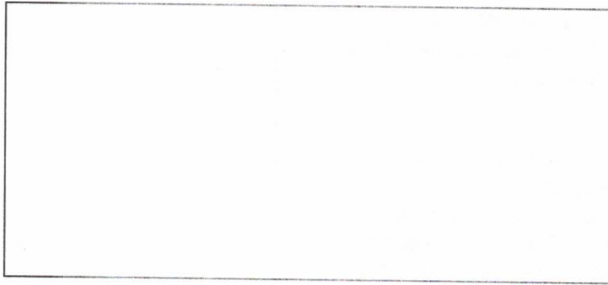
Шифра	Опис	Тип	Опис
г3а	градбено изградено земјиште	Извод	Дел од содржината на имотниот лист за избраните парцели или згради
зпз	Земјиште под зграда		
г3	Ваштанки неподобни земјишта		



Овластено лице:

Љубинка Јаковлева

Име и презиме, потпис



Друштво за производство трговија и услуги
ИГМ ТРЕЈД Илија и др. ДОО
КАВАДАРЦИ Р.МАКЕДОНИЈА
ИНДУСТРИСКА Б.Б.1430 КАВАДАРЦИ
ТЕЛ:+389 43 414 500,414 115,ФАКС:411 540,418 317
ДИРЕКТОР 413 800,
КОМЕРЦИЈА 418 029,413 700,412 860,
ФИНАНСИИ 413 600,410 485,МАРКЕТИНГ 412 860
ЖИРО СМЕТКА 300040000001877
КОМЕРЦИЈАЛНА БАНКА
ДБ 4011994102628, ЕМБС 4305582
e-mail: inf@igmtrade.com

ВАШ ЗНАК:

НАШ ЗНАК:

ДАТУМ:

27.07.2023

Предмет: ПОЛНОМОШНО

Јас, долупотпишаниот Тихомир Димов од Кавадарци, со стан на ул.Благој Крстиќ бр.1/1-12 и ЕМБГ 3112985483004 како Законски застапник на Друштво за производство трговија и услуги ИГМ ТРЕЈД Илија и др. ДОО Кавадарци, со седиште на ул. Индустриска бр.2, ЕМБС 4305582 и ЕДБ 4011994102628, жиро с-ка 300040000001877 депонент на Комерцијална Банка АД Скопје

Го ОПОЛНОМОШТУВАМ Друштвото за просторни и урбанистички планови, инженеринг и др. УРБАН ДОО Штип, со ЕДБ 4029002123153 и БДС-565395 за изработка на:

- Проектна програма;
- Урбанистички проект за формирање на градежна парцела со намена Г2- Лесна преработувачка и помалку загадувачка индустрија на КП 38/1 и КП528/1, КО Црвени Брегови 2, Општина Неготино.

Во рамките на ова полномошно, мојот ополномошник е овластен наместо мене да поднесува барања и поднесоци, да ги прибави сите документи од надлежните институции и да превзема и други правни дејствија пред сите надлежни органи и институции во Северна Република Македонија, кои се потребни за изготвување на гореопишаната проектна документација.

Полномошното важи до завршување на правната работа заради која е издадено и за други намени не може да се употреби.

ПОЛНОМОШНОТО го давам по моја слободна воља, при чиста совест, неприсилуван од никого и во знак на тоа своерачно го потпишувам.

Давател на полномошното



Тихомир Димов, законски застапник на ИГМ-ТРЕЈД Илија и др. ДОО Кавадарци

Јас, НОТАР Љубинка Јаковлева
Ул.Миле Вчков бр.1, Кавадарци За подрачјето на
Основен суд Кавадарци

Потврдувам дека
за Друштво за производство, трговија и услуги ИГМ-
ТРЕЈД Илија и др. ДОО, ул.Индустриска бр.2,
Кавадарци, ЕМБС: 4305582, застапникот по закон
Тихомир Димов, ул.Благој Крстиќ бр.1-1/12, Кавадарци,
во мое присуство своерачно го потпиша писменото,
Идентитетот на учесникот го утврдив самиот врз основа
на лична карта бр.: А1539404 Издадена од МВР -
Кавадарци

Потписот - ракознакот на писменото е втиснат.
Согласно чл. 86 став (4) од Законот за
нотаријатот, учесниците се известени дека нотарот не е
одговорен за содржината на писменото ниту е должен
да испитува дали учесниците се овластени за таа
правна работа.

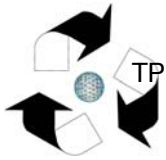
Нотарската такса за заверка по тарифен број 10
т. 2 од Законот за судски такси во износ од 100 денари
наплатена и поништена на примерокот кој останува за
архивирање.

Нотарската награда е пресметана во износ од
200 денари.

Број УЗП 1389/2023

Во Кавадарци 27.04.2023





ТРГОВСКО ДРУШТВО ЗА ГЕОДЕТСКИ РАБОТИ
ГЕОДЕТСКИ ПРЕМЕР ДООЕЛ Кавадарци

бул. Едвард Карделъ бр. 7, Кавадарци
e-mail: geodetskipremmer@yahoo.com
+389 43 400 990

Деловоден број : 0805-259/1
Датум: 23.01.2023 год.

ГЕОДЕТСКИ ЕЛАБОРАТ ЗА ГЕОДЕТСКИ РАБОТИ ЗА ПОСЕБНИ НАМЕНИ

Изработка на ажурирана геодетска подлога
со висинска претстава

КО.Црвени Брегови 2

ТРГОВЕЦ ПОЕДИНЕЦ ОВЛАСТЕН ГЕОДЕТ/
ТРГОВСКО ДРУШТВО ЗА ГЕОДЕТСКИ РАБОТИ

Изготвил: М.П.

Орешков Стојан геод. инж.

.....
(име, презиме и потпис на овластен геодет)

СОДРЖИНА НА ГЕОДЕТСКИОТ ЕЛАБОРАТ

1. Страница за заверка.
2. Технички извештај.
3. Скица од извршено премерување.
4. Координати на детални точки.

ПРИЛОЗИ:

6. Копие од Решението од трговскиот регистар.
7. Копие од овластувањето на овластен геодег-потписник на Елаборатот.
8. Податоци од Агенцијата за катастар на недвижности.
9. Доказ за платен надомест.
10. Копија од Договор за користење на сервиси на МАКПОС системот на Агенцијата за катастар на недвижности.

Трговско друштво за геодегски работи
ГЕОДЕТСКИ ПРЕМЕР Кавадарци

М.П.

ТЕХНИЧКИ ИЗВЕШТАЈ

КО.Црвени Брегови 2

По барање на странката извршено е геодетско снимање во КО.Црвени Брегови 2 за изработка на ажурирана геодетска подлога со претходно зададен опфат.

На лице место беа снимени детални точки со коти низ целиот опфат, како и фактичката состојба на железничката пруга, објектите, земјниот пат, како и регионалниот пат Неготино-Градско.

Врз дигиталните геодетски планови издадени од АКН извршено е нанесување на снимените детални точки од терен и изготвена е ажурирана подлога во размер 1:2500, која е составен дел од овој елаборат во аналогна и во електронска форма.

Снимањето на теренот е извршено со двофреквентен ресивер GPS Stonex S9.

Мерењето е извршено од:

Лазар Бојациев геометар.

Никола Тасев дипл.геод.инж

Изготвил:

Никола Тасев дипл.геод.инж

„ГЕОДЕТСКИ ПРЕМЕР“

Кавадарци

(назив на трговец поединец - трговско друштво)

КО. Црвени Брегови 2

АЖУРИРАНА ГЕОДЕТСКА ПОДЛОГА

Скица од извршено премерување

1:2500



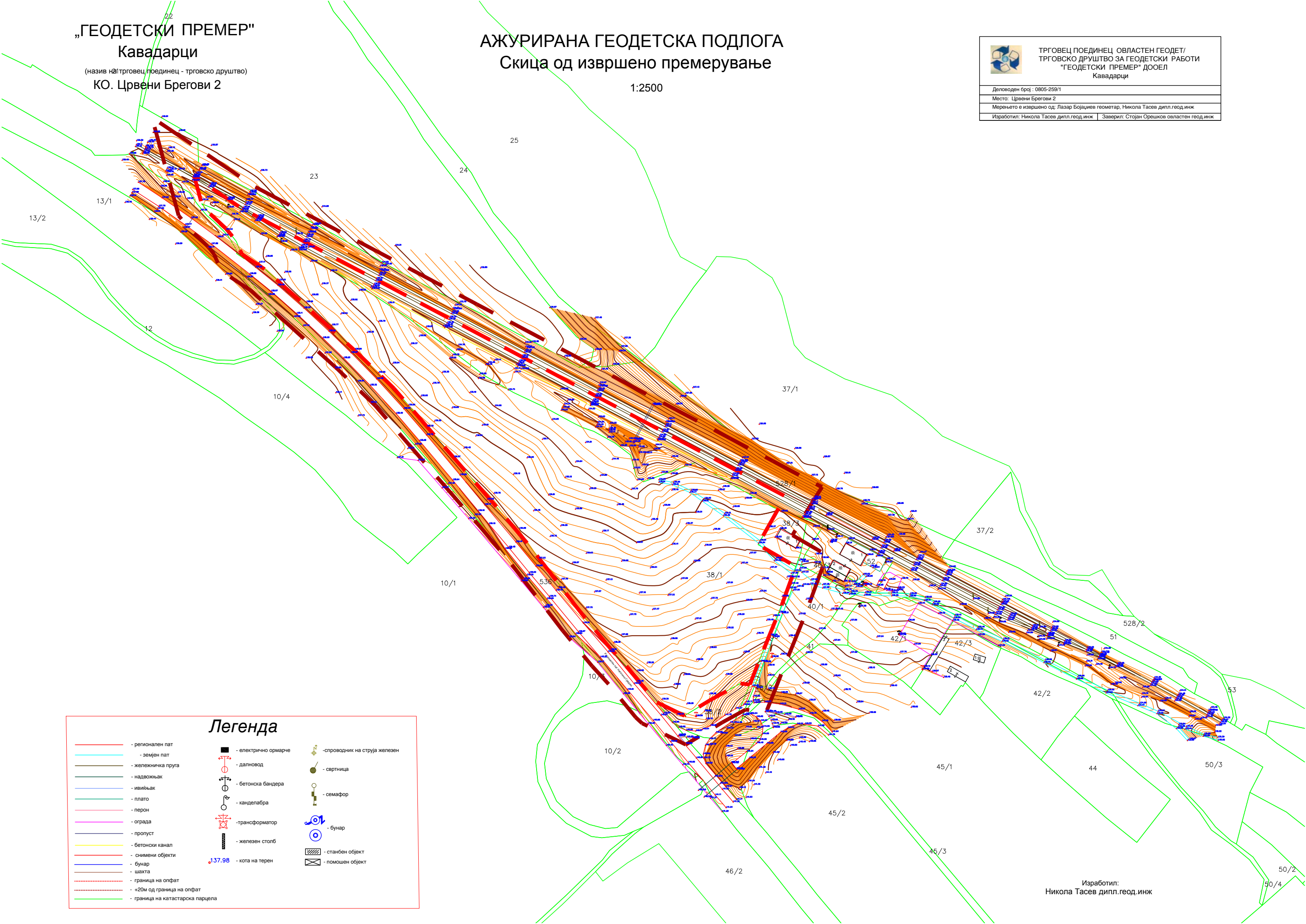
ТРГОВЕЦ ПОЕДИНЕЦ ОВЛАСТЕН ГЕОДЕТ/
ТРГОВСКО ДРУШТВО ЗА ГЕОДЕТСКИ РАБОТИ
„ГЕОДЕТСКИ ПРЕМЕР“ ДООЕЛ
Кавадарци

Деловоден број: 0805-259/1

Место: Црвени Брегови 2

Мерењето е извршено од: Лазар Бојациев геометар, Никола Тасев дипл.геод.инж

Изработил: Никола Тасев дипл.геод.инж | Заверил: Стојан Орешков овластен геод.инж



Легенда

- | | | | | | |
|--|----------------------------------|--|----------------------|--|--------------------------------|
| | - регионален пат | | - електрично ормарче | | - спроводник на струја железен |
| | - земјен пат | | - далновод | | - сертница |
| | - железничка пруга | | - бетонска бандера | | - semaфор |
| | - надвожњак | | - канделабра | | - бунар |
| | - ивиџњак | | - трансформатор | | - железен столб |
| | - плато | | - железен столб | | - станбен објект |
| | - перон | | - железен столб | | - помошен објект |
| | - ограда | | - железен столб | | - помошен објект |
| | - пропуст | | - железен столб | | - помошен објект |
| | - бетонски канал | | - железен столб | | - помошен објект |
| | - снимени објекти | | - железен столб | | - помошен објект |
| | - бунар | | - железен столб | | - помошен објект |
| | - шахта | | - железен столб | | - помошен објект |
| | - граница на опфат | | - железен столб | | - помошен објект |
| | - +20м од граница на опфат | | - железен столб | | - помошен објект |
| | - граница на катастарска парцела | | - железен столб | | - помошен објект |

Изработил:
Никола Тасев дипл.геод.инж

ТРГОВСКО ДРУШТВО ЗА ГЕОДЕТСКИ РАБОТИ
ГЕОДЕТСКИ ПРЕМЕР Д.О.О.Е. Л КАВАДАРЦИ
ул:Едвард Карделъ бр:7 Кавадарци
Тел/факс: 043-400-990,

КООРДИНАТИ НА ДЕТАЛНИ ТОЧКИ

1	7586995.09	4601083.26	129.48
2	7586640.16	4601185.67	139.60
3	7586632.41	4601180.61	139.41
4	7586661.37	4601155.16	139.36
5	7586664.18	4601161.81	139.47
6	7586656.61	4601183.33	136.87
7	7586659.07	4601185.88	138.00
8	7586663.77	4601191.16	138.16
9	7586666.53	4601194.93	137.11
10	7586775.51	4601041.19	137.21
11	7586774.59	4601075.89	138.49
12	7586754.25	4601084.46	137.13
13	7586744.55	4601074.09	137.72
14	7586716.72	4601135.41	138.20
15	7586721.63	4601140.81	138.29
16	7586718.47	4601123.55	137.83
17	7586703.63	4601119.58	138.08
18	7586680.78	4601140.74	138.84
19	7586693.84	4601152.02	137.00
20	7586681.31	4601177.02	138.18
21	7586675.95	4601172.27	138.07
22	7586673.69	4601169.51	136.85
23	7586682.41	4601180.88	137.10
24	7586686.66	4601187.23	136.85
25	7586701.85	4601159.05	138.25
26	7586696.03	4601154.71	138.11
27	7586701.10	4601144.90	137.10
28	7586708.08	4601169.20	136.58
29	7586703.78	4601163.73	136.96
30	7586707.25	4601195.87	136.44
31	7586716.11	4601177.99	136.37
32	7586739.07	4601123.83	138.37
33	7586733.10	4601119.60	138.20

34	7586726.07	4601111.65	137.69
35	7586744.16	4601101.24	136.94
36	7586727.03	4601092.34	138.11
37	7586742.17	4601126.38	136.69
38	7586754.12	4601098.11	138.32
39	7586759.21	4601103.25	138.45
40	7586751.79	4601139.79	136.35
41	7586760.84	4601108.17	136.52
42	7586771.95	4601115.49	135.94
43	7586722.99	4601188.30	136.13
44	7586723.87	4601145.53	136.77
45	7586731.06	4601154.47	136.54
46	7586738.87	4601165.20	135.92
47	7586745.47	4601172.87	135.88
48	7586768.38	4601162.93	135.41
49	7586760.76	4601148.36	135.79
50	7586754.49	4601175.49	135.16
51	7586756.41	4601176.31	135.55
52	7586757.07	4601177.79	135.57
53	7586758.32	4601180.61	135.58
54	7586759.05	4601182.21	135.57
55	7586760.70	4601184.81	135.77
56	7586755.46	4601174.29	135.62
57	7586761.43	4601186.34	135.79
58	7586761.44	4601189.14	134.78
59	7586761.91	4601192.04	135.53
60	7586762.78	4601188.41	135.38
61	7586763.38	4601194.93	134.90
62	7586766.06	4601193.49	134.86
63	7586873.28	4600943.95	138.85
64	7586874.88	4600945.56	138.26
65	7586877.56	4600948.51	139.36
66	7586879.60	4600950.46	139.53

67	7586884.75	4600955.64	139.60
68	7586869.01	4600974.66	139.41
69	7586863.24	4600970.48	139.40
70	7586860.58	4600969.34	139.26
71	7586987.56	4600814.38	140.40
72	7586953.73	4600855.08	139.39
73	7586956.92	4600858.32	140.51
74	7586962.24	4600863.06	140.50
75	7586964.38	4600864.77	140.35
76	7586990.92	4600817.41	140.76
77	7586992.43	4600832.47	140.60
78	7586985.46	4600839.71	140.53
79	7586983.39	4600838.23	140.67
80	7586977.30	4600834.10	140.68
81	7586973.21	4600831.54	140.30
82	7586993.65	4600862.30	138.94
83	7586984.13	4600850.66	139.36
84	7586910.73	4600899.74	138.54
85	7586892.53	4600924.48	138.43
86	7586890.64	4600923.13	138.93
87	7586935.49	4600883.93	140.22
88	7586933.44	4600879.97	139.17
89	7586916.02	4600902.32	139.83
90	7586918.41	4600903.91	139.97
91	7586922.21	4600910.80	140.01
92	7586924.16	4600922.68	137.75
93	7586902.73	4600938.48	139.40
94	7586900.67	4600936.55	139.78
95	7586895.42	4600931.69	139.74
96	7586893.41	4600929.83	139.58
97	7586904.84	4600945.22	137.49
98	7586887.09	4600961.75	137.23
99	7586895.99	4600979.10	136.72
100	7586913.52	4600958.10	136.97
101	7586924.44	4600965.79	136.63
102	7586940.10	4600944.76	137.13
103	7586931.00	4600935.38	137.57
104	7586943.52	4600889.67	140.01
105	7586941.54	4600888.22	140.23
106	7586952.15	4600901.47	137.98

107	7586946.17	4600895.40	138.38
108	7586964.52	4600873.05	139.00
109	7586958.67	4600917.25	137.70
110	7586972.43	4600879.29	138.29
111	7586976.70	4600921.50	137.47
112	7586991.12	4600898.32	138.08
113	7586964.10	4600974.13	136.01
114	7586952.36	4600959.65	136.65
115	7586966.32	4600934.57	137.16
116	7586975.00	4600954.42	136.64
117	7586992.03	4600972.79	136.41
118	7586988.92	4600932.70	137.22
119	7586794.21	4601089.65	135.93
120	7586824.95	4601027.48	138.95
121	7586819.15	4601023.47	138.94
122	7586815.57	4601020.63	137.39
123	7586810.79	4601017.32	137.47
124	7586791.89	4601039.00	137.27
125	7586783.72	4601048.33	137.17
126	7586789.51	4601051.55	137.02
127	7586792.97	4601054.47	138.68
128	7586798.49	4601059.07	138.72
129	7586780.63	4601079.75	138.55
130	7586784.31	4601082.38	136.60
131	7586798.75	4601065.75	136.75
132	7586804.86	4601069.97	136.35
133	7586818.72	4601080.40	135.69
134	7586828.05	4601048.71	136.43
135	7586820.01	4601041.55	136.97
136	7586847.67	4600988.90	139.18
137	7586831.70	4600993.12	138.33
138	7586836.42	4600995.93	137.57
139	7586839.24	4600999.21	139.16
140	7586844.34	4601004.01	139.17
141	7586846.44	4601008.19	137.63
142	7586851.64	4601012.92	136.78
143	7586867.19	4601028.21	136.18
144	7586882.97	4600999.35	136.48
145	7586871.62	4600985.21	136.98
146	7586852.33	4601081.79	134.98

147	7586842.48	4601066.65	135.91
148	7586837.39	4601058.26	136.04
149	7586877.82	4601041.08	135.90
150	7586798.21	4601144.10	135.07
151	7586786.19	4601130.69	135.37
152	7586792.93	4601136.98	135.09
153	7586803.47	4601099.62	135.78
154	7586823.52	4601129.74	134.78
155	7586822.12	4601126.00	135.93
156	7586819.10	4601121.92	135.78
157	7586816.68	4601119.51	135.00
158	7586811.01	4601108.32	135.38
159	7586812.89	4601143.84	135.23
160	7586816.85	4601151.76	135.34
161	7586816.11	4601150.20	135.39
162	7586814.87	4601147.41	135.39
163	7586814.06	4601145.90	135.39
164	7586811.72	4601144.72	134.88
165	7586821.08	4601161.27	134.48
166	7586819.30	4601158.73	134.61
167	7586818.86	4601156.06	135.55
168	7586818.08	4601154.64	135.56
169	7586820.26	4601158.12	135.26
170	7586824.57	4601163.65	133.79
171	7586832.63	4601092.40	135.19
172	7586839.39	4601103.56	134.88
173	7586840.45	4601106.94	135.50
174	7586845.11	4601114.40	135.46
175	7586847.19	4601115.89	134.49
176	7586852.20	4601117.98	134.14
177	7586867.82	4601111.20	134.41
178	7586868.01	4601108.46	134.71
179	7586863.01	4601094.57	134.74
180	7586869.34	4601114.47	134.71
181	7586870.74	4601115.80	135.21
182	7586873.11	4601110.97	134.92
183	7586870.38	4601113.36	135.03
184	7586871.54	4601117.25	135.22
185	7586873.28	4601119.94	135.23
186	7586874.01	4601121.36	135.27

187	7586875.52	4601124.13	135.43
188	7586876.30	4601125.55	135.40
189	7586876.44	4601128.33	134.52
190	7586877.79	4601127.55	135.10
191	7586876.21	4601131.77	133.80
192	7586881.73	4601132.28	133.38
193	7586841.15	4601190.66	132.85
194	7586931.13	4601089.34	135.08
195	7586907.91	4601025.65	135.18
196	7586894.74	4601011.75	135.81
197	7586935.61	4601027.01	134.86
198	7586927.16	4601016.54	135.25
199	7586915.93	4601000.66	135.88
200	7586904.36	4600987.45	136.28
201	7586937.26	4600983.11	136.17
202	7586889.91	4601055.65	135.11
203	7586897.45	4601071.09	134.60
204	7586904.66	4601078.48	134.53
205	7586906.08	4601080.65	133.49
206	7586906.85	4601083.13	134.41
207	7586909.76	4601086.35	133.86
208	7586923.90	4601053.10	134.51
209	7586916.07	4601037.80	134.94
210	7586926.22	4601079.27	134.53
211	7586933.98	4601073.07	133.63
212	7586933.39	4601068.88	134.04
213	7586932.79	4601066.97	133.42
214	7586931.83	4601065.18	134.20
215	7586929.69	4601086.56	135.11
216	7586929.05	4601085.10	135.09
217	7586927.67	4601084.02	134.51
218	7586928.10	4601082.89	135.33
219	7586927.71	4601082.31	134.90
220	7586961.87	4601032.81	134.53
221	7586964.62	4601023.63	134.60
222	7586948.88	4601003.95	135.48
223	7586960.02	4601016.23	134.79
224	7586985.42	4601003.40	135.69
225	7586975.90	4600992.29	135.46
226	7586972.80	4601024.51	134.83

227	7586981.78	4601023.83	134.95
228	7586981.74	4601021.80	134.91
229	7586992.36	4601019.79	135.21
230	7586993.14	4601021.59	135.25
231	7586983.68	4601029.41	134.80
232	7586991.48	4601028.33	134.89
233	7586991.93	4601015.58	135.46
234	7586942.38	4601061.07	133.41
235	7586941.29	4601057.09	134.29
236	7586951.39	4601050.55	134.20
237	7586944.94	4601039.83	134.46
238	7586960.74	4601039.07	134.42
239	7586966.27	4601045.01	131.93
240	7586958.45	4601050.20	133.99
241	7586965.50	4601049.50	131.52
242	7586955.06	4601053.39	132.36
243	7586958.23	4601055.97	130.20
244	7586961.98	4601053.67	130.05
245	7586962.38	4601055.77	130.02
246	7586963.34	4601055.31	130.07
247	7586943.00	4601068.04	133.33
248	7586942.58	4601064.11	133.36
249	7586942.37	4601062.73	132.85
250	7586981.61	4601057.29	134.96
251	7586978.97	4601051.04	134.19
252	7586980.46	4601055.65	134.52
253	7586968.34	4601035.26	133.22
254	7586971.31	4601044.80	133.12
255	7586977.63	4601047.79	132.92
256	7586980.93	4601054.91	134.80
257	7586982.31	4601058.74	134.98
258	7586983.93	4601061.43	134.95
259	7586991.74	4601041.87	133.32
260	7586976.56	4601083.24	129.96
261	7586977.80	4601082.65	129.97
262	7586984.69	4601062.86	134.97
263	7586986.28	4601065.69	135.13
264	7586986.98	4601067.12	135.11
265	7586989.45	4601071.76	134.11
266	7586987.03	4601069.37	134.45

267	7586988.22	4601069.17	134.79
268	7586904.05	4601095.04	134.98
269	7586907.18	4601120.98	132.88
270	7586935.08	4601099.96	133.97
271	7586934.11	4601097.89	134.32
272	7586933.88	4601095.17	135.26
273	7586933.03	4601093.74	135.24
274	7586931.83	4601090.79	135.09
275	7586935.24	4601097.25	134.86
276	7586936.50	4601110.62	131.78
277	7586931.52	4601126.26	132.66
278	7586919.38	4601134.19	132.80
279	7586895.76	4601159.42	132.87
280	7586931.45	4601151.14	127.48
281	7586954.31	4601135.21	127.39
282	7586951.88	4601128.53	127.89
283	7586950.31	4601125.03	129.20
284	7586945.30	4601114.52	130.38
285	7586667.70	4601217.35	137.09
286	7586612.95	4601229.95	137.90
287	7586580.01	4601228.90	139.44
288	7586583.79	4601234.90	139.01
289	7586560.90	4601242.24	139.49
290	7586564.72	4601247.34	139.31
291	7586566.34	4601250.07	137.89
292	7586566.82	4601252.46	137.66
293	7586600.70	4601209.49	139.29
294	7586604.74	4601218.88	139.26
295	7586606.98	4601222.36	136.97
296	7586608.10	4601224.66	137.77
297	7586590.04	4601245.91	137.84
298	7586587.38	4601239.18	137.70
299	7586586.33	4601237.24	137.83
300	7586609.72	4601245.05	137.07
301	7586602.63	4601249.94	136.59
302	7586599.58	4601246.44	135.57
303	7586574.74	4601280.68	135.76
304	7586564.47	4601280.74	135.96
305	7586571.36	4601258.25	137.76
306	7586558.56	4601275.48	136.49

307	7586569.92	4601290.85	136.09
308	7586569.04	4601286.33	136.12
309	7586569.81	4601287.79	136.11
310	7586578.57	4601289.73	136.33
311	7586575.02	4601281.39	135.73
312	7586575.59	4601282.89	136.13
313	7586576.40	4601284.35	136.13
314	7586578.06	4601285.23	135.72
315	7586577.07	4601286.56	136.23
316	7586580.00	4601290.87	136.34
317	7586583.16	4601297.66	135.98
318	7586588.67	4601254.85	135.99
319	7586591.06	4601258.43	136.51
320	7586593.77	4601263.59	136.82
321	7586596.41	4601268.19	136.10
322	7586594.17	4601269.36	136.13
323	7586592.89	4601266.93	136.22
324	7586594.15	4601266.15	136.16
325	7586605.86	4601258.11	137.18
326	7586602.96	4601268.40	136.12
327	7586593.92	4601282.30	137.32
328	7586595.00	4601285.07	136.72
329	7586603.46	4601298.67	135.91
330	7586640.40	4601220.74	137.43
331	7586633.57	4601214.91	138.01
332	7586628.93	4601209.48	137.86
333	7586626.32	4601206.71	136.71
334	7586637.73	4601216.28	137.11
335	7586620.35	4601235.98	137.32
336	7586621.62	4601244.09	137.31
337	7586625.01	4601246.17	137.84
338	7586629.69	4601241.80	136.94
339	7586654.08	4601238.36	135.93
340	7586644.90	4601232.77	136.78
341	7586646.70	4601228.48	137.41
342	7586652.96	4601236.59	135.95
343	7586653.18	4601236.93	135.93
344	7586641.85	4601238.37	136.01
345	7586651.54	4601234.72	135.78
346	7586642.13	4601245.69	135.99

347	7586642.07	4601245.56	136.00
348	7586641.26	4601244.38	136.01
349	7586663.09	4601227.69	135.37
350	7586664.04	4601229.11	135.90
351	7586664.87	4601230.41	135.88
352	7586665.76	4601231.67	135.91
353	7586655.43	4601240.68	135.97
354	7586656.21	4601242.06	136.00
355	7586656.63	4601244.45	135.73
356	7586657.58	4601248.34	137.36
357	7586659.39	4601251.14	136.55
358	7586658.85	4601248.03	137.40
359	7586659.32	4601249.97	136.65
360	7586626.50	4601254.41	136.07
361	7586616.91	4601265.44	135.91
362	7586615.12	4601263.79	136.08
363	7586615.05	4601263.43	136.07
364	7586614.39	4601262.35	136.08
365	7586614.21	4601262.03	136.10
366	7586613.60	4601259.55	136.20
367	7586619.28	4601268.09	137.24
368	7586621.89	4601271.87	136.60
369	7586621.31	4601271.29	136.56
370	7586619.69	4601268.87	137.28
371	7586627.27	4601255.69	136.03
372	7586628.05	4601256.98	136.04
373	7586628.84	4601287.19	135.87
374	7586589.87	4601309.65	135.81
375	7586672.03	4601199.56	136.95
376	7586680.69	4601215.20	135.78
377	7586691.48	4601204.55	136.75
378	7586683.65	4601211.29	135.92
379	7586681.43	4601215.96	135.58
380	7586682.07	4601216.86	135.86
381	7586682.97	4601218.32	135.82
382	7586708.59	4601224.61	135.68
383	7586702.02	4601212.60	135.72
384	7586701.27	4601211.12	135.72
385	7586699.98	4601208.44	135.74
386	7586699.40	4601206.81	135.78

387	7586697.77	4601206.20	135.51
388	7586705.44	4601206.96	135.61
389	7586697.97	4601204.66	135.90
390	7586707.82	4601221.54	136.43
391	7586706.39	4601218.64	135.27
392	7586704.37	4601216.63	135.92
393	7586703.67	4601215.18	135.94
394	7586695.78	4601217.39	135.72
395	7586705.33	4601218.86	135.54
396	7586707.06	4601222.14	136.42
397	7586710.16	4601225.23	135.54
398	7586716.14	4601238.84	134.89
399	7586667.81	4601267.22	135.73
400	7586773.76	4601208.24	134.01
401	7587170.74	4600980.51	130.66
402	7587104.15	4600958.45	137.02
403	7587022.42	4600772.91	141.27
404	7587012.86	4600779.07	148.41
405	7587017.34	4600773.76	148.23
406	7587004.81	4600801.01	140.88
407	7587000.44	4600799.16	140.74
408	7587002.85	4600815.73	140.86
409	7587018.75	4600800.19	140.80
410	7587017.12	4600804.42	140.73
411	7587016.74	4600807.60	140.69
412	7587011.26	4600804.50	140.84
413	7587018.39	4600814.57	140.67
414	7587021.73	4600815.16	140.35
415	7587034.71	4600765.39	141.24
416	7587031.52	4600762.22	141.29
417	7587026.11	4600775.30	141.11
418	7587031.76	4600779.83	141.08
419	7587034.42	4600781.91	140.97
420	7587029.95	4600784.30	147.81
421	7587042.84	4600771.74	141.11
422	7587040.29	4600769.88	141.22
423	7587045.19	4600780.97	142.12
424	7587034.55	4600813.56	145.43
425	7587034.81	4600805.89	146.23
426	7587025.70	4600789.80	147.97

427	7587039.40	4600800.37	147.13
428	7587042.78	4600796.02	147.07
429	7587043.67	4600811.90	145.96
430	7587038.81	4600800.88	147.41
431	7587043.24	4600795.49	147.32
432	7587022.20	4600829.92	140.91
433	7586996.71	4600821.69	140.77
434	7586997.76	4600822.60	140.78
435	7586997.47	4600822.25	140.78
436	7586997.37	4600828.75	140.52
437	7587008.51	4600820.07	140.78
438	7587008.48	4600820.47	140.78
439	7587003.60	4600820.96	140.80
440	7587003.21	4600826.42	140.56
441	7586996.03	4600838.78	139.73
442	7587011.00	4600837.50	139.59
443	7587017.59	4600841.41	139.60
444	7587018.95	4600835.13	139.76
445	7587010.73	4600825.81	140.57
446	7587016.05	4600827.15	140.64
447	7587021.62	4600819.42	140.77
448	7587003.75	4600847.15	139.25
449	7587001.32	4600870.02	139.06
450	7587021.58	4600854.87	139.48
451	7587026.65	4600824.48	140.88
452	7587033.93	4600838.32	141.70
453	7587035.26	4600827.76	140.73
454	7587030.66	4600823.83	140.63
455	7587037.88	4600832.29	141.37
456	7587042.26	4600843.49	142.27
457	7587047.80	4600838.37	142.09
458	7587041.48	4600821.99	144.52
459	7587042.33	4600832.16	141.06
460	7587048.37	4600846.33	142.63
461	7587034.52	4600870.19	139.29
462	7587052.27	4600786.16	141.54
463	7587056.59	4600783.46	141.32
464	7587050.32	4600773.31	141.53
465	7587058.77	4600816.23	145.40
466	7587050.91	4600809.58	146.24

467	7587052.93	4600804.41	146.23
468	7587066.81	4600815.88	144.80
469	7587071.72	4600808.66	141.02
470	7587075.35	4600802.81	140.65
471	7587065.86	4600792.81	141.10
472	7587060.66	4600796.86	141.39
473	7587085.41	4600814.29	140.53
474	7587077.22	4600846.97	143.21
475	7587063.24	4600823.33	144.65
476	7587061.37	4600818.81	145.08
477	7587058.71	4600828.44	143.79
478	7587050.11	4600828.70	143.81
479	7587053.76	4600819.43	145.04
480	7587054.12	4600839.30	142.54
481	7587050.29	4600839.19	142.27
482	7587058.61	4600836.87	142.92
483	7587061.83	4600833.79	143.43
484	7587055.99	4600833.23	142.15
485	7587063.78	4600829.15	144.02
486	7587071.69	4600828.79	143.94
487	7587071.91	4600828.51	143.92
488	7587065.67	4600841.31	143.01
489	7587065.54	4600840.97	143.01
490	7587068.47	4600837.34	143.31
491	7587070.20	4600834.20	143.60
492	7587071.12	4600831.57	143.76
493	7587073.94	4600840.20	142.95
494	7587068.94	4600840.97	142.98
495	7587050.38	4600848.51	142.71
496	7587055.52	4600861.26	141.62
497	7587058.72	4600859.81	141.64
498	7587056.14	4600853.04	142.52
499	7587055.98	4600849.64	142.82
500	7587056.60	4600847.96	142.94
501	7587065.18	4600848.55	143.17
502	7587067.74	4600858.98	139.73
503	7587067.62	4600869.45	139.44
504	7587090.45	4600831.14	142.51
505	7587077.61	4600824.85	143.68
506	7587083.34	4600828.25	143.13

507	7587082.56	4600818.37	140.69
508	7587082.54	4600818.42	140.70
509	7587077.73	4600831.78	143.53
510	7587083.73	4600834.58	143.16
511	7587089.65	4600836.74	142.75
512	7587089.56	4600837.04	142.69
513	7587080.91	4600838.94	142.85
514	7587096.79	4600831.33	142.03
515	7587100.73	4600839.53	142.40
516	7587091.84	4600842.92	142.87
517	7587100.36	4600817.41	140.58
518	7587092.49	4600820.35	140.58
519	7587092.23	4600816.90	140.40
520	7587100.22	4600849.89	139.57
521	7587095.24	4600863.30	139.28
522	7587089.49	4600854.89	139.67
523	7587078.16	4600855.91	140.05
524	7587010.35	4600914.00	137.91
525	7587043.88	4600917.31	138.29
526	7587035.36	4600906.76	138.22
527	7587021.94	4600891.27	138.63
528	7587011.37	4600881.85	138.55
529	7587048.52	4600887.85	138.91
530	7587018.05	4600971.97	136.89
531	7587009.10	4600959.52	136.98
532	7586999.28	4600945.67	137.09
533	7587022.88	4600930.12	137.72
534	7587035.14	4600942.26	137.51
535	7587046.71	4600957.89	137.44
536	7587067.82	4600877.42	139.18
537	7587070.89	4600884.15	139.26
538	7587064.87	4600880.11	140.05
539	7587062.34	4600880.58	140.06
540	7587076.77	4600919.21	138.26
541	7587069.72	4600901.23	138.79
542	7587071.67	4600899.89	138.82
543	7587059.06	4600902.54	138.70
544	7587066.76	4600913.07	138.49
545	7587072.01	4600916.48	138.44
546	7587077.85	4600886.15	139.15

547	7587084.46	4600900.62	138.41
548	7587097.77	4600887.33	138.50
549	7587092.20	4600917.85	137.86
550	7587079.06	4600918.63	138.21
551	7587063.16	4600945.61	137.66
552	7587061.34	4600935.69	137.84
553	7587050.25	4600928.60	138.00
554	7587053.32	4600965.79	137.07
555	7587060.20	4600973.81	136.84
556	7587061.32	4600975.82	136.81
557	7587073.20	4600978.39	136.83
558	7587073.89	4600961.79	136.97
559	7587072.70	4600959.88	137.15
560	7587069.58	4600954.44	137.37
561	7587090.71	4600939.49	137.49
562	7587088.94	4600951.94	137.19
563	7587086.07	4600949.92	137.28
564	7587087.41	4600946.91	137.38
565	7587086.47	4600941.79	137.49
566	7587084.82	4600938.38	137.65
567	7587087.53	4600936.57	137.56
568	7587078.87	4600931.87	137.66
569	7587082.77	4600947.07	137.36
570	7587097.85	4600929.59	137.47
571	7587100.84	4600941.42	137.42
572	7587101.57	4600944.82	137.50
573	7587094.43	4600950.75	137.23
574	7587095.16	4600940.94	137.52
575	7587092.89	4600953.87	137.09
576	7587094.50	4600959.00	136.93
577	7587092.33	4600960.37	136.89
578	7587089.42	4600969.72	136.51
579	7587102.66	4600976.62	136.04
580	7587107.12	4600829.64	141.80
581	7587115.47	4600822.62	141.78
582	7587118.30	4600825.02	141.84
583	7587110.22	4600833.56	141.96
584	7587119.76	4600834.14	139.55
585	7587110.64	4600841.23	139.48
586	7587119.65	4600869.04	138.63

587	7587127.74	4600858.13	138.75
588	7587137.69	4600848.43	138.84
589	7587147.62	4600840.07	138.96
590	7587180.65	4600844.50	138.62
591	7587164.20	4600861.21	138.43
592	7587206.13	4600868.06	138.45
593	7587158.82	4600974.36	135.06
594	7587159.09	4600937.48	136.46
595	7587109.15	4600877.66	138.59
596	7587119.49	4600896.99	137.94
597	7587108.04	4600906.20	137.96
598	7587117.42	4600921.65	137.36
599	7587121.68	4600921.62	137.42
600	7587146.92	4600875.30	138.10
601	7587132.86	4600887.46	137.89
602	7587132.71	4600912.85	137.56
603	7587153.61	4600899.90	137.54
604	7587139.93	4600923.94	137.28
605	7587131.78	4600943.21	136.57
606	7587110.78	4600938.48	137.30
607	7587110.84	4600941.07	137.38
608	7587113.61	4600950.63	135.96
609	7587111.36	4600948.20	137.29
610	7587128.27	4600936.98	136.73
611	7587126.63	4600934.25	136.94
612	7587127.45	4600943.62	135.93
613	7587128.50	4600939.78	137.12
614	7587118.78	4600943.76	137.19
615	7587105.14	4600965.07	136.42
616	7587110.34	4600962.10	135.98
617	7587116.68	4600974.85	135.52
618	7587117.16	4600976.06	135.56
619	7587110.52	4600954.17	137.37
620	7587121.79	4600978.82	135.14
621	7587129.05	4600973.65	135.31
622	7587130.99	4600977.15	135.27
623	7587137.07	4600939.39	136.09
624	7587144.47	4600934.90	136.61
625	7587143.62	4600932.70	136.69
626	7587133.18	4600935.53	136.75

627	7587131.97	4600933.52	136.84
628	7587135.35	4600941.27	135.99
629	7587144.98	4600947.41	135.60
630	7587142.81	4600949.11	135.62
631	7587142.48	4600941.08	136.03
632	7587144.79	4600941.12	136.12
633	7587153.42	4600940.45	135.80
634	7587155.14	4600944.01	135.76
635	7587148.37	4600955.61	135.48
636	7587150.42	4600954.48	135.54
637	7587153.23	4600963.55	135.54
638	7587154.39	4600965.84	135.02
639	7587145.97	4600964.48	135.61
640	7587148.00	4600968.32	135.57
641	7587155.28	4600967.17	135.01
642	7587156.54	4600970.09	134.96
643	7587157.36	4600971.51	134.96
644	7587150.43	4600977.82	135.29
645	7587149.50	4600976.53	135.30
646	7587171.76	4600887.75	137.76
647	7587182.89	4600894.01	137.69
648	7587171.46	4600901.44	137.49
649	7587171.02	4600902.09	137.57
650	7587178.16	4600912.84	136.99
651	7587189.62	4600874.43	138.50
652	7587197.14	4600872.74	138.07
653	7587190.57	4600876.43	138.12
654	7587195.93	4600885.66	138.00
655	7587202.08	4600918.38	136.42
656	7587213.18	4600912.79	136.40
657	7587197.24	4600925.39	135.99
658	7587186.17	4600926.21	136.44
659	7587186.06	4600963.69	134.71
660	7587170.21	4600938.45	136.03
661	7587169.21	4600936.78	136.07
662	7587165.62	4600936.14	136.24
663	7587161.41	4600936.66	136.31
664	7587165.29	4600932.30	136.25
665	7587165.09	4600934.47	136.13
666	7587162.97	4600945.04	135.60

667	7587181.95	4600944.68	135.55
668	7587173.00	4600945.79	135.70
669	7587179.78	4600933.79	135.95
670	7587179.31	4600931.98	135.99
671	7587180.00	4600952.21	135.02
672	7587161.16	4600961.28	135.47
673	7587160.55	4600958.71	135.27
674	7587159.58	4600975.86	135.08
675	7587161.84	4600980.06	134.40
676	7587166.75	4600967.47	135.36
677	7587167.43	4600968.73	135.33
678	7587160.81	4600978.35	135.30
679	7587185.41	4600962.20	135.10
680	7587184.46	4600960.82	135.08
681	7587183.10	4600957.82	134.95
682	7587182.33	4600956.41	134.93
683	7587180.80	4600953.64	134.98
684	7587198.33	4600927.28	135.95
685	7587191.01	4600928.61	136.01
686	7587191.63	4600931.01	135.83
687	7587194.84	4600939.96	135.37
688	7587201.70	4600937.58	134.74
689	7587203.05	4600940.01	134.94
690	7587203.83	4600941.42	134.96
691	7587205.12	4600944.34	134.96
692	7587205.89	4600945.83	134.97
693	7587207.49	4600948.62	135.10
694	7587208.24	4600950.12	135.10
695	7587208.44	4600951.47	134.85
696	7587209.30	4600952.26	135.12
697	7587187.51	4600966.44	134.47
698	7587210.47	4600954.98	134.60
699	7587104.28	4601010.01	134.44
700	7587049.76	4601009.01	135.65
701	7587043.91	4601035.18	135.13
702	7587002.16	4601035.08	134.78
703	7587003.24	4600989.06	136.37
704	7587010.89	4600997.98	136.01
705	7587015.98	4601006.83	136.01
706	7587017.52	4601008.84	136.00

707	7587006.15	4601013.73	135.77
708	7587007.12	4601015.29	135.65
709	7587040.20	4601002.36	135.89
710	7587033.52	4600997.22	136.31
711	7587032.52	4600995.41	136.38
712	7587024.85	4600984.48	136.52
713	7587028.62	4601015.57	135.57
714	7587032.20	4601018.21	135.26
715	7587042.33	4601032.35	134.95
716	7587041.54	4601030.91	134.96
717	7587039.86	4601028.29	134.93
718	7587039.30	4601026.80	134.91
719	7587039.38	4601024.78	134.49
720	7587038.35	4601024.52	134.78
721	7587047.50	4601041.05	134.27
722	7587046.34	4601037.87	134.53
723	7587044.73	4601036.61	135.10
724	7587045.78	4601038.69	134.76
725	7586998.63	4601089.31	128.51
726	7587077.14	4600985.12	136.49
727	7587053.56	4601012.83	135.45
728	7587068.62	4600986.44	136.27
729	7587078.00	4600998.77	136.03
730	7587094.62	4600993.86	134.61
731	7587095.73	4600993.95	134.63
732	7587103.36	4600986.85	135.73
733	7587094.92	4600994.73	134.60
734	7587096.55	4600996.44	135.00
735	7587097.33	4600997.83	134.98
736	7587099.31	4601000.33	134.94
737	7587100.06	4601001.80	134.91
738	7587101.69	4601004.63	135.09
739	7587102.49	4601006.17	135.11
740	7587102.06	4601008.14	134.95
741	7587103.39	4601008.62	135.07
742	7587102.04	4601027.14	127.12
743	7587088.79	4601048.29	126.86
744	7587082.20	4601036.50	127.51
745	7587060.84	4601067.55	126.90
746	7587054.89	4601055.62	127.03

747	7587008.48	4601096.32	127.13
748	7587002.59	4601091.69	127.29
749	7587114.06	4600996.99	135.27
750	7587113.41	4600995.72	135.31
751	7587114.80	4600984.40	134.74
752	7587121.40	4601016.31	126.79
753	7587127.86	4601028.83	126.81
754	7587149.59	4601017.31	126.80
755	7587142.76	4601007.18	126.79
756	7587141.19	4601004.34	127.62
757	7587111.61	4601041.59	126.87
758	7587162.24	4600995.58	127.48
759	7587177.20	4600992.45	126.74
760	7587180.08	4600998.55	126.61
761	7587169.41	4601004.80	126.65
762	7587310.94	4600866.71	135.58
763	7587311.96	4600868.83	135.69
764	7587251.10	4600925.57	135.07
765	7587233.42	4600901.41	137.05
766	7587238.29	4600914.32	136.41
767	7587233.23	4600907.45	136.46
768	7587231.83	4600905.60	136.44
769	7587214.20	4600914.80	136.20
770	7587215.05	4600916.91	136.15
771	7587219.19	4600925.33	135.92
772	7587249.30	4600892.87	137.06
773	7587252.19	4600896.37	136.22
774	7587253.20	4600898.20	136.21
775	7587241.22	4600918.38	134.90
776	7587245.33	4600915.08	134.83
777	7587250.12	4600911.46	134.68
778	7587246.69	4600917.69	134.93
779	7587247.38	4600919.18	134.94
780	7587248.64	4600921.35	134.92
781	7587249.41	4600922.76	134.94
782	7587257.51	4600903.52	136.80
783	7587258.76	4600917.89	134.95
784	7587257.94	4600916.44	134.96
785	7587257.05	4600914.81	134.98
786	7587256.51	4600913.29	134.97

787	7587229.54	4600929.77	134.96
788	7587251.88	4600927.02	135.06
789	7587254.76	4600931.89	134.58
790	7587252.94	4600927.74	134.91
791	7587252.63	4600929.32	135.13
792	7587287.48	4600898.36	134.87
793	7587290.35	4600888.86	136.07
794	7587286.23	4600881.71	136.08
795	7587285.25	4600879.68	136.02
796	7587281.21	4600897.74	134.59
797	7587281.79	4600907.49	134.92
798	7587271.30	4600902.90	134.69
799	7587272.35	4600904.89	134.73
800	7587274.83	4600905.95	135.02
801	7587275.48	4600907.27	135.01
802	7587276.18	4600908.71	135.01
803	7587280.79	4600900.26	134.70
804	7587288.45	4600902.66	135.04
805	7587287.66	4600900.72	135.03
806	7587287.83	4600901.11	135.03
807	7587288.36	4600902.21	135.02
808	7587290.21	4600904.77	135.05
809	7587291.10	4600906.20	135.09
810	7587291.53	4600907.68	134.96
811	7587292.18	4600911.63	134.59
812	7587301.62	4600896.95	135.05
813	7587300.83	4600895.45	135.04
814	7587296.58	4600893.13	134.68
815	7587300.53	4600894.29	135.03
816	7587317.79	4600876.98	135.56
817	7587318.59	4600880.55	134.31
818	7587319.21	4600885.47	134.52
819	7587318.12	4600888.63	135.06
820	7587318.78	4600890.01	135.06
821	7587319.40	4600891.36	135.05
822	7587334.19	4600855.82	134.93
823	7587335.48	4600857.87	135.08
824	7587338.15	4600862.42	135.38
825	7587341.23	4600863.55	134.08
826	7587344.92	4600867.29	134.68

827	7587374.33	4600839.51	134.01
828	7587375.18	4600841.41	134.07
829	7587363.17	4600860.24	135.29
830	7587362.44	4600855.05	134.15
831	7587362.14	4600852.31	134.54
832	7587360.72	4600847.58	134.59
833	7587359.25	4600845.74	134.47
834	7587376.75	4600849.32	133.85
835	7587372.22	4600867.73	134.39
836	7587371.18	4600865.89	134.63
837	7587370.39	4600864.42	134.96
838	7587369.60	4600862.98	134.93
839	7587368.74	4600861.44	134.55
840	7587372.07	4600866.06	134.75
841	7587404.43	4600834.86	133.38
842	7587391.22	4600829.13	133.99
843	7587389.66	4600827.65	133.99
844	7587397.48	4600829.29	133.48
845	7587396.53	4600827.28	133.44
846	7587398.35	4600818.27	133.99
847	7587399.84	4600819.32	133.97
848	7587399.95	4600840.71	135.02
849	7587399.55	4600837.39	133.87
850	7587391.53	4600830.95	133.84
851	7587380.59	4600851.30	135.13
852	7587388.27	4600849.49	134.45
853	7587388.94	4600850.81	134.52
854	7587389.61	4600852.19	134.91
855	7587390.47	4600853.63	134.95
856	7587391.30	4600854.83	134.48
857	7587392.41	4600857.47	134.31
858	7587410.83	4600821.70	132.06
859	7587411.54	4600823.33	131.99
860	7587409.11	4600835.85	134.61
861	7587414.84	4600842.08	134.59
862	7587414.63	4600840.20	135.02
863	7587413.82	4600838.75	134.99
864	7587413.12	4600837.01	134.45
865	7587416.07	4600841.85	134.78
866	7587420.52	4600830.01	134.64

867	7587422.24	4600820.77	130.39
868	7587422.65	4600818.40	130.52
869	7587419.96	4600825.10	132.22
870	7587423.41	4600831.09	134.54
871	7587424.37	4600832.71	135.00
872	7587425.37	4600834.19	135.07
873	7587426.83	4600835.94	134.32
874	7587416.75	4600844.13	134.49
875	7587328.74	4600884.55	135.07
876	7587328.54	4600884.09	135.07
877	7587326.20	4600878.10	134.49

878	7587327.56	4600882.37	134.94
879	7587332.66	4600890.64	134.39
880	7587331.54	4600887.28	134.40
881	7587329.53	4600885.98	135.05
882	7587329.26	4600885.59	135.07
883	7587330.57	4600887.95	134.77
884	7587336.66	4600875.42	134.78
885	7587342.50	4600877.36	135.08
886	7587343.26	4600878.84	135.08
887	7587341.94	4600876.37	135.10

Изготвил

Никола Тасев дипл.геод.инж

(име, презиме и потпис)

JB,NMIGM Kukuricani,DT01-01-2010,TM01:13:26
MO,AD0,UN1,SF1.00000000,ECO,E00.0,AU0
--Stonex SurvCE Version 2.57
--CRD: Alphanumeric
--User Defined: NEGOTINO
--Equipment: S9 GNSS SN:41701390
--Antenna Type: [STX_S9],RA0.0930m,SHMP0.0590m,L10.0884m,L20.0924m,--
L1/L2 Integrated Antenna
--Localization File: None
--Geoid Separation File: None
--GPS Scale: 1.00000000
--Scale Point not used
--RTK Method: RTCM V3.0, Device: Internal GSM, Network: NTRIP iMAX-Auto
BP,PN0010,LA41.290145646972,LN22.052040985730,EL214.5085,AG0.000,PA
0.088,--
--Entered HR: 2.0000, Vertical
LS,HR2.0884
GPS,PN1,LA41.324579401025,LN22.021678204086,EL186.755424,--AP
--GS,PN1,N 4600771.7384,E 587042.8359,EL141.1124,--AP
G0,04/18/2022 08:56:15,Base ID read at rover: 0010
G1,BP0010,PN1,DX-2671.338,DY-5677.312,DZ5164.139
G2,VX0.01613438,VY0.00863348,VZ0.01606679
G3,XY0.00005108,XZ0.00014931,YZ0.00006055
--GT,PN1,SW2206,ST118575009,EW2206,ET118575009
--HSIG:0.013, VSIG:0.021, STATUS:FIXED, SATS:13, PDOP:1.489,
HDOP:0.780, VDOP:1.269
GPS,PN2,LA41.324573483388,LN22.021667123828,EL186.863340,--AP
--GS,PN2,N 4600769.8819,E 587040.2901,EL141.2203,--AP
G0,04/18/2022 08:56:24,Base ID read at rover: 0010
G1,BP0010,PN2,DX-2669.177,DY-5679.208,DZ5162.844
G2,VX0.01683854,VY0.00898262,VZ0.01673801
G3,XY0.00005587,XZ0.00016327,YZ0.00006598
--GT,PN2,SW2206,ST118584008,EW2206,ET118584008
--HSIG:0.013, VSIG:0.022, STATUS:FIXED, SATS:12, PDOP:1.489,
HDOP:0.780, VDOP:1.268
GPS,PN3,LA41.324559138203,LN22.021642812919,EL186.884697,--AP
--GS,PN3,N 4600765.3886,E 587034.7092,EL141.2418,--AP
G0,04/18/2022 08:56:36,Base ID read at rover: 0010
G1,BP0010,PN3,DX-2664.327,DY-5683.324,DZ5159.546
G2,VX0.01516435,VY0.00807097,VZ0.01507967
G3,XY0.00004437,XZ0.00013165,YZ0.00005284
--GT,PN3,SW2206,ST118596009,EW2206,ET118596009
--HSIG:0.012, VSIG:0.019, STATUS:FIXED, SATS:13, PDOP:1.488,
HDOP:0.781, VDOP:1.267
GPS,PN4,LA41.324548997466,LN22.021628900026,EL186.928050,--OG
--GS,PN4,N 4600762.2215,E 587031.5226,EL141.2852,--OG
G0,04/18/2022 08:56:54,Base ID read at rover: 0010
G1,BP0010,PN4,DX-2661.164,DY-5685.522,DZ5157.233
G2,VX0.01542936,VY0.00819731,VZ0.01528435
G3,XY0.00004643,XZ0.00013678,YZ0.00005477
--GT,PN4,SW2206,ST118614009,EW2206,ET118614009
--HSIG:0.012, VSIG:0.020, STATUS:FIXED, SATS:12, PDOP:1.487,
HDOP:0.781, VDOP:1.266
GPS,PN5,LA41.324583995474,LN22.021590203452,EL186.910307,--OG
--GS,PN5,N 4600772.9100,E 587031.5226,EL141.2674,--OG
G0,04/18/2022 08:57:13,Base ID read at rover: 0010
G1,BP0010,PN5,DX-2664.449,DY-5696.528,DZ5165.303
G2,VX0.01713670,VY0.01043639,VZ0.01655637
G3,XY0.00007186,XZ0.00016991,YZ0.00007430
--GT,PN5,SW2206,ST118633008,EW2206,ET118633008
--HSIG:0.014, VSIG:0.022, STATUS:FIXED, SATS:9, PDOP:1.800,
HDOP:0.936, VDOP:1.538
GPS,PN6,LA41.324591582288,LN22.021606246172,EL186.748307,--AP
--GS,PN6,N 4600775.2952,E 587026.1142,EL141.1054,--AP
G0,04/18/2022 08:57:31,Base ID read at rover: 0010
G1,BP0010,PN6,DX-2667.395,DY-5693.709,DZ5166.947
G2,VX0.01697681,VY0.00945109,VZ0.01710330
G3,XY0.00005722,XZ0.00016998,YZ0.00007120
--GT,PN6,SW2206,ST118651009,EW2206,ET118651009
--HSIG:0.014, VSIG:0.022, STATUS:FIXED, SATS:13, PDOP:1.468,
HDOP:0.780, VDOP:1.243
GPS,PN7,LA41.324606043013,LN22.021630819862,EL186.720578,--AP
--GS,PN7,N 4600779.8249,E 587031.7555,EL141.0776,--AP
G0,04/18/2022 08:57:40,Base ID read at rover: 0010
G1,BP0010,PN7,DX-2672.294,DY-5689.547,DZ5170.268
G2,VX0.01792575,VY0.00966343,VZ0.01712494
G3,XY0.00006136,XZ0.00018042,YZ0.00007560
--GT,PN7,SW2206,ST118660008,EW2206,ET118660008
--HSIG:0.014, VSIG:0.023, STATUS:FIXED, SATS:9, PDOP:1.696,
HDOP:0.935, VDOP:1.414
GPS,PN8,LA41.324612681283,LN22.021642419159,EL186.615831,--AP
--GS,PN8,N 4600781.9051,E 587034.4190,EL140.9728,--AP
G0,04/18/2022 08:57:46,Base ID read at rover: 0010
G1,BP0010,PN8,DX-2674.635,DY-5687.595,DZ5171.731
G2,VX0.01842595,VY0.00866345,VZ0.01561096
G3,XY0.00004568,XZ0.00016172,YZ0.00005913
--GT,PN8,SW2206,ST118666006,EW2206,ET118666006
--HSIG:0.014, VSIG:0.022, STATUS:FIXED, SATS:8, PDOP:2.214,
HDOP:1.281, VDOP:1.805
GPS,PN9,LA41.324672553067,LN22.021575761987,EL186.437802,--AP
--GS,PN9,N 4600800.1889,E 587018.7485,EL140.7949,--AP
G0,04/18/2022 08:58:31,Base ID read at rover: 0010
G1,BP0010,PN9,DX-2680.317,DY-5706.562,DZ5185.437

G2,VX0.03021706,VY0.01254576,VZ0.02464153
G3,XY0.00010213,XZ0.00045130,YZ0.00012813
--GT,PN9,SW2206,ST118711007,EW2206,ET118711007
--HSIG:0.021, VSIG:0.035, STATUS:FIXED, SATS:8, PDOP:3.113,
HDOP:1.487, VDOP:2.734
GPS,PN10,LA41.324686314551,LN22.021568932818,EL186.372107,--AP
--GS,PN10,N 4600804.4151,E 587017.1147,EL140.7292,--AP
G0,04/18/2022 08:58:50,Base ID read at rover: 0010
G1,BP0010,PN10,DX-2682.379,DY-5709.104,DZ5188.571
G2,VX0.02947385,VY0.01365361,VZ0.02671602
G3,XY0.00006688,XZ0.00050877,YZ0.00009682
--GT,PN10,SW2206,ST118730008,EW2206,ET118730008
--HSIG:0.022, VSIG:0.036, STATUS:FIXED, SATS:12, PDOP:1.498,
HDOP:0.825, VDOP:1.250
GPS,PN11,LA41.324696649990,LN22.021567493088,EL186.332199,--AP
--GS,PN11,N 4600807.5995,E 587016.7426,EL140.6892,--AP
G0,04/18/2022 08:58:57,Base ID read at rover: 0010
G1,BP0010,PN11,DX-2684.242,DY-5710.218,DZ5190.931
G2,VX0.03569747,VY0.01313588,VZ0.02610786
G3,XY0.00005854,XZ0.00051150,YZ0.00011900
--GT,PN11,SW2206,ST118737008,EW2206,ET118737008
--HSIG:0.026, VSIG:0.038, STATUS:FIXED, SATS:11, PDOP:3.674,
HDOP:2.099, VDOP:3.015
GPS,PN12,LA41.324686821415,LN22.021543672085,EL186.478389,--AP
--GS,PN12,N 4600804.5009,E 587011.2586,EL140.8355,--AP
G0,04/18/2022 08:59:07,Base ID read at rover: 0010
G1,BP0010,PN12,DX-2680.205,DY-5714.540,DZ5188.759
G2,VX0.03095064,VY0.01267816,VZ0.02413659
G3,XY0.00001457,XZ0.00047319,YZ0.00006190
--GT,PN12,SW2206,ST118747008,EW2206,ET118747008
--HSIG:0.023, VSIG:0.035, STATUS:FIXED, SATS:9, PDOP:2.078,
HDOP:1.171, VDOP:1.717
GPS,PN13,LA41.324675754541,LN22.021515660645,EL186.522168,--AP
--GS,PN13,N 4600801.0087,E 587004.8080,EL140.8793,--AP
G0,04/18/2022 08:59:20,Base ID read at rover: 0010
G1,BP0010,PN13,DX-2675.639,DY-5719.696,DZ5186.233
G2,VX0.02040000,VY0.01058701,VZ0.02055846
G3,XY0.00007025,XZ0.00024578,YZ0.00009075
--GT,PN13,SW2206,ST118760008,EW2206,ET118760008
--HSIG:0.016, VSIG:0.026, STATUS:FIXED, SATS:13, PDOP:1.477,
HDOP:0.783, VDOP:1.253
GPS,PN14,LA41.324669922077,LN22.021496698409,EL186.385862,--OG
--GS,PN14,N 4600799.1565,E 587000.4351,EL140.7431,--OG
G0,04/18/2022 08:59:41,Base ID read at rover: 0010
G1,BP0010,PN14,DX-2672.978,DY-5723.361,DZ5184.795
G2,VX0.01955355,VY0.01108691,VZ0.01906440
G3,XY0.00009339,XZ0.00023006,YZ0.00010011
--GT,PN14,SW2206,ST118781007,EW2206,ET118781007
--HSIG:0.015, VSIG:0.025, STATUS:FIXED, SATS:10, PDOP:1.805,
HDOP:0.947, VDOP:1.536
GPS,PN15,LA41.324719779839,LN22.021441935066,EL186.040082,--OG
--GS,PN15,N 4600814.3843,E 586987.5584,EL140.3974,--OG
G0,04/18/2022 09:00:06,Base ID read at rover: 0010
G1,BP0010,PN15,DX-2677.912,DY-5739.051,DZ5196.078
G2,VX0.01992705,VY0.01028298,VZ0.01921138
G3,XY0.00008013,XZ0.00023063,YZ0.00008835
--GT,PN15,SW2206,ST118806008,EW2206,ET118806008
--HSIG:0.015, VSIG:0.025, STATUS:FIXED, SATS:10, PDOP:1.686,
HDOP:0.861, VDOP:1.450
GPS,PN16,LA41.324729467597,LN22.021456584584,EL186.397878,--AP
--GS,PN16,N 4600817.4138,E 586990.9174,EL140.7551,--AP
G0,04/18/2022 09:00:21,Base ID read at rover: 0010
G1,BP0010,PN16,DX-2680.776,DY-5736.547,DZ5198.553
G2,VX0.01882739,VY0.00943081,VZ0.01840646
G3,XY0.00005796,XZ0.00020558,YZ0.00007279
--GT,PN16,SW2206,ST118821009,EW2206,ET118821009
--HSIG:0.015, VSIG:0.024, STATUS:FIXED, SATS:13, PDOP:1.694,
HDOP:0.859, VDOP:1.460
GPS,PN17,LA41.324743102867,LN22.021481817233,EL186.412324,--AP
--GS,PN17,N 4600821.6906,E 586996.7145,EL140.7695,--AP
G0,04/18/2022 09:00:33,Base ID read at rover: 0010
G1,BP0010,PN17,DX-2685.546,DY-5732.169,DZ5201.711
G2,VX0.01843161,VY0.00908200,VZ0.01787889
G3,XY0.00005349,XZ0.00019604,YZ0.00006765
--GT,PN17,SW2206,ST118833009,EW2206,ET118833009
--HSIG:0.014, VSIG:0.023, STATUS:FIXED, SATS:13, PDOP:1.694,
HDOP:0.860, VDOP:1.460
GPS,PN18,LA41.324746013874,LN22.021486369908,EL186.424785,--IV
--GS,PN18,N 4600822.6013,E 586997.7588,EL140.7819,--IV
G0,04/18/2022 09:00:49,Base ID read at rover: 0010
G1,BP0010,PN18,DX-2686.486,DY-5731.411,DZ5202.391
G2,VX0.01778452,VY0.00863740,VZ0.01706465
G3,XY0.00004867,XZ0.00018135,YZ0.00006124
--GT,PN18,SW2206,ST118849008,EW2206,ET118849008
--HSIG:0.014, VSIG:0.022, STATUS:FIXED, SATS:13, PDOP:1.694,
HDOP:0.860, VDOP:1.459
GPS,PN19,LA41.324744874540,LN22.021485119697,EL186.423610,--IV
--GS,PN19,N 4600822.2464,E 586997.4733,EL140.7808,--IV
G0,04/18/2022 09:00:56,Base ID read at rover: 0010
G1,BP0010,PN19,DX-2686.162,DY-5731.592,DZ5202.127
G2,VX0.01652765,VY0.00846050,VZ0.01650142
G3,XY0.00004499,XZ0.00016064,YZ0.00005791
--GT,PN19,SW2206,ST118856009,EW2206,ET118856009

--HSIG:0.013, VSIG:0.021, STATUS:FIXED, SATS:14, PDOP:1.447, HDOP:0.768, VDOP:1.226
GPS,PN20,LA41.324723555243,LN22.021507995024,EL186.503244,--IV
--GS,PN20,N 4600815.7334,E 587002.8539,EL140.8604,--IV
G0,04/18/2022 09:01:12,Base ID read at rover: 0010
G1,BP0010,PN20,DX-2684.052,DY-5725.018,DZ5197.257
G2,VX0.01653199,VY0.00840600,VZ0.01649140
G3,XY0.00004336,XZ0.00015982,YZ0.00005694
--GT,PN20,SW2206,ST118872009,EW2206,ET118872009
--HSIG:0.013, VSIG:0.021, STATUS:FIXED, SATS:14, PDOP:1.694, HDOP:0.860, VDOP:1.459
GPS,PN21,LA41.324737381506,LN22.021532623136,EL186.426739,--IV
--GS,PN21,N 4600820.0674,E 587008.5101,EL140.7838,--IV
G0,04/18/2022 09:01:27,Base ID read at rover: 0010
G1,BP0010,PN21,DX-2688.869,DY-5720.810,DZ5200.399
G2,VX0.01704506,VY0.00830360,VZ0.01640306
G3,XY0.00004473,XZ0.00016697,YZ0.00005650
--GT,PN21,SW2206,ST118887009,EW2206,ET118887009
--HSIG:0.013, VSIG:0.021, STATUS:FIXED, SATS:13, PDOP:1.711, HDOP:0.891, VDOP:1.461
GPS,PN22,LA41.324738679231,LN22.021532509006,EL186.421537,--IV
--GS,PN22,N 4600820.4674,E 587008.4788,EL140.7786,--IV
G0,04/18/2022 09:01:32,Base ID read at rover: 0010
G1,BP0010,PN22,DX-2689.109,DY-5720.936,DZ5200.695
G2,VX0.01705520,VY0.00831303,VZ0.01643000
G3,XY0.00004491,XZ0.00016746,YZ0.00005671
--GT,PN22,SW2206,ST118892009,EW2206,ET118892009
--HSIG:0.013, VSIG:0.021, STATUS:FIXED, SATS:13, PDOP:1.694, HDOP:0.861, VDOP:1.459
GPS,PN23,LA41.324740476810,LN22.021511476436,EL186.446195,--IV
--GS,PN23,N 4600820.9633,E 587003.5978,EL140.8033,--IV
G0,04/18/2022 09:01:41,Base ID read at rover: 0010
G1,BP0010,PN23,DX-2687.604,DY-5725.586,DZ5201.127
G2,VX0.01694491,VY0.00819012,VZ0.01621754
G3,XY0.00004353,XZ0.00016494,YZ0.00005527
--GT,PN23,SW2206,ST118901008,EW2206,ET118901008
--HSIG:0.013, VSIG:0.021, STATUS:FIXED, SATS:12, PDOP:1.799, HDOP:0.899, VDOP:1.558
GPS,PN24,LA41.324758184085,LN22.021510099722,EL186.198577,--AP
--GS,PN24,N 4600826.4219,E 587003.2130,EL140.5557,--AP
G0,04/18/2022 09:02:08,Base ID read at rover: 0010
G1,BP0010,PN24,DX-2691.014,DY-5727.311,DZ5205.051
G2,VX0.01564515,VY0.00790011,VZ0.01545797
G3,XY0.00003944,XZ0.00014426,YZ0.00005085
--GT,PN24,SW2206,ST118928009,EW2206,ET118928009
--HSIG:0.012, VSIG:0.020, STATUS:FIXED, SATS:14, PDOP:1.441, HDOP:0.770, VDOP:1.219
GPS,PN25,LA41.324765970607,LN22.021485006020,EL186.161573,--AP
--GS,PN25,N 4600828.7540,E 586997.3685,EL140.5187,--AP
G0,04/18/2022 09:02:16,Base ID read at rover: 0010
G1,BP0010,PN25,DX-2690.335,DY-5733.310,DZ5206.825
G2,VX0.01564101,VY0.00790990,VZ0.01545341
G3,XY0.00003972,XZ0.00014453,YZ0.00005114
--GT,PN25,SW2206,ST118936008,EW2206,ET118936008
--HSIG:0.012, VSIG:0.020, STATUS:FIXED, SATS:13, PDOP:1.557, HDOP:0.817, VDOP:1.325
GPS,PN26,LA41.324778203378,LN22.021463907295,EL186.243895,--AP
--GS,PN26,N 4600832.4688,E 586992.4334,EL140.6011,--AP
G0,04/18/2022 09:02:26,Base ID read at rover: 0010
G1,BP0010,PN26,DX-2690.763,DY-5738.759,DZ5209.704
G2,VX0.01623057,VY0.00804330,VZ0.01564171
G3,XY0.00004533,XZ0.00015373,YZ0.00005417
--GT,PN26,SW2206,ST118946008,EW2206,ET118946008
--HSIG:0.012, VSIG:0.020, STATUS:FIXED, SATS:12, PDOP:1.748, HDOP:0.889, VDOP:1.506
GPS,PN27,LA41.324801936220,LN22.021434195729,EL186.174077,--AP
--GS,PN27,N 4600839.7072,E 586985.4596,EL140.5313,--AP
G0,04/18/2022 09:02:37,Base ID read at rover: 0010
G1,BP0010,PN27,DX-2692.729,DY-5746.984,DZ5215.137
G2,VX0.01558483,VY0.00785410,VZ0.01541257
G3,XY0.00003983,XZ0.00014430,YZ0.00005073
--GT,PN27,SW2206,ST118957008,EW2206,ET118957008
--HSIG:0.012, VSIG:0.020, STATUS:FIXED, SATS:14, PDOP:1.439, HDOP:0.771, VDOP:1.215
GPS,PN28,LA41.324797237915,LN22.021425185110,EL186.307750,--AP
--GS,PN28,N 4600838.2327,E 586983.3888,EL140.6650,--AP
G0,04/18/2022 09:02:43,Base ID read at rover: 0010
G1,BP0010,PN28,DX-2690.962,DY-5748.521,DZ5214.141
G2,VX0.01552364,VY0.00781817,VZ0.01533026
G3,XY0.00003947,XZ0.00014304,YZ0.00005014
--GT,PN28,SW2206,ST118963008,EW2206,ET118963008
--HSIG:0.012, VSIG:0.020, STATUS:FIXED, SATS:14, PDOP:1.439, HDOP:0.771, VDOP:1.215
GPS,PN29,LA41.324784093492,LN22.021398704309,EL186.322386,--AP
--GS,PN29,N 4600834.1039,E 586977.3007,EL140.6797,--AP
G0,04/18/2022 09:02:54,Base ID read at rover: 0010
G1,BP0010,PN29,DX-2686.155,DY-5753.197,DZ5211.116
G2,VX0.01552111,VY0.00780824,VZ0.01528643
G3,XY0.00003945,XZ0.00014286,YZ0.00004987
--GT,PN29,SW2206,ST118974009,EW2206,ET118974009
--HSIG:0.012, VSIG:0.020, STATUS:FIXED, SATS:14, PDOP:1.438, HDOP:0.771, VDOP:1.214
GPS,PN30,LA41.324775948743,LN22.021380937841,EL185.938692,--OG

--GS,PN30,N 4600831.5417,E 586973.2135,EL140.2960,--OG
G0,04/18/2022 09:03:09,Base ID read at rover: 0010
G1,BP0010,PN30,DX-2683.332,DY-5756.497,DZ5208.981
G2,VX0.01535705,VY0.00774325,VZ0.01509832
G3,XY0.00003904,XZ0.00014006,YZ0.00004914
--GT,PN30,SW2206,ST118989008,EW2206,ET118989008
--HSIG:0.012, VSIG:0.020, STATUS:FIXED, SATS:13, PDOP:1.557, HDOP:0.819, VDOP:1.323
GPS,PN31,LA41.324852987794,LN22.021298107219,EL185.033200,--OG
--GS,PN31,N 4600855.0764,E 586953.7314,EL139.3906,--OG
G0,04/18/2022 09:03:44,Base ID read at rover: 0010
G1,BP0010,PN31,DX-2691.369,DY-5780.461,DZ5226.169
G2,VX0.01543264,VY0.00780957,VZ0.01512592
G3,XY0.00004033,XZ0.00014112,YZ0.00004931
--GT,PN31,SW2206,ST119024009,EW2206,ET119024009
--HSIG:0.012, VSIG:0.020, STATUS:FIXED, SATS:14, PDOP:1.434, HDOP:0.772, VDOP:1.208
GPS,PN32,LA41.324863366816,LN22.021312039919,EL186.147618,--AP
--GS,PN32,N 4600858.3172,E 586956.9217,EL140.5050,--AP
G0,04/18/2022 09:04:02,Base ID read at rover: 0010
G1,BP0010,PN32,DX-2693.776,DY-5777.952,DZ5229.304
G2,VX0.01593396,VY0.00798989,VZ0.01551577
G3,XY0.00004236,XZ0.00015032,YZ0.00005181
--GT,PN32,SW2206,ST119042009,EW2206,ET119042009
--HSIG:0.012, VSIG:0.020, STATUS:FIXED, SATS:14, PDOP:1.432, HDOP:0.772, VDOP:1.206
GPS,PN33,LA41.324878539164,LN22.021335228042,EL186.140236,--AP
--GS,PN33,N 4600863.0624,E 586962.2392,EL140.4975,--AP
G0,04/18/2022 09:04:12,Base ID read at rover: 0010
G1,BP0010,PN33,DX-2698.675,DY-5774.137,DZ5232.803
G2,VX0.01508756,VY0.00757249,VZ0.01470095
G3,XY0.00003637,XZ0.00013164,YZ0.00004466
--GT,PN33,SW2206,ST119052009,EW2206,ET119052009
--HSIG:0.012, VSIG:0.019, STATUS:FIXED, SATS:14, PDOP:1.441, HDOP:0.787, VDOP:1.207
GPS,PN34,LA41.324883974693,LN22.021344535540,EL185.993181,--AP
--GS,PN34,N 4600864.7652,E 586964.3761,EL140.3504,--AP
G0,04/18/2022 09:04:19,Base ID read at rover: 0010
G1,BP0010,PN34,DX-2700.618,DY-5772.596,DZ5233.960
G2,VX0.01511479,VY0.00758205,VZ0.01472008
G3,XY0.00003671,XZ0.00013250,YZ0.00004498
--GT,PN34,SW2206,ST119059008,EW2206,ET119059008
--HSIG:0.012, VSIG:0.019, STATUS:FIXED, SATS:14, PDOP:1.431, HDOP:0.773, VDOP:1.204
GPS,PN35,LA41.324965497202,LN22.021255863301,EL185.652175,--AP
--GS,PN35,N 4600889.6667,E 586943.5236,EL140.0095,--AP
G0,04/18/2022 09:04:47,Base ID read at rover: 0010
G1,BP0010,PN35,DX-2708.606,DY-5798.001,DZ5252.558
G2,VX0.01522442,VY0.00763638,VZ0.01484200
G3,XY0.00003801,XZ0.00013621,YZ0.00004675
--GT,PN35,SW2206,ST119087008,EW2206,ET119087008
--HSIG:0.012, VSIG:0.019, STATUS:FIXED, SATS:14, PDOP:1.813, HDOP:0.904, VDOP:1.572
GPS,PN36,LA41.324960867772,LN22.021247242934,EL185.874634,--AP
--GS,PN36,N 4600888.2145,E 586941.5430,EL140.2320,--AP
G0,04/18/2022 09:04:54,Base ID read at rover: 0010
G1,BP0010,PN36,DX-2706.824,DY-5799.435,DZ5251.636
G2,VX0.01523875,VY0.00762946,VZ0.01484656
G3,XY0.00003801,XZ0.00013656,YZ0.00004669
--GT,PN36,SW2206,ST119094008,EW2206,ET119094008
--HSIG:0.012, VSIG:0.019, STATUS:FIXED, SATS:13, PDOP:1.428, HDOP:0.774, VDOP:1.200
GPS,PN37,LA41.324947199447,LN22.021220922036,EL185.864920,--AP
--GS,PN37,N 4600883.9246,E 586935.4939,EL140.2224,--AP
G0,04/18/2022 09:05:13,Base ID read at rover: 0010
G1,BP0010,PN37,DX-2701.949,DY-5804.043,DZ5248.474
G2,VX0.01539510,VY0.00771753,VZ0.01493036
G3,XY0.00003999,XZ0.00014016,YZ0.00004837
--GT,PN37,SW2206,ST119113007,EW2206,ET119113007
--HSIG:0.012, VSIG:0.019, STATUS:FIXED, SATS:12, PDOP:1.555, HDOP:0.825, VDOP:1.318
GPS,PN38,LA41.324934453873,LN22.021211864877,EL184.810575,--OG
--GS,PN38,N 4600879.9674,E 586933.4422,EL139.1680,--OG
G0,04/18/2022 09:05:34,Base ID read at rover: 0010
G1,BP0010,PN38,DX-2699.475,DY-5805.306,DZ5244.832
G2,VX0.01738199,VY0.00896645,VZ0.01582819
G3,XY0.00007259,XZ0.00017674,YZ0.00006883
--GT,PN38,SW2206,ST119134008,EW2206,ET119134008
--HSIG:0.012, VSIG:0.022, STATUS:FIXED, SATS:9, PDOP:3.676, HDOP:1.410, VDOP:3.395
GPS,PN39,LA41.324999414015,LN22.021114898691,EL184.181511,--OG
--GS,PN39,N 4600899.7366,E 586910.7292,EL138.5391,--OG
G0,04/18/2022 09:06:37,Base ID read at rover: 0010
G1,BP0010,PN39,DX-2703.801,DY-5831.302,DZ5259.414
G2,VX0.01586748,VY0.00785591,VZ0.01520770
G3,XY0.00004650,XZ0.00014830,YZ0.00005113
--GT,PN39,SW2206,ST119197008,EW2206,ET119197008
--HSIG:0.012, VSIG:0.020, STATUS:FIXED, SATS:13, PDOP:1.603, HDOP:0.845, VDOP:1.362
GPS,PN40,LA41.325007578911,LN22.021137875827,EL185.468055,--AP
--GS,PN40,N 4600902.3195,E 586916.0238,EL139.8256,--AP
G0,04/18/2022 09:07:09,Base ID read at rover: 0010
G1,BP0010,PN40,DX-2706.455,DY-5826.632,DZ5262.152

G2,VX0.01748409,VY0.00809147,VZ0.01592239
G3,XY0.00004932,XZ0.00016923,YZ0.00005250
--GT,PN40,SW2206,ST119229009,EW2206,ET119229009
--HSIG:0.013, VSI:0.021, STATUS:FIXED, SATS:13, PDOP:1.682,
HDOP:0.867, VDOP:1.441
GPS,PN41,LA41.325012632552,LN22.0221148244397,EL185.615597,--AP
--GS,PN41,N 4600903.9074,E 586918.4080,EL139.9731,--AP
G0,04/18/2022 09:07:17,Base ID read at rover: 0010
G1,BP0010,PN41,DX-2708.213,DY-5824.751,DZ5263.417
G2,VX0.01763449,VY0.00820873,VZ0.01598115
G3,XY0.00005249,XZ0.00017243,YZ0.00005438
--GT,PN41,SW2206,ST119237009,EW2206,ET119237009
--HSIG:0.013, VSI:0.022, STATUS:FIXED, SATS:13, PDOP:1.681,
HDOP:0.867, VDOP:1.440
GPS,PN42,LA41.325034838077,LN22.021165021644,EL185.647529,--AP
--GS,PN42,N 4600910.8044,E 586922.2137,EL140.0050,--AP
G0,04/18/2022 09:07:29,Base ID read at rover: 0010
G1,BP0010,PN42,DX-2713.862,DY-5822.842,DZ5268.566
G2,VX0.01756063,VY0.00814320,VZ0.01595417
G3,XY0.00005083,XZ0.00017106,YZ0.00005336
--GT,PN42,SW2206,ST119249009,EW2206,ET119249009
--HSIG:0.013, VSI:0.022, STATUS:FIXED, SATS:13, PDOP:1.681,
HDOP:0.868, VDOP:1.439
GPS,PN43,LA41.325125296634,LN22.021082385911,EL185.043704,--
--GS,PN43,N 4600938.4796,E 586902.7272,EL139.4012,--
G0,04/18/2022 09:08:16,Base ID read at rover: 0010
G1,BP0010,PN43,DX-2724.252,DY-5847.710,DZ5289.052
G2,VX0.01685312,VY0.00774390,VZ0.01547271
G3,XY0.00004455,XZ0.00016389,YZ0.00004935
--GT,PN43,SW2206,ST119296009,EW2206,ET119296009
--HSIG:0.012, VSI:0.021, STATUS:FIXED, SATS:13, PDOP:1.750,
HDOP:0.907, VDOP:1.497
GPS,PN44,LA41.325119134207,LN22.021073387928,EL185.418886,--AP
--GS,PN44,N 4600936.5535,E 586900.6648,EL139.7764,--AP
G0,04/18/2022 09:08:31,Base ID read at rover: 0010
G1,BP0010,PN44,DX-2722.041,DY-5849.065,DZ5287.878
G2,VX0.01693607,VY0.00779714,VZ0.01549850
G3,XY0.00004606,XZ0.00016586,YZ0.00005034
--GT,PN44,SW2206,ST119311009,EW2206,ET119311009
--HSIG:0.012, VSI:0.021, STATUS:FIXED, SATS:13, PDOP:1.751,
HDOP:0.907, VDOP:1.498
GPS,PN45,LA41.325103574639,LN22.021050488017,EL185.385256,--AP
--GS,PN45,N 4600931.6896,E 586895.4156,EL139.7429,--AP
G0,04/18/2022 09:08:41,Base ID read at rover: 0010
G1,BP0010,PN45,DX-2717.121,DY-5852.799,DZ5284.263
G2,VX0.01670800,VY0.00764397,VZ0.01508109
G3,XY0.00004183,XZ0.00015702,YZ0.00004547
--GT,PN45,SW2206,ST119321009,EW2206,ET119321009
--HSIG:0.012, VSI:0.020, STATUS:FIXED, SATS:14, PDOP:1.752,
HDOP:0.907, VDOP:1.498
GPS,PN46,LA41.325097617641,LN22.021041740728,EL185.218761,--AP
--GS,PN46,N 4600929.8276,E 586893.4105,EL139.5764,--AP
G0,04/18/2022 09:08:48,Base ID read at rover: 0010
G1,BP0010,PN46,DX-2715.346,DY-5854.268,DZ5282.777
G2,VX0.01668756,VY0.00762987,VZ0.01505191
G3,XY0.00004147,XZ0.00015657,YZ0.00004519
--GT,PN46,SW2206,ST119328009,EW2206,ET119328009
--HSIG:0.012, VSI:0.020, STATUS:FIXED, SATS:14, PDOP:1.506,
HDOP:0.796, VDOP:1.278
GPS,PN47,LA41.325080308188,LN22.021037674120,EL184.075572,--
--GS,PN47,N 4600924.4764,E 586892.5323,EL138.4332,--
G0,04/18/2022 09:09:09,Base ID read at rover: 0010
G1,BP0010,PN47,DX-2712.502,DY-5854.134,DZ5278.022
G2,VX0.02030148,VY0.00950236,VZ0.01799798
G3,XY0.00008348,XZ0.00023979,YZ0.00007963
--GT,PN47,SW2206,ST119349008,EW2206,ET119349008
--HSIG:0.014, VSI:0.025, STATUS:FIXED, SATS:11, PDOP:2.002,
HDOP:1.009, VDOP:1.729
GPS,PN48,LA41.325076001032,LN22.021029426721,EL184.568507,--OG
--GS,PN48,N 4600923.1247,E 586890.6370,EL138.9262,--OG
G0,04/18/2022 09:09:23,Base ID read at rover: 0010
G1,BP0010,PN48,DX-2710.626,DY-5855.436,DZ5277.354
G2,VX0.01689301,VY0.00773937,VZ0.01504500
G3,XY0.00004546,XZ0.00015883,YZ0.00004730
--GT,PN48,SW2206,ST119363010,EW2206,ET119363010
--HSIG:0.012, VSI:0.021, STATUS:FIXED, SATS:12, PDOP:1.812,
HDOP:0.889, VDOP:1.578
GPS,PN49,LA41.325144173484,LN22.020955638383,EL184.489183,--OG
--GS,PN49,N 4600943.9496,E 586873.2837,EL138.8469,--OG
G0,04/18/2022 09:10:06,Base ID read at rover: 0010
G1,BP0010,PN49,DX-2717.196,DY-5876.545,DZ5293.043
G2,VX0.01680082,VY0.00775433,VZ0.01509290
G3,XY0.00004710,XZ0.00015920,YZ0.00004731
--GT,PN49,SW2206,ST119406009,EW2206,ET119406009
--HSIG:0.012, VSI:0.021, STATUS:FIXED, SATS:12, PDOP:1.783,
HDOP:0.919, VDOP:1.528
GPS,PN50,LA41.325149325784,LN22.020962613181,EL183.905559,--
--GS,PN50,N 4600945.5585,E 586874.8810,EL138.2633,--
G0,04/18/2022 09:10:26,Base ID read at rover: 0010
G1,BP0010,PN50,DX-2719.184,DY-5875.606,DZ5293.845
G2,VX0.01651813,VY0.00761014,VZ0.01488976
G3,XY0.00004306,XZ0.00015409,YZ0.00004485
--GT,PN50,SW2206,ST119426009,EW2206,ET119426009
--HSIG:0.012, VSI:0.020, STATUS:FIXED, SATS:14, PDOP:1.514,
HDOP:0.795, VDOP:1.288
GPS,PN51,LA41.325158773083,LN22.020974308038,EL185.001534,--AP
--GS,PN51,N 4600948.5055,E 586877.5562,EL139.3592,--AP
G0,04/18/2022 09:10:49,Base ID read at rover: 0010
G1,BP0010,PN51,DX-2721.233,DY-5873.511,DZ5296.754
G2,VX0.01657542,VY0.00760706,VZ0.01486870
G3,XY0.00004297,XZ0.00015470,YZ0.00004466
--GT,PN51,SW2206,ST119449009,EW2206,ET119449009
--HSIG:0.012, VSI:0.020, STATUS:FIXED, SATS:14, PDOP:1.515,
HDOP:0.795, VDOP:1.290
GPS,PN52,LA41.325165021579,LN22.020983226258,EL185.175691,--AP
--GS,PN52,N 4600950.4579,E 586879.5998,EL139.5333,--AP
G0,04/18/2022 09:10:56,Base ID read at rover: 0010
G1,BP0010,PN52,DX-2723.073,DY-5872.026,DZ5298.312
G2,VX0.01659631,VY0.00760950,VZ0.01486853
G3,XY0.00004295,XZ0.00015507,YZ0.00004463
--GT,PN52,SW2206,ST119456010,EW2206,ET119456010
--HSIG:0.012, VSI:0.020, STATUS:FIXED, SATS:14, PDOP:1.516,
HDOP:0.795, VDOP:1.291
GPS,PN53,LA41.325181615866,LN22.021005708321,EL185.237711,--AP
--GS,PN53,N 4600955.6398,E 586884.7484,EL139.5953,--AP
G0,04/18/2022 09:11:07,Base ID read at rover: 0010
G1,BP0010,PN53,DX-2728.132,DY-5868.453,DZ5302.185
G2,VX0.01662152,VY0.00760668,VZ0.01486189
G3,XY0.00004282,XZ0.00015548,YZ0.00004450
--GT,PN53,SW2206,ST119467009,EW2206,ET119467009
--HSIG:0.012, VSI:0.020, STATUS:FIXED, SATS:14, PDOP:1.517,
HDOP:0.795, VDOP:1.292
GPS,PN54,LA41.325243882134,LN22.020938788853,EL185.050286,--AP
--GS,PN54,N 4600974.6618,E 586869.0090,EL139.4079,--AP
G0,04/18/2022 09:11:30,Base ID read at rover: 0010
G1,BP0010,PN54,DX-2734.254,DY-5887.662,DZ5316.438
G2,VX0.01629017,VY0.00756345,VZ0.01475427
G3,XY0.00004214,XZ0.00014925,YZ0.00004369
--GT,PN54,SW2206,ST119490010,EW2206,ET119490010
--HSIG:0.012, VSI:0.020, STATUS:FIXED, SATS:14, PDOP:1.519,
HDOP:0.795, VDOP:1.294
GPS,PN55,LA41.325230537977,LN22.020913666542,EL185.045031,--AP
--GS,PN55,N 4600970.4753,E 586863.2365,EL139.4028,--AP
G0,04/18/2022 09:11:40,Base ID read at rover: 0010
G1,BP0010,PN55,DX-2729.542,DY-5892.037,DZ5313.353
G2,VX0.01635209,VY0.00755978,VZ0.01476369
G3,XY0.00004197,XZ0.00015034,YZ0.00004361
--GT,PN55,SW2206,ST119500010,EW2206,ET119500010
--HSIG:0.012, VSI:0.020, STATUS:FIXED, SATS:14, PDOP:1.520,
HDOP:0.795, VDOP:1.295
GPS,PN56,LA41.325226964161,LN22.020902123974,EL184.898058,--AP
--GS,PN56,N 4600969.3406,E 586860.5748,EL139.2558,--AP
G0,04/18/2022 09:11:46,Base ID read at rover: 0010
G1,BP0010,PN56,DX-2727.962,DY-5894.283,DZ5312.430
G2,VX0.01646616,VY0.00753059,VZ0.01485638
G3,XY0.00004256,XZ0.00015296,YZ0.00004384
--GT,PN56,SW2206,ST119506008,EW2206,ET119506008
--HSIG:0.012, VSI:0.020, STATUS:FIXED, SATS:11, PDOP:1.760,
HDOP:0.910, VDOP:1.506
GPS,PN57,LA41.325290872858,LN22.020847443727,EL184.821913,--AP
--GS,PN57,N 4600988.9035,E 586847.6658,EL139.1797,--AP
G0,04/18/2022 09:12:09,Base ID read at rover: 0010
G1,BP0010,PN57,DX-2735.382,DY-5910.959,DZ5327.136
G2,VX0.01655494,VY0.00767715,VZ0.01491741
G3,XY0.00004557,XZ0.00015677,YZ0.00004621
--GT,PN57,SW2206,ST119529009,EW2206,ET119529009
--HSIG:0.012, VSI:0.020, STATUS:FIXED, SATS:13, PDOP:1.693,
HDOP:0.898, VDOP:1.435
GPS,PN58,LA41.325305157584,LN22.020778760496,EL183.967902,--OG
--GS,PN58,N 4600993.1188,E 586831.6957,EL138.3258,--OG
G0,04/18/2022 09:12:50,Base ID read at rover: 0010
G1,BP0010,PN58,DX-2732.712,DY-5927.051,DZ5329.868
G2,VX0.01649557,VY0.00762732,VZ0.01473680
G3,XY0.00004455,XZ0.00015367,YZ0.00004457
--GT,PN58,SW2206,ST119570009,EW2206,ET119570009
--HSIG:0.012, VSI:0.020, STATUS:FIXED, SATS:14, PDOP:1.524,
HDOP:0.794, VDOP:1.301
GPS,PN59,LA41.325314069317,LN22.020799293448,EL183.210039,--
--GS,PN59,N 4600995.9252,E 586836.4211,EL137.5679,--
G0,04/18/2022 09:13:06,Base ID read at rover: 0010
G1,BP0010,PN59,DX-2736.713,DY-5923.537,DZ5331.423
G2,VX0.01658076,VY0.00757903,VZ0.01475370
G3,XY0.00004302,XZ0.00015562,YZ0.00004435
--GT,PN59,SW2206,ST119586009,EW2206,ET119586009
--HSIG:0.012, VSI:0.020, STATUS:FIXED, SATS:14, PDOP:1.553,
HDOP:0.835, VDOP:1.310
GPS,PN60,LA41.325324612580,LN22.020811604705,EL184.798256,--AP
--GS,PN60,N 4600999.2120,E 586839.2351,EL139.1561,--AP
G0,04/18/2022 09:13:26,Base ID read at rover: 0010
G1,BP0010,PN60,DX-2738.682,DY-5921.255,DZ5334.911
G2,VX0.01677520,VY0.00759562,VZ0.01480326
G3,XY0.00004229,XZ0.00015905,YZ0.00004357
--GT,PN60,SW2206,ST119606010,EW2206,ET119606010
--HSIG:0.012, VSI:0.020, STATUS:FIXED, SATS:14, PDOP:1.527,
HDOP:0.794, VDOP:1.304
GPS,PN61,LA41.325339977592,LN22.020833864538,EL184.810452,--AP

--GS,PN61,N 4601004.0140,E 586844.3367,EL139.1682,--AP
G0,04/18/2022 09:13:36,Base ID read at rovr: 0010
G1,BP0010,PN61,DX-2743.523,DY-5917.649,DZ5338.467
G2,VX0.01683323,VY0.00761280,VZ0.01481278
G3,XY0.00004181,XZ0.00016001,YZ0.00004314
--GT,PN61,SW2206,ST119616009,EW2206,ET119616009
--HSIG:0.012, VSIG:0.020, STATUS:FIXED, SATS:13, PDOP:1.555,
HDOP:0.834, VDOP:1.313
GPS,PN62,LA41.325416800413,LN22.020751439002,EL184.594309,--AP
--GS,PN62,N 4601027.4835,E 586824.9501,EL138.9521,--AP
G0,04/18/2022 09:14:22,Base ID read at rovr: 0010
G1,BP0010,PN62,DX-2751.078,DY-5941.316,DZ5356.061
G2,VX0.01671703,VY0.00749663,VZ0.01468962
G3,XY0.00004246,XZ0.00015651,YZ0.00004311
--GT,PN62,SW2206,ST119662009,EW2206,ET119662009
--HSIG:0.012, VSIG:0.020, STATUS:FIXED, SATS:14, PDOP:1.530,
HDOP:0.794, VDOP:1.308
GPS,PN63,LA41.325404020928,LN22.020726183744,EL184.585413,--AP
--GS,PN63,N 4601023.4708,E 586819.1447,EL138.9433,--AP
G0,04/18/2022 09:14:31,Base ID read at rovr: 0010
G1,BP0010,PN63,DX-2746.464,DY-5945.763,DZ5353.105
G2,VX0.01674170,VY0.00751268,VZ0.01469120
G3,XY0.00004267,XZ0.00015697,YZ0.00004311
--GT,PN63,SW2206,ST119671009,EW2206,ET119671009
--HSIG:0.012, VSIG:0.020, STATUS:FIXED, SATS:14, PDOP:1.531,
HDOP:0.794, VDOP:1.309
GPS,PN64,LA41.325394944738,LN22.020710604101,EL183.035958,--
--GS,PN64,N 4601020.6275,E 586815.5679,EL137.3939,--
G0,04/18/2022 09:14:54,Base ID read at rovr: 0010
G1,BP0010,PN64,DX-2744.462,DY-5948.848,DZ5349.981
G2,VX0.01678992,VY0.00754310,VZ0.01468718
G3,XY0.00004308,XZ0.00015783,YZ0.00004310
--GT,PN64,SW2206,ST119694009,EW2206,ET119694009
--HSIG:0.012, VSIG:0.020, STATUS:FIXED, SATS:14, PDOP:1.532,
HDOP:0.794, VDOP:1.310
GPS,PN65,LA41.325384405513,LN22.020689811297,EL183.110043,--OG
--GS,PN65,N 4601017.3183,E 586810.7883,EL137.4680,--OG
G0,04/18/2022 09:15:13,Base ID read at rovr: 0010
G1,BP0010,PN65,DX-2740.604,DY-5952.485,DZ5347.597
G2,VX0.01681902,VY0.00756076,VZ0.01467795
G3,XY0.00004335,XZ0.00015833,YZ0.00004306
--GT,PN65,SW2206,ST119713009,EW2206,ET119713009
--HSIG:0.012, VSIG:0.020, STATUS:FIXED, SATS:14, PDOP:1.533,
HDOP:0.794, VDOP:1.311
GPS,PN66,LA41.325455414582,LN22.020609396093,EL182.911346,--OG
--GS,PN66,N 4601039.0000,E 586791.8893,EL137.2694,--OG
G0,04/18/2022 09:15:42,Base ID read at rovr: 0010
G1,BP0010,PN66,DX-2747.218,DY-5975.269,DZ5363.861
G2,VX0.01680678,VY0.00756820,VZ0.01451385
G3,XY0.00004395,XZ0.00015888,YZ0.00004120
--GT,PN66,SW2206,ST119742009,EW2206,ET119742009
--HSIG:0.012, VSIG:0.020, STATUS:FIXED, SATS:13, PDOP:1.635,
HDOP:0.826, VDOP:1.411
GPS,PN67,LA41.325463165102,LN22.020538823443,EL182.850841,--OG
--GS,PN67,N 4601041.1945,E 586775.5057,EL137.2090,--OG
G0,04/18/2022 09:18:57,Base ID read at rovr: 0010
G1,BP0010,PN67,DX-2742.594,DY-5991.043,DZ5365.610
G2,VX0.02033092,VY0.01034571,VZ0.01646853
G3,XY0.00011760,XZ0.00023232,YZ0.00008730
--GT,PN67,SW2206,ST119937008,EW2206,ET119937008
--HSIG:0.013, VSIG:0.025, STATUS:FIXED, SATS:10, PDOP:2.063,
HDOP:1.024, VDOP:1.791
GPS,PN68,LA41.325485960586,LN22.020574632922,EL182.809604,--
--GS,PN68,N 4601048.3264,E 586783.7199,EL137.1677,--
G0,04/18/2022 09:19:29,Base ID read at rovr: 0010
G1,BP0010,PN68,DX-2750.060,DY-5985.111,DZ5370.847
G2,VX0.01704817,VY0.00768291,VZ0.01472789
G3,XY0.00004731,XZ0.00015902,YZ0.00004166
--GT,PN68,SW2206,ST119969009,EW2206,ET119969009
--HSIG:0.012, VSIG:0.020, STATUS:FIXED, SATS:14, PDOP:1.543,
HDOP:0.792, VDOP:1.325
GPS,PN69,LA41.325496193683,LN22.020599787032,EL182.661167,--
--GS,PN69,N 4601051.5532,E 586789.5113,EL137.0192,--
G0,04/18/2022 09:19:39,Base ID read at rovr: 0010
G1,BP0010,PN69,DX-2754.291,DY-5980.534,DZ5373.111
G2,VX0.01703010,VY0.00766891,VZ0.01469630
G3,XY0.00004507,XZ0.00015848,YZ0.00004016
--GT,PN69,SW2206,ST119979009,EW2206,ET119979009
--HSIG:0.012, VSIG:0.020, STATUS:FIXED, SATS:13, PDOP:1.665,
HDOP:0.845, VDOP:1.435
GPS,PN70,LA41.325505526733,LN22.020614849376,EL184.323544,--AP
--GS,PN70,N 4601054.4743,E 586792.9673,EL138.6815,--AP
G0,04/18/2022 09:20:02,Base ID read at rovr: 0010
G1,BP0010,PN70,DX-2756.218,DY-5977.548,DZ5376.368
G2,VX0.01694119,VY0.00763965,VZ0.01461103
G3,XY0.00004579,XZ0.00015631,YZ0.00004068
--GT,PN70,SW2206,ST120002009,EW2206,ET120002009
--HSIG:0.012, VSIG:0.020, STATUS:FIXED, SATS:14, PDOP:1.544,
HDOP:0.792, VDOP:1.326
GPS,PN71,LA41.325520218314,LN22.020638925714,EL184.363097,--AP
--GS,PN71,N 4601059.0736,E 586798.4924,EL138.7210,--AP
G0,04/18/2022 09:20:12,Base ID read at rovr: 0010
G1,BP0010,PN71,DX-2761.071,DY-5973.492,DZ5379.787

G2,VX0.01700294,VY0.00764944,VZ0.01464063
G3,XY0.00004520,XZ0.00015792,YZ0.00004020
--GT,PN71,SW2206,ST120012008,EW2206,ET120012008
--HSIG:0.012, VSIG:0.020, STATUS:FIXED, SATS:13, PDOP:1.582,
HDOP:0.835, VDOP:1.344
GPS,PN72,LA41.325587932855,LN22.020562940227,EL184.191862,--AP
--GS,PN72,N 4601079.7513,E 586780.6322,EL138.5499,--AP
G0,04/18/2022 09:20:36,Base ID read at rovr: 0010
G1,BP0010,PN72,DX-2767.427,DY-5995.063,DZ5395.308
G2,VX0.01694247,VY0.00760558,VZ0.01457627
G3,XY0.00004643,XZ0.00015653,YZ0.00004095
--GT,PN72,SW2206,ST120036009,EW2206,ET120036009
--HSIG:0.012, VSIG:0.020, STATUS:FIXED, SATS:14, PDOP:1.545,
HDOP:0.792, VDOP:1.327
GPS,PN73,LA41.325575662944,LN22.020536662843,EL184.130067,--AP
--GS,PN73,N 4601075.8930,E 586774.5881,EL138.4881,--AP
G0,04/18/2022 09:20:45,Base ID read at rovr: 0010
G1,BP0010,PN73,DX-2762.857,DY-5999.784,DZ5392.434
G2,VX0.01695807,VY0.00761351,VZ0.01465335
G3,XY0.00004659,XZ0.00015772,YZ0.00004141
--GT,PN73,SW2206,ST120045009,EW2206,ET120045009
--HSIG:0.012, VSIG:0.020, STATUS:FIXED, SATS:13, PDOP:1.743,
HDOP:0.911, VDOP:1.486
GPS,PN74,LA41.325648465542,LN22.020449508104,EL183.963276,--AP
--GS,PN74,N 4601098.1093,E 586754.1208,EL138.3214,--AP
G0,04/18/2022 09:21:13,Base ID read at rovr: 0010
G1,BP0010,PN74,DX-2769.204,DY-6024.144,DZ5409.133
G2,VX0.01688979,VY0.00757733,VZ0.01445074
G3,XY0.00004594,XZ0.00015550,YZ0.00003993
--GT,PN74,SW2206,ST120073009,EW2206,ET120073009
--HSIG:0.012, VSIG:0.020, STATUS:FIXED, SATS:14, PDOP:1.545,
HDOP:0.791, VDOP:1.327
GPS,PN75,LA41.325664933321,LN22.020471728175,EL184.091240,--AP
--GS,PN75,N 4601103.2514,E 586759.2092,EL138.4493,--AP
G0,04/18/2022 09:21:23,Base ID read at rovr: 0010
G1,BP0010,PN75,DX-2774.171,DY-6020.599,DZ5413.020
G2,VX0.01696112,VY0.00760045,VZ0.01449537
G3,XY0.00004555,XZ0.00015720,YZ0.00003965
--GT,PN75,SW2206,ST120083009,EW2206,ET120083009
--HSIG:0.012, VSIG:0.020, STATUS:FIXED, SATS:13, PDOP:1.546,
HDOP:0.791, VDOP:1.328
GPS,PN76,LA41.325732410127,LN22.020385894513,EL184.014535,--AP
--GS,PN76,N 4601123.8284,E 586739.0679,EL138.3727,--AP
G0,04/18/2022 09:21:50,Base ID read at rovr: 0010
G1,BP0010,PN76,DX-2779.561,DY-6044.241,DZ5428.549
G2,VX0.01690147,VY0.00753212,VZ0.01453299
G3,XY0.00004635,XZ0.00015584,YZ0.00004023
--GT,PN76,SW2206,ST120110009,EW2206,ET120110009
--HSIG:0.012, VSIG:0.020, STATUS:FIXED, SATS:14, PDOP:1.546,
HDOP:0.791, VDOP:1.328
GPS,PN77,LA41.325718940416,LN22.020359934067,EL183.840106,--AP
--GS,PN77,N 4601119.6009,E 586733.1017,EL138.1984,--AP
G0,04/18/2022 09:21:59,Base ID read at rovr: 0010
G1,BP0010,PN77,DX-2774.869,DY-6048.833,DZ5425.324
G2,VX0.01695325,VY0.00757050,VZ0.01454729
G3,XY0.00004714,XZ0.00015690,YZ0.00004061
--GT,PN77,SW2206,ST120119009,EW2206,ET120119009
--HSIG:0.012, VSIG:0.020, STATUS:FIXED, SATS:13, PDOP:1.586,
HDOP:0.861, VDOP:1.332
GPS,PN78,LA41.325770802569,LN22.020290053084,EL183.839249,--AP
--GS,PN78,N 4601135.4055,E 586716.7153,EL138.1976,--AP
G0,04/18/2022 09:22:20,Base ID read at rovr: 0010
G1,BP0010,PN78,DX-2778.631,DY-6067.828,DZ5437.298
G2,VX0.01913052,VY0.00966436,VZ0.01587305
G3,XY0.00009465,XZ0.00020644,YZ0.00007369
--GT,PN78,SW2206,ST120140007,EW2206,ET120140007
--HSIG:0.013, VSIG:0.023, STATUS:FIXED, SATS:9, PDOP:2.424,
HDOP:1.088, VDOP:2.166
GPS,PN79,LA41.325788133745,LN22.020311535989,EL183.928186,--AP
--GS,PN79,N 4601140.8118,E 586721.6295,EL138.2864,--AP
G0,04/18/2022 09:22:30,Base ID read at rovr: 0010
G1,BP0010,PN79,DX-2783.725,DY-6064.518,DZ5441.358
G2,VX0.01715289,VY0.00787149,VZ0.01461756
G3,XY0.00005301,XZ0.00016042,YZ0.00004374
--GT,PN79,SW2206,ST120150009,EW2206,ET120150009
--HSIG:0.012, VSIG:0.021, STATUS:FIXED, SATS:13, PDOP:1.580,
HDOP:0.807, VDOP:1.359
GPS,PN80,LA41.325847999174,LN22.020227122359,EL183.896093,--AP
--GS,PN80,N 4601159.0448,E 586701.8457,EL138.2545,--AP
G0,04/18/2022 09:22:58,Base ID read at rovr: 0010
G1,BP0010,PN80,DX-2787.763,DY-6087.258,DZ5455.160
G2,VX0.01706822,VY0.00776236,VZ0.01454893
G3,XY0.00005009,XZ0.00015836,YZ0.00004184
--GT,PN80,SW2206,ST120178010,EW2206,ET120178010
--HSIG:0.012, VSIG:0.020, STATUS:FIXED, SATS:14, PDOP:1.546,
HDOP:0.791, VDOP:1.329
GPS,PN81,LA41.325834159596,LN22.020201800471,EL183.753938,--AP
--GS,PN81,N 4601154.7050,E 586696.0289,EL138.1124,--AP
G0,04/18/2022 09:23:07,Base ID read at rovr: 0010
G1,BP0010,PN81,DX-2783.035,DY-6091.675,DZ5451.870
G2,VX0.01707093,VY0.00775245,VZ0.01463812
G3,XY0.00004981,XZ0.00015934,YZ0.00004215
--GT,PN81,SW2206,ST120187009,EW2206,ET120187009

--HSIG:0.012, VSI:0.021, STATUS:FIXED, SATS:13, PDOP:1.729, HDOP:0.909, VDOP:1.471
GPS,PN82,LA41.325825400232,LN22.020192206383,EL182.639357,--
--GS,PN82,N 4601152.0193, E 586693.8375,EL136.9978,--
G0,04/18/2022 09:23:22,Base ID read at rover: 0010
G1,BP0010,PN82,DX-2781.339, DY-6093.388, DZ5449.140
G2,VX0.01705073, VY0.00773077, VZ0.01448131
G3,XY0.00004912, XZ0.00015749, YZ0.00004102
--GT,PN82,SW2206,ST120202009,EW2206,ET120202009
--HSIG:0.012, VSI:0.020, STATUS:FIXED, SATS:14, PDOP:1.546, HDOP:0.790, VDOP:1.329
GPS,PN83,LA41.325802181204,LN22.020223176108,EL182.741461,--
--GS,PN83,N 4601144.8994, E 586701.1009,EL137.0999,--
G0,04/18/2022 09:23:37,Base ID read at rover: 0010
G1,BP0010,PN83,DX-2779.530, DY-6084.912, DZ5443.815
G2,VX0.01705387, VY0.00769170, VZ0.01443500
G3,XY0.00004905, XZ0.00015714, YZ0.00004034
--GT,PN83,SW2206,ST120217009,EW2206,ET120217009
--HSIG:0.012, VSI:0.020, STATUS:FIXED, SATS:14, PDOP:1.590, HDOP:0.835, VDOP:1.353
GPS,PN84,LA41.325732298174,LN22.020296992771,EL183.476041,--
--GS,PN84,N 4601123.5465, E 586718.4661,EL137.8344,--
G0,04/18/2022 09:24:09,Base ID read at rover: 0010
G1,BP0010,PN84,DX-2772.183, DY-6063.483, DZ5428.166
G2,VX0.02476769, VY0.00799964, VZ0.01646795
G3,XY0.00006558, XZ0.00028367, YZ0.00004734
--GT,PN84,SW2206,ST120249008,EW2206,ET120249008
--HSIG:0.015, VSI:0.027, STATUS:FIXED, SATS:13, PDOP:1.791, HDOP:0.956, VDOP:1.515
GPS,PN85,LA41.325693432954,LN22.020329196111,EL183.334322,--
--GS,PN85,N 4601111.6466, E 586726.0729,EL137.6927,--
G0,04/18/2022 09:31:23,Base ID read at rover: 0010
G1,BP0010,PN85,DX-2767.709, DY-6053.620, DZ5419.099
G2,VX0.01876446, VY0.00872099, VZ0.01548531
G3,XY0.00006395, XZ0.00018673, YZ0.00004740
--GT,PN85,SW2206,ST120683010,EW2206,ET120683010
--HSIG:0.013, VSI:0.022, STATUS:FIXED, SATS:14, PDOP:1.530, HDOP:0.787, VDOP:1.312
GPS,PN86,LA41.325658986803,LN22.020406708821,EL182.583284,--
--GS,PN86,N 4601101.2359, E 586744.1634,EL136.9415,--
G0,04/18/2022 09:32:28,Base ID read at rover: 0010
G1,BP0010,PN86,DX-2768.436, DY-6034.534, DZ5410.647
G2,VX0.01679921, VY0.00765800, VZ0.01378592
G3,XY0.00005080, XZ0.00014798, YZ0.00003626
--GT,PN86,SW2206,ST120748009,EW2206,ET120748009
--HSIG:0.012, VSI:0.020, STATUS:FIXED, SATS:14, PDOP:1.525, HDOP:0.786, VDOP:1.307
GPS,PN87,LA41.325604212323,LN22.020449372752,EL182.768875,--
--GS,PN87,N 4601084.4573, E 586754.2534,EL137.1271,--
G0,04/18/2022 09:33:55,Base ID read at rover: 0010
G1,BP0010,PN87,DX-2761.627, DY-6021.111, DZ5398.123
G2,VX0.01696556, VY0.00768117, VZ0.01405624
G3,XY0.00005047, XZ0.00015296, YZ0.00003499
--GT,PN87,SW2206,ST120835008,EW2206,ET120835008
--HSIG:0.012, VSI:0.020, STATUS:FIXED, SATS:11, PDOP:1.828, HDOP:0.955, VDOP:1.558
GPS,PN88,LA41.325570989042,LN22.020406970129,EL183.356182,--
--GS,PN88,N 4601074.0902, E 586744.5500,EL137.7145,--
G0,04/18/2022 09:34:13,Base ID read at rover: 0010
G1,BP0010,PN88,DX-2751.231, DY-6027.505, DZ5390.842
G2,VX0.01823963, VY0.00973006, VZ0.01531279
G3,XY0.00008687, XZ0.00018002, YZ0.00006467
--GT,PN88,SW2206,ST120853008,EW2206,ET120853008
--HSIG:0.013, VSI:0.022, STATUS:FIXED, SATS:10, PDOP:2.937, HDOP:1.583, VDOP:2.473
GPS,PN89,LA41.325630821279,LN22.020332303625,EL183.746371,--
--GS,PN89,N 4601092.3401, E 586727.0249,EL138.1048,--
G0,04/18/2022 09:34:37,Base ID read at rover: 0010
G1,BP0010,PN89,DX-2755.817, DY-6048.030, DZ5404.915
G2,VX0.03474655, VY0.01584933, VZ0.02268227
G3,XY0.00035303, XZ0.00052168, YZ0.00021864
--GT,PN89,SW2206,ST120877008,EW2206,ET120877008
--HSIG:0.021, VSI:0.039, STATUS:FIXED, SATS:9, PDOP:4.133, HDOP:1.587, VDOP:3.816
GPS,PN90,LA41.325720031747,LN22.020232762183,EL183.724375,--
--GS,PN90,N 4601119.5838, E 586703.6266,EL138.0829,--
G0,04/18/2022 09:35:12,Base ID read at rover: 0010
G1,BP0010,PN90,DX-2764.099, DY-6076.270, DZ5425.499
G2,VX0.01842963, VY0.00835283, VZ0.01431739
G3,XY0.00006658, XZ0.00015850, YZ0.00004266
--GT,PN90,SW2206,ST120912007,EW2206,ET120912007
--HSIG:0.013, VSI:0.021, STATUS:FIXED, SATS:12, PDOP:2.296, HDOP:1.172, VDOP:1.974
GPS,PN91,LA41.325789489606,LN22.020135277153,EL184.479911,--
--GS,PN91,N 4601140.7397, E 586680.7781,EL138.8385,--
G0,04/18/2022 09:35:45,Base ID read at rover: 0010
G1,BP0010,PN91,DX-2768.274, DY-6102.334, DZ5442.037
G2,VX0.01903804, VY0.00951405, VZ0.01442908
G3,XY0.00009818, XZ0.00017696, YZ0.00005575
--GT,PN91,SW2206,ST120945009,EW2206,ET120945009
--HSIG:0.013, VSI:0.022, STATUS:FIXED, SATS:12, PDOP:1.656, HDOP:0.818, VDOP:1.440
GPS,PN92,LA41.325836971648,LN22.020052292005,EL185.000577,--

--GS,PN92,N 4601155.1567, E 586661.3713,EL139.3593,--
G0,04/18/2022 09:36:08,Base ID read at rover: 0010
G1,BP0010,PN92,DX-2769.704, DY-6123.661, DZ5453.346
G2,VX0.01833428, VY0.01000140, VZ0.01535882
G3,XY0.00007851, XZ0.00016669, YZ0.00006803
--GT,PN92,SW2206,ST120968008,EW2206,ET120968008
--HSIG:0.014, VSI:0.022, STATUS:FIXED, SATS:10, PDOP:2.042, HDOP:1.147, VDOP:1.689
GPS,PN93,LA41.325858416254,LN22.020064752128,EL185.106851,--
--GS,PN93,N 4601161.8068, E 586664.1794,EL139.4655,--
G0,04/18/2022 09:36:17,Base ID read at rover: 0010
G1,BP0010,PN93,DX-2774.782, DY-6122.600, DZ5458.368
G2,VX0.01787062, VY0.00816136, VZ0.01426990
G3,XY0.00006052, XZ0.00015340, YZ0.00003853
--GT,PN93,SW2206,ST120977009,EW2206,ET120977009
--HSIG:0.013, VSI:0.021, STATUS:FIXED, SATS:12, PDOP:2.285, HDOP:1.143, VDOP:1.978
GPS,PN94,LA41.325936695620,LN22.015962352148,EL185.235894,--
--GS,PN94,N 4601185.6706, E 586640.1596,EL139.5947,--
G0,04/18/2022 09:36:51,Base ID read at rover: 0010
G1,BP0010,PN94,DX-2780.638, DY-6150.573, DZ5476.527
G2,VX0.01754814, VY0.00804817, VZ0.01393280
G3,XY0.00005936, XZ0.00014664, YZ0.00003870
--GT,PN94,SW2206,ST121011008,EW2206,ET121011008
--HSIG:0.012, VSI:0.020, STATUS:FIXED, SATS:13, PDOP:1.594, HDOP:0.791, VDOP:1.384
GPS,PN95,LA41.325920599259,LN22.015928644167,EL185.052883,--
--GS,PN95,N 4601180.6114, E 586632.4077,EL139.4118,--
G0,04/18/2022 09:37:02,Base ID read at rover: 0010
G1,BP0010,PN95,DX-2774.781, DY-6156.630, DZ5472.690
G2,VX0.01911275, VY0.01001794, VZ0.01488149
G3,XY0.00010345, XZ0.00018547, YZ0.00006730
--GT,PN95,SW2206,ST121022007,EW2206,ET121022007
--HSIG:0.013, VSI:0.023, STATUS:FIXED, SATS:9, PDOP:2.285, HDOP:1.147, VDOP:1.976
GPS,PN96,LA41.330015426904,LN22.015793321645,EL184.930537,--
--GS,PN96,N 4601209.4887, E 586600.6973,EL139.2896,--
G0,04/18/2022 09:37:43,Base ID read at rover: 0010
G1,BP0010,PN96,DX-2781.088, DY-6193.016, DZ5494.503
G2,VX0.01809891, VY0.00904452, VZ0.01430680
G3,XY0.00007492, XZ0.00016083, YZ0.00004794
--GT,PN96,SW2206,ST121063008,EW2206,ET121063008
--HSIG:0.013, VSI:0.021, STATUS:FIXED, SATS:11, PDOP:1.752, HDOP:0.909, VDOP:1.498
GPS,PN97,LA41.330045718483,LN22.015811232546,EL184.896095,--
--GS,PN97,N 4601218.8832, E 586604.7359,EL139.2551,--
G0,04/18/2022 09:37:55,Base ID read at rover: 0010
G1,BP0010,PN97,DX-2788.415, DY-6191.503, DZ5501.474
G2,VX0.01733476, VY0.00812772, VZ0.01397782
G3,XY0.00005967, XZ0.00015148, YZ0.00003806
--GT,PN97,SW2206,ST121075008,EW2206,ET121075008
--HSIG:0.012, VSI:0.020, STATUS:FIXED, SATS:12, PDOP:1.664, HDOP:0.844, VDOP:1.434
GPS,PN98,LA41.330079143944,LN22.015705059254,EL185.081541,--
--GS,PN98,N 4601228.8997, E 586580.0079,EL139.4407,--
G0,04/18/2022 09:38:25,Base ID read at rover: 0010
G1,BP0010,PN98,DX-2785.396, DY-6216.827, DZ5509.315
G2,VX0.02172061, VY0.01594602, VZ0.02771108
G3,XY0.00021007, XZ0.00031895, YZ0.00028650
--GT,PN98,SW2206,ST121105007,EW2206,ET121105007
--HSIG:0.021, VSI:0.033, STATUS:FIXED, SATS:6, PDOP:5.249, HDOP:3.108, VDOP:4.230
GPS,PN99,LA41.330098456756,LN22.015721676082,EL184.654882,--
--GS,PN99,N 4601234.9037, E 586583.7872,EL139.0140,--
G0,04/18/2022 09:38:36,Base ID read at rover: 0010
G1,BP0010,PN99,DX-2790.800, DY-6214.860, DZ5513.491
G2,VX0.03583396, VY0.01528694, VZ0.02184660
G3,XY0.00030056, XZ0.00044942, YZ0.00014922
--GT,PN99,SW2206,ST121116007,EW2206,ET121116007
--HSIG:0.024, VSI:0.038, STATUS:FIXED, SATS:6, PDOP:3.302, HDOP:1.716, VDOP:2.821
GPS,PN100,LA41.330123125237,LN22.015623291536,EL185.134344,--
--GS,PN100,N 4601242.2404, E 586560.8966,EL139.4936,--
G0,04/18/2022 09:39:00,Base ID read at rover: 0010
G1,BP0010,PN100,DX-2786.593, DY-6237.755, DZ5519.505
G2,VX0.01923088, VY0.01053443, VZ0.02022954
G3,XY0.00010281, XZ0.00021232, YZ0.00007300
--GT,PN100,SW2206,ST121140007,EW2206,ET121140007
--HSIG:0.016, VSI:0.025, STATUS:FIXED, SATS:8, PDOP:2.306, HDOP:1.323, VDOP:1.889
GPS,PN101,LA41.330139516774,LN22.015640069904,EL184.953719,--
--GS,PN101,N 4601247.3436, E 586564.7241,EL139.3129,--
G0,04/18/2022 09:39:08,Base ID read at rover: 0010
G1,BP0010,PN101,DX-2791.287, DY-6235.460, DZ5523.170
G2,VX0.01965446, VY0.00903182, VZ0.01648687
G3,XY0.00007625, XZ0.00018817, YZ0.00004230
--GT,PN101,SW2206,ST121148007,EW2206,ET121148007
--HSIG:0.014, VSI:0.023, STATUS:FIXED, SATS:9, PDOP:1.772, HDOP:0.960, VDOP:1.489
GPS,PN102,LA41.330148274430,LN22.015647197942,EL183.528794,--
--GS,PN102,N 4601250.0651, E 586566.3436,EL137.8880,--
G0,04/18/2022 09:39:18,Base ID read at rover: 0010
G1,BP0010,PN102,DX-2794.556, DY-6235.001, DZ5524.247

G2,VX0.01731011,VY0.00817548,VZ0.01386887
G3,XY0.00006126,XZ0.00014830,YZ0.00003822
--GT,PN102,SW2206,ST121158008,EW2206,ET121158008
--HSIG:0.012, VSIG:0.020, STATUS:FIXED, SATS:13, PDOP:1.583,
HDOP:0.789, VDOP:1.372
GPS,PN103,LA41.330156028667,LN22.015649376711,EL183.300997,--AP
--GS,PN103,N 4601252.4632,E 586566.8198,EL137.6602,--AP
G0,04/18/2022 09:39:33,Base ID read at rover: 0010
G1,BP0010,PN103,DX-2796.374,DY-6235.192,DZ5525.886
G2,VX0.01728245,VY0.00817670,VZ0.01384527
G3,XY0.00006147,XZ0.00014804,YZ0.00003815
--GT,PN103,SW2206,ST121173009,EW2206,ET121173009
--HSIG:0.012, VSIG:0.020, STATUS:FIXED, SATS:13, PDOP:1.582,
HDOP:0.789, VDOP:1.371
GPS,PN104,LA41.330174606477,LN22.015669277330,EL183.399627,--AP
--GS,PN104,N 4601258.2496,E 586571.3628,EL137.7587,--AP
G0,04/18/2022 09:39:43,Base ID read at rover: 0010
G1,BP0010,PN104,DX-2801.560,DY-6232.315,DZ5530.241
G2,VX0.01663929,VY0.00783827,VZ0.01372677
G3,XY0.00004996,XZ0.00013991,YZ0.00003222
--GT,PN104,SW2206,ST121183008,EW2206,ET121183008
--HSIG:0.012, VSIG:0.020, STATUS:FIXED, SATS:13, PDOP:1.659,
HDOP:0.844, VDOP:1.428
GPS,PN105,LA41.330133899617,LN22.015749236604,EL183.481910,--AP
--GS,PN105,N 4601245.9140,E 586590.0429,EL137.8409,--AP
G0,04/18/2022 09:40:04,Base ID read at rover: 0010
G1,BP0010,PN105,DX-2800.733,DY-6211.989,DZ5520.897
G2,VX0.01662878,VY0.00784216,VZ0.01374669
G3,XY0.00004941,XZ0.00014036,YZ0.00003209
--GT,PN105,SW2206,ST121204008,EW2206,ET121204008
--HSIG:0.012, VSIG:0.020, STATUS:FIXED, SATS:13, PDOP:1.565,
HDOP:0.829, VDOP:1.327
GPS,PN106,LA41.330112180513,LN22.015737385068,EL183.340226,--AP
--GS,PN106,N 4601239.1809,E 586587.3768,EL137.6993,--AP
G0,04/18/2022 09:40:14,Base ID read at rover: 0010
G1,BP0010,PN106,DX-2795.681,DY-6212.907,DZ5515.788
G2,VX0.01649602,VY0.00783492,VZ0.01357809
G3,XY0.00005031,XZ0.00013600,YZ0.00003290
--GT,PN106,SW2206,ST121214009,EW2206,ET121214009
--HSIG:0.012, VSIG:0.019, STATUS:FIXED, SATS:14, PDOP:1.483,
HDOP:0.772, VDOP:1.266
GPS,PN107,LA41.330105922613,LN22.015732765653,EL183.469105,--
--GS,PN107,N 4601237.2376,E 586586.3294,EL137.8282,--
G0,04/18/2022 09:40:24,Base ID read at rover: 0010
G1,BP0010,PN107,DX-2794.003,DY-6213.383,DZ5514.429
G2,VX0.01648224,VY0.00783710,VZ0.01363101
G3,XY0.00005028,XZ0.00013589,YZ0.00003313
--GT,PN107,SW2206,ST121224008,EW2206,ET121224008
--HSIG:0.012, VSIG:0.019, STATUS:FIXED, SATS:13, PDOP:1.482,
HDOP:0.772, VDOP:1.266
GPS,PN108,LA41.330056895759,LN22.015821078491,EL182.611375,--
--GS,PN108,N 4601222.3586,E 586606.9762,EL136.9703,--
G0,04/18/2022 09:40:56,Base ID read at rover: 0010
G1,BP0010,PN108,DX-2792.976,DY-6190.888,DZ5502.540
G2,VX0.01633719,VY0.00773084,VZ0.01346050
G3,XY0.00004853,XZ0.00013429,YZ0.00003154
--GT,PN108,SW2206,ST121256008,EW2206,ET121256008
--HSIG:0.012, VSIG:0.019, STATUS:FIXED, SATS:14, PDOP:1.481,
HDOP:0.771, VDOP:1.264
GPS,PN109,LA41.330051139322,LN22.015825290559,EL182.026276,--ISP
--GS,PN109,N 4601220.5945,E 586607.9736,EL136.3852,--ISP
G0,04/18/2022 09:41:27,Base ID read at rover: 0010
G1,BP0010,PN109,DX-2792.656,DY-6189.705,DZ5500.823
G2,VX0.01618388,VY0.00775320,VZ0.01343631
G3,XY0.00004902,XZ0.00013129,YZ0.00003158
--GT,PN109,SW2206,ST121287008,EW2206,ET121287008
--HSIG:0.012, VSIG:0.019, STATUS:FIXED, SATS:14, PDOP:1.480,
HDOP:0.771, VDOP:1.263
GPS,PN110,LA41.330064293861,LN22.015826044538,EL183.412775,--AP
--GS,PN110,N 4601224.6547,E 586608.0997,EL137.7717,--AP
G0,04/18/2022 09:41:49,Base ID read at rover: 0010
G1,BP0010,PN110,DX-2794.255,DY-6190.164,DZ5504.779
G2,VX0.01619478,VY0.00776194,VZ0.01338723
G3,XY0.00004925,XZ0.00013080,YZ0.00003195
--GT,PN110,SW2206,ST121309009,EW2206,ET121309009
--HSIG:0.012, VSIG:0.019, STATUS:FIXED, SATS:14, PDOP:1.479,
HDOP:0.770, VDOP:1.262
GPS,PN111,LA41.330081254967,LN22.015847249228,EL183.542656,--AP
--GS,PN111,N 4601229.9460,E 586612.9509,EL137.9015,--AP
G0,04/18/2022 09:41:59,Base ID read at rover: 0010
G1,BP0010,PN111,DX-2799.226,DY-6186.874,DZ5508.782
G2,VX0.01626755,VY0.00776829,VZ0.01335788
G3,XY0.00004940,XZ0.00013171,YZ0.00003227
--GT,PN111,SW2206,ST121319009,EW2206,ET121319009
--HSIG:0.012, VSIG:0.019, STATUS:FIXED, SATS:14, PDOP:1.565,
HDOP:0.829, VDOP:1.327
GPS,PN112,LA41.330087357780,LN22.015858108017,EL181.746909,--ISP
--GS,PN112,N 4601231.8588,E 586615.4447,EL136.1057,--ISP
G0,04/18/2022 09:42:21,Base ID read at rover: 0010
G1,BP0010,PN112,DX-2802.574,DY-6185.514,DZ5509.000
G2,VX0.01627360,VY0.00778673,VZ0.01335485
G3,XY0.00004961,XZ0.00013154,YZ0.00003208
--GT,PN112,SW2206,ST121341008,EW2206,ET121341008
--HSIG:0.012, VSIG:0.019, STATUS:FIXED, SATS:14, PDOP:1.477,
HDOP:0.770, VDOP:1.260
GPS,PN113,LA41.330031719615,LN22.015935412972,EL183.654751,--AP
--GS,PN113,N 4601214.9098,E 586633.5651,EL138.0135,--AP
G0,04/18/2022 09:43:03,Base ID read at rover: 0010
G1,BP0010,PN113,DX-2797.417,DY-6164.099,DZ5497.419
G2,VX0.01627182,VY0.00777089,VZ0.01330831
G3,XY0.00004998,XZ0.00013222,YZ0.00003148
--GT,PN113,SW2206,ST121383008,EW2206,ET121383008
--HSIG:0.012, VSIG:0.019, STATUS:FIXED, SATS:14, PDOP:1.474,
HDOP:0.769, VDOP:1.258
GPS,PN114,LA41.330014303227,LN22.015915142885,EL183.496127,--AP
--GS,PN114,N 4601209.4806,E 586628.9322,EL137.8549,--AP
G0,04/18/2022 09:43:13,Base ID read at rover: 0010
G1,BP0010,PN114,DX-2792.461,DY-6167.161,DZ5493.292
G2,VX0.01633779,VY0.00795325,VZ0.01339290
G3,XY0.00005164,XZ0.00013336,YZ0.00003318
--GT,PN114,SW2206,ST121393008,EW2206,ET121393008
--HSIG:0.012, VSIG:0.019, STATUS:FIXED, SATS:11, PDOP:1.474,
HDOP:0.769, VDOP:1.258
GPS,PN115,LA41.330005423662,LN22.015903709994,EL182.353612,--
--GS,PN115,N 4601206.7096,E 586626.3156,EL136.7124,--
G0,04/18/2022 09:43:26,Base ID read at rover: 0010
G1,BP0010,PN115,DX-2790.576,DY-6169.256,DZ5490.484
G2,VX0.01713108,VY0.00876033,VZ0.01359936
G3,XY0.00006396,XZ0.00013950,YZ0.00004005
--GT,PN115,SW2206,ST121406008,EW2206,ET121406008
--HSIG:0.013, VSIG:0.020, STATUS:FIXED, SATS:11, PDOP:1.736,
HDOP:0.881, VDOP:1.496
GPS,PN116,LA41.325928470381,LN22.020033224590,EL182.510048,--
--GS,PN116,N 4601183.3302,E 586656.6139,EL136.8687,--
G0,04/18/2022 09:44:10,Base ID read at rover: 0010
G1,BP0010,PN116,DX-2787.130,DY-6135.481,DZ5472.820
G2,VX0.01633026,VY0.00778850,VZ0.01328271
G3,XY0.00005051,XZ0.00012917,YZ0.00002948
--GT,PN116,SW2206,ST121450008,EW2206,ET121450008
--HSIG:0.012, VSIG:0.019, STATUS:FIXED, SATS:13, PDOP:1.554,
HDOP:0.787, VDOP:1.340
GPS,PN117,LA41.325936622626,LN22.020043966077,EL183.637611,--AP
--GS,PN117,N 4601185.8750,E 586659.0730,EL137.9962,--AP
G0,04/18/2022 09:44:26,Base ID read at rover: 0010
G1,BP0010,PN117,DX-2788.829,DY-6133.482,DZ5475.451
G2,VX0.01646603,VY0.00787011,VZ0.01330920
G3,XY0.00005282,XZ0.00013103,YZ0.00003066
--GT,PN117,SW2206,ST121466008,EW2206,ET121466008
--HSIG:0.012, VSIG:0.019, STATUS:FIXED, SATS:13, PDOP:1.552,
HDOP:0.787, VDOP:1.338
GPS,PN118,LA41.325953578018,LN22.020064494565,EL183.803590,--AP
--GS,PN118,N 4601191.1627,E 586663.7675,EL138.1622,--AP
G0,04/18/2022 09:44:36,Base ID read at rover: 0010
G1,BP0010,PN118,DX-2793.714,DY-6130.327,DZ5479.475
G2,VX0.01615482,VY0.00767744,VZ0.01330202
G3,XY0.00004680,XZ0.00012853,YZ0.00002732
--GT,PN118,SW2206,ST121476008,EW2206,ET121476008
--HSIG:0.012, VSIG:0.019, STATUS:FIXED, SATS:13, PDOP:1.562,
HDOP:0.827, VDOP:1.324
GPS,PN119,LA41.325907043893,LN22.020139426618,EL183.818553,--AP
--GS,PN119,N 4601177.0157,E 586681.3045,EL138.1770,--AP
G0,04/18/2022 09:45:18,Base ID read at rover: 0010
G1,BP0010,PN119,DX-2791.392,DY-6110.652,DZ5468.741
G2,VX0.01609179,VY0.00773562,VZ0.01318320
G3,XY0.00004851,XZ0.00012623,YZ0.00002887
--GT,PN119,SW2206,ST121518008,EW2206,ET121518008
--HSIG:0.012, VSIG:0.019, STATUS:FIXED, SATS:14, PDOP:1.466,
HDOP:0.766, VDOP:1.249
GPS,PN120,LA41.325891874769,LN22.020116070370,EL183.708378,--AP
--GS,PN120,N 4601172.2712,E 586675.9481,EL138.0669,--AP
G0,04/18/2022 09:45:30,Base ID read at rover: 0010
G1,BP0010,PN120,DX-2786.560,DY-6114.537,DZ5465.166
G2,VX0.01608807,VY0.00774943,VZ0.01317436
G3,XY0.00004871,XZ0.00012614,YZ0.00002901
--GT,PN120,SW2206,ST121530008,EW2206,ET121530008
--HSIG:0.012, VSIG:0.019, STATUS:FIXED, SATS:14, PDOP:1.464,
HDOP:0.766, VDOP:1.248
GPS,PN121,LA41.325883000800,LN22.020106187370,EL182.492351,--
--GS,PN121,N 4601169.5062,E 586673.6906,EL136.8509,--
G0,04/18/2022 09:45:46,Base ID read at rover: 0010
G1,BP0010,PN121,DX-2784.861,DY-6116.320,DZ5462.310
G2,VX0.01608030,VY0.00776436,VZ0.01316137
G3,XY0.00004891,XZ0.00012597,YZ0.00002915
--GT,PN121,SW2206,ST121546008,EW2206,ET121546008
--HSIG:0.012, VSIG:0.019, STATUS:FIXED, SATS:14, PDOP:1.463,
HDOP:0.766, VDOP:1.247
GPS,PN122,LA41.325919518920,LN22.020144383863,EL182.743925,--
--GS,PN122,N 4601180.8779,E 586682.4071,EL137.1024,--
G0,04/18/2022 09:46:17,Base ID read at rover: 0010
G1,BP0010,PN122,DX-2794.935,DY-6110.847,DZ5470.909
G2,VX0.01603767,VY0.00773019,VZ0.01313418
G3,XY0.00005003,XZ0.00012537,YZ0.00002948
--GT,PN122,SW2206,ST121577008,EW2206,ET121577008
--HSIG:0.012, VSIG:0.019, STATUS:FIXED, SATS:14, PDOP:1.461,
HDOP:0.765, VDOP:1.245
GPS,PN123,LA41.325939928271,LN22.020163070703,EL182.493094,--

--GS,PN123,N 4601187.2260,E 586686.6620,EL136.8515,--
G0,04/18/2022 09:46:28,Base ID read at rover: 0010
G1,BP0010,PN123,DX-2800.605,DY-6108.469,DZ5475.455
G2,VX0.01603294,VY0.00771744,VZ0.01327048
G3,XY0.00004671,XZ0.00012462,YZ0.00002768
--GT,PN123,SW2206,ST121588008,EW2206,ET121588008
--HSIG:0.012, VSI:0.019, STATUS:FIXED, SATS:13, PDOP:1.981,
HDOP:1.043, VDOP:1.684
GPS,PN124,LA41.325980455986,LN22.020100561447,EL182.594442,--
--GS,PN124,N 4601199.5546,E 586672.0261,EL136.9529,--
G0,04/18/2022 09:46:47,Base ID read at rover: 0010
G1,BP0010,PN124,DX-2802.788,DY-6124.981,DZ5484.879
G2,VX0.01630886,VY0.00813055,VZ0.01321199
G3,XY0.00005482,XZ0.00012742,YZ0.00003207
--GT,PN124,SW2206,ST121607009,EW2206,ET121607009
--HSIG:0.012, VSI:0.019, STATUS:FIXED, SATS:12, PDOP:1.536,
HDOP:0.785, VDOP:1.320
GPS,PN125,LA41.325965691289,LN22.020076616545,EL182.749956,--
--GS,PN125,N 4601194.9332,E 586666.5318,EL137.1085,--
G0,04/18/2022 09:46:57,Base ID read at rover: 0010
G1,BP0010,PN125,DX-2797.797,DY-6128.949,DZ5481.573
G2,VX0.01560847,VY0.00754650,VZ0.01320063
G3,XY0.00004517,XZ0.00012116,YZ0.00002645
--GT,PN125,SW2206,ST121617009,EW2206,ET121617009
--HSIG:0.012, VSI:0.018, STATUS:FIXED, SATS:14, PDOP:1.458,
HDOP:0.765, VDOP:1.241
GPS,PN126,LA41.330036002740,LN22.015953465721,EL182.750664,--
--GS,PN126,N 4601216.2813,E 586637.7327,EL137.1093,--
G0,04/18/2022 09:47:40,Base ID read at rover: 0010
G1,BP0010,PN126,DX-2800.427,DY-6160.803,DZ5497.808
G2,VX0.01589335,VY0.00773645,VZ0.01296991
G3,XY0.00004813,XZ0.00011963,YZ0.00002694
--GT,PN126,SW2206,ST121660008,EW2206,ET121660008
--HSIG:0.012, VSI:0.018, STATUS:FIXED, SATS:14, PDOP:1.454,
HDOP:0.764, VDOP:1.237
GPS,PN127,LA41.330050343839,LN22.015965189283,EL183.072125,--
--GS,PN127,N 4601220.7379,E 586664.3965,EL137.4308,--
G0,04/18/2022 09:47:49,Base ID read at rover: 0010
G1,BP0010,PN127,DX-2803.943,DY-6159.295,DZ5501.333
G2,VX0.01620132,VY0.00779421,VZ0.01314545
G3,XY0.00004865,XZ0.00012214,YZ0.00002661
--GT,PN127,SW2206,ST121669008,EW2206,ET121669008
--HSIG:0.012, VSI:0.019, STATUS:FIXED, SATS:13, PDOP:1.981,
HDOP:1.040, VDOP:1.686
GPS,PN128,LA41.330100526233,LN22.015879495113,EL182.958258,--
--GS,PN128,N 4601235.9806,E 586620.3522,EL137.3170,--
G0,04/18/2022 09:48:18,Base ID read at rover: 0010
G1,BP0010,PN128,DX-2806.091,DY-6181.590,DZ5512.844
G2,VX0.01618242,VY0.00787289,VZ0.01309184
G3,XY0.00005153,XZ0.00012347,YZ0.00002857
--GT,PN128,SW2206,ST121698008,EW2206,ET121698008
--HSIG:0.012, VSI:0.019, STATUS:FIXED, SATS:13, PDOP:1.588,
HDOP:0.817, VDOP:1.361
GPS,PN129,LA41.330130344594,LN22.015834097308,EL182.707223,--
--GS,PN129,N 4601245.0531,E 586609.7215,EL137.0660,--
G0,04/18/2022 09:48:35,Base ID read at rover: 0010
G1,BP0010,PN129,DX-2807.974,DY-6193.702,DZ5519.562
G2,VX0.01616080,VY0.00798389,VZ0.01310073
G3,XY0.00005264,XZ0.00012375,YZ0.00002906
--GT,PN129,SW2206,ST121715009,EW2206,ET121715009
--HSIG:0.012, VSI:0.019, STATUS:FIXED, SATS:13, PDOP:1.474,
HDOP:0.780, VDOP:1.250
GPS,PN130,LA41.330146463370,LN22.015803767026,EL182.228826,--
--GS,PN130,N 4601249.9413,E 586602.6332,EL136.5877,--
G0,04/18/2022 09:48:48,Base ID read at rover: 0010
G1,BP0010,PN130,DX-2808.727,DY-6201.590,DZ5522.966
G2,VX0.01591118,VY0.00771738,VZ0.01302236
G3,XY0.00004801,XZ0.00012061,YZ0.00002677
--GT,PN130,SW2206,ST121728009,EW2206,ET121728009
--HSIG:0.012, VSI:0.018, STATUS:FIXED, SATS:14, PDOP:1.520,
HDOP:0.784, VDOP:1.302
GPS,PN131,LA41.330135226582,LN22.015790392733,EL181.206540,--
--GS,PN131,N 4601246.4377,E 586659.5754,EL135.5654,--
G0,04/18/2022 09:48:58,Base ID read at rover: 0010
G1,BP0010,PN131,DX-2806.142,DY-6203.888,DZ5519.694
G2,VX0.01578889,VY0.00773553,VZ0.01302939
G3,XY0.00004848,XZ0.00012101,YZ0.00002698
--GT,PN131,SW2206,ST121738009,EW2206,ET121738009
--HSIG:0.012, VSI:0.018, STATUS:FIXED, SATS:14, PDOP:1.448,
HDOP:0.762, VDOP:1.231
GPS,PN132,LA41.330162911050,LN22.015743768434,EL181.628800,--
--GS,PN132,N 4601254.8486,E 586588.6684,EL135.9878,--
G0,04/18/2022 09:49:20,Base ID read at rover: 0010
G1,BP0010,PN132,DX-2807.047,DY-6215.911,DZ5526.366
G2,VX0.01579699,VY0.00774093,VZ0.01302420
G3,XY0.00004776,XZ0.00012033,YZ0.00002694
--GT,PN132,SW2206,ST121760008,EW2206,ET121760008
--HSIG:0.012, VSI:0.018, STATUS:FIXED, SATS:14, PDOP:1.445,
HDOP:0.762, VDOP:1.228
GPS,PN133,LA41.330174421324,LN22.015754288890,EL182.146806,--
--GS,PN133,N 4601258.4286,E 586591.0638,EL136.5057,--
G0,04/18/2022 09:49:30,Base ID read at rover: 0010
G1,BP0010,PN133,DX-2809.785,DY-6214.389,DZ5529.367

G2,VX0.01688329,VY0.00775031,VZ0.01335816
G3,XY0.00004937,XZ0.00013454,YZ0.00002670
--GT,PN133,SW2206,ST121770008,EW2206,ET121770008
--HSIG:0.012, VSI:0.019, STATUS:FIXED, SATS:12, PDOP:1.978,
HDOP:1.035, VDOP:1.685
GPS,PN134,LA41.330191052545,LN22.015766237280,EL182.460992,--
--GS,PN134,N 4601263.5924,E 586593.7712,EL136.8199,--
G0,04/18/2022 09:49:41,Base ID read at rover: 0010
G1,BP0010,PN134,DX-2813.761,DY-6213.010,DZ5533.415
G2,VX0.01580667,VY0.00774427,VZ0.01308295
G3,XY0.00004701,XZ0.00012156,YZ0.00002600
--GT,PN134,SW2206,ST121781008,EW2206,ET121781008
--HSIG:0.012, VSI:0.018, STATUS:FIXED, SATS:13, PDOP:1.547,
HDOP:0.825, VDOP:1.309
GPS,PN135,LA41.330172809803,LN22.015818097051,EL182.825416,--
--GS,PN135,N 4601258.1088,E 586605.8565,EL137.1842,--
G0,04/18/2022 09:50:18,Base ID read at rover: 0010
G1,BP0010,PN135,DX-2814.556,DY-6200.366,DZ5529.445
G2,VX0.01693666,VY0.00782673,VZ0.01333896
G3,XY0.00004954,XZ0.00013628,YZ0.00002741
--GT,PN135,SW2206,ST121818008,EW2206,ET121818008
--HSIG:0.012, VSI:0.019, STATUS:FIXED, SATS:12, PDOP:1.976,
HDOP:1.033, VDOP:1.685
GPS,PN136,LA41.330126767607,LN22.015885365793,EL182.948848,--
--GS,PN136,N 4601244.0921,E 586621.6156,EL137.3076,--
G0,04/18/2022 09:50:41,Base ID read at rover: 0010
G1,BP0010,PN136,DX-2811.585,DY-6182.346,DZ5518.896
G2,VX0.01604477,VY0.00783219,VZ0.01343627
G3,XY0.00004766,XZ0.00012984,YZ0.00002671
--GT,PN136,SW2206,ST121841008,EW2206,ET121841008
--HSIG:0.012, VSI:0.019, STATUS:FIXED, SATS:13, PDOP:1.543,
HDOP:0.824, VDOP:1.304
GPS,PN137,LA41.330133369986,LN22.015900129216,EL183.484942,--
--GS,PN137,N 4601246.1699,E 586625.0124,EL137.8436,--
G0,04/18/2022 09:50:50,Base ID read at rover: 0010
G1,BP0010,PN137,DX-2813.750,DY-6179.530,DZ5520.776
G2,VX0.01577366,VY0.00782306,VZ0.01311112
G3,XY0.00004850,XZ0.00012164,YZ0.00002790
--GT,PN137,SW2206,ST121850009,EW2206,ET121850009
--HSIG:0.012, VSI:0.018, STATUS:FIXED, SATS:14, PDOP:1.437,
HDOP:0.760, VDOP:1.219
GPS,PN138,LA41.330119025977,LN22.015920098637,EL182.576356,--
--GS,PN138,N 4601241.8004,E 586629.6931,EL136.9350,--
G0,04/18/2022 09:51:02,Base ID read at rover: 0010
G1,BP0010,PN138,DX-2813.395,DY-6174.394,DZ5516.862
G2,VX0.01588437,VY0.00784838,VZ0.01326091
G3,XY0.00004810,XZ0.00012501,YZ0.00002711
--GT,PN138,SW2206,ST121862008,EW2206,ET121862008
--HSIG:0.012, VSI:0.019, STATUS:FIXED, SATS:13, PDOP:1.541,
HDOP:0.824, VDOP:1.303
GPS,PN139,LA41.330089158843,LN22.015985257271,EL182.424166,--
--GS,PN139,N 4601232.7678,E 586644.9034,EL136.7827,--
G0,04/18/2022 09:51:22,Base ID read at rover: 0010
G1,BP0010,PN139,DX-2813.500,DY-6158.146,DZ5509.865
G2,VX0.01600383,VY0.00784025,VZ0.01338255
G3,XY0.00004858,XZ0.00012823,YZ0.00002691
--GT,PN139,SW2206,ST121882008,EW2206,ET121882008
--HSIG:0.012, VSI:0.019, STATUS:FIXED, SATS:13, PDOP:1.540,
HDOP:0.824, VDOP:1.301
GPS,PN140,LA41.330075175960,LN22.015992782150,EL183.047892,--
--GS,PN140,N 4601228.4751,E 586646.6989,EL137.4064,--
G0,04/18/2022 09:51:30,Base ID read at rover: 0010
G1,BP0010,PN140,DX-2811.069,DY-6155.280,DZ5507.050
G2,VX0.01595126,VY0.00791363,VZ0.01479658
G3,XY0.00004820,XZ0.00012971,YZ0.00002200
--GT,PN140,SW2206,ST121890008,EW2206,ET121890008
--HSIG:0.013, VSI:0.019, STATUS:FIXED, SATS:11, PDOP:2.130,
HDOP:1.339, VDOP:1.656
GPS,PN141,LA41.330038296773,LN22.020082817735,EL182.727328,--
--GS,PN141,N 4601217.3486,E 586667.7001,EL137.0857,--
G0,04/18/2022 09:51:56,Base ID read at rover: 0010
G1,BP0010,PN141,DX-2812.124,DY-6133.196,DZ5498.322
G2,VX0.01591466,VY0.00782799,VZ0.01336026
G3,XY0.00004702,XZ0.00012792,YZ0.00002584
--GT,PN141,SW2206,ST121916008,EW2206,ET121916008
--HSIG:0.012, VSI:0.019, STATUS:FIXED, SATS:13, PDOP:1.537,
HDOP:0.823, VDOP:1.298
GPS,PN142,LA41.325967153961,LN22.020252353221,EL182.084821,--
--GS,PN142,N 4601204.5462,E 586691.4797,EL136.7542,--
G0,04/18/2022 09:52:28,Base ID read at rover: 0010
G1,BP0010,PN142,DX-2813.171,DY-6108.134,DZ5488.308
G2,VX0.01589520,VY0.00797891,VZ0.01304900
G3,XY0.00005128,XZ0.00012094,YZ0.00002828
--GT,PN142,SW2206,ST121948009,EW2206,ET121948009
--HSIG:0.012, VSI:0.019, STATUS:FIXED, SATS:13, PDOP:1.534,
HDOP:0.823, VDOP:1.295
GPS,PN143,LA41.325967153961,LN22.020252353221,EL182.084821,--
--GS,PN143,N 4601195.8732,E 586707.2515,EL136.4430,--
G0,04/18/2022 09:52:57,Base ID read at rover: 0010
G1,BP0010,PN143,DX-2813.816,DY-6091.493,DZ5481.470
G2,VX0.01563753,VY0.00771364,VZ0.01314509
G3,XY0.00004509,XZ0.00012198,YZ0.00002520
--GT,PN143,SW2206,ST121977008,EW2206,ET121977008

--HSIG:0.012, VSIG:0.018, STATUS:FIXED, SATS:13, PDOP:1.532, HDOP:0.822, VDOP:1.292
GPS,PN144,LA41.325941999751,LN22.020319863553,EL181.775760,--
--GS,PN144,N 4601188.3012,E 586722.9894,EL136.1338,--
G0,04/18/2022 09:53:18,Base ID read at rover: 0010
G1,BP0010,PN144,DX-2815.128,DY-6075.145,DZ5475.457
G2,VX0.01583426,VY0.00776340,VZ0.01336811
G3,XY0.00004619,XZ0.00012724,YZ0.00002504
--GT,PN144,SW2206,ST121998008,EW2206,ET121998008
--HSIG:0.012, VSIG:0.019, STATUS:FIXED, SATS:13, PDOP:1.966, HDOP:1.025, VDOP:1.678
GPS,PN145,LA41.325908835898,LN22.020289643407,EL182.013874,--
--GS,PN145,N 4601177.9863,E 586716.1091,EL136.3720,--
G0,04/18/2022 09:53:33,Base ID read at rover: 0010
G1,BP0010,PN145,DX-2806.045,DY-6079.025,DZ5467.958
G2,VX0.01580894,VY0.00789085,VZ0.01343264
G3,XY0.00004407,XZ0.00012543,YZ0.00002479
--GT,PN145,SW2206,ST122013008,EW2206,ET122013008
--HSIG:0.012, VSIG:0.019, STATUS:FIXED, SATS:12, PDOP:1.883, HDOP:1.062, VDOP:1.556
GPS,PN146,LA41.325880656036,LN22.020254538428,EL182.224700,--
--GS,PN146,N 4601169.1954,E 586708.0782,EL136.5830,--
G0,04/18/2022 09:53:49,Base ID read at rover: 0010
G1,BP0010,PN146,DX-2797.501,DY-6084.344,DZ5461.591
G2,VX0.01535966,VY0.00760796,VZ0.01291954
G3,XY0.00004241,XZ0.00011313,YZ0.00002457
--GT,PN146,SW2206,ST122029009,EW2206,ET122029009
--HSIG:0.012, VSIG:0.018, STATUS:FIXED, SATS:14, PDOP:1.744, HDOP:0.984, VDOP:1.439
GPS,PN147,LA41.325863122140,LN22.020235722350,EL182.600976,--
--GS,PN147,N 4601163.7341,E 586703.7827,EL136.9593,--
G0,04/18/2022 09:54:01,Base ID read at rover: 0010
G1,BP0010,PN147,DX-2792.278,DY-6086.935,DZ5457.792
G2,VX0.01540272,VY0.00765556,VZ0.01287639
G3,XY0.00004389,XZ0.00011301,YZ0.00002527
--GT,PN147,SW2206,ST122041009,EW2206,ET122041009
--HSIG:0.012, VSIG:0.018, STATUS:FIXED, SATS:14, PDOP:1.417, HDOP:0.757, VDOP:1.198
GPS,PN148,LA41.325803325416,LN22.020321451055,EL182.411898,--
--GS,PN148,N 4601145.5258,E 586723.8710,EL136.7701,--
G0,04/18/2022 09:54:33,Base ID read at rover: 0010
G1,BP0010,PN148,DX-2788.521,DY-6063.980,DZ5443.860
G2,VX0.01634036,VY0.00834507,VZ0.01364442
G3,XY0.00005514,XZ0.00013367,YZ0.00003225
--GT,PN148,SW2206,ST122073008,EW2206,ET122073008
--HSIG:0.012, VSIG:0.019, STATUS:FIXED, SATS:11, PDOP:1.638, HDOP:0.883, VDOP:1.379
GPS,PN149,LA41.325832040299,LN22.020352929097,EL182.181621,--
--GS,PN149,N 4601154.4717,E 586731.0594,EL136.5397,--
G0,04/18/2022 09:54:48,Base ID read at rover: 0010
G1,BP0010,PN149,DX-2796.864,DY-6059.486,DZ5450.338
G2,VX0.01770553,VY0.00807145,VZ0.01455326
G3,XY0.00005545,XZ0.00014816,YZ0.00002582
--GT,PN149,SW2206,ST122088008,EW2206,ET122088008
--HSIG:0.013, VSIG:0.020, STATUS:FIXED, SATS:10, PDOP:2.311, HDOP:1.112, VDOP:2.026
GPS,PN150,LA41.325866513871,LN22.020387167910,EL181.557863,--
--GS,PN150,N 4601165.2018,E 586738.8662,EL135.9159,--
G0,04/18/2022 09:55:24,Base ID read at rover: 0010
G1,BP0010,PN150,DX-2806.813,DY-6054.952,DZ5457.884
G2,VX0.02476274,VY0.01278910,VZ0.01703612
G3,XY0.00011509,XZ0.00020429,YZ0.00005961
--GT,PN150,SW2206,ST122124007,EW2206,ET122124007
--HSIG:0.019, VSIG:0.026, STATUS:FIXED, SATS:10, PDOP:2.304, HDOP:1.111, VDOP:2.018
GPS,PN151,LA41.325891105314,LN22.020416063713,EL181.516969,--
--GS,PN151,N 4601172.8684,E 586745.4714,EL135.8749,--
G0,04/18/2022 09:55:37,Base ID read at rover: 0010
G1,BP0010,PN151,DX-2814.018,DY-6050.644,DZ5463.534
G2,VX0.02755859,VY0.01086232,VZ0.01731286
G3,XY0.00016841,XZ0.00035746,YZ0.00008052
--GT,PN151,SW2206,ST122137008,EW2206,ET122137008
--HSIG:0.016, VSIG:0.031, STATUS:FIXED, SATS:12, PDOP:1.954, HDOP:1.019, VDOP:1.668
GPS,PN152,LA41.325857992846,LN22.020514404676,EL181.054313,--
--GS,PN152,N 4601162.9272,E 586768.3836,EL135.4121,--
G0,04/18/2022 09:56:22,Base ID read at rover: 0010
G1,BP0010,PN152,DX-2816.609,DY-6027.104,DZ5455.582
G2,VX0.01795415,VY0.00823499,VZ0.01441357
G3,XY0.00005991,XZ0.00015161,YZ0.00002997
--GT,PN152,SW2206,ST122182008,EW2206,ET122182008
--HSIG:0.013, VSIG:0.021, STATUS:FIXED, SATS:10, PDOP:2.150, HDOP:1.075, VDOP:1.862
GPS,PN153,LA41.325811060056,LN22.020480758095,EL181.434855,--
--GS,PN153,N 4601148.3552,E 586760.7603,EL135.7927,--
G0,04/18/2022 09:56:48,Base ID read at rover: 0010
G1,BP0010,PN153,DX-2804.517,DY-6030.623,DZ5444.998
G2,VX0.01621454,VY0.00869684,VZ0.01352405
G3,XY0.00006046,XZ0.00012975,YZ0.00003500
--GT,PN153,SW2206,ST122208009,EW2206,ET122208009
--HSIG:0.012, VSIG:0.019, STATUS:FIXED, SATS:11, PDOP:1.789, HDOP:0.988, VDOP:1.492
GPS,PN154,LA41.325783647379,LN22.020441615079,EL181.987620,--

--GS,PN154,N 4601139.7897,E 586751.7908,EL136.3456,--
G0,04/18/2022 09:57:20,Base ID read at rover: 0010
G1,BP0010,PN154,DX-2795.530,DY-6036.773,DZ5439.035
G2,VX0.02520375,VY0.01347007,VZ0.01756169
G3,XY0.00013279,XZ0.00020038,YZ0.00006459
--GT,PN154,SW2206,ST122240008,EW2206,ET122240008
--HSIG:0.020, VSIG:0.027, STATUS:FIXED, SATS:8, PDOP:2.476, HDOP:1.396, VDOP:2.045
GPS,PN155,LA41.325740550086,LN22.020399411968,EL182.333339,--
--GS,PN155,N 4601126.3772,E 586742.1703,EL136.6915,--
G0,04/18/2022 09:57:54,Base ID read at rover: 0010
G1,BP0010,PN155,DX-2783.446,DY-6042.434,DZ5429.314
G2,VX0.01878773,VY0.00871313,VZ0.01370233
G3,XY0.00007979,XZ0.00015564,YZ0.00003900
--GT,PN155,SW2206,ST122274009,EW2206,ET122274009
--HSIG:0.013, VSIG:0.021, STATUS:FIXED, SATS:13, PDOP:14.216, HDOP:9.613, VDOP:10.474
GPS,PN156,LA41.325680810684,LN22.020479028825,EL182.165589,--
--GS,PN156,N 4601108.1697,E 586760.8422,EL136.5236,--
G0,04/18/2022 09:58:30,Base ID read at rover: 0010
G1,BP0010,PN156,DX-2779.154,DY-6020.790,DZ5415.409
G2,VX0.01751333,VY0.00918667,VZ0.01456911
G3,XY0.00003612,XZ0.00016279,YZ0.00001133
--GT,PN156,SW2206,ST122310009,EW2206,ET122310009
--HSIG:0.014, VSIG:0.020, STATUS:FIXED, SATS:13, PDOP:1.498, HDOP:0.818, VDOP:1.255
GPS,PN157,LA41.325704106842,LN22.020527329779,EL181.582620,--
--GS,PN157,N 4601115.4908,E 586771.9492,EL135.9405,--
G0,04/18/2022 09:58:50,Base ID read at rover: 0010
G1,BP0010,PN157,DX-2788.177,DY-6012.365,DZ5420.401
G2,VX0.02606558,VY0.01329714,VZ0.01981691
G3,XY0.00005971,XZ0.00035444,YZ0.00000780
--GT,PN157,SW2206,ST122330008,EW2206,ET122330008
--HSIG:0.020, VSIG:0.029, STATUS:FIXED, SATS:8, PDOP:2.845, HDOP:1.534, VDOP:2.396
GPS,PN158,LA41.325752810655,LN22.020589571484,EL181.011447,--
--GS,PN158,N 4601130.6888,E 586786.1927,EL135.3692,--
G0,04/18/2022 09:59:24,Base ID read at rover: 0010
G1,BP0010,PN158,DX-2803.223,DY-6002.893,DZ5431.268
G2,VX0.03517234,VY0.01607052,VZ0.02248992
G3,XY0.00005181,XZ0.00065667,YZ0.00002179
--GT,PN158,SW2206,ST122364008,EW2206,ET122364008
--HSIG:0.023, VSIG:0.038, STATUS:FIXED, SATS:10, PDOP:2.082, HDOP:1.116, VDOP:1.757
GPS,PN159,LA41.32572945350,LN22.020618951926,EL180.731430,--
--GS,PN159,N 4601136.9820,E 586792.9267,EL135.0891,--
G0,04/18/2022 09:59:41,Base ID read at rover: 0010
G1,BP0010,PN159,DX-2809.791,DY-5998.205,DZ5435.731
G2,VX0.03115067,VY0.01726617,VZ0.02019004
G3,XY0.00024095,XZ0.00029043,YZ0.00011919
--GT,PN159,SW2206,ST122381008,EW2206,ET122381008
--HSIG:0.025, VSIG:0.033, STATUS:FIXED, SATS:9, PDOP:2.836, HDOP:1.544, VDOP:2.379
GPS,PN160,LA41.325795817482,LN22.020642127452,EL180.707231,--
--GS,PN160,N 4601144.1023,E 586798.2126,EL135.0648,--
G0,04/18/2022 09:59:52,Base ID read at rover: 0010
G1,BP0010,PN160,DX-2816.162,DY-5994.989,DZ5440.996
G2,VX0.01747988,VY0.00839418,VZ0.01382206
G3,XY0.00006136,XZ0.00014460,YZ0.00002914
--GT,PN160,SW2206,ST122392008,EW2206,ET122392008
--HSIG:0.013, VSIG:0.020, STATUS:FIXED, SATS:12, PDOP:1.926, HDOP:1.007, VDOP:1.642
GPS,PN161,LA41.325748266727,LN22.020750564345,EL180.422526,--
--GS,PN161,N 4601129.7354,E 586823.5182,EL134.7799,--
G0,04/18/2022 10:00:37,Base ID read at rover: 0010
G1,BP0010,PN161,DX-2816.769,DY-5968.123,DZ5429.828
G2,VX0.01644814,VY0.00804692,VZ0.01364102
G3,XY0.00005305,XZ0.00012669,YZ0.00002595
--GT,PN161,SW2206,ST122437008,EW2206,ET122437008
--HSIG:0.013, VSIG:0.019, STATUS:FIXED, SATS:12, PDOP:1.921, HDOP:1.005, VDOP:1.637
GPS,PN162,LA41.325736201314,LN22.020744343862,EL181.570253,--
--GS,PN162,N 4601125.9960,E 586822.1215,EL135.9277,--
G0,04/18/2022 10:00:45,Base ID read at rover: 0010
G1,BP0010,PN162,DX-2813.143,DY-5968.210,DZ5427.804
G2,VX0.01685076,VY0.00860098,VZ0.01398389
G3,XY0.00005095,XZ0.00011239,YZ0.00002579
--GT,PN162,SW2206,ST122445009,EW2206,ET122445009
--HSIG:0.014, VSIG:0.019, STATUS:FIXED, SATS:14, PDOP:1.369, HDOP:0.750, VDOP:1.146
GPS,PN163,LA41.325723094300,LN22.020731103239,EL181.421068,--
--GS,PN163,N 4601121.9157,E 586819.1017,EL135.7785,--
G0,04/18/2022 10:00:53,Base ID read at rover: 0010
G1,BP0010,PN163,DX-2809.609,DY-5970.091,DZ5424.678
G2,VX0.01543831,VY0.00797498,VZ0.01288053
G3,XY0.00005112,XZ0.00011162,YZ0.00002571
--GT,PN163,SW2206,ST122453009,EW2206,ET122453009
--HSIG:0.012, VSIG:0.018, STATUS:FIXED, SATS:14, PDOP:1.368, HDOP:0.750, VDOP:1.145
GPS,PN164,LA41.325715391270,LN22.020720533439,EL180.638652,--
--GS,PN164,N 4601119.5100,E 586816.6807,EL134.9962,--
G0,04/18/2022 10:01:01,Base ID read at rover: 0010
G1,BP0010,PN164,DX-2807.772,DY-5971.990,DZ5422.381

G2,VX0.01554472,VY0.00815124,VZ0.01292119
G3,XY0.00005314,XZ0.00011254,YZ0.00002697
--GT,PN164,SW2206,ST122461009,EW2206,ET122461009
--HSIG:0.012, VSI:0.018, STATUS:FIXED, SATS:13, PDOP:1.401,
HDOP:0.772, VDOP:1.169
GPS,PN165,LA41.325679348769,LN22.020695494314,EL181.023892,--
--GS,PN165,N 4601108.3214,E 586811.0118,EL135.3815,--
G0,04/18/2022 10:01:20,Base ID read at rover: 0010
G1,BP0010,PN165,DX-2798.490,DY-5974.494,DZ5414.314
G2,VX0.02298967,VY0.01185100,VZ0.01570543
G3,XY0.00008133,XZ0.00016467,YZ0.00004304
--GT,PN165,SW2206,ST122480009,EW2206,ET122480009
--HSIG:0.019, VSI:0.024, STATUS:FIXED, SATS:11, PDOP:1.951,
HDOP:1.031, VDOP:1.656
GPS,PN166,LA41.325651453011,LN22.020662505938,EL181.417798,--
--GS,PN166,N 4601099.6240,E 586803.4704,EL135.7755,--
G0,04/18/2022 10:01:57,Base ID read at rover: 0010
G1,BP0010,PN166,DX-2790.057,DY-5979.329,DZ5408.135
G2,VX0.03691861,VY0.02072121,VZ0.02257039
G3,XY0.00061805,XZ0.00062095,YZ0.00028349
--GT,PN166,SW2206,ST122517008,EW2206,ET122517008
--HSIG:0.022, VSI:0.043, STATUS:FIXED, SATS:10, PDOP:1.602,
HDOP:0.881, VDOP:1.338
GPS,PN167,LA41.325619494294,LN22.020622033156,EL181.570345,--
--GS,PN167,N 4601089.6523,E 586794.2096,EL135.9282,--
G0,04/18/2022 10:02:13,Base ID read at rover: 0010
G1,BP0010,PN167,DX-2780.370,DY-5985.527,DZ5400.857
G2,VX0.02623413,VY0.01279516,VZ0.01890909
G3,XY0.00018606,XZ0.00029917,YZ0.00008004
--GT,PN167,SW2206,ST122533009,EW2206,ET122533009
--HSIG:0.018, VSI:0.030, STATUS:FIXED, SATS:13, PDOP:1.512,
HDOP:0.848, VDOP:1.252
BP,PN0015,LA41.440935590013,LN22.112755871829,EL339.6173,AGO.000,PA
0.088,--
GPS,PN168,LA41.325596308316,LN22.020578923388,EL182.245104,--
--GS,PN168,N 4601082.3796,E 586784.3052,EL136.6031,--
G0,04/18/2022 10:04:16,Base ID read at rover: 0015
G1,BP0015,PN168,DX17575.032,DY-6892.403,DZ-15630.758
G2,VX0.03295060,VY0.01969898,VZ0.02401924
G3,XY0.00009456,XZ0.00059851,YZ-0.00002073
--GT,PN168,SW2206,ST122656009,EW2206,ET122656009
--HSIG:0.026, VSI:0.037, STATUS:FIXED, SATS:14, PDOP:1.343,
HDOP:0.747, VDOP:1.116
GPS,PN169,LA41.325541859299,LN22.020640385381,EL182.395619,--
--GS,PN169,N 4601065.7537,E 586798.7504,EL136.7535,--
G0,04/18/2022 10:04:41,Base ID read at rover: 0015
G1,BP0015,PN169,DX17580.120,DY-6874.976,DZ-15643.230
G2,VX0.02732609,VY0.01372137,VZ0.02045379
G3,XY0.00009132,XZ0.00037716,YZ0.00001910
--GT,PN169,SW2206,ST122681008,EW2206,ET122681008
--HSIG:0.020, VSI:0.031, STATUS:FIXED, SATS:12, PDOP:1.887,
HDOP:0.995, VDOP:1.603
GPS,PN170,LA41.325555292087,LN22.020666979526,EL181.989620,--
--GS,PN170,N 4601069.9717,E 586804.8636,EL136.3474,--
G0,04/18/2022 10:04:52,Base ID read at rover: 0015
G1,BP0015,PN170,DX17574.978,DY-6870.408,DZ-15640.398
G2,VX0.03097231,VY0.01649647,VZ0.02500553
G3,XY0.00015768,XZ0.00052028,YZ0.00003395
--GT,PN170,SW2206,ST122692008,EW2206,ET122692008
--HSIG:0.023, VSI:0.036, STATUS:FIXED, SATS:12, PDOP:1.451,
HDOP:0.813, VDOP:1.202
GPS,PN171,LA41.325588565769,LN22.020727320901,EL181.328603,--
--GS,PN171,N 4601080.4044,E 586818.7240,EL135.6863,--
G0,04/18/2022 10:05:08,Base ID read at rover: 0015
G1,BP0015,PN171,DX17562.961,DY-6860.184,DZ-15633.154
G2,VX0.04590648,VY0.02354075,VZ0.02933356
G3,XY0.00048132,XZ0.00072112,YZ0.00021733
--GT,PN171,SW2206,ST122708008,EW2206,ET122708008
--HSIG:0.034, VSI:0.049, STATUS:FIXED, SATS:9, PDOP:2.173,
HDOP:1.095, VDOP:1.877
BP,PN0010,LA41.290145646972,LN22.052040985730,EL214.5085,AGO.000,PA
0.088,--
GPS,PN172,LA41.325626894540,LN22.020787955226,EL180.832242,--
--GS,PN172,N 4601092.3973,E 586832.6334,EL135.1897,--
G0,04/18/2022 10:05:43,Base ID read at rover: 0010
G1,BP0010,PN172,DX-2796.714,DY-5950.657,DZ5402.076
G2,VX0.02211758,VY0.01124309,VZ0.02216831
G3,XY0.00009566,XZ0.00027898,YZ0.00003423
--GT,PN172,SW2206,ST122743009,EW2206,ET122743009
--HSIG:0.018, VSI:0.028, STATUS:FIXED, SATS:12, PDOP:1.971,
HDOP:1.130, VDOP:1.616
GPS,PN173,LA41.325662793963,LN22.020817680411,EL180.522944,--
--GS,PN173,N 4601103.5548,E 586839.3888,EL134.8803,--
G0,04/18/2022 10:06:05,Base ID read at rover: 0010
G1,BP0010,PN173,DX-2806.322,DY-5947.114,DZ5410.160
G2,VX0.02186852,VY0.01116912,VZ0.01929611
G3,XY0.00010226,XZ0.00025213,YZ0.00004752
--GT,PN173,SW2206,ST122765009,EW2206,ET122765009
--HSIG:0.017, VSI:0.026, STATUS:FIXED, SATS:13, PDOP:1.442,
HDOP:0.812, VDOP:1.191
GPS,PN174,LA41.325673736493,LN22.020822444403,EL181.143363,--
--GS,PN174,N 4601106.9437,E 586840.4523,EL135.5007,--
G0,04/18/2022 10:06:11,Base ID read at rover: 0010

G1,BP0010,PN174,DX-2808.382,DY-5946.756,DZ5413.098
G2,VX0.02081739,VY0.01058578,VZ0.01850187
G3,XY0.00008804,XZ0.00022723,YZ0.00004099
--GT,PN174,SW2206,ST122771009,EW2206,ET122771009
--HSIG:0.016, VSI:0.025, STATUS:FIXED, SATS:13, PDOP:1.873,
HDOP:0.992, VDOP:1.589
GPS,PN175,LA41.325697732013,LN22.020842908288,EL181.102422,--
--GS,PN175,N 4601114.4032,E 586845.1056,EL135.4597,--
G0,04/18/2022 10:06:22,Base ID read at rover: 0010
G1,BP0010,PN175,DX-2814.741,DY-5944.213,DZ5418.611
G2,VX0.02034098,VY0.01035673,VZ0.01711264
G3,XY0.00008959,XZ0.00019780,YZ0.00004324
--GT,PN175,SW2206,ST122782008,EW2206,ET122782008
--HSIG:0.016, VSI:0.024, STATUS:FIXED, SATS:12, PDOP:1.872,
HDOP:0.991, VDOP:1.588
GPS,PN176,LA41.325702453967,LN22.020851982691,EL180.135060,--
--GS,PN176,N 4601115.8851,E 586847.1910,EL134.4923,--
G0,04/18/2022 10:06:29,Base ID read at rover: 0010
G1,BP0010,PN176,DX-2817.097,DY-5942.898,DZ5419.060
G2,VX0.01957254,VY0.00994240,VZ0.01624616
G3,XY0.00008371,XZ0.00017852,YZ0.00004033
--GT,PN176,SW2206,ST122789009,EW2206,ET122789009
--HSIG:0.015, VSI:0.023, STATUS:FIXED, SATS:12, PDOP:1.871,
HDOP:0.991, VDOP:1.587
GPS,PN177,LA41.325709049691,LN22.020873681090,EL179.782445,--
--GS,PN177,N 4601117.9803,E 586852.1950,EL134.1396,--
G0,04/18/2022 10:06:39,Base ID read at rover: 0010
G1,BP0010,PN177,DX-2820.479,DY-5938.842,DZ5420.349
G2,VX0.01831043,VY0.00964268,VZ0.01557287
G3,XY0.00007604,XZ0.00015613,YZ0.00003728
--GT,PN177,SW2206,ST122799009,EW2206,ET122799009
--HSIG:0.014, VSI:0.022, STATUS:FIXED, SATS:14, PDOP:1.869,
HDOP:0.991, VDOP:1.585
GPS,PN178,LA41.325686465622,LN22.020940733328,EL180.053977,--
--GS,PN178,N 4601111.2002,E 586867.8176,EL134.4111,--
G0,04/18/2022 10:06:59,Base ID read at rover: 0010
G1,BP0010,PN178,DX-2821.838,DY-5922.627,DZ5415.314
G2,VX0.01903673,VY0.01001393,VZ0.01638164
G3,XY0.00008011,XZ0.00017570,YZ0.00003803
--GT,PN178,SW2206,ST122819008,EW2206,ET122819008
--HSIG:0.015, VSI:0.023, STATUS:FIXED, SATS:13, PDOP:1.761,
HDOP:1.050, VDOP:1.413
GPS,PN179,LA41.325677576217,LN22.020941401203,EL180.350481,--
--GS,PN179,N 4601108.4597,E 586868.0053,EL134.7076,--
G0,04/18/2022 10:07:05,Base ID read at rover: 0010
G1,BP0010,PN179,DX-2820.004,DY-5921.717,DZ5413.458
G2,VX0.01878457,VY0.00987209,VZ0.01621428
G3,XY0.00007759,XZ0.00017185,YZ0.00003667
--GT,PN179,SW2206,ST122825009,EW2206,ET122825009
--HSIG:0.015, VSI:0.022, STATUS:FIXED, SATS:13, PDOP:1.434,
HDOP:0.812, VDOP:1.182
GPS,PN180,LA41.325632765939,LN22.020919142159,EL180.379784,--
--GS,PN180,N 4601094.5742,E 586863.0132,EL134.7370,--
G0,04/18/2022 10:07:24,Base ID read at rover: 0010
G1,BP0010,PN180,DX-2809.548,DY-5923.051,DZ5403.132
G2,VX0.01878592,VY0.01022458,VZ0.01651967
G3,XY0.00008222,XZ0.00017749,YZ0.00004194
--GT,PN180,SW2206,ST122844009,EW2206,ET122844009
--HSIG:0.015, VSI:0.023, STATUS:FIXED, SATS:11, PDOP:1.490,
HDOP:0.845, VDOP:1.227
GPS,PN181,LA41.325591749301,LN22.020872386366,EL180.625042,--
--GS,PN181,N 4601081.7906,E 586852.3301,EL134.9824,--
G0,04/18/2022 10:07:46,Base ID read at rover: 0010
G1,BP0010,PN181,DX-2797.533,DY-5929.878,DZ5393.824
G2,VX0.01791244,VY0.00952874,VZ0.01551322
G3,XY0.00007154,XZ0.00015240,YZ0.00003551
--GT,PN181,SW2206,ST122866010,EW2206,ET122866010
--HSIG:0.014, VSI:0.021, STATUS:FIXED, SATS:14, PDOP:1.317,
HDOP:0.744, VDOP:1.086
GPS,PN182,LA41.325543048194,LN22.020829082407,EL181.554653,--
--GS,PN182,N 4601066.6461,E 586842.4753,EL135.9122,--
G0,04/18/2022 10:08:23,Base ID read at rover: 0010
G1,BP0010,PN182,DX-2783.884,DY-5935.181,DZ5383.195
G2,VX0.01938965,VY0.01095856,VZ0.01652330
G3,XY0.00008809,XZ0.00017638,YZ0.00004831
--GT,PN182,SW2206,ST122903009,EW2206,ET122903009
--HSIG:0.016, VSI:0.023, STATUS:FIXED, SATS:11, PDOP:2.078,
HDOP:1.068, VDOP:1.782
GPS,PN183,LA41.325516074090,LN22.020806713165,EL181.680708,--
--GS,PN183,N 4601058.2625,E 586837.3914,EL136.0383,--
G0,04/18/2022 10:08:35,Base ID read at rover: 0010
G1,BP0010,PN183,DX-2776.735,DY-5937.880,DZ5377.051
G2,VX0.01831107,VY0.00978403,VZ0.01705433
G3,XY0.00007377,XZ0.00016959,YZ0.00003291
--GT,PN183,SW2206,ST122915009,EW2206,ET122915009
--HSIG:0.015, VSI:0.022, STATUS:FIXED, SATS:11, PDOP:1.786,
HDOP:1.077, VDOP:1.425
GPS,PN184,LA41.325485482305,LN22.020765924127,EL182.071733,--
--GS,PN184,N 4601048.7116,E 586828.0523,EL136.4294,--
G0,04/18/2022 10:08:49,Base ID read at rover: 0010
G1,BP0010,PN184,DX-2767.115,DY-5944.185,DZ5370.247
G2,VX0.02472416,VY0.01102230,VZ0.02446992
G3,XY0.00009672,XZ0.00031038,YZ0.00003080

--GT,PN184,SW2206,ST122929008,EW2206,ET122929008
--HSIG:0.021, VSI:0.030, STATUS:FIXED, SATS:10, PDOP:1.556,
HDOP:0.960, VDOP:1.225
GPS,PN185,LA41.325462588397,LN22.020730856066,EL182.615707,--
--GS,PN185,N 4601041.5513, E 586820.0103,EL136.9735,--
G0,04/18/2022 10:09:02,Base ID read at rover: 0010
G1, BP0010,PN185,DX-2759.346,DY-5949.809,DZ5365.321
G2,VX0.02527384,VY0.01309063,VZ0.01993953
G3,XY0.00018198,XZ0.00031999,YZ0.00008713
--GT,PN185,SW2206,ST122942008,EW2206,ET122942008
--HSIG:0.018, VSI:0.030, STATUS:FIXED, SATS:11, PDOP:2.054,
HDOP:1.103, VDOP:1.733
--DT01-01-2010
--TM02:34:51
--User Defined: NEGOTINO
--Equipment: S9 GNSS SN:41701390
--Antenna Type: [STX_S9],RA0.0930m,SHMP0.0590m,L10.0884m,L20.0924m,--
L1/L2 Integrated Antenna
--Localization File: None
--Geoid Separation File: None
--GPS Scale: 1.00000000
--Scale Point not used
--RTK Method: RTCM V3.0, Device: Internal GSM, Network: NTRIP iMAX-Auto
--Entered HR: 2.0000, Vertical
LS,HR2.0884
GPS,PN186,LA41.325353435776,LN22.020843172066,EL183.268763,--
--GS,PN186,N 4601008.1917, E 586846.4438,EL137.6265,--
G0,04/18/2022 10:17:40,Base ID read at rover: 0010
G1, BP0010,PN186,DX-2747.955,DY-5917.116,DZ5340.552
G2,VX0.01465073,VY0.00822122,YZ0.01275104
G3,XY0.00005514,XZ0.00008989,YZ0.00002646
--GT,PN186,SW2206,ST123460008,EW2206,ET123460008
--HSIG:0.012, VSI:0.017, STATUS:FIXED, SATS:14, PDOP:1.205,
HDOP:0.747, VDOP:0.946
GPS,PN187,LA41.325368569498,LN22.020865826527,EL182.417260,--
--GS,PN187,N 4601012.9234, E 586851.6377,EL136.7749,--
G0,04/18/2022 10:17:52,Base ID read at rover: 0010
G1, BP0010,PN187,DX-2753.386,DY-5913.649,DZ5343.481
G2,VX0.01483868,VY0.00824219,VZ0.01290513
G3,XY0.00005711,XZ0.00009782,YZ0.00002671
--GT,PN187,SW2206,ST123472008,EW2206,ET123472008
--HSIG:0.012, VSI:0.018, STATUS:FIXED, SATS:12, PDOP:1.205,
HDOP:0.747, VDOP:0.946
GPS,PN188,LA41.325417509518,LN22.020933709514,EL181.824566,--
--GS,PN188,N 4601028.2101, E 586867.1877,EL136.1820,--
G0,04/18/2022 10:18:12,Base ID read at rover: 0010
G1, BP0010,PN188,DX-2768.983,DY-5902.989,DZ5354.388
G2,VX0.01519552,VY0.00811094,VZ0.01317518
G3,XY0.00005263,XZ0.00010466,YZ0.00002339
--GT,PN188,SW2206,ST123492008,EW2206,ET123492008
--HSIG:0.012, VSI:0.018, STATUS:FIXED, SATS:12, PDOP:1.759,
HDOP:0.973, VDOP:1.466
GPS,PN189,LA41.325458808276,LN22.020980256145,EL181.544021,--
--GS,PN189,N 4601041.0801, E 586877.8214,EL135.9013,--
G0,04/18/2022 10:18:30,Base ID read at rover: 0010
G1, BP0010,PN189,DX-2781.059,DY-5896.239,DZ5363.738
G2,VX0.01963724,VY0.00993584,VZ0.01488757
G3,XY0.00007794,XZ0.00015877,YZ0.00003159
--GT,PN189,SW2206,ST123510008,EW2206,ET123510008
--HSIG:0.015, VSI:0.022, STATUS:FIXED, SATS:9, PDOP:2.189,
HDOP:1.238, VDOP:1.806
GPS,PN190,LA41.325505554436,LN22.021033182414,EL180.747659,--
--GS,PN190,N 4601055.6484, E 586889.9133,EL135.1048,--
G0,04/18/2022 10:19:05,Base ID read at rover: 0010
G1, BP0010,PN190,DX-2795.080,DY-5888.681,DZ5374.003
G2,VX0.01602235,VY0.00849636,VZ0.01428180
G3,XY0.00006218,XZ0.00012283,YZ0.00002850
--GT,PN190,SW2206,ST123545008,EW2206,ET123545008
--HSIG:0.013, VSI:0.019, STATUS:FIXED, SATS:12, PDOP:1.751,
HDOP:0.972, VDOP:1.456
GPS,PN191,LA41.32555300403,LN22.021066517933,EL180.242409,--
--GS,PN191,N 4601071.0875, E 586897.4540,EL134.5994,--
G0,04/18/2022 10:19:54,Base ID read at rover: 0010
G1, BP0010,PN191,DX-2807.765,DY-5885.481,DZ5385.154
G2,VX0.01618735,VY0.00844920,VZ0.01592222
G3,XY0.00006015,XZ0.00013702,YZ0.00002582
--GT,PN191,SW2206,ST123594008,EW2206,ET123594008
--HSIG:0.014, VSI:0.020, STATUS:FIXED, SATS:11, PDOP:2.485,
HDOP:1.371, VDOP:2.073
GPS,PN192,LA41.325578964381,LN22.021097990290,EL180.168172,--
--GS,PN192,N 4601078.4754, E 586904.6596,EL134.5251,--
G0,04/18/2022 10:20:05,Base ID read at rover: 0010
G1, BP0010,PN192,DX-2815.042,DY-5880.557,DZ5390.569
G2,VX0.01559626,VY0.00844358,VZ0.01393123
G3,XY0.00006140,XZ0.00011205,YZ0.00002881
--GT,PN192,SW2206,ST123605008,EW2206,ET123605008
--HSIG:0.013, VSI:0.019, STATUS:FIXED, SATS:13, PDOP:1.384,
HDOP:0.855, VDOP:1.088
GPS,PN193,LA41.325585952197,LN22.021104220391,EL179.132307,--
--GS,PN193,N 4601080.6485, E 586906.0775,EL133.4892,--
G0,04/18/2022 10:20:11,Base ID read at rover: 0010
G1, BP0010,PN193,DX-2817.628,DY-5880.046,DZ5391.495
G2,VX0.01536656,VY0.00844519,VZ0.01323110

G3,XY0.00006145,XZ0.00009956,YZ0.00002926
--GT,PN193,SW2206,ST123611009,EW2206,ET123611009
--HSIG:0.013, VSI:0.018, STATUS:FIXED, SATS:13, PDOP:1.384,
HDOP:0.855, VDOP:1.088
GPS,PN194,LA41.325593951157,LN22.021107665942,EL180.056993,--
--GS,PN194,N 4601083.1257, E 586906.8463,EL134.4139,--
G0,04/18/2022 10:20:17,Base ID read at rover: 0010
G1, BP0010,PN194,DX-2818.803,DY-5879.660,DZ5393.955
G2,VX0.01533479,VY0.00842608,VZ0.01323769
G3,XY0.00006110,XZ0.00009956,YZ0.00002852
--GT,PN194,SW2206,ST123617009,EW2206,ET123617009
--HSIG:0.013, VSI:0.018, STATUS:FIXED, SATS:13, PDOP:1.384,
HDOP:0.855, VDOP:1.088
GPS,PN195,LA41.325604296367,LN22.021120399773,EL179.505001,--
--GS,PN195,N 4601086.3526, E 586909.7588,EL133.8618,--
G0,04/18/2022 10:20:23,Base ID read at rover: 0010
G1, BP0010,PN195,DX-2822.256,DY-5877.874,DZ5395.978
G2,VX0.01541543,VY0.00843572,VZ0.01336635
G3,XY0.00006103,XZ0.00010144,YZ0.00002840
--GT,PN195,SW2206,ST123623009,EW2206,ET123623009
--HSIG:0.013, VSI:0.018, STATUS:FIXED, SATS:12, PDOP:1.384,
HDOP:0.855, VDOP:1.088
GPS,PN196,LA41.325560298089,LN22.021224226666,EL179.269522,--
--GS,PN196,N 4601073.0691, E 586933.9834,EL133.6262,--
G0,04/18/2022 10:20:51,Base ID read at rover: 0010
G1, BP0010,PN196,DX-2823.102,DY-5852.256,DZ5385.663
G2,VX0.01585910,VY0.00844593,VZ0.01400283
G3,XY0.00006197,XZ0.00011674,YZ0.00002918
--GT,PN196,SW2206,ST123651008,EW2206,ET123651008
--HSIG:0.013, VSI:0.019, STATUS:FIXED, SATS:12, PDOP:1.735,
HDOP:0.971, VDOP:1.438
GPS,PN197,LA41.325546742341,LN22.021221456405,EL179.680594,--
--GS,PN197,N 4601068.8795, E 586933.3917,EL133.4037,--
G0,04/18/2022 10:20:57,Base ID read at rover: 0010
G1, BP0010,PN197,DX-2820.005,DY-5851.695,DZ5382.805
G2,VX0.01627293,VY0.00849648,VZ0.01405749
G3,XY0.00005946,XZ0.00011895,YZ0.00002881
--GT,PN197,SW2206,ST123657009,EW2206,ET123657009
--HSIG:0.013, VSI:0.019, STATUS:FIXED, SATS:11, PDOP:1.734,
HDOP:0.971, VDOP:1.437
GPS,PN198,LA41.325540576546,LN22.021218762030,EL179.061351,--
--GS,PN198,N 4601066.9699, E 586932.7902,EL133.4181,--
G0,04/18/2022 10:21:02,Base ID read at rover: 0010
G1, BP0010,PN198,DX-2819.031,DY-5851.974,DZ5380.971
G2,VX0.01531425,VY0.00846147,VZ0.01351633
G3,XY0.00006217,XZ0.00010209,YZ0.00002933
--GT,PN198,SW2206,ST123662010,EW2206,ET123662010
--HSIG:0.013, VSI:0.018, STATUS:FIXED, SATS:13, PDOP:1.385,
HDOP:0.857, VDOP:1.088
GPS,PN199,LA41.325534818311,LN22.021214504360,EL179.838895,--
--GS,PN199,N 4601065.1817, E 586931.8249,EL134.1956,--
G0,04/18/2022 10:21:13,Base ID read at rover: 0010
G1, BP0010,PN199,DX-2817.029,DY-5852.229,DZ5380.157
G2,VX0.01523145,VY0.00847481,VZ0.01320942
G3,XY0.00006218,XZ0.00009715,YZ0.00002933
--GT,PN199,SW2206,ST123673009,EW2206,ET123673009
--HSIG:0.013, VSI:0.018, STATUS:FIXED, SATS:13, PDOP:1.338,
HDOP:0.829, VDOP:1.051
GPS,PN200,LA41.325495956026,LN22.021179669682,EL180.152410,--
--GS,PN200,N 4601053.0959, E 586923.8964,EL134.5093,--
G0,04/18/2022 10:21:31,Base ID read at rover: 0010
G1, BP0010,PN200,DX-2806.411,DY-5856.641,DZ5371.392
G2,VX0.01520684,VY0.00849074,VZ0.01315286
G3,XY0.00006250,XZ0.00009572,YZ0.00002973
--GT,PN200,SW2206,ST123691009,EW2206,ET123691009
--HSIG:0.013, VSI:0.018, STATUS:FIXED, SATS:14, PDOP:1.385,
HDOP:0.857, VDOP:1.088
GPS,PN201,LA41.325446687798,LN22.021145097168,EL180.581954,--
--GS,PN201,N 4601037.8007, E 586916.0674,EL134.9389,--
G0,04/18/2022 10:22:05,Base ID read at rover: 0010
G1, BP0010,PN201,DX-2793.761,DY-5860.165,DZ5360.301
G2,VX0.01663236,VY0.00955204,VZ0.01757841
G3,XY0.00008240,XZ0.00016079,YZ0.00005568
--GT,PN201,SW2206,ST123725008,EW2206,ET123725008
--HSIG:0.014, VSI:0.022, STATUS:FIXED, SATS:10, PDOP:1.863,
HDOP:1.153, VDOP:1.464
GPS,PN202,LA41.325407619575,LN22.021109286212,EL180.817628,--
--GS,PN202,N 4601025.6486, E 586907.9134,EL135.1747,--
G0,04/18/2022 10:22:26,Base ID read at rover: 0010
G1, BP0010,PN202,DX-2783.073,DY-5864.793,DZ5351.437
G2,VX0.02876848,VY0.01656125,VZ0.02400914
G3,XY0.00019601,XZ0.00034982,YZ0.00015061
--GT,PN202,SW2206,ST123746009,EW2206,ET123746009
--HSIG:0.023, VSI:0.034, STATUS:FIXED, SATS:7, PDOP:4.358,
HDOP:1.505, VDOP:4.089
GPS,PN203,LA41.325363099921,LN22.021051717427,EL181.454685,--
--GS,PN203,N 4601011.7542, E 586894.7373,EL135.8120,--
G0,04/18/2022 10:22:53,Base ID read at rover: 0010
G1, BP0010,PN203,DX-2769.181,DY-5873.564,DZ5341.580
G2,VX0.01573677,VY0.00895312,VZ0.01470847
G3,XY0.00006716,XZ0.00011602,YZ0.00003613
--GT,PN203,SW2206,ST123773009,EW2206,ET123773009

--HSIG:0.013, VSIG:0.019, STATUS:FIXED, SATS:11, PDOP:1.450, HDOP:0.887, VDOP:1.147
GPS,PN204,LA41.325323366387,LN22.021000305221,EL182.118501,--
--GS,PN204,N 4600999.3534,E 586882.9702,EL136.4759,--
G0,04/18/2022 10:23:13,Base ID read at rover: 0010
G1,BP0010,PN204,DX-2756.713,DY-5881.372,DZ5332.846
G2,VX0.01530761,VY0.00843583,VZ0.014413353
G3,XY0.00006009,XZ0.00010913,YZ0.00002896
--GT,PN204,SW2206,ST123793009,EW2206,ET123793009
--HSIG:0.013, VSIG:0.018, STATUS:FIXED, SATS:13, PDOP:1.386, HDOP:0.860, VDOP:1.087
GPS,PN205,LA41.325277975356,LN22.020950589834,EL182.617902,--
--GS,PN205,N 4600985.2122,E 586871.6173,EL136.9755,--
G0,04/18/2022 10:23:34,Base ID read at rover: 0010
G1,BP0010,PN205,DX-2743.434,DY-5888.428,DZ5322.696
G2,VX0.01556086,VY0.00857108,VZ0.01506423
G3,XY0.00006252,XZ0.00011821,YZ0.00003192
--GT,PN205,SW2206,ST123814008,EW2206,ET123814008
--HSIG:0.013, VSIG:0.019, STATUS:FIXED, SATS:11, PDOP:2.127, HDOP:1.205, VDOP:1.752
GPS,PN206,LA41.325201315688,LN22.021016113730,EL182.873183,--
--GS,PN206,N 4600961.7460,E 586887.0867,EL137.2307,--
G0,04/18/2022 10:24:08,Base ID read at rover: 0010
G1,BP0010,PN206,DX-2734.414,DY-5868.393,DZ5305.165
G2,VX0.01550994,VY0.00843655,VZ0.01574741
G3,XY0.00005958,XZ0.00012247,YZ0.00002682
--GT,PN206,SW2206,ST123848009,EW2206,ET123848009
--HSIG:0.014, VSIG:0.019, STATUS:FIXED, SATS:11, PDOP:2.117, HDOP:1.204, VDOP:1.741
GPS,PN207,LA41.325147060970,LN22.021091830600,EL183.135913,--
--GS,PN207,N 4600945.2200,E 586904.8352,EL137.4934,--
G0,04/18/2022 10:24:39,Base ID read at rover: 0010
G1,BP0010,PN207,DX-2730.525,DY-5847.887,DZ5292.812
G2,VX0.01543000,VY0.00839871,VZ0.01447618
G3,XY0.00005960,XZ0.00011637,YZ0.00002909
--GT,PN207,SW2206,ST123879009,EW2206,ET123879009
--HSIG:0.013, VSIG:0.019, STATUS:FIXED, SATS:12, PDOP:1.863, HDOP:1.106, VDOP:1.499
GPS,PN208,LA41.325073262517,LN22.021174018080,EL183.389902,--
--GS,PN208,N 4600922.6830,E 586924.1559,EL137.7473,--
G0,04/18/2022 10:25:13,Base ID read at rover: 0010
G1,BP0010,PN208,DX-2723.498,DY-5824.493,DZ5275.940
G2,VX0.01522757,VY0.00855731,VZ0.01441268
G3,XY0.00006225,XZ0.00010919,YZ0.00003239
--GT,PN208,SW2206,ST123913009,EW2206,ET123913009
--HSIG:0.013, VSIG:0.019, STATUS:FIXED, SATS:12, PDOP:2.415, HDOP:1.285, VDOP:2.045
GPS,PN209,LA41.325003402805,LN22.021293708217,EL183.624850,--
--GS,PN209,N 4600901.4658,E 586952.1533,EL137.9821,--
G0,04/18/2022 10:25:47,Base ID read at rover: 0010
G1,BP0010,PN209,DX-2720.493,DY-5793.350,DZ5259.966
G2,VX0.01610427,VY0.00906107,VZ0.02017487
G3,XY0.00007292,XZ0.00015693,YZ0.00005424
--GT,PN209,SW2206,ST123947008,EW2206,ET123947008
--HSIG:0.016, VSIG:0.022, STATUS:FIXED, SATS:8, PDOP:3.509, HDOP:1.931, VDOP:2.930
GPS,PN210,LA41.324983979331,LN22.021267593988,EL184.023532,--
--GS,PN210,N 4600895.4010,E 586946.1735,EL138.3808,--
G0,04/18/2022 10:25:56,Base ID read at rover: 0010
G1,BP0010,PN210,DX-2714.261,DY-5797.357,DZ5255.745
G2,VX0.02251003,VY0.01609549,VZ0.01829203
G3,XY0.00022381,XZ0.00019861,YZ0.00010917
--GT,PN210,SW2206,ST123956008,EW2206,ET123956008
--HSIG:0.019, VSIG:0.027, STATUS:FIXED, SATS:8, PDOP:3.498, HDOP:2.242, VDOP:2.685
GPS,PN211,LA41.324930725037,LN22.021380051186,EL183.929295,--
--GS,PN211,N 4600879.2863,E 586972.4332,EL138.2864,--
G0,04/18/2022 10:26:27,Base ID read at rover: 0010
G1,BP0010,PN211,DX-2714.005,DY-5769.134,DZ5243.386
G2,VX0.01580183,VY0.00892098,VZ0.01535837
G3,XY0.00006643,XZ0.00011993,YZ0.00003464
--GT,PN211,SW2206,ST123987009,EW2206,ET123987009
--HSIG:0.014, VSIG:0.019, STATUS:FIXED, SATS:12, PDOP:2.077, HDOP:1.200, VDOP:1.695
GPS,PN212,LA41.324910807682,LN22.021345577501,EL184.644161,--
--GS,PN212,N 4600873.0458,E 586964.5179,EL139.0014,--
G0,04/18/2022 10:26:39,Base ID read at rover: 0010
G1,BP0010,PN212,DX-2706.734,DY-5774.811,DZ5239.261
G2,VX0.01579650,VY0.00960784,VZ0.01573341
G3,XY0.00007758,XZ0.00012213,YZ0.00005054
--GT,PN212,SW2206,ST123999009,EW2206,ET123999009
--HSIG:0.014, VSIG:0.020, STATUS:FIXED, SATS:11, PDOP:1.947, HDOP:1.192, VDOP:1.540
GPS,PN213,LA41.324874841529,LN22.021470685459,EL184.583564,--
--GS,PN213,N 4600862.2997,E 586993.6452,EL138.9406,--
G0,04/18/2022 10:27:15,Base ID read at rover: 0010
G1,BP0010,PN213,DX-2710.834,DY-5745.188,DZ5230.917
G2,VX0.01572525,VY0.00900253,VZ0.01502397
G3,XY0.00006797,XZ0.00011608,YZ0.00003606
--GT,PN213,SW2206,ST124035009,EW2206,ET124035009
--HSIG:0.014, VSIG:0.019, STATUS:FIXED, SATS:12, PDOP:1.679, HDOP:0.969, VDOP:1.372
GPS,PN214,LA41.324837483476,LN22.021429018044,EL185.004460,--

--GS,PN214,N 4600850.6588,E 586984.1276,EL139.3616,--
G0,04/18/2022 10:27:34,Base ID read at rover: 0010
G1,BP0010,PN214,DX-2699.832,DY-5751.154,DZ5222.570
G2,VX0.01581537,VY0.00955614,VZ0.01543949
G3,XY0.00007661,XZ0.00012156,YZ0.00004753
--GT,PN214,SW2206,ST124054009,EW2206,ET124054009
--HSIG:0.014, VSIG:0.020, STATUS:FIXED, SATS:11, PDOP:1.682, HDOP:1.118, VDOP:1.257
GPS,PN215,LA41.324798514376,LN22.021479738033,EL185.369073,--
--GS,PN215,N 4600838.7787,E 586996.0268,EL139.7262,--
G0,04/18/2022 10:28:07,Base ID read at rover: 0010
G1,BP0010,PN215,DX-2696.599,DY-5737.163,DZ5213.813
G2,VX0.01568816,VY0.00900823,VZ0.01488810
G3,XY0.00006799,XZ0.00011396,YZ0.00003541
--GT,PN215,SW2206,ST124087009,EW2206,ET124087009
--HSIG:0.013, VSIG:0.019, STATUS:FIXED, SATS:12, PDOP:1.672, HDOP:0.968, VDOP:1.363
GPS,PN216,LA41.324825344148,LN22.021513511903,EL184.897374,--
--GS,PN216,N 4600847.1497,E 587003.7542,EL139.2544,--
G0,04/18/2022 10:28:23,Base ID read at rover: 0010
G1,BP0010,PN216,DX-2704.952,DY-5732.099,DZ5219.696
G2,VX0.01623468,VY0.00903961,VZ0.01497516
G3,XY0.00006658,XZ0.00011747,YZ0.00003686
--GT,PN216,SW2206,ST124103009,EW2206,ET124103009
--HSIG:0.014, VSIG:0.019, STATUS:FIXED, SATS:11, PDOP:1.727, HDOP:1.027, VDOP:1.388
GPS,PN217,LA41.324793790015,LN22.021544256636,EL185.235394,--DL
--GS,PN217,N 4600837.5014,E 587010.9966,EL139.5924,--DL
G0,04/18/2022 10:28:50,Base ID read at rover: 0010
G1,BP0010,PN217,DX-2701.407,DY-5722.976,DZ5212.634
G2,VX0.02524298,VY0.02178492,VZ0.02009565
G3,XY0.00044636,XZ0.00013130,YZ0.00000613
--GT,PN217,SW2206,ST124130009,EW2206,ET124130009
--HSIG:0.026, VSIG:0.029, STATUS:FIXED, SATS:11, PDOP:2.036, HDOP:1.195, VDOP:1.648
GPS,PN218,LA41.324806197087,LN22.021572924298,EL185.237627,--
--GS,PN218,N 4600841.4089,E 587017.5942,EL139.5945,--
G0,04/18/2022 10:29:13,Base ID read at rover: 0010
G1,BP0010,PN218,DX-2706.251,DY-5717.769,DZ5215.500
G2,VX0.01498717,VY0.00884766,VZ0.01484350
G3,XY0.00006558,XZ0.00010317,YZ0.00003581
--GT,PN218,SW2206,ST124153010,EW2206,ET124153010
--HSIG:0.013, VSIG:0.019, STATUS:FIXED, SATS:13, PDOP:1.664, HDOP:0.968, VDOP:1.353
GPS,PN219,LA41.324785778997,LN22.021578445843,EL185.402364,--
--GS,PN219,N 4600835.1255,E 587018.9497,EL139.7593,--
G0,04/18/2022 10:29:45,Base ID read at rover: 0010
G1,BP0010,PN219,DX-2702.745,DY-5714.969,DZ5210.895
G2,VX0.03077917,VY0.01481411,VZ0.03879870
G3,XY-0.00008136,XZ0.00060525,YZ-0.00013335
--GT,PN219,SW2206,ST124185008,EW2206,ET124185008
--HSIG:0.033, VSIG:0.040, STATUS:FIXED, SATS:6, PDOP:5.786, HDOP:2.670, VDOP:5.133
--DT01-01-2010
--TM03:15:48
--User Defined: NEGOTINO
--Equipment: S9 GNSS SN:41701390
--Antenna Type: [STX_S9],RA0.0930m,SHMP0.0590m,L10.0884m,L20.0924m,--
L1/L2 Integrated Antenna
--Localization File: None
--Geoid Separation File: None
--GPS Scale: 1.00000000
--Scale Point not used
--RTK Method: RTCM V3.0, Device: Internal GSM, Network: NTRIP iMAX-Auto
--Entered HR: 2.0000, Vertical
LS,HR2.0884
GPS,PN220,LA41.324755896532,LN22.021542515013,EL186.208525,--AP
--GS,PN220,N 4600825.8067,E 587010.7337,EL140.5655,--AP
G0,04/18/2022 10:58:37,Base ID read at rover: 0010
G1,BP0010,PN220,DX-2693.393,DY-5720.168,DZ5204.530
G2,VX0.01649989,VY0.01189130,VZ0.01528070
G3,XY0.00010851,XZ0.00010162,YZ0.00006714
--GT,PN220,SW2206,ST125917009,EW2206,ET125917009
--HSIG:0.016, VSIG:0.020, STATUS:FIXED, SATS:13, PDOP:1.423, HDOP:0.848, VDOP:1.143
GPS,PN221,LA41.324760050843,LN22.021565521185,EL186.283670,--AP
--GS,PN221,N 4600827.1525,E 587016.0500,EL140.6406,--AP
G0,04/18/2022 10:58:47,Base ID read at rover: 0010
G1,BP0010,PN221,DX-2696.129,DY-5715.523,DZ5205.539
G2,VX0.01368669,VY0.00986492,VZ0.01268343
G3,XY0.00007366,XZ0.00006918,YZ0.00004585
--GT,PN221,SW2206,ST125927010,EW2206,ET125927010
--HSIG:0.013, VSIG:0.017, STATUS:FIXED, SATS:13, PDOP:1.423, HDOP:0.848, VDOP:1.143
GPS,PN222,LA41.324768791545,LN22.021592193722,EL186.551937,--AP
--GS,PN222,N 4600829.9234,E 587022.1989,EL140.9088,--AP
G0,04/18/2022 10:58:55,Base ID read at rover: 0010
G1,BP0010,PN222,DX-2699.921,DY-5710.389,DZ5207.735
G2,VX0.01441644,VY0.01038869,VZ0.01339317
G3,XY0.00008191,XZ0.00007792,YZ0.00005119
--GT,PN222,SW2206,ST125935009,EW2206,ET125935009
--HSIG:0.014, VSIG:0.018, STATUS:FIXED, SATS:13, PDOP:1.423, HDOP:0.848, VDOP:1.143

GPS,PN223,LA41.324750988488,LN22.021611111515,EL186.518518,--AP
--GS,PN223,N 4600824.4842,E 587026.6493,EL140.8754,--AP
G0,04/18/2022 10:59:05,Base ID read at rover: 0010
G1,BP0010,PN223,DX-2698.212,DY-5704.967,DZ5203.602
G2,VX0.01540120,VY0.01121206,VZ0.01514930
G3,XY0.00009511,XZ0.00008490,YZ0.00006323
--GT,PN223,SW2206,ST125945009,EW2206,ET125945009
--HSIG:0.015, VSIG:0.019, STATUS:FIXED, SATS:13, PDOP:1.403,
HDOP:0.907, VDOP:1.071
GPS,PN224,LA41.324734761691,LN22.021589131665,EL186.415420,--AP
--GS,PN224,N 4600819.4170,E 587021.6158,EL140.7724,--AP
G0,04/18/2022 10:59:14,Base ID read at rover: 0010
G1,BP0010,PN224,DX-2693.295,DY-5708.472,DZ5199.787
G2,VX0.01626728,VY0.01210073,VZ0.01887485
G3,XY0.00010894,XZ0.00011724,YZ0.00009880
--GT,PN224,SW2206,ST125954009,EW2206,ET125954009
--HSIG:0.017, VSIG:0.022, STATUS:FIXED, SATS:9, PDOP:1.774,
HDOP:1.022, VDOP:1.450
GPS,PN225,LA41.324719184151,LN22.021574956206,EL186.317084,--AP
--GS,PN225,N 4600814.5719,E 587018.3885,EL140.6741,--AP
G0,04/18/2022 10:59:23,Base ID read at rover: 0010
G1,BP0010,PN225,DX-2689.175,DY-5710.349,DZ5196.125
G2,VX0.01834005,VY0.01337875,VZ0.02217411
G3,XY0.00011073,XZ0.00010839,YZ0.00008649
--GT,PN225,SW2206,ST125963009,EW2206,ET125963009
--HSIG:0.021, VSIG:0.024, STATUS:FIXED, SATS:11, PDOP:1.747,
HDOP:1.016, VDOP:1.422
GPS,PN226,LA41.324775853244,LN22.021659947488,EL187.016598,--AP
--GS,PN226,N 4600832.2911,E 587037.8747,EL141.3734,--AP
G0,04/18/2022 11:03:47,Base ID read at rover: 0010
G1,BP0010,PN226,DX-2706.830,DY-5696.244,DZ5209.674
G2,VX0.01351460,VY0.00997383,VZ0.01235904
G3,XY0.00007459,XZ0.00006626,YZ0.00004750
--GT,PN226,SW2206,ST126227009,EW2206,ET126227009
--HSIG:0.013, VSIG:0.016, STATUS:FIXED, SATS:14, PDOP:1.343,
HDOP:0.814, VDOP:1.068
GPS,PN227,LA41.324795557342,LN22.021643258140,EL187.340111,--AP
--GS,PN227,N 4600838.3230,E 587033.9337,EL141.6969,--AP
G0,04/18/2022 11:04:01,Base ID read at rover: 0010
G1,BP0010,PN227,DX-2708.891,DY-5701.252,DZ5214.438
G2,VX0.01356328,VY0.01009181,VZ0.01243661
G3,XY0.00007605,XZ0.00006771,YZ0.00004936
--GT,PN227,SW2206,ST126241009,EW2206,ET126241009
--HSIG:0.013, VSIG:0.017, STATUS:FIXED, SATS:13, PDOP:1.343,
HDOP:0.814, VDOP:1.068
GPS,PN228,LA41.324811971246,LN22.021679443017,EL187.916065,--AP
--GS,PN228,N 4600843.4876,E 587042.2586,EL142.2727,--AP
G0,04/18/2022 11:04:11,Base ID read at rover: 0010
G1,BP0010,PN228,DX-2714.752,DY-5694.576,DZ5218.610
G2,VX0.01340958,VY0.01017014,VZ0.01249393
G3,XY0.00007679,XZ0.00006930,YZ0.00005116
--GT,PN228,SW2206,ST126251009,EW2206,ET126251009
--HSIG:0.013, VSIG:0.017, STATUS:FIXED, SATS:13, PDOP:1.642,
HDOP:0.923, VDOP:1.358
GPS,PN229,LA41.324820933300,LN22.021705964370,EL188.277348,--AP
--GS,PN229,N 4600846.3264,E 587048.3716,EL142.6340,--AP
G0,04/18/2022 11:04:20,Base ID read at rover: 0010
G1,BP0010,PN229,DX-2718.508,DY-5689.465,DZ5220.919
G2,VX0.01344835,VY0.01023581,VZ0.01248841
G3,XY0.00007799,XZ0.00006923,YZ0.00005270
--GT,PN229,SW2206,ST126260009,EW2206,ET126260009
--HSIG:0.013, VSIG:0.017, STATUS:FIXED, SATS:13, PDOP:1.643,
HDOP:0.923, VDOP:1.359
GPS,PN230,LA41.324827916987,LN22.021714735680,EL188.356284,--AP
--GS,PN230,N 4600848.5053,E 587050.3784,EL142.7129,--AP
G0,04/18/2022 11:04:27,Base ID read at rover: 0010
G1,BP0010,PN230,DX-2720.540,DY-5688.095,DZ5222.584
G2,VX0.01337148,VY0.01006180,VZ0.01232233
G3,XY0.00007527,XZ0.00006651,YZ0.00004924
--GT,PN230,SW2206,ST126267009,EW2206,ET126267009
--HSIG:0.013, VSIG:0.016, STATUS:FIXED, SATS:13, PDOP:1.342,
HDOP:0.814, VDOP:1.067
GPS,PN231,LA41.324869061240,LN22.021737570662,EL187.267581,--AP
--GS,PN231,N 4600861.2617,E 587055.5174,EL141.6241,--AP
G0,04/18/2022 11:04:41,Base ID read at rover: 0010
G1,BP0010,PN231,DX-2731.085,DY-5686.653,DZ5231.362
G2,VX0.01315917,VY0.00986071,VZ0.01215237
G3,XY0.00007169,XZ0.00006220,YZ0.00004610
--GT,PN231,SW2206,ST126281009,EW2206,ET126281009
--HSIG:0.013, VSIG:0.016, STATUS:FIXED, SATS:14, PDOP:1.342,
HDOP:0.814, VDOP:1.067
GPS,PN232,LA41.324864235886,LN22.021751322418,EL187.285282,--AP
--GS,PN232,N 4600859.8115,E 587058.7224,EL141.6418,--AP
G0,04/18/2022 11:04:47,Base ID read at rover: 0010
G1,BP0010,PN232,DX-2731.354,DY-5683.324,DZ5230.260
G2,VX0.01318172,VY0.00986551,VZ0.01215516
G3,XY0.00007182,XZ0.00006244,YZ0.00004621
--GT,PN232,SW2206,ST126287009,EW2206,ET126287009
--HSIG:0.013, VSIG:0.016, STATUS:FIXED, SATS:14, PDOP:1.342,
HDOP:0.814, VDOP:1.067
GPS,PN233,LA41.324842403061,LN22.021739811156,EL188.159339,--AP
--GS,PN233,N 4600853.0441,E 587056.1358,EL142.5159,--AP
G0,04/18/2022 11:04:55,Base ID read at rover: 0010

G1,BP0010,PN233,DX-2725.605,DY-5683.875,DZ5225.798
G2,VX0.01322081,VY0.00989619,VZ0.01217684
G3,XY0.00007238,XZ0.00006312,YZ0.00004683
--GT,PN233,SW2206,ST126295009,EW2206,ET126295009
--HSIG:0.013, VSIG:0.016, STATUS:FIXED, SATS:14, PDOP:1.342,
HDOP:0.814, VDOP:1.067
GPS,PN234,LA41.324831381778,LN22.021738961391,EL188.459808,--AP
--GS,PN234,N 4600849.6418,E 587055.9798,EL142.8163,--AP
G0,04/18/2022 11:05:01,Base ID read at rover: 0010
G1,BP0010,PN234,DX-2723.232,DY-5683.127,DZ5223.452
G2,VX0.01323701,VY0.00989642,VZ0.01217443
G3,XY0.00007244,XZ0.00006326,YZ0.00004685
--GT,PN234,SW2206,ST126301009,EW2206,ET126301009
--HSIG:0.013, VSIG:0.016, STATUS:FIXED, SATS:14, PDOP:1.342,
HDOP:0.814, VDOP:1.067
GPS,PN235,LA41.324825902038,LN22.021741530503,EL188.586748,--AP
--GS,PN235,N 4600847.9585,E 587056.5956,EL142.9433,--AP
G0,04/18/2022 11:05:06,Base ID read at rover: 0010
G1,BP0010,PN235,DX-2722.328,DY-5682.119,DZ5222.271
G2,VX0.01325053,VY0.00989963,VZ0.01217447
G3,XY0.00007253,XZ0.00006342,YZ0.00004694
--GT,PN235,SW2206,ST126306009,EW2206,ET126306009
--HSIG:0.013, VSIG:0.016, STATUS:FIXED, SATS:14, PDOP:1.342,
HDOP:0.814, VDOP:1.067
GPS,PN236,LA41.324797922218,LN22.021730407466,EL188.183810,--AP
--GS,PN236,N 4600839.2959,E 587054.1218,EL142.5404,--AP
G0,04/18/2022 11:05:16,Base ID read at rover: 0010
G1,BP0010,PN236,DX-2716.334,DY-5682.473,DZ5215.544
G2,VX0.01333185,VY0.01007338,VZ0.01225909
G3,XY0.00007510,XZ0.00006502,YZ0.00004987
--GT,PN236,SW2206,ST126316009,EW2206,ET126316009
--HSIG:0.013, VSIG:0.016, STATUS:FIXED, SATS:13, PDOP:1.647,
HDOP:0.923, VDOP:1.365
GPS,PN237,LA41.324797714314,LN22.021713867258,EL187.908519,--AP
--GS,PN237,N 4600839.1856,E 587050.2894,EL142.2651,--AP
G0,04/18/2022 11:05:23,Base ID read at rover: 0010
G1,BP0010,PN237,DX-2715.047,DY-5686.088,DZ5215.313
G2,VX0.01337543,VY0.01013156,VZ0.01230727
G3,XY0.00007608,XZ0.00006617,YZ0.00005107
--GT,PN237,SW2206,ST126323009,EW2206,ET126323009
--HSIG:0.013, VSIG:0.016, STATUS:FIXED, SATS:13, PDOP:1.648,
HDOP:0.923, VDOP:1.365
GPS,PN238,LA41.324795176066,LN22.021703079465,EL187.728322,--AP
--GS,PN238,N 4600838.3724,E 587047.7988,EL142.0850,--AP
G0,04/18/2022 11:05:30,Base ID read at rover: 0010
G1,BP0010,PN238,DX-2713.752,DY-5688.261,DZ5214.607
G2,VX0.01342336,VY0.01024797,VZ0.01249448
G3,XY0.00007752,XZ0.00006809,YZ0.00005427
--GT,PN238,SW2206,ST126330009,EW2206,ET126330009
--HSIG:0.013, VSIG:0.017, STATUS:FIXED, SATS:12, PDOP:1.828,
HDOP:1.013, VDOP:1.521
GPS,PN239,LA41.324789885652,LN22.021749656467,EL188.558423,--AP
--GS,PN239,N 4600836.8705,E 587058.6127,EL142.9150,--AP
G0,04/18/2022 11:05:43,Base ID read at rover: 0010
G1,BP0010,PN239,DX-2716.224,DY-5677.615,DZ5213.936
G2,VX0.01337181,VY0.01003240,VZ0.01213690
G3,XY0.00007534,XZ0.00006575,YZ0.00004906
--GT,PN239,SW2206,ST126343009,EW2206,ET126343009
--HSIG:0.013, VSIG:0.016, STATUS:FIXED, SATS:14, PDOP:1.341,
HDOP:0.813, VDOP:1.066
GPS,PN240,LA41.324779785305,LN22.021763376368,EL189.067972,--AP
--GS,PN240,N 4600833.7929,E 587061.8299,EL143.4245,--AP
G0,04/18/2022 11:05:50,Base ID read at rover: 0010
G1,BP0010,PN240,DX-2715.148,DY-5673.749,DZ5211.942
G2,VX0.01338253,VY0.01005110,VZ0.01199981
G3,XY0.00007596,XZ0.00006835,YZ0.00004942
--GT,PN240,SW2206,ST126350009,EW2206,ET126350009
--HSIG:0.012, VSIG:0.016, STATUS:FIXED, SATS:14, PDOP:1.341,
HDOP:0.813, VDOP:1.066
GPS,PN241,LA41.324764667108,LN22.021771542049,EL189.667795,--AP
--GS,PN241,N 4600829.1519,E 587063.7785,EL144.0243,--AP
G0,04/18/2022 11:05:58,Base ID read at rover: 0010
G1,BP0010,PN241,DX-2712.574,DY-5670.666,DZ5208.849
G2,VX0.01338901,VY0.01005555,VZ0.01202700
G3,XY0.00007597,XZ0.00006828,YZ0.00004961
--GT,PN241,SW2206,ST126358009,EW2206,ET126358009
--HSIG:0.012, VSIG:0.016, STATUS:FIXED, SATS:14, PDOP:1.341,
HDOP:0.813, VDOP:1.066
GPS,PN242,LA41.324745821133,LN22.021768904323,EL190.295883,--AP
--GS,PN242,N 4600823.3308,E 587063.2373,EL144.6525,--AP
G0,04/18/2022 11:06:06,Base ID read at rover: 0010
G1,BP0010,PN242,DX-2708.334,DY-5669.609,DZ5204.914
G2,VX0.01338443,VY0.01003544,VZ0.01203425
G3,XY0.00007557,XZ0.00006777,YZ0.00004932
--GT,PN242,SW2206,ST126366009,EW2206,ET126366009
--HSIG:0.013, VSIG:0.016, STATUS:FIXED, SATS:14, PDOP:1.340,
HDOP:0.813, VDOP:1.066
GPS,PN243,LA41.324731247392,LN22.021760591529,EL190.722554,--AP
--GS,PN243,N 4600818.8117,E 587061.3650,EL145.0792,--AP
G0,04/18/2022 11:06:14,Base ID read at rover: 0010
G1,BP0010,PN243,DX-2704.551,DY-5670.156,DZ5201.832
G2,VX0.01338248,VY0.01002274,VZ0.01204270
G3,XY0.00007530,XZ0.00006740,YZ0.00004917

--GT,PN243,SW2206,ST126374009,EW2206,ET126374009
--HSIG:0.013, VSI:0.016, STATUS:FIXED, SATS:14, PDOP:1.340,
HDOP:0.813, VDOP:1.066
GPS,PN244,LA41.324722987544,LN22.021749279586,EL191.038908,--AP
--GS,PN244,N 4600816.2320,E 587058.7741,EL145.3956,--AP
G0,04/18/2022 11:06:20,Base ID read at rover: 0010
G1,BP0010,PN244,DX-2701.781,DY-5671.863,DZ5200.135
G2,VX0.01339456,VY0.01004144,VZ0.01206835
G3,XY0.00007557,XZ0.00006758,YZ0.00004959
--GT,PN244,SW2206,ST126380009,EW2206,ET126380009
--HSIG:0.013, VSI:0.016, STATUS:FIXED, SATS:14, PDOP:1.340,
HDOP:0.813, VDOP:1.065
GPS,PN245,LA41.324701748122,LN22.021714984049,EL191.882618,--AP
--GS,PN245,N 4600809.5840,E 587050.9050,EL146.2394,--AP
G0,04/18/2022 11:06:33,Base ID read at rover: 0010
G1,BP0010,PN245,DX-2694.185,DY-5677.364,DZ5195.790
G2,VX0.01346561,VY0.01017111,VZ0.01218991
G3,XY0.00007724,XZ0.00006904,YZ0.00005170
--GT,PN245,SW2206,ST126393009,EW2206,ET126393009
--HSIG:0.013, VSI:0.017, STATUS:FIXED, SATS:13, PDOP:1.340,
HDOP:0.813, VDOP:1.065
GPS,PN246,LA41.324672332978,LN22.021664860698,EL192.776211,--AP
--GS,PN246,N 4600800.3698,E 587039.3982,EL147.1331,--AP
G0,04/18/2022 11:06:47,Base ID read at rover: 0010
G1,BP0010,PN246,DX-2683.627,DY-5685.623,DZ5189.590
G2,VX0.01351627,VY0.01026824,VZ0.01228349
G3,XY0.00007879,XZ0.00007046,YZ0.00005381
--GT,PN246,SW2206,ST126407009,EW2206,ET126407009
--HSIG:0.013, VSI:0.017, STATUS:FIXED, SATS:13, PDOP:1.655,
HDOP:0.923, VDOP:1.374
GPS,PN247,LA41.324674003198,LN22.021662359380,EL193.052614,--NAD
--GS,PN247,N 4600800.8780,E 587038.8123,EL147.4095,--NAD
G0,04/18/2022 11:07:06,Base ID read at rover: 0010
G1,BP0010,PN247,DX-2683.534,DY-5686.211,DZ5190.159
G2,VX0.01356387,VY0.01036246,VZ0.01236955
G3,XY0.00008028,XZ0.00007181,YZ0.00005587
--GT,PN247,SW2206,ST126426009,EW2206,ET126426009
--HSIG:0.013, VSI:0.017, STATUS:FIXED, SATS:13, PDOP:1.657,
HDOP:0.923, VDOP:1.376
GPS,PN248,LA41.324638594582,LN22.021605206343,EL193.616132,--NAD
--GS,PN248,N 4600789.7952,E 587025.6986,EL147.9732,--NAD
G0,04/18/2022 11:07:26,Base ID read at rover: 0010
G1,BP0010,PN248,DX-2671.457,DY-5695.613,DZ5182.357
G2,VX0.01354733,VY0.01033170,VZ0.01256038
G3,XY0.00007822,XZ0.00007536,YZ0.00006236
--GT,PN248,SW2206,ST126446008,EW2206,ET126446008
--HSIG:0.013, VSI:0.017, STATUS:FIXED, SATS:11, PDOP:1.918,
HDOP:1.026, VDOP:1.620
GPS,PN249,LA41.324604318810,LN22.021549263269,EL194.051991,--NAD
--GS,PN249,N 4600779.0653,E 587012.8610,EL148.4092,--NAD
G0,04/18/2022 11:07:47,Base ID read at rover: 0010
G1,BP0010,PN249,DX-2659.789,DY-5704.878,DZ5174.732
G2,VX0.01358671,VY0.01071144,VZ0.01228224
G3,XY0.00007833,XZ0.00006776,YZ0.00005403
--GT,PN249,SW2206,ST126467009,EW2206,ET126467009
--HSIG:0.013, VSI:0.017, STATUS:FIXED, SATS:13, PDOP:1.890,
HDOP:1.119, VDOP:1.524
GPS,PN250,LA41.324586961521,LN22.021568314070,EL193.873941,--NAD
--GS,PN250,N 4600773.7639,E 587017.3406,EL148.2311,--NAD
G0,04/18/2022 11:08:01,Base ID read at rover: 0010
G1,BP0010,PN250,DX-2658.277,DY-5699.502,DZ5170.606
G2,VX0.01348536,VY0.01038297,VZ0.01436766
G3,XY0.00007809,XZ0.00006545,YZ0.00006519
--GT,PN250,SW2206,ST126481009,EW2206,ET126481009
--HSIG:0.014, VSI:0.017, STATUS:FIXED, SATS:12, PDOP:2.374,
HDOP:1.433, VDOP:1.893
GPS,PN251,LA41.324620625371,LN22.021623252350,EL193.451339,--NAD
--GS,PN251,N 4600784.3023,E 587029.9476,EL147.8084,--NAD
G0,04/18/2022 11:08:22,Base ID read at rover: 0010
G1,BP0010,PN251,DX-2669.733,DY-5690.403,DZ5178.099
G2,VX0.01353022,VY0.01039166,VZ0.01249564
G3,XY0.00008041,XZ0.00007051,YZ0.00005531
--GT,PN251,SW2206,ST126502008,EW2206,ET126502008
--HSIG:0.013, VSI:0.017, STATUS:FIXED, SATS:11, PDOP:2.178,
HDOP:1.348, VDOP:1.711
GPS,PN252,LA41.324656376899,LN22.021681196489,EL192.959909,--NAD
--GS,PN252,N 4600795.4931,E 587043.2434,EL147.3168,--NAD
G0,04/18/2022 11:08:42,Base ID read at rover: 0010
G1,BP0010,PN252,DX-2681.894,DY-5680.837,DZ5186.028
G2,VX0.01361814,VY0.01045021,VZ0.01254608
G3,XY0.00008054,XZ0.00007424,YZ0.00005681
--GT,PN252,SW2206,ST126522008,EW2206,ET126522008
--HSIG:0.013, VSI:0.017, STATUS:FIXED, SATS:12, PDOP:1.769,
HDOP:1.016, VDOP:1.448
GPS,PN253,LA41.324658111134,LN22.021679211821,EL192.714640,--AP
--GS,PN253,N 4600796.0225,E 587042.7770,EL147.0715,--AP
G0,04/18/2022 11:08:59,Base ID read at rover: 0010
G1,BP0010,PN253,DX-2682.220,DY-5681.465,DZ5186.266
G2,VX0.01357648,VY0.01049689,VZ0.01248207
G3,XY0.00008156,XZ0.00007297,YZ0.00005773
--GT,PN253,SW2206,ST126539009,EW2206,ET126539009
--HSIG:0.013, VSI:0.017, STATUS:FIXED, SATS:13, PDOP:1.666,
HDOP:0.923, VDOP:1.387

GPS,PN254,LA41.324684911281,LN22.021723439588,EL191.867935,--AP
--GS,PN254,N 4600804.4137,E 587052.9272,EL146.2247,--AP
G0,04/18/2022 11:09:12,Base ID read at rover: 0010
G1,BP0010,PN254,DX-2691.737,DY-5674.259,DZ5191.892
G2,VX0.01354360,VY0.01052785,VZ0.01249561
G3,XY0.00008213,XZ0.00007272,YZ0.00005825
--GT,PN254,SW2206,ST126552008,EW2206,ET126552008
--HSIG:0.013, VSI:0.017, STATUS:FIXED, SATS:13, PDOP:1.732,
HDOP:0.944, VDOP:1.452
GPS,PN255,LA41.324721536091,LN22.021783917580,EL190.444055,--AP
--GS,PN255,N 4600815.8810,E 587066.8069,EL144.8006,--AP
G0,04/18/2022 11:09:30,Base ID read at rover: 0010
G1,BP0010,PN255,DX-2704.931,DY-5664.477,DZ5199.405
G2,VX0.01356860,VY0.01055844,VZ0.01251399
G3,XY0.00008272,XZ0.00007311,YZ0.00005878
--GT,PN255,SW2206,ST126570009,EW2206,ET126570009
--HSIG:0.013, VSI:0.017, STATUS:FIXED, SATS:13, PDOP:1.669,
HDOP:0.923, VDOP:1.391
GPS,PN256,LA41.324750182611,LN22.021830987602,EL189.322250,--AP
--GS,PN256,N 4600824.8497,E 587077.6089,EL143.6787,--AP
G0,04/18/2022 11:09:45,Base ID read at rover: 0010
G1,BP0010,PN256,DX-2715.236,DY-5656.879,DZ5205.275
G2,VX0.01358554,VY0.01057933,VZ0.01252279
G3,XY0.00008312,XZ0.00007338,YZ0.00005915
--GT,PN256,SW2206,ST126585009,EW2206,ET126585009
--HSIG:0.013, VSI:0.017, STATUS:FIXED, SATS:13, PDOP:1.671,
HDOP:0.923, VDOP:1.393
GPS,PN257,LA41.324760974509,LN22.021855869222,EL188.771465,--AP
--GS,PN257,N 4600828.2484,E 587083.3351,EL143.1278,--AP
G0,04/18/2022 11:09:53,Base ID read at rover: 0010
G1,BP0010,PN257,DX-2719.829,DY-5652.517,DZ5207.402
G2,VX0.01359241,VY0.01058832,VZ0.01252480
G3,XY0.00008329,XZ0.00007349,YZ0.00005931
--GT,PN257,SW2206,ST126593009,EW2206,ET126593009
--HSIG:0.013, VSI:0.017, STATUS:FIXED, SATS:13, PDOP:1.671,
HDOP:0.923, VDOP:1.393
GPS,PN258,LA41.324770068352,LN22.021886716670,EL188.150882,--AP
--GS,PN258,N 4600831.1399,E 587090.4503,EL142.5072,--AP
G0,04/18/2022 11:10:02,Base ID read at rover: 0010
G1,BP0010,PN258,DX-2724.667,DY-5646.762,DZ5209.090
G2,VX0.01365650,VY0.01059830,VZ0.01261291
G3,XY0.00008341,XZ0.00007502,YZ0.00005942
--GT,PN258,SW2206,ST126602009,EW2206,ET126602009
--HSIG:0.013, VSI:0.017, STATUS:FIXED, SATS:12, PDOP:1.734,
HDOP:0.945, VDOP:1.454
GPS,PN259,LA41.324770425493,LN22.021914063350,EL187.673250,--AP
--GS,PN259,N 4600831.3265,E 587096.7865,EL142.0295,--AP
G0,04/18/2022 11:10:12,Base ID read at rover: 0010
G1,BP0010,PN259,DX-2727.445,DY-5641.049,DZ5208.856
G2,VX0.01385696,VY0.01098820,VZ0.01260840
G3,XY0.00007885,XZ0.00007298,YZ0.00005606
--GT,PN259,SW2206,ST126612009,EW2206,ET126612009
--HSIG:0.013, VSI:0.017, STATUS:FIXED, SATS:11, PDOP:1.734,
HDOP:0.945, VDOP:1.454
GPS,PN260,LA41.324764542395,LN22.021958563370,EL187.441770,--AP
--GS,PN260,N 4600829.6360,E 587107.1214,EL141.7979,--AP
G0,04/18/2022 11:10:24,Base ID read at rover: 0010
G1,BP0010,PN260,DX-2730.360,DY-5631.102,DZ5207.344
G2,VX0.01374277,VY0.01116000,VZ0.01944745
G3,XY0.00008120,XZ0.00007474,YZ0.00009824
--GT,PN260,SW2206,ST126624008,EW2206,ET126624008
--HSIG:0.017, VSI:0.020, STATUS:FIXED, SATS:9, PDOP:3.156,
HDOP:2.073, VDOP:2.379
GPS,PN261,LA41.324741488930,LN22.021994235827,EL187.421532,--AP
--GS,PN261,N 4600822.6239,E 587115.4743,EL141.7777,--AP
G0,04/18/2022 11:10:37,Base ID read at rover: 0010
G1,BP0010,PN261,DX-2729.104,DY-5621.674,DZ5202.007
G2,VX0.01498565,VY0.01157313,VZ0.01634790
G3,XY0.00009717,XZ0.00005972,YZ0.00008642
--GT,PN261,SW2206,ST126637008,EW2206,ET126637008
--HSIG:0.016, VSI:0.019, STATUS:FIXED, SATS:11, PDOP:2.313,
HDOP:1.325, VDOP:1.895
GPS,PN262,LA41.324749149088,LN22.022006546378,EL187.484817,--AP
--GS,PN262,N 4600825.0214,E 587118.2988,EL141.8409,--AP
G0,04/18/2022 11:10:48,Base ID read at rover: 0010
G1,BP0010,PN262,DX-2731.583,DY-5619.599,DZ5203.818
G2,VX0.01334442,VY0.01047647,VZ0.01246875
G3,XY0.00008097,XZ0.00007492,YZ0.00005903
--GT,PN262,SW2206,ST126648008,EW2206,ET126648008
--HSIG:0.013, VSI:0.017, STATUS:FIXED, SATS:12, PDOP:1.761,
HDOP:0.989, VDOP:1.457
GPS,PN263,LA41.324777130648,LN22.021972132861,EL187.605471,--AP
--GS,PN263,N 4600833.5573,E 587110.2193,EL141.9616,--AP
G0,04/18/2022 11:11:00,Base ID read at rover: 0010
G1,BP0010,PN263,DX-2733.814,DY-5629.107,DZ5210.359
G2,VX0.01347578,VY0.01074413,VZ0.01451138
G3,XY0.00008025,XZ0.00007386,YZ0.00007379
--GT,PN263,SW2206,ST126660008,EW2206,ET126660008
--HSIG:0.014, VSI:0.018, STATUS:FIXED, SATS:10, PDOP:2.359,
HDOP:1.343, VDOP:1.940
GPS,PN264,LA41.324796853940,LN22.021931486669,EL188.045872,--AP
--GS,PN264,N 4600839.5281,E 587100.7261,EL142.4021,--AP
G0,04/18/2022 11:11:14,Base ID read at rover: 0010

G1, BP0010, PN264, DX-2733.714, DY-5639.230, DZ5215.205
G2, VX0.01331673, VY0.01044831, VZ0.01236265
G3, XY0.00008066, XZ0.00007275, YZ0.00005839
--GT, PN264, SW2206, ST126674008, EW2206, ET126674008
--HSIG:0.013, VSIG:0.017, STATUS:FIXED, SATS:13, PDOP:2.397,
HDOP:1.363, VDOP:1.972
GPS, PN265, LA41.324808186792, LN22.021893340402, EL188.508490, --AP
--GS, PN265, N 4600842.9176, E 587091.8435, EL142.8647, --AP
G0, 04/18/2022 11:11:25, Base ID read at rover: 0010
G1, BP0010, PN265, DX-2732.225, DY-5648.166, DZ5218.129
G2, VX0.01333509, VY0.01044745, VZ0.01236476
G3, XY0.00008049, XZ0.00007231, YZ0.00005813
--GT, PN265, SW2206, ST126685009, EW2206, ET126685009
--HSIG:0.013, VSIG:0.017, STATUS:FIXED, SATS:13, PDOP:1.679,
HDOP:0.923, VDOP:1.402
GPS, PN266, LA41.324821882563, LN22.021830437197, EL188.851615, --AP
--GS, PN266, N 4600846.9669, E 587077.2147, EL143.2080, --AP
G0, 04/18/2022 11:11:41, Base ID read at rover: 0010
G1, BP0010, PN266, DX-2729.114, DY-5662.635, DZ5221.519
G2, VX0.01339919, VY0.01049030, VZ0.01238867
G3, XY0.00008132, XZ0.00007261, YZ0.00005854
--GT, PN266, SW2206, ST126701009, EW2206, ET126701009
--HSIG:0.013, VSIG:0.017, STATUS:FIXED, SATS:13, PDOP:1.680,
HDOP:0.923, VDOP:1.404
GPS, PN267, LA41.324827469754, LN22.021778576152, EL188.810465, --AP
--GS, PN267, N 4600848.5456, E 587065.1751, EL143.1669, --AP
G0, 04/18/2022 11:11:55, Base ID read at rover: 0010
G1, BP0010, PN267, DX-2725.692, DY-5674.217, DZ5222.782
G2, VX0.01344576, VY0.01052604, VZ0.01240665
G3, XY0.00008199, XZ0.00007290, YZ0.00005893
--GT, PN267, SW2206, ST126715009, EW2206, ET126715009
--HSIG:0.013, VSIG:0.017, STATUS:FIXED, SATS:13, PDOP:1.681,
HDOP:0.923, VDOP:1.405
GPS, PN268, LA41.324803985237, LN22.021780334199, EL188.655758, --IV
--GS, PN268, N 4600841.3058, E 587065.6699, EL143.0122, --IV
G0, 04/18/2022 11:12:51, Base ID read at rover: 0010
G1, BP0010, PN268, DX-2721.498, DY-5672.080, DZ5217.257
G2, VX0.01355488, VY0.01062729, VZ0.01243472
G3, XY0.00008382, XZ0.00007375, YZ0.00006016
--GT, PN268, SW2206, ST126771008, EW2206, ET126771008
--HSIG:0.013, VSIG:0.017, STATUS:FIXED, SATS:13, PDOP:1.686,
HDOP:0.923, VDOP:1.410
GPS, PN269, LA41.324802913759, LN22.021779741971, EL188.652002, --IV
--GS, PN269, N 4600840.9736, E 587065.5366, EL143.0085, --IV
G0, 04/18/2022 11:13:38, Base ID read at rover: 0010
G1, BP0010, PN269, DX-2721.246, DY-5672.126, DZ5217.007
G2, VX0.01350714, VY0.01057072, VZ0.01236793
G3, XY0.00008242, XZ0.00007237, YZ0.00005903
--GT, PN269, SW2206, ST126818009, EW2206, ET126818009
--HSIG:0.013, VSIG:0.017, STATUS:FIXED, SATS:13, PDOP:1.689,
HDOP:0.923, VDOP:1.415
GPS, PN270, LA41.324791030729, LN22.021792218014, EL188.956882, --IV
--GS, PN270, N 4600837.3426, E 587068.4721, EL143.3134, --IV
G0, 04/18/2022 11:13:47, Base ID read at rover: 0010
G1, BP0010, PN270, DX-2719.866, DY-5668.448, DZ5214.465
G2, VX0.01351898, VY0.01058572, VZ0.01236854
G3, XY0.00008274, XZ0.00007258, YZ0.00005927
--GT, PN270, SW2206, ST126827009, EW2206, ET126827009
--HSIG:0.013, VSIG:0.017, STATUS:FIXED, SATS:13, PDOP:1.690,
HDOP:0.923, VDOP:1.416
GPS, PN271, LA41.324780782384, LN22.021799487509, EL189.241319, --IV
--GS, PN271, N 4600834.2014, E 587070.1950, EL143.5978, --IV
G0, 04/18/2022 11:13:54, Base ID read at rover: 0010
G1, BP0010, PN271, DX-2718.357, DY-5666.019, DZ5212.287
G2, VX0.01352728, VY0.01059720, VZ0.01236869
G3, XY0.00008297, XZ0.00007274, YZ0.00005945
--GT, PN271, SW2206, ST126834009, EW2206, ET126834009
--HSIG:0.013, VSIG:0.017, STATUS:FIXED, SATS:13, PDOP:1.691,
HDOP:0.923, VDOP:1.416
GPS, PN272, LA41.324772227376, LN22.021803326845, EL189.401732, --IV
--GS, PN272, N 4600831.5730, E 587071.1165, EL143.7582, --IV
G0, 04/18/2022 11:14:00, Base ID read at rover: 0010
G1, BP0010, PN272, DX-2716.957, DY-5664.492, DZ5210.418
G2, VX0.01353270, VY0.01060473, VZ0.01236751
G3, XY0.00008313, XZ0.00007285, YZ0.00005957
--GT, PN272, SW2206, ST126840009, EW2206, ET126840009
--HSIG:0.013, VSIG:0.017, STATUS:FIXED, SATS:13, PDOP:1.691,
HDOP:0.923, VDOP:1.417
GPS, PN273, LA41.324763196907, LN22.021805667209, EL189.584222, --IV
--GS, PN273, N 4600828.7937, E 587071.6937, EL143.9407, --IV
G0, 04/18/2022 11:14:21, Base ID read at rover: 0010
G1, BP0010, PN273, DX-2715.321, DY-5663.244, DZ5208.454
G2, VX0.01355614, VY0.01070030, VZ0.01249643
G3, XY0.00008418, XZ0.00007400, YZ0.00006217
--GT, PN273, SW2206, ST126861008, EW2206, ET126861008
--HSIG:0.013, VSIG:0.017, STATUS:FIXED, SATS:12, PDOP:1.910,
HDOP:1.032, VDOP:1.607
GPS, PN274, LA41.324762260874, LN22.021806586475, EL189.564011, --IV
--GS, PN274, N 4600828.5075, E 587071.9090, EL143.9205, --IV
G0, 04/18/2022 11:14:26, Base ID read at rover: 0010
G1, BP0010, PN274, DX-2715.237, DY-5662.981, DZ5208.225
G2, VX0.01355548, VY0.01057870, VZ0.01218445
G3, XY0.00008357, XZ0.00007268, YZ0.00005768
--GT, PN274, SW2206, ST126866008, EW2206, ET126866008
--HSIG:0.013, VSIG:0.017, STATUS:FIXED, SATS:13, PDOP:1.693,
HDOP:0.924, VDOP:1.419
GPS, PN275, LA41.324772628262, LN22.021831883229, EL189.168204, --IV
--GS, PN275, N 4600831.7764, E 587077.7330, EL143.5246, --IV
G0, 04/18/2022 11:14:38, Base ID read at rover: 0010
G1, BP0010, PN275, DX-2719.678, DY-5658.454, DZ5210.356
G2, VX0.01356004, VY0.01059859, VZ0.01220903
G3, XY0.00008379, XZ0.00007288, YZ0.00005824
--GT, PN275, SW2206, ST126878009, EW2206, ET126878009
--HSIG:0.013, VSIG:0.017, STATUS:FIXED, SATS:13, PDOP:1.694,
HDOP:0.924, VDOP:1.420
GPS, PN276, LA41.324781491129, LN22.021857890788, EL188.804965, --IV
--GS, PN276, N 4600834.5832, E 587083.7273, EL143.1613, --IV
G0, 04/18/2022 11:14:47, Base ID read at rover: 0010
G1, BP0010, PN276, DX-2723.873, DY-5653.649, DZ5212.162
G2, VX0.01385044, VY0.01081801, VZ0.01248188
G3, XY0.00008393, XZ0.00007300, YZ0.00005857
--GT, PN276, SW2206, ST126887008, EW2206, ET126887008
--HSIG:0.013, VSIG:0.017, STATUS:FIXED, SATS:13, PDOP:1.695,
HDOP:0.924, VDOP:1.421
GPS, PN277, LA41.324788233761, LN22.021883550917, EL188.395425, --IV
--GS, PN277, N 4600836.7349, E 587089.6490, EL142.7517, --IV
G0, 04/18/2022 11:15:00, Base ID read at rover: 0010
G1, BP0010, PN277, DX-2727.668, DY-5648.769, DZ5213.447
G2, VX0.01357067, VY0.01068104, VZ0.01233979
G3, XY0.00008452, XZ0.00007376, YZ0.00006066
--GT, PN277, SW2206, ST126900008, EW2206, ET126900008
--HSIG:0.013, VSIG:0.017, STATUS:FIXED, SATS:12, PDOP:1.915,
HDOP:1.034, VDOP:1.612
GPS, PN278, LA41.324789209384, LN22.021883166600, EL188.336474, --IV
--GS, PN278, N 4600837.0348, E 587089.5563, EL142.6928, --IV
G0, 04/18/2022 11:15:04, Base ID read at rover: 0010
G1, BP0010, PN278, DX-2727.860, DY-5648.943, DZ5213.633
G2, VX0.01357591, VY0.01072034, VZ0.01241152
G3, XY0.00008488, XZ0.00007427, YZ0.00006190
--GT, PN278, SW2206, ST126904008, EW2206, ET126904008
--HSIG:0.013, VSIG:0.017, STATUS:FIXED, SATS:12, PDOP:1.915,
HDOP:1.034, VDOP:1.612
GPS, PN279, LA41.324795708227, LN22.021845951345, EL188.496739, --IV
--GS, PN279, N 4600838.9357, E 587080.9075, EL142.8531, --IV
G0, 04/18/2022 11:15:38, Base ID read at rover: 0010
G1, BP0010, PN279, DX-2725.745, DY-5657.392, DZ5215.240
G2, VX0.01356919, VY0.01064989, VZ0.01223356
G3, XY0.00008445, XZ0.00007340, YZ0.00005950
--GT, PN279, SW2206, ST126938009, EW2206, ET126938009
--HSIG:0.013, VSIG:0.017, STATUS:FIXED, SATS:13, PDOP:1.699,
HDOP:0.924, VDOP:1.426
GPS, PN280, LA41.324800067235, LN22.021815974455, EL188.589534, --IV
--GS, PN280, N 4600840.1967, E 587073.9441, EL142.9460, --IV
G0, 04/18/2022 11:15:48, Base ID read at rover: 0010
G1, BP0010, PN280, DX-2723.901, DY-5664.141, DZ5216.308
G2, VX0.01357093, VY0.01064292, VZ0.01219608
G3, XY0.00008449, XZ0.00007335, YZ0.00005912
--GT, PN280, SW2206, ST126948008, EW2206, ET126948008
--HSIG:0.013, VSIG:0.017, STATUS:FIXED, SATS:13, PDOP:1.700,
HDOP:0.924, VDOP:1.427
GPS, PN281, LA41.324802767078, LN22.021794433276, EL188.622025, --IV
--GS, PN281, N 4600840.9694, E 587068.9419, EL142.9785, --IV
G0, 04/18/2022 11:15:56, Base ID read at rover: 0010
G1, BP0010, PN281, DX-2722.517, DY-5668.967, DZ5216.953
G2, VX0.01357169, VY0.01065130, VZ0.01220581
G3, XY0.00008457, XZ0.00007343, YZ0.00005935
--GT, PN281, SW2206, ST126956008, EW2206, ET126956008
--HSIG:0.013, VSIG:0.017, STATUS:FIXED, SATS:13, PDOP:1.701,
HDOP:0.924, VDOP:1.428
GPS, PN282, LA41.324725180540, LN22.021928752893, EL186.226103, --
--GS, PN282, N 4600817.4099, E 587100.3591, EL140.5824, --
G0, 04/18/2022 11:17:04, Base ID read at rover: 0010
G1, BP0010, PN282, DX-2721.145, DY-5634.825, DZ5197.449
G2, VX0.01944389, VY0.01060412, VZ0.01781180
G3, XY0.00007587, XZ0.00004946, YZ0.00008327
--GT, PN282, SW2206, ST127024007, EW2206, ET127024007
--HSIG:0.019, VSIG:0.021, STATUS:FIXED, SATS:8, PDOP:1.522,
HDOP:0.982, VDOP:1.163
GPS, PN283, LA41.324735014953, LN22.021894961822, EL186.226142, --
--GS, PN283, N 4600820.3493, E 587092.4914, EL140.5825, --
G0, 04/18/2022 11:17:16, Base ID read at rover: 0010
G1, BP0010, PN283, DX-2720.071, DY-5642.840, DZ5199.720
G2, VX0.02033882, VY0.01257890, VZ0.01941562
G3, XY0.00010368, XZ0.00004682, YZ0.00012097
--GT, PN283, SW2206, ST127036007, EW2206, ET127036007
--HSIG:0.021, VSIG:0.022, STATUS:FIXED, SATS:9, PDOP:2.820,
HDOP:1.590, VDOP:2.330
GPS, PN284, LA41.324723848649, LN22.021893632831, EL186.045376, --
--GS, PN284, N 4600816.9009, E 587092.2250, EL140.4017, --
G0, 04/18/2022 11:17:21, Base ID read at rover: 0010
G1, BP0010, PN284, DX-2717.963, DY-5642.319, DZ5197.021
G2, VX0.01477723, VY0.01236013, VZ0.01841576
G3, XY0.00009905, XZ0.00008315, YZ0.00012950
--GT, PN284, SW2206, ST127041007, EW2206, ET127041007
--HSIG:0.017, VSIG:0.021, STATUS:FIXED, SATS:10, PDOP:2.393,
HDOP:1.346, VDOP:1.979

GPS,PN285,LA41.324715659138,LN22.021864082241,EL186.171209,--
--GS,PN285,N 4600814.2919,E 587085.4070,EL140.5276,--
G0,04/18/2022 11:17:31,Base ID read at rover: 0010
G1,BP0010,PN285,DX-2713.753,DY-5648.004,DZ5195.214
G2,VX0.01564920,VY0.01273540,VZ0.03451720
G3,XY0.00010093,XZ0.00017059,YZ0.00016040
--GT,PN285,SW2206,ST127051007,EW2206,ET127051007
--HSIG:0.026, VSIG:0.030, STATUS:FIXED, SATS:8, PDOP:2.559,
HDOP:1.601, VDOP:1.997
GPS,PN286,LA41.324728983823,LN22.021852025912,EL186.330188,--
--GS,PN286,N 4600818.3688,E 587082.5634,EL140.6866,--
G0,04/18/2022 11:17:38,Base ID read at rover: 0010
G1,BP0010,PN286,DX-2715.121,DY-5651.572,DZ5198.396
G2,VX0.02349380,VY0.03933016,VZ0.04383730
G3,XY0.00078227,XZ0.00062119,YZ0.00126245
--GT,PN286,SW2206,ST127058007,EW2206,ET127058007
--HSIG:0.038, VSIG:0.051, STATUS:FIXED, SATS:8, PDOP:5.343,
HDOP:3.437, VDOP:4.091
GPS,PN287,LA41.324729162048,LN22.021851922077,EL186.345908,--
--GS,PN287,N 4600818.4235,E 587082.5387,EL140.7023,--
G0,04/18/2022 11:17:45,Base ID read at rover: 0010
G1,BP0010,PN287,DX-2715.135,DY-5651.604,DZ5198.448
G2,VX0.01275846,VY0.00987362,VZ0.01209242
G3,XY0.00006782,XZ0.00006419,YZ0.00005108
--GT,PN287,SW2206,ST127065008,EW2206,ET127065008
--HSIG:0.012, VSIG:0.016, STATUS:FIXED, SATS:14, PDOP:1.334,
HDOP:0.764, VDOP:1.094
GPS,PN288,LA41.324697930420,LN22.021804751301,EL186.659981,--
--GS,PN288,N 4600808.6570,E 587071.7229,EL141.0165,--
G0,04/18/2022 11:18:00,Base ID read at rover: 0010
G1,BP0010,PN288,DX-2704.891,DY-5659.252,DZ5191.445
G2,VX0.01293561,VY0.00995440,VZ0.01221697
G3,XY0.00006838,XZ0.00006680,YZ0.00005090
--GT,PN288,SW2206,ST127080008,EW2206,ET127080008
--HSIG:0.012, VSIG:0.016, STATUS:FIXED, SATS:12, PDOP:1.760,
HDOP:0.948, VDOP:1.483
GPS,PN289,LA41.324678847979,LN22.021820085020,EL186.294135,--
--GS,PN289,N 4600802.8131,E 587075.3475,EL140.6507,--
G0,04/18/2022 11:18:10,Base ID read at rover: 0010
G1,BP0010,PN289,DX-2702.859,DY-5654.595,DZ5186.796
G2,VX0.01318997,VY0.01002483,VZ0.01215959
G3,XY0.00007044,XZ0.00006725,YZ0.00005196
--GT,PN289,SW2206,ST127090008,EW2206,ET127090008
--HSIG:0.013, VSIG:0.016, STATUS:FIXED, SATS:12, PDOP:1.763,
HDOP:0.942, VDOP:1.490
GPS,PN290,LA41.324646801527,LN22.021778648643,EL186.739592,--
--GS,PN290,N 4600792.8113,E 587065.8637,EL141.0963,--
G0,04/18/2022 11:18:51,Base ID read at rover: 0010
G1,BP0010,PN290,DX-2692.868,DY-5660.912,DZ5179.691
G2,VX0.01271374,VY0.00959664,VZ0.01229177
G3,XY0.00006321,XZ0.00005991,YZ0.00004599
--GT,PN290,SW2206,ST127110009,EW2206,ET127110009
--HSIG:0.013, VSIG:0.016, STATUS:FIXED, SATS:14, PDOP:1.341,
HDOP:0.764, VDOP:1.102
GPS,PN291,LA41.3246660116699,LN22.021756393770,EL187.032918,--
--GS,PN291,N 4600796.8568,E 587060.6565,EL141.3896,--
G0,04/18/2022 11:19:00,Base ID read at rover: 0010
G1,BP0010,PN291,DX-2693.255,DY-5666.633,DZ5182.961
G2,VX0.01292281,VY0.00987064,VZ0.01235278
G3,XY0.00006761,XZ0.00006267,YZ0.00004870
--GT,PN291,SW2206,ST127140008,EW2206,ET127140008
--HSIG:0.013, VSIG:0.016, STATUS:FIXED, SATS:13, PDOP:1.715,
HDOP:0.925, VDOP:1.444
GPS,PN292,LA41.324625762396,LN22.021719667364,EL187.183941,--
--GS,PN292,N 4600786.1562,E 587052.2728,EL141.5408,--
G0,04/18/2022 11:19:16,Base ID read at rover: 0010
G1,BP0010,PN292,DX-2683.440,DY-5671.843,DZ5175.128
G2,VX0.01306374,VY0.01006701,VZ0.01238571
G3,XY0.00007159,XZ0.00006510,YZ0.00005113
--GT,PN292,SW2206,ST127156008,EW2206,ET127156008
--HSIG:0.013, VSIG:0.016, STATUS:FIXED, SATS:13, PDOP:1.716,
HDOP:0.925, VDOP:1.445
GPS,PN293,LA41.324616846184,LN22.021738158259,EL186.958856,--
--GS,PN293,N 4600783.4573,E 587056.5913,EL141.3157,--
G0,04/18/2022 11:19:24,Base ID read at rover: 0010
G1,BP0010,PN293,DX-2683.513,DY-5667.249,DZ5172.920
G2,VX0.01367065,VY0.01200326,VZ0.01285703
G3,XY0.00008632,XZ0.00007272,YZ0.00005562
--GT,PN293,SW2206,ST127164008,EW2206,ET127164008
--HSIG:0.014, VSIG:0.017, STATUS:FIXED, SATS:10, PDOP:1.716,
HDOP:0.925, VDOP:1.445
GPS,PN294,LA41.324609242894,LN22.021688816736,EL187.765693,--
--GS,PN294,N 4600780.9739,E 587045.1845,EL142.1226,--
G0,04/18/2022 11:19:39,Base ID read at rover: 0010
G1,BP0010,PN294,DX-2677.220,DY-5677.039,DZ5171.700
G2,VX0.01469105,VY0.01145521,VZ0.01400723
G3,XY0.00009467,XZ0.00008525,YZ0.00006956
--GT,PN294,SW2206,ST127179007,EW2206,ET127179007
--HSIG:0.014, VSIG:0.018, STATUS:FIXED, SATS:12, PDOP:1.811,
HDOP:1.027, VDOP:1.491
GPS,PN295,LA41.324584198126,LN22.021710572440,EL187.170222,--
--GS,PN295,N 4600773.3086,E 587050.3196,EL141.5271,--
G0,04/18/2022 11:19:51,Base ID read at rover: 0010

G1,BP0010,PN295,DX-2674.775,DY-5670.610,DZ5165.522
G2,VX0.01553778,VY0.01215184,VZ0.01473705
G3,XY0.00010580,XZ0.00009820,YZ0.00008224
--GT,PN295,SW2206,ST127191007,EW2206,ET127191007
--HSIG:0.015, VSIG:0.020, STATUS:FIXED, SATS:11, PDOP:2.083,
HDOP:1.084, VDOP:1.779
GPS,PN296,LA41.324778628684,LN22.022013343162,EL185.190467,--
--GS,PN296,N 4600834.1346,E 587119.7642,EL139.5465,--
G0,04/18/2022 11:22:41,Base ID read at rover: 0010
G1,BP0010,PN296,DX-2739.357,DY-5621.047,DZ5209.103
G2,VX0.01353647,VY0.01034764,VZ0.01318904
G3,XY0.00007271,XZ0.00007287,YZ0.00005620
--GT,PN296,SW2206,ST127361009,EW2206,ET127361009
--HSIG:0.013, VSIG:0.017, STATUS:FIXED, SATS:14, PDOP:1.366,
HDOP:0.768, VDOP:1.130
GPS,PN297,LA41.324801992570,LN22.021974340826,EL185.124717,--
--GS,PN297,N 4600841.2331,E 587110.6385,EL139.4808,--
G0,04/18/2022 11:22:57,Base ID read at rover: 0010
G1,BP0010,PN297,DX-2740.442,DY-5631.238,DZ5214.455
G2,VX0.01363801,VY0.01058010,VZ0.01313010
G3,XY0.00007609,XZ0.00007260,YZ0.00005692
--GT,PN297,SW2206,ST127377009,EW2206,ET127377009
--HSIG:0.013, VSIG:0.017, STATUS:FIXED, SATS:13, PDOP:1.731,
HDOP:0.927, VDOP:1.462
GPS,PN298,LA41.324830455498,LN22.021929833119,EL185.212620,--
--GS,PN298,N 4600849.8893,E 587100.2179,EL139.5688,--
G0,04/18/2022 11:23:14,Base ID read at rover: 0010
G1,BP0010,PN298,DX-2741.909,DY-5642.961,DZ5221.085
G2,VX0.01394049,VY0.01083316,VZ0.01336072
G3,XY0.00008287,XZ0.00007872,YZ0.00006060
--GT,PN298,SW2206,ST127394008,EW2206,ET127394008
--HSIG:0.013, VSIG:0.018, STATUS:FIXED, SATS:13, PDOP:1.732,
HDOP:0.927, VDOP:1.463
GPS,PN299,LA41.324874106899,LN22.021909032160,EL184.921675,--
--GS,PN299,N 4600863.2972,E 587095.2349,EL139.2778,--
G0,04/18/2022 11:23:37,Base ID read at rover: 0010
G1,BP0010,PN299,DX-2748.581,DY-5650.863,DZ5230.971
G2,VX0.01379628,VY0.01041384,VZ0.01332061
G3,XY0.00007354,XZ0.00007675,YZ0.00005742
--GT,PN299,SW2206,ST127417008,EW2206,ET127417008
--HSIG:0.013, VSIG:0.017, STATUS:FIXED, SATS:14, PDOP:1.372,
HDOP:0.769, VDOP:1.137
GPS,PN300,LA41.324847076158,LN22.021883809280,EL185.315012,--
--GS,PN300,N 4600854.8880,E 587089.4900,EL139.6712,--
G0,04/18/2022 11:23:50,Base ID read at rover: 0010
G1,BP0010,PN300,DX-2740.988,DY-5654.096,DZ5224.991
G2,VX0.01390976,VY0.01056367,VZ0.01354080
G3,XY0.00007542,XZ0.00007825,YZ0.00006029
--GT,PN300,SW2206,ST127430008,EW2206,ET127430008
--HSIG:0.013, VSIG:0.018, STATUS:FIXED, SATS:13, PDOP:1.452,
HDOP:0.846, VDOP:1.181
GPS,PN301,LA41.324850833143,LN22.021834971331,EL185.692942,--
--GS,PN301,N 4600855.9105,E 587078.1578,EL140.0493,--
G0,04/18/2022 11:24:09,Base ID read at rover: 0010
G1,BP0010,PN301,DX-2737.191,DY-5664.771,DZ5226.109
G2,VX0.01579057,VY0.01066092,VZ0.01361065
G3,XY0.00007900,XZ0.00008382,YZ0.00005915
--GT,PN301,SW2206,ST127449008,EW2206,ET127449008
--HSIG:0.014, VSIG:0.018, STATUS:FIXED, SATS:12, PDOP:2.306,
HDOP:1.324, VDOP:1.888
GPS,PN302,LA41.324861174384,LN22.021790184343,EL185.376312,--
--GS,PN302,N 4600858.9756,E 587067.7400,EL139.7327,--
G0,04/18/2022 11:24:24,Base ID read at rover: 0010
G1,BP0010,PN302,DX-2735.477,DY-5675.276,DZ5228.287
G2,VX0.01396201,VY0.01052165,VZ0.01352769
G3,XY0.00007477,XZ0.00007855,YZ0.00005832
--GT,PN302,SW2206,ST127464008,EW2206,ET127464008
--HSIG:0.014, VSIG:0.017, STATUS:FIXED, SATS:14, PDOP:1.737,
HDOP:0.928, VDOP:1.468
GPS,PN303,LA41.324895136414,LN22.021790217444,EL185.078324,--
--GS,PN303,N 4600869.4527,E 587067.6214,EL139.4347,--
G0,04/18/2022 11:24:37,Base ID read at rover: 0010
G1,BP0010,PN303,DX-2742.128,DY-5677.960,DZ5235.931
G2,VX0.01417358,VY0.01086744,VZ0.01359390
G3,XY0.00008098,XZ0.00008175,YZ0.00006180
--GT,PN303,SW2206,ST127477009,EW2206,ET127477009
--HSIG:0.014, VSIG:0.018, STATUS:FIXED, SATS:13, PDOP:1.738,
HDOP:0.929, VDOP:1.469
GPS,PN304,LA41.324920936439,LN22.021791497786,EL184.823847,--
--GS,PN304,N 4600877.4153,E 587067.8221,EL139.1802,--
G0,04/18/2022 11:24:47,Base ID read at rover: 0010
G1,BP0010,PN304,DX-2747.310,DY-5679.737,DZ5241.719
G2,VX0.01449030,VY0.01050749,VZ0.01344051
G3,XY0.00007606,XZ0.00007626,YZ0.00005796
--GT,PN304,SW2206,ST127487008,EW2206,ET127487008
--HSIG:0.014, VSIG:0.018, STATUS:FIXED, SATS:12, PDOP:1.407,
HDOP:0.818, VDOP:1.145
GPS,PN305,LA41.324942639574,LN22.021805062431,EL184.900007,--DL
--GS,PN305,N 4600884.1484,E 587070.8850,EL139.2563,--DL
G0,04/18/2022 11:25:07,Base ID read at rover: 0010
G1,BP0010,PN305,DX-2752.553,DY-5678.468,DZ5246.781
G2,VX0.02680243,VY0.01077757,VZ0.01732810
G3,XY0.00003405,XZ0.00024623,YZ0.00003904

--GT,PN305,SW2206,ST127507007,EW2206,ET127507007
--HSIG:0.020, VSIG:0.027, STATUS:FIXED, SATS:8, PDOP:1.476,
HDOP:0.904, VDOP:1.166
GPS,PN306,LA41.324948837107,LN22.021835215918,EL184.795117,--
--GS,PN306,N 4600886.1445,E 587077.8501,EL139.1513,--
G0,04/18/2022 11:25:23,Base ID read at rover: 0010
G1,BP0010,PN306,DX-2756.424,DY-5672.495,DZ5248.143
G2,VX0.01413758,VY0.01062681,VZ0.01369224
G3,XY0.00007555,XZ0.00008212,YZ0.00005776
--GT,PN306,SW2206,ST127523008,EW2206,ET127523008
--HSIG:0.014, VSIG:0.018, STATUS:FIXED, SATS:13, PDOP:1.384,
HDOP:0.770, VDOP:1.150
GPS,PN307,LA41.324995478680,LN22.021864470471,EL184.054858,--
--GS,PN307,N 4600900.6148,E 587084.4563,EL138.4109,--
G0,04/18/2022 11:25:44,Base ID read at rover: 0010
G1,BP0010,PN307,DX-2768.328,DY-5669.999,DZ5258.421
G2,VX0.01535521,VY0.01053524,VZ0.01360138
G3,XY0.00007754,XZ0.00008080,YZ0.00005758
--GT,PN307,SW2206,ST127544008,EW2206,ET127544008
--HSIG:0.014, VSIG:0.018, STATUS:FIXED, SATS:12, PDOP:1.426,
HDOP:0.816, VDOP:1.169
GPS,PN308,LA41.324951886372,LN22.021921202587,EL184.141216,--
--GS,PN308,N 4600887.3254,E 587097.7661,EL138.4972,--
G0,04/18/2022 11:26:13,Base ID read at rover: 0010
G1,BP0010,PN308,DX-2764.934,DY-5654.440,DZ5248.413
G2,VX0.01380448,VY0.01049181,VZ0.01345558
G3,XY0.00007421,XZ0.00007775,YZ0.00005812
--GT,PN308,SW2206,ST127573008,EW2206,ET127573008
--HSIG:0.013, VSIG:0.017, STATUS:FIXED, SATS:14, PDOP:1.389,
HDOP:0.771, VDOP:1.156
GPS,PN309,LA41.324920123663,LN22.021969829169,EL184.235387,--
--GS,PN309,N 4600877.6628,E 587109.1534,EL138.5913,--
G0,04/18/2022 11:26:29,Base ID read at rover: 0010
G1,BP0010,PN309,DX-2763.073,DY-5641.528,DZ5241.141
G2,VX0.01380452,VY0.01048899,VZ0.01344738
G3,XY0.00007420,XZ0.00007774,YZ0.00005815
--GT,PN309,SW2206,ST127589008,EW2206,ET127589008
--HSIG:0.013, VSIG:0.017, STATUS:FIXED, SATS:14, PDOP:1.391,
HDOP:0.772, VDOP:1.158
GPS,PN310,LA41.324891759798,LN22.022014664708,EL184.268721,--
--GS,PN310,N 4600869.0381,E 587119.6496,EL138.6246,--
G0,04/18/2022 11:26:45,Base ID read at rover: 0010
G1,BP0010,PN310,DX-2761.569,DY-5629.708,DZ5234.614
G2,VX0.01375600,VY0.01048065,VZ0.01332722
G3,XY0.00007470,XZ0.00007849,YZ0.00005763
--GT,PN310,SW2206,ST127605008,EW2206,ET127605008
--HSIG:0.013, VSIG:0.017, STATUS:FIXED, SATS:14, PDOP:1.393,
HDOP:0.772, VDOP:1.160
GPS,PN311,LA41.324856089920,LN22.022048992958,EL184.392623,--
--GS,PN311,N 4600858.1303,E 587127.7379,EL138.7485,--
G0,04/18/2022 11:27:02,Base ID read at rover: 0010
G1,BP0010,PN311,DX-2757.703,DY-5619.560,DZ5226.460
G2,VX0.01389036,VY0.01055168,VZ0.01349785
G3,XY0.00007544,XZ0.00008029,YZ0.00005880
--GT,PN311,SW2206,ST127622009,EW2206,ET127622009
--HSIG:0.013, VSIG:0.018, STATUS:FIXED, SATS:14, PDOP:1.395,
HDOP:0.772, VDOP:1.162
GPS,PN312,LA41.324824252800,LN22.022091403595,EL184.486321,--
--GS,PN312,N 4600848.4274,E 587137.6850,EL138.8421,--
G0,04/18/2022 11:27:17,Base ID read at rover: 0010
G1,BP0010,PN312,DX-2755.288,DY-5607.977,DZ5219.171
G2,VX0.01382980,VY0.01050240,VZ0.01346117
G3,XY0.00007457,XZ0.00007930,YZ0.00005827
--GT,PN312,SW2206,ST127637009,EW2206,ET127637009
--HSIG:0.013, VSIG:0.017, STATUS:FIXED, SATS:14, PDOP:1.397,
HDOP:0.773, VDOP:1.164
GPS,PN313,LA41.32496772558,LN22.022133807884,EL184.607090,--
--GS,PN313,N 4600840.0685,E 587147.6145,EL138.9629,--
G0,04/18/2022 11:27:31,Base ID read at rover: 0010
G1,BP0010,PN313,DX-2753.680,DY-5596.723,DZ5212.906
G2,VX0.01377318,VY0.01045658,VZ0.01342145
G3,XY0.00007379,XZ0.00007846,YZ0.00005779
--GT,PN313,SW2206,ST127651008,EW2206,ET127651008
--HSIG:0.013, VSIG:0.017, STATUS:FIXED, SATS:14, PDOP:1.398,
HDOP:0.773, VDOP:1.165
GPS,PN314,LA41.324809856499,LN22.022276543087,EL184.266143,--
--GS,PN314,N 4600844.5040,E 587180.6448,EL138.6216,--
G0,04/18/2022 11:28:05,Base ID read at rover: 0010
G1,BP0010,PN314,DX-2768.812,DY-5567.159,DZ5215.701
G2,VX0.01365071,VY0.01036573,VZ0.01315957
G3,XY0.00007271,XZ0.00007883,YZ0.00005601
--GT,PN314,SW2206,ST127685008,EW2206,ET127685008
--HSIG:0.013, VSIG:0.017, STATUS:FIXED, SATS:14, PDOP:1.402,
HDOP:0.774, VDOP:1.169
GPS,PN315,LA41.324864652028,LN22.022206442675,EL184.075521,--
--GS,PN315,N 4600861.2118,E 587164.1950,EL138.4311,--
G0,04/18/2022 11:28:29,Base ID read at rover: 0010
G1,BP0010,PN315,DX-2773.241,DY-5586.480,DZ5228.227
G2,VX0.01329363,VY0.01001809,VZ0.01307416
G3,XY0.00006673,XZ0.00007425,YZ0.00005333
--GT,PN315,SW2206,ST127709008,EW2206,ET127709008
--HSIG:0.013, VSIG:0.017, STATUS:FIXED, SATS:14, PDOP:1.404,
HDOP:0.774, VDOP:1.172
GPS,PN316,LA41.324910977403,LN22.022132648592,EL183.739936,--
--GS,PN316,N 4600875.2964,E 587146.9208,EL138.0956,--
G0,04/18/2022 11:28:49,Base ID read at rover: 0010
G1,BP0010,PN316,DX-2775.842,DY-5605.985,DZ5238.701
G2,VX0.01320084,VY0.00986077,VZ0.01297372
G3,XY0.00006404,XZ0.00007128,YZ0.00005058
--GT,PN316,SW2206,ST127729008,EW2206,ET127729008
--HSIG:0.013, VSIG:0.017, STATUS:FIXED, SATS:14, PDOP:1.406,
HDOP:0.774, VDOP:1.174
GPS,PN317,LA41.324950943534,LN22.022072633294,EL183.533995,--
--GS,PN317,N 4600887.4578,E 587132.8635,EL137.8897,--
G0,04/18/2022 11:29:08,Base ID read at rover: 0010
G1,BP0010,PN317,DX-2778.346,DY-5622.005,DZ5247.793
G2,VX0.01355748,VY0.01036000,VZ0.01307438
G3,XY0.00007269,XZ0.00007587,YZ0.00005571
--GT,PN317,SW2206,ST127748008,EW2206,ET127748008
--HSIG:0.013, VSIG:0.017, STATUS:FIXED, SATS:13, PDOP:1.753,
HDOP:0.933, VDOP:1.485
GPS,PN318,LA41.324982361764,LN22.022015428226,EL183.587728,--
--GS,PN318,N 4600896.9902,E 587119.4894,EL137.9435,--
G0,04/18/2022 11:29:49,Base ID read at rover: 0010
G1,BP0010,PN318,DX-2779.293,DY-5636.692,DZ5255.083
G2,VX0.01308167,VY0.00974997,VZ0.01285605
G3,XY0.00006376,XZ0.00007043,YZ0.00005083
--GT,PN318,SW2206,ST127789008,EW2206,ET127789008
--HSIG:0.013, VSIG:0.016, STATUS:FIXED, SATS:14, PDOP:1.413,
HDOP:0.776, VDOP:1.181
GPS,PN319,LA41.325012656678,LN22.021966509724,EL183.600196,--
--GS,PN319,N 4600906.1991,E 587108.0399,EL137.9560,--
G0,04/18/2022 11:30:25,Base ID read at rover: 0010
G1,BP0010,PN319,DX-2780.776,DY-5649.524,DZ5262.086
G2,VX0.01287754,VY0.00961217,VZ0.01269597
G3,XY0.00006099,XZ0.00006838,YZ0.00004938
--GT,PN319,SW2206,ST127825008,EW2206,ET127825008
--HSIG:0.013, VSIG:0.016, STATUS:FIXED, SATS:14, PDOP:1.417,
HDOP:0.776, VDOP:1.186
GPS,PN320,LA41.325051021587,LN22.021898776705,EL183.501446,--
--GS,PN320,N 4600917.8451,E 587092.2001,EL137.8574,--
G0,04/18/2022 11:30:48,Base ID read at rover: 0010
G1,BP0010,PN320,DX-2782.230,DY-5667.049,DZ5270.879
G2,VX0.01280441,VY0.00956594,VZ0.01263769
G3,XY0.00006004,XZ0.00006779,YZ0.00004893
--GT,PN320,SW2206,ST127848008,EW2206,ET127848008
--HSIG:0.012, VSIG:0.016, STATUS:FIXED, SATS:14, PDOP:1.419,
HDOP:0.777, VDOP:1.188
GPS,PN321,LA41.325088863904,LN22.021923753667,EL183.117795,--
--GS,PN321,N 4600929.5889,E 587097.8478,EL137.4736,--
G0,04/18/2022 11:31:16,Base ID read at rover: 0010
G1,BP0010,PN321,DX-2791.846,DY-5664.696,DZ5279.362
G2,VX0.01272053,VY0.00954412,VZ0.01252099
G3,XY0.00006001,XZ0.00006730,YZ0.00004873
--GT,PN321,SW2206,ST127876008,EW2206,ET127876008
--HSIG:0.012, VSIG:0.016, STATUS:FIXED, SATS:14, PDOP:1.422,
HDOP:0.778, VDOP:1.191
GPS,PN322,LA41.325062361838,LN22.022007766437,EL183.008170,--
--GS,PN322,N 4600921.6480,E 587117.4162,EL137.3639,--
G0,04/18/2022 11:31:40,Base ID read at rover: 0010
G1,BP0010,PN322,DX-2794.202,DY-5644.643,DZ5273.170
G2,VX0.01256569,VY0.00931842,VZ0.01240452
G3,XY0.00006006,XZ0.00006438,YZ0.00004803
--GT,PN322,SW2206,ST127900008,EW2206,ET127900008
--HSIG:0.012, VSIG:0.016, STATUS:FIXED, SATS:14, PDOP:1.425,
HDOP:0.778, VDOP:1.194
GPS,PN323,LA41.325062114640,LN22.022026145042,EL183.065704,--DL
--GS,PN323,N 4600921.6231,E 587121.6763,EL137.4214,--DL
G0,04/18/2022 11:32:56,Base ID read at rover: 0010
G1,BP0010,PN323,DX-2795.714,DY-5640.660,DZ5273.151
G2,VX0.01224863,VY0.00904996,VZ0.01223344
G3,XY0.00005119,XZ0.00006170,YZ0.00004106
--GT,PN323,SW2206,ST127976008,EW2206,ET127976008
--HSIG:0.012, VSIG:0.015, STATUS:FIXED, SATS:12, PDOP:1.548,
HDOP:0.865, VDOP:1.283
GPS,PN324,LA41.325033238160,LN22.022073301928,EL183.208465,--
--GS,PN324,N 4600912.8468,E 587132.7123,EL137.5641,--
G0,04/18/2022 11:33:22,Base ID read at rover: 0010
G1,BP0010,PN324,DX-2794.239,DY-5628.271,DZ5266.578
G2,VX0.01203734,VY0.00911624,VZ0.01215146
G3,XY0.00005427,XZ0.00006229,YZ0.00004449
--GT,PN324,SW2206,ST128002008,EW2206,ET128002008
--HSIG:0.012, VSIG:0.015, STATUS:FIXED, SATS:14, PDOP:1.435,
HDOP:0.780, VDOP:1.205
GPS,PN325,LA41.324990473353,LN22.022162797709,EL183.179200,--
--GS,PN325,N 4600899.9045,E 587153.6120,EL137.5347,--
G0,04/18/2022 11:33:45,Base ID read at rover: 0010
G1,BP0010,PN325,DX-2793.931,DY-5605.769,DZ5256.685
G2,VX0.01243246,VY0.00922323,VZ0.01225242
G3,XY0.00005726,XZ0.00006820,YZ0.00004630
--GT,PN325,SW2206,ST128025009,EW2206,ET128025009
--HSIG:0.012, VSIG:0.016, STATUS:FIXED, SATS:14, PDOP:1.438,
HDOP:0.781, VDOP:1.207
GPS,PN326,LA41.324950370811,LN22.022240471846,EL183.402102,--
--GS,PN326,N 4600887.7504,E 587171.7622,EL137.7575,--
G0,04/18/2022 11:34:07,Base ID read at rover: 0010

G1, BP0010, PN326, DX-2792.926, DY-5585.940, DZ5247.573
G2, VX0.01240914, VY0.00929006, VZ0.01228317
G3, XY0.00005810, XZ0.00006814, YZ0.00004728
--GT, PN326, SW2206, ST128047008, EW2206, ET128047008
--HSIG:0.012, VSIG:0.016, STATUS:FIXED, SATS:14, PDOP:1.440,
HDOP:0.781, VDOP:1.210
GPS, PN327, LA41.324906481957, LN22.022316830334, EL184.141177, --DL
--GS, PN327, N 4600874.4247, E 587189.6216, EL138.4964, --DL
G0, 04/18/2022 11:34:35, Base ID read at rover: 0010
G1, BP0010, PN327, DX-2790.730, DY-5565.958, DZ5237.929
G2, VX0.01301155, VY0.00921716, VZ0.01259040
G3, XY0.00005394, XZ0.00007480, YZ0.00004167
--GT, PN327, SW2206, ST128075008, EW2206, ET128075008
--HSIG:0.012, VSIG:0.016, STATUS:FIXED, SATS:11, PDOP:1.641,
HDOP:0.915, VDOP:1.362
GPS, PN328, LA41.324885210820, LN22.022387711289, EL184.094695, --OG
--GS, PN328, N 4600868.0610, E 587206.1275, EL138.4498, --OG
G0, 04/18/2022 11:35:21, Base ID read at rover: 0010
G1, BP0010, PN328, DX-2792.892, DY-5549.110, DZ5232.987
G2, VX0.01362263, VY0.00945939, VZ0.01243398
G3, XY0.00006377, XZ0.00007203, YZ0.00004831
--GT, PN328, SW2206, ST128121008, EW2206, ET128121008
--HSIG:0.012, VSIG:0.017, STATUS:FIXED, SATS:13, PDOP:1.490,
HDOP:0.823, VDOP:1.242
GPS, PN329, LA41.324900713626, LN22.022349186885, EL183.717224, --OG
--GS, PN329, N 4600872.7357, E 587197.1417, EL138.0724, --OG
G0, 04/18/2022 11:35:40, Base ID read at rover: 0010
G1, BP0010, PN329, DX-2792.744, DY-5558.683, DZ5236.316
G2, VX0.01417417, VY0.00987089, VZ0.01260435
G3, XY0.00007097, XZ0.00007682, YZ0.00005197
--GT, PN329, SW2206, ST128140008, EW2206, ET128140008
--HSIG:0.013, VSIG:0.017, STATUS:FIXED, SATS:12, PDOP:1.882,
HDOP:0.997, VDOP:1.596
GPS, PN330, LA41.324912942361, LN22.022321021707, EL183.768320, --OG
--GS, PN330, N 4600876.4294, E 587190.5689, EL138.1236, --OG
G0, 04/18/2022 11:35:54, Base ID read at rover: 0010
G1, BP0010, PN330, DX-2792.578, DY-5565.658, DZ5239.173
G2, VX0.04779045, VY0.01044364, VZ0.02414921
G3, XY0.00006484, XZ0.00024586, YZ0.00004707
--GT, PN330, SW2206, ST128154008, EW2206, ET128154008
--HSIG:0.037, VSIG:0.040, STATUS:FIXED, SATS:9, PDOP:1.882,
HDOP:0.997, VDOP:1.596
GPS, PN331, LA41.324942634179, LN22.022344637931, EL183.641431, --OG
--GS, PN331, N 4600885.6551, E 587195.9314, EL137.9966, --OG
G0, 04/18/2022 11:36:12, Base ID read at rover: 0010
G1, BP0010, PN331, DX-2800.352, DY-5562.900, DZ5245.945
G2, VX0.01668194, VY0.00956765, VZ0.01867588
G3, XY0.00006135, XZ0.00009295, YZ0.00004428
--GT, PN331, SW2206, ST128172008, EW2206, ET128172008
--HSIG:0.017, VSIG:0.021, STATUS:FIXED, SATS:11, PDOP:1.710,
HDOP:0.987, VDOP:1.396
GPS, PN332, LA41.324970222945, LN22.022288789894, EL183.331471, --OG
--GS, PN332, N 4600894.0098, E 587182.8859, EL137.6867, --OG
G0, 04/18/2022 11:36:31, Base ID read at rover: 0010
G1, BP0010, PN332, DX-2800.942, DY-5577.104, DZ5252.110
G2, VX0.01442002, VY0.00962794, VZ0.01260579
G3, XY0.00006654, XZ0.00007788, YZ0.00004745
--GT, PN332, SW2206, ST128191008, EW2206, ET128191008
--HSIG:0.013, VSIG:0.017, STATUS:FIXED, SATS:13, PDOP:1.883,
HDOP:0.997, VDOP:1.598
GPS, PN333, LA41.324994760191, LN22.022239880062, EL183.136236, --OG
--GS, PN333, N 4600901.4425, E 587171.4598, EL137.4915, --OG
G0, 04/18/2022 11:36:46, Base ID read at rover: 0010
G1, BP0010, PN333, DX-2801.478, DY-5589.550, DZ5257.646
G2, VX0.01423434, VY0.00942318, VZ0.01263476
G3, XY0.00006486, XZ0.00007707, YZ0.00004704
--GT, PN333, SW2206, ST128206008, EW2206, ET128206008
--HSIG:0.013, VSIG:0.017, STATUS:FIXED, SATS:13, PDOP:1.498,
HDOP:0.824, VDOP:1.252
GPS, PN334, LA41.324996862255, LN22.022238033067, EL183.212021, --BB
--GS, PN334, N 4600902.0858, E 587171.0239, EL137.5673, --BB
G0, 04/18/2022 11:36:56, Base ID read at rover: 0010
G1, BP0010, PN334, DX-2801.664, DY-5590.087, DZ5258.182
G2, VX0.01665148, VY0.00957193, VZ0.01342594
G3, XY0.00006619, XZ0.00009215, YZ0.00004764
--GT, PN334, SW2206, ST128216008, EW2206, ET128216008
--HSIG:0.014, VSIG:0.019, STATUS:FIXED, SATS:11, PDOP:1.626,
HDOP:0.908, VDOP:1.349
GPS, PN335, LA41.325031448637, LN22.022269372315, EL182.630723, --OG
--GS, PN335, N 4600912.8430, E 587178.1580, EL136.9859, --OG
G0, 04/18/2022 11:37:21, Base ID read at rover: 0010
G1, BP0010, PN335, DX-2811.352, DY-5586.173, DZ5265.782
G2, VX0.01438099, VY0.00963611, VZ0.01278702
G3, XY0.00006802, XZ0.00008066, YZ0.00004979
--GT, PN335, SW2206, ST128241008, EW2206, ET128241008
--HSIG:0.013, VSIG:0.017, STATUS:FIXED, SATS:13, PDOP:1.502,
HDOP:0.824, VDOP:1.256
GPS, PN336, LA41.325074454382, LN22.022304643921, EL182.083189, --OG
--GS, PN336, N 4600926.2086, E 587186.1720, EL136.4383, --OG
G0, 04/18/2022 11:37:39, Base ID read at rover: 0010
G1, BP0010, PN336, DX-2822.957, DY-5582.052, DZ5275.349
G2, VX0.01443731, VY0.00966353, VZ0.01287087
G3, XY0.00006817, XZ0.00008036, YZ0.00005076
--GT, PN336, SW2206, ST128259008, EW2206, ET128259008
--HSIG:0.013, VSIG:0.017, STATUS:FIXED, SATS:13, PDOP:1.553,
HDOP:0.867, VDOP:1.289
GPS, PN337, LA41.325048446802, LN22.022372855076, EL182.062943, --OG
--GS, PN337, N 4600918.3763, E 587202.0766, EL136.4179, --OG
G0, 04/18/2022 11:38:01, Base ID read at rover: 0010
G1, BP0010, PN337, DX-2823.971, DY-5565.406, DZ5269.330
G2, VX0.01428721, VY0.00965595, VZ0.01289969
G3, XY0.00006809, XZ0.00008064, YZ0.00005133
--GT, PN337, SW2206, ST128281008, EW2206, ET128281008
--HSIG:0.013, VSIG:0.017, STATUS:FIXED, SATS:13, PDOP:1.506,
HDOP:0.824, VDOP:1.260
GPS, PN338, LA41.325029894334, LN22.022420449412, EL182.043239, --OG
--GS, PN338, N 4600912.7862, E 587213.1757, EL136.3981, --OG
G0, 04/18/2022 11:38:21, Base ID read at rover: 0010
G1, BP0010, PN338, DX-2824.605, DY-5553.763, DZ5265.034
G2, VX0.01409567, VY0.00954878, VZ0.01285477
G3, XY0.00006579, XZ0.00007782, YZ0.00005059
--GT, PN338, SW2206, ST128301008, EW2206, ET128301008
--HSIG:0.013, VSIG:0.017, STATUS:FIXED, SATS:13, PDOP:1.507,
HDOP:0.825, VDOP:1.262
GPS, PN339, LA41.324992213353, LN22.022507212821, EL182.692664, --OG
--GS, PN339, N 4600901.4047, E 587233.4233, EL137.0474, --OG
G0, 04/18/2022 11:38:53, Base ID read at rover: 0010
G1, BP0010, PN339, DX-2824.553, DY-5532.047, DZ5256.764
G2, VX0.01418099, VY0.00964121, VZ0.01276406
G3, XY0.00006828, XZ0.00008152, YZ0.00005137
--GT, PN339, SW2206, ST128333008, EW2206, ET128333008
--HSIG:0.013, VSIG:0.017, STATUS:FIXED, SATS:13, PDOP:1.558,
HDOP:0.901, VDOP:1.270
GPS, PN340, LA41.324963913071, LN22.022575245842, EL182.703696, --OG
--GS, PN340, N 4600892.8648, E 587249.2954, EL137.0584, --OG
G0, 04/18/2022 11:39:23, Base ID read at rover: 0010
G1, BP0010, PN340, DX-2825.095, DY-5515.255, DZ5250.237
G2, VX0.01414723, VY0.00944343, VZ0.01354911
G3, XY0.00006290, XZ0.00007173, YZ0.00005082
--GT, PN340, SW2206, ST128363008, EW2206, ET128363008
--HSIG:0.013, VSIG:0.017, STATUS:FIXED, SATS:12, PDOP:1.559,
HDOP:0.901, VDOP:1.273
GPS, PN341, LA41.324975160400, LN22.022587925838, EL181.869022, --ZP
--GS, PN341, N 4600896.3700, E 587252.1920, EL136.2236, --ZP
G0, 04/18/2022 11:39:52, Base ID read at rover: 0010
G1, BP0010, PN341, DX-2828.910, DY-5513.629, DZ5252.280
G2, VX0.01396723, VY0.00949185, VZ0.01289571
G3, XY0.00006511, XZ0.00007970, YZ0.00005065
--GT, PN341, SW2206, ST128392008, EW2206, ET128392008
--HSIG:0.013, VSIG:0.017, STATUS:FIXED, SATS:13, PDOP:1.516,
HDOP:0.826, VDOP:1.271
GPS, PN342, LA41.324981041026, LN22.022592377360, EL181.857966, --ZP
--GS, PN342, N 4600898.1966, E 587253.2018, EL136.2126, --ZP
G0, 04/18/2022 11:39:57, Base ID read at rover: 0010
G1, BP0010, PN342, DX-2830.421, DY-5513.127, DZ5253.630
G2, VX0.01397925, VY0.00949640, VZ0.01290364
G3, XY0.00006521, XZ0.00007994, YZ0.00005077
--GT, PN342, SW2206, ST128397008, EW2206, ET128397008
--HSIG:0.013, VSIG:0.017, STATUS:FIXED, SATS:13, PDOP:1.516,
HDOP:0.826, VDOP:1.272
GPS, PN343, LA41.324998117985, LN22.022611250179, EL182.447044, --
--GS, PN343, N 4600903.5175, E 587257.5119, EL136.8016, --
G0, 04/18/2022 11:40:15, Base ID read at rover: 0010
G1, BP0010, PN343, DX-2834.892, DY-5510.219, DZ5257.964
G2, VX0.01407733, VY0.00946830, VZ0.01290958
G3, XY0.00006540, XZ0.00008155, YZ0.00005065
--GT, PN343, SW2206, ST128415008, EW2206, ET128415008
--HSIG:0.013, VSIG:0.017, STATUS:FIXED, SATS:13, PDOP:1.518,
HDOP:0.826, VDOP:1.273
GPS, PN344, LA41.324949339691, LN22.022752168522, EL181.713807, --
--GS, PN344, N 4600888.8644, E 587290.3514, EL136.0681, --
G0, 04/18/2022 11:41:01, Base ID read at rover: 0010
G1, BP0010, PN344, DX-2838.406, DY-5476.405, DZ5246.215
G2, VX0.01502228, VY0.00931713, VZ0.01307844
G3, XY0.00006523, XZ0.00008836, YZ0.00005032
--GT, PN344, SW2206, ST128461008, EW2206, ET128461008
--HSIG:0.013, VSIG:0.018, STATUS:FIXED, SATS:12, PDOP:1.694,
HDOP:1.025, VDOP:1.348
GPS, PN345, LA41.324926320572, LN22.022733997939, EL181.722753, --ZP
--GS, PN345, N 4600881.7123, E 587286.2262, EL136.0771, --ZP
G0, 04/18/2022 11:41:18, Base ID read at rover: 0010
G1, BP0010, PN345, DX-2832.453, DY-5478.539, DZ5240.906
G2, VX0.01400398, VY0.00925887, VZ0.01269865
G3, XY0.00006305, XZ0.00008132, YZ0.00004716
--GT, PN345, SW2206, ST128478008, EW2206, ET128478008
--HSIG:0.012, VSIG:0.017, STATUS:FIXED, SATS:13, PDOP:1.523,
HDOP:0.827, VDOP:1.279
GPS, PN346, LA41.324919776267, LN22.022729667327, EL181.666756, --ZP
--GS, PN346, N 4600879.6813, E 587285.2470, EL136.0212, --ZP
G0, 04/18/2022 11:41:23, Base ID read at rover: 0010
G1, BP0010, PN346, DX-2830.874, DY-5478.982, DZ5239.358
G2, VX0.01400021, VY0.00927157, VZ0.01272806
G3, XY0.00006315, XZ0.00008148, YZ0.00004748
--GT, PN346, SW2206, ST128483008, EW2206, ET128483008
--HSIG:0.012, VSIG:0.017, STATUS:FIXED, SATS:13, PDOP:1.524,
HDOP:0.827, VDOP:1.280

GPS,PN347,LA41.324876733923,LN22.0228339817789,EL181.220947,--ZP
--GS,PN347,N 4600866.7117,E 587310.9348,EL135.5752,--ZP
G0,04/18/2022 11:41:49,Base ID read at rover: 0010
G1,BP0010,PN347,DX-2832.601,DY-5452.138,DZ5229.123
G2,VX0.01400044,VY0.00934573,VZ0.01285278
G3,XY0.00006395,XZ0.00008249,YZ0.00004913
--GT,PN347,SW2206,ST128509009,EW2206,ET128509009
--HSIG:0.012, VSI:0.017, STATUS:FIXED, SATS:13, PDOP:1.525,
HDOP:0.827, VDOP:1.282
GPS,PN348,LA41.324883554911,LN22.022844353419,EL181.336563,--ZP
--GS,PN348,N 4600868.8286,E 587311.9605,EL135.6908,--ZP
G0,04/18/2022 11:41:55,Base ID read at rover: 0010
G1,BP0010,PN348,DX-2834.209,DY-5451.655,DZ5230.775
G2,VX0.01400371,VY0.00936100,VZ0.01287800
G3,XY0.00006413,XZ0.00008275,YZ0.00004945
--GT,PN348,SW2206,ST128515009,EW2206,ET128515009
--HSIG:0.012, VSI:0.017, STATUS:FIXED, SATS:13, PDOP:1.526,
HDOP:0.827, VDOP:1.283
GPS,PN349,LA41.324909739367,LN22.022869932186,EL181.209374,--
--GS,PN349,N 4600876.9779,E 587317.7907,EL135.5635,--
G0,04/18/2022 11:42:13,Base ID read at rover: 0010
G1,BP0010,PN349,DX-2841.488,DY-5448.206,DZ5236.737
G2,VX0.01411333,VY0.00939894,VZ0.01291561
G3,XY0.00006585,XZ0.00008149,YZ0.00005061
--GT,PN349,SW2206,ST128533008,EW2206,ET128533008
--HSIG:0.013, VSI:0.017, STATUS:FIXED, SATS:12, PDOP:1.583,
HDOP:0.907, VDOP:1.298
GPS,PN350,LA41.324840519542,LN22.022939583645,EL180.574273,--ZP
--GS,PN350,N 4600855.8194,E 587334.1906,EL134.9283,--ZP
G0,04/18/2022 11:42:57,Base ID read at rover: 0010
G1,BP0010,PN350,DX-2834.858,DY-5428.106,DZ5220.332
G2,VX0.01391317,VY0.00945364,VZ0.01293453
G3,XY0.00006538,XZ0.00008341,YZ0.00005146
--GT,PN350,SW2206,ST128577008,EW2206,ET128577008
--HSIG:0.012, VSI:0.017, STATUS:FIXED, SATS:13, PDOP:1.531,
HDOP:0.828, VDOP:1.288
GPS,PN351,LA41.324847109151,LN22.022945240391,EL180.721138,--ZP
--GS,PN351,N 4600857.8680,E 587335.4770,EL135.0752,--ZP
G0,04/18/2022 11:43:03,Base ID read at rover: 0010
G1,BP0010,PN351,DX-2836.498,DY-5427.355,DZ5221.951
G2,VX0.01390287,VY0.00945528,VZ0.01293388
G3,XY0.00006543,XZ0.00008325,YZ0.00005163
--GT,PN351,SW2206,ST128583008,EW2206,ET128583008
--HSIG:0.012, VSI:0.017, STATUS:FIXED, SATS:13, PDOP:1.531,
HDOP:0.828, VDOP:1.288
GPS,PN352,LA41.324861764218,LN22.022957005000,EL181.023298,--
--GS,PN352,N 4600862.4220,E 587338.1488,EL135.3773,--
G0,04/18/2022 11:43:17,Base ID read at rover: 0010
G1,BP0010,PN352,DX-2840.091,DY-5425.868,DZ5225.536
G2,VX0.01433770,VY0.00945087,VZ0.01299384
G3,XY0.00006560,XZ0.00008605,YZ0.00005191
--GT,PN352,SW2206,ST128597008,EW2206,ET128597008
--HSIG:0.013, VSI:0.017, STATUS:FIXED, SATS:12, PDOP:1.578,
HDOP:0.869, VDOP:1.316
GPS,PN353,LA41.324865298568,LN22.022970343091,EL179.729454,--
--GS,PN353,N 4600863.5496,E 587341.2267,EL134.0834,--
G0,04/18/2022 11:43:25,Base ID read at rover: 0010
G1,BP0010,PN353,DX-2842.819,DY-5423.638,DZ5225.494
G2,VX0.01382506,VY0.00944785,VZ0.01298160
G3,XY0.00006520,XZ0.00008403,YZ0.00005192
--GT,PN353,SW2206,ST128605009,EW2206,ET128605009
--HSIG:0.012, VSI:0.017, STATUS:FIXED, SATS:13, PDOP:1.533,
HDOP:0.828, VDOP:1.290
GPS,PN354,LA41.324877277842,LN22.022986487070,EL180.322947,--
--GS,PN354,N 4600867.2904,E 587344.9234,EL134.6769,--
G0,04/18/2022 11:43:41,Base ID read at rover: 0010
G1,BP0010,PN354,DX-2846.084,DY-5420.923,DZ5228.653
G2,VX0.01384927,VY0.00945075,VZ0.01301928
G3,XY0.00006519,XZ0.00008480,YZ0.00005212
--GT,PN354,SW2206,ST128621009,EW2206,ET128621009
--HSIG:0.012, VSI:0.017, STATUS:FIXED, SATS:13, PDOP:1.534,
HDOP:0.828, VDOP:1.292
GPS,PN355,LA41.324853722881,LN22.023064845589,EL180.937643,--
--GS,PN355,N 4600860.2435,E 587363.1709,EL135.2914,--
G0,04/18/2022 11:44:06,Base ID read at rover: 0010
G1,BP0010,PN355,DX-2848.005,DY-5402.107,DZ5223.622
G2,VX0.01504795,VY0.00910762,VZ0.01309688
G3,XY0.00006216,XZ0.00009111,YZ0.00005047
--GT,PN355,SW2206,ST128646008,EW2206,ET128646008
--HSIG:0.013, VSI:0.018, STATUS:FIXED, SATS:11, PDOP:1.710,
HDOP:1.024, VDOP:1.369
GPS,PN356,LA41.324836926446,LN22.023061418839,EL179.795246,--
--GS,PN356,N 4600855.0524,E 587362.4394,EL134.1491,--
G0,04/18/2022 11:44:14,Base ID read at rover: 0010
G1,BP0010,PN356,DX-2845.314,DY-5401.875,DZ5218.986
G2,VX0.01374295,VY0.00914494,VZ0.01303603
G3,XY0.00006086,XZ0.00008406,YZ0.00005046
--GT,PN356,SW2206,ST128654009,EW2206,ET128654009
--HSIG:0.012, VSI:0.017, STATUS:FIXED, SATS:13, PDOP:1.581,
HDOP:0.870, VDOP:1.320
GPS,PN357,LA41.324828037664,LN22.023059979089,EL180.183895,--
--GS,PN357,N 4600852.3062,E 587362.1389,EL134.5377,--
G0,04/18/2022 11:44:22,Base ID read at rover: 0010

G1,BP0010,PN357,DX-2843.233,DY-5401.392,DZ5217.191
G2,VX0.01380625,VY0.00913722,VZ0.01287997
G3,XY0.00006229,XZ0.00008478,YZ0.00004831
--GT,PN357,SW2206,ST128662009,EW2206,ET128662009
--HSIG:0.012, VSI:0.017, STATUS:FIXED, SATS:13, PDOP:1.636,
HDOP:0.849, VDOP:1.398
GPS,PN358,LA41.324812780625,LN22.023053620881,EL180.238930,--ZP
--GS,PN358,N 4600847.5817,E 587360.7223,EL134.5928,--ZP
G0,04/18/2022 11:44:39,Base ID read at rover: 0010
G1,BP0010,PN358,DX-2839.748,DY-5401.571,DZ5213.705
G2,VX0.01378891,VY0.00918554,VZ0.01292899
G3,XY0.00006254,XZ0.00008510,YZ0.00004916
--GT,PN358,SW2206,ST128679009,EW2206,ET128679009
--HSIG:0.012, VSI:0.017, STATUS:FIXED, SATS:13, PDOP:1.538,
HDOP:0.829, VDOP:1.296
GPS,PN359,LA41.324806873426,LN22.023047184979,EL180.119272,--ZP
--GS,PN359,N 4600845.7414,E 587359.2528,EL134.4732,--ZP
G0,04/18/2022 11:44:44,Base ID read at rover: 0010
G1,BP0010,PN359,DX-2838.151,DY-5402.534,DZ5212.262
G2,VX0.01379874,VY0.00920607,VZ0.01295458
G3,XY0.00006274,XZ0.00008538,YZ0.00004947
--GT,PN359,SW2206,ST128684009,EW2206,ET128684009
--HSIG:0.012, VSI:0.017, STATUS:FIXED, SATS:13, PDOP:1.539,
HDOP:0.829, VDOP:1.296
GPS,PN360,LA41.324786099796,LN22.023111918751,EL179.654007,--ZP
--GS,PN360,N 4600839.5143,E 587374.3324,EL134.0078,--ZP
G0,04/18/2022 11:45:02,Base ID read at rover: 0010
G1,BP0010,PN360,DX-2840.165,DY-5387.162,DZ5207.157
G2,VX0.01367755,VY0.00927511,VZ0.01288305
G3,XY0.00006262,XZ0.00008441,YZ0.00004927
--GT,PN360,SW2206,ST128702009,EW2206,ET128702009
--HSIG:0.012, VSI:0.017, STATUS:FIXED, SATS:13, PDOP:1.540,
HDOP:0.829, VDOP:1.298
GPS,PN361,LA41.324792224460,LN22.023115659251,EL179.719338,--ZP
--GS,PN361,N 4600841.4142,E 587375.1765,EL134.0731,--ZP
G0,04/18/2022 11:45:07,Base ID read at rover: 0010
G1,BP0010,PN361,DX-2841.606,DY-5386.810,DZ5208.614
G2,VX0.01368926,VY0.00928496,VZ0.01290699
G3,XY0.00006275,XZ0.00008469,YZ0.00004957
--GT,PN361,SW2206,ST128707009,EW2206,ET128707009
--HSIG:0.012, VSI:0.017, STATUS:FIXED, SATS:13, PDOP:1.540,
HDOP:0.829, VDOP:1.298
GPS,PN362,LA41.324817777412,LN22.023122869069,EL179.499683,--
--GS,PN362,N 4600849.3173,E 587376.7520,EL133.8534,--
G0,04/18/2022 11:45:23,Base ID read at rover: 0010
G1,BP0010,PN362,DX-2847.232,DY-5387.286,DZ5214.369
G2,VX0.01480931,VY0.00913876,VZ0.01293854
G3,XY0.00006355,XZ0.00008958,YZ0.00004682
--GT,PN362,SW2206,ST128723008,EW2206,ET128723008
--HSIG:0.013, VSI:0.018, STATUS:FIXED, SATS:11, PDOP:1.716,
HDOP:1.023, VDOP:1.378
GPS,PN363,LA41.324824037270,LN22.023139544261,EL180.773182,--
--GS,PN363,N 4600851.2952,E 587380.5931,EL135.1269,--
G0,04/18/2022 11:45:32,Base ID read at rover: 0010
G1,BP0010,PN363,DX-2848.987,DY-5383.826,DZ5216.659
G2,VX0.01375409,VY0.00915939,VZ0.01291615
G3,XY0.00006165,XZ0.00008472,YZ0.00004734
--GT,PN363,SW2206,ST128732008,EW2206,ET128732008
--HSIG:0.012, VSI:0.017, STATUS:FIXED, SATS:13, PDOP:1.542,
HDOP:0.830, VDOP:1.300
GPS,PN364,LA41.324788977002,LN22.023222501046,EL180.666835,--
--GS,PN364,N 4600840.7120,E 587399.9493,EL135.0204,--
G0,04/18/2022 11:46:02,Base ID read at rover: 0010
G1,BP0010,PN364,DX-2849.626,DY-5363.342,DZ5208.493
G2,VX0.01365936,VY0.00917818,VZ0.01324684
G3,XY0.00006103,XZ0.00008637,YZ0.00004987
--GT,PN364,SW2206,ST128762008,EW2206,ET128762008
--HSIG:0.012, VSI:0.017, STATUS:FIXED, SATS:13, PDOP:1.664,
HDOP:0.975, VDOP:1.349
GPS,PN365,LA41.324778208057,LN22.023220598714,EL179.516123,--
--GS,PN365,N 4600837.3845,E 587399.5486,EL133.8697,--
G0,04/18/2022 11:46:10,Base ID read at rover: 0010
G1,BP0010,PN365,DX-2848.217,DY-5363.247,DZ5205.243
G2,VX0.01371221,VY0.00930463,VZ0.01317790
G3,XY0.00006251,XZ0.00008800,YZ0.00005179
--GT,PN365,SW2206,ST128770009,EW2206,ET128770009
--HSIG:0.012, VSI:0.017, STATUS:FIXED, SATS:13, PDOP:1.544,
HDOP:0.830, VDOP:1.302
GPS,PN366,LA41.324752066511,LN22.023211257836,EL179.125114,--ZP
--GS,PN366,N 4600829.2939,E 587397.4814,EL133.4787,--ZP
G0,04/18/2022 11:46:29,Base ID read at rover: 0010
G1,BP0010,PN366,DX-2842.717,DY-5363.356,DZ5198.947
G2,VX0.01449943,VY0.00943812,VZ0.01405396
G3,XY0.00005949,XZ0.00010625,YZ0.00005106
--GT,PN366,SW2206,ST128789008,EW2206,ET128789008
--HSIG:0.013, VSI:0.018, STATUS:FIXED, SATS:10, PDOP:1.900,
HDOP:1.092, VDOP:1.555
GPS,PN367,LA41.324745565628,LN22.023207060655,EL179.088230,--ZP
--GS,PN367,N 4600827.2767,E 587396.5330,EL133.4419,--ZP
G0,04/18/2022 11:46:35,Base ID read at rover: 0010
G1,BP0010,PN367,DX-2841.145,DY-5363.769,DZ5197.422
G2,VX0.01597839,VY0.00942202,VZ0.01414934
G3,XY0.00006063,XZ0.00010143,YZ0.00005141

--GT,PN367,SW2206,ST128795009,EW2206,ET128795009
--HSIG:0.014, VSIG:0.019, STATUS:FIXED, SATS:11, PDOP:1.633,
HDOP:0.910, VDOP:1.356
GPS,PN368,LA41.324751781040,LN22.023184212593,EL179.637718,--ZP
--GS,PN368,N 4600829.1300,E 587391.2147,EL133.9914,--ZP
G0,04/18/2022 11:46:48,Base ID read at rover: 0010
G1,BP0010,PN368,DX-2839.955,DY-5369.000,DZ5199.221
G2,VX0.01556604,VY0.01024673,VZ0.01352967
G3,XY0.00008278,XZ0.00010470,YZ0.00006047
--GT,PN368,SW2206,ST128808009,EW2206,ET128808009
--HSIG:0.013, VSIG:0.019, STATUS:FIXED, SATS:11, PDOP:1.589,
HDOP:0.871, VDOP:1.329
GPS,PN369,LA41.324757651106,LN22.023185685514,EL179.487780,--ZP
--GS,PN369,N 4600830.9450,E 587391.5341,EL133.8414,--ZP
G0,04/18/2022 11:46:53,Base ID read at rover: 0010
G1,BP0010,PN369,DX-2841.301,DY-5369.177,DZ5200.477
G2,VX0.01375457,VY0.00936965,VZ0.01327274
G3,XY0.00006208,XZ0.00008874,YZ0.00005230
--GT,PN369,SW2206,ST128813009,EW2206,ET128813009
--HSIG:0.012, VSIG:0.017, STATUS:FIXED, SATS:13, PDOP:1.547,
HDOP:0.831, VDOP:1.305
GPS,PN370,LA41.324747045515,LN22.023177423208,EL179.639762,--ZP
--GS,PN370,N 4600827.6501,E 587389.6589,EL133.9935,--ZP
G0,04/18/2022 11:46:59,Base ID read at rover: 0010
G1,BP0010,PN370,DX-2838.465,DY-5370.095,DZ5198.129
G2,VX0.01364140,VY0.00937382,VZ0.01327353
G3,XY0.00006234,XZ0.00008911,YZ0.00005245
--GT,PN370,SW2206,ST128819009,EW2206,ET128819009
--HSIG:0.012, VSIG:0.017, STATUS:FIXED, SATS:13, PDOP:1.547,
HDOP:0.831, VDOP:1.305
GPS,PN371,LA41.324716296064,LN22.023214443718,EL179.638264,--ZP
--GS,PN371,N 4600818.2680,E 587398.3533,EL133.9919,--ZP
G0,04/18/2022 11:47:12,Base ID read at rover: 0010
G1,BP0010,PN371,DX-2835.854,DY-5359.780,DZ5191.028
G2,VX0.01368837,VY0.00937727,VZ0.01324480
G3,XY0.00006266,XZ0.00008947,YZ0.00005209
--GT,PN371,SW2206,ST128832009,EW2206,ET128832009
--HSIG:0.012, VSIG:0.017, STATUS:FIXED, SATS:13, PDOP:1.548,
HDOP:0.831, VDOP:1.306
GPS,PN372,LA41.324719658951,LN22.023220906425,EL179.612878,--ZP
--GS,PN372,N 4600819.3235,E 587399.8384,EL133.9665,--ZP
G0,04/18/2022 11:47:17,Base ID read at rover: 0010
G1,BP0010,PN372,DX-2837.072,DY-5358.657,DZ5191.788
G2,VX0.01370381,VY0.00938217,VZ0.01326329
G3,XY0.00006285,XZ0.00008980,YZ0.00005228
--GT,PN372,SW2206,ST128837009,EW2206,ET128837009
--HSIG:0.012, VSIG:0.017, STATUS:FIXED, SATS:13, PDOP:1.548,
HDOP:0.831, VDOP:1.307
GPS,PN373,LA41.324726926423,LN22.023268439810,EL177.704095,--ZP
--GS,PN373,N 4600821.6988,E 587410.8272,EL132.0576,--ZP
G0,04/18/2022 11:47:48,Base ID read at rover: 0010
G1,BP0010,PN373,DX-2843.909,DY-5349.540,DZ5192.200
G2,VX0.01395847,VY0.00934106,VZ0.01331458
G3,XY0.00006413,XZ0.00009245,YZ0.00005271
--GT,PN373,SW2206,ST128868008,EW2206,ET128868008
--HSIG:0.012, VSIG:0.018, STATUS:FIXED, SATS:12, PDOP:1.570,
HDOP:0.853, VDOP:1.318
GPS,PN374,LA41.324732188183,LN22.023271605003,EL177.640948,--ZP
--GS,PN374,N 4600823.3308,E 587411.5411,EL131.9945,--ZP
G0,04/18/2022 11:47:53,Base ID read at rover: 0010
G1,BP0010,PN374,DX-2845.226,DY-5349.282,DZ5193.373
G2,VX0.01379110,VY0.00934483,VZ0.01332879
G3,XY0.00006352,XZ0.00009180,YZ0.00005277
--GT,PN374,SW2206,ST128873008,EW2206,ET128873008
--HSIG:0.012, VSIG:0.017, STATUS:FIXED, SATS:13, PDOP:1.550,
HDOP:0.831, VDOP:1.308
GPS,PN375,LA41.324723455854,LN22.023317645767,EL176.037548,--ZP
--GS,PN375,N 4600820.7661,E 587422.2438,EL130.3910,--ZP
G0,04/18/2022 11:48:05,Base ID read at rover: 0010
G1,BP0010,PN375,DX-2848.687,DY-5339.170,DZ5190.293
G2,VX0.01371386,VY0.00929838,VZ0.01333993
G3,XY0.00006243,XZ0.00009086,YZ0.00005256
--GT,PN375,SW2206,ST128885009,EW2206,ET128885009
--HSIG:0.012, VSIG:0.017, STATUS:FIXED, SATS:13, PDOP:1.551,
HDOP:0.831, VDOP:1.309
GPS,PN376,LA41.324715777079,LN22.023319271339,EL176.165211,--ZP
--GS,PN376,N 4600818.4018,E 587422.6492,EL130.5186,--ZP
G0,04/18/2022 11:48:11,Base ID read at rover: 0010
G1,BP0010,PN376,DX-2847.283,DY-5338.196,DZ5188.605
G2,VX0.01372931,VY0.00931293,VZ0.01335432
G3,XY0.00006269,XZ0.00009116,YZ0.00005279
--GT,PN376,SW2206,ST128891008,EW2206,ET128891008
--HSIG:0.012, VSIG:0.017, STATUS:FIXED, SATS:13, PDOP:1.551,
HDOP:0.831, VDOP:1.310
GPS,PN377,LA41.324737604301,LN22.023308033708,EL177.864933,--ZP
--GS,PN377,N 4600825.1038,E 587419.9633,EL132.2184,--ZP
G0,04/18/2022 11:48:30,Base ID read at rover: 0010
G1,BP0010,PN377,DX-2849.266,DY-5341.809,DZ5194.772
G2,VX0.01369351,VY0.00924215,VZ0.01337854
G3,XY0.00006217,XZ0.00009149,YZ0.00005221
--GT,PN377,SW2206,ST128910009,EW2206,ET128910009
--HSIG:0.012, VSIG:0.017, STATUS:FIXED, SATS:13, PDOP:1.552,
HDOP:0.832, VDOP:1.311

GPS,PN378,LA41.324753485968,LN22.023310686682,EL180.282816,--ZP
--GS,PN378,N 4600830.0106,E 587420.5189,EL134.6362,--ZP
G0,04/18/2022 11:48:44,Base ID read at rover: 0010
G1,BP0010,PN378,DX-2850.832,DY-5341.779,DZ5200.043
G2,VX0.01371932,VY0.00927375,VZ0.01341077
G3,XY0.00006267,XZ0.00009229,YZ0.00005273
--GT,PN378,SW2206,ST128924009,EW2206,ET128924009
--HSIG:0.012, VSIG:0.017, STATUS:FIXED, SATS:13, PDOP:1.553,
HDOP:0.832, VDOP:1.311
GPS,PN379,LA41.324772868367,LN22.023261778231,EL180.254301,--ZP
--GS,PN379,N 4600835.8527,E 587409.1119,EL134.6078,--ZP
G0,04/18/2022 11:49:00,Base ID read at rover: 0010
G1,BP0010,PN379,DX-2850.274,DY-5353.783,DZ5204.499
G2,VX0.01416767,VY0.00986533,VZ0.01333760
G3,XY0.00007178,XZ0.00009712,YZ0.00005537
--GT,PN379,SW2206,ST128940009,EW2206,ET128940009
--HSIG:0.012, VSIG:0.018, STATUS:FIXED, SATS:12, PDOP:1.877,
HDOP:1.003, VDOP:1.587
GPS,PN380,LA41.324769818855,LN22.023241526219,EL179.030289,--ZP
--GS,PN380,N 4600834.8552,E 587404.4299,EL133.3838,--ZP
G0,04/18/2022 11:49:09,Base ID read at rover: 0010
G1,BP0010,PN380,DX-2848.783,DY-5358.243,DZ5202.984
G2,VX0.01388182,VY0.00936069,VZ0.01342587
G3,XY0.00006211,XZ0.00009380,YZ0.00005197
--GT,PN380,SW2206,ST128949009,EW2206,ET128949009
--HSIG:0.012, VSIG:0.018, STATUS:FIXED, SATS:13, PDOP:1.877,
HDOP:1.003, VDOP:1.586
GPS,PN381,LA41.325033879697,LN22.022528865308,EL182.052011,--ZP
--GS,PN381,N 4600914.3190,E 587238.2860,EL136.4067,--ZP
G0,04/18/2022 11:52:29,Base ID read at rover: 0010
G1,BP0010,PN381,DX-2834.784,DY-5530.775,DZ5265.960
G2,VX0.01374513,VY0.00933000,VZ0.01370522
G3,XY0.00006427,XZ0.00009893,YZ0.00005517
--GT,PN381,SW2206,ST129149009,EW2206,ET129149009
--HSIG:0.012, VSIG:0.018, STATUS:FIXED, SATS:13, PDOP:2.409,
HDOP:1.324, VDOP:2.013
GPS,PN382,LA41.325011814956,LN22.022506709770,EL182.100271,--ZP
--GS,PN382,N 4600907.4502,E 587233.2337,EL136.4550,--ZP
G0,04/18/2022 11:52:52,Base ID read at rover: 0010
G1,BP0010,PN382,DX-2828.639,DY-5533.827,DZ5260.897
G2,VX0.01379543,VY0.00926410,VZ0.01381465
G3,XY0.00006442,XZ0.00010090,YZ0.00005489
--GT,PN382,SW2206,ST129172009,EW2206,ET129172009
--HSIG:0.012, VSIG:0.018, STATUS:FIXED, SATS:13, PDOP:1.562,
HDOP:0.835, VDOP:1.320
GPS,PN383,LA41.325005886772,LN22.022500558190,EL182.087284,--ZP
--GS,PN383,N 4600905.6042,E 587231.8302,EL136.4420,--ZP
G0,04/18/2022 11:52:57,Base ID read at rover: 0010
G1,BP0010,PN383,DX-2826.988,DY-5534.697,DZ5259.519
G2,VX0.01380536,VY0.00928012,VZ0.01383741
G3,XY0.00006457,XZ0.00010132,YZ0.00005519
--GT,PN383,SW2206,ST129177009,EW2206,ET129177009
--HSIG:0.012, VSIG:0.018, STATUS:FIXED, SATS:13, PDOP:1.562,
HDOP:0.835, VDOP:1.320
GPS,PN384,LA41.325036367501,LN22.022424971582,EL181.843810,--ZP
--GS,PN384,N 4600914.7957,E 587214.1996,EL136.1987,--ZP
G0,04/18/2022 11:53:16,Base ID read at rover: 0010
G1,BP0010,PN384,DX-2826.364,DY-5553.344,DZ5266.396
G2,VX0.01377461,VY0.00924418,VZ0.01382218
G3,XY0.00006288,XZ0.00010119,YZ0.00005515
--GT,PN384,SW2206,ST129196010,EW2206,ET129196010
--HSIG:0.012, VSIG:0.018, STATUS:FIXED, SATS:13, PDOP:1.562,
HDOP:0.835, VDOP:1.321
GPS,PN385,LA41.325043188820,LN22.022428743699,EL181.795125,--ZP
--GS,PN385,N 4600916.9106,E 587215.0483,EL136.1500,--ZP
G0,04/18/2022 11:53:21,Base ID read at rover: 0010
G1,BP0010,PN385,DX-2828.020,DY-5553.071,DZ5267.939
G2,VX0.01379219,VY0.00926382,VZ0.01385297
G3,XY0.00006316,XZ0.00010173,YZ0.00005548
--GT,PN385,SW2206,ST129201009,EW2206,ET129201009
--HSIG:0.012, VSIG:0.018, STATUS:FIXED, SATS:13, PDOP:1.563,
HDOP:0.835, VDOP:1.321
GPS,PN386,LA41.325070325598,LN22.022447029343,EL181.563569,--ZP
--GS,PN386,N 4600925.3332,E 587219.1849,EL135.9184,--ZP
G0,04/18/2022 11:53:36,Base ID read at rover: 0010
G1,BP0010,PN386,DX-2834.918,DY-5551.292,DZ5274.051
G2,VX0.01453319,VY0.00929365,VZ0.01399925
G3,XY0.00006513,XZ0.00010784,YZ0.00005663
--GT,PN386,SW2206,ST129216008,EW2206,ET129216008
--HSIG:0.012, VSIG:0.018, STATUS:FIXED, SATS:11, PDOP:1.748,
HDOP:1.014, VDOP:1.423
GPS,PN387,LA41.325071364320,LN22.022352340230,EL181.639387,--ZP
--GS,PN387,N 4600925.3887,E 587197.2370,EL135.9944,--ZP
G0,04/18/2022 11:54:15,Base ID read at rover: 0010
G1,BP0010,PN387,DX-2826.827,DY-5571.692,DZ5274.341
G2,VX0.01383110,VY0.00930409,VZ0.01403999
G3,XY0.00006472,XZ0.00010558,YZ0.00005715
--GT,PN387,SW2206,ST129255009,EW2206,ET129255009
--HSIG:0.012, VSIG:0.018, STATUS:FIXED, SATS:13, PDOP:1.564,
HDOP:0.836, VDOP:1.322
GPS,PN388,LA41.325077439669,LN22.022357152633,EL181.596185,--ZP
--GS,PN388,N 4600927.2764,E 587198.3297,EL135.9511,--ZP
G0,04/18/2022 11:54:20,Base ID read at rover: 0010

G1, BP0010, PN388, DX-2828.428, DY-5571.137, DZ5275.715
G2, VX0.01384298, VY0.00932068, VZ0.01405918
G3, XY0.00006491, XZ0.00010593, YZ0.00005739
--GT, PN388, SW2206, ST129260009, EW2206, ET129260009
--HSIG:0.012, VSIG:0.018, STATUS:FIXED, SATS:13, PDOP:1.564,
HDOP:0.836, VDOP:1.322
GPS, PN389, LA41.325082056871, LN22.022325632729, EL181.652066, --ZP
--GS, PN389, N 4600928.6126, E 587191.0078, EL136.0071, --ZP
G0, 04/18/2022 11:54:32, Base ID read at rover: 0010
G1, BP0010, PN389, DX-2826.523, DY-5578.248, DZ5276.818
G2, VX0.01372155, VY0.00935742, VZ0.01408433
G3, XY0.00006493, XZ0.00010515, YZ0.00005781
--GT, PN389, SW2206, ST129272009, EW2206, ET129272009
--HSIG:0.012, VSIG:0.018, STATUS:FIXED, SATS:13, PDOP:1.564,
HDOP:0.836, VDOP:1.322
GPS, PN390, LA41.325089786671, LN22.022328420130, EL181.478983, --ZP
--GS, PN390, N 4600931.0049, E 587191.6250, EL135.8340, --ZP
G0, 04/18/2022 11:54:37, Base ID read at rover: 0010
G1, BP0010, PN390, DX-2828.352, DY-5578.291, DZ5278.488
G2, VX0.01408306, VY0.00936886, VZ0.01413050
G3, XY0.00006541, XZ0.00010722, YZ0.00005806
--GT, PN390, SW2206, ST129277009, EW2206, ET129277009
--HSIG:0.012, VSIG:0.018, STATUS:FIXED, SATS:12, PDOP:1.564,
HDOP:0.836, VDOP:1.322
GPS, PN391, LA41.325118684274, LN22.022342776772, EL181.018888, --
--GS, PN391, N 4600939.9597, E 587194.8445, EL135.3738, --
G0, 04/18/2022 11:54:55, Base ID read at rover: 0010
G1, BP0010, PN391, DX-2835.401, DY-5577.555, DZ5284.856
G2, VX0.01449681, VY0.00941952, VZ0.01414743
G3, XY0.00006824, XZ0.00010959, YZ0.00005987
--GT, PN391, SW2206, ST129295008, EW2206, ET129295008
--HSIG:0.012, VSIG:0.019, STATUS:FIXED, SATS:11, PDOP:1.751,
HDOP:1.013, VDOP:1.429
GPS, PN392, LA41.325134473836, LN22.022287405435, EL181.199047, --
--GS, PN392, N 4600944.6758, E 587181.9535, EL135.5541, --
G0, 04/18/2022 11:55:13, Base ID read at rover: 0010
G1, BP0010, PN392, DX-2833.455, DY-5590.612, DZ5288.621
G2, VX0.01366670, VY0.00919779, VZ0.01413279
G3, XY0.00006286, XZ0.00010473, YZ0.00005813
--GT, PN392, SW2206, ST129313009, EW2206, ET129313009
--HSIG:0.012, VSIG:0.018, STATUS:FIXED, SATS:13, PDOP:1.564,
HDOP:0.836, VDOP:1.322
GPS, PN393, LA41.325138420233, LN22.022248826461, EL181.340634, --OG
--GS, PN393, N 4600945.7853, E 587172.9982, EL135.6957, --OG
G0, 04/18/2022 11:55:43, Base ID read at rover: 0010
G1, BP0010, PN393, DX-2830.750, DY-5599.164, DZ5289.626
G2, VX0.01474945, VY0.01029366, VZ0.01462465
G3, XY0.00008399, XZ0.00012018, YZ0.00006685
--GT, PN393, SW2206, ST129343008, EW2206, ET129343008
--HSIG:0.013, VSIG:0.019, STATUS:FIXED, SATS:11, PDOP:1.849,
HDOP:1.005, VDOP:1.552
GPS, PN394, LA41.325114768277, LN22.022236398837, EL181.677313, --OG
--GS, PN394, N 4600938.4541, E 587170.2062, EL136.0325, --OG
G0, 04/18/2022 11:56:10, Base ID read at rover: 0010
G1, BP0010, PN394, DX-2824.949, DY-5599.923, DZ5284.388
G2, VX0.03563492, VY0.01765574, VZ0.02520227
G3, XY0.00013747, XZ0.00015872, YZ0.00009643
--GT, PN394, SW2206, ST129370008, EW2206, ET129370008
--HSIG:0.033, VSIG:0.034, STATUS:FIXED, SATS:9, PDOP:2.857,
HDOP:1.585, VDOP:2.377
GPS, PN395, LA41.325109391080, LN22.022231990263, EL181.712743, --OG
--GS, PN395, N 4600936.7830, E 587169.2046, EL136.0679, --OG
G0, 04/18/2022 11:56:20, Base ID read at rover: 0010
G1, BP0010, PN395, DX-2823.522, DY-5600.447, DZ5283.170
G2, VX0.01597945, VY0.00964073, VZ0.01547948
G3, XY0.00007408, XZ0.00014978, YZ0.00006450
--GT, PN395, SW2206, ST129380008, EW2206, ET129380008
--HSIG:0.013, VSIG:0.021, STATUS:FIXED, SATS:11, PDOP:1.661,
HDOP:0.935, VDOP:1.373
GPS, PN396, LA41.325107449009, LN22.022216470092, EL181.881176, --OG
--GS, PN396, N 4600936.1405, E 587165.6150, EL136.2364, --OG
G0, 04/18/2022 11:56:29, Base ID read at rover: 0010
G1, BP0010, PN396, DX-2821.687, DY-5603.585, DZ5282.833
G2, VX0.01810834, VY0.01560579, VZ0.01622137
G3, XY0.00016667, XZ0.00017813, YZ0.00012859
--GT, PN396, SW2206, ST129389007, EW2206, ET129389007
--HSIG:0.016, VSIG:0.024, STATUS:FIXED, SATS:7, PDOP:2.095,
HDOP:1.204, VDOP:1.714
GPS, PN397, LA41.325109287431, LN22.022198331241, EL181.951838, --OG
--GS, PN397, N 4600936.6569, E 587161.4045, EL136.3071, --OG
G0, 04/18/2022 11:56:38, Base ID read at rover: 0010
G1, BP0010, PN397, DX-2820.409, DY-5607.603, DZ5283.305
G2, VX0.02120309, VY0.01525741, VZ0.01774737
G3, XY0.00018942, XZ0.00022209, YZ0.00013720
--GT, PN397, SW2206, ST129398008, EW2206, ET129398008
--HSIG:0.017, VSIG:0.027, STATUS:FIXED, SATS:8, PDOP:2.853,
HDOP:1.583, VDOP:2.373
GPS, PN398, LA41.325099288910, LN22.022277448285, EL181.593726, --ZP
--GS, PN398, N 4600933.7937, E 587179.7770, EL135.9488, --ZP
G0, 04/18/2022 11:57:06, Base ID read at rover: 0010
G1, BP0010, PN398, DX-2825.642, DY-5589.939, DZ5280.759
G2, VX0.01461339, VY0.00983923, VZ0.01597652
G3, XY0.00007274, XZ0.00013464, YZ0.00007371
--GT, PN398, SW2206, ST129426009, EW2206, ET129426009
--HSIG:0.013, VSIG:0.020, STATUS:FIXED, SATS:13, PDOP:1.603,
HDOP:0.876, VDOP:1.342
GPS, PN399, LA41.325093440512, LN22.022275332503, EL181.633571, --ZP
--GS, PN399, N 4600931.9836, E 587179.3084, EL135.9887, --ZP
G0, 04/18/2022 11:57:11, Base ID read at rover: 0010
G1, BP0010, PN399, DX-2824.321, DY-5589.933, DZ5279.435
G2, VX0.01445645, VY0.00983060, VZ0.01592889
G3, XY0.00007260, XZ0.00013376, YZ0.00007349
--GT, PN399, SW2206, ST129431009, EW2206, ET129431009
--HSIG:0.013, VSIG:0.020, STATUS:FIXED, SATS:13, PDOP:1.565,
HDOP:0.837, VDOP:1.322
GPS, PN400, LA41.325095010075, LN22.022214855819, EL181.891513, --ZP
--GS, PN400, N 4600932.2987, E 587165.2872, EL136.2467, --ZP
G0, 04/18/2022 11:57:25, Base ID read at rover: 0010
G1, BP0010, PN400, DX-2819.180, DY-5602.974, DZ5279.968
G2, VX0.01511581, VY0.01070690, VZ0.01600432
G3, XY0.00008899, XZ0.00013983, YZ0.00007966
--GT, PN400, SW2206, ST129445009, EW2206, ET129445009
--HSIG:0.013, VSIG:0.021, STATUS:FIXED, SATS:12, PDOP:1.839,
HDOP:1.005, VDOP:1.540
GPS, PN401, LA41.325102054471, LN22.022214106321, EL181.773164, --ZP
--GS, PN401, N 4600934.4697, E 587165.0873, EL136.1284, --ZP
G0, 04/18/2022 11:57:30, Base ID read at rover: 0010
G1, BP0010, PN401, DX-2820.533, DY-5603.709, DZ5281.516
G2, VX0.01576119, VY0.01000541, VZ0.01605422
G3, XY0.00007680, XZ0.00014327, YZ0.00007491
--GT, PN401, SW2206, ST129450008, EW2206, ET129450008
--HSIG:0.013, VSIG:0.021, STATUS:FIXED, SATS:11, PDOP:1.758,
HDOP:1.009, VDOP:1.439
GPS, PN402, LA41.325104263571, LN22.022125183029, EL182.250138, --ZP
--GS, PN402, N 4600934.9025, E 587144.4713, EL136.6055, --ZP
G0, 04/18/2022 11:57:50, Base ID read at rover: 0010
G1, BP0010, PN402, DX-2812.887, DY-5622.848, DZ5282.343
G2, VX0.01443151, VY0.00977216, VZ0.01596457
G3, XY0.00007233, XZ0.00013437, YZ0.00007344
--GT, PN402, SW2206, ST129470009, EW2206, ET129470009
--HSIG:0.013, VSIG:0.020, STATUS:FIXED, SATS:13, PDOP:1.565,
HDOP:0.838, VDOP:1.322
GPS, PN403, LA41.325097150178, LN22.022121390420, EL182.336289, --ZP
--GS, PN403, N 4600932.6975, E 587143.6188, EL136.6917, --ZP
G0, 04/18/2022 11:57:56, Base ID read at rover: 0010
G1, BP0010, PN403, DX-2811.148, DY-5623.093, DZ5280.757
G2, VX0.01444384, VY0.00978346, VZ0.01596781
G3, XY0.00007256, XZ0.00013437, YZ0.00007352
--GT, PN403, SW2206, ST129476009, EW2206, ET129476009
--HSIG:0.013, VSIG:0.020, STATUS:FIXED, SATS:13, PDOP:1.565,
HDOP:0.838, VDOP:1.322
GPS, PN404, LA41.325068902324, LN22.022105033349, EL182.919937, --BB
--GS, PN404, N 4600923.9376, E 587139.9333, EL137.2754, --BB
G0, 04/18/2022 11:58:13, Base ID read at rover: 0010
G1, BP0010, PN404, DX-2803.963, DY-5624.274, DZ5274.622
G2, VX0.01455032, VY0.00974836, VZ0.01617961
G3, XY0.00007148, XZ0.00012988, YZ0.00007344
--GT, PN404, SW2206, ST129493009, EW2206, ET129493009
--HSIG:0.013, VSIG:0.020, STATUS:FIXED, SATS:12, PDOP:1.565,
HDOP:0.838, VDOP:1.322
GPS, PN405, LA41.325106737526, LN22.022076500771, EL182.389263, --ZP
--GS, PN405, N 4600935.5296, E 587133.1801, EL136.7448, --ZP
G0, 04/18/2022 11:58:36, Base ID read at rover: 0010
G1, BP0010, PN405, DX-2809.026, DY-5633.458, DZ5283.006
G2, VX0.01420108, VY0.00979740, VZ0.01604783
G3, XY0.00006991, XZ0.00013390, YZ0.00007231
--GT, PN405, SW2206, ST129516009, EW2206, ET129516009
--HSIG:0.013, VSIG:0.020, STATUS:FIXED, SATS:13, PDOP:1.637,
HDOP:0.897, VDOP:1.369
GPS, PN406, LA41.325100281533, LN22.022071175993, EL182.486693, --ZP
--GS, PN406, N 4600933.5231, E 587131.9701, EL136.8422, --ZP
G0, 04/18/2022 11:58:42, Base ID read at rover: 0010
G1, BP0010, PN406, DX-2807.271, DY-5634.079, DZ5281.580
G2, VX0.01419180, VY0.00980240, VZ0.01596562
G3, XY0.00007051, XZ0.00013205, YZ0.00007270
--GT, PN406, SW2206, ST129522009, EW2206, ET129522009
--HSIG:0.013, VSIG:0.020, STATUS:FIXED, SATS:12, PDOP:1.637,
HDOP:0.897, VDOP:1.369
GPS, PN407, LA41.325111635479, LN22.022055399569, EL182.373987, --ZP
--GS, PN407, N 4600936.9816, E 587128.2717, EL136.7295, --ZP
G0, 04/18/2022 11:58:50, Base ID read at rover: 0010
G1, BP0010, PN407, DX-2808.130, DY-5638.371, DZ5284.127
G2, VX0.01413291, VY0.00970528, VZ0.01597912
G3, XY0.00006856, XZ0.00013185, YZ0.00007191
--GT, PN407, SW2206, ST129530009, EW2206, ET129530009
--HSIG:0.013, VSIG:0.020, STATUS:FIXED, SATS:13, PDOP:1.565,
HDOP:0.839, VDOP:1.321
GPS, PN408, LA41.325102858145, LN22.022048164704, EL182.583105, --ZP
--GS, PN408, N 4600934.2537, E 587126.6277, EL136.9387, --ZP
G0, 04/18/2022 11:58:56, Base ID read at rover: 0010
G1, BP0010, PN408, DX-2805.691, DY-5639.193, DZ5282.239
G2, VX0.01385878, VY0.00969644, VZ0.01589417
G3, XY0.00006772, XZ0.00012827, YZ0.00007161
--GT, PN408, SW2206, ST129536009, EW2206, ET129536009
--HSIG:0.013, VSIG:0.020, STATUS:FIXED, SATS:14, PDOP:1.503,
HDOP:0.815, VDOP:1.262

GPS,PN409,LA41.325117168958,LN22.021980000917,EL182.941939,--ZP
--GS,PN409,N 4600938.4779,E 587110.7776,EL137.2976,--ZP
G0,04/18/2022 11:59:11,Base ID read at rover: 0010
G1,BP0010,PN409,DX-2802.229,DY-5654.835,DZ5285.781
G2,VX0.01371596,VY0.00969068,VZ0.01587492
G3,XY0.00006738,XZ0.00012653,YZ0.00007159
--GT,PN409,SW2206,ST129551009,EW2206,ET129551009
--HSIG:0.012, VSIG:0.019, STATUS:FIXED, SATS:14, PDOP:1.502,
HDOP:0.815, VDOP:1.262
GPS,PN410,LA41.325125553448,LN22.021980420439,EL183.025283,--ZP
--GS,PN410,N 4600941.0656,E 587110.8437,EL137.3810,--ZP
G0,04/18/2022 11:59:16,Base ID read at rover: 0010
G1,BP0010,PN410,DX-2803.798,DY-5655.365,DZ5287.773
G2,VX0.01372379,VY0.00970008,VZ0.01587147
G3,XY0.00006756,XZ0.00012657,YZ0.00007162
--GT,PN410,SW2206,ST129556010,EW2206,ET129556010
--HSIG:0.012, VSIG:0.019, STATUS:FIXED, SATS:14, PDOP:1.502,
HDOP:0.816, VDOP:1.261
GPS,PN411,LA41.325127099522,LN22.021937272028,EL183.059122,--ZP
--GS,PN411,N 4600941.4220,E 587100.8384,EL137.4149,--ZP
G0,04/18/2022 11:59:31,Base ID read at rover: 0010
G1,BP0010,PN411,DX-2800.315,DY-5664.744,DZ5288.152
G2,VX0.01387611,VY0.00968827,VZ0.01586487
G3,XY0.00006864,XZ0.00012747,YZ0.00007165
--GT,PN411,SW2206,ST129571009,EW2206,ET129571009
--HSIG:0.013, VSIG:0.020, STATUS:FIXED, SATS:13, PDOP:1.564,
HDOP:0.839, VDOP:1.321
GPS,PN412,LA41.325138088786,LN22.021940587690,EL183.144092,--ZP
--GS,PN412,N 4600944.8213,E 587101.5659,EL137.4998,--ZP
G0,04/18/2022 11:59:37,Base ID read at rover: 0010
G1,BP0010,PN412,DX-2802.629,DY-5664.852,DZ5290.746
G2,VX0.01403597,VY0.00971185,VZ0.01588821
G3,XY0.00006970,XZ0.00012932,YZ0.00007206
--GT,PN412,SW2206,ST129577009,EW2206,ET129577009
--HSIG:0.013, VSIG:0.020, STATUS:FIXED, SATS:12, PDOP:1.564,
HDOP:0.839, VDOP:1.320
GPS,PN413,LA41.325157591305,LN22.021910120293,EL182.877279,--ZP
--GS,PN413,N 4600950.7526,E 587094.4326,EL137.2331,--ZP
G0,04/18/2022 11:59:47,Base ID read at rover: 0010
G1,BP0010,PN413,DX-2803.863,DY-5672.970,DZ5295.072
G2,VX0.01470129,VY0.00988846,VZ0.01600050
G3,XY0.00007100,XZ0.00013277,YZ0.00007285
--GT,PN413,SW2206,ST129587009,EW2206,ET129587009
--HSIG:0.013, VSIG:0.020, STATUS:FIXED, SATS:12, PDOP:1.881,
HDOP:1.041, VDOP:1.566
GPS,PN414,LA41.325167749385,LN22.021903609276,EL182.732436,--ZP
--GS,PN414,N 4600953.8680,E 587092.8859,EL137.0882,--ZP
G0,04/18/2022 11:59:53,Base ID read at rover: 0010
G1,BP0010,PN414,DX-2805.324,DY-5675.189,DZ5297.321
G2,VX0.01407141,VY0.00969744,VZ0.01591132
G3,XY0.00007017,XZ0.00013062,YZ0.00007265
--GT,PN414,SW2206,ST129593008,EW2206,ET129593008
--HSIG:0.013, VSIG:0.020, STATUS:FIXED, SATS:12, PDOP:1.564,
HDOP:0.839, VDOP:1.320
GPS,PN415,LA41.325184311486,LN22.021910839430,EL182.577689,--ZP
--GS,PN415,N 4600958.9975,E 587094.4999,EL136.9334,--ZP
G0,04/18/2022 12:00:00,Base ID read at rover: 0010
G1,BP0010,PN415,DX-2809.202,DY-5674.951,DZ5301.043
G2,VX0.01482979,VY0.00973025,VZ0.01599184
G3,XY0.00007367,XZ0.00013709,YZ0.00007429
--GT,PN415,SW2206,ST129600008,EW2206,ET129600008
--HSIG:0.013, VSIG:0.020, STATUS:FIXED, SATS:11, PDOP:1.763,
HDOP:1.006, VDOP:1.447
GPS,PN416,LA41.325188844380,LN22.021901563582,EL182.529445,--ZP
--GS,PN416,N 4600960.3699,E 587092.3334,EL136.8852,--ZP
G0,04/18/2022 12:00:06,Base ID read at rover: 0010
G1,BP0010,PN416,DX-2809.288,DY-5677.305,DZ5302.057
G2,VX0.01619316,VY0.00978322,VZ0.01621065
G3,XY0.00007937,XZ0.00015439,YZ0.00007665
--GT,PN416,SW2206,ST129606008,EW2206,ET129606008
--HSIG:0.013, VSIG:0.021, STATUS:FIXED, SATS:11, PDOP:1.638,
HDOP:0.896, VDOP:1.371
GPS,PN417,LA41.325161665549,LN22.021886487772,EL182.838443,--ZP
--GS,PN417,N 4600951.9434,E 587088.9407,EL137.1943,--ZP
G0,04/18/2022 12:00:17,Base ID read at rover: 0010
G1,BP0010,PN417,DX-2802.608,DY-5678.371,DZ5295.987
G2,VX0.01700516,VY0.00978668,VZ0.01641330
G3,XY0.00008452,XZ0.00016792,YZ0.00007849
--GT,PN417,SW2206,ST129617009,EW2206,ET129617009
--HSIG:0.013, VSIG:0.022, STATUS:FIXED, SATS:11, PDOP:1.600,
HDOP:0.877, VDOP:1.338
GPS,PN418,LA41.325155227383,LN22.021874007434,EL182.926229,--ZP
--GS,PN418,N 4600949.9224,E 587086.0723,EL137.2821,--ZP
G0,04/18/2022 12:00:24,Base ID read at rover: 0010
G1,BP0010,PN418,DX-2800.240,DY-5680.533,DZ5294.559
G2,VX0.01694089,VY0.00993568,VZ0.01661737
G3,XY0.00009202,XZ0.00017646,YZ0.00008330
--GT,PN418,SW2206,ST129624009,EW2206,ET129624009
--HSIG:0.013, VSIG:0.022, STATUS:FIXED, SATS:12, PDOP:1.638,
HDOP:0.896, VDOP:1.372
GPS,PN419,LA41.325145404108,LN22.021879640744,EL183.021974,--ZP
--GS,PN419,N 4600946.9077,E 587087.4144,EL137.3778,--ZP
G0,04/18/2022 12:00:30,Base ID read at rover: 0010

G1,BP0010,PN419,DX-2798.800,DY-5678.541,DZ5292.354
G2,VX0.01427429,VY0.00971422,VZ0.01592308
G3,XY0.00007267,XZ0.00013348,YZ0.00007338
--GT,PN419,SW2206,ST129630009,EW2206,ET129630009
--HSIG:0.012, VSIG:0.020, STATUS:FIXED, SATS:13, PDOP:1.564,
HDOP:0.840, VDOP:1.319
GPS,PN420,LA41.325128867650,LN22.021875306312,EL183.129648,--ZP
--GS,PN420,N 4600941.7943,E 587086.4714,EL137.4855,--ZP
G0,04/18/2022 12:00:37,Base ID read at rover: 0010
G1,BP0010,PN420,DX-2795.212,DY-5678.173,DZ5288.607
G2,VX0.01382062,VY0.00968902,VZ0.01583574
G3,XY0.00006988,XZ0.00012830,YZ0.00007210
--GT,PN420,SW2206,ST129637009,EW2206,ET129637009
--HSIG:0.012, VSIG:0.020, STATUS:FIXED, SATS:14, PDOP:1.499,
HDOP:0.817, VDOP:1.257
GPS,PN421,LA41.325117860412,LN22.021868008110,EL183.290425,--ZP
--GS,PN421,N 4600938.3783,E 587084.8210,EL137.6463,--ZP
G0,04/18/2022 12:00:44,Base ID read at rover: 0010
G1,BP0010,PN421,DX-2792.378,DY-5678.850,DZ5286.172
G2,VX0.01404641,VY0.00985919,VZ0.01610814
G3,XY0.00006967,XZ0.00012793,YZ0.00007196
--GT,PN421,SW2206,ST129644009,EW2206,ET129644009
--HSIG:0.013, VSIG:0.020, STATUS:FIXED, SATS:14, PDOP:1.499,
HDOP:0.817, VDOP:1.257
GPS,PN422,LA41.325111880699,LN22.021879596822,EL183.202232,--ZP
--GS,PN422,N 4600936.5660,E 587087.5289,EL137.5581,--ZP
G0,04/18/2022 12:00:49,Base ID read at rover: 0010
G1,BP0010,PN422,DX-2792.313,DY-5675.926,DZ5284.733
G2,VX0.01376713,VY0.00969976,VZ0.01581343
G3,XY0.00006954,XZ0.00012771,YZ0.00007187
--GT,PN422,SW2206,ST129649008,EW2206,ET129649008
--HSIG:0.012, VSIG:0.019, STATUS:FIXED, SATS:14, PDOP:1.499,
HDOP:0.817, VDOP:1.257
GPS,PN423,LA41.325121230827,LN22.021893464722,EL183.133543,--ZP
--GS,PN423,N 4600939.4891,E 587090.7080,EL137.4894,--ZP
G0,04/18/2022 12:00:55,Base ID read at rover: 0010
G1,BP0010,PN423,DX-2795.340,DY-5673.684,DZ5286.846
G2,VX0.01392019,VY0.00971960,VZ0.01583964
G3,XY0.00007030,XZ0.00012923,YZ0.00007220
--GT,PN423,SW2206,ST129655008,EW2206,ET129655008
--HSIG:0.012, VSIG:0.020, STATUS:FIXED, SATS:13, PDOP:1.563,
HDOP:0.840, VDOP:1.318
GPS,PN424,LA41.325125750276,LN22.021912733006,EL183.159143,--ZP
--GS,PN424,N 4600940.9372,E 587095.1565,EL137.5150,--ZP
G0,04/18/2022 12:01:02,Base ID read at rover: 0010
G1,BP0010,PN424,DX-2797.855,DY-5669.884,DZ5287.907
G2,VX0.01440041,VY0.00974391,VZ0.01624423
G3,XY0.00007269,XZ0.00013569,YZ0.00007382
--GT,PN424,SW2206,ST129662008,EW2206,ET129662008
--HSIG:0.013, VSIG:0.020, STATUS:FIXED, SATS:11, PDOP:1.639,
HDOP:0.896, VDOP:1.373
GPS,PN425,LA41.325054069612,LN22.021842103935,EL183.855734,--ZP
--GS,PN425,N 4600918.6270,E 587079.0550,EL138.2118,--ZP
G0,04/18/2022 12:01:29,Base ID read at rover: 0010
G1,BP0010,PN425,DX-2777.634,DY-5679.359,DZ5271.818
G2,VX0.01372554,VY0.00973140,VZ0.01576935
G3,XY0.00007013,XZ0.00012778,YZ0.00007223
--GT,PN425,SW2206,ST129689009,EW2206,ET129689009
--HSIG:0.012, VSIG:0.019, STATUS:FIXED, SATS:14, PDOP:1.498,
HDOP:0.818, VDOP:1.255
GPS,PN426,LA41.325056054785,LN22.021832253569,EL183.905761,--ZP
--GS,PN426,N 4600919.2119,E 587076.7648,EL138.2618,--ZP
G0,04/18/2022 12:01:34,Base ID read at rover: 0010
G1,BP0010,PN426,DX-2777.119,DY-5681.613,DZ5272.309
G2,VX0.01372807,VY0.00973200,VZ0.01577007
G3,XY0.00007009,XZ0.00012795,YZ0.00007217
--GT,PN426,SW2206,ST129694009,EW2206,ET129694009
--HSIG:0.012, VSIG:0.019, STATUS:FIXED, SATS:14, PDOP:1.497,
HDOP:0.818, VDOP:1.254
GPS,PN427,LA41.324998049671,LN22.021800914964,EL184.435992,--ZP
--GS,PN427,N 4600901.2303,E 587069.7178,EL138.7922,--ZP
G0,04/18/2022 12:01:52,Base ID read at rover: 0010
G1,BP0010,PN427,DX-2763.024,DY-5683.744,DZ5259.268
G2,VX0.01356942,VY0.00960613,VZ0.01580487
G3,XY0.00006800,XZ0.00012732,YZ0.00007251
--GT,PN427,SW2206,ST129712010,EW2206,ET129712010
--HSIG:0.012, VSIG:0.019, STATUS:FIXED, SATS:14, PDOP:1.497,
HDOP:0.818, VDOP:1.253
GPS,PN428,LA41.324993631243,LN22.021809283604,EL184.458839,--ZP
--GS,PN428,N 4600899.8907,E 587071.6737,EL138.8150,--ZP
G0,04/18/2022 12:01:57,Base ID read at rover: 0010
G1,BP0010,PN428,DX-2762.898,DY-5681.600,DZ5258.263
G2,VX0.01357658,VY0.00961460,VZ0.01580501
G3,XY0.00006807,XZ0.00012742,YZ0.00007245
--GT,PN428,SW2206,ST129717009,EW2206,ET129717009
--HSIG:0.012, VSIG:0.019, STATUS:FIXED, SATS:14, PDOP:1.496,
HDOP:0.818, VDOP:1.253
GPS,PN429,LA41.324929782407,LN22.021778914696,EL185.688683,--ZP
--GS,PN429,N 4600880.1091,E 587064.8731,EL140.0450,--ZP
G0,04/18/2022 12:02:17,Base ID read at rover: 0010
G1,BP0010,PN429,DX-2747.293,DY-5682.877,DZ5244.335
G2,VX0.01379436,VY0.00958271,VZ0.01641851
G3,XY0.00006787,XZ0.00013661,YZ0.00007384

--GT,PN429,SW2206,ST129737009,EW2206,ET129737009
--HSIG:0.012, VSIG:0.020, STATUS:FIXED, SATS:13, PDOP:1.603,
HDOP:0.871, VDOP:1.345
GPS,PN430,LA41.324931390920,LN22.021768029382,EL185.707783,--ZP
--GS,PN430,N 4600880.5749,E 587062.3445,EL140.0641,--ZP
G0,04/18/2022 12:02:22,Base ID read at rover: 0010
G1,BP0010,PN430,DX-2746.638,DY-5685.333,DZ5244.720
G2,VX0.01365963,VY0.00959499,VZ0.01613515
G3,XY0.00006763,XZ0.00013190,YZ0.00007322
--GT,PN430,SW2206,ST129742009,EW2206,ET129742009
--HSIG:0.012, VSIG:0.020, STATUS:FIXED, SATS:14, PDOP:1.495,
HDOP:0.819, VDOP:1.251
GPS,PN431,LA41.324762560135,LN22.021749628997,EL189.429432,--
--GS,PN431,N 4600828.4407,E 587058.7079,EL143.7860,--
G0,04/18/2022 12:03:26,Base ID read at rover: 0010
G1,BP0010,PN431,DX-2710.434,DY-5675.279,DZ5208.204
G2,VX0.01399503,VY0.00975820,VZ0.01642979
G3,XY0.00006916,XZ0.00013312,YZ0.00007348
--GT,PN431,SW2206,ST129806010,EW2206,ET129806010
--HSIG:0.013, VSIG:0.020, STATUS:FIXED, SATS:14, PDOP:1.492,
HDOP:0.820, VDOP:1.247
GPS,PN432,LA41.324763738001,LN22.021712544733,EL189.450709,--
--GS,PN432,N 4600828.7005,E 587050.1092,EL143.8074,--
G0,04/18/2022 12:03:37,Base ID read at rover: 0010
G1,BP0010,PN432,DX-2707.418,DY-5683.330,DZ5208.491
G2,VX0.01374171,VY0.00962000,VZ0.01613640
G3,XY0.00006942,XZ0.00013354,YZ0.00007373
--GT,PN432,SW2206,ST129817010,EW2206,ET129817010
--HSIG:0.012, VSIG:0.020, STATUS:FIXED, SATS:14, PDOP:1.492,
HDOP:0.820, VDOP:1.246
GPS,PN433,LA41.324742326094,LN22.021674966539,EL190.159868,--
--GS,PN433,N 4600821.9902,E 587041.4800,EL144.5166,--
G0,04/18/2022 12:03:49,Base ID read at rover: 0010
G1,BP0010,PN433,DX-2699.596,DY-5689.561,DZ5204.017
G2,VX0.01375554,VY0.00964607,VZ0.01613563
G3,XY0.00006966,XZ0.00013391,YZ0.00007394
--GT,PN433,SW2206,ST129829009,EW2206,ET129829009
--HSIG:0.012, VSIG:0.020, STATUS:FIXED, SATS:14, PDOP:1.491,
HDOP:0.820, VDOP:1.245
GPS,PN434,LA41.324715278414,LN22.021644646952,EL191.077238,--
--GS,PN434,N 4600813.5616,E 587034.5540,EL145.4341,--
G0,04/18/2022 12:04:02,Base ID read at rover: 0010
G1,BP0010,PN434,DX-2691.193,DY-5693.740,DZ5198.380
G2,VX0.01376796,VY0.00966572,VZ0.01613146
G3,XY0.00006985,XZ0.00013431,YZ0.00007407
--GT,PN434,SW2206,ST129842009,EW2206,ET129842009
--HSIG:0.012, VSIG:0.020, STATUS:FIXED, SATS:14, PDOP:1.491,
HDOP:0.821, VDOP:1.244
GPS,PN435,LA41.324690388349,LN22.021645334130,EL191.867657,--
--GS,PN435,N 4600805.8852,E 587034.8057,EL146.2246,--
G0,04/18/2022 12:04:14,Base ID read at rover: 0010
G1,BP0010,PN435,DX-2685.984,DY-5691.460,DZ5193.157
G2,VX0.01365718,VY0.00966669,VZ0.01609352
G3,XY0.00006908,XZ0.00013275,YZ0.00007363
--GT,PN435,SW2206,ST129854010,EW2206,ET129854010
--HSIG:0.012, VSIG:0.020, STATUS:FIXED, SATS:14, PDOP:1.490,
HDOP:0.821, VDOP:1.244
GPS,PN436,LA41.324709543906,LN22.021683870705,EL191.607269,--
--GS,PN436,N 4600811.9021,E 587043.6655,EL145.9641,--
G0,04/18/2022 12:04:26,Base ID read at rover: 0010
G1,BP0010,PN436,DX-2693.149,DY-5684.724,DZ5197.407
G2,VX0.01431118,VY0.00970409,VZ0.01615101
G3,XY0.00007142,XZ0.00013814,YZ0.00007466
--GT,PN436,SW2206,ST129866009,EW2206,ET129866009
--HSIG:0.013, VSIG:0.020, STATUS:FIXED, SATS:12, PDOP:1.593,
HDOP:0.879, VDOP:1.329
GPS,PN437,LA41.324733532476,LN22.021727818527,EL190.681946,--
--GS,PN437,N 4600819.4251,E 587053.7613,EL145.0386,--
G0,04/18/2022 12:04:39,Base ID read at rover: 0010
G1,BP0010,PN437,DX-2702.163,DY-5677.384,DZ5202.333
G2,VX0.01369862,VY0.00969897,VZ0.01608690
G3,XY0.00006964,XZ0.00013360,YZ0.00007415
--GT,PN437,SW2206,ST129879009,EW2206,ET129879009
--HSIG:0.012, VSIG:0.020, STATUS:FIXED, SATS:14, PDOP:1.640,
HDOP:0.895, VDOP:1.374
GPS,PN438,LA41.324778179502,LN22.021738160728,EL187.792788,--
--GS,PN438,N 4600833.2272,E 587055.9935,EL142.1494,--
G0,04/18/2022 12:04:56,Base ID read at rover: 0010
G1,BP0010,PN438,DX-2713.535,DY-5679.400,DZ5210.726
G2,VX0.01365660,VY0.00944264,VZ0.01610943
G3,XY0.00006734,XZ0.00013551,YZ0.00007363
--GT,PN438,SW2206,ST129896009,EW2206,ET129896009
--HSIG:0.012, VSIG:0.020, STATUS:FIXED, SATS:14, PDOP:1.488,
HDOP:0.821, VDOP:1.240
GPS,PN439,LA41.324775254821,LN22.021679142320,EL186.699628,--
--GS,PN439,N 4600832.1601,E 587042.3254,EL141.0563,--
G0,04/18/2022 12:05:25,Base ID read at rover: 0010
G1,BP0010,PN439,DX-2708.606,DY-5692.163,DZ5209.325
G2,VX0.01449934,VY0.00958754,VZ0.01634650
G3,XY0.00007249,XZ0.00014920,YZ0.00007642
--GT,PN439,SW2206,ST129925009,EW2206,ET129925009
--HSIG:0.012, VSIG:0.020, STATUS:FIXED, SATS:13, PDOP:1.555,
HDOP:0.843, VDOP:1.307
GPS,PN440,LA41.324761256091,LN22.021648440580,EL186.373177,--
--GS,PN440,N 4600827.7559,E 587035.2622,EL140.7300,--
G0,04/18/2022 12:05:37,Base ID read at rover: 0010
G1,BP0010,PN440,DX-2703.507,DY-5697.776,DZ5205.876
G2,VX0.01457398,VY0.00958116,VZ0.01663309
G3,XY0.00007144,XZ0.00015272,YZ0.00007891
--GT,PN440,SW2206,ST129937009,EW2206,ET129937009
--HSIG:0.012, VSIG:0.021, STATUS:FIXED, SATS:12, PDOP:1.555,
HDOP:0.843, VDOP:1.307
GPS,PN441,LA41.324748695823,LN22.021628395086,EL186.272628,--
--GS,PN441,N 4600823.8252,E 587030.6633,EL140.6295,--
G0,04/18/2022 12:05:49,Base ID read at rover: 0010
G1,BP0010,PN441,DX-2699.451,DY-5701.147,DZ5202.910
G2,VX0.01583370,VY0.00964110,VZ0.01743130
G3,XY0.00007273,XZ0.00015659,YZ0.00008021
--GT,PN441,SW2206,ST129949008,EW2206,ET129949008
--HSIG:0.014, VSIG:0.022, STATUS:FIXED, SATS:11, PDOP:1.555,
HDOP:0.843, VDOP:1.306
GPS,PN442,LA41.324720957169,LN22.021589397645,EL185.991482,--
--GS,PN442,N 4600815.1592,E 587021.7287,EL140.3485,--
G0,04/18/2022 12:06:08,Base ID read at rover: 0010
G1,BP0010,PN442,DX-2690.994,DY-5707.474,DZ5196.318
G2,VX0.01966332,VY0.00969512,VZ0.02013414
G3,XY0.00008114,XZ0.00026701,YZ0.00008639
--GT,PN442,SW2206,ST129968008,EW2206,ET129968008
--HSIG:0.014, VSIG:0.026, STATUS:FIXED, SATS:8, PDOP:2.158,
HDOP:1.171, VDOP:1.813
--DT01-02-2010
--TM00:14:04
--User Defined: NEGOTINO
--Equipment: S9 GNSS SN:41701390
--Antenna Type: [STX_S9],RA0.0930m,SHMP0.0590m,L10.0884m,L20.0924m,--
L1/L2 Integrated Antenna
--Localization File: None
--Geoid Separation File: None
--GPS Scale: 1.00000000
--Scale Point not used
--RTK Method: RTCM V3.0, Device: Internal GSM, Network: NTRIP iMAX-Auto
--Entered HR: 2.0000, Vertical
LS,HR2.0884
GPS,PN443,LA41.325125267492,LN22.022086157406,EL181.638908,--ZP
--GS,PN443,N 4600941.2730,E 587135.3490,EL135.9944,--ZP
G0,04/19/2022 07:56:51,Base ID read at rover: 0010
G1,BP0010,PN443,DX-2813.901,DY-5633.017,DZ5286.787
G2,VX0.02269637,VY0.00999379,VZ0.01786224
G3,XY0.00003023,XZ-0.00001756,YZ0.00005571
--GT,PN443,SW2206,ST201411010,EW2206,ET201411010
--HSIG:0.023, VSIG:0.020, STATUS:FIXED, SATS:13, PDOP:1.447,
HDOP:0.735, VDOP:1.247
GPS,PN444,LA41.325119105818,LN22.022093461589,EL181.731081,--ZP
--GS,PN444,N 4600939.3926,E 587137.0647,EL136.0865,--ZP
G0,04/19/2022 07:56:58,Base ID read at rover: 0010
G1,BP0010,PN444,DX-2813.304,DY-5630.949,DZ5285.425
G2,VX0.02678282,VY0.009989101,VZ0.01527402
G3,XY0.00001771,XZ0.00020236,YZ0.00002439
--GT,PN444,SW2206,ST201418009,EW2206,ET201418009
--HSIG:0.020, VSIG:0.026, STATUS:FIXED, SATS:12, PDOP:1.412,
HDOP:0.703, VDOP:1.224
GPS,PN445,LA41.325144795870,LN22.022128020783,EL181.243382,--ZP
--GS,PN445,N 4600947.4143,E 587144.9781,EL135.5987,--ZP
G0,04/19/2022 07:57:09,Base ID read at rover: 0010
G1,BP0010,PN445,DX-2821.520,DY-5625.634,DZ5291.034
G2,VX0.01568430,VY0.01047488,VZ0.01486341
G3,XY0.00007623,XZ0.00006920,YZ0.00004661
--GT,PN445,SW2206,ST201429009,EW2206,ET201429009
--HSIG:0.016, VSIG:0.018, STATUS:FIXED, SATS:13, PDOP:2.043,
HDOP:1.054, VDOP:1.750
GPS,PN446,LA41.325150381988,LN22.022118765701,EL181.265611,--ZP
--GS,PN446,N 4600949.1117,E 587142.8124,EL135.6210,--ZP
G0,04/19/2022 07:57:15,Base ID read at rover: 0010
G1,BP0010,PN446,DX-2821.759,DY-5628.045,DZ5292.338
G2,VX0.01588847,VY0.01197583,VZ0.01549550
G3,XY0.00009191,XZ0.00007994,YZ0.00006061
--GT,PN446,SW2206,ST201435008,EW2206,ET201435008
--HSIG:0.016, VSIG:0.019, STATUS:FIXED, SATS:11, PDOP:1.572,
HDOP:0.853, VDOP:1.320
GPS,PN447,LA41.325124353774,LN22.022116890899,EL181.673674,--BB
--GS,PN447,N 4600941.0770,E 587142.4748,EL136.0291,--BB
G0,04/19/2022 07:57:29,Base ID read at rover: 0010
G1,BP0010,PN447,DX-2816.376,DY-5626.334,DZ5286.599
G2,VX0.01759088,VY0.01313870,VZ0.02262968
G3,XY0.00010500,XZ0.00010234,YZ0.00009869
--GT,PN447,SW2206,ST201449008,EW2206,ET201449008
--HSIG:0.021, VSIG:0.024, STATUS:FIXED, SATS:8, PDOP:1.481,
HDOP:0.786, VDOP:1.256
GPS,PN448,LA41.325124399005,LN22.022126871371,EL181.768301,--TRS
--GS,PN448,N 4600941.1189,E 587144.7876,EL136.1237,--TRS
G0,04/19/2022 07:57:42,Base ID read at rover: 0010
G1,BP0010,PN448,DX-2817.187,DY-5624.167,DZ5286.672
G2,VX0.02312738,VY0.01213475,VZ0.01736351
G3,XY0.00009965,XZ0.00009067,YZ0.00006141
--GT,PN448,SW2206,ST201462008,EW2206,ET201462008

--HSIG:0.021, VSIG:0.023, STATUS:FIXED, SATS:11, PDOP:1.680, HDOP:0.831, VDOP:1.460
GPS,PN449,LA41.325171224395,LN22.022143080349,EL181.129164,--PL
--GS,PN449,N 4600955.6094,E 587148.3697,EL135.4844,--PL
G0,04/19/2022 07:58:06,Base ID read at rover: 0010
G1,BP0010,PN449,DX-2827.922,DY-5624.460,DZ5297.060
G2,VX0.03630341,VY0.01680401,VZ0.02863551
G3,XY0.00024179,XZ0.00036505,YZ0.00006236
--GT,PN449,SW2206,ST201486008,EW2206,ET201486008
--HSIG:0.031, VSIG:0.038, STATUS:FIXED, SATS:8, PDOP:3.452, HDOP:1.888, VDOP:2.890
GPS,PN450,LA41.325167481214,LN22.022151885898,EL181.182275,--PL
--GS,PN450,N 4600954.4793,E 587150.4243,EL135.5375,--PL
G0,04/19/2022 07:59:43,Base ID read at rover: 0010
G1,BP0010,PN450,DX-2827.941,DY-5622.266,DZ5296.231
G2,VX0.05791598,VY0.02174943,VZ0.04449903
G3,XY0.00023060,XZ0.00071138,YZ0.00027975
--GT,PN450,SW2206,ST201583008,EW2206,ET201583008
--HSIG:0.049, VSIG:0.058, STATUS:FIXED, SATS:6, PDOP:1.454, HDOP:0.774, VDOP:1.230
GPS,PN451,LA41.325212439303,LN22.022142125085,EL181.218293,--PL
--GS,PN451,N 4600968.3211,E 587147.9950,EL135.5735,--PL
G0,04/19/2022 08:00:01,Base ID read at rover: 0010
G1,BP0010,PN451,DX-2835.594,DY-5627.804,DZ5306.636
G2,VX0.03165682,VY0.01602966,VZ0.02642896
G3,XY0.00008610,XZ0.00020553,YZ0.00020126
--GT,PN451,SW2206,ST201601009,EW2206,ET201601009
--HSIG:0.029, VSIG:0.033, STATUS:FIXED, SATS:10, PDOP:1.633, HDOP:0.922, VDOP:1.347
GPS,PN452,LA41.325189093802,LN22.022198572921,EL181.114517,--PL
--GS,PN452,N 4600961.2771,E 587161.1635,EL135.4697,--PL
G0,04/19/2022 08:00:16,Base ID read at rover: 0010
G1,BP0010,PN452,DX-2836.148,DY-5613.914,DZ5310.177
G2,VX0.03654104,VY0.01616328,VZ0.04234113
G3,XY0.00007577,XZ0.00039110,YZ0.00027548
--GT,PN452,SW2206,ST201616008,EW2206,ET201616008
--HSIG:0.038, VSIG:0.044, STATUS:FIXED, SATS:8, PDOP:2.837, HDOP:1.845, VDOP:2.156
GPS,PN453,LA41.325180783593,LN22.022195809247,EL180.918558,--KL
--GS,PN453,N 4600958.7057,E 587160.5539,EL135.2737,--KL
G0,04/19/2022 08:00:31,Base ID read at rover: 0010
G1,BP0010,PN453,DX-2834.467,DY-5613.925,DZ5299.128
G2,VX0.02040220,VY0.01344105,VZ0.02510248
G3,XY0.00008640,XZ0.00009385,YZ0.00010963
--GT,PN453,SW2206,ST201631007,EW2206,ET201631007
--HSIG:0.024, VSIG:0.026, STATUS:FIXED, SATS:9, PDOP:1.479, HDOP:0.832, VDOP:1.223
--Entered HR: 2.4000, Vertical
LS,HR2.0884
GPS,PN454,LA41.325196770580,LN22.022164462593,EL181.588507,--ST
--GS,PN454,N 4600963.5499,E 587153.2299,EL135.5437,--ST
G0,04/19/2022 08:03:14,Base ID read at rover: 0010
G1,BP0010,PN454,DX-2834.308,DY-5621.699,DZ5303.264
G2,VX0.03344842,VY0.01351020,VZ0.02150729
G3,XY0.00004168,XZ0.00013248,YZ0.00008943
--GT,PN454,SW2206,ST201794007,EW2206,ET201794007
--HSIG:0.029, VSIG:0.030, STATUS:FIXED, SATS:5, PDOP:1.832, HDOP:1.010, VDOP:1.528
GPS,PN455,LA41.325204144499,LN22.022169565907,EL181.062034,--PR
--GS,PN455,N 4600965.8390,E 587154.3851,EL135.0172,--PR
G0,04/19/2022 08:05:07,Base ID read at rover: 0010
G1,BP0010,PN455,DX-2836.516,DY-5621.316,DZ5304.617
G2,VX0.02008791,VY0.01581999,VZ0.02735009
G3,XY0.00013325,XZ0.00018232,YZ0.00019120
--GT,PN455,SW2206,ST201907010,EW2206,ET201907010
--HSIG:0.024, VSIG:0.029, STATUS:FIXED, SATS:15, PDOP:1.249, HDOP:0.650, VDOP:1.066
GPS,PN456,LA41.325208422570,LN22.022173493700,EL181.051577,--PR
--GS,PN456,N 4600967.1697,E 587155.2795,EL135.0068,--PR
G0,04/19/2022 08:05:14,Base ID read at rover: 0010
G1,BP0010,PN456,DX-2837.676,DY-5620.804,DZ5305.598
G2,VX0.01882362,VY0.01608793,VZ0.03345942
G3,XY0.00012688,XZ0.00016800,YZ0.00028125
--GT,PN456,SW2206,ST201914010,EW2206,ET201914010
--HSIG:0.027, VSIG:0.031, STATUS:FIXED, SATS:12, PDOP:1.248, HDOP:0.650, VDOP:1.066
GPS,PN457,LA41.325217830136,LN22.022179093732,EL181.000888,--PR
--GS,PN457,N 4600970.0875,E 587156.5422,EL134.9560,--PR
G0,04/19/2022 08:05:31,Base ID read at rover: 0010
G1,BP0010,PN457,DX-2839.983,DY-5620.337,DZ5307.736
G2,VX0.01438828,VY0.01003122,VZ0.01770948
G3,XY0.00005064,XZ0.00005964,YZ0.00006542
--GT,PN457,SW2206,ST201931010,EW2206,ET201931010
--HSIG:0.017, VSIG:0.019, STATUS:FIXED, SATS:15, PDOP:1.301, HDOP:0.693, VDOP:1.101
GPS,PN458,LA41.325222421969,LN22.022182705564,EL181.004802,--PR
--GS,PN458,N 4600971.5142,E 587157.3622,EL134.9599,--PR
G0,04/19/2022 08:05:38,Base ID read at rover: 0010
G1,BP0010,PN458,DX-2841.165,DY-5619.913,DZ5308.799
G2,VX0.01423955,VY0.00991846,VZ0.01958425
G3,XY0.00004809,XZ0.00005750,YZ0.00007591
--GT,PN458,SW2206,ST201938011,EW2206,ET201938011

--HSIG:0.018, VSIG:0.019, STATUS:FIXED, SATS:12, PDOP:1.688, HDOP:0.932, VDOP:1.408
GPS,PN459,LA41.325231598955,LN22.022189147540,EL181.101483,--PR
--GS,PN459,N 4600974.3632,E 587158.8209,EL135.0566,--PR
G0,04/19/2022 08:05:51,Base ID read at rover: 0010
G1,BP0010,PN459,DX-2843.399,DY-5619.206,DZ5310.982
G2,VX0.01435386,VY0.00987420,VZ0.01675401
G3,XY0.00004943,XZ0.00006446,YZ0.00006135
--GT,PN459,SW2206,ST201951010,EW2206,ET201951010
--HSIG:0.016, VSIG:0.018, STATUS:FIXED, SATS:13, PDOP:1.418, HDOP:0.767, VDOP:1.193
GPS,PN460,LA41.325236424017,LN22.022192483406,EL181.126942,--PR
--GS,PN460,N 4600975.8610,E 587159.5761,EL135.0820,--PR
G0,04/19/2022 08:06:12,Base ID read at rover: 0010
G1,BP0010,PN460,DX-2844.587,DY-5618.853,DZ5312.113
G2,VX0.01438552,VY0.01007351,VZ0.01765112
G3,XY0.00005083,XZ0.00006464,YZ0.00007004
--GT,PN460,SW2206,ST201972010,EW2206,ET201972010
--HSIG:0.016, VSIG:0.019, STATUS:FIXED, SATS:14, PDOP:1.374, HDOP:0.750, VDOP:1.151
GPS,PN461,LA41.325244457338,LN22.022197928309,EL181.343562,--ST
--GS,PN461,N 4600978.3544,E 587160.8080,EL135.2986,--ST
G0,04/19/2022 08:06:33,Base ID read at rover: 0010
G1,BP0010,PN461,DX-2846.434,DY-5618.239,DZ5314.112
G2,VX0.01642269,VY0.01154581,VZ0.02371605
G3,XY0.00006832,XZ0.00007892,YZ0.00011281
--GT,PN461,SW2206,ST201993008,EW2206,ET201993008
--HSIG:0.021, VSIG:0.023, STATUS:FIXED, SATS:10, PDOP:1.788, HDOP:1.044, VDOP:1.452
GPS,PN462,LA41.325249936929,LN22.022202458190,EL180.440633,--
--GS,PN462,N 4600980.0575,E 587161.8374,EL134.3957,--
G0,04/19/2022 08:06:46,Base ID read at rover: 0010
G1,BP0010,PN462,DX-2848.493,DY-5617.941,DZ5314.778
G2,VX0.01529424,VY0.01081295,VZ0.02284787
G3,XY0.00005364,XZ0.00006481,YZ0.00011720
--GT,PN462,SW2206,ST202006009,EW2206,ET202006009
--HSIG:0.020, VSIG:0.022, STATUS:FIXED, SATS:12, PDOP:1.487, HDOP:0.827, VDOP:1.235
--Entered HR: 2.0000, Vertical
LS,HR2.0884
GPS,PN463,LA41.325204788161,LN22.022312503579,EL180.117647,--
--GS,PN463,N 4600966.4373,E 587187.5081,EL134.4725,--
G0,04/19/2022 08:07:28,Base ID read at rover: 0010
G1,BP0010,PN463,DX-2849.725,DY-5590.923,DZ5304.139
G2,VX0.01511671,VY0.01019067,VZ0.01625808
G3,XY0.00005118,XZ0.00007228,YZ0.00005900
--GT,PN463,SW2206,ST202048009,EW2206,ET202048009
--HSIG:0.016, VSIG:0.019, STATUS:FIXED, SATS:14, PDOP:1.317, HDOP:0.686, VDOP:1.125
GPS,PN464,LA41.325195927478,LN22.022306094970,EL180.358190,--
--GS,PN464,N 4600963.6859,E 587186.0559,EL134.7131,--
G0,04/19/2022 08:07:37,Base ID read at rover: 0010
G1,BP0010,PN464,DX-2847.320,DY-5591.552,DZ5302.253
G2,VX0.01481426,VY0.01002576,VZ0.01604568
G3,XY0.00005153,XZ0.00006874,YZ0.00005800
--GT,PN464,SW2206,ST202057010,EW2206,ET202057010
--HSIG:0.016, VSIG:0.018, STATUS:FIXED, SATS:16, PDOP:1.317, HDOP:0.686, VDOP:1.124
GPS,PN465,LA41.325191136063,LN22.022303226725,EL180.741855,--PR
--GS,PN465,N 4600962.1998,E 587185.4091,EL135.0968,--PR
G0,04/19/2022 08:07:50,Base ID read at rover: 0010
G1,BP0010,PN465,DX-2845.895,DY-5591.692,DZ5301.401
G2,VX0.01464237,VY0.00990931,VZ0.01577073
G3,XY0.00005061,XZ0.00006733,YZ0.00005579
--GT,PN465,SW2206,ST202070010,EW2206,ET202070010
--HSIG:0.015, VSIG:0.018, STATUS:FIXED, SATS:16, PDOP:1.224, HDOP:0.631, VDOP:1.049
GPS,PN466,LA41.325186692121,LN22.022299078372,EL180.721692,--PR
--GS,PN466,N 4600960.8173,E 587184.4642,EL135.0766,--PR
G0,04/19/2022 08:07:58,Base ID read at rover: 0010
G1,BP0010,PN466,DX-2844.706,DY-5592.248,DZ5300.362
G2,VX0.01459522,VY0.00988977,VZ0.01572340
G3,XY0.00005012,XZ0.00006765,YZ0.00005559
--GT,PN466,SW2206,ST202078009,EW2206,ET202078009
--HSIG:0.015, VSIG:0.018, STATUS:FIXED, SATS:14, PDOP:1.316, HDOP:0.686, VDOP:1.123
GPS,PN467,LA41.325177021096,LN22.022293017529,EL180.590064,--PR
--GS,PN467,N 4600957.8169,E 587183.0957,EL134.9450,--PR
G0,04/19/2022 08:08:06,Base ID read at rover: 0010
G1,BP0010,PN467,DX-2842.435,DY-5592.845,DZ5298.041
G2,VX0.01457363,VY0.00987253,VZ0.01566110
G3,XY0.00004998,XZ0.00006766,YZ0.00005503
--GT,PN467,SW2206,ST202086010,EW2206,ET202086010
--HSIG:0.015, VSIG:0.018, STATUS:FIXED, SATS:15, PDOP:1.267, HDOP:0.654, VDOP:1.086
GPS,PN468,LA41.325172495782,LN22.022289653764,EL180.571906,--PR
--GS,PN468,N 4600956.4115,E 587182.3330,EL134.9269,--PR
G0,04/19/2022 08:08:14,Base ID read at rover: 0010
G1,BP0010,PN468,DX-2841.297,DY-5593.225,DZ5296.984
G2,VX0.01452374,VY0.00983393,VZ0.01556717
G3,XY0.00004966,XZ0.00006741,YZ0.00005420
--GT,PN468,SW2206,ST202094010,EW2206,ET202094010

--HSIG:0.015, VSIG:0.018, STATUS:FIXED, SATS:15, PDOP:1.267, HDOP:0.654, VDOP:1.085
GPS,PN469,LA41.325163575601,LN22.022282883779,EL180.622898,--PR
--GS,PN469,N 4600953.6408,E 587180.7973,EL134.9779,--PR
G0,04/19/2022 08:08:23,Base ID read at rover: 0010
G1,BP0010,PN469,DX-2838.981,DY-5593.980,DZ5294.958
G2,VX0.01443847,VY0.00979806,VZ0.01546283
G3,XY0.00004958,XZ0.00006633,YZ0.00005392
--GT,PN469,SW2206,ST202103009,EW2206,ET202103009
--HSIG:0.015, VSIG:0.018, STATUS:FIXED, SATS:16, PDOP:1.222, HDOP:0.631, VDOP:1.046
GPS,PN470,LA41.325158963768,LN22.022279384316,EL180.665031,--PR
--GS,PN470,N 4600952.2083,E 587180.0034,EL135.0201,--PR
G0,04/19/2022 08:08:34,Base ID read at rover: 0010
G1,BP0010,PN470,DX-2837.773,DY-5594.366,DZ5293.922
G2,VX0.01439067,VY0.00975338,VZ0.01537895
G3,XY0.00004885,XZ0.00006661,YZ0.00005308
--GT,PN470,SW2206,ST202114009,EW2206,ET202114009
--HSIG:0.015, VSIG:0.018, STATUS:FIXED, SATS:15, PDOP:1.266, HDOP:0.654, VDOP:1.083
GPS,PN471,LA41.325110715360,LN22.022372234894,EL180.386028,--ST
--GS,PN471,N 4600937.5838,E 587201.7010,EL134.7409,--ST
G0,04/19/2022 08:09:11,Base ID read at rover: 0010
G1,BP0010,PN471,DX-2836.890,DY-5570.792,DZ5282.596
G2,VX0.01660355,VY0.01794948,VZ0.02027168
G3,XY0.00016656,XZ0.00015155,YZ0.00020808
--GT,PN471,SW2206,ST202151009,EW2206,ET202151009
--HSIG:0.020, VSIG:0.025, STATUS:FIXED, SATS:10, PDOP:1.793, HDOP:1.184, VDOP:1.346
GPS,PN472,LA41.325118534208,LN22.022378167462,EL180.580079,--PR
--GS,PN472,N 4600940.0125,E 587203.0467,EL134.9349,--PR
G0,04/19/2022 08:09:26,Base ID read at rover: 0010
G1,BP0010,PN472,DX-2838.755,DY-5570.063,DZ5284.530
G2,VX0.01471206,VY0.00990475,VZ0.01620307
G3,XY0.00004912,XZ0.00006855,YZ0.00005820
--GT,PN472,SW2206,ST202166010,EW2206,ET202166010
--HSIG:0.016, VSIG:0.018, STATUS:FIXED, SATS:15, PDOP:1.261, HDOP:0.655, VDOP:1.078
GPS,PN473,LA41.325123061877,LN22.022381638770,EL180.599960,--PR
--GS,PN473,N 4600941.4189,E 587203.8344,EL134.9548,--PR
G0,04/19/2022 08:09:32,Base ID read at rover: 0010
G1,BP0010,PN473,DX-2839.902,DY-5569.660,DZ5285.589
G2,VX0.01495700,VY0.00991659,VZ0.01618319
G3,XY0.00004985,XZ0.00007016,YZ0.00005732
--GT,PN473,SW2206,ST202172010,EW2206,ET202172010
--HSIG:0.016, VSIG:0.018, STATUS:FIXED, SATS:14, PDOP:1.261, HDOP:0.655, VDOP:1.078
GPS,PN474,LA41.325132484981,LN22.022387331418,EL180.603266,--PR
--GS,PN474,N 4600944.3418,E 587205.1185,EL134.9581,--PR
G0,04/19/2022 08:09:40,Base ID read at rover: 0010
G1,BP0010,PN474,DX-2842.182,DY-5569.159,DZ5287.767
G2,VX0.01505940,VY0.01010081,VZ0.01706010
G3,XY0.00005070,XZ0.00007294,YZ0.00006381
--GT,PN474,SW2206,ST202180010,EW2206,ET202180010
--HSIG:0.016, VSIG:0.019, STATUS:FIXED, SATS:15, PDOP:1.260, HDOP:0.655, VDOP:1.077
GPS,PN475,LA41.325137287034,LN22.022390749747,EL180.614065,--PR
--GS,PN475,N 4600945.8327,E 587205.8928,EL134.9689,--PR
G0,04/19/2022 08:09:46,Base ID read at rover: 0010
G1,BP0010,PN475,DX-2843.382,DY-5568.791,DZ5288.883
G2,VX0.01497766,VY0.01006011,VZ0.01643968
G3,XY0.00005096,XZ0.00007069,YZ0.00006040
--GT,PN475,SW2206,ST202186010,EW2206,ET202186010
--HSIG:0.016, VSIG:0.018, STATUS:FIXED, SATS:15, PDOP:1.260, HDOP:0.655, VDOP:1.077
GPS,PN476,LA41.325146252233,LN22.022397771980,EL180.749661,--PR
--GS,PN476,N 4600948.6181,E 587207.4868,EL135.1045,--PR
G0,04/19/2022 08:09:54,Base ID read at rover: 0010
G1,BP0010,PN476,DX-2845.599,DY-5567.932,DZ5291.043
G2,VX0.01503444,VY0.01007893,VZ0.01633368
G3,XY0.00005142,XZ0.00007184,YZ0.00005964
--GT,PN476,SW2206,ST202194011,EW2206,ET202194011
--HSIG:0.016, VSIG:0.019, STATUS:FIXED, SATS:15, PDOP:1.461, HDOP:0.742, VDOP:1.259
GPS,PN477,LA41.325151082013,LN22.022401110933,EL180.749128,--PR
--GS,PN477,N 4600950.1173,E 587208.2426,EL135.1039,--PR
G0,04/19/2022 08:10:03,Base ID read at rover: 0010
G1,BP0010,PN477,DX-2846.806,DY-5567.586,DZ5292.157
G2,VX0.01500817,VY0.01011528,VZ0.01669199
G3,XY0.00005165,XZ0.00007084,YZ0.00006193
--GT,PN477,SW2206,ST202203010,EW2206,ET202203010
--HSIG:0.016, VSIG:0.019, STATUS:FIXED, SATS:16, PDOP:1.278, HDOP:0.677, VDOP:1.084
GPS,PN478,LA41.325157970959,LN22.022405797838,EL180.764472,--ST
--GS,PN478,N 4600952.2556,E 587209.3031,EL135.1192,--ST
G0,04/19/2022 08:10:20,Base ID read at rover: 0010
G1,BP0010,PN478,DX-2848.510,DY-5567.104,DZ5293.758
G2,VX0.01537666,VY0.01040926,VZ0.01693424
G3,XY0.00005580,XZ0.00007229,YZ0.00006435
--GT,PN478,SW2206,ST202200009,EW2206,ET202200009
--HSIG:0.016, VSIG:0.019, STATUS:FIXED, SATS:13, PDOP:1.340, HDOP:0.740, VDOP:1.118
GPS,PN479,LA41.325166764069,LN22.022410952993,EL180.240222,--

--GS,PN479,N 4600954.9827,E 587210.4651,EL134.5950,--
G0,04/19/2022 08:10:42,Base ID read at rover: 0010
G1,BP0010,PN479,DX-2850.990,DY-5566.819,DZ5295.441
G2,VX0.01216162,VY0.00832815,VZ0.01348085
G3,XY0.00003385,XZ0.00004611,YZ0.00004272
--GT,PN479,SW2206,ST202242010,EW2206,ET202242010
--HSIG:0.013, VSIG:0.015, STATUS:FIXED, SATS:16, PDOP:1.209, HDOP:0.631, VDOP:1.031
GPS,PN480,LA41.325155471837,LN22.022402021720,EL180.499067,--
--GS,PN480,N 4600951.4741,E 587208.4373,EL134.8538,--
G0,04/19/2022 08:11:00,Base ID read at rover: 0010
G1,BP0010,PN480,DX-2847.892,DY-5567.798,DZ5293.005
G2,VX0.01620749,VY0.00933350,VZ0.03896681
G3,XY0.00005668,XZ0.00021393,YZ0.00004078
--GT,PN480,SW2206,ST202260010,EW2206,ET202260010
--HSIG:0.035, VSIG:0.025, STATUS:FLOAT, SATS:16, PDOP:1.207, HDOP:0.631, VDOP:1.029
GPS,PN481,LA41.325084304255,LN22.022491921205,EL180.606698,--SE
--GS,PN481,N 4600929.7711,E 587229.5364,EL134.9614,--SE
G0,04/19/2022 08:11:48,Base ID read at rover: 0010
G1,BP0010,PN481,DX-2842.137,DY-5542.989,DZ5276.644
G2,VX0.01678771,VY0.01084750,VZ0.01796245
G3,XY0.00006404,XZ0.00009200,YZ0.00007588
--GT,PN481,SW2206,ST202308010,EW2206,ET202308010
--HSIG:0.017, VSIG:0.021, STATUS:FIXED, SATS:13, PDOP:1.250, HDOP:0.655, VDOP:1.065
GPS,PN482,LA41.325046913509,LN22.022541751910,EL180.543658,--SE
--GS,PN482,N 4600918.3759,E 587241.2239,EL134.8983,--SE
G0,04/19/2022 08:12:06,Base ID read at rover: 0010
G1,BP0010,PN482,DX-2839.423,DY-5529.431,DZ5267.969
G2,VX0.01618781,VY0.01109109,VZ0.01904199
G3,XY0.00005637,XZ0.00008663,YZ0.00007789
--GT,PN482,SW2206,ST202326010,EW2206,ET202326010
--HSIG:0.018, VSIG:0.021, STATUS:FIXED, SATS:14, PDOP:1.322, HDOP:0.725, VDOP:1.105
GPS,PN483,LA41.325036077934,LN22.022559284084,EL180.475805,--ST
--GS,PN483,N 4600915.0823,E 587245.3274,EL134.8304,--ST
G0,04/19/2022 08:12:25,Base ID read at rover: 0010
G1,BP0010,PN483,DX-2838.940,DY-5524.851,DZ5265.422
G2,VX0.01784340,VY0.01194641,VZ0.02140960
G3,XY0.00005994,XZ0.00012724,YZ0.00006543
--GT,PN483,SW2206,ST202345008,EW2206,ET202345008
--HSIG:0.020, VSIG:0.023, STATUS:FIXED, SATS:9, PDOP:1.898, HDOP:1.053, VDOP:1.579
GPS,PN484,LA41.325024158824,LN22.022579785510,EL180.320947,--KL
--GS,PN484,N 4600911.4627,E 587250.1229,EL134.6755,--KL
G0,04/19/2022 08:12:44,Base ID read at rover: 0010
G1,BP0010,PN484,DX-2838.570,DY-5519.575,DZ5262.567
G2,VX0.01825591,VY0.01209879,VZ0.01984322
G3,XY0.00007553,XZ0.00011019,YZ0.00009163
--GT,PN484,SW2206,ST202364009,EW2206,ET202364009
--HSIG:0.019, VSIG:0.023, STATUS:FIXED, SATS:14, PDOP:1.694, HDOP:0.840, VDOP:1.471
GPS,PN485,LA41.325044479500,LN22.022565311378,EL180.574238,--PR
--GS,PN485,N 4600917.6910,E 587246.6929,EL134.9288,--PR
G0,04/19/2022 08:13:01,Base ID read at rover: 0010
G1,BP0010,PN485,DX-2840.989,DY-5524.174,DZ5267.427
G2,VX0.01874712,VY0.01201721,VZ0.01972204
G3,XY0.00007179,XZ0.00010964,YZ0.00009152
--GT,PN485,SW2206,ST202381009,EW2206,ET202381009
--HSIG:0.019, VSIG:0.023, STATUS:FIXED, SATS:14, PDOP:1.454, HDOP:0.742, VDOP:1.251
GPS,PN486,LA41.325049266540,LN22.022568362650,EL180.585826,--PR
--GS,PN486,N 4600919.1763,E 587247.3822,EL134.9404,--PR
G0,04/19/2022 08:13:08,Base ID read at rover: 0010
G1,BP0010,PN486,DX-2842.155,DY-5523.883,DZ5268.540
G2,VX0.01920848,VY0.01208084,VZ0.02015398
G3,XY0.00007464,XZ0.00011913,YZ0.00009401
--GT,PN486,SW2206,ST202388010,EW2206,ET202388010
--HSIG:0.019, VSIG:0.023, STATUS:FIXED, SATS:14, PDOP:1.454, HDOP:0.742, VDOP:1.250
GPS,PN487,LA41.325056276961,LN22.022573886879,EL180.566847,--PR
--GS,PN487,N 4600921.3544,E 587248.6363,EL134.9214,--PR
G0,04/19/2022 08:13:19,Base ID read at rover: 0010
G1,BP0010,PN487,DX-2843.978,DY-5523.240,DZ5270.146
G2,VX0.01908397,VY0.01206601,VZ0.01994011
G3,XY0.00007483,XZ0.00011506,YZ0.00009373
--GT,PN487,SW2206,ST202399010,EW2206,ET202399010
--HSIG:0.019, VSIG:0.023, STATUS:FIXED, SATS:14, PDOP:1.454, HDOP:0.742, VDOP:1.250
GPS,PN488,LA41.325060815319,LN22.022577292400,EL180.581570,--PR
--GS,PN488,N 4600922.7640,E 587249.4086,EL134.9361,--PR
G0,04/19/2022 08:13:30,Base ID read at rover: 0010
G1,BP0010,PN488,DX-2845.125,DY-5522.852,DZ5271.204
G2,VX0.01902339,VY0.01202506,VZ0.01992324
G3,XY0.00007292,XZ0.00011581,YZ0.00009374
--GT,PN488,SW2206,ST202410009,EW2206,ET202410009
--HSIG:0.019, VSIG:0.023, STATUS:FIXED, SATS:13, PDOP:1.501, HDOP:0.772, VDOP:1.287
GPS,PN489,LA41.325069836879,LN22.022584751964,EL180.711372,--PR
--GS,PN489,N 4600925.5679,E 587251.1037,EL135.0659,--PR
G0,04/19/2022 08:13:45,Base ID read at rover: 0010
G1,BP0010,PN489,DX-2847.395,DY-5521.906,DZ5273.373

G2,VX0.01886202,VY0.01176552,VZ0.01947504
G3,XY0.00007241,XZ0.00011285,YZ0.00009048
--GT,PN489,SW2206,ST202425010,EW2206,ET202425010
--HSIG:0.019, VSI:0.023, STATUS:FIXED, SATS:14, PDOP:1.452,
HDOP:0.742, VDOP:1.248
GPS,PN490,LA41.325074497949,LN22.022588160490,EL180.708109,--PR
--GS,PN490,N 4600927.0153,E 587251.8763,EL135.0626,--PR
G0,04/19/2022 08:13:54,Base ID read at rover: 0010
G1,BP0010,PN490,DX-2848.577,DY-5521.533,DZ5274.447
G2,VX0.01881762,VY0.01176855,VZ0.01940037
G3,XY0.00007243,XZ0.00011285,YZ0.00009035
--GT,PN490,SW2206,ST202434010,EW2206,ET202434010
--HSIG:0.019, VSI:0.023, STATUS:FIXED, SATS:14, PDOP:1.482,
HDOP:0.776, VDOP:1.263
GPS,PN491,LA41.325081929073,LN22.022591518157,EL180.770324,--ST
--GS,PN491,N 4600929.3172,E 587252.6267,EL135.1248,--ST
G0,04/19/2022 08:14:09,Base ID read at rover: 0010
G1,BP0010,PN491,DX-2850.236,DY-5521.364,DZ5276.204
G2,VX0.01865419,VY0.01397124,VZ0.02102287
G3,XY0.00008251,XZ0.00012596,YZ0.00013013
--GT,PN491,SW2206,ST202449009,EW2206,ET202449009
--HSIG:0.020, VSI:0.024, STATUS:FIXED, SATS:12, PDOP:1.189,
HDOP:0.632, VDOP:1.007
GPS,PN492,LA41.325090198552,LN22.022600858928,EL180.228360,--
--GS,PN492,N 4600931.8944,E 587254.7606,EL134.5828,--
G0,04/19/2022 08:14:21,Base ID read at rover: 0010
G1,BP0010,PN492,DX-2852.993,DY-5520.145,DZ5277.754
G2,VX0.01950510,VY0.01217227,VZ0.02106312
G3,XY0.00007349,XZ0.00013501,YZ0.00010601
--GT,PN492,SW2206,ST202461009,EW2206,ET202461009
--HSIG:0.020, VSI:0.024, STATUS:FIXED, SATS:13, PDOP:1.500,
HDOP:0.772, VDOP:1.286
GPS,PN493,LA41.325076798072,LN22.022592779924,EL180.558181,--
--GS,PN493,N 4600927.7378,E 587252.9382,EL134.9127,--
G0,04/19/2022 08:14:28,Base ID read at rover: 0010
G1,BP0010,PN493,DX-2849.520,DY-5520.759,DZ5274.879
G2,VX0.01849770,VY0.01346965,VZ0.02173133
G3,XY0.00007962,XZ0.00012489,YZ0.00013483
--GT,PN493,SW2206,ST202468009,EW2206,ET202468009
--HSIG:0.020, VSI:0.024, STATUS:FIXED, SATS:10, PDOP:1.296,
HDOP:0.688, VDOP:1.098
GPS,PN494,LA41.325044654607,LN22.022617382003,EL180.596138,--PR
--GS,PN494,N 4600917.8908,E 587258.7595,EL134.9506,--PR
G0,04/19/2022 08:15:03,Base ID read at rover: 0010
G1,BP0010,PN494,DX-2845.536,DY-5512.995,DZ5267.482
G2,VX0.01817002,VY0.01172192,VZ0.01971166
G3,XY0.00006675,XZ0.00011396,YZ0.00009322
--GT,PN494,SW2206,ST202503009,EW2206,ET202503009
--HSIG:0.019, VSI:0.022, STATUS:FIXED, SATS:13, PDOP:1.448,
HDOP:0.743, VDOP:1.243
GPS,PN495,LA41.325039981003,LN22.022613774741,EL180.600767,--PR
--GS,PN495,N 4600916.4389,E 587257.9409,EL134.9553,--PR
G0,04/19/2022 08:15:10,Base ID read at rover: 0010
G1,BP0010,PN495,DX-2844.333,DY-5513.409,DZ5266.406
G2,VX0.01780353,VY0.01167452,VZ0.01956426
G3,XY0.00006546,XZ0.00011211,YZ0.00009186
--GT,PN495,SW2206,ST202510009,EW2206,ET202510009
--HSIG:0.018, VSI:0.022, STATUS:FIXED, SATS:14, PDOP:1.293,
HDOP:0.688, VDOP:1.095
GPS,PN496,LA41.325034739331,LN22.022609826789,EL180.624638,--PR
--GS,PN496,N 4600914.8108,E 587257.0455,EL134.9791,--PR
G0,04/19/2022 08:15:18,Base ID read at rover: 0010
G1,BP0010,PN496,DX-2842.979,DY-5513.848,DZ5265.211
G2,VX0.01754971,VY0.01148076,VZ0.01935868
G3,XY0.00006464,XZ0.00010906,YZ0.00008931
--GT,PN496,SW2206,ST202518009,EW2206,ET202518009
--HSIG:0.018, VSI:0.022, STATUS:FIXED, SATS:14, PDOP:1.264,
HDOP:0.701, VDOP:1.051
GPS,PN497,LA41.325029831138,LN22.022607413503,EL180.618657,--PR
--GS,PN497,N 4600913.2899,E 587256.5046,EL134.9732,--PR
G0,04/19/2022 08:15:23,Base ID read at rover: 0010
G1,BP0010,PN497,DX-2841.842,DY-5513.992,DZ5264.074
G2,VX0.01746966,VY0.01144825,VZ0.01927147
G3,XY0.00006415,XZ0.00010872,YZ0.00008869
--GT,PN497,SW2206,ST202523009,EW2206,ET202523009
--HSIG:0.018, VSI:0.022, STATUS:FIXED, SATS:14, PDOP:1.292,
HDOP:0.688, VDOP:1.094
GPS,PN498,LA41.324995574069,LN22.022670723423,EL180.337222,--
--GS,PN498,N 4600902.8992,E 587271.3042,EL134.6916,--
G0,04/19/2022 08:15:47,Base ID read at rover: 0010
G1,BP0010,PN498,DX-2841.046,DY-5497.839,DZ5255.978
G2,VX0.01753131,VY0.01166578,VZ0.01990287
G3,XY0.00006433,XZ0.00011003,YZ0.00009506
--GT,PN498,SW2206,ST202547008,EW2206,ET202547008
--HSIG:0.019, VSI:0.022, STATUS:FIXED, SATS:11, PDOP:1.229,
HDOP:0.657, VDOP:1.039
GPS,PN499,LA41.325001985978,LN22.022675327417,EL180.372454,--
--GS,PN499,N 4600904.8901,E 587272.3473,EL134.7269,--
G0,04/19/2022 08:15:53,Base ID read at rover: 0010
G1,BP0010,PN499,DX-2842.638,DY-5497.332,DZ5257.481
G2,VX0.01719346,VY0.01140668,VZ0.01995823
G3,XY0.00006147,XZ0.00010508,YZ0.00009241
--GT,PN499,SW2206,ST202553009,EW2206,ET202553009
--HSIG:0.018, VSI:0.022, STATUS:FIXED, SATS:12, PDOP:1.320,
HDOP:0.741, VDOP:1.092
GPS,PN500,LA41.325005308311,LN22.022668061448,EL180.662144,--PR
--GS,PN500,N 4600905.9451,E 587274.8272,EL135.0165,--PR
G0,04/19/2022 08:16:06,Base ID read at rover: 0010
G1,BP0010,PN500,DX-2844.003,DY-5495.196,DZ5258.441
G2,VX0.01708010,VY0.01136974,VZ0.01960807
G3,XY0.00006102,XZ0.00010777,YZ0.00009313
--GT,PN500,SW2206,ST202566009,EW2206,ET202566009
--HSIG:0.018, VSI:0.022, STATUS:FIXED, SATS:13, PDOP:1.296,
HDOP:0.706, VDOP:1.087
GPS,PN501,LA41.325009569899,LN22.022688980775,EL180.656602,--PR
--GS,PN501,N 4600907.2679,E 587275.4832,EL135.0110,--PR
G0,04/19/2022 08:16:15,Base ID read at rover: 0010
G1,BP0010,PN501,DX-2845.067,DY-5494.902,DZ5259.421
G2,VX0.01690035,VY0.01132376,VZ0.01952214
G3,XY0.00006091,XZ0.00010494,YZ0.00009356
--GT,PN501,SW2206,ST202575009,EW2206,ET202575009
--HSIG:0.018, VSI:0.022, STATUS:FIXED, SATS:14, PDOP:1.295,
HDOP:0.706, VDOP:1.086
GPS,PN502,LA41.325014215206,LN22.022692056315,EL180.657778,--PR
--GS,PN502,N 4600908.7096,E 587276.1786,EL135.0121,--PR
G0,04/19/2022 08:16:22,Base ID read at rover: 0010
G1,BP0010,PN502,DX-2846.215,DY-5494.597,DZ5260.494
G2,VX0.01683547,VY0.01127754,VZ0.01949583
G3,XY0.00006047,XZ0.00010529,YZ0.00009298
--GT,PN502,SW2206,ST202582009,EW2206,ET202582009
--HSIG:0.018, VSI:0.022, STATUS:FIXED, SATS:14, PDOP:1.295,
HDOP:0.706, VDOP:1.086
GPS,PN503,LA41.325010039319,LN22.022716203873,EL180.564334,--SE
--GS,PN503,N 4600907.4889,E 587281.7904,EL134.9186,--SE
G0,04/19/2022 08:16:48,Base ID read at rover: 0010
G1,BP0010,PN503,DX-2847.588,DY-5489.115,DZ5259.468
G2,VX0.01888289,VY0.01128821,VZ0.01882362
G3,XY0.00003999,XZ0.00010034,YZ0.00008650
--GT,PN503,SW2206,ST202608008,EW2206,ET202608008
--HSIG:0.019, VSI:0.022, STATUS:FIXED, SATS:11, PDOP:1.499,
HDOP:0.834, VDOP:1.245
GPS,PN504,LA41.324986635028,LN22.022711495433,EL180.348185,--EL
--GS,PN504,N 4600900.2558,E 587280.7864,EL134.7025,--EL
G0,04/19/2022 08:17:14,Base ID read at rover: 0010
G1,BP0010,PN504,DX-2842.889,DY-5488.390,DZ5253.921
G2,VX0.01690151,VY0.01121153,VZ0.02031477
G3,XY0.00005975,XZ0.00011210,YZ0.00010326
--GT,PN504,SW2206,ST202634009,EW2206,ET202634009
--HSIG:0.018, VSI:0.022, STATUS:FIXED, SATS:13, PDOP:1.456,
HDOP:0.791, VDOP:1.222
GPS,PN505,LA41.324978451882,LN22.022713193269,EL180.232276,--EL
--GS,PN505,N 4600897.7361,E 587281.2104,EL134.5866,--EL
G0,04/19/2022 08:17:20,Base ID read at rover: 0010
G1,BP0010,PN505,DX-2841.565,DY-5487.430,DZ5251.954
G2,VX0.01811676,VY0.01584800,VZ0.02366312
G3,XY0.00010320,XZ0.00015503,YZ0.00019177
--GT,PN505,SW2206,ST202640007,EW2206,ET202640007
--HSIG:0.021, VSI:0.026, STATUS:FIXED, SATS:8, PDOP:2.546,
HDOP:1.432, VDOP:2.105
GPS,PN506,LA41.324980230827,LN22.022740281337,EL180.516422,--ST
--GS,PN506,N 4600898.3607,E 587287.4814,EL134.8707,--ST
G0,04/19/2022 08:17:42,Base ID read at rover: 0010
G1,BP0010,PN506,DX-2844.062,DY-5481.667,DZ5252.554
G2,VX0.01828578,VY0.01131638,VZ0.02027874
G3,XY0.00005730,XZ0.00010487,YZ0.00010301
--GT,PN506,SW2206,ST202662009,EW2206,ET202662009
--HSIG:0.019, VSI:0.023, STATUS:FIXED, SATS:11, PDOP:1.649,
HDOP:0.861, VDOP:1.406
GPS,PN507,LA41.324987873859,LN22.022741158722,EL180.673951,--PR
--GS,PN507,N 4600900.7210,E 587287.6562,EL135.0282,--PR
G0,04/19/2022 08:18:05,Base ID read at rover: 0010
G1,BP0010,PN507,DX-2845.478,DY-5482.021,DZ5254.423
G2,VX0.01728275,VY0.01115266,VZ0.01906405
G3,XY0.00006090,XZ0.00010968,YZ0.00009243
--GT,PN507,SW2206,ST202685009,EW2206,ET202685009
--HSIG:0.018, VSI:0.022, STATUS:FIXED, SATS:13, PDOP:1.492,
HDOP:0.770, VDOP:1.278
GPS,PN508,LA41.324989140928,LN22.022741929369,EL180.671026,--PR
--GS,PN508,N 4600901.1140,E 587287.8301,EL135.0253,--PR
G0,04/19/2022 08:18:10,Base ID read at rover: 0010
G1,BP0010,PN508,DX-2845.788,DY-5481.954,DZ5254.713
G2,VX0.01729823,VY0.01097625,VZ0.01889539
G3,XY0.00005960,XZ0.00010910,YZ0.00008818
--GT,PN508,SW2206,ST202690009,EW2206,ET202690009
--HSIG:0.018, VSI:0.022, STATUS:FIXED, SATS:13, PDOP:1.492,
HDOP:0.770, VDOP:1.277
GPS,PN509,LA41.324992663738,LN22.022744278953,EL180.660883,--PR
--GS,PN509,N 4600902.2074,E 587288.3615,EL135.0152,--PR
G0,04/19/2022 08:18:16,Base ID read at rover: 0010
G1,BP0010,PN509,DX-2846.667,DY-5481.723,DZ5255.520
G2,VX0.01736793,VY0.01101549,VZ0.01881203
G3,XY0.00006057,XZ0.00010978,YZ0.00008978
--GT,PN509,SW2206,ST202696009,EW2206,ET202696009
--HSIG:0.018, VSI:0.022, STATUS:FIXED, SATS:13, PDOP:1.491,
HDOP:0.770, VDOP:1.277
GPS,PN510,LA41.324994140675,LN22.022744690106,EL180.681806,--PR

--GS,PN510,N 4600902.6641,E 587288.4513,EL135.0361,--PR
G0,04/19/2022 08:18:21,Base ID read at rover: 0010
G1,BP0010,PN510,DX-2846.969,DY-5481.742,DZ5255.875
G2,VX0.01740381,VY0.01106919,VZ0.01880189
G3,XY0.00006133,XZ0.00010948,YZ0.00009033
--GT,PN510,SW2206,ST202701010,EW2206,ET202701010
--HSIG:0.018, VSI:0.022, STATUS:FIXED, SATS:14, PDOP:1.491,
HDOP:0.770, VDOP:1.277
GPS,PN511,LA41.325000882831,LN22.022752400699,EL180.691397,--PR
--GS,PN511,N 4600904.7656,E 587290.2131,EL135.0456,--PR
G0,04/19/2022 08:18:30,Base ID read at rover: 0010
G1,BP0010,PN511,DX-2848.912,DY-5480.600,DZ5257.438
G2,VX0.01738802,VY0.01109901,VZ0.01883027
G3,XY0.00006269,XZ0.00011148,YZ0.00009043
--GT,PN511,SW2206,ST202710010,EW2206,ET202710010
--HSIG:0.018, VSI:0.022, STATUS:FIXED, SATS:13, PDOP:1.491,
HDOP:0.770, VDOP:1.276
GPS,PN512,LA41.325005506946,LN22.022756301651,EL180.736163,--PR
--GS,PN512,N 4600906.2030,E 587291.0999,EL135.0904,--PR
G0,04/19/2022 08:18:37,Base ID read at rover: 0010
G1,BP0010,PN512,DX-2850.097,DY-5480.105,DZ5258.536
G2,VX0.01845073,VY0.0112081,VZ0.01884524
G3,XY0.00006009,XZ0.00010915,YZ0.00009061
--GT,PN512,SW2206,ST202717010,EW2206,ET202717010
--HSIG:0.018, VSI:0.022, STATUS:FIXED, SATS:12, PDOP:1.675,
HDOP:0.907, VDOP:1.408
GPS,PN513,LA41.325010260802,LN22.022758239255,EL180.607761,--
--GS,PN513,N 4600907.6750,E 587291.5312,EL134.9620,--
G0,04/19/2022 08:18:49,Base ID read at rover: 0010
G1,BP0010,PN513,DX-2851.256,DY-5480.090,DZ5259.548
G2,VX0.01789596,VY0.01104868,VZ0.01870156
G3,XY0.00005778,XZ0.00010788,YZ0.00008886
--GT,PN513,SW2206,ST202729009,EW2206,ET202729009
--HSIG:0.018, VSI:0.022, STATUS:FIXED, SATS:12, PDOP:1.366,
HDOP:0.731, VDOP:1.154
GPS,PN514,LA41.325023068797,LN22.022761221861,EL180.231031,--
--GS,PN514,N 4600911.6345,E 587292.1746,EL134.5852,--
G0,04/19/2022 08:18:57,Base ID read at rover: 0010
G1,BP0010,PN514,DX-2854.206,DY-5480.538,DZ5262.256
G2,VX0.01715119,VY0.01090579,VZ0.01870535
G3,XY0.00005706,XZ0.00011022,YZ0.00008744
--GT,PN514,SW2206,ST202737009,EW2206,ET202737009
--HSIG:0.017, VSI:0.021, STATUS:FIXED, SATS:13, PDOP:1.588,
HDOP:0.842, VDOP:1.347
GPS,PN515,LA41.324975101985,LN22.022801217789,EL180.695869,--PR
--GS,PN515,N 4600896.9492,E 587301.6225,EL135.0501,--PR
G0,04/19/2022 08:19:33,Base ID read at rover: 0010
G1,BP0010,PN515,DX-2848.265,DY-5468.132,DZ5251.488
G2,VX0.01723262,VY0.01096087,VZ0.01852087
G3,XY0.00005940,XZ0.00011280,YZ0.00008926
--GT,PN515,SW2206,ST202773010,EW2206,ET202773010
--HSIG:0.017, VSI:0.022, STATUS:FIXED, SATS:14, PDOP:1.488,
HDOP:0.770, VDOP:1.273
GPS,PN516,LA41.324970272383,LN22.022797700607,EL180.683761,--PR
--GS,PN516,N 4600895.4494,E 587300.8254,EL135.0380,--PR
G0,04/19/2022 08:20:36,Base ID read at rover: 0010
G1,BP0010,PN516,DX-2847.051,DY-5468.520,DZ5250.365
G2,VX0.01660655,VY0.01056521,VZ0.01770314
G3,XY0.00005552,XZ0.00010748,YZ0.00008114
--GT,PN516,SW2206,ST202836010,EW2206,ET202836010
--HSIG:0.016, VSI:0.021, STATUS:FIXED, SATS:13, PDOP:1.484,
HDOP:0.770, VDOP:1.269
GPS,PN517,LA41.324966509075,LN22.022796366553,EL180.675948,--SKR
--GS,PN517,N 4600894.2848,E 587300.5303,EL135.0302,--SKR
G0,04/19/2022 08:20:48,Base ID read at rover: 0010
G1,BP0010,PN517,DX-2846.227,DY-5468.520,DZ5249.491
G2,VX0.01652912,VY0.01052369,VZ0.01759492
G3,XY0.00005514,XZ0.00010666,YZ0.00008031
--GT,PN517,SW2206,ST202848010,EW2206,ET202848010
--HSIG:0.016, VSI:0.021, STATUS:FIXED, SATS:13, PDOP:1.483,
HDOP:0.770, VDOP:1.268
GPS,PN518,LA41.324962913837,LN22.022779249398,EL180.328803,--KL
--GS,PN518,N 4600893.1277,E 587296.5768,EL134.6830,--KL
G0,04/19/2022 08:21:00,Base ID read at rover: 0010
G1,BP0010,PN518,DX-2844.297,DY-5472.019,DZ5248.431
G2,VX0.01670295,VY0.01120587,VZ0.01819300
G3,XY0.00006605,XZ0.00011280,YZ0.00009382
--GT,PN518,SW2206,ST202860009,EW2206,ET202860009
--HSIG:0.017, VSI:0.021, STATUS:FIXED, SATS:10, PDOP:1.964,
HDOP:0.968, VDOP:1.709
GPS,PN519,LA41.324921268766,LN22.022873556210,EL179.959740,--
--GS,PN519,N 4600880.5448,E 587318.5876,EL134.3138,--
G0,04/19/2022 08:21:34,Base ID read at rover: 0010
G1,BP0010,PN519,DX-2844.857,DY-5448.664,DZ5238.570
G2,VX0.01655380,VY0.01094402,VZ0.01843065
G3,XY0.00006323,XZ0.00011554,YZ0.00009111
--GT,PN519,SW2206,ST202894008,EW2206,ET202894008
--HSIG:0.017, VSI:0.021, STATUS:FIXED, SATS:10, PDOP:1.667,
HDOP:0.864, VDOP:1.426
GPS,PN520,LA41.324937193503,LN22.022876482631,EL180.164011,--
--GS,PN520,N 4600885.4656,E 587319.2064,EL134.5181,--
G0,04/19/2022 08:21:42,Base ID read at rover: 0010
G1,BP0010,PN520,DX-2847.990,DY-5449.201,DZ5242.383

G2,VX0.01655362,VY0.01090848,VZ0.01842484
G3,XY0.00006451,XZ0.00011691,YZ0.00008965
--GT,PN520,SW2206,ST202902009,EW2206,ET202902009
--HSIG:0.017, VSI:0.021, STATUS:FIXED, SATS:11, PDOP:1.776,
HDOP:0.900, VDOP:1.531
GPS,PN521,LA41.324947477589,LN22.022871964136,EL180.702520,--PR
--GS,PN521,N 4600888.6255,E 587318.1209,EL135.0566,--PR
G0,04/19/2022 08:21:59,Base ID read at rover: 0010
G1,BP0010,PN521,DX-2849.174,DY-5450.810,DZ5245.114
G2,VX0.01618207,VY0.01043960,VZ0.01829340
G3,XY0.00005490,XZ0.00010956,YZ0.00008521
--GT,PN521,SW2206,ST202919009,EW2206,ET202919009
--HSIG:0.016, VSI:0.021, STATUS:FIXED, SATS:12, PDOP:1.776,
HDOP:0.900, VDOP:1.532
GPS,PN522,LA41.324951933140,LN22.022874895624,EL180.703440,--PR
--GS,PN522,N 4600890.0082,E 587318.7837,EL135.0575,--PR
G0,04/19/2022 08:22:07,Base ID read at rover: 0010
G1,BP0010,PN522,DX-2850.273,DY-5450.522,DZ5246.144
G2,VX0.01619142,VY0.01043594,VZ0.01833584
G3,XY0.00005481,XZ0.00011063,YZ0.00008572
--GT,PN522,SW2206,ST202927009,EW2206,ET202927009
--HSIG:0.016, VSI:0.021, STATUS:FIXED, SATS:12, PDOP:1.670,
HDOP:0.864, VDOP:1.429
GPS,PN523,LA41.324956293014,LN22.022877612458,EL180.692926,--PR
--GS,PN523,N 4600891.3608,E 587319.3970,EL135.0470,--PR
G0,04/19/2022 08:22:13,Base ID read at rover: 0010
G1,BP0010,PN523,DX-2851.344,DY-5450.276,DZ5247.143
G2,VX0.01620495,VY0.01043022,VZ0.01836470
G3,XY0.00005476,XZ0.00011158,YZ0.00008604
--GT,PN523,SW2206,ST202933009,EW2206,ET202933009
--HSIG:0.016, VSI:0.021, STATUS:FIXED, SATS:12, PDOP:1.670,
HDOP:0.864, VDOP:1.429
GPS,PN524,LA41.324953439993,LN22.022934796884,EL180.035221,--
--GS,PN524,N 4600890.6409,E 587332.6601,EL134.3892,--
G0,04/19/2022 08:22:35,Base ID read at rover: 0010
G1,BP0010,PN524,DX-2856.233,DY-5437.957,DZ5246.048
G2,VX0.01737735,VY0.01063214,VZ0.01874432
G3,XY0.00005169,XZ0.00010962,YZ0.00009514
--GT,PN524,SW2206,ST202955009,EW2206,ET202955009
--HSIG:0.017, VSI:0.022, STATUS:FIXED, SATS:11, PDOP:1.850,
HDOP:1.008, VDOP:1.551
GPS,PN525,LA41.324942593914,LN22.022929772873,EL180.048257,--
--GS,PN525,N 4600887.2809,E 587331.5363,EL134.4022,--
G0,04/19/2022 08:22:42,Base ID read at rover: 0010
G1,BP0010,PN525,DX-2853.730,DY-5438.200,DZ5243.553
G2,VX0.01634526,VY0.01060160,VZ0.01886753
G3,XY0.00005277,XZ0.00011519,YZ0.00009598
--GT,PN525,SW2206,ST202962009,EW2206,ET202962009
--HSIG:0.017, VSI:0.021, STATUS:FIXED, SATS:10, PDOP:1.672,
HDOP:0.865, VDOP:1.431
GPS,PN526,LA41.324944795512,LN22.022925616895,EL180.412819,--ST
--GS,PN526,N 4600887.9484,E 587330.5649,EL134.7668,--ST
G0,04/19/2022 08:22:55,Base ID read at rover: 0010
G1,BP0010,PN526,DX-2853.533,DY-5439.159,DZ5244.303
G2,VX0.01692170,VY0.01125116,VZ0.01928893
G3,XY0.00006237,XZ0.00012558,YZ0.00010576
--GT,PN526,SW2206,ST202975009,EW2206,ET202975009
--HSIG:0.017, VSI:0.022, STATUS:FIXED, SATS:10, PDOP:1.986,
HDOP:0.973, VDOP:1.731
GPS,PN527,LA41.324938467745,LN22.022921044123,EL180.699967,--PR
--GS,PN527,N 4600885.9835,E 587329.5288,EL135.0540,--PR
G0,04/19/2022 08:23:07,Base ID read at rover: 0010
G1,BP0010,PN527,DX-2851.736,DY-5439.575,DZ5243.032
G2,VX0.01658859,VY0.01192721,VZ0.01978967
G3,XY0.00006086,XZ0.00012621,YZ0.00012091
--GT,PN527,SW2206,ST202987009,EW2206,ET202987009
--HSIG:0.018, VSI:0.022, STATUS:FIXED, SATS:10, PDOP:1.837,
HDOP:1.005, VDOP:1.537
GPS,PN528,LA41.324937197184,LN22.022919877900,EL180.720241,--PR
--GS,PN528,N 4600885.5883,E 587329.2633,EL135.0742,--PR
G0,04/19/2022 08:23:14,Base ID read at rover: 0010
G1,BP0010,PN528,DX-2851.379,DY-5439.722,DZ5242.752
G2,VX0.01656721,VY0.01060094,VZ0.01879896
G3,XY0.00005452,XZ0.00011844,YZ0.00009592
--GT,PN528,SW2206,ST202994010,EW2206,ET202994010
--HSIG:0.017, VSI:0.022, STATUS:FIXED, SATS:12, PDOP:1.809,
HDOP:0.981, VDOP:1.520
GPS,PN529,LA41.324933841404,LN22.022917567919,EL180.715546,--PR
--GS,PN529,N 4600884.5466,E 587328.7404,EL135.0695,--PR
G0,04/19/2022 08:23:24,Base ID read at rover: 0010
G1,BP0010,PN529,DX-2850.545,DY-5439.962,DZ5241.974
G2,VX0.01655990,VY0.01065105,VZ0.01896223
G3,XY0.00005514,XZ0.00012111,YZ0.00009715
--GT,PN529,SW2206,ST203004009,EW2206,ET203004009
--HSIG:0.017, VSI:0.022, STATUS:FIXED, SATS:12, PDOP:1.675,
HDOP:0.865, VDOP:1.434
GPS,PN530,LA41.324932361685,LN22.022916657837,EL180.715671,--PR
--GS,PN530,N 4600884.0876,E 587328.5350,EL135.0697,--PR
G0,04/19/2022 08:23:30,Base ID read at rover: 0010
G1,BP0010,PN530,DX-2850.185,DY-5440.044,DZ5241.633
G2,VX0.01659495,VY0.01067384,VZ0.01903073
G3,XY0.00005555,XZ0.00012220,YZ0.00009765
--GT,PN530,SW2206,ST203010009,EW2206,ET203010009

--HSIG:0.017, VSIG:0.022, STATUS:FIXED, SATS:12, PDOP:1.675, HDOP:0.865, VDOP:1.435
GPS,PN531,LA41.324926844926,LN22.022912373241,EL180.587547,--ST
--GS,PN531,N 4600882.3737,E 5873277.5627,EL134.9416,--ST
G0,04/19/2022 08:23:50,Base ID read at rover: 0010
G1,BP0010,PN531,DX-2848.855,DY-5440.577,DZ5240.274
G2,VX0.01747326,VY0.01062596,YZ0.01928622
G3,XY0.00005463,XZ0.00012409,YZ0.00009705
--GT,PN531,SW2206,ST203030009,EW2206,ET203030009
--HSIG:0.017, VSIG:0.022, STATUS:FIXED, SATS:11, PDOP:1.861, HDOP:1.007, VDOP:1.565
GPS,PN532,LA41.324913035862,LN22.022906257920,EL180.136210,--
--GS,PN532,N 4600878.0966,E 587326.1969,EL134.4903,--
G0,04/19/2022 08:24:00,Base ID read at rover: 0010
G1,BP0010,PN532,DX-2846.017,DY-5440.957,DZ5236.786
G2,VX0.01726294,VY0.01080331,YZ0.02038927
G3,XY0.00005327,XZ0.00013233,YZ0.00010076
--GT,PN532,SW2206,ST203040008,EW2206,ET203040008
--HSIG:0.018, VSIG:0.023, STATUS:FIXED, SATS:9, PDOP:2.025, HDOP:1.177, VDOP:1.647
GPS,PN533,LA41.324903939186,LN22.022951268634,EL180.429129,--KL
--GS,PN533,N 4600875.4165,E 587336.6621,EL134.7831,--KL
G0,04/19/2022 08:24:20,Base ID read at rover: 0010
G1,BP0010,PN533,DX-2848.004,DY-5430.506,DZ5234.880
G2,VX0.01738406,VY0.01108906,YZ0.02148876
G3,XY0.00006236,XZ0.00014712,YZ0.00012057
--GT,PN533,SW2206,ST203060009,EW2206,ET203060009
--HSIG:0.018, VSIG:0.024, STATUS:FIXED, SATS:11, PDOP:1.781, HDOP:0.921, VDOP:1.524
GPS,PN534,LA41.324906827357,LN22.022974078694,EL180.742016,--SKR
--GS,PN534,N 4600876.3714,E 587341.9375,EL135.0959,--SKR
G0,04/19/2022 08:24:39,Base ID read at rover: 0010
G1,BP0010,PN534,DX-2850.318,DY-5425.740,DZ5235.754
G2,VX0.01718763,VY0.01095101,YZ0.02060312
G3,XY0.00006086,XZ0.00014003,YZ0.00011361
--GT,PN534,SW2206,ST203079010,EW2206,ET203079010
--HSIG:0.018, VSIG:0.023, STATUS:FIXED, SATS:12, PDOP:1.488, HDOP:0.839, VDOP:1.229
GPS,PN535,LA41.324910018225,LN22.022976536453,EL180.725477,--PR
--GS,PN535,N 4600877.3626,E 587342.4952,EL135.0794,--PR
G0,04/19/2022 08:24:53,Base ID read at rover: 0010
G1,BP0010,PN535,DX-2851.149,DY-5425.462,DZ5236.480
G2,VX0.01707359,VY0.01089459,YZ0.02036183
G3,XY0.00006023,XZ0.00013807,YZ0.00011107
--GT,PN535,SW2206,ST203093010,EW2206,ET203093010
--HSIG:0.017, VSIG:0.023, STATUS:FIXED, SATS:13, PDOP:1.680, HDOP:0.867, VDOP:1.439
GPS,PN536,LA41.324914764421,LN22.022979911516,EL180.729393,--PR
--GS,PN536,N 4600878.8362,E 587343.2597,EL135.0833,--PR
G0,04/19/2022 08:24:58,Base ID read at rover: 0010
G1,BP0010,PN536,DX-2852.340,DY-5425.100,DZ5237.579
G2,VX0.01705479,VY0.01088102,YZ0.02029726
G3,XY0.00006008,XZ0.00013793,YZ0.00011030
--GT,PN536,SW2206,ST203098009,EW2206,ET203098009
--HSIG:0.017, VSIG:0.023, STATUS:FIXED, SATS:12, PDOP:1.487, HDOP:0.839, VDOP:1.228
GPS,PN537,LA41.324877630329,LN22.023104289903,EL180.031579,--
--GS,PN537,N 4600867.7293,E 587372.2229,EL134.3853,--
G0,04/19/2022 08:25:52,Base ID read at rover: 0010
G1,BP0010,PN537,DX-2856.599,DY-5395.724,DZ5228.542
G2,VX0.01679933,VY0.01072795,YZ0.01967054
G3,XY0.00005882,XZ0.00013639,YZ0.00010563
--GT,PN537,SW2206,ST203152009,EW2206,ET203152009
--HSIG:0.017, VSIG:0.022, STATUS:FIXED, SATS:12, PDOP:2.089, HDOP:1.019, VDOP:1.824
GPS,PN538,LA41.324872215004,LN22.023103559480,EL180.396608,--ST
--GS,PN538,N 4600866.0567,E 587371.0739,EL134.7503,--ST
G0,04/19/2022 08:26:11,Base ID read at rover: 0010
G1,BP0010,PN538,DX-2855.255,DY-5395.362,DZ5227.533
G2,VX0.01692324,VY0.01071612,YZ0.01959366
G3,XY0.00005775,XZ0.00013741,YZ0.00010403
--GT,PN538,SW2206,ST203171009,EW2206,ET203171009
--HSIG:0.017, VSIG:0.022, STATUS:FIXED, SATS:12, PDOP:1.841, HDOP:0.890, VDOP:1.611
GPS,PN539,LA41.324871696524,LN22.023099689779,EL180.273208,--
--GS,PN539,N 4600865.8859,E 587371.1790,EL134.6269,--
G0,04/19/2022 08:26:19,Base ID read at rover: 0010
G1,BP0010,PN539,DX-2854.906,DY-5396.188,DZ5227.332
G2,VX0.01678736,VY0.01032454,YZ0.01932401
G3,XY0.00005356,XZ0.00013195,YZ0.00009583
--GT,PN539,SW2206,ST203179010,EW2206,ET203179010
--HSIG:0.017, VSIG:0.022, STATUS:FIXED, SATS:12, PDOP:1.685, HDOP:0.868, VDOP:1.444
GPS,PN540,LA41.324866969225,LN22.023096189845,EL180.602253,--PR
--GS,PN540,N 4600864.4177,E 587370.3855,EL134.9560,--PR
G0,04/19/2022 08:26:35,Base ID read at rover: 0010
G1,BP0010,PN540,DX-2853.477,DY-5396.485,DZ5226.458
G2,VX0.01663518,VY0.01027929,YZ0.01928946
G3,XY0.00005445,XZ0.00013257,YZ0.00009597
--GT,PN540,SW2206,ST203195010,EW2206,ET203195010
--HSIG:0.016, VSIG:0.022, STATUS:FIXED, SATS:12, PDOP:1.686, HDOP:0.869, VDOP:1.445
GPS,PN541,LA41.324862343063,LN22.023092742509,EL180.575043,--PR

--GS,PN541,N 4600862.9809,E 587369.6039,EL134.9288,--PR
G0,04/19/2022 08:26:43,Base ID read at rover: 0010
G1,BP0010,PN541,DX-2852.318,DY-5396.878,DZ5225.372
G2,VX0.01673002,VY0.01034584,YZ0.01931338
G3,XY0.00005544,XZ0.00013479,YZ0.00009683
--GT,PN541,SW2206,ST203203010,EW2206,ET203203010
--HSIG:0.016, VSIG:0.022, STATUS:FIXED, SATS:13, PDOP:1.686, HDOP:0.869, VDOP:1.445
GPS,PN542,LA41.324857376451,LN22.023088934607,EL180.193298,--
--GS,PN542,N 4600861.4381,E 587368.7399,EL134.5470,--
G0,04/19/2022 08:26:53,Base ID read at rover: 0010
G1,BP0010,PN542,DX-2851.310,DY-5397.422,DZ5223.972
G2,VX0.01674188,VY0.01040690,YZ0.01932484
G3,XY0.00005604,XZ0.00013549,YZ0.00009767
--GT,PN542,SW2206,ST203213010,EW2206,ET203213010
--HSIG:0.016, VSIG:0.022, STATUS:FIXED, SATS:13, PDOP:1.686, HDOP:0.869, VDOP:1.445
GPS,PN543,LA41.324817897552,LN22.023172587612,EL180.097279,--
--GS,PN543,N 4600849.4937,E 587388.2739,EL134.4509,--
G0,04/19/2022 08:27:21,Base ID read at rover: 0010
G1,BP0010,PN543,DX-2851.165,DY-5376.446,DZ5214.793
G2,VX0.01679771,VY0.01050399,YZ0.01945980
G3,XY0.00005845,XZ0.00013869,YZ0.00010098
--GT,PN543,SW2206,ST203241009,EW2206,ET203241009
--HSIG:0.016, VSIG:0.022, STATUS:FIXED, SATS:12, PDOP:1.688, HDOP:0.869, VDOP:1.447
GPS,PN544,LA41.324822137400,LN22.023175542072,EL180.167676,--
--GS,PN544,N 4600850.8100,E 587388.9427,EL134.4509,--
G0,04/19/2022 08:27:26,Base ID read at rover: 0010
G1,BP0010,PN544,DX-2852.177,DY-5376.117,DZ5215.818
G2,VX0.01680869,VY0.01051637,YZ0.01946953
G3,XY0.00005858,XZ0.00013957,YZ0.00010113
--GT,PN544,SW2206,ST203246008,EW2206,ET203246008
--HSIG:0.016, VSIG:0.022, STATUS:FIXED, SATS:12, PDOP:1.479, HDOP:0.839, VDOP:1.218
GPS,PN545,LA41.324826587956,LN22.023178484351,EL180.552714,--PR
--GS,PN545,N 4600852.1912,E 587389.6080,EL134.9063,--PR
G0,04/19/2022 08:27:37,Base ID read at rover: 0010
G1,BP0010,PN545,DX-2853.010,DY-5375.718,DZ5217.101
G2,VX0.01674638,VY0.01051547,YZ0.01937054
G3,XY0.00005837,XZ0.00013851,YZ0.00010056
--GT,PN545,SW2206,ST203257009,EW2206,ET203257009
--HSIG:0.016, VSIG:0.022, STATUS:FIXED, SATS:12, PDOP:1.688, HDOP:0.870, VDOP:1.447
GPS,PN546,LA41.324831226399,LN22.023182265977,EL180.594254,--PR
--GS,PN546,N 4600853.6327,E 587390.4671,EL134.9478,--PR
G0,04/19/2022 08:27:43,Base ID read at rover: 0010
G1,BP0010,PN546,DX-2854.190,DY-5375.250,DZ5218.200
G2,VX0.01673932,VY0.01051756,YZ0.01935319
G3,XY0.00005836,XZ0.00013883,YZ0.00010043
--GT,PN546,SW2206,ST203263009,EW2206,ET203263009
--HSIG:0.016, VSIG:0.022, STATUS:FIXED, SATS:12, PDOP:1.478, HDOP:0.840, VDOP:1.217
GPS,PN547,LA41.324835071366,LN22.023185935304,EL180.130569,--
--GS,PN547,N 4600854.8291,E 587391.3031,EL134.4841,--
G0,04/19/2022 08:27:55,Base ID read at rover: 0010
G1,BP0010,PN547,DX-2855.560,DY-5374.888,DZ5218.780
G2,VX0.01672241,VY0.01052118,YZ0.01930579
G3,XY0.00005834,XZ0.00013913,YZ0.00010013
--GT,PN547,SW2206,ST203275009,EW2206,ET203275009
--HSIG:0.016, VSIG:0.022, STATUS:FIXED, SATS:12, PDOP:1.689, HDOP:0.870, VDOP:1.448
GPS,PN548,LA41.324843595743,LN22.023190844759,EL179.959524,--
--GS,PN548,N 4600857.4726,E 587392.4090,EL134.3131,--
G0,04/19/2022 08:28:00,Base ID read at rover: 0010
G1,BP0010,PN548,DX-2857.723,DY-5374.536,DZ5220.635
G2,VX0.01662781,VY0.01019684,YZ0.01793899
G3,XY0.00005496,XZ0.00012938,YZ0.00008190
--GT,PN548,SW2206,ST203280009,EW2206,ET203280009
--HSIG:0.016, VSIG:0.021, STATUS:FIXED, SATS:13, PDOP:1.514, HDOP:0.772, VDOP:1.302
GPS,PN549,LA41.324799390859,LN22.023295156545,EL180.135406,--
--GS,PN549,N 4600844.1283,E 587416.7484,EL134.4888,--
G0,04/19/2022 08:28:26,Base ID read at rover: 0010
G1,BP0010,PN549,DX-2858.290,DY-5348.682,DZ5210.545
G2,VX0.01754112,VY0.01027249,YZ0.01891911
G3,XY0.00004327,XZ0.00015692,YZ0.00006409
--GT,PN549,SW2206,ST203306009,EW2206,ET203306009
--HSIG:0.016, VSIG:0.022, STATUS:FIXED, SATS:11, PDOP:1.695, HDOP:0.899, VDOP:1.436
GPS,PN550,LA41.324792833445,LN22.023286813790,EL180.231152,--
--GS,PN550,N 4600842.0820,E 587414.8394,EL134.5846,--
G0,04/19/2022 08:28:32,Base ID read at rover: 0010
G1,BP0010,PN550,DX-2856.254,DY-5349.944,DZ5209.094
G2,VX0.01675144,VY0.01018393,YZ0.01766506
G3,XY0.00005379,XZ0.00012803,YZ0.00007899
--GT,PN550,SW2206,ST203312009,EW2206,ET203312009
--HSIG:0.016, VSIG:0.021, STATUS:FIXED, SATS:12, PDOP:1.515, HDOP:0.772, VDOP:1.303
GPS,PN551,LA41.324792031977,LN22.023292111461,EL180.430228,--ST
--GS,PN551,N 4600841.8496,E 587416.0702,EL134.7836,--ST
G0,04/19/2022 08:28:42,Base ID read at rover: 0010
G1,BP0010,PN551,DX-2856.425,DY-5348.688,DZ5209.041

G2,VX0.01703622,VY0.01030558,VZ0.01836322
G3,XY0.00005254,XZ0.00013189,YZ0.00008383
--GT,PN551,SW2206,ST203322008,EW2206,ET203322008
--HSIG:0.016, VSI:0.022, STATUS:FIXED, SATS:10, PDOP:1.797,
HDOP:1.041, VDOP:1.465
GPS,PN552,LA41.324786755438,LN22.023285819239,EL180.668350,--PR
--GS,PN552,N 4600840.2042,E 587414.6316,EL135.0218,--PR
G0,04/19/2022 08:28:56,Base ID read at rover: 0010
G1,BP0010,PN552,DX-2854.712,DY-5349.568,DZ5207.981
G2,VX0.01915639,VY0.01058586,VZ0.01980370
G3,XY0.00002762,XZ0.00016315,YZ0.00007979
--GT,PN552,SW2206,ST203336008,EW2206,ET203336008
--HSIG:0.018, VSI:0.023, STATUS:FIXED, SATS:8, PDOP:2.130,
HDOP:1.151, VDOP:1.792
GPS,PN553,LA41.324782077880,LN22.023282258806,EL180.638843,--PR
--GS,PN553,N 4600838.7512,E 587413.8240,EL134.9923,--PR
G0,04/19/2022 08:29:04,Base ID read at rover: 0010
G1,BP0010,PN553,DX-2853.535,DY-5349.982,DZ5206.881
G2,VX0.01869606,VY0.00994226,VZ0.01730005
G3,XY0.00004897,XZ0.00012670,YZ0.00007489
--GT,PN553,SW2206,ST203344010,EW2206,ET203344010
--HSIG:0.017, VSI:0.022, STATUS:FIXED, SATS:12, PDOP:1.458,
HDOP:0.824, VDOP:1.203
GPS,PN554,LA41.324776464322,LN22.023279148110,EL180.098463,--
--GS,PN554,N 4600837.0108,E 587413.1240,EL134.4519,--
G0,04/19/2022 08:29:14,Base ID read at rover: 0010
G1,BP0010,PN554,DX-2852.575,DY-5350.371,DZ5205.226
G2,VX0.01650788,VY0.01009187,VZ0.01782047
G3,XY0.00005052,XZ0.00012314,YZ0.00008176
--GT,PN554,SW2206,ST203354009,EW2206,ET203354009
--HSIG:0.016, VSI:0.021, STATUS:FIXED, SATS:12, PDOP:1.346,
HDOP:0.735, VDOP:1.128
GPS,PN555,LA41.324756885287,LN22.023323236117,EL180.181544,--
--GS,PN555,N 4600831.0945,E 587423.4140,EL134.5349,--
G0,04/19/2022 08:29:39,Base ID read at rover: 0010
G1,BP0010,PN555,DX-2852.638,DY-5339.373,DZ5200.761
G2,VX0.01655268,VY0.01000399,VZ0.01731086
G3,XY0.00005136,XZ0.00012523,YZ0.00007737
--GT,PN555,SW2206,ST203379009,EW2206,ET203379009
--HSIG:0.015, VSI:0.021, STATUS:FIXED, SATS:13, PDOP:1.517,
HDOP:0.773, VDOP:1.306
GPS,PN556,LA41.324762084346,LN22.023327432357,EL180.650539,--PR
--GS,PN556,N 4600832.7101,E 587424.3676,EL135.0039,--PR
G0,04/19/2022 08:29:52,Base ID read at rover: 0010
G1,BP0010,PN556,DX-2853.664,DY-5338.739,DZ5202.272
G2,VX0.01649123,VY0.00989384,VZ0.01719949
G3,XY0.00005093,XZ0.00012416,YZ0.00007563
--GT,PN556,SW2206,ST203392010,EW2206,ET203392010
--HSIG:0.015, VSI:0.021, STATUS:FIXED, SATS:14, PDOP:1.345,
HDOP:0.735, VDOP:1.126
GPS,PN557,LA41.324766825404,LN22.023331816283,EL180.716785,--PR
--GS,PN557,N 4600834.1850,E 587425.3659,EL135.0701,--PR
G0,04/19/2022 08:30:05,Base ID read at rover: 0010
G1,BP0010,PN557,DX-2854.899,DY-5338.142,DZ5203.411
G2,VX0.01644538,VY0.00989560,VZ0.01705187
G3,XY0.00005106,XZ0.00012323,YZ0.00007480
--GT,PN557,SW2206,ST203405009,EW2206,ET203405009
--HSIG:0.015, VSI:0.021, STATUS:FIXED, SATS:13, PDOP:1.518,
HDOP:0.773, VDOP:1.307
GPS,PN558,LA41.324772470724,LN22.023338219894,EL179.963832,--
--GS,PN558,N 4600835.9445,E 587426.8289,EL134.3172,--
G0,04/19/2022 08:30:18,Base ID read at rover: 0010
G1,BP0010,PN558,DX-2857.049,DY-5337.412,DZ5204.215
G2,VX0.01631839,VY0.00990422,VZ0.01703560
G3,XY0.00005124,XZ0.00012349,YZ0.00007460
--GT,PN558,SW2206,ST203418009,EW2206,ET203418009
--HSIG:0.015, VSI:0.021, STATUS:FIXED, SATS:13, PDOP:1.774,
HDOP:0.902, VDOP:1.528
GPS,PN559,LA41.325208956772,LN22.02222983786,EL181.000436,--PE
--GS,PN559,N 4600967.4729,E 587166.7467,EL135.3555,--PE
G0,04/19/2022 08:35:28,Base ID read at rover: 0010
G1,BP0010,PN559,DX-2842.117,DY-5610.227,DZ5305.687
G2,VX0.01704913,VY0.01068310,VZ0.01986139
G3,XY0.00005621,XZ0.00015973,YZ0.00011010
--GT,PN559,SW2206,ST203728009,EW2206,ET203728009
--HSIG:0.016, VSI:0.023, STATUS:FIXED, SATS:13, PDOP:1.591,
HDOP:0.860, VDOP:1.338
GPS,PN560,LA41.325213008066,LN22.022225982765,EL180.979122,--PE
--GS,PN560,N 4600968.7311,E 587167.4266,EL135.3342,--PE
G0,04/19/2022 08:35:34,Base ID read at rover: 0010
G1,BP0010,PN560,DX-2843.161,DY-5609.900,DZ5306.609
G2,VX0.01700727,VY0.01064691,VZ0.01983716
G3,XY0.00005545,XZ0.00015917,YZ0.00010928
--GT,PN560,SW2206,ST203734009,EW2206,ET203734009
--HSIG:0.016, VSI:0.023, STATUS:FIXED, SATS:13, PDOP:1.591,
HDOP:0.860, VDOP:1.338
GPS,PN561,LA41.325243122673,LN22.022153111573,EL180.938605,--PE
--GS,PN561,N 4600977.8174,E 587150.4268,EL135.2938,--PE
G0,04/19/2022 08:35:54,Base ID read at rover: 0010
G1,BP0010,PN561,DX-2842.564,DY-5627.879,DZ5313.535
G2,VX0.01703770,VY0.01065325,VZ0.01974468
G3,XY0.00005607,XZ0.00016093,YZ0.00010974
--GT,PN561,SW2206,ST203754010,EW2206,ET203754010

--HSIG:0.016, VSI:0.023, STATUS:FIXED, SATS:13, PDOP:2.171,
HDOP:1.043, VDOP:1.904
GPS,PN562,LA41.325238971614,LN22.022149055982,EL180.941562,--PE
--GS,PN562,N 4600976.5255,E 587149.5024,EL135.2967,--PE
G0,04/19/2022 08:36:01,Base ID read at rover: 0010
G1,BP0010,PN562,DX-2841.421,DY-5628.430,DZ5312.579
G2,VX0.01699282,VY0.01061691,VZ0.01972866
G3,XY0.00005568,XZ0.00016066,YZ0.00010928
--GT,PN562,SW2206,ST203761009,EW2206,ET203761009
--HSIG:0.016, VSI:0.023, STATUS:FIXED, SATS:13, PDOP:1.592,
HDOP:0.861, VDOP:1.340
GPS,PN563,LA41.325306694577,LN22.021997184978,EL180.916754,--PE
--GS,PN563,N 4600996.9928,E 587114.0549,EL135.2722,--PE
G0,04/19/2022 08:36:40,Base ID read at rover: 0010
G1,BP0010,PN563,DX-2841.076,DY-5666.264,DZ5328.199
G2,VX0.01835586,VY0.01209053,VZ0.01854702
G3,XY0.00009550,XZ0.00018899,YZ0.00011721
--GT,PN563,SW2206,ST203800009,EW2206,ET203800009
--HSIG:0.016, VSI:0.024, STATUS:FIXED, SATS:11, PDOP:1.694,
HDOP:0.878, VDOP:1.449
GPS,PN564,LA41.325302599468,LN22.021994324274,EL180.951598,--PE
--GS,PN564,N 4600995.7215,E 587113.4071,EL135.3070,--PE
G0,04/19/2022 08:36:45,Base ID read at rover: 0010
G1,BP0010,PN564,DX-2840.026,DY-5666.555,DZ5327.277
G2,VX0.01695549,VY0.00996878,VZ0.01734742
G3,XY0.00005046,XZ0.00014818,YZ0.00007476
--GT,PN564,SW2206,ST203805009,EW2206,ET203805009
--HSIG:0.015, VSI:0.022, STATUS:FIXED, SATS:14, PDOP:1.429,
HDOP:0.744, VDOP:1.220
GPS,PN565,LA41.325247479151,LN22.022029606239,EL180.784388,--KL
--GS,PN565,N 4600978.8160,E 587121.7887,EL135.1398,--KL
G0,04/19/2022 08:38:18,Base ID read at rover: 0010
G1,BP0010,PN565,DX-2832.756,DY-5654.790,DZ5314.439
G2,VX0.01697034,VY0.01062555,VZ0.02068830
G3,XY0.00005978,XZ0.00015894,YZ0.00011460
--GT,PN565,SW2206,ST203898008,EW2206,ET203898008
--HSIG:0.017, VSI:0.023, STATUS:FIXED, SATS:10, PDOP:1.920,
HDOP:1.168, VDOP:1.523
GPS,PN566,LA41.325265860168,LN22.021999752695,EL180.383479,--MB
--GS,PN566,N 4600984.4030,E 587114.8018,EL134.7389,--MB
G0,04/19/2022 08:38:40,Base ID read at rover: 0010
G1,BP0010,PN566,DX-2833.924,DY-5662.727,DZ5318.417
G2,VX0.01699093,VY0.00987077,VZ0.01764309
G3,XY0.00005194,XZ0.00015436,YZ0.00007886
--GT,PN566,SW2206,ST203920009,EW2206,ET203920009
--HSIG:0.015, VSI:0.022, STATUS:FIXED, SATS:12, PDOP:1.690,
HDOP:0.886, VDOP:1.439
GPS,PN567,LA41.325297546954,LN22.021917963255,EL180.268957,--ST
--GS,PN567,N 4600993.9495,E 587095.7296,EL134.6245,--ST
G0,04/19/2022 08:39:26,Base ID read at rover: 0010
G1,BP0010,PN567,DX-2832.900,DY-5682.763,DZ5325.657
G2,VX0.02552756,VY0.01046811,VZ0.02293658
G3,XY0.00005438,XZ0.00019438,YZ0.00008999
--GT,PN567,SW2206,ST203966008,EW2206,ET203966008
--HSIG:0.022, VSI:0.028, STATUS:FIXED, SATS:9, PDOP:2.576,
HDOP:1.602, VDOP:2.017
GPS,PN568,LA41.325297301867,LN22.021913169178,EL180.248935,--
--GS,PN568,N 4600993.8605,E 587094.6195,EL134.6045,--
G0,04/19/2022 08:39:38,Base ID read at rover: 0010
G1,BP0010,PN568,DX-2832.451,DY-5683.780,DZ5325.588
G2,VX0.02963764,VY0.01128219,VZ0.02119044
G3,XY0.00004524,XZ0.00031520,YZ0.00011900
--GT,PN568,SW2206,ST203978008,EW2206,ET203978008
--HSIG:0.022, VSI:0.031, STATUS:FIXED, SATS:9, PDOP:1.933,
HDOP:1.006, VDOP:1.650
GPS,PN569,LA41.325300093661,LN22.021914495390,EL180.241259,--
--GS,PN569,N 4600994.7254,E 587094.9164,EL134.5968,--
G0,04/19/2022 08:39:46,Base ID read at rover: 0010
G1,BP0010,PN569,DX-2833.101,DY-5683.712,DZ5326.227
G2,VX0.01746187,VY0.00997039,VZ0.01784640
G3,XY0.00004924,XZ0.00016514,YZ0.00007111
--GT,PN569,SW2206,ST203986009,EW2206,ET203986009
--HSIG:0.015, VSI:0.022, STATUS:FIXED, SATS:12, PDOP:1.569,
HDOP:0.838, VDOP:1.327
GPS,PN570,LA41.325305596426,LN22.021921650826,EL180.640675,--PR
--GS,PN570,N 4600996.4430,E 587096.5542,EL134.9962,--PR
G0,04/19/2022 08:40:00,Base ID read at rover: 0010
G1,BP0010,PN570,DX-2834.490,DY-5682.485,DZ5327.763
G2,VX0.01712235,VY0.00975343,VZ0.01728029
G3,XY0.00004898,XZ0.00015467,YZ0.00007421
--GT,PN570,SW2206,ST204000010,EW2206,ET204000010
--HSIG:0.015, VSI:0.022, STATUS:FIXED, SATS:14, PDOP:1.440,
HDOP:0.749, VDOP:1.230
GPS,PN571,LA41.325310060020,LN22.021925046890,EL180.622300,--PR
--GS,PN571,N 4600997.8295,E 587097.3246,EL134.9779,--PR
G0,04/19/2022 08:40:08,Base ID read at rover: 0010
G1,BP0010,PN571,DX-2835.645,DY-5682.103,DZ5328.781
G2,VX0.01781752,VY0.01045536,VZ0.01873788
G3,XY0.00005105,XZ0.00015956,YZ0.00008328
--GT,PN571,SW2206,ST204008009,EW2206,ET204008009
--HSIG:0.016, VSI:0.023, STATUS:FIXED, SATS:12, PDOP:1.768,
HDOP:0.967, VDOP:1.480
GPS,PN572,LA41.325318069422,LN22.021933728639,EL180.586183,--PR

--GS,PN572,N 4601000.3245,E 587099.3068,EL134.9417,--PR
G0,04/19/2022 08:40:16,Base ID read at rover: 0010
G1,BP0010,PN572,DX-2837.944,DY-5680.863,DZ5330.606
G2,VX0.01714631,VY0.00971241,VZ0.01722153
G3,XY0.00004896,XZ0.00015575,YZ0.00007346
--GT,PN572,SW2206,ST204016009,EW2206,ET204016009
--HSIG:0.015, VSI:0.022, STATUS:FIXED, SATS:14, PDOP:1.440,
HDOP:0.749, VDOP:1.230
GPS,PN573,LA41.325322821488,LN22.021937066878,EL180.549551,--PR
--GS,PN573,N 4601001.7998,E 587100.0627,EL134.9051,--PR
G0,04/19/2022 08:40:22,Base ID read at rover: 0010
G1,BP0010,PN573,DX-2839.161,DY-5680.521,DZ5331.679
G2,VX0.01759953,VY0.00996451,VZ0.01748487
G3,XY0.00005074,XZ0.00015774,YZ0.00007432
--GT,PN573,SW2206,ST204022009,EW2206,ET204022009
--HSIG:0.015, VSI:0.022, STATUS:FIXED, SATS:13, PDOP:1.441,
HDOP:0.749, VDOP:1.231
GPS,PN574,LA41.325331943748,LN22.021944234763,EL180.729905,--PR
--GS,PN574,N 4601004.6340,E 587101.6899,EL135.0854,--PR
G0,04/19/2022 08:40:31,Base ID read at rover: 0010
G1,BP0010,PN574,DX-2841.390,DY-5679.631,DZ5333.905
G2,VX0.01765160,VY0.00971598,VZ0.01729640
G3,XY0.00004873,XZ0.00016133,YZ0.00007345
--GT,PN574,SW2206,ST204031009,EW2206,ET204031009
--HSIG:0.015, VSI:0.022, STATUS:FIXED, SATS:13, PDOP:1.640,
HDOP:0.838, VDOP:1.410
GPS,PN575,LA41.325336888873,LN22.021947745521,EL180.752943,--PR
--GS,PN575,N 4601006.1693,E 587102.4852,EL135.1084,--PR
G0,04/19/2022 08:40:40,Base ID read at rover: 0010
G1,BP0010,PN575,DX-2842.617,DY-5679.250,DZ5335.062
G2,VX0.01718929,VY0.00975033,VZ0.01712816
G3,XY0.00005022,XZ0.00015751,YZ0.00007488
--GT,PN575,SW2206,ST204040009,EW2206,ET204040009
--HSIG:0.015, VSI:0.022, STATUS:FIXED, SATS:14, PDOP:1.442,
HDOP:0.750, VDOP:1.231
GPS,PN576,LA41.325344810322,LN22.021951762625,EL180.716125,--ST
--GS,PN576,N 4601008.6243,E 587103.3866,EL135.0716,--ST
G0,04/19/2022 08:40:52,Base ID read at rover: 0010
G1,BP0010,PN576,DX-2844.494,DY-5679.006,DZ5336.867
G2,VX0.02109697,VY0.01020556,VZ0.01748076
G3,XY0.00005503,XZ0.00018300,YZ0.00007489
--GT,PN576,SW2206,ST204052008,EW2206,ET204052008
--HSIG:0.017, VSI:0.024, STATUS:FIXED, SATS:9, PDOP:2.433,
HDOP:1.453, VDOP:1.951
GPS,PN577,LA41.325349251596,LN22.021955680375,EL180.082357,--
--GS,PN577,N 4601010.0053,E 587104.2780,EL134.4378,--
G0,04/19/2022 08:41:01,Base ID read at rover: 0010
G1,BP0010,PN577,DX-2846.117,DY-5678.683,DZ5337.472
G2,VX0.02080961,VY0.01047661,VZ0.01845523
G3,XY0.00004666,XZ0.00018862,YZ0.00008839
--GT,PN577,SW2206,ST204061008,EW2206,ET204061008
--HSIG:0.017, VSI:0.024, STATUS:FIXED, SATS:9, PDOP:2.873,
HDOP:1.581, VDOP:2.399
GPS,PN578,LA41.325343284614,LN22.021946018384,EL180.591381,--
--GS,PN578,N 4601008.1375,E 587102.0611,EL134.9469,--
G0,04/19/2022 08:41:09,Base ID read at rover: 0010
G1,BP0010,PN578,DX-2843.792,DY-5680.157,DZ5336.432
G2,VX0.02636737,VY0.03074014,VZ0.03112254
G3,XY0.00025069,XZ0.00032588,YZ0.00030850
--GT,PN578,SW2206,ST204069008,EW2206,ET204069008
--HSIG:0.036, VSI:0.037, STATUS:FIXED, SATS:10, PDOP:2.739,
HDOP:1.320, VDOP:2.400
GPS,PN579,LA41.325452073670,LN22.021712315534,EL179.910751,--
--GS,PN579,N 4601041.0451,E 587047.4971,EL134.2666,--
G0,04/19/2022 08:42:20,Base ID read at rover: 0010
G1,BP0010,PN579,DX-2844.575,DY-5738.909,DZ5361.099
G2,VX0.02072972,VY0.01128183,VZ0.01846864
G3,XY0.00007865,XZ0.00020435,YZ0.00008926
--GT,PN579,SW2206,ST204140008,EW2206,ET204140008
--HSIG:0.017, VSI:0.025, STATUS:FIXED, SATS:11, PDOP:1.906,
HDOP:0.943, VDOP:1.656
GPS,PN580,LA41.325441829223,LN22.021707164295,EL180.175448,--
--GS,PN580,N 4601037.8704,E 587046.3414,EL134.5313,--
G0,04/19/2022 08:42:27,Base ID read at rover: 0010
G1,BP0010,PN580,DX-2842.000,DY-5739.155,DZ5358.910
G2,VX0.01931112,VY0.01084303,VZ0.01802264
G3,XY0.00007586,XZ0.00019199,YZ0.00009004
--GT,PN580,SW2206,ST204147008,EW2206,ET204147008
--HSIG:0.016, VSI:0.024, STATUS:FIXED, SATS:11, PDOP:1.853,
HDOP:0.902, VDOP:1.619
GPS,PN581,LA41.325444512074,LN22.021704775083,EL180.400126,--ST
--GS,PN581,N 4601038.6913,E 587045.7777,EL134.7560,--ST
G0,04/19/2022 08:42:36,Base ID read at rover: 0010
G1,BP0010,PN581,DX-2842.145,DY-5739.811,DZ5359.678
G2,VX0.01920636,VY0.01117378,VZ0.01836401
G3,XY0.00008161,XZ0.00020448,YZ0.00010049
--GT,PN581,SW2206,ST204156007,EW2206,ET204156007
--HSIG:0.015, VSI:0.024, STATUS:FIXED, SATS:10, PDOP:1.569,
HDOP:0.836, VDOP:1.328
GPS,PN582,LA41.325437804983,LN22.021700139342,EL180.748456,--PR
--GS,PN582,N 4601036.6093,E 587044.7283,EL135.1043,--PR
G0,04/19/2022 08:42:56,Base ID read at rover: 0010
G1,BP0010,PN582,DX-2840.228,DY-5740.194,DZ5358.361

G2,VX0.01781267,VY0.01004175,VZ0.01762051
G3,XY0.00005540,XZ0.00017705,YZ0.00007691
--GT,PN582,SW2206,ST204176009,EW2206,ET204176009
--HSIG:0.015, VSI:0.023, STATUS:FIXED, SATS:14, PDOP:1.446,
HDOP:0.753, VDOP:1.235
GPS,PN583,LA41.325433213808,LN22.021696535165,EL180.773141,--PR
--GS,PN583,N 4601035.1829,E 587043.9102,EL135.1290,--PR
G0,04/19/2022 08:43:03,Base ID read at rover: 0010
G1,BP0010,PN583,DX-2839.027,DY-5740.609,DZ5357.317
G2,VX0.01781317,VY0.01005177,VZ0.01766732
G3,XY0.00005600,XZ0.00017730,YZ0.00007844
--GT,PN583,SW2206,ST204183008,EW2206,ET204183008
--HSIG:0.015, VSI:0.023, STATUS:FIXED, SATS:13, PDOP:1.447,
HDOP:0.753, VDOP:1.235
GPS,PN584,LA41.325424076121,LN22.021689548515,EL180.597861,--PR
--GS,PN584,N 4601032.3445,E 587042.3250,EL134.9538,--PR
G0,04/19/2022 08:43:10,Base ID read at rover: 0010
G1,BP0010,PN584,DX-2836.808,DY-5741.457,DZ5355.091
G2,VX0.01788151,VY0.01007436,VZ0.01767783
G3,XY0.00005573,XZ0.00017804,YZ0.00007843
--GT,PN584,SW2206,ST204190009,EW2206,ET204190009
--HSIG:0.015, VSI:0.023, STATUS:FIXED, SATS:14, PDOP:1.447,
HDOP:0.753, VDOP:1.235
GPS,PN585,LA41.325419469561,LN22.021686073064,EL180.598766,--PR
--GS,PN585,N 4601030.9137,E 587041.5367,EL134.9547,--PR
G0,04/19/2022 08:43:19,Base ID read at rover: 0010
G1,BP0010,PN585,DX-2835.631,DY-5741.850,DZ5354.028
G2,VX0.01781993,VY0.01002282,VZ0.01759399
G3,XY0.00005532,XZ0.00017746,YZ0.00007721
--GT,PN585,SW2206,ST204199010,EW2206,ET204199010
--HSIG:0.015, VSI:0.023, STATUS:FIXED, SATS:14, PDOP:1.447,
HDOP:0.753, VDOP:1.235
GPS,PN586,LA41.325411039298,LN22.021678708022,EL180.569188,--PR
--GS,PN586,N 4601028.2925,E 587039.8613,EL134.9251,--PR
G0,04/19/2022 08:43:29,Base ID read at rover: 0010
G1,BP0010,PN586,DX-2833.412,DY-5742.793,DZ5352.062
G2,VX0.01780825,VY0.00998938,VZ0.01759642
G3,XY0.00005512,XZ0.00017762,YZ0.00007667
--GT,PN586,SW2206,ST204209009,EW2206,ET204209009
--HSIG:0.015, VSI:0.023, STATUS:FIXED, SATS:14, PDOP:1.447,
HDOP:0.754, VDOP:1.236
GPS,PN587,LA41.325406220952,LN22.021676196202,EL180.556306,--PR
--GS,PN587,N 4601026.7991,E 587039.2971,EL134.9123,--PR
G0,04/19/2022 08:43:52,Base ID read at rover: 0010
G1,BP0010,PN587,DX-2832.288,DY-5742.967,DZ5350.940
G2,VX0.01798281,VY0.01005350,VZ0.01764147
G3,XY0.00005785,XZ0.00017957,YZ0.00007679
--GT,PN587,SW2206,ST204232009,EW2206,ET204232009
--HSIG:0.015, VSI:0.023, STATUS:FIXED, SATS:13, PDOP:1.448,
HDOP:0.754, VDOP:1.236
GPS,PN588,LA41.325398866916,LN22.021671992657,EL180.426362,--ST
--GS,PN588,N 4601024.5187,E 587038.3502,EL134.7823,--ST
G0,04/19/2022 08:44:07,Base ID read at rover: 0010
G1,BP0010,PN588,DX-2830.618,DY-5743.341,DZ5349.156
G2,VX0.01963000,VY0.01177224,VZ0.02462076
G3,XY0.00006786,XZ0.00026781,YZ0.00012192
--GT,PN588,SW2206,ST204247007,EW2206,ET204247007
--HSIG:0.019, VSI:0.028, STATUS:FIXED, SATS:7, PDOP:2.013,
HDOP:1.070, VDOP:1.705
GPS,PN589,LA41.325399665492,LN22.021676442822,EL180.138389,--
--GS,PN589,N 4601024.7775,E 587039.3786,EL134.4943,--
G0,04/19/2022 08:44:19,Base ID read at rover: 0010
G1,BP0010,PN589,DX-2831.356,DY-5742.528,DZ5349.150
G2,VX0.03231293,VY0.01209865,VZ0.02235521
G3,XY0.00001587,XZ0.00045157,YZ0.00005437
--GT,PN589,SW2206,ST204259007,EW2206,ET204259007
--HSIG:0.023, VSI:0.034, STATUS:FIXED, SATS:9, PDOP:1.530,
HDOP:0.824, VDOP:1.290
GPS,PN590,LA41.325395809573,LN22.021673308513,EL180.043047,--BK
--GS,PN590,N 4601023.5792,E 587038.6666,EL134.3990,--BK
G0,04/19/2022 08:44:31,Base ID read at rover: 0010
G1,BP0010,PN590,DX-2830.419,DY-5742.932,DZ5348.196
G2,VX0.01861160,VY0.01095096,VZ0.01860613
G3,XY0.00007119,XZ0.00020546,YZ0.00009879
--GT,PN590,SW2206,ST204271008,EW2206,ET204271008
--HSIG:0.015, VSI:0.024, STATUS:FIXED, SATS:12, PDOP:1.643,
HDOP:0.868, VDOP:1.396
GPS,PN591,LA41.325373297123,LN22.021729228917,EL179.957955,--BK
--GS,PN591,N 4601016.7905,E 587051.7095,EL134.3138,--BK
G0,04/19/2022 08:44:51,Base ID read at rover: 0010
G1,BP0010,PN591,DX-2831.071,DY-5729.213,DZ5342.942
G2,VX0.01814651,VY0.01016303,VZ0.01787403
G3,XY0.00005961,XZ0.00019030,YZ0.00007998
--GT,PN591,SW2206,ST204291008,EW2206,ET204291008
--HSIG:0.015, VSI:0.023, STATUS:FIXED, SATS:13, PDOP:1.508,
HDOP:0.785, VDOP:1.287
GPS,PN592,LA41.325429905087,LN22.021595660410,EL180.068933,--BK
--GS,PN592,N 4601033.8805,E 587020.5453,EL134.4250,--BK
G0,04/19/2022 08:45:27,Base ID read at rover: 0010
G1,BP0010,PN592,DX-2830.115,DY-5762.224,DZ5356.086
G2,VX0.02053646,VY0.01271672,VZ0.01947636
G3,XY0.00012285,XZ0.00025554,YZ0.00013058
--GT,PN592,SW2206,ST204327009,EW2206,ET204327009

--HSIG:0.016, VSIG:0.027, STATUS:FIXED, SATS:12, PDOP:2.321, HDOP:1.128, VDOP:2.029
GPS,PN593,LA41.325459612460,LN22.021530242897,EL180.150392,--BK
--GS,PN593,N 4601042.8624,E 587005.2747,EL134.5066,--BK
G0,04/19/2022 08:45:44,Base ID read at rover: 0010
G1,BP0010,PN593,DX-2830.005,DY-5778.536,DZ5362.999
G2,VX0.01894863,VY0.01099976,VZ0.01835593
G3,XY0.00007780,XZ0.00021056,YZ0.00009408
--GT,PN593,SW2206,ST204344009,EW2206,ET204344009
--HSIG:0.015, VSIG:0.024, STATUS:FIXED, SATS:12, PDOP:1.725, HDOP:0.900, VDOP:1.471
GPS,PN594,LA41.325497180911,LN22.021424508763,EL180.311308,--BK
--GS,PN594,N 4601054.1568,E 586980.6319,EL134.6677,--BK
G0,04/19/2022 08:46:16,Base ID read at rover: 0010
G1,BP0010,PN594,DX-2827.824,DY-5804.090,DZ5371.780
G2,VX0.02051566,VY0.01230771,VZ0.01929814
G3,XY0.00011448,XZ0.00025354,YZ0.00012714
--GT,PN594,SW2206,ST204376008,EW2206,ET204376008
--HSIG:0.016, VSIG:0.027, STATUS:FIXED, SATS:10, PDOP:1.726, HDOP:0.902, VDOP:1.472
GPS,PN595,LA41.325499624521,LN22.021425832402,EL180.444522,--ST
--GS,PN595,N 4601054.9143,E 586980.9295,EL134.8009,--ST
G0,04/19/2022 08:46:27,Base ID read at rover: 0010
G1,BP0010,PN595,DX-2828.310,DY-5803.956,DZ5372.433
G2,VX0.01954083,VY0.01053810,VZ0.01904887
G3,XY0.00006472,XZ0.00021962,YZ0.00008186
--GT,PN595,SW2206,ST204387009,EW2206,ET204387009
--HSIG:0.016, VSIG:0.025, STATUS:FIXED, SATS:11, PDOP:1.689, HDOP:0.846, VDOP:1.462
GPS,PN596,LA41.325487148261,LN22.021417158163,EL179.835623,--ST
--GS,PN596,N 4601051.0413,E 586978.9657,EL134.1920,--ST
G0,04/19/2022 08:46:35,Base ID read at rover: 0010
G1,BP0010,PN596,DX-2825.612,DY-5805.033,DZ5369.148
G2,VX0.01901125,VY0.01061765,VZ0.01857377
G3,XY0.00007029,XZ0.00021337,YZ0.00009501
--GT,PN596,SW2206,ST204395008,EW2206,ET204395008
--HSIG:0.015, VSIG:0.024, STATUS:FIXED, SATS:13, PDOP:1.479, HDOP:0.768, VDOP:1.263
GPS,PN597,LA41.325502034510,LN22.021423861386,EL180.163745,--ST
--GS,PN597,N 4601055.6523,E 586980.4638,EL134.5201,--ST
G0,04/19/2022 08:46:44,Base ID read at rover: 0010
G1,BP0010,PN597,DX-2828.791,DY-5804.643,DZ5372.803
G2,VX0.04376926,VY0.01189049,VZ0.02572045
G3,XY0.00006017,XZ0.00059156,YZ0.00003791
--GT,PN597,SW2206,ST204404007,EW2206,ET204404007
--HSIG:0.031, VSIG:0.042, STATUS:FIXED, SATS:9, PDOP:1.691, HDOP:0.847, VDOP:1.463
GPS,PN598,LA41.325507309858,LN22.021428897571,EL180.599498,--PR
--GS,PN598,N 4601057.2937,E 586981.6113,EL134.9558,--PR
G0,04/19/2022 08:47:00,Base ID read at rover: 0010
G1,BP0010,PN598,DX-2829.927,DY-5803.844,DZ5374.310
G2,VX0.01867522,VY0.01017571,VZ0.01818985
G3,XY0.00005953,XZ0.00019750,YZ0.00008179
--GT,PN598,SW2206,ST204420009,EW2206,ET204420009
--HSIG:0.015, VSIG:0.024, STATUS:FIXED, SATS:14, PDOP:1.451, HDOP:0.759, VDOP:1.236
GPS,PN599,LA41.325511973661,LN22.021431990093,EL180.626379,--PR
--GS,PN599,N 4601058.7411,E 586982.3107,EL134.9827,--PR
G0,04/19/2022 08:47:06,Base ID read at rover: 0010
G1,BP0010,PN599,DX-2831.062,DY-5803.530,DZ5375.405
G2,VX0.02194287,VY0.01030415,VZ0.01895139
G3,XY0.00006200,XZ0.00023723,YZ0.00008282
--GT,PN599,SW2206,ST204426009,EW2206,ET204426009
--HSIG:0.017, VSIG:0.026, STATUS:FIXED, SATS:11, PDOP:2.734, HDOP:1.188, VDOP:2.463
GPS,PN600,LA41.325520614453,LN22.021439135266,EL180.597978,--PR
--GS,PN600,N 4601061.4266,E 586983.9344,EL134.9543,--PR
G0,04/19/2022 08:47:14,Base ID read at rover: 0010
G1,BP0010,PN600,DX-2833.342,DY-5802.667,DZ5377.381
G2,VX0.01878418,VY0.01016286,VZ0.01819538
G3,XY0.00005983,XZ0.00019913,YZ0.00008160
--GT,PN600,SW2206,ST204434008,EW2206,ET204434008
--HSIG:0.015, VSIG:0.024, STATUS:FIXED, SATS:14, PDOP:1.451, HDOP:0.759, VDOP:1.236
GPS,PN601,LA41.325525214495,LN22.021442486144,EL180.613822,--PR
--GS,PN601,N 4601062.8550,E 586984.6939,EL134.9701,--PR
G0,04/19/2022 08:47:20,Base ID read at rover: 0010
G1,BP0010,PN601,DX-2834.495,DY-5802.295,DZ5378.454
G2,VX0.01873867,VY0.01015397,VZ0.01820275
G3,XY0.00005993,XZ0.00019943,YZ0.00008172
--GT,PN601,SW2206,ST204440009,EW2206,ET204440009
--HSIG:0.015, VSIG:0.024, STATUS:FIXED, SATS:14, PDOP:1.451, HDOP:0.760, VDOP:1.236
GPS,PN602,LA41.325534329295,LN22.021449475721,EL180.770164,--PR
--GS,PN602,N 4601065.6864,E 586986.2798,EL135.1264,--PR
G0,04/19/2022 08:47:32,Base ID read at rover: 0010
G1,BP0010,PN602,DX-2836.723,DY-5801.450,DZ5380.662
G2,VX0.01872417,VY0.01011369,VZ0.01812538
G3,XY0.00005956,XZ0.00019987,YZ0.00007995
--GT,PN602,SW2206,ST204452009,EW2206,ET204452009
--HSIG:0.015, VSIG:0.024, STATUS:FIXED, SATS:14, PDOP:1.451, HDOP:0.760, VDOP:1.236
GPS,PN603,LA41.325538932583,LN22.021452580426,EL180.753069,--PR

--GS,PN603,N 4601067.1151,E 586986.9822,EL135.1093,--PR
G0,04/19/2022 08:47:39,Base ID read at rover: 0010
G1,BP0010,PN603,DX-2837.878,DY-5801.141,DZ5381.713
G2,VX0.01884890,VY0.01016405,VZ0.01839294
G3,XY0.00005848,XZ0.00020397,YZ0.00007771
--GT,PN603,SW2206,ST204459009,EW2206,ET204459009
--HSIG:0.015, VSIG:0.024, STATUS:FIXED, SATS:13, PDOP:1.451, HDOP:0.760, VDOP:1.236
GPS,PN604,LA41.325545551898,LN22.021458022953,EL180.437023,--ST
--GS,PN604,N 4601069.1723,E 586988.2189,EL134.7932,--ST
G0,04/19/2022 08:47:53,Base ID read at rover: 0010
G1,BP0010,PN604,DX-2839.826,DY-5800.569,DZ5383.032
G2,VX0.01997342,VY0.01163039,VZ0.01931442
G3,XY0.00008781,XZ0.00022708,YZ0.00010186
--GT,PN604,SW2206,ST204473007,EW2206,ET204473007
--HSIG:0.016, VSIG:0.025, STATUS:FIXED, SATS:10, PDOP:2.762, HDOP:1.443, VDOP:2.355
GPS,PN605,LA41.325553883103,LN22.021463472663,EL179.757086,--
--GS,PN605,N 4601071.7576,E 586989.4509,EL134.1133,--
G0,04/19/2022 08:48:02,Base ID read at rover: 0010
G1,BP0010,PN605,DX-2842.352,DY-5800.229,DZ5384.505
G2,VX0.02264889,VY0.01144043,VZ0.02061703
G3,XY0.00008079,XZ0.00027368,YZ0.00011818
--GT,PN605,SW2206,ST204482007,EW2206,ET204482007
--HSIG:0.017, VSIG:0.028, STATUS:FIXED, SATS:9, PDOP:2.499, HDOP:1.499, VDOP:1.999
GPS,PN606,LA41.325546236104,LN22.021452908316,EL180.092231,--
--GS,PN606,N 4601069.3691,E 586987.0311,EL134.4485,--
G0,04/19/2022 08:48:09,Base ID read at rover: 0010
G1,BP0010,PN606,DX-2839.750,DY-5801.817,DZ5382.962
G2,VX0.01926038,VY0.01062134,VZ0.01881822
G3,XY0.00007051,XZ0.00021652,YZ0.00009084
--GT,PN606,SW2206,ST204489008,EW2206,ET204489008
--HSIG:0.015, VSIG:0.025, STATUS:FIXED, SATS:12, PDOP:2.357, HDOP:1.155, VDOP:2.055
GPS,PN607,LA41.3255591611855,LN22.021408453637,EL175.598668,--ISP
--GS,PN607,N 4601083.2430,E 586976.5604,EL129.9549,--ISP
G0,04/19/2022 08:50:13,Base ID read at rover: 0010
G1,BP0010,PN607,DX-2847.609,DY-5816.113,DZ5390.458
G2,VX0.02135922,VY0.01181673,VZ0.02152019
G3,XY0.00009487,XZ0.00028302,YZ0.00013629
--GT,PN607,SW2206,ST204613008,EW2206,ET204613008
--HSIG:0.017, VSIG:0.028, STATUS:FIXED, SATS:11, PDOP:1.995, HDOP:1.031, VDOP:1.708
GPS,PN608,LA41.325589634086,LN22.021413776852,EL175.611805,--ISP
--GS,PN608,N 4601082.6478,E 586977.8013,EL129.9680,--ISP
G0,04/19/2022 08:50:31,Base ID read at rover: 0010
G1,BP0010,PN608,DX-2847.687,DY-5814.814,DZ5390.010
G2,VX0.02337340,VY0.01240986,VZ0.02067631
G3,XY0.00011766,XZ0.00031341,YZ0.00012885
--GT,PN608,SW2206,ST204631008,EW2206,ET204631008
--HSIG:0.017, VSIG:0.029, STATUS:FIXED, SATS:10, PDOP:2.354, HDOP:1.144, VDOP:2.057
GPS,PN609,LA41.325647415913,LN22.021230368314,EL179.610390,--
--GS,PN609,N 4601099.9613,E 586935.0832,EL133.9669,--
G0,04/19/2022 08:52:26,Base ID read at rover: 0010
G1,BP0010,PN609,DX-2839.924,DY-5857.530,DZ5406.004
G2,VX0.04843236,VY0.01170896,VZ0.02592801
G3,XY0.00001352,XZ0.00096372,YZ0.00007495
--GT,PN609,SW2206,ST204746008,EW2206,ET204746008
--HSIG:0.028, VSIG:0.048, STATUS:FIXED, SATS:10, PDOP:2.179, HDOP:0.972, VDOP:1.950
GPS,PN610,LA41.325640754067,LN22.021226061877,EL179.966959,--
--GS,PN610,N 4601097.8941,E 586934.1099,EL134.3235,--
G0,04/19/2022 08:52:33,Base ID read at rover: 0010
G1,BP0010,PN610,DX-2838.039,DY-5857.843,DZ5404.702
G2,VX0.02304447,VY0.01131239,VZ0.02065814
G3,XY0.00009457,XZ0.00031086,YZ0.00011479
--GT,PN610,SW2206,ST204753008,EW2206,ET204753008
--HSIG:0.016, VSIG:0.029, STATUS:FIXED, SATS:11, PDOP:2.051, HDOP:0.917, VDOP:1.834
GPS,PN611,LA41.325638611332,LN22.021230899781,EL180.506231,--ST
--GS,PN611,N 4601097.2466,E 586935.2390,EL134.8628,--ST
G0,04/19/2022 08:54:15,Base ID read at rover: 0010
G1,BP0010,PN611,DX-2837.679,DY-5856.488,DZ5404.565
G2,VX0.02252602,VY0.01090896,VZ0.02075054
G3,XY0.00008525,XZ0.00030486,YZ0.00010909
--GT,PN611,SW2206,ST204855007,EW2206,ET204855007
--HSIG:0.016, VSIG:0.028, STATUS:FIXED, SATS:12, PDOP:1.810, HDOP:0.958, VDOP:1.535
GPS,PN612,LA41.325631942381,LN22.021224929138,EL180.903057,--PR
--GS,PN612,N 4601095.1726,E 586933.8802,EL135.2596,--PR
G0,04/19/2022 08:54:43,Base ID read at rover: 0010
G1,BP0010,PN612,DX-2835.620,DY-5857.147,DZ5403.288
G2,VX0.02142607,VY0.01085563,VZ0.02000330
G3,XY0.00008561,XZ0.00028248,YZ0.00010372
--GT,PN612,SW2206,ST204883009,EW2206,ET204883009
--HSIG:0.015, VSIG:0.027, STATUS:FIXED, SATS:14, PDOP:1.441, HDOP:0.771, VDOP:1.217
GPS,PN613,LA41.325627334477,LN22.021221190636,EL180.879173,--PR
--GS,PN613,N 4601093.7407,E 586933.0309,EL135.2358,--PR
G0,04/19/2022 08:54:51,Base ID read at rover: 0010
G1,BP0010,PN613,DX-2834.437,DY-5857.603,DZ5402.209

G2,VX0.02116561,VY0.01080806,VZ0.01990512
G3,XY0.00008351,XZ0.00027680,YZ0.00010162
--GT,PN613,SW2206,ST204891009,EW2206,ET204891009
--HSIG:0.015, VSI:0.027, STATUS:FIXED, SATS:13, PDOP:1.546,
HDOP:0.806, VDOP:1.319
GPS,PN614,LA41.325617806618,LN22.021215845868,EL180.728275,--PR
--GS,PN614,N 4601090.7866, E 586931.8277,EL135.0849,--PR
G0,04/19/2022 08:54:59,Base ID read at rover: 0010
G1,BP0010,PN614,DX-2832.270,DY-5858.062,DZ5399.909
G2,VX0.02103034,VY0.01074810,VZ0.01981315
G3,XY0.00008462,XZ0.00027292,YZ0.00010281
--GT,PN614,SW2206,ST204899009,EW2206,ET204899009
--HSIG:0.015, VSI:0.027, STATUS:FIXED, SATS:14, PDOP:1.440,
HDOP:0.771, VDOP:1.216
GPS,PN615,LA41.325613130870,LN22.021212776145,EL180.721067,--PR
--GS,PN615,N 4601089.3356, E 586931.1336,EL135.0777,--PR
G0,04/19/2022 08:55:06,Base ID read at rover: 0010
G1,BP0010,PN615,DX-2831.121,DY-5858.365,DZ5398.824
G2,VX0.02093485,VY0.01072162,VZ0.01975202
G3,XY0.00008343,XZ0.00027053,YZ0.00010119
--GT,PN615,SW2206,ST204906009,EW2206,ET204906009
--HSIG:0.015, VSI:0.027, STATUS:FIXED, SATS:14, PDOP:1.440,
HDOP:0.771, VDOP:1.215
GPS,PN616,LA41.325604181335,LN22.021206403452,EL180.757015,--PR
--GS,PN616,N 4601086.5569, E 586929.6900,EL135.1137,--PR
G0,04/19/2022 08:55:14,Base ID read at rover: 0010
G1,BP0010,PN616,DX-2828.844,DY-5859.037,DZ5396.782
G2,VX0.02085143,VY0.01075384,VZ0.01973520
G3,XY0.00008288,XZ0.00026917,YZ0.00010148
--GT,PN616,SW2206,ST204914009,EW2206,ET204914009
--HSIG:0.015, VSI:0.027, STATUS:FIXED, SATS:13, PDOP:1.439,
HDOP:0.772, VDOP:1.215
GPS,PN617,LA41.325599475802,LN22.021203554763,EL180.728802,--PR
--GS,PN617,N 4601085.0974, E 586929.0473,EL135.0855,--PR
G0,04/19/2022 08:55:23,Base ID read at rover: 0010
G1,BP0010,PN617,DX-2827.723,DY-5859.295,DZ5395.676
G2,VX0.02089883,VY0.01076273,VZ0.01977356
G3,XY0.00008440,XZ0.00027201,YZ0.00010236
--GT,PN617,SW2206,ST204923009,EW2206,ET204923009
--HSIG:0.015, VSI:0.027, STATUS:FIXED, SATS:14, PDOP:1.439,
HDOP:0.772, VDOP:1.214
GPS,PN618,LA41.325592350570,LN22.021199370182,EL180.977228,--ST
--GS,PN618,N 4601082.8876, E 586928.1040,EL135.3339,--ST
G0,04/19/2022 08:55:37,Base ID read at rover: 0010
G1,BP0010,PN618,DX-2825.836,DY-5859.577,DZ5394.196
G2,VX0.03458672,VY0.03313663,VZ0.04644201
G3,XY0.00059333,XZ0.00091806,YZ0.00007846
--GT,PN618,SW2206,ST204937008,EW2206,ET204937008
--HSIG:0.039, VSI:0.054, STATUS:FIXED, SATS:7, PDOP:3.040,
HDOP:1.726, VDOP:2.503
GPS,PN619,LA41.325590479947,LN22.021197624788,EL180.540889,--BK
--GS,PN619,N 4601082.3057, E 586927.7065,EL134.8976,--BK
G0,04/19/2022 08:55:50,Base ID read at rover: 0010
G1,BP0010,PN619,DX-2825.632,DY-5859.931,DZ5393.475
G2,VX0.02498263,VY0.01178739,VZ0.02273761
G3,XY0.00011518,XZ0.00038482,YZ0.00014156
--GT,PN619,SW2206,ST204950009,EW2206,ET204950009
--HSIG:0.017, VSI:0.031, STATUS:FIXED, SATS:14, PDOP:1.437,
HDOP:0.772, VDOP:1.212
GPS,PN620,LA41.325580693272,LN22.021191052419,EL180.175079,--
--GS,PN620,N 4601079.2683, E 586926.2197,EL134.5318,--
G0,04/19/2022 08:56:03,Base ID read at rover: 0010
G1,BP0010,PN620,DX-2823.458,DY-5860.695,DZ5390.972
G2,VX0.02387332,VY0.01389368,VZ0.02633485
G3,XY0.00014296,XZ0.00040692,YZ0.00023771
--GT,PN620,SW2206,ST204963008,EW2206,ET204963008
--HSIG:0.019, VSI:0.033, STATUS:FIXED, SATS:11, PDOP:1.548,
HDOP:0.809, VDOP:1.320
GPS,PN621,LA41.325596029018,LN22.021197553836,EL180.151095,--
--GS,PN621,N 4601084.0173, E 586927.6695,EL134.5078,--
G0,04/19/2022 08:56:10,Base ID read at rover: 0010
G1,BP0010,PN621,DX-2826.949,DY-5860.482,DZ5394.497
G2,VX0.05813826,VY0.01243659,VZ0.03316126
G3,XY0.00008814,XZ0.00129422,YZ0.00002389
--GT,PN621,SW2206,ST204970007,EW2206,ET204970007
--HSIG:0.037, VSI:0.057, STATUS:FIXED, SATS:8, PDOP:6.056,
HDOP:3.214, VDOP:5.132
GPS,PN622,LA41.325632659651,LN22.021096217987,EL180.627393,--BK
--GS,PN622,N 4601095.0350, E 586904.0496,EL134.9842,--BK
G0,04/19/2022 08:57:01,Base ID read at rover: 0010
G1,BP0010,PN622,DX-2824.754,DY-5884.931,DZ5403.271
G2,VX0.02150157,VY0.01094546,VZ0.02012360
G3,XY0.00008593,XZ0.00028839,YZ0.00010350
--GT,PN622,SW2206,ST205021009,EW2206,ET205021009
--HSIG:0.015, VSI:0.027, STATUS:FIXED, SATS:14, PDOP:1.433,
HDOP:0.774, VDOP:1.206
GPS,PN623,LA41.325685496241,LN22.020963564210,EL180.561475,--BK
--GS,PN623,N 4601110.9648, E 586873.1121,EL134.9185,--BK
G0,04/19/2022 08:57:39,Base ID read at rover: 0010
G1,BP0010,PN623,DX-2823.287,DY-5917.505,DZ5415.427
G2,VX0.02154221,VY0.01105594,VZ0.02007772
G3,XY0.00008983,XZ0.00028819,YZ0.00010435
--GT,PN623,SW2206,ST205059009,EW2206,ET205059009
--HSIG:0.015, VSI:0.027, STATUS:FIXED, SATS:13, PDOP:1.515,
HDOP:0.875, VDOP:1.237
GPS,PN624,LA41.325693355852,LN22.020951887699,EL180.669612,--ST
--GS,PN624,N 4601113.3569, E 586870.3770,EL135.0267,--ST
G0,04/19/2022 08:58:00,Base ID read at rover: 0010
G1,BP0010,PN624,DX-2823.688,DY-5920.586,DZ5417.314
G2,VX0.02464962,VY0.01475468,VZ0.02644559
G3,XY0.00012873,XZ0.00039795,YZ0.00011060
--GT,PN624,SW2206,ST205080008,EW2206,ET205080008
--HSIG:0.021, VSI:0.033, STATUS:FIXED, SATS:8, PDOP:2.676,
HDOP:1.210, VDOP:2.387
GPS,PN625,LA41.325697002762,LN22.020947489008,EL180.352501,--
--GS,PN625,N 4601114.4696, E 586869.3441,EL134.7096,--
G0,04/19/2022 08:58:19,Base ID read at rover: 0010
G1,BP0010,PN625,DX-2824.217,DY-5921.900,DZ5417.945
G2,VX0.02217253,VY0.01121005,VZ0.02065621
G3,XY0.00009303,XZ0.00031126,YZ0.00011181
--GT,PN625,SW2206,ST205099009,EW2206,ET205099009
--HSIG:0.016, VSI:0.028, STATUS:FIXED, SATS:13, PDOP:2.064,
HDOP:0.967, VDOP:1.824
GPS,PN626,LA41.325701269877,LN22.020953584124,EL180.855861,--PR
--GS,PN626,N 4601115.8030, E 586870.7407,EL135.2129,--PR
G0,04/19/2022 08:58:37,Base ID read at rover: 0010
G1,BP0010,PN626,DX-2825.207,DY-5920.777,DZ5419.264
G2,VX0.02189128,VY0.01108888,VZ0.02042674
G3,XY0.00009134,XZ0.00030421,YZ0.00010849
--GT,PN626,SW2206,ST205117009,EW2206,ET205117009
--HSIG:0.015, VSI:0.028, STATUS:FIXED, SATS:14, PDOP:1.427,
HDOP:0.776, VDOP:1.198
GPS,PN627,LA41.325705933669,LN22.020957088982,EL180.857683,--PR
--GS,PN627,N 4601117.2515, E 586871.5356,EL135.2147,--PR
G0,04/19/2022 08:58:44,Base ID read at rover: 0010
G1,BP0010,PN627,DX-2826.395,DY-5920.382,DZ5420.342
G2,VX0.02179932,VY0.01098422,VZ0.02022487
G3,XY0.00008851,XZ0.00029871,YZ0.00010462
--GT,PN627,SW2206,ST205124009,EW2206,ET205124009
--HSIG:0.015, VSI:0.028, STATUS:FIXED, SATS:13, PDOP:1.427,
HDOP:0.776, VDOP:1.197
GPS,PN628,LA41.325714594050,LN22.020964733902,EL180.870534,--PR
--GS,PN628,N 4601119.9444, E 586873.2752,EL135.2275,--PR
G0,04/19/2022 08:58:51,Base ID read at rover: 0010
G1,BP0010,PN628,DX-2828.694,DY-5919.401,DZ5422.351
G2,VX0.02186797,VY0.01097181,VZ0.02025426
G3,XY0.00008916,XZ0.00030055,YZ0.00010438
--GT,PN628,SW2206,ST205131009,EW2206,ET205131009
--HSIG:0.015, VSI:0.028, STATUS:FIXED, SATS:13, PDOP:1.729,
HDOP:0.859, VDOP:1.500
GPS,PN629,LA41.325719142423,LN22.020967978731,EL180.909916,--PR
--GS,PN629,N 4601121.3566, E 586874.0102,EL135.2669,--PR
G0,04/19/2022 08:59:00,Base ID read at rover: 0010
G1,BP0010,PN629,DX-2829.811,DY-5919.042,DZ5423.427
G2,VX0.02147023,VY0.01084204,VZ0.02007765
G3,XY0.00008601,XZ0.00029142,YZ0.00010177
--GT,PN629,SW2206,ST205140009,EW2206,ET205140009
--HSIG:0.015, VSI:0.027, STATUS:FIXED, SATS:14, PDOP:1.425,
HDOP:0.777, VDOP:1.195
GPS,PN630,LA41.325728058589,LN22.020974640671,EL181.074294,--PR
--GS,PN630,N 4601124.1257, E 586875.5210,EL135.4313,--PR
G0,04/19/2022 08:59:09,Base ID read at rover: 0010
G1,BP0010,PN630,DX-2831.968,DY-5918.249,DZ5425.595
G2,VX0.02140097,VY0.01070868,VZ0.01954582
G3,XY0.00008209,XZ0.00027949,YZ0.00009403
--GT,PN630,SW2206,ST205149010,EW2206,ET205149010
--HSIG:0.015, VSI:0.027, STATUS:FIXED, SATS:15, PDOP:1.327,
HDOP:0.732, VDOP:1.107
GPS,PN631,LA41.325732630811,LN22.020978060069,EL181.047318,--PR
--GS,PN631,N 4601125.5458, E 586876.2965,EL135.4043,--PR
G0,04/19/2022 08:59:17,Base ID read at rover: 0010
G1,BP0010,PN631,DX-2833.151,DY-5917.873,DZ5426.632
G2,VX0.02163891,VY0.01068994,VZ0.01962499
G3,XY0.00008416,XZ0.00028682,YZ0.00009508
--GT,PN631,SW2206,ST205157010,EW2206,ET205157010
--HSIG:0.015, VSI:0.027, STATUS:FIXED, SATS:14, PDOP:1.560,
HDOP:0.792, VDOP:1.344
GPS,PN632,LA41.325739059212,LN22.020984586103,EL180.741786,--ST
--GS,PN632,N 4601127.5471, E 586877.7850,EL135.0987,--ST
G0,04/19/2022 08:59:33,Base ID read at rover: 0010
G1,BP0010,PN632,DX-2835.150,DY-5917.050,DZ5427.914
G2,VX0.03111006,VY0.01124120,VZ0.02246016
G3,XY0.00010249,XZ0.00050076,YZ0.00010509
--GT,PN632,SW2206,ST205173006,EW2206,ET205173006
--HSIG:0.019, VSI:0.035, STATUS:FIXED, SATS:14, PDOP:2.180,
HDOP:1.223, VDOP:1.804
GPS,PN633,LA41.325741634200,LN22.020978800874,EL180.157770,--
--GS,PN633,N 4601128.3253, E 586876.4347,EL134.5147,--
G0,04/19/2022 08:59:50,Base ID read at rover: 0010
G1,BP0010,PN633,DX-2835.540,DY-5918.655,DZ5428.121
G2,VX0.02263499,VY0.01149692,VZ0.02073784
G3,XY0.00009733,XZ0.00032158,YZ0.00010781
--GT,PN633,SW2206,ST205190009,EW2206,ET205190009
--HSIG:0.016, VSI:0.029, STATUS:FIXED, SATS:12, PDOP:1.497,
HDOP:0.873, VDOP:1.216
GPS,PN634,LA41.325752808354,LN22.020978000300,EL179.446832,--

--GS,PN634,N 4601131.7702,E 586876.2077,EL133.8038,--
G0,04/19/2022 08:59:59,Base ID read at rover: 0010
G1,BP0010,PN634,DX-2838.084,DY-5919.884,DZ5430.230
G2,VX0.02424772,VY0.01087727,VZ0.02042293
G3,XY0.00008693,XZ0.00033653,YZ0.00009911
--GT,PN634,SW2206,ST205199008,EW2206,ET205199008
--HSIG:0.016, VSIG:0.029, STATUS:FIXED, SATS:12, PDOP:1.562,
HDOP:0.792, VDOP:1.346
GPS,PN635,LA41.325850557114,LN22.020741684129,EL180.124045,--
--GS,PN635,N 4601161.2663,E 586821.0810,EL134.4813,--
G0,04/19/2022 09:01:03,Base ID read at rover: 0010
G1,BP0010,PN635,DX-2835.606,DY-5977.967,DZ5453.248
G2,VX0.03311499,VY0.01382071,VZ0.02559896
G3,XY0.00021951,XZ0.00063275,YZ0.00020368
--GT,PN635,SW2206,ST205263007,EW2206,ET205263007
--HSIG:0.019, VSIG:0.040, STATUS:FIXED, SATS:9, PDOP:3.194,
HDOP:1.296, VDOP:2.919
GPS,PN636,LA41.325842399170,LN22.020733851903,EL180.252645,--
--GS,PN636,N 4601158.7278,E 586819.2962,EL134.6100,--
G0,04/19/2022 09:01:11,Base ID read at rover: 0010
G1,BP0010,PN636,DX-2833.289,DY-5978.988,DZ5451.450
G2,VX0.03541778,VY0.01441977,VZ0.02772928
G3,XY0.00021318,XZ0.00071605,YZ0.00023746
--GT,PN636,SW2206,ST205271007,EW2206,ET205271007
--HSIG:0.021, VSIG:0.042, STATUS:FIXED, SATS:8, PDOP:5.071,
HDOP:1.418, VDOP:4.869
GPS,PN637,LA41.325840383720,LN22.020737959053,EL180.901805,--ST
--GS,PN637,N 4601158.1175,E 586820.2555,EL135.2591,--ST
G0,04/19/2022 09:01:35,Base ID read at rover: 0010
G1,BP0010,PN637,DX-2832.813,DY-5977.768,DZ5451.415
G2,VX0.02531230,VY0.01213300,VZ0.02207641
G3,XY0.00012442,XZ0.00037302,YZ0.00012636
--GT,PN637,SW2206,ST205295008,EW2206,ET205295008
--HSIG:0.017, VSIG:0.031, STATUS:FIXED, SATS:11, PDOP:1.876,
HDOP:0.965, VDOP:1.609
GPS,PN638,LA41.325833775802,LN22.020731842571,EL181.190134,--PR
--GS,PN638,N 4601156.0620,E 586818.8626,EL135.5475,--PR
G0,04/19/2022 09:01:54,Base ID read at rover: 0010
G1,BP0010,PN638,DX-2830.828,DY-5978.494,DZ5450.081
G2,VX0.02356338,VY0.01108735,VZ0.021054721
G3,XY0.00009984,XZ0.00033922,YZ0.00010438
--GT,PN638,SW2206,ST205314009,EW2206,ET205314009
--HSIG:0.016, VSIG:0.029, STATUS:FIXED, SATS:14, PDOP:1.565,
HDOP:0.791, VDOP:1.351
GPS,PN639,LA41.325829209843,LN22.020728386229,EL181.202726,--PR
--GS,PN639,N 4601154.6438,E 586818.0785,EL135.5601,--PR
G0,04/19/2022 09:02:04,Base ID read at rover: 0010
G1,BP0010,PN639,DX-2829.653,DY-5978.882,DZ5449.035
G2,VX0.02354926,VY0.01107337,VZ0.02052136
G3,XY0.00009956,XZ0.00033856,YZ0.00010364
--GT,PN639,SW2206,ST205324009,EW2206,ET205324009
--HSIG:0.016, VSIG:0.029, STATUS:FIXED, SATS:13, PDOP:1.895,
HDOP:0.886, VDOP:1.675
GPS,PN640,LA41.325819917351,LN22.020722953364,EL180.983511,--PR
--GS,PN640,N 4601151.7620,E 586816.8540,EL135.3409,--PR
G0,04/19/2022 09:02:12,Base ID read at rover: 0010
G1,BP0010,PN640,DX-2827.570,DY-5979.398,DZ5446.744
G2,VX0.02221247,VY0.01102549,VZ0.02004057
G3,XY0.00009332,XZ0.00030694,YZ0.00009923
--GT,PN640,SW2206,ST205332008,EW2206,ET205332008
--HSIG:0.015, VSIG:0.028, STATUS:FIXED, SATS:13, PDOP:1.712,
HDOP:0.848, VDOP:1.488
GPS,PN641,LA41.325814889708,LN22.020719647278,EL181.027697,--PR
--GS,PN641,N 4601150.2018,E 586816.1065,EL135.3851,--PR
G0,04/19/2022 09:02:20,Base ID read at rover: 0010
G1,BP0010,PN641,DX-2826.298,DY-5979.710,DZ5445.612
G2,VX0.02224101,VY0.01104618,VZ0.02003010
G3,XY0.00009368,XZ0.00030924,YZ0.00010049
--GT,PN641,SW2206,ST205340009,EW2206,ET205340009
--HSIG:0.015, VSIG:0.028, STATUS:FIXED, SATS:14, PDOP:1.335,
HDOP:0.718, VDOP:1.126
GPS,PN642,LA41.325805876739,LN22.020714172534,EL181.031974,--PR
--GS,PN642,N 4601147.4062,E 586814.8712,EL135.3894,--PR
G0,04/19/2022 09:02:28,Base ID read at rover: 0010
G1,BP0010,PN642,DX-2824.109,DY-5980.193,DZ5443.534
G2,VX0.02218164,VY0.01094750,VZ0.02005537
G3,XY0.00009387,XZ0.00030848,YZ0.00010089
--GT,PN642,SW2206,ST205348008,EW2206,ET205348008
--HSIG:0.015, VSIG:0.028, STATUS:FIXED, SATS:13, PDOP:1.409,
HDOP:0.781, VDOP:1.173
GPS,PN643,LA41.325801035425,LN22.020710587341,EL181.031744,--PR
--GS,PN643,N 4601145.9027,E 586814.0583,EL135.3892,--PR
G0,04/19/2022 09:02:37,Base ID read at rover: 0010
G1,BP0010,PN643,DX-2822.879,DY-5980.591,DZ5442.416
G2,VX0.02247885,VY0.01123023,VZ0.02108366
G3,XY0.00009711,XZ0.00032154,YZ0.00011535
--GT,PN643,SW2206,ST205357008,EW2206,ET205357008
--HSIG:0.016, VSIG:0.029, STATUS:FIXED, SATS:11, PDOP:2.118,
HDOP:1.077, VDOP:1.823
GPS,PN644,LA41.325794398706,LN22.020705456982,EL180.870762,--ST
--GS,PN644,N 4601143.8410,E 586812.8940,EL135.2282,--ST
G0,04/19/2022 09:02:53,Base ID read at rover: 0010
G1,BP0010,PN644,DX-2821.286,DY-5981.229,DZ5440.777

G2,VX0.02508232,VY0.01147900,VZ0.02178223
G3,XY0.00009930,XZ0.00036632,YZ0.00011980
--GT,PN644,SW2206,ST205373008,EW2206,ET205373008
--HSIG:0.017, VSIG:0.031, STATUS:FIXED, SATS:9, PDOP:2.424,
HDOP:1.132, VDOP:2.144
GPS,PN645,LA41.325797296409,LN22.020700422398,EL180.525142,--
--GS,PN645,N 4601144.7209,E 586811.7165,EL134.8826,--
G0,04/19/2022 09:03:07,Base ID read at rover: 0010
G1,BP0010,PN645,DX-2821.638,DY-5982.630,DZ5441.217
G2,VX0.02505179,VY0.01337678,VZ0.02252843
G3,XY0.00015103,XZ0.00040835,YZ0.00015813
--GT,PN645,SW2206,ST205387008,EW2206,ET205387008
--HSIG:0.017, VSIG:0.032, STATUS:FIXED, SATS:11, PDOP:1.980,
HDOP:0.976, VDOP:1.723
GPS,PN646,LA41.325797615919,LN22.020690243203,EL180.682717,--BK
--GS,PN646,N 4601144.7911,E 586809.3564,EL135.0402,--BK
G0,04/19/2022 09:03:21,Base ID read at rover: 0010
G1,BP0010,PN646,DX-2820.704,DY-5984.797,DZ5441.395
G2,VX0.02410416,VY0.01163927,VZ0.02155845
G3,XY0.00011899,XZ0.00037100,YZ0.00012361
--GT,PN646,SW2206,ST205401009,EW2206,ET205401009
--HSIG:0.016, VSIG:0.030, STATUS:FIXED, SATS:12, PDOP:1.642,
HDOP:0.803, VDOP:1.432
GPS,PN647,LA41.325863199201,LN22.020528458807,EL181.129978,--BK
--GS,PN647,N 4601164.5725,E 586771.6212,EL135.4877,--BK
G0,04/19/2022 09:04:12,Base ID read at rover: 0010
G1,BP0010,PN647,DX-2818.766,DY-6024.464,DZ5456.834
G2,VX0.02496968,VY0.01192366,VZ0.02182381
G3,XY0.00014074,XZ0.00039779,YZ0.00013639
--GT,PN647,SW2206,ST205452008,EW2206,ET205452008
--HSIG:0.016, VSIG:0.032, STATUS:FIXED, SATS:11, PDOP:2.111,
HDOP:0.922, VDOP:1.899
GPS,PN648,LA41.325899255033,LN22.020455118466,EL180.799825,--
--GS,PN648,N 4601175.4912,E 586754.4917,EL135.1577,--
G0,04/19/2022 09:04:47,Base ID read at rover: 0010
G1,BP0010,PN648,DX-2819.458,DY-6043.080,DZ5464.940
G2,VX0.02490581,VY0.01215816,VZ0.02190466
G3,XY0.00014749,XZ0.00039991,YZ0.00014241
--GT,PN648,SW2206,ST205487008,EW2206,ET205487008
--HSIG:0.016, VSIG:0.032, STATUS:FIXED, SATS:11, PDOP:2.111,
HDOP:0.923, VDOP:1.899
GPS,PN649,LA41.325895334020,LN22.020459227572,EL181.264521,--ST
--GS,PN649,N 4601174.2931,E 586755.4585,EL135.6223,--ST
G0,04/19/2022 09:05:30,Base ID read at rover: 0010
G1,BP0010,PN649,DX-2818.749,DY-6041.766,DZ5464.343
G2,VX0.03122738,VY0.02811229,VZ0.03036646
G3,XY0.00057099,XZ0.00072167,YZ0.00057724
--GT,PN649,SW2206,ST205530008,EW2206,ET205530008
--HSIG:0.025, VSIG:0.045, STATUS:FIXED, SATS:10, PDOP:1.973,
HDOP:0.945, VDOP:1.732
GPS,PN650,LA41.325901824595,LN22.020463414205,EL181.190827,--PR
--GS,PN650,N 4601176.3070,E 586756.4047,EL135.5486,--PR
G0,04/19/2022 09:05:47,Base ID read at rover: 0010
G1,BP0010,PN650,DX-2820.395,DY-6041.386,DZ5465.793
G2,VX0.02435288,VY0.01153593,VZ0.02194500
G3,XY0.00011655,XZ0.00038651,YZ0.00012260
--GT,PN650,SW2206,ST205547008,EW2206,ET205547008
--HSIG:0.016, VSIG:0.031, STATUS:FIXED, SATS:12, PDOP:1.911,
HDOP:0.889, VDOP:1.692
GPS,PN651,LA41.325906594778,LN22.020466350253,EL181.212777,--PR
--GS,PN651,N 4601177.7867,E 586757.0674,EL135.5706,--PR
G0,04/19/2022 09:05:55,Base ID read at rover: 0010
G1,BP0010,PN651,DX-2821.540,DY-6041.115,DZ5466.909
G2,VX0.02418352,VY0.01142530,VZ0.02166555
G3,XY0.00011361,XZ0.00037802,YZ0.00011786
--GT,PN651,SW2206,ST205555008,EW2206,ET205555008
--HSIG:0.016, VSIG:0.031, STATUS:FIXED, SATS:12, PDOP:1.912,
HDOP:0.889, VDOP:1.692
GPS,PN652,LA41.325915683170,LN22.0204711884589,EL181.222892,--PR
--GS,PN652,N 4601180.6058,E 586758.3162,EL135.5807,--PR
G0,04/19/2022 09:06:03,Base ID read at rover: 0010
G1,BP0010,PN652,DX-2823.738,DY-6040.621,DZ5469.014
G2,VX0.02416040,VY0.01139773,VZ0.02143366
G3,XY0.00011259,XZ0.00037385,YZ0.00011510
--GT,PN652,SW2206,ST205563009,EW2206,ET205563009
--HSIG:0.016, VSIG:0.030, STATUS:FIXED, SATS:13, PDOP:2.001,
HDOP:0.967, VDOP:1.752
GPS,PN653,LA41.325920846050,LN22.020475118777,EL181.209265,--PR
--GS,PN653,N 4601182.2075,E 586759.0466,EL135.5670,--PR
G0,04/19/2022 09:06:11,Base ID read at rover: 0010
G1,BP0010,PN653,DX-2825.008,DY-6040.326,DZ5470.197
G2,VX0.02418308,VY0.01140347,VZ0.02153022
G3,XY0.00011306,XZ0.00037583,YZ0.00011616
--GT,PN653,SW2206,ST205571009,EW2206,ET205571009
--HSIG:0.016, VSIG:0.030, STATUS:FIXED, SATS:13, PDOP:1.658,
HDOP:0.801, VDOP:1.452
GPS,PN654,LA41.325929221713,LN22.020482393882,EL181.414850,--PR
--GS,PN654,N 4601184.8116,E 586760.7015,EL135.7726,--PR
G0,04/19/2022 09:06:21,Base ID read at rover: 0010
G1,BP0010,PN654,DX-2827.087,DY-6039.349,DZ5472.267
G2,VX0.02416308,VY0.01134994,VZ0.02138289
G3,XY0.00011258,XZ0.00037304,YZ0.00011474
--GT,PN654,SW2206,ST205581009,EW2206,ET205581009

--HSIG:0.016, VSIG:0.030, STATUS:FIXED, SATS:13, PDOP:1.659, HDOP:0.801, VDOP:1.453
GPS,PN655,LA41.325934148927,LN22.020485601535,EL181.434673,--PR
--GS,PN655,N 4601186.3405,E 586761.4266,EL135.7924,--PR
G0,04/19/2022 09:06:32,Base ID read at rover: 0010
G1,BP0010,PN655,DX-2828.287,DY-6039.032,DZ5473.418
G2,VX0.02407248,VY0.01122342,VZ0.02111611
G3,XY0.00010946,XZ0.00036660,YZ0.00010994
--GT,PN655,SW2206,ST205592009,EW2206,ET205592009
--HSIG:0.016, VSIG:0.030, STATUS:FIXED, SATS:13, PDOP:1.660, HDOP:0.801, VDOP:1.454
GPS,PN656,LA41.325940802021,LN22.020491545113,EL181.023124,--ST
--GS,PN656,N 4601188.4095,E 586762.7793,EL135.3808,--ST
G0,04/19/2022 09:06:56,Base ID read at rover: 0010
G1,BP0010,PN656,DX-2830.351,DY-6038.382,DZ5474.681
G2,VX0.02725312,VY0.01157782,VZ0.02210566
G3,XY0.00012004,XZ0.00042429,YZ0.00011530
--GT,PN656,SW2206,ST205616007,EW2206,ET205616007
--HSIG:0.017, VSIG:0.033, STATUS:FIXED, SATS:9, PDOP:2.700, HDOP:1.273, VDOP:2.381
GPS,PN657,LA41.325943232144,LN22.020485809561,EL180.423769,--
--GS,PN657,N 4601189.1432,E 586761.4411,EL134.7815,--
G0,04/19/2022 09:07:11,Base ID read at rover: 0010
G1,BP0010,PN657,DX-2830.729,DY-6039.969,DZ5474.845
G2,VX0.02634864,VY0.01280553,VZ0.02258759
G3,XY0.00017448,XZ0.00044696,YZ0.00015743
--GT,PN657,SW2206,ST205631009,EW2206,ET205631009
--HSIG:0.016, VSIG:0.033, STATUS:FIXED, SATS:12, PDOP:2.036, HDOP:0.984, VDOP:1.782
GPS,PN658,LA41.325952812860,LN22.020487991892,EL181.170617,--
--GS,PN658,N 4601192.0431,E 586761.9121,EL135.5283,--
G0,04/19/2022 09:07:18,Base ID read at rover: 0010
G1,BP0010,PN658,DX-2832.180,DY-6040.010,DZ5477.506
G2,VX0.02653415,VY0.01278456,VZ0.02266351
G3,XY0.00017799,XZ0.00045251,YZ0.00015861
--GT,PN658,SW2206,ST205638008,EW2206,ET205638008
--HSIG:0.016, VSIG:0.034, STATUS:FIXED, SATS:11, PDOP:1.831, HDOP:0.857, VDOP:1.618
GPS,PN659,LA41.325961894611,LN22.020494480828,EL180.543275,--
--GS,PN659,N 4601194.9245,E 586763.3814,EL134.9009,--
G0,04/19/2022 09:07:24,Base ID read at rover: 0010
G1,BP0010,PN659,DX-2834.940,DY-6039.505,DZ5479.233
G2,VX0.02457466,VY0.01170596,VZ0.02193235
G3,XY0.00012677,XZ0.00038876,YZ0.00012484
--GT,PN659,SW2206,ST205644009,EW2206,ET205644009
--HSIG:0.016, VSIG:0.031, STATUS:FIXED, SATS:13, PDOP:1.998, HDOP:0.895, VDOP:1.787
GPS,PN660,LA41.330062188637,LN22.020266429732,EL181.185942,--
--GS,PN660,N 4601225.2297,E 586710.1616,EL135.5440,--
G0,04/19/2022 09:08:20,Base ID read at rover: 0010
G1,BP0010,PN660,DX-2833.690,DY-6096.017,DZ5502.816
G2,VX0.02545521,VY0.01206380,VZ0.02180010
G3,XY0.00014890,XZ0.00040902,YZ0.00013303
--GT,PN660,SW2206,ST205700008,EW2206,ET205700008
--HSIG:0.016, VSIG:0.032, STATUS:FIXED, SATS:12, PDOP:1.834, HDOP:0.856, VDOP:1.621
GPS,PN661,LA41.330050328566,LN22.020256133040,EL182.074825,--
--GS,PN661,N 4601221.5423,E 586707.8194,EL136.4329,--
G0,04/19/2022 09:08:29,Base ID read at rover: 0010
G1,BP0010,PN661,DX-2829.928,DY-6097.069,DZ5500.668
G2,VX0.02452502,VY0.01158884,VZ0.02113347
G3,XY0.00012589,XZ0.00038051,YZ0.00011900
--GT,PN661,SW2206,ST205709008,EW2206,ET205709008
--HSIG:0.016, VSIG:0.031, STATUS:FIXED, SATS:12, PDOP:1.669, HDOP:0.800, VDOP:1.465
GPS,PN662,LA41.330040991539,LN22.020249819967,EL180.915213,--
--GS,PN662,N 4601218.6444,E 586706.3910,EL135.2733,--
G0,04/19/2022 09:08:40,Base ID read at rover: 0010
G1,BP0010,PN662,DX-2828.413,DY-6098.034,DZ5497.743
G2,VX0.02399840,VY0.01127511,VZ0.02105990
G3,XY0.00011679,XZ0.00036873,YZ0.00011288
--GT,PN662,SW2206,ST205720009,EW2206,ET205720009
--HSIG:0.015, VSIG:0.030, STATUS:FIXED, SATS:13, PDOP:1.670, HDOP:0.800, VDOP:1.467
GPS,PN663,LA41.330041738597,LN22.020245247778,EL181.178930,--ST
--GS,PN663,N 4601218.8621,E 586705.3287,EL135.5370,--ST
G0,04/19/2022 09:08:52,Base ID read at rover: 0010
G1,BP0010,PN663,DX-2827.974,DY-6099.000,DZ5498.090
G2,VX0.02414684,VY0.01152500,VZ0.02203172
G3,XY0.00011847,XZ0.00037442,YZ0.00012326
--GT,PN663,SW2206,ST205732009,EW2206,ET205732009
--HSIG:0.016, VSIG:0.031, STATUS:FIXED, SATS:12, PDOP:1.671, HDOP:0.799, VDOP:1.468
GPS,PN664,LA41.330034552611,LN22.020240997528,EL181.559411,--PR
--GS,PN664,N 4601216.6335,E 586704.3703,EL135.9175,--PR
G0,04/19/2022 09:09:10,Base ID read at rover: 0010
G1,BP0010,PN664,DX-2825.977,DY-6099.254,DZ5496.683
G2,VX0.02396161,VY0.01130315,VZ0.02110609
G3,XY0.00011704,XZ0.00036784,YZ0.00011434
--GT,PN664,SW2206,ST205750009,EW2206,ET205750009
--HSIG:0.015, VSIG:0.030, STATUS:FIXED, SATS:13, PDOP:1.673, HDOP:0.799, VDOP:1.469
GPS,PN665,LA41.330029853921,LN22.020237884251,EL181.582162,--PR

--GS,PN665,N 4601215.1753,E 586703.6663,EL135.9403,--PR
G0,04/19/2022 09:09:18,Base ID read at rover: 0010
G1,BP0010,PN665,DX-2824.800,DY-6099.556,DZ5495.613
G2,VX0.02444112,VY0.01148341,VZ0.02244612
G3,XY0.00012494,XZ0.00039707,YZ0.00012628
--GT,PN665,SW2206,ST205758008,EW2206,ET205758008
--HSIG:0.016, VSIG:0.031, STATUS:FIXED, SATS:11, PDOP:1.916, HDOP:0.891, VDOP:1.697
GPS,PN666,LA41.330021561273,LN22.020230658400,EL181.363417,--PR
--GS,PN666,N 4601212.5970,E 586702.0225,EL135.7216,--PR
G0,04/19/2022 09:09:27,Base ID read at rover: 0010
G1,BP0010,PN666,DX-2822.750,DY-6100.533,DZ5493.554
G2,VX0.02428372,VY0.01162667,VZ0.02219237
G3,XY0.00012666,XZ0.00039315,YZ0.00013123
--GT,PN666,SW2206,ST205767009,EW2206,ET205767009
--HSIG:0.016, VSIG:0.031, STATUS:FIXED, SATS:13, PDOP:1.703, HDOP:0.858, VDOP:1.471
GPS,PN667,LA41.330016797393,LN22.020227332316,EL181.366059,--PR
--GS,PN667,N 4601211.1181,E 586701.2693,EL135.7242,--PR
G0,04/19/2022 09:09:33,Base ID read at rover: 0010
G1,BP0010,PN667,DX-2821.556,DY-6100.881,DZ5492.455
G2,VX0.02488378,VY0.01213563,VZ0.02279917
G3,XY0.00014332,XZ0.00041438,YZ0.00014546
--GT,PN667,SW2206,ST205773008,EW2206,ET205773008
--HSIG:0.016, VSIG:0.032, STATUS:FIXED, SATS:11, PDOP:1.674, HDOP:0.799, VDOP:1.471
GPS,PN668,LA41.330008180851,LN22.020221607436,EL181.384315,--PR
--GS,PN668,N 4601208.4441,E 586699.9745,EL135.7425,--PR
G0,04/19/2022 09:09:42,Base ID read at rover: 0010
G1,BP0010,PN668,DX-2819.411,DY-6101.445,DZ5490.478
G2,VX0.02428715,VY0.01150005,VZ0.02165410
G3,XY0.00012042,XZ0.00037700,YZ0.00012040
--GT,PN668,SW2206,ST205782008,EW2206,ET205782008
--HSIG:0.016, VSIG:0.031, STATUS:FIXED, SATS:12, PDOP:1.916, HDOP:0.891, VDOP:1.696
GPS,PN669,LA41.330002917320,LN22.020219028379,EL181.420327,--PR
--GS,PN669,N 4601206.8132,E 586699.3964,EL135.7785,--PR
G0,04/19/2022 09:09:48,Base ID read at rover: 0010
G1,BP0010,PN669,DX-2818.163,DY-6101.585,DZ5489.287
G2,VX0.02402991,VY0.01136127,VZ0.02129614
G3,XY0.00011994,XZ0.00037479,YZ0.00011888
--GT,PN669,SW2206,ST205788009,EW2206,ET205788009
--HSIG:0.015, VSIG:0.030, STATUS:FIXED, SATS:13, PDOP:1.675, HDOP:0.799, VDOP:1.472
GPS,PN670,LA41.330000976733,LN22.020211959687,EL181.154720,--
--GS,PN670,N 4601206.1948,E 586697.7655,EL135.5129,--
G0,04/19/2022 09:09:59,Base ID read at rover: 0010
G1,BP0010,PN670,DX-2817.365,DY-6103.029,DZ5488.662
G2,VX0.02476631,VY0.01276580,VZ0.02291063
G3,XY0.00014524,XZ0.00040893,YZ0.00015789
--GT,PN670,SW2206,ST205799008,EW2206,ET205799008
--HSIG:0.016, VSIG:0.032, STATUS:FIXED, SATS:10, PDOP:1.676, HDOP:0.799, VDOP:1.473
GPS,PN671,LA41.325996816551,LN22.020206497563,EL181.641371,--BK
--GS,PN671,N 4601204.8963,E 586696.5151,EL135.9996,--BK
G0,04/19/2022 09:10:15,Base ID read at rover: 0010
G1,BP0010,PN671,DX-2815.763,DY-6103.746,DZ5488.025
G2,VX0.02482340,VY0.01211530,VZ0.02184652
G3,XY0.00014841,XZ0.00040114,YZ0.00013685
--GT,PN671,SW2206,ST205815009,EW2206,ET205815009
--HSIG:0.016, VSIG:0.032, STATUS:FIXED, SATS:12, PDOP:1.837, HDOP:0.854, VDOP:1.627
GPS,PN672,LA41.325995986904,LN22.020212755791,EL181.545743,--ST
--GS,PN672,N 4601204.6577,E 586697.9684,EL135.9039,--ST
G0,04/19/2022 09:10:28,Base ID read at rover: 0010
G1,BP0010,PN672,DX-2816.216,DY-6102.365,DZ5487.770
G2,VX0.03300903,VY0.01553037,VZ0.02865268
G3,XY0.00022781,XZ0.00067995,YZ0.00021050
--GT,PN672,SW2206,ST205828007,EW2206,ET205828007
--HSIG:0.021, VSIG:0.041, STATUS:FIXED, SATS:12, PDOP:1.695, HDOP:0.829, VDOP:1.478
GPS,PN673,LA41.330003141070,LN22.020245101094,EL181.254314,--SE
--GS,PN673,N 4601206.9547,E 586705.4376,EL135.6124,--SE
G0,04/19/2022 09:11:01,Base ID read at rover: 0010
G1,BP0010,PN673,DX-2820.588,DY-6096.047,DZ5489.228
G2,VX0.02625157,VY0.01146454,VZ0.02193543
G3,XY0.00011746,XZ0.00040904,YZ0.00011000
--GT,PN673,SW2206,ST205861009,EW2206,ET205861009
--HSIG:0.017, VSIG:0.032, STATUS:FIXED, SATS:12, PDOP:2.122, HDOP:0.957, VDOP:1.894
GPS,PN674,LA41.330037352697,LN22.020203957946,EL181.366017,--SE
--GS,PN674,N 4601217.3942,E 586695.7765,EL135.7242,--SE
G0,04/19/2022 09:11:19,Base ID read at rover: 0010
G1,BP0010,PN674,DX-2823.422,DY-6107.481,DZ5497.201
G2,VX0.03163335,VY0.01324240,VZ0.02526462
G3,XY0.00019754,XZ0.00056790,YZ0.00016828
--GT,PN674,SW2206,ST205879009,EW2206,ET205879009
--HSIG:0.019, VSIG:0.038, STATUS:FIXED, SATS:10, PDOP:3.378, HDOP:1.573, VDOP:2.989
GPS,PN675,LA41.330030809978,LN22.020138771602,EL181.425073,--ST
--GS,PN675,N 4601215.1946,E 586680.6945,EL135.7834,--ST
G0,04/19/2022 09:11:45,Base ID read at rover: 0010
G1,BP0010,PN675,DX-2816.473,DY-6120.966,DZ5495.730

G2,VX0.02512193,VY0.01227687,VZ0.02216080
G3,XY0.00013096,XZ0.00040409,YZ0.00012130
--GT,PN675,SW2206,ST205905008,EW2206,ET205905008
--HSIG:0.017, VSIG:0.032, STATUS:FIXED, SATS:12, PDOP:1.914,
HDOP:0.892, VDOP:1.693
GPS,PN676,LA41.330018050266,LN22.020151328953,EL181.559167,--KL
--GS,PN676,N 4601211.2932,E 586683.6517,EL135.9175,--KL
G0,04/19/2022 09:11:57,Base ID read at rover: 0010
G1,BP0010,PN676,DX-2815.051,DY-6117.252,DZ5492.873
G2,VX0.03972347,VY0.01432228,VZ0.02560654
G3,XY0.00015139,XZ0.00046169,YZ0.00015949
--GT,PN676,SW2206,ST205917007,EW2206,ET205917007
--HSIG:0.029, VSIG:0.040, STATUS:FIXED, SATS:8, PDOP:2.181,
HDOP:1.167, VDOP:1.843
GPS,PN677,LA41.330033261143,LN22.020141999707,EL181.218506,--
--GS,PN677,N 4601215.9597,E 586681.4335,EL135.5768,--
G0,04/19/2022 09:12:09,Base ID read at rover: 0010
G1,BP0010,PN677,DX-2817.361,DY-6120.519,DZ5496.159
G2,VX0.02879058,VY0.01974264,VZ0.02506380
G3,XY0.00028205,XZ0.00053517,YZ0.00022533
--GT,PN677,SW2206,ST205929008,EW2206,ET205929008
--HSIG:0.021, VSIG:0.037, STATUS:FIXED, SATS:9, PDOP:3.448,
HDOP:1.381, VDOP:3.159
GPS,PN678,LA41.330036138172,LN22.020144800607,EL181.497273,--PR
--GS,PN678,N 4601216.8550,E 586682.0719,EL135.8556,--PR
G0,04/19/2022 09:12:19,Base ID read at rover: 0010
G1,BP0010,PN678,DX-2817.957,DY-6120.060,DZ5497.008
G2,VX0.02495564,VY0.01169615,VZ0.02233699
G3,XY0.00012649,XZ0.00040470,YZ0.00012557
--GT,PN678,SW2206,ST205939008,EW2206,ET205939008
--HSIG:0.016, VSIG:0.032, STATUS:FIXED, SATS:12, PDOP:1.912,
HDOP:0.892, VDOP:1.692
GPS,PN679,LA41.330040838919,LN22.020148748395,EL181.456813,--PR
--GS,PN679,N 4601218.3161,E 586682.9694,EL135.8151,--PR
G0,04/19/2022 09:12:25,Base ID read at rover: 0010
G1,BP0010,PN679,DX-2819.220,DY-6119.584,DZ5498.067
G2,VX0.02508647,VY0.01150066,VZ0.02128475
G3,XY0.00012111,XZ0.00038409,YZ0.00011152
--GT,PN679,SW2206,ST205945009,EW2206,ET205945009
--HSIG:0.016, VSIG:0.031, STATUS:FIXED, SATS:13, PDOP:1.684,
HDOP:0.797, VDOP:1.483
GPS,PN680,LA41.330046703223,LN22.020092750013,EL181.659390,--BK
--GS,PN680,N 4601219.9695,E 586669.9707,EL136.0178,--BK
G0,04/19/2022 09:12:53,Base ID read at rover: 0010
G1,BP0010,PN680,DX-2815.323,DY-6132.008,DZ5499.555
G2,VX0.02449750,VY0.01143195,VZ0.02110608
G3,XY0.00012024,XZ0.00038061,YZ0.00011064
--GT,PN680,SW2206,ST205973009,EW2206,ET205973009
--HSIG:0.016, VSIG:0.031, STATUS:FIXED, SATS:13, PDOP:1.685,
HDOP:0.797, VDOP:1.485
GPS,PN681,LA41.330072001451,LN22.020063450699,EL181.012821,--
--GS,PN681,N 4601227.6923,E 586663.0872,EL135.3712,--
G0,04/19/2022 09:13:26,Base ID read at rover: 0010
G1,BP0010,PN681,DX-2818.023,DY-6140.426,DZ5504.967
G2,VX0.02433617,VY0.01137379,VZ0.02087381
G3,XY0.00011892,XZ0.00037440,YZ0.00010758
--GT,PN681,SW2206,ST206006009,EW2206,ET206006009
--HSIG:0.015, VSIG:0.030, STATUS:FIXED, SATS:13, PDOP:1.686,
HDOP:0.797, VDOP:1.486
GPS,PN682,LA41.330076554725,LN22.020067650072,EL181.536910,--PR
--GS,PN682,N 4601229.1086,E 586664.0436,EL135.8953,--PR
G0,04/19/2022 09:13:38,Base ID read at rover: 0010
G1,BP0010,PN682,DX-2818.889,DY-6139.726,DZ5506.366
G2,VX0.02405859,VY0.01136094,VZ0.02091234
G3,XY0.00011892,XZ0.00037087,YZ0.00010725
--GT,PN682,SW2206,ST206018009,EW2206,ET206018009
--HSIG:0.015, VSIG:0.030, STATUS:FIXED, SATS:12, PDOP:1.908,
HDOP:0.892, VDOP:1.687
GPS,PN683,LA41.330080748996,LN22.020071274633,EL181.517292,--PR
--GS,PN683,N 4601230.4126,E 586664.8680,EL135.8757,--PR
G0,04/19/2022 09:13:46,Base ID read at rover: 0010
G1,BP0010,PN683,DX-2820.013,DY-6139.275,DZ5507.322
G2,VX0.02405751,VY0.01138083,VZ0.02080902
G3,XY0.00011913,XZ0.00036915,YZ0.00010721
--GT,PN683,SW2206,ST206026009,EW2206,ET206026009
--HSIG:0.015, VSIG:0.030, STATUS:FIXED, SATS:13, PDOP:1.687,
HDOP:0.797, VDOP:1.487
GPS,PN684,LA41.330084800512,LN22.020075199132,EL181.547397,--PR
--GS,PN684,N 4601231.6734,E 586665.7624,EL135.9058,--PR
G0,04/19/2022 09:13:57,Base ID read at rover: 0010
G1,BP0010,PN684,DX-2821.102,DY-6138.734,DZ5508.277
G2,VX0.02403326,VY0.01137401,VZ0.02069128
G3,XY0.00011859,XZ0.00036609,YZ0.00010603
--GT,PN684,SW2206,ST206037009,EW2206,ET206037009
--HSIG:0.015, VSIG:0.030, STATUS:FIXED, SATS:13, PDOP:1.688,
HDOP:0.796, VDOP:1.488
GPS,PN685,LA41.330095225536,LN22.020013991123,EL181.418610,--ST
--GS,PN685,N 4601234.7192,E 586665.15396,EL135.7771,--ST
G0,04/19/2022 09:15:07,Base ID read at rover: 0010
G1,BP0010,PN685,DX-2817.847,DY-6152.721,DZ5510.599
G2,VX0.02453784,VY0.01128613,VZ0.02077499
G3,XY0.00011676,XZ0.00035871,YZ0.00010469
--GT,PN685,SW2206,ST206107008,EW2206,ET206107008
--HSIG:0.016, VSIG:0.030, STATUS:FIXED, SATS:13, PDOP:1.690,
HDOP:0.796, VDOP:1.492
GPS,PN686,LA41.330088244957,LN22.020007754882,EL181.907764,--BK
--GS,PN686,N 4601232.5484,E 586650.1203,EL136.2663,--BK
G0,04/19/2022 09:15:21,Base ID read at rover: 0010
G1,BP0010,PN686,DX-2815.641,DY-6153.387,DZ5509.311
G2,VX0.02358372,VY0.01122659,VZ0.02044278
G3,XY0.00011753,XZ0.00035391,YZ0.00010363
--GT,PN686,SW2206,ST206121009,EW2206,ET206121009
--HSIG:0.015, VSIG:0.030, STATUS:FIXED, SATS:13, PDOP:1.690,
HDOP:0.796, VDOP:1.491
GPS,PN687,LA41.330101216799,LN22.020020193548,EL181.594274,--PR
--GS,PN687,N 4601236.5847,E 586652.9548,EL135.9527,--PR
G0,04/19/2022 09:15:50,Base ID read at rover: 0010
G1,BP0010,PN687,DX-2819.401,DY-6151.799,DZ5512.098
G2,VX0.02436429,VY0.01121383,VZ0.02056924
G3,XY0.00011859,XZ0.00037418,YZ0.00010419
--GT,PN687,SW2206,ST206150009,EW2206,ET206150009
--HSIG:0.015, VSIG:0.030, STATUS:FIXED, SATS:13, PDOP:1.691,
HDOP:0.796, VDOP:1.492
GPS,PN688,LA41.330102312325,LN22.020021187916,EL181.571358,--PR
--GS,PN688,N 4601236.9254,E 586653.1812,EL135.9298,--PR
G0,04/19/2022 09:15:55,Base ID read at rover: 0010
G1,BP0010,PN688,DX-2819.711,DY-6151.676,DZ5512.336
G2,VX0.02434422,VY0.01122352,VZ0.02057196
G3,XY0.00011866,XZ0.00037347,YZ0.00010404
--GT,PN688,SW2206,ST206155009,EW2206,ET206155009
--HSIG:0.015, VSIG:0.030, STATUS:FIXED, SATS:13, PDOP:1.691,
HDOP:0.795, VDOP:1.492
GPS,PN689,LA41.330106940990,LN22.020025141507,EL181.573247,--PR
--GS,PN689,N 4601238.3643,E 586654.0802,EL135.9317,--PR
G0,04/19/2022 09:16:03,Base ID read at rover: 0010
G1,BP0010,PN689,DX-2820.931,DY-6151.181,DZ5513.406
G2,VX0.02433422,VY0.01124577,VZ0.02050023
G3,XY0.00011676,XZ0.00037241,YZ0.00010340
--GT,PN689,SW2206,ST206163009,EW2206,ET206163009
--HSIG:0.015, VSIG:0.030, STATUS:FIXED, SATS:13, PDOP:1.717,
HDOP:0.851, VDOP:1.492
GPS,PN690,LA41.330114404445,LN22.020031076166,EL181.614422,--PR
--GS,PN690,N 4601240.6832,E 586655.4279,EL135.9729,--PR
G0,04/19/2022 09:16:11,Base ID read at rover: 0010
G1,BP0010,PN690,DX-2822.835,DY-6150.467,DZ5515.157
G2,VX0.02426014,VY0.01112915,VZ0.02036548
G3,XY0.00011784,XZ0.00036847,YZ0.00010450
--GT,PN690,SW2206,ST206171008,EW2206,ET206171008
--HSIG:0.015, VSIG:0.030, STATUS:FIXED, SATS:13, PDOP:1.691,
HDOP:0.795, VDOP:1.492
GPS,PN691,LA41.330118831405,LN22.020034500439,EL181.639977,--PR
--GS,PN691,N 4601242.0584,E 586656.2050,EL135.9984,--PR
G0,04/19/2022 09:16:18,Base ID read at rover: 0010
G1,BP0010,PN691,DX-2823.954,DY-6150.064,DZ5516.196
G2,VX0.02424503,VY0.01114613,VZ0.02037681
G3,XY0.00011825,XZ0.00036786,YZ0.00010443
--GT,PN691,SW2206,ST206178009,EW2206,ET206178009
--HSIG:0.015, VSIG:0.030, STATUS:FIXED, SATS:13, PDOP:1.691,
HDOP:0.795, VDOP:1.492
GPS,PN692,LA41.330126563805,LN22.020036451353,EL181.375312,--ST
--GS,PN692,N 4601244.4492,E 586656.6285,EL135.7337,--ST
G0,04/19/2022 09:16:32,Base ID read at rover: 0010
G1,BP0010,PN692,DX-2825.774,DY-6150.313,DZ5517.806
G2,VX0.03118274,VY0.01465819,VZ0.02623368
G3,XY0.00020717,XZ0.00061597,YZ0.00018036
--GT,PN692,SW2206,ST206192008,EW2206,ET206192008
--HSIG:0.019, VSIG:0.039, STATUS:FIXED, SATS:12, PDOP:1.691,
HDOP:0.795, VDOP:1.493
GPS,PN693,LA41.330139146621,LN22.020040735355,EL183.003776,--
--GS,PN693,N 4601248.3428,E 586657.5747,EL137.3622,--
G0,04/19/2022 09:16:51,Base ID read at rover: 0010
G1,BP0010,PN693,DX-2827.404,DY-6149.902,DZ5521.791
G2,VX0.02408884,VY0.01129040,VZ0.02043985
G3,XY0.00012018,XZ0.00036607,YZ0.00010692
--GT,PN693,SW2206,ST206211009,EW2206,ET206211009
--HSIG:0.015, VSIG:0.030, STATUS:FIXED, SATS:13, PDOP:1.691,
HDOP:0.795, VDOP:1.493
GPS,PN694,LA41.330148130188,LN22.020048703566,EL182.192269,--
--GS,PN694,N 4601251.1363,E 586659.3880,EL136.5506,--
G0,04/19/2022 09:16:59,Base ID read at rover: 0010
G1,BP0010,PN694,DX-2830.364,DY-6149.107,DZ5523.327
G2,VX0.02406576,VY0.01128942,VZ0.02042608
G3,XY0.00012005,XZ0.00036493,YZ0.00010612
--GT,PN694,SW2206,ST206219009,EW2206,ET206219009
--HSIG:0.015, VSIG:0.030, STATUS:FIXED, SATS:13, PDOP:1.691,
HDOP:0.795, VDOP:1.493
GPS,PN695,LA41.330131158676,LN22.015973959024,EL181.634972,--PR
--GS,PN695,N 4601245.6930,E 586642.1297,EL135.9935,--PR
G0,04/19/2022 09:17:34,Base ID read at rover: 0010
G1,BP0010,PN695,DX-2821.032,DY-6164.019,DZ5519.039
G2,VX0.02388355,VY0.01123897,VZ0.02030457
G3,XY0.00011894,XZ0.00035913,YZ0.00010463
--GT,PN695,SW2206,ST206254008,EW2206,ET206254008
--HSIG:0.015, VSIG:0.030, STATUS:FIXED, SATS:13, PDOP:1.692,
HDOP:0.795, VDOP:1.493
GPS,PN696,LA41.330130740580,LN22.015973686523,EL181.644419,--PR

--GS,PN696,N 4601245.5632,E 586642.0681,EL136.0029,--PR
G0,04/19/2022 09:17:42,Base ID read at rover: 0010
G1,BP0010,PN696,DX-2820.923,DY-6164.042,DZ5518.948
G2,VX0.02386561,VY0.01123950,VZ0.02029080
G3,XY0.00011886,XZ0.00035815,YZ0.00010393
--GT,PN696,SW2206,ST206262008,EW2206,ET206262008
--HSIG:0.015, VSI:0.030, STATUS:FIXED, SATS:13, PDOP:1.692,
HDOP:0.795, VDOP:1.493
GPS,PN697,LA41.330126945301,LN22.015970153504,EL181.653243,--PR
--GS,PN697,N 4601244.3826,E 586641.2634,EL136.0118,--PR
G0,04/19/2022 09:17:48,Base ID read at rover: 0010
G1,BP0010,PN697,DX-2819.890,DY-6164.508,DZ5518.078
G2,VX0.02386333,VY0.01124594,VZ0.02029364
G3,XY0.00011893,XZ0.00035781,YZ0.00010354
--GT,PN697,SW2206,ST206268008,EW2206,ET206268008
--HSIG:0.015, VSI:0.030, STATUS:FIXED, SATS:13, PDOP:1.692,
HDOP:0.795, VDOP:1.493
GPS,PN698,LA41.330124121495,LN22.015966263711,EL181.644307,--SKR
--GS,PN698,N 4601243.5007,E 586640.3724,EL136.0029,--SKR
G0,04/19/2022 09:18:00,Base ID read at rover: 0010
G1,BP0010,PN698,DX-2819.022,DY-6165.129,DZ5517.420
G2,VX0.02416673,VY0.01147967,VZ0.02037970
G3,XY0.00012653,XZ0.00036371,YZ0.00010693
--GT,PN698,SW2206,ST206280008,EW2206,ET206280008
--HSIG:0.015, VSI:0.030, STATUS:FIXED, SATS:12, PDOP:1.834,
HDOP:0.851, VDOP:1.625
GPS,PN699,LA41.330107442289,LN22.015972357186,EL181.653730,--KL
--GS,PN699,N 4601238.3722,E 586641.8462,EL136.0123,--KL
G0,04/19/2022 09:18:13,Base ID read at rover: 0010
G1,BP0010,PN699,DX-2816.381,DY-6162.537,DZ5513.575
G2,VX0.02366240,VY0.01115385,VZ0.02020029
G3,XY0.00011764,XZ0.00035268,YZ0.00010405
--GT,PN699,SW2206,ST206293008,EW2206,ET206293008
--HSIG:0.015, VSI:0.029, STATUS:FIXED, SATS:12, PDOP:1.714,
HDOP:0.834, VDOP:1.497
GPS,PN700,LA41.330112883392,LN22.015966167103,EL181.759351,--BK
--GS,PN700,N 4601240.0335,E 586640.3916,EL136.1179,--BK
G0,04/19/2022 09:18:24,Base ID read at rover: 0010
G1,BP0010,PN700,DX-2816.802,DY-6164.255,DZ5514.902
G2,VX0.02328632,VY0.01116418,VZ0.02000418
G3,XY0.00011678,XZ0.00034412,YZ0.00010181
--GT,PN700,SW2206,ST206304009,EW2206,ET206304009
--HSIG:0.015, VSI:0.029, STATUS:FIXED, SATS:13, PDOP:1.692,
HDOP:0.794, VDOP:1.493
GPS,PN701,LA41.330160010472,LN22.01596972793,EL181.710378,--PR
--GS,PN701,N 4601254.4073,E 586626.4997,EL136.0690,--PR
G0,04/19/2022 09:18:55,Base ID read at rover: 0010
G1,BP0010,PN701,DX-2820.629,DY-6180.603,DZ5525.750
G2,VX0.02337375,VY0.01122990,VZ0.02002572
G3,XY0.00011628,XZ0.00034584,YZ0.00009985
--GT,PN701,SW2206,ST206335009,EW2206,ET206335009
--HSIG:0.015, VSI:0.029, STATUS:FIXED, SATS:13, PDOP:1.691,
HDOP:0.794, VDOP:1.493
GPS,PN702,LA41.330164146125,LN22.015910351613,EL181.668477,--PR
--GS,PN702,N 4601255.6925,E 586627.2674,EL136.0271,--PR
G0,04/19/2022 09:19:02,Base ID read at rover: 0010
G1,BP0010,PN702,DX-2821.736,DY-6180.207,DZ5526.677
G2,VX0.02339904,VY0.01113429,VZ0.02002008
G3,XY0.00011647,XZ0.00034574,YZ0.00009944
--GT,PN702,SW2206,ST206342009,EW2206,ET206342009
--HSIG:0.015, VSI:0.029, STATUS:FIXED, SATS:13, PDOP:1.691,
HDOP:0.794, VDOP:1.493
GPS,PN703,LA41.330168298316,LN22.015913799324,EL181.680566,--PR
--GS,PN703,N 4601256.9830,E 586628.0510,EL136.0392,--PR
G0,04/19/2022 09:19:12,Base ID read at rover: 0010
G1,BP0010,PN703,DX-2822.815,DY-6179.781,DZ5527.644
G2,VX0.02341774,VY0.01114492,VZ0.02001462
G3,XY0.00011655,XZ0.00034535,YZ0.00009888
--GT,PN703,SW2206,ST206352009,EW2206,ET206352009
--HSIG:0.015, VSI:0.029, STATUS:FIXED, SATS:13, PDOP:1.691,
HDOP:0.794, VDOP:1.493
GPS,PN704,LA41.330196132027,LN22.015866165646,EL181.552082,--ST
--GS,PN704,N 4601265.4370,E 586616.9095,EL135.9107,--ST
G0,04/19/2022 09:19:37,Base ID read at rover: 0010
G1,BP0010,PN704,DX-2824.043,DY-6192.187,DZ5533.985
G2,VX0.02423297,VY0.01140880,VZ0.02072327
G3,XY0.00012216,XZ0.00036631,YZ0.00011214
--GT,PN704,SW2206,ST206377008,EW2206,ET206377008
--HSIG:0.015, VSI:0.030, STATUS:FIXED, SATS:11, PDOP:1.740,
HDOP:0.838, VDOP:1.525
GPS,PN705,LA41.330204621300,LN22.015876544411,EL182.880386,--
--GS,PN705,N 4601268.0848,E 586619.2833,EL137.2390,--
G0,04/19/2022 09:19:52,Base ID read at rover: 0010
G1,BP0010,PN705,DX-2825.634,DY-6190.236,DZ5536.826
G2,VX0.02415415,VY0.01128948,VZ0.02051197
G3,XY0.00012334,XZ0.00036892,YZ0.00010635
--GT,PN705,SW2206,ST206392008,EW2206,ET206392008
--HSIG:0.015, VSI:0.030, STATUS:FIXED, SATS:12, PDOP:1.871,
HDOP:0.891, VDOP:1.645
GPS,PN706,LA41.330216780921,LN22.015888000451,EL182.240782,--
--GS,PN706,N 4601271.8677,E 586621.8931,EL136.5994,--
G0,04/19/2022 09:19:59,Base ID read at rover: 0010
G1,BP0010,PN706,DX-2829.380,DY-6188.888,DZ5539.210

G2,VX0.02409141,VY0.01127369,VZ0.02030733
G3,XY0.00012243,XZ0.00036456,YZ0.00010403
--GT,PN706,SW2206,ST206399008,EW2206,ET206399008
--HSIG:0.015, VSI:0.030, STATUS:FIXED, SATS:13, PDOP:1.691,
HDOP:0.794, VDOP:1.493
GPS,PN707,LA41.330190850232,LN22.015858370013,EL181.725482,--PR
--GS,PN707,N 4601263.7860,E 586615.1225,EL136.0842,--PR
G0,04/19/2022 09:20:21,Base ID read at rover: 0010
G1,BP0010,PN707,DX-2822.243,DY-6193.408,DZ5532.881
G2,VX0.02393984,VY0.01136380,VZ0.02061736
G3,XY0.00012364,XZ0.00035857,YZ0.00010192
--GT,PN707,SW2206,ST206421009,EW2206,ET206421009
--HSIG:0.015, VSI:0.030, STATUS:FIXED, SATS:12, PDOP:1.867,
HDOP:0.891, VDOP:1.641
GPS,PN708,LA41.330189700220,LN22.015858051682,EL181.713771,--PR
--GS,PN708,N 4601263.4303,E 586615.0530,EL136.0725,--PR
G0,04/19/2022 09:20:29,Base ID read at rover: 0010
G1,BP0010,PN708,DX-2822.005,DY-6193.391,DZ5532.608
G2,VX0.02386772,VY0.01125191,VZ0.02029501
G3,XY0.00012259,XZ0.00035908,YZ0.00010505
--GT,PN708,SW2206,ST206429009,EW2206,ET206429009
--HSIG:0.015, VSI:0.030, STATUS:FIXED, SATS:13, PDOP:1.690,
HDOP:0.794, VDOP:1.492
GPS,PN709,LA41.330186220365,LN22.015855137985,EL181.717175,--PR
--GS,PN709,N 4601262.3487,E 586614.3907,EL136.0759,--PR
G0,04/19/2022 09:20:37,Base ID read at rover: 0010
G1,BP0010,PN709,DX-2821.089,DY-6193.749,DZ5531.806
G2,VX0.02389328,VY0.01129564,VZ0.02035635
G3,XY0.00012305,XZ0.00036017,YZ0.00010420
--GT,PN709,SW2206,ST206437009,EW2206,ET206437009
--HSIG:0.015, VSI:0.030, STATUS:FIXED, SATS:13, PDOP:1.865,
HDOP:0.890, VDOP:1.639
GPS,PN710,LA41.330185190149,LN22.015854358890,EL181.736123,--PR
--GS,PN710,N 4601262.0288,E 586614.2140,EL136.0948,--PR
G0,04/19/2022 09:20:42,Base ID read at rover: 0010
G1,BP0010,PN710,DX-2820.813,DY-6193.832,DZ5531.581
G2,VX0.02380606,VY0.01122451,VZ0.02026158
G3,XY0.00012104,XZ0.00035699,YZ0.00010290
--GT,PN710,SW2206,ST206442009,EW2206,ET206442009
--HSIG:0.015, VSI:0.030, STATUS:FIXED, SATS:13, PDOP:1.740,
HDOP:0.837, VDOP:1.525
GPS,PN711,LA41.330177188433,LN22.015855157197,EL181.839367,--ST
--GS,PN711,N 4601259.5526,E 586613.5977,EL136.1981,--ST
G0,04/19/2022 09:21:00,Base ID read at rover: 0010
G1,BP0010,PN711,DX-2818.981,DY-6193.788,DZ5529.802
G2,VX0.08705236,VY0.03524778,VZ0.08086461
G3,XY0.00090312,XZ0.00511248,YZ0.00123159
--GT,PN711,SW2206,ST206460008,EW2206,ET206460008
--HSIG:0.057, VSI:0.110, STATUS:FIXED, SATS:11, PDOP:2.131,
HDOP:0.998, VDOP:1.882
GPS,PN712,LA41.330203006667,LN22.015803172696,EL181.642453,--SKR
--GS,PN712,N 4601267.3828,E 586602.2863,EL136.0012,--SKR
G0,04/19/2022 09:21:27,Base ID read at rover: 0010
G1,BP0010,PN712,DX-2819.808,DY-6206.223,DZ5535.633
G2,VX0.02418451,VY0.01133893,VZ0.02045909
G3,XY0.00012354,XZ0.00036745,YZ0.00009917
--GT,PN712,SW2206,ST206487008,EW2206,ET206487008
--HSIG:0.015, VSI:0.030, STATUS:FIXED, SATS:13, PDOP:1.688,
HDOP:0.793, VDOP:1.490
GPS,PN713,LA41.330206288571,LN22.015806140899,EL181.756132,--PR
--GS,PN713,N 4601268.4034,E 586602.9620,EL136.1149,--PR
G0,04/19/2022 09:21:38,Base ID read at rover: 0010
G1,BP0010,PN713,DX-2820.609,DY-6205.805,DZ5536.466
G2,VX0.02412162,VY0.01134053,VZ0.02041606
G3,XY0.00012343,XZ0.00036511,YZ0.00009889
--GT,PN713,SW2206,ST206498008,EW2206,ET206498008
--HSIG:0.015, VSI:0.030, STATUS:FIXED, SATS:13, PDOP:1.688,
HDOP:0.793, VDOP:1.490
GPS,PN714,LA41.330205844754,LN22.015777843294,EL181.739158,--SH
--GS,PN714,N 4601268.1879,E 586596.4061,EL136.0980,--SH
G0,04/19/2022 09:22:21,Base ID read at rover: 0010
G1,BP0010,PN714,DX-2818.077,DY-6211.855,DZ5536.352
G2,VX0.02385392,VY0.01130369,VZ0.02014453
G3,XY0.00012164,XZ0.00035690,YZ0.00009816
--GT,PN714,SW2206,ST206541009,EW2206,ET206541009
--HSIG:0.015, VSI:0.030, STATUS:FIXED, SATS:13, PDOP:1.686,
HDOP:0.793, VDOP:1.488
GPS,PN715,LA41.330209735597,LN22.015768234985,EL181.770392,--SH
--GS,PN715,N 4601269.3615,E 586594.1651,EL136.1292,--SH
G0,04/19/2022 09:22:29,Base ID read at rover: 0010
G1,BP0010,PN715,DX-2817.958,DY-6214.209,DZ5537.271
G2,VX0.02381716,VY0.01130606,VZ0.02012341
G3,XY0.00012166,XZ0.00035531,YZ0.00009784
--GT,PN715,SW2206,ST206549009,EW2206,ET206549009
--HSIG:0.015, VSI:0.030, STATUS:FIXED, SATS:13, PDOP:1.686,
HDOP:0.793, VDOP:1.488
GPS,PN716,LA41.330201917558,LN22.015762604359,EL181.856153,--SH
--GS,PN716,N 4601266.9341,E 586592.8892,EL136.2150,--SH
G0,04/19/2022 09:22:45,Base ID read at rover: 0010
G1,BP0010,PN716,DX-2815.926,DY-6214.795,DZ5535.523
G2,VX0.02373496,VY0.01130445,VZ0.02007043
G3,XY0.00012155,XZ0.00035193,YZ0.00009711
--GT,PN716,SW2206,ST206565010,EW2206,ET206565010

--HSIG:0.015, VSIG:0.029, STATUS:FIXED, SATS:13, PDOP:1.685, HDOP:0.793, VDOP:1.487
GPS,PN717,LA41.330199315558,LN22.015767999815,EL181.805604,--SH
--GS,PN717,N 4601266.1464,E 586594.1491,EL136.1645,--SH
G0,04/19/2022 09:22:56,Base ID read at rover: 0010
G1,BP0010,PN717,DX-2815.936,DY-6213.450,DZ5534.889
G2,VX0.02367661,VY0.01130090,VZ0.02003001
G3,XY0.00012141,XZ0.00034961,YZ0.00009660
--GT,PN717,SW2206,ST206576009,EW2206,ET206576009
--HSIG:0.015, VSIG:0.029, STATUS:FIXED, SATS:13, PDOP:1.685, HDOP:0.793, VDOP:1.487
GPS,PN718,LA41.3302471168668,LN22.015684997512,EL181.401464,--
--GS,PN718,N 4601280.6780,E 586574.7375,EL135.7604,--
G0,04/19/2022 09:24:14,Base ID read at rover: 0010
G1,BP0010,PN718,DX-2818.078,DY-6235.069,DZ5545.669
G2,VX0.02317199,VY0.01124387,VZ0.01957477
G3,XY0.00011498,XZ0.00033304,YZ0.00009339
--GT,PN718,SW2206,ST206654008,EW2206,ET206654008
--HSIG:0.015, VSIG:0.029, STATUS:FIXED, SATS:12, PDOP:1.681, HDOP:0.793, VDOP:1.483
GPS,PN719,LA41.330249449247,LN22.015686252600,EL181.374604,--
--GS,PN719,N 4601281.3850,E 586575.0199,EL135.7336,--
G0,04/19/2022 09:24:21,Base ID read at rover: 0010
G1,BP0010,PN719,DX-2818.638,DY-6234.982,DZ5546.178
G2,VX0.02306594,VY0.01118574,VZ0.01952729
G3,XY0.00011929,XZ0.00032976,YZ0.00009561
--GT,PN719,SW2206,ST206661008,EW2206,ET206661008
--HSIG:0.015, VSIG:0.029, STATUS:FIXED, SATS:13, PDOP:1.681, HDOP:0.793, VDOP:1.482
GPS,PN720,LA41.330254317245,LN22.015688797638,EL181.773028,--PR
--GS,PN720,N 4601282.8938,E 586575.5916,EL136.1320,--PR
G0,04/19/2022 09:24:32,Base ID read at rover: 0010
G1,BP0010,PN720,DX-2819.506,DY-6234.697,DZ5547.566
G2,VX0.02309189,VY0.01120969,VZ0.01955290
G3,XY0.00011964,XZ0.00032995,YZ0.00009514
--GT,PN720,SW2206,ST206672008,EW2206,ET206672008
--HSIG:0.015, VSIG:0.029, STATUS:FIXED, SATS:13, PDOP:1.680, HDOP:0.792, VDOP:1.481
GPS,PN721,LA41.330259013211,LN22.015692364919,EL181.775147,--PR
--GS,PN721,N 4601284.3524,E 586576.4010,EL136.1341,--PR
G0,04/19/2022 09:24:40,Base ID read at rover: 0010
G1,BP0010,PN721,DX-2820.706,DY-6234.290,DZ5548.652
G2,VX0.02312338,VY0.01124346,VZ0.01974452
G3,XY0.00012042,XZ0.00033227,YZ0.00009645
--GT,PN721,SW2206,ST206680008,EW2206,ET206680008
--HSIG:0.015, VSIG:0.029, STATUS:FIXED, SATS:12, PDOP:1.825, HDOP:0.888, VDOP:1.595
GPS,PN722,LA41.330266125694,LN22.015695374336,EL181.867422,--ST
--GS,PN722,N 4601286.5549,E 586577.0720,EL136.2263,--ST
G0,04/19/2022 09:24:53,Base ID read at rover: 0010
G1,BP0010,PN722,DX-2822.253,DY-6234.164,DZ5550.355
G2,VX0.02344879,VY0.01157461,VZ0.01986738
G3,XY0.00013246,XZ0.00033974,YZ0.00010423
--GT,PN722,SW2206,ST206693008,EW2206,ET206693008
--HSIG:0.015, VSIG:0.029, STATUS:FIXED, SATS:11, PDOP:1.679, HDOP:0.792, VDOP:1.480
GPS,PN723,LA41.330279986611,LN22.015708244190,EL181.984828,--
--GS,PN723,N 4601290.8666,E 586580.0032,EL136.3437,--
G0,04/19/2022 09:25:09,Base ID read at rover: 0010
G1,BP0010,PN723,DX-2825.919,DY-6232.430,DZ5553.633
G2,VX0.02416437,VY0.01127493,VZ0.01999185
G3,XY0.00012468,XZ0.00035299,YZ0.00009840
--GT,PN723,SW2206,ST206709008,EW2206,ET206709008
--HSIG:0.015, VSIG:0.030, STATUS:FIXED, SATS:13, PDOP:2.350, HDOP:1.212, VDOP:2.013
GPS,PN724,LA41.330261775992,LN22.015699582669,EL181.361074,--
--GS,PN724,N 4601285.2248,E 586578.0633,EL135.7200,--
G0,04/19/2022 09:25:18,Base ID read at rover: 0010
G1,BP0010,PN724,DX-2822.145,DY-6233.068,DZ5549.015
G2,VX0.02373432,VY0.01128945,VZ0.01989263
G3,XY0.00012493,XZ0.00035066,YZ0.00009867
--GT,PN724,SW2206,ST206718008,EW2206,ET206718008
--HSIG:0.015, VSIG:0.029, STATUS:FIXED, SATS:13, PDOP:1.677, HDOP:0.792, VDOP:1.478
GPS,PN725,LA41.325543649074,LN22.021262862933,EL178.976371,--
--GS,PN725,N 4601068.0408,E 586942.9989,EL133.3330,--
G0,04/19/2022 09:31:54,Base ID read at rover: 0010
G1,BP0010,PN725,DX-2823.507,DY-5842.760,DZ5381.624
G2,VX0.02271438,VY0.01145566,VZ0.01937427
G3,XY0.00012456,XZ0.00031421,YZ0.00008677
--GT,PN725,SW2206,ST207114009,EW2206,ET207114009
--HSIG:0.015, VSIG:0.028, STATUS:FIXED, SATS:13, PDOP:1.641, HDOP:0.791, VDOP:1.438
GPS,PN726,LA41.325530926690,LN22.021260832661,EL179.002473,--
--GS,PN726,N 4601064.1104,E 586942.5756,EL133.3591,--
G0,04/19/2022 09:32:02,Base ID read at rover: 0010
G1,BP0010,PN726,DX-2820.900,DY-5842.212,DZ5378.704
G2,VX0.02272939,VY0.01146187,VZ0.01936034
G3,XY0.00012496,XZ0.00031404,YZ0.00008677
--GT,PN726,SW2206,ST207122009,EW2206,ET207122009
--HSIG:0.015, VSIG:0.028, STATUS:FIXED, SATS:13, PDOP:1.640, HDOP:0.791, VDOP:1.437
GPS,PN727,LA41.325526461433,LN22.021259856240,EL178.494112,--

--GS,PN727,N 4601062.7301,E 586942.3659,EL132.8508,--
G0,04/19/2022 09:32:11,Base ID read at rover: 0010
G1,BP0010,PN727,DX-2820.320,DY-5842.222,DZ5377.336
G2,VX0.02273734,VY0.01146644,VZ0.01934151
G3,XY0.00012525,XZ0.00031360,YZ0.00008668
--GT,PN727,SW2206,ST207131009,EW2206,ET207131009
--HSIG:0.015, VSIG:0.028, STATUS:FIXED, SATS:13, PDOP:1.639, HDOP:0.791, VDOP:1.435
GPS,PN728,LA41.325521066272,LN22.021259831544,EL179.057687,--
--GS,PN728,N 4601061.0657,E 586942.3802,EL133.4143,--
G0,04/19/2022 09:32:16,Base ID read at rover: 0010
G1,BP0010,PN728,DX-2818.904,DY-5841.654,DZ5376.464
G2,VX0.02270813,VY0.01145763,VZ0.01931605
G3,XY0.00012485,XZ0.00031250,YZ0.00008630
--GT,PN728,SW2206,ST207136009,EW2206,ET207136009
--HSIG:0.015, VSIG:0.028, STATUS:FIXED, SATS:13, PDOP:1.638, HDOP:0.791, VDOP:1.434
GPS,PN729,LA41.325508229631,LN22.021254901954,EL179.933913,--
--GS,PN729,N 4601057.0920,E 586941.2855,EL134.2906,--
G0,04/19/2022 09:32:23,Base ID read at rover: 0010
G1,BP0010,PN729,DX-2815.432,DY-5841.482,DZ5374.081
G2,VX0.02269103,VY0.01145500,VZ0.01929247
G3,XY0.00012471,XZ0.00031157,YZ0.00008601
--GT,PN729,SW2206,ST207143008,EW2206,ET207143008
--HSIG:0.015, VSIG:0.028, STATUS:FIXED, SATS:13, PDOP:1.638, HDOP:0.791, VDOP:1.434
GPS,PN730,LA41.325486645622,LN22.021298153864,EL179.845305,--
--GS,PN730,N 4601050.5542,E 586951.3890,EL134.2019,--
G0,04/19/2022 09:32:37,Base ID read at rover: 0010
G1,BP0010,PN730,DX-2815.161,DY-5830.557,DZ5369.039
G2,VX0.02265128,VY0.01144759,VZ0.01923767
G3,XY0.00012448,XZ0.00030957,YZ0.00008547
--GT,PN730,SW2206,ST207157008,EW2206,ET207157008
--HSIG:0.015, VSIG:0.028, STATUS:FIXED, SATS:13, PDOP:1.636, HDOP:0.791, VDOP:1.432
GPS,PN731,LA41.325485229367,LN22.021328604676,EL179.631440,--
--GS,PN731,N 4601050.2022,E 586958.4511,EL133.9880,--
G0,04/19/2022 09:32:48,Base ID read at rover: 0010
G1,BP0010,PN731,DX-2817.689,DY-5823.967,DZ5368.570
G2,VX0.02262355,VY0.01144541,VZ0.01919882
G3,XY0.00012438,XZ0.00030812,YZ0.00008510
--GT,PN731,SW2206,ST207168008,EW2206,ET207168008
--HSIG:0.015, VSIG:0.028, STATUS:FIXED, SATS:13, PDOP:1.635, HDOP:0.791, VDOP:1.430
GPS,PN732,LA41.325449045709,LN22.021337891939,EL180.059169,--
--GS,PN732,N 4601039.0658,E 586960.7377,EL134.4157,--
G0,04/19/2022 09:33:02,Base ID read at rover: 0010
G1,BP0010,PN732,DX-2811.336,DY-5819.074,DZ5360.499
G2,VX0.02257167,VY0.01137689,VZ0.01914528
G3,XY0.00012554,XZ0.00030567,YZ0.00008523
--GT,PN732,SW2206,ST207182008,EW2206,ET207182008
--HSIG:0.015, VSIG:0.028, STATUS:FIXED, SATS:13, PDOP:1.643, HDOP:0.811, VDOP:1.429
GPS,PN733,LA41.325428713657,LN22.021342449756,EL180.176788,--
--GS,PN733,N 4601032.8063,E 586961.8695,EL134.5334,--
G0,04/19/2022 09:33:11,Base ID read at rover: 0010
G1,BP0010,PN733,DX-2807.795,DY-5816.500,DZ5355.882
G2,VX0.02254276,VY0.01136378,VZ0.01910898
G3,XY0.00012532,XZ0.00030456,YZ0.00008486
--GT,PN733,SW2206,ST207191008,EW2206,ET207191008
--HSIG:0.015, VSIG:0.028, STATUS:FIXED, SATS:13, PDOP:1.632, HDOP:0.791, VDOP:1.427
GPS,PN734,LA41.325398876672,LN22.021353852585,EL180.240445,--
--GS,PN734,N 4601023.6337,E 586964.6229,EL134.5971,--
G0,04/19/2022 09:33:24,Base ID read at rover: 0010
G1,BP0010,PN734,DX-2803.083,DY-5811.742,DZ5349.035
G2,VX0.02425886,VY0.01152376,VZ0.01939141
G3,XY0.00012534,XZ0.00032998,YZ0.00008538
--GT,PN734,SW2206,ST207204008,EW2206,ET207204008
--HSIG:0.016, VSIG:0.029, STATUS:FIXED, SATS:11, PDOP:1.630, HDOP:0.791, VDOP:1.426
GPS,PN735,LA41.325401408672,LN22.021389191502,EL180.472916,--
--GS,PN735,N 4601024.5134,E 586972.8031,EL134.8294,--
G0,04/19/2022 09:33:34,Base ID read at rover: 0010
G1,BP0010,PN735,DX-2806.475,DY-5804.279,DZ5349.774
G2,VX0.02529363,VY0.01220158,VZ0.01992833
G3,XY0.00016773,XZ0.00037240,YZ0.00010766
--GT,PN735,SW2206,ST207214009,EW2206,ET207214009
--HSIG:0.016, VSIG:0.031, STATUS:FIXED, SATS:11, PDOP:2.164, HDOP:1.050, VDOP:1.892
GPS,PN736,LA41.325436427871,LN22.021370498012,EL178.866321,--
--GS,PN736,N 4601035.2643,E 586968.3409,EL133.2228,--
G0,04/19/2022 09:33:48,Base ID read at rover: 0010
G1,BP0010,PN736,DX-2812.606,DY-5811.435,DZ5356.794
G2,VX0.03036848,VY0.01531092,VZ0.02217524
G3,XY0.00023463,XZ0.00042228,YZ0.00015219
--GT,PN736,SW2206,ST207228008,EW2206,ET207228008
--HSIG:0.021, VSIG:0.035, STATUS:FIXED, SATS:11, PDOP:2.037, HDOP:1.034, VDOP:1.755
GPS,PN737,LA41.325467208979,LN22.021383820698,EL178.759557,--
--GS,PN737,N 4601044.7972,E 586971.3140,EL133.1160,--
G0,04/19/2022 09:34:01,Base ID read at rover: 0010
G1,BP0010,PN737,DX-2819.677,DY-5810.966,DZ5363.831

G2,VX0.02775757,VY0.01332020,VZ0.02087927
G3,XY0.00020763,XZ0.00040178,YZ0.00012966
--GT,PN737,SW2206,ST207241009,EW2206,ET207241009
--HSIG:0.018, VSIG:0.033, STATUS:FIXED, SATS:12, PDOP:2.221,
HDOP:1.004, VDOP:1.981
GPS,PN738,LA41.325476648280,LN22.021411212345,EL178.562440,--
--GS,PN738,N 4601047.7855,E 586977.6268,EL132.9188,--
G0,04/19/2022 09:34:12,Base ID read at rover: 0010
G1,BP0010,PN738,DX-2823.866,DY-5805.861,DZ5365.879
G2,VX0.03408385,VY0.01526340,VZ0.02372453
G3,XY0.00038397,XZ0.00067074,YZ0.00022829
--GT,PN738,SW2206,ST207252009,EW2206,ET207252009
--HSIG:0.017, VSIG:0.041, STATUS:FIXED, SATS:13, PDOP:1.663,
HDOP:0.837, VDOP:1.437
GPS,PN739,LA41.325468099236,LN22.021362046660,EL177.577689,--
--GS,PN739,N 4601045.0110,E 586966.2647,EL131.9342,--
G0,04/19/2022 09:34:30,Base ID read at rover: 0010
G1,BP0010,PN739,DX-2818.772,DY-5816.044,DZ5363.252
G2,VX0.03635465,VY0.01740118,VZ0.02504916
G3,XY0.00039123,XZ0.00063976,YZ0.00024098
--GT,PN739,SW2206,ST207270008,EW2206,ET207270008
--HSIG:0.022, VSIG:0.042, STATUS:FIXED, SATS:9, PDOP:2.777,
HDOP:1.182, VDOP:2.513
GPS,PN740,LA41.325482691106,LN22.021358990957,EL177.161105,--
--GS,PN740,N 4601049.5040,E 586965.5023,EL131.5176,--
G0,04/19/2022 09:34:37,Base ID read at rover: 0010
G1,BP0010,PN740,DX-2821.564,DY-5817.938,DZ5366.345
G2,VX0.03855877,VY0.01773926,VZ0.02912431
G3,XY0.00039682,XZ0.00083642,YZ0.00025375
--GT,PN740,SW2206,ST207277007,EW2206,ET207277007
--HSIG:0.023, VSIG:0.046, STATUS:FIXED, SATS:6, PDOP:2.894,
HDOP:1.617, VDOP:2.400
GPS,PN741,LA41.325495692984,LN22.021314153540,EL178.002848,--
--GS,PN741,N 4601053.3898,E 586955.0632,EL132.3594,--
G0,04/19/2022 09:34:57,Base ID read at rover: 0010
G1,BP0010,PN741,DX-2819.547,DY-5828.332,DZ5369.906
G2,VX0.03034627,VY0.01425495,VZ0.02235346
G3,XY0.00029538,XZ0.00058388,YZ0.00018340
--GT,PN741,SW2206,ST207297009,EW2206,ET207297009
--HSIG:0.016, VSIG:0.037, STATUS:FIXED, SATS:13, PDOP:1.618,
HDOP:0.791, VDOP:1.411
GPS,PN742,LA41.325503930965,LN22.021327937326,EL175.841232,--
--GS,PN742,N 4601055.9696,E 586958.2269,EL130.1978,--
G0,04/19/2022 09:35:10,Base ID read at rover: 0010
G1,BP0010,PN742,DX-2823.807,DY-5826.610,DZ5370.374
G2,VX0.02739889,VY0.01332591,VZ0.02091804
G3,XY0.00022743,XZ0.00043786,YZ0.00014143
--GT,PN742,SW2206,ST207310009,EW2206,ET207310009
--HSIG:0.016, VSIG:0.033, STATUS:FIXED, SATS:12, PDOP:1.721,
HDOP:0.854, VDOP:1.494
--DT01-02-2010
--TM01:55:18
--User Defined: NEGOTINO
--Equipment: S9 GNSS SN:41701390
--Antenna Type: [STX_S9],RA0.0930m,SHMPO.0590m,L10.0884m,L20.0924m,--
L1/L2 Integrated Antenna
--Localization File: None
--Geoid Separation File: None
--GPS Scale: 1.00000000
--Scale Point not used
--RTK Method: RTCM V3.0, Device: Internal GSM, Network: NTRIP iMAX-Auto
--Entered HR: 2.0000, Vertical
LS,HR2.0884
GPS,PN743,LA41.325496328924,LN22.021344006463,EL175.690838,--BUN
--GS,PN743,N 4601053.6693,E 586961.9791,EL130.0473,--BUN
G0,04/19/2022 09:38:04,Base ID read at rover: 0010
G1,BP0010,PN743,DX-2823.867,DY-5822.617,DZ5368.519
G2,VX0.01639124,VY0.00831463,VZ0.01427480
G3,XY0.00006176,XZ0.00015437,YZ0.00003952
--GT,PN743,SW2206,ST207484008,EW2206,ET207484008
--HSIG:0.012, VSIG:0.020, STATUS:FIXED, SATS:14, PDOP:1.494,
HDOP:0.764, VDOP:1.284
GPS,PN744,LA41.325503126281,LN22.021345848385,EL175.663744,--ISP
--GS,PN744,N 4601055.7714,E 586962.3807,EL130.0202,--ISP
G0,04/19/2022 09:38:23,Base ID read at rover: 0010
G1,BP0010,PN744,DX-2825.335,DY-5822.751,DZ5370.070
G2,VX0.01723558,VY0.00829247,VZ0.01409094
G3,XY0.00006324,XZ0.00016041,YZ0.00003897
--GT,PN744,SW2206,ST207503008,EW2206,ET207503008
--HSIG:0.012, VSIG:0.021, STATUS:FIXED, SATS:12, PDOP:1.655,
HDOP:0.838, VDOP:1.427
GPS,PN745,LA41.325501603985,LN22.021349964080,EL175.714870,--ISP
--GS,PN745,N 4601055.3132,E 586963.3401,EL130.0714,--ISP
G0,04/19/2022 09:38:29,Base ID read at rover: 0010
G1,BP0010,PN745,DX-2825.369,DY-5821.735,DZ5369.753
G2,VX0.01769306,VY0.00838141,VZ0.01421866
G3,XY0.00006760,XZ0.00016802,YZ0.00004101
--GT,PN745,SW2206,ST207509008,EW2206,ET207509008
--HSIG:0.012, VSIG:0.021, STATUS:FIXED, SATS:12, PDOP:1.837,
HDOP:0.873, VDOP:1.616
GPS,PN746,LA41.325452141804,LN22.02126978961,EL180.106797,--ISP
--GS,PN746,N 4601039.8309,E 586944.9440,EL134.4635,--ISP
G0,04/19/2022 09:39:18,Base ID read at rover: 0010

G1,BP0010,PN746,DX-2805.969,DY-5833.929,DZ5361.245
G2,VX0.01551004,VY0.00809996,VZ0.01357982
G3,XY0.00005483,XZ0.00013981,YZ0.00003475
--GT,PN746,SW2206,ST207558008,EW2206,ET207558008
--HSIG:0.011, VSIG:0.019, STATUS:FIXED, SATS:14, PDOP:1.488,
HDOP:0.763, VDOP:1.277
GPS,PN747,LA41.325410944447,LN22.021228831512,EL180.504085,--ISP
--GS,PN747,N 4601027.0077,E 586935.6050,EL134.8609,--ISP
G0,04/19/2022 09:39:42,Base ID read at rover: 0010
G1,BP0010,PN747,DX-2794.317,DY-5839.453,DZ5351.996
G2,VX0.03193356,VY0.01568605,VZ0.02047474
G3,XY0.00018074,XZ0.00030442,YZ0.00009448
--GT,PN747,SW2206,ST207582008,EW2206,ET207582008
--HSIG:0.025, VSIG:0.033, STATUS:FIXED, SATS:10, PDOP:4.534,
HDOP:1.783, VDOP:4.168
GPS,PN748,LA41.325377348905,LN22.021191844227,EL180.887752,--ISP
--GS,PN748,N 4601016.5406,E 586927.1582,EL135.2447,--ISP
G0,04/19/2022 09:40:02,Base ID read at rover: 0010
G1,BP0010,PN748,DX-2784.462,DY-5844.712,DZ5344.494
G2,VX0.01953136,VY0.01109143,VZ0.01634666
G3,XY0.00011192,XZ0.00021832,YZ0.00007052
--GT,PN748,SW2206,ST207602008,EW2206,ET207602008
--HSIG:0.014, VSIG:0.024, STATUS:FIXED, SATS:11, PDOP:1.992,
HDOP:1.053, VDOP:1.691
GPS,PN749,LA41.325326310970,LN22.021142582288,EL181.519700,--ISP
--GS,PN749,N 4601000.6585,E 586915.9314,EL135.8768,--ISP
G0,04/19/2022 09:40:24,Base ID read at rover: 0010
G1,BP0010,PN749,DX-2770.059,DY-5851.200,DZ5333.128
G2,VX0.02012358,VY0.01177919,VZ0.01682079
G3,XY0.00012838,XZ0.00023298,YZ0.00008093
--GT,PN749,SW2206,ST207624008,EW2206,ET207624008
--HSIG:0.014, VSIG:0.025, STATUS:FIXED, SATS:11, PDOP:2.060,
HDOP:1.118, VDOP:1.731
GPS,PN750,LA41.325283959137,LN22.021091969449,EL181.924070,--ISP
--GS,PN750,N 4600987.4522,E 586904.3593,EL136.2814,--ISP
G0,04/19/2022 09:40:45,Base ID read at rover: 0010
G1,BP0010,PN750,DX-2757.344,DY-5858.708,DZ5323.618
G2,VX0.01929707,VY0.01004082,VZ0.01658139
G3,XY0.00009099,XZ0.00021647,YZ0.00005478
--GT,PN750,SW2206,ST207645008,EW2206,ET207645008
--HSIG:0.014, VSIG:0.024, STATUS:FIXED, SATS:13, PDOP:1.566,
HDOP:0.791, VDOP:1.352
GPS,PN751,LA41.325257227302,LN22.021055431223,EL182.359828,--ISP
--GS,PN751,N 4600979.1038,E 586895.9909,EL136.7172,--ISP
G0,04/19/2022 09:41:03,Base ID read at rover: 0010
G1,BP0010,PN751,DX-2748.794,DY-5864.383,DZ5317.734
G2,VX0.01901121,VY0.01006538,VZ0.01664741
G3,XY0.00008596,XZ0.00021194,YZ0.00005346
--GT,PN751,SW2206,ST207663008,EW2206,ET207663008
--HSIG:0.014, VSIG:0.024, STATUS:FIXED, SATS:13, PDOP:1.478,
HDOP:0.761, VDOP:1.267
GPS,PN752,LA41.325188453610,LN22.021129983603,EL182.608866,--ISP
--GS,PN752,N 4600958.0956,E 586913.5234,EL136.9662,--ISP
G0,04/19/2022 09:41:32,Base ID read at rover: 0010
G1,BP0010,PN752,DX-2742.060,DY-5843.017,DZ5302.020
G2,VX0.01881398,VY0.00992258,VZ0.01649839
G3,XY0.00008403,XZ0.00020742,YZ0.00005010
--GT,PN752,SW2206,ST207692009,EW2206,ET207692009
--HSIG:0.014, VSIG:0.023, STATUS:FIXED, SATS:14, PDOP:1.476,
HDOP:0.761, VDOP:1.265
GPS,PN753,LA41.325212974923,LN22.021177464265,EL182.268530,--ISP
--GS,PN753,N 4600965.7926,E 586924.4359,EL136.6257,--ISP
G0,04/19/2022 09:41:48,Base ID read at rover: 0010
G1,BP0010,PN753,DX-2751.076,DY-5834.794,DZ5307.456
G2,VX0.02209283,VY0.01008716,VZ0.01827951
G3,XY0.00009242,XZ0.00027375,YZ0.00005183
--GT,PN753,SW2206,ST207708007,EW2206,ET207708007
--HSIG:0.015, VSIG:0.026, STATUS:FIXED, SATS:10, PDOP:1.632,
HDOP:0.830, VDOP:1.405
GPS,PN754,LA41.325268615933,LN22.021233697361,EL181.815125,--
--GS,PN754,N 4600983.1142,E 586937.2611,EL136.1721,--
G0,04/19/2022 09:42:38,Base ID read at rover: 0010
G1,BP0010,PN754,DX-2766.834,DY-5827.112,DZ5320.003
G2,VX0.01992204,VY0.01044488,VZ0.01734751
G3,XY0.00009391,XZ0.00023039,YZ0.00005728
--GT,PN754,SW2206,ST207758008,EW2206,ET207758008
--HSIG:0.014, VSIG:0.025, STATUS:FIXED, SATS:14, PDOP:1.469,
HDOP:0.759, VDOP:1.258
GPS,PN755,LA41.325335692811,LN22.021284910584,EL181.126323,--
--GS,PN755,N 4601003.9497,E 586948.8805,EL135.4832,--
G0,04/19/2022 09:43:07,Base ID read at rover: 0010
G1,BP0010,PN755,DX-2784.488,DY-5821.453,DZ5335.034
G2,VX0.02032922,VY0.01035985,VZ0.01729121
G3,XY0.00009318,XZ0.00023033,YZ0.00005574
--GT,PN755,SW2206,ST207787008,EW2206,ET207787008
--HSIG:0.015, VSIG:0.025, STATUS:FIXED, SATS:13, PDOP:1.466,
HDOP:0.759, VDOP:1.254
GPS,PN756,LA41.325375042611,LN22.021333619009,EL180.428217,--
--GS,PN756,N 4601016.2246,E 586960.0223,EL134.7849,--
G0,04/19/2022 09:43:40,Base ID read at rover: 0010
G1,BP0010,PN756,DX-2796.672,DY-5814.206,DZ5343.657
G2,VX0.02440481,VY0.01229335,VZ0.01849261
G3,XY0.00016212,XZ0.00030199,YZ0.00008798

--GT,PN756,SW2206,ST207820008,EW2206,ET207820008
--HSIG:0.016, VSIG:0.029, STATUS:FIXED, SATS:12, PDOP:1.651,
HDOP:0.850, VDOP:1.415
GPS,PN757,LA41.325398847294,LN22.021427888890,EL180.588211,--ZP
--GS,PN757,N 4601023.8312,E 586981.7805,EL134.9447,--ZP
G0,04/19/2022 09:44:20,Base ID read at rover: 0010
G1,BP0010,PN757,DX-2809.274,DY-5795.736,DZ5349.259
G2,VX0.01976977,VY0.01057720,VZ0.01741140
G3,XY0.00009382,XZ0.00022477,YZ0.00005511
--GT,PN757,SW2206,ST207860008,EW2206,ET207860008
--HSIG:0.015, VSIG:0.024, STATUS:FIXED, SATS:14, PDOP:1.458,
HDOP:0.758, VDOP:1.246
GPS,PN758,LA41.325392249284,LN22.021427605813,EL180.556772,--ZP
--GS,PN758,N 4601021.7950,E 586981.7394,EL134.9132,--ZP
G0,04/19/2022 09:44:25,Base ID read at rover: 0010
G1,BP0010,PN758,DX-2808.020,DY-5795.299,DZ5347.715
G2,VX0.01964953,VY0.01052382,VZ0.01731234
G3,XY0.00009273,XZ0.00022169,YZ0.00005433
--GT,PN758,SW2206,ST207865008,EW2206,ET207865008
--HSIG:0.014, VSIG:0.024, STATUS:FIXED, SATS:14, PDOP:1.457,
HDOP:0.758, VDOP:1.245
GPS,PN759,LA41.325385350790,LN22.021473335912,EL180.852939,--ZP
--GS,PN759,N 4601019.7945,E 586992.3628,EL135.2093,--ZP
G0,04/19/2022 09:44:36,Base ID read at rover: 0010
G1,BP0010,PN759,DX-2810.483,DY-5784.862,DZ5346.318
G2,VX0.01946991,VY0.01045141,VZ0.01716628
G3,XY0.00009119,XZ0.00021695,YZ0.00005311
--GT,PN759,SW2206,ST207876008,EW2206,ET207876008
--HSIG:0.014, VSIG:0.024, STATUS:FIXED, SATS:14, PDOP:1.456,
HDOP:0.757, VDOP:1.244
GPS,PN760,LA41.325391128618,LN22.021476799281,EL180.892942,--ZP
--GS,PN760,N 4601021.5865,E 586993.1439,EL135.2493,--ZP
G0,04/19/2022 09:44:42,Base ID read at rover: 0010
G1,BP0010,PN760,DX-2811.852,DY-5784.550,DZ5347.679
G2,VX0.01934447,VY0.01039586,VZ0.01706025
G3,XY0.00009008,XZ0.00021375,YZ0.00005230
--GT,PN760,SW2206,ST207882008,EW2206,ET207882008
--HSIG:0.014, VSIG:0.024, STATUS:FIXED, SATS:14, PDOP:1.456,
HDOP:0.757, VDOP:1.243
GPS,PN761,LA41.325416838124,LN22.021436387062,EL180.447414,--
--GS,PN761,N 4601029.4049,E 586983.6831,EL134.8038,--
G0,04/19/2022 09:45:17,Base ID read at rover: 0010
G1,BP0010,PN761,DX-2813.523,DY-5795.331,DZ5353.320
G2,VX0.02058037,VY0.01222846,VZ0.01721750
G3,XY0.00013411,XZ0.00023152,YZ0.00007902
--GT,PN761,SW2206,ST207917008,EW2206,ET207917008
--HSIG:0.015, VSIG:0.025, STATUS:FIXED, SATS:11, PDOP:1.947,
HDOP:1.068, VDOP:1.628
GPS,PN762,LA41.325413060601,LN22.021469989195,EL180.528912,--
--GS,PN762,N 4601028.3334,E 586991.4842,EL134.8853,--
G0,04/19/2022 09:45:27,Base ID read at rover: 0010
G1,BP0010,PN762,DX-2815.672,DY-5787.800,DZ5352.502
G2,VX0.01833429,VY0.00991207,VZ0.01618377
G3,XY0.00007943,XZ0.00018753,YZ0.00004546
--GT,PN762,SW2206,ST207927008,EW2206,ET207927008
--HSIG:0.014, VSIG:0.022, STATUS:FIXED, SATS:14, PDOP:1.451,
HDOP:0.757, VDOP:1.238
GPS,PN763,LA41.325456924490,LN22.021471793423,EL178.963155,--
--GS,PN763,N 4601041.8700,E 586991.7394,EL133.3194,--
G0,04/19/2022 09:45:47,Base ID read at rover: 0010
G1,BP0010,PN763,DX-2825.235,DY-5791.220,DZ5361.591
G2,VX0.01791739,VY0.00980259,VZ0.01602050
G3,XY0.00007745,XZ0.00018105,YZ0.00004420
--GT,PN763,SW2206,ST207947008,EW2206,ET207947008
--HSIG:0.014, VSIG:0.022, STATUS:FIXED, SATS:14, PDOP:1.448,
HDOP:0.756, VDOP:1.235
GPS,PN764,LA41.325434499790,LN22.021516391892,EL180.424946,--
--GS,PN764,N 4601035.0767,E 587002.1582,EL134.7812,--
G0,04/19/2022 09:46:06,Base ID read at rover: 0010
G1,BP0010,PN764,DX-2823.846,DY-5779.506,DZ5357.383
G2,VX0.01787855,VY0.00975224,VZ0.01585515
G3,XY0.00007727,XZ0.00018029,YZ0.00004350
--GT,PN764,SW2206,ST207966008,EW2206,ET207966008
--HSIG:0.013, VSIG:0.022, STATUS:FIXED, SATS:14, PDOP:1.446,
HDOP:0.756, VDOP:1.233
GPS,PN765,LA41.325371716794,LN22.021471231133,EL181.106610,--
--GS,PN765,N 4601015.5826,E 586991.9257,EL135.4630,--
G0,04/19/2022 09:46:41,Base ID read at rover: 0010
G1,BP0010,PN765,DX-2807.538,DY-5784.196,DZ5343.339
G2,VX0.01761315,VY0.00979793,VZ0.01765910
G3,XY0.00007709,XZ0.00017674,YZ0.00004034
--GT,PN765,SW2206,ST208001008,EW2206,ET208001008
--HSIG:0.015, VSIG:0.022, STATUS:FIXED, SATS:12, PDOP:1.581,
HDOP:0.898, VDOP:1.302
GPS,PN766,LA41.325332491557,LN22.021442509829,EL181.328896,--
--GS,PN766,N 4601003.4019,E 586985.4154,EL135.6854,--
G0,04/19/2022 09:47:05,Base ID read at rover: 0010
G1,BP0010,PN766,DX-2797.446,DY-5787.293,DZ5334.429
G2,VX0.02253828,VY0.01250830,VZ0.02008803
G3,XY0.00013326,XZ0.00029007,YZ0.00007185
--GT,PN766,SW2206,ST208025008,EW2206,ET208025008
--HSIG:0.017, VSIG:0.028, STATUS:FIXED, SATS:13, PDOP:1.470,
HDOP:0.785, VDOP:1.242
GPS,PN767,LA41.325296854838,LN22.021400870189,EL181.102307,--
--GS,PN767,N 4600992.2920,E 586975.8979,EL135.4589,--
G0,04/19/2022 09:47:28,Base ID read at rover: 0010
G1,BP0010,PN767,DX-2787.222,DY-5793.566,DZ5326.050
G2,VX0.02048504,VY0.01147616,VZ0.01830505
G3,XY0.00011046,XZ0.00023885,YZ0.00006080
--GT,PN767,SW2206,ST208048009,EW2206,ET208048009
--HSIG:0.016, VSIG:0.025, STATUS:FIXED, SATS:13, PDOP:1.498,
HDOP:0.790, VDOP:1.273
GPS,PN768,LA41.325238450557,LN22.021349025971,EL181.650145,--
--GS,PN768,N 4600974.1302,E 586964.1002,EL136.0070,--
G0,04/19/2022 09:47:59,Base ID read at rover: 0010
G1,BP0010,PN768,DX-2771.256,DY-5800.066,DZ5312.928
G2,VX0.02608095,VY0.01468847,VZ0.02341005
G3,XY0.00018701,XZ0.00038386,YZ0.00009849
--GT,PN768,SW2206,ST208079007,EW2206,ET208079007
--HSIG:0.020, VSIG:0.032, STATUS:FIXED, SATS:11, PDOP:2.002,
HDOP:1.139, VDOP:1.646
GPS,PN769,LA41.325191974189,LN22.021297638000,EL182.294723,--
--GS,PN769,N 4600959.6493,E 586952.3638,EL136.6517,--
G0,04/19/2022 09:48:29,Base ID read at rover: 0010
G1,BP0010,PN769,DX-2757.525,DY-5807.357,DZ5302.624
G2,VX0.02040447,VY0.01129230,VZ0.01809648
G3,XY0.00010787,XZ0.00023147,YZ0.00005647
--GT,PN769,SW2206,ST208109009,EW2206,ET208109009
--HSIG:0.016, VSIG:0.025, STATUS:FIXED, SATS:11, PDOP:1.488,
HDOP:0.789, VDOP:1.261
GPS,PN770,LA41.325144183125,LN22.021243971780,EL182.773478,--
--GS,PN770,N 4600944.7565,E 586940.1042,EL137.1306,--
G0,04/19/2022 09:49:11,Base ID read at rover: 0010
G1,BP0010,PN770,DX-2743.461,DY-5815.082,DZ5291.907
G2,VX0.01922667,VY0.01076406,VZ0.01733586
G3,XY0.00009301,XZ0.00020663,YZ0.00004894
--GT,PN770,SW2206,ST208151009,EW2206,ET208151009
--HSIG:0.015, VSIG:0.024, STATUS:FIXED, SATS:11, PDOP:1.422,
HDOP:0.752, VDOP:1.207
GPS,PN771,LA41.325114145626,LN22.021204184723,EL183.215393,--
--GS,PN771,N 4600935.3792,E 586930.9952,EL137.5727,--
G0,04/19/2022 09:49:36,Base ID read at rover: 0010
G1,BP0010,PN771,DX-2733.997,DY-5821.200,DZ5285.265
G2,VX0.01875408,VY0.01048934,VZ0.01683532
G3,XY0.00008811,XZ0.00019405,YZ0.00004603
--GT,PN771,SW2206,ST208176008,EW2206,ET208176008
--HSIG:0.015, VSIG:0.023, STATUS:FIXED, SATS:14, PDOP:1.419,
HDOP:0.752, VDOP:1.203
GPS,PN772,LA41.325054297274,LN22.021322650562,EL183.346251,--
--GS,PN772,N 4600917.2470,E 586958.6717,EL137.7033,--
G0,04/19/2022 09:50:27,Base ID read at rover: 0010
G1,BP0010,PN772,DX-2732.856,DY-5791.117,DZ5271.532
G2,VX0.02258605,VY0.01234746,VZ0.01964321
G3,XY0.00013529,XZ0.00027572,YZ0.00007103
--GT,PN772,SW2206,ST208227009,EW2206,ET208227009
--HSIG:0.017, VSIG:0.028, STATUS:FIXED, SATS:13, PDOP:1.412,
HDOP:0.751, VDOP:1.196
GPS,PN773,LA41.325110137911,LN22.021356546797,EL182.801880,--
--GS,PN773,N 4600934.5679,E 586966.3197,EL137.1588,--
G0,04/19/2022 09:50:55,Base ID read at rover: 0010
G1,BP0010,PN773,DX-2746.773,DY-5788.275,DZ5284.065
G2,VX0.02055816,VY0.01133486,VZ0.01822672
G3,XY0.00010743,XZ0.00023059,YZ0.00005498
--GT,PN773,SW2206,ST208255008,EW2206,ET208255008
--HSIG:0.016, VSIG:0.025, STATUS:FIXED, SATS:14, PDOP:1.408,
HDOP:0.751, VDOP:1.192
GPS,PN774,LA41.325174149900,LN22.021395009973,EL182.287117,--
--GS,PN774,N 4600954.4224,E 586974.9956,EL136.6439,--
G0,04/19/2022 09:51:35,Base ID read at rover: 0010
G1,BP0010,PN774,DX-2762.617,DY-5785.071,DZ5298.504
G2,VX0.02261506,VY0.01196305,VZ0.01869304
G3,XY0.00013040,XZ0.00026128,YZ0.00006289
--GT,PN774,SW2206,ST208295008,EW2206,ET208295008
--HSIG:0.017, VSIG:0.027, STATUS:FIXED, SATS:12, PDOP:1.639,
HDOP:0.855, VDOP:1.399
GPS,PN775,LA41.325232999144,LN22.021469455565,EL182.049837,--
--GS,PN775,N 4600972.7846,E 586992.0296,EL136.4064,--
G0,04/19/2022 09:52:06,Base ID read at rover: 0010
G1,BP0010,PN775,DX-2780.418,DY-5773.662,DZ5311.935
G2,VX0.02143425,VY0.01161330,VZ0.02032759
G3,XY0.00010852,XZ0.00026196,YZ0.00004384
--GT,PN775,SW2206,ST208326007,EW2206,ET208326007
--HSIG:0.017, VSIG:0.027, STATUS:FIXED, SATS:11, PDOP:2.063,
HDOP:1.137, VDOP:1.722
GPS,PN776,LA41.325285320232,LN22.021518645657,EL182.014175,--
--GS,PN776,N 4600989.0624,E 587003.2348,EL136.3706,--
G0,04/19/2022 09:52:42,Base ID read at rover: 0010
G1,BP0010,PN776,DX-2794.644,DY-5767.122,DZ5323.992
G2,VX0.01755483,VY0.00874332,VZ0.01441989
G3,XY0.00007482,XZ0.00015562,YZ0.00003492
--GT,PN776,SW2206,ST208362008,EW2206,ET208362008
--HSIG:0.013, VSIG:0.021, STATUS:FIXED, SATS:13, PDOP:1.533,
HDOP:0.808, VDOP:1.303
GPS,PN777,LA41.325313909957,LN22.021552135406,EL181.657922,--
--GS,PN777,N 4600997.9756,E 587010.8897,EL136.0142,--
G0,04/19/2022 09:53:06,Base ID read at rover: 0010

G1, BP0010, PN777, DX-2803.226, DY-5762.222, DZ5330.357
G2, VX0.02469726, VY0.01353297, VZ0.02211908
G3, XY0.00015500, XZ0.00032687, YZ0.00007222
--GT, PN777, SW2206, ST208386008, EW2206, ET208386008
--HSIG:0.019, VSIG:0.030, STATUS:FIXED, SATS:13, PDOP:1.529,
HDOP:0.808, VDOP:1.298
GPS, PN778, LA41.325342402128, LN22.021574536920, EL181.653498, --ZP
--GS, PN778, N 4601006.8277, E 5870115.9752, EL136.0097, --ZP
G0, 04/19/2022 09:53:29, Base ID read at rover: 0010
G1, BP0010, PN778, DX-2810.582, DY-5759.598, DZ5336.933
G2, VX0.02101026, VY0.01187515, VZ0.01928403
G3, XY0.00011521, XZ0.00024024, YZ0.00005403
--GT, PN778, SW2206, ST208409008, EW2206, ET208409008
--HSIG:0.017, VSIG:0.026, STATUS:FIXED, SATS:14, PDOP:1.387,
HDOP:0.748, VDOP:1.168
GPS, PN779, LA41.325348878135, LN22.021581325997, EL181.646350, --ZP
--GS, PN779, N 4601008.8444, E 587017.5245, EL136.0026, --ZP
G0, 04/19/2022 09:53:34, Base ID read at rover: 0010
G1, BP0010, PN779, DX-2812.405, DY-5758.639, DZ5338.423
G2, VX0.01992156, VY0.01128622, VZ0.01830456
G3, XY0.00010395, XZ0.00021561, YZ0.00004845
--GT, PN779, SW2206, ST208414008, EW2206, ET208414008
--HSIG:0.016, VSIG:0.025, STATUS:FIXED, SATS:14, PDOP:1.386,
HDOP:0.748, VDOP:1.168
GPS, PN780, LA41.325365162949, LN22.021532512877, EL181.408292, --ZP
--GS, PN780, N 4601013.7319, E 587006.1518, EL135.7646, --ZP
G0, 04/19/2022 09:53:48, Base ID read at rover: 0010
G1, BP0010, PN780, DX-2811.415, DY-5770.443, DZ5342.025
G2, VX0.02096891, VY0.01337846, VZ0.01873392
G3, XY0.00016008, XZ0.00023285, YZ0.00007949
--GT, PN780, SW2206, ST208428008, EW2206, ET208428008
--HSIG:0.017, VSIG:0.026, STATUS:FIXED, SATS:10, PDOP:1.868,
HDOP:1.092, VDOP:1.516
GPS, PN781, LA41.325370173143, LN22.021536780746, EL181.296000, --ZP
--GS, PN781, N 4601015.2894, E 587007.1222, EL135.6523, --ZP
G0, 04/19/2022 09:53:52, Base ID read at rover: 0010
G1, BP0010, PN781, DX-2812.814, DY-5769.942, DZ5343.108
G2, VX0.01846363, VY0.01083781, VZ0.01661167
G3, XY0.00009591, XZ0.00017972, YZ0.00004578
--GT, PN781, SW2206, ST208432008, EW2206, ET208432008
--HSIG:0.015, VSIG:0.023, STATUS:FIXED, SATS:13, PDOP:1.515,
HDOP:0.860, VDOP:1.247
GPS, PN782, LA41.325370226050, LN22.021629538714, EL181.217664, --
--GS, PN782, N 4601015.5647, E 587028.6182, EL135.5737, --
G0, 04/19/2022 09:54:18, Base ID read at rover: 0010
G1, BP0010, PN782, DX-2820.945, DY-5750.041, DZ5343.068
G2, VX0.01814059, VY0.00994104, VZ0.01616089
G3, XY0.00008240, XZ0.00017106, YZ0.00003795
--GT, PN782, SW2206, ST208458008, EW2206, ET208458008
--HSIG:0.014, VSIG:0.022, STATUS:FIXED, SATS:13, PDOP:1.380,
HDOP:0.747, VDOP:1.160
GPS, PN783, LA41.325378657546, LN22.021645107431, EL180.898494, --
--GS, PN783, N 4601018.2092, E 587032.1949, EL135.2545, --
G0, 04/19/2022 09:54:29, Base ID read at rover: 0010
G1, BP0010, PN783, DX-2824.119, DY-5747.433, DZ5344.803
G2, VX0.01772916, VY0.00967712, VZ0.01569878
G3, XY0.00007885, XZ0.00016216, YZ0.00003569
--GT, PN783, SW2206, ST208469009, EW2206, ET208469009
--HSIG:0.014, VSIG:0.021, STATUS:FIXED, SATS:13, PDOP:1.515,
HDOP:0.805, VDOP:1.284
GPS, PN784, LA41.325360376488, LN22.021736987697, EL181.091947, --
--GS, PN784, N 4601012.8262, E 587053.5556, EL135.4478, --
G0, 04/19/2022 09:55:24, Base ID read at rover: 0010
G1, BP0010, PN784, DX-2828.508, DY-5726.236, DZ5340.710
G2, VX0.01865415, VY0.01027041, VZ0.01597446
G3, XY0.00009173, XZ0.00016932, YZ0.00004016
--GT, PN784, SW2206, ST208524008, EW2206, ET208524008
--HSIG:0.015, VSIG:0.022, STATUS:FIXED, SATS:12, PDOP:1.506,
HDOP:0.804, VDOP:1.273
GPS, PN785, LA41.325348155191, LN22.021720418767, EL181.293186, --
--GS, PN785, N 4601009.0098, E 587049.7613, EL135.6491, --
G0, 04/19/2022 09:55:35, Base ID read at rover: 0010
G1, BP0010, PN785, DX-2824.609, DY-5728.801, DZ5338.022
G2, VX0.01718910, VY0.00981296, VZ0.01566234
G3, XY0.00007761, XZ0.00015410, YZ0.00003520
--GT, PN785, SW2206, ST208535008, EW2206, ET208535008
--HSIG:0.014, VSIG:0.021, STATUS:FIXED, SATS:14, PDOP:1.368,
HDOP:0.745, VDOP:1.147
GPS, PN786, LA41.325326976720, LN22.021678835513, EL181.530509, --
--GS, PN786, N 4601002.3603, E 587040.2033, EL135.8865, --
G0, 04/19/2022 09:55:48, Base ID read at rover: 0010
G1, BP0010, PN786, DX-2816.811, DY-5736.042, DZ5333.289
G2, VX0.01737128, VY0.01043486, VZ0.0152764
G3, XY0.00008760, XZ0.00015774, YZ0.00004338
--GT, PN786, SW2206, ST208548008, EW2206, ET208548008
--HSIG:0.014, VSIG:0.021, STATUS:FIXED, SATS:12, PDOP:1.511,
HDOP:0.855, VDOP:1.246
GPS, PN787, LA41.325310576316, LN22.021649731676, EL181.956679, --ZP
--GS, PN787, N 4600997.2197, E 587033.5196, EL136.3128, --ZP
G0, 04/19/2022 09:56:01, Base ID read at rover: 0010
G1, BP0010, PN787, DX-2810.874, DY-5740.915, DZ5329.785
G2, VX0.01654017, VY0.00949975, VZ0.01507890
G3, XY0.00007229, XZ0.00014133, YZ0.00003223
--GT, PN787, SW2206, ST208561008, EW2206, ET208561008
--HSIG:0.013, VSIG:0.020, STATUS:FIXED, SATS:14, PDOP:1.365,
HDOP:0.745, VDOP:1.144
GPS, PN788, LA41.325304763675, LN22.021645313223, EL182.019773, --ZP
--GS, PN788, N 4600995.4142, E 587032.5172, EL136.3759, --ZP
G0, 04/19/2022 09:56:07, Base ID read at rover: 0010
G1, BP0010, PN788, DX-2809.344, DY-5741.400, DZ5328.485
G2, VX0.01639780, VY0.00942720, VZ0.01494990
G3, XY0.00007109, XZ0.00013857, YZ0.00003160
--GT, PN788, SW2206, ST208567008, EW2206, ET208567008
--HSIG:0.013, VSIG:0.020, STATUS:FIXED, SATS:14, PDOP:1.364,
HDOP:0.745, VDOP:1.143
GPS, PN789, LA41.325269623242, LN22.021611666328, EL182.165083, --
--GS, PN789, N 4600984.4797, E 587024.8503, EL136.5213, --
G0, 04/19/2022 09:56:38, Base ID read at rover: 0010
G1, BP0010, PN789, DX-2799.651, DY-5745.890, DZ5320.467
G2, VX0.01600141, VY0.00924989, VZ0.01458322
G3, XY0.00006969, XZ0.00013197, YZ0.00002988
--GT, PN789, SW2206, ST208598009, EW2206, ET208598009
--HSIG:0.013, VSIG:0.020, STATUS:FIXED, SATS:14, PDOP:1.359,
HDOP:0.744, VDOP:1.138
GPS, PN790, LA41.325229353503, LN22.021581656198, EL182.530709, --
--GS, PN790, N 4600971.9731, E 587018.0452, EL136.8871, --
G0, 04/19/2022 09:56:59, Base ID read at rover: 0010
G1, BP0010, PN790, DX-2789.150, DY-5749.143, DZ5311.412
G2, VX0.01673238, VY0.01005361, VZ0.01527751
G3, XY0.00007950, XZ0.00014459, YZ0.00003726
--GT, PN790, SW2206, ST208619009, EW2206, ET208619009
--HSIG:0.014, VSIG:0.021, STATUS:FIXED, SATS:13, PDOP:1.671,
HDOP:0.965, VDOP:1.363
GPS, PN791, LA41.325189340151, LN22.021542344831, EL182.618820, --
--GS, PN791, N 4600959.5199, E 587009.1045, EL136.9753, --
G0, 04/19/2022 09:57:19, Base ID read at rover: 0010
G1, BP0010, PN791, DX-2778.088, DY-5754.472, DZ5302.231
G2, VX0.01770291, VY0.01109403, VZ0.01575529
G3, XY0.00009307, XZ0.00015536, YZ0.00004630
--GT, PN791, SW2206, ST208639008, EW2206, ET208639008
--HSIG:0.015, VSIG:0.022, STATUS:FIXED, SATS:12, PDOP:1.488,
HDOP:0.843, VDOP:1.226
GPS, PN792, LA41.325144818171, LN22.021499321944, EL182.730596, --
--GS, PN792, N 4600945.6649, E 586999.2786, EL137.0872, --
G0, 04/19/2022 09:57:43, Base ID read at rover: 0010
G1, BP0010, PN792, DX-2765.817, DY-5760.285, DZ5292.025
G2, VX0.01657037, VY0.00971039, VZ0.01516517
G3, XY0.00007430, XZ0.00013890, YZ0.00003173
--GT, PN792, SW2206, ST208663009, EW2206, ET208663009
--HSIG:0.014, VSIG:0.020, STATUS:FIXED, SATS:14, PDOP:1.350,
HDOP:0.743, VDOP:1.127
GPS, PN793, LA41.325103210094, LN22.021453965666, EL182.865037, --
--GS, PN793, N 4600932.7026, E 586988.9220, EL137.2218, --
G0, 04/19/2022 09:58:10, Base ID read at rover: 0010
G1, BP0010, PN793, DX-2753.887, DY-5766.796, DZ5282.507
G2, VX0.04775721, VY0.02659568, VZ0.02458847
G3, XY0.00098234, XZ0.00084564, YZ0.00041858
--GT, PN793, SW2206, ST208690008, EW2206, ET208690008
--HSIG:0.029, VSIG:0.052, STATUS:FIXED, SATS:9, PDOP:5.181,
HDOP:2.324, VDOP:4.630
GPS, PN794, LA41.325067391202, LN22.021400670999, EL183.107691, --
--GS, PN794, N 4600921.5041, E 586976.7041, EL137.4646, --
G0, 04/19/2022 09:58:36, Base ID read at rover: 0010
G1, BP0010, PN794, DX-2742.290, DY-5775.428, DZ5274.398
G2, VX0.01709496, VY0.00984803, VZ0.01533411
G3, XY0.00007921, XZ0.00014603, YZ0.00003343
--GT, PN794, SW2206, ST208716009, EW2206, ET208716009
--HSIG:0.014, VSIG:0.021, STATUS:FIXED, SATS:14, PDOP:1.341,
HDOP:0.742, VDOP:1.118
GPS, PN795, LA41.324991692251, LN22.021461658561, EL183.718716, --
--GS, PN795, N 4600898.3218, E 586991.1191, EL138.0756, --
G0, 04/19/2022 09:59:25, Base ID read at rover: 0010
G1, BP0010, PN795, DX-2732.812, DY-5756.342, DZ5257.324
G2, VX0.01699072, VY0.00990983, VZ0.01579590
G3, XY0.00007744, XZ0.00014587, YZ0.00003064
--GT, PN795, SW2206, ST208765009, EW2206, ET208765009
--HSIG:0.014, VSIG:0.021, STATUS:FIXED, SATS:13, PDOP:1.433,
HDOP:0.818, VDOP:1.177
GPS, PN796, LA41.325041761878, LN22.021545444275, EL183.555189, --
--GS, PN796, N 4600914.0017, E 587010.3503, EL137.9119, --
G0, 04/19/2022 10:00:04, Base ID read at rover: 0010
G1, BP0010, PN796, DX-2749.709, DY-5742.232, DZ5268.777
G2, VX0.01870700, VY0.01018286, VZ0.01583264
G3, XY0.00009185, XZ0.00016584, YZ0.00003584
--GT, PN796, SW2206, ST208804008, EW2206, ET208804008
--HSIG:0.015, VSIG:0.022, STATUS:FIXED, SATS:11, PDOP:1.671,
HDOP:0.940, VDOP:1.382
GPS, PN797, LA41.325093499628, LN22.021600322256, EL183.363474, --
--GS, PN797, N 4600930.1156, E 587022.8759, EL137.7200, --
G0, 04/19/2022 10:00:31, Base ID read at rover: 0010
G1, BP0010, PN797, DX-2764.427, DY-5734.468, DZ5280.596
G2, VX0.02057630, VY0.01094112, VZ0.01680277
G3, XY0.00011984, XZ0.00018629, YZ0.00004247
--GT, PN797, SW2206, ST208831009, EW2206, ET208831009
--HSIG:0.016, VSIG:0.024, STATUS:FIXED, SATS:11, PDOP:1.870,
HDOP:1.059, VDOP:1.541

GPS,PN798,LA41.325132379555,LN22.021653859598,EL183.153109,--
--GS,PN798,N 4600942.2591,E 587035.1386,EL137.5094,--
G0,04/19/2022 10:00:55,Base ID read at rover: 0010
G1,BP0010,PN798,DX-2776.604,DY-5726.010,DZ5289.433
G2,VX0.01853082,VY0.01076384,VZ0.01714190
G3,XY0.00009594,XZ0.00016904,YZ0.00003937
--GT,PN798,SW2206,ST208855009,EW2206,ET208855009
--HSIG:0.016, VSI:0.023, STATUS:FIXED, SATS:12, PDOP:1.506,
HDOP:0.831, VDOP:1.256
GPS,PN799,LA41.325182600536,LN22.021704591468,EL183.080578,--
--GS,PN799,N 4600957.8935,E 587046.7089,EL137.4367,--
G0,04/19/2022 10:01:38,Base ID read at rover: 0010
G1,BP0010,PN799,DX-2790.592,DY-5718.988,DZ5300.981
G2,VX0.02610656,VY0.01776703,VZ0.02219177
G3,XY0.00033637,XZ0.00039290,YZ0.00022570
--GT,PN799,SW2206,ST208898009,EW2206,ET208898009
--HSIG:0.019, VSI:0.034, STATUS:FIXED, SATS:11, PDOP:1.315,
HDOP:0.738, VDOP:1.088
GPS,PN800,LA41.325207944688,LN22.021733511065,EL182.712955,--
--GS,PN800,N 4600965.7927,E 587053.3167,EL137.0690,--
G0,04/19/2022 10:02:01,Base ID read at rover: 0010
G1,BP0010,PN800,DX-2798.169,DY-5714.824,DZ5306.589
G2,VX0.02093682,VY0.01159210,VZ0.01806811
G3,XY0.00012655,XZ0.00020674,YZ0.00005033
--GT,PN800,SW2206,ST208921009,EW2206,ET208921009
--HSIG:0.017, VSI:0.025, STATUS:FIXED, SATS:11, PDOP:1.984,
HDOP:1.132, VDOP:1.629
GPS,PN801,LA41.325233645958,LN22.021763633007,EL182.480771,--ZP
--GS,PN801,N 4600973.8055,E 587060.2018,EL136.8368,--ZP
G0,04/19/2022 10:02:32,Base ID read at rover: 0010
G1,BP0010,PN801,DX-2805.824,DY-5710.391,DZ5312.370
G2,VX0.01887384,VY0.01103250,VZ0.011738010
G3,XY0.00010217,XZ0.00017052,YZ0.00003742
--GT,PN801,SW2206,ST208952009,EW2206,ET208952009
--HSIG:0.016, VSI:0.023, STATUS:FIXED, SATS:14, PDOP:1.306,
HDOP:0.737, VDOP:1.079
GPS,PN802,LA41.325240131600,LN22.021768577387,EL182.454034,--ZP
--GS,PN802,N 4600975.8200,E 587061.3235,EL136.8100,--ZP
G0,04/19/2022 10:02:37,Base ID read at rover: 0010
G1,BP0010,PN802,DX-2807.503,DY-5709.835,DZ5313.850
G2,VX0.01904317,VY0.01099186,VZ0.011733208
G3,XY0.00010176,XZ0.00017087,YZ0.00003714
--GT,PN802,SW2206,ST208957009,EW2206,ET208957009
--HSIG:0.016, VSI:0.023, STATUS:FIXED, SATS:13, PDOP:1.306,
HDOP:0.737, VDOP:1.078
GPS,PN803,LA41.325274256894,LN22.021800614451,EL181.915948,--
--GS,PN803,N 4600986.4369,E 587068.6211,EL136.2718,--
G0,04/19/2022 10:02:59,Base ID read at rover: 0010
G1,BP0010,PN803,DX-2817.135,DY-5705.723,DZ5321.372
G2,VX0.01944597,VY0.01103183,VZ0.01178218
G3,XY0.00010099,XZ0.00017259,YZ0.00003653
--GT,PN803,SW2206,ST208979008,EW2206,ET208979008
--HSIG:0.016, VSI:0.023, STATUS:FIXED, SATS:10, PDOP:1.654,
HDOP:0.941, VDOP:1.360
GPS,PN804,LA41.325313862909,LN22.021841711185,EL181.672292,--
--GS,PN804,N 4600998.7698,E 587077.9978,EL136.0280,--
G0,04/19/2022 10:03:18,Base ID read at rover: 0010
G1,BP0010,PN804,DX-2828.390,DY-5700.004,DZ5330.355
G2,VX0.02061561,VY0.01128837,VZ0.01751003
G3,XY0.00012250,XZ0.00019152,YZ0.00004308
--GT,PN804,SW2206,ST208998009,EW2206,ET208998009
--HSIG:0.016, VSI:0.024, STATUS:FIXED, SATS:12, PDOP:1.652,
HDOP:0.941, VDOP:1.358
GPS,PN805,LA41.325269653306,LN22.021837290867,EL182.138585,--OB
--GS,PN805,N 4600985.1192,E 587077.1378,EL136.4944,--OB
G0,04/19/2022 10:03:49,Base ID read at rover: 0010
G1,BP0010,PN805,DX-2819.297,DY-5697.428,DZ5320.457
G2,VX0.01824551,VY0.01083725,VZ0.01834390
G3,XY0.00009500,XZ0.00016372,YZ0.00003197
--GT,PN805,SW2206,ST209029008,EW2206,ET209029008
--HSIG:0.016, VSI:0.023, STATUS:FIXED, SATS:12, PDOP:1.295,
HDOP:0.736, VDOP:1.066
GPS,PN806,LA41.325248011236,LN22.021819945322,EL182.475345,--OB
--GS,PN806,N 4600978.3943,E 587073.1985,EL136.8312,--OB
G0,04/19/2022 10:04:20,Base ID read at rover: 0010
G1,BP0010,PN806,DX-2813.450,DY-5699.398,DZ5315.683
G2,VX0.02765130,VY0.01510875,VZ0.02467227
G3,XY0.00014410,XZ0.00023572,YZ0.00005321
--GT,PN806,SW2206,ST209060007,EW2206,ET209060007
--HSIG:0.026, VSI:0.031, STATUS:FIXED, SATS:11, PDOP:1.606,
HDOP:0.901, VDOP:1.329
GPS,PN807,LA41.325194180580,LN22.021822055295,EL182.614210,--ZP
--GS,PN807,N 4600961.7940,E 587073.8877,EL136.9701,--ZP
G0,04/19/2022 10:04:50,Base ID read at rover: 0010
G1,BP0010,PN807,DX-2803.327,DY-5694.772,DZ5303.346
G2,VX0.02094352,VY0.01180410,VZ0.01911713
G3,XY0.00013009,XZ0.00020150,YZ0.00004052
--GT,PN807,SW2206,ST209090009,EW2206,ET209090009
--HSIG:0.018, VSI:0.025, STATUS:FIXED, SATS:14, PDOP:1.286,
HDOP:0.734, VDOP:1.055
GPS,PN808,LA41.325188013212,LN22.021816834526,EL182.790684,--ZP
--GS,PN808,N 4600959.8768,E 587072.7007,EL137.1466,--ZP
G0,04/19/2022 10:04:56,Base ID read at rover: 0010

G1,BP0010,PN808,DX-2801.581,DY-5695.371,DZ5302.039
G2,VX0.02016736,VY0.01167032,VZ0.01856650
G3,XY0.00012230,XZ0.00018769,YZ0.00003979
--GT,PN808,SW2206,ST209096009,EW2206,ET209096009
--HSIG:0.017, VSI:0.024, STATUS:FIXED, SATS:14, PDOP:1.285,
HDOP:0.734, VDOP:1.054
GPS,PN809,LA41.325170503028,LN22.021803069044,EL183.010705,--
--GS,PN809,N 4600954.4366,E 587069.5758,EL137.3667,--
G0,04/19/2022 10:05:39,Base ID read at rover: 0010
G1,BP0010,PN809,DX-2796.910,DY-5696.922,DZ5298.142
G2,VX0.01940769,VY0.01219246,VZ0.01948872
G3,XY0.00011114,XZ0.00017786,YZ0.00004544
--GT,PN809,SW2206,ST209139009,EW2206,ET209139009
--HSIG:0.018, VSI:0.024, STATUS:FIXED, SATS:11, PDOP:1.279,
HDOP:0.733, VDOP:1.048
GPS,PN810,LA41.325142133024,LN22.021774944479,EL183.301257,--
--GS,PN810,N 4600945.6062,E 587063.1634,EL137.6573,--
G0,04/19/2022 10:05:53,Base ID read at rover: 0010
G1,BP0010,PN810,DX-2788.881,DY-5700.704,DZ5291.784
G2,VX0.01922080,VY0.01121054,VZ0.01783887
G3,XY0.00010772,XZ0.00016877,YZ0.00003342
--GT,PN810,SW2206,ST209153009,EW2206,ET209153009
--HSIG:0.017, VSI:0.023, STATUS:FIXED, SATS:14, PDOP:1.459,
HDOP:0.865, VDOP:1.174
GPS,PN811,LA41.325110075406,LN22.021766577635,EL183.483670,--
--GS,PN811,N 4600935.6933,E 587061.3437,EL137.8398,--
G0,04/19/2022 10:06:17,Base ID read at rover: 0010
G1,BP0010,PN811,DX-2781.946,DY-5699.989,DZ5284.503
G2,VX0.01913186,VY0.01113937,VZ0.01956164
G3,XY0.00010356,XZ0.00017133,YZ0.00002303
--GT,PN811,SW2206,ST209177009,EW2206,ET209177009
--HSIG:0.018, VSI:0.024, STATUS:FIXED, SATS:12, PDOP:1.593,
HDOP:0.980, VDOP:1.256
GPS,PN812,LA41.325087523142,LN22.021718353519,EL183.642991,--
--GS,PN812,N 4600928.6015,E 587050.2517,EL137.9992,--
G0,04/19/2022 10:07:07,Base ID read at rover: 0010
G1,BP0010,PN812,DX-2773.365,DY-5708.573,DZ5279.401
G2,VX0.02471919,VY0.01343277,VZ0.02449407
G3,XY0.00019242,XZ0.00030252,YZ0.00003867
--GT,PN812,SW2206,ST209227009,EW2206,ET209227009
--HSIG:0.021, VSI:0.031, STATUS:FIXED, SATS:14, PDOP:1.266,
HDOP:0.732, VDOP:1.033
GPS,PN813,LA41.325051187751,LN22.021690285593,EL183.930343,--
--GS,PN813,N 4600917.3139,E 587043.8820,EL138.2867,--
G0,04/19/2022 10:07:27,Base ID read at rover: 0010
G1,BP0010,PN813,DX-2763.832,DY-5711.733,DZ5271.202
G2,VX0.02241195,VY0.01263146,VZ0.02747824
G3,XY0.00014798,XZ0.00027255,YZ0.00000386
--GT,PN813,SW2206,ST209247009,EW2206,ET209247009
--HSIG:0.023, VSI:0.030, STATUS:FIXED, SATS:14, PDOP:1.520,
HDOP:0.912, VDOP:1.216
GPS,PN814,LA41.325017301888,LN22.021652979717,EL183.859014,--
--GS,PN814,N 4600906.7563,E 587035.3624,EL138.2155,--
G0,04/19/2022 10:07:46,Base ID read at rover: 0010
G1,BP0010,PN814,DX-2754.210,DY-5717.166,DZ5263.330
G2,VX0.03304397,VY0.02050420,VZ0.02971449
G3,XY0.00053105,XZ0.00058511,YZ0.00025997
--GT,PN814,SW2206,ST209266009,EW2206,ET209266009
--HSIG:0.025, VSI:0.042, STATUS:FIXED, SATS:11, PDOP:1.302,
HDOP:0.770, VDOP:1.050
GPS,PN815,LA41.324967639253,LN22.021594279351,EL184.276745,--
--GS,PN815,N 4600891.2719,E 587021.9433,EL138.6334,--
G0,04/19/2022 10:08:15,Base ID read at rover: 0010
G1,BP0010,PN815,DX-2739.396,DY-5725.846,DZ5252.140
G2,VX0.02558350,VY0.01484755,VZ0.02558046
G3,XY0.00020717,XZ0.00033396,YZ0.00006143
--GT,PN815,SW2206,ST209295009,EW2206,ET209295009
--HSIG:0.022, VSI:0.032, STATUS:FIXED, SATS:10, PDOP:1.694,
HDOP:1.026, VDOP:1.348
GPS,PN816,LA41.324937512088,LN22.021548153250,EL184.191460,--
--GS,PN816,N 4600881.8492,E 587011.3655,EL138.5482,--
G0,04/19/2022 10:08:31,Base ID read at rover: 0010
G1,BP0010,PN816,DX-2729.730,DY-5733.467,DZ5245.127
G2,VX0.03436646,VY0.02015566,VZ0.02496561
G3,XY0.00053198,XZ0.00054837,YZ0.00022041
--GT,PN816,SW2206,ST209311009,EW2206,ET209311009
--HSIG:0.023, VSI:0.041, STATUS:FIXED, SATS:10, PDOP:1.847,
HDOP:1.037, VDOP:1.528
GPS,PN817,LA41.324899569449,LN22.021504216720,EL184.704343,--
--GS,PN817,N 4600870.0216,E 587001.3242,EL139.0613,--
G0,04/19/2022 10:08:49,Base ID read at rover: 0010
G1,BP0010,PN817,DX-2718.356,DY-5739.849,DZ5236.706
G2,VX0.02572940,VY0.01478306,VZ0.02359289
G3,XY0.00022015,XZ0.00030822,YZ0.00007942
--GT,PN817,SW2206,ST209329009,EW2206,ET209329009
--HSIG:0.021, VSI:0.031, STATUS:FIXED, SATS:11, PDOP:1.654,
HDOP:0.996, VDOP:1.320
GPS,PN818,LA41.324849680482,LN22.021590807985,EL185.124620,--
--GS,PN818,N 4600854.8730,E 587021.5772,EL139.4814,--
G0,04/19/2022 10:09:19,Base ID read at rover: 0010
G1,BP0010,PN818,DX-2716.133,DY-5717.298,DZ5225.466
G2,VX0.03200423,VY0.02001129,VZ0.02568110
G3,XY0.00039688,XZ0.00041410,YZ0.00015428

--GT,PN818,SW2206,ST209359009,EW2206,ET209359009
--HSIG:0.026, VSIG:0.038, STATUS:FIXED, SATS:9, PDOP:2.266,
HDOP:1.329, VDOP:1.836
GPS,PN819,LA41.324898808943,LN22.021647427844,EL184.934738,--
--GS,PN819,N 4600870.1868, E 587034.5162,EL139.2914,--
G0,04/19/2022 10:09:37,Base ID read at rover: 0010
G1,BP0010,PN819,DX-2730.506,DY-5708.959,DZ5236.684
G2,VX0.05656051,VY0.03421760,VZ0.04434115
G3,XY0.00124166,XZ0.00133727,YZ0.00049018
--GT,PN819,SW2206,ST209377008,EW2206,ET209377008
--HSIG:0.044, VSIG:0.066, STATUS:FIXED, SATS:8, PDOP:1.751,
HDOP:1.079, VDOP:1.379
GPS,PN820,LA41.324955520431,LN22.021708759808,EL184.554814,--
--GS,PN820,N 4600887.8530, E 587048.5191,EL138.9113,--
G0,04/19/2022 10:10:00,Base ID read at rover: 0010
G1,BP0010,PN820,DX-2746.860,DY-5700.243,DZ5249.526
G2,VX0.03021509,VY0.01727522,VZ0.03733795
G3,XY0.00029094,XZ0.00052798,YZ-0.00003447
--GT,PN820,SW2206,ST209400007,EW2206,ET209400007
--HSIG:0.031, VSIG:0.041, STATUS:FIXED, SATS:7, PDOP:2.336,
HDOP:1.346, VDOP:1.909
GPS,PN821,LA41.325002723646,LN22.021754991097,EL184.344678,--
--GS,PN821,N 4600902.5439, E 587059.0576,EL138.7010,--
G0,04/19/2022 10:10:32,Base ID read at rover: 0010
G1,BP0010,PN821,DX-2759.980,DY-5693.994,DZ5260.286
G2,VX0.02354033,VY0.01407769,VZ0.02780955
G3,XY0.00019682,XZ0.00029772,YZ0.00004975
--GT,PN821,SW2206,ST209432007,EW2206,ET209432007
--HSIG:0.023, VSIG:0.031, STATUS:FIXED, SATS:10, PDOP:2.215,
HDOP:1.282, VDOP:1.806
GPS,PN822,LA41.325036525349,LN22.021788766193,EL184.128980,--
--GS,PN822,N 4600913.0658, E 587066.7593,EL138.4852,--
G0,04/19/2022 10:10:46,Base ID read at rover: 0010
G1,BP0010,PN822,DX-2769.478,DY-5689.394,DZ5267.948
G2,VX0.02175912,VY0.01292956,VZ0.03623149
G3,XY0.00012595,XZ0.00028255,YZ-0.00010145
--GT,PN822,SW2206,ST209446008,EW2206,ET209446008
--HSIG:0.029, VSIG:0.033, STATUS:FIXED, SATS:11, PDOP:1.804,
HDOP:1.022, VDOP:1.487
GPS,PN823,LA41.325047391085,LN22.021811581216,EL184.084842,--
--GS,PN823,N 4600916.4815, E 587072.0062,EL138.4410,--
G0,04/19/2022 10:10:54,Base ID read at rover: 0010
G1,BP0010,PN823,DX-2773.554,DY-5685.339,DZ5270.428
G2,VX0.03576649,VY0.02274749,VZ0.03836319
G3,XY0.00053187,XZ0.00063089,YZ0.00016437
--GT,PN823,SW2206,ST209454008,EW2206,ET209454008
--HSIG:0.033, VSIG:0.046, STATUS:FIXED, SATS:9, PDOP:1.419,
HDOP:0.822, VDOP:1.157
GPS,PN824,LA41.325096998170,LN22.021841997078,EL183.301185,--
--GS,PN824,N 4600931.8698, E 587078.8706,EL137.6572,--
G0,04/19/2022 10:11:27,Base ID read at rover: 0010
G1,BP0010,PN824,DX-2786.152,DY-5682.834,DZ5281.362
G2,VX0.02083688,VY0.01194885,VZ0.02061293
G3,XY0.00013064,XZ0.00017975,YZ0.00002585
--GT,PN824,SW2206,ST209487009,EW2206,ET209487009
--HSIG:0.019, VSIG:0.025, STATUS:FIXED, SATS:14, PDOP:1.229,
HDOP:0.727, VDOP:0.991
GPS,PN825,LA41.325146117300,LN22.021859592024,EL183.004103,--
--GS,PN825,N 4600947.0717, E 587082.7655,EL137.3600,--
G0,04/19/2022 10:11:41,Base ID read at rover: 0010
G1,BP0010,PN825,DX-2797.204,DY-5682.908,DZ5292.507
G2,VX0.02099437,VY0.01192589,VZ0.01967607
G3,XY0.00013020,XZ0.00017551,YZ0.00003072
--GT,PN825,SW2206,ST209501009,EW2206,ET209501009
--HSIG:0.019, VSIG:0.025, STATUS:FIXED, SATS:12, PDOP:1.844,
HDOP:1.044, VDOP:1.520
GPS,PN826,LA41.325219276019,LN22.021889486624,EL182.156950,--OB
--GS,PN826,N 4600969.7241, E 587089.4214,EL136.5127,--OB
G0,04/19/2022 10:12:26,Base ID read at rover: 0010
G1,BP0010,PN826,DX-2814.268,DY-5682.341,DZ5308.837
G2,VX0.02298610,VY0.01379038,VZ0.01891709
G3,XY0.00018522,XZ0.00018660,YZ0.00005091
--GT,PN826,SW2206,ST209546008,EW2206,ET209546008
--HSIG:0.020, VSIG:0.026, STATUS:FIXED, SATS:10, PDOP:1.626,
HDOP:0.984, VDOP:1.295
GPS,PN827,LA41.325274239374,LN22.021950401472,EL181.371245,--
--GS,PN827,N 4600986.8502, E 587103.3546,EL135.7268,--
G0,04/19/2022 10:12:55,Base ID read at rover: 0010
G1,BP0010,PN827,DX-2830.544,DY-5673.676,DZ5321.007
G2,VX0.02285277,VY0.01310526,VZ0.02473703
G3,XY0.00017019,XZ0.00025062,YZ0.00004465
--GT,PN827,SW2206,ST209575008,EW2206,ET209575008
--HSIG:0.021, VSIG:0.029, STATUS:FIXED, SATS:10, PDOP:1.847,
HDOP:1.044, VDOP:1.524
GPS,PN828,LA41.325241103571,LN22.021946979918,EL181.687939,--
--GS,PN828,N 4600976.6183, E 587102.6641,EL136.0435,--
G0,04/19/2022 10:13:06,Base ID read at rover: 0010
G1,BP0010,PN828,DX-2823.734,DY-5671.797,DZ5313.566
G2,VX0.06008935,VY0.05885552,VZ0.06358426
G3,XY0.00160649,XZ0.00184835,YZ-0.00138712
--GT,PN828,SW2206,ST209586008,EW2206,ET209586008
--HSIG:0.074, VSIG:0.075, STATUS:FIXED, SATS:10, PDOP:2.242,
HDOP:1.401, VDOP:1.751
GPS,PN829,LA41.325203583418,LN22.021957062925,EL182.061301,--
--GS,PN829,N 4600965.0719, E 587105.1403,EL136.4169,--
G0,04/19/2022 10:13:21,Base ID read at rover: 0010
G1,BP0010,PN829,DX-2817.235,DY-5666.645,DZ5305.150
G2,VX0.06854690,VY0.03852416,VZ0.07425211
G3,XY0.00020145,XZ0.00038222,YZ0.00000977
--GT,PN829,SW2206,ST209601008,EW2206,ET209601008
--HSIG:0.080, VSIG:0.072, STATUS:FIXED, SATS:8, PDOP:3.013,
HDOP:1.472, VDOP:2.629
GPS,PN830,LA41.325193747969,LN22.021979361149,EL181.620081,--
--GS,PN830,N 4600962.1000, E 587110.3445,EL135.9757,--
G0,04/19/2022 10:13:31,Base ID read at rover: 0010
G1,BP0010,PN830,DX-2817.615,DY-5661.224,DZ5302.587
G2,VX0.04892292,VY0.03288730,VZ0.04354435
G3,XY0.00130155,XZ0.00128234,YZ0.00067988
--GT,PN830,SW2206,ST209611008,EW2206,ET209611008
--HSIG:0.037, VSIG:0.063, STATUS:FIXED, SATS:7, PDOP:3.018,
HDOP:1.474, VDOP:2.634
GPS,PN831,LA41.325234838225,LN22.022007354936,EL181.165273,--BUN
--GS,PN831,N 4600974.8542, E 587116.6791,EL135.5208,--BUN
G0,04/19/2022 10:14:08,Base ID read at rover: 0010
G1,BP0010,PN831,DX-2828.159,DY-5658.492,DZ5311.773
G2,VX0.03852696,VY0.02216089,VZ0.03483689
G3,XY0.00032171,XZ0.00072112,YZ-0.00000787
--GT,PN831,SW2206,ST209648009,EW2206,ET209648009
--HSIG:0.033, VSIG:0.046, STATUS:FIXED, SATS:6, PDOP:4.170,
HDOP:2.461, VDOP:3.366
GPS,PN832,LA41.325238731853,LN22.022009491755,EL181.207290,--BUN
--GS,PN832,N 4600976.0614, E 587117.1598,EL135.5628,--BUN
G0,04/19/2022 10:14:23,Base ID read at rover: 0010
G1,BP0010,PN832,DX-2829.054,DY-5658.320,DZ5312.699
G2,VX0.02927223,VY0.01732407,VZ0.03128845
G3,XY0.00027876,XZ0.00037833,YZ0.00005994
--GT,PN832,SW2206,ST209663008,EW2206,ET209663008
--HSIG:0.028, VSIG:0.037, STATUS:FIXED, SATS:12, PDOP:1.347,
HDOP:0.853, VDOP:1.043
GPS,PN833,LA41.325230448694,LN22.022060659798,EL180.956654,--OB
--GS,PN833,N 4600973.6491, E 587129.0486,EL135.3120,--OB
G0,04/19/2022 10:15:09,Base ID read at rover: 0010
G1,BP0010,PN833,DX-2832.107,DY-5646.762,DZ5310.621
G2,VX0.03753552,VY0.02336921,VZ0.04086740
G3,XY0.00062773,XZ0.00067089,YZ0.00025868
--GT,PN833,SW2206,ST209709007,EW2206,ET209709007
--HSIG:0.035, VSIG:0.049, STATUS:FIXED, SATS:8, PDOP:1.899,
HDOP:1.248, VDOP:1.431
--Entered HR: 2.4000, Vertical
LS,HR2.4884
GPS,PN834,LA41.325241729379,LN22.022069208732,EL181.312682,--PL
--GS,PN834,N 4600977.1530, E 587130.9878,EL135.2680,--PL
G0,04/19/2022 10:19:37,Base ID read at rover: 0010
G1,BP0010,PN834,DX-2834.743,DY-5645.692,DZ5313.462
G2,VX0.01785880,VY0.01365995,VZ0.02361369
G3,XY0.00012961,XZ0.00010543,YZ-0.00003848
--GT,PN834,SW2206,ST209977008,EW2206,ET209977008
--HSIG:0.023, VSIG:0.023, STATUS:FIXED, SATS:9, PDOP:1.418,
HDOP:0.920, VDOP:1.079
GPS,PN835,LA41.325200078434,LN22.022133194523,EL181.651026,--OB
--GS,PN835,N 4600964.4830, E 587145.9713,EL135.6063,--OB
G0,04/19/2022 10:20:11,Base ID read at rover: 0010
G1,BP0010,PN835,DX-2832.173,DY-5628.652,DZ5304.069
G2,VX0.01887021,VY0.01301402,VZ0.02226440
G3,XY0.00011183,XZ0.00011586,YZ0.00002446
--GT,PN835,SW2206,ST210011008,EW2206,ET210011008
--HSIG:0.021, VSIG:0.024, STATUS:FIXED, SATS:8, PDOP:1.914,
HDOP:1.280, VDOP:1.424
GPS,PN836,LA41.325121903036,LN22.022164096268,EL181.844576,--OB
--GS,PN836,N 4600940.4530, E 587153.4237,EL135.7999,--OB
G0,04/19/2022 10:20:43,Base ID read at rover: 0010
G1,BP0010,PN836,DX-2819.898,DY-5615.957,DZ5286.147
G2,VX0.02072294,VY0.01458467,VZ0.02487876
G3,XY0.00014405,XZ0.00015172,YZ-0.00005570
--GT,PN836,SW2206,ST210043008,EW2206,ET210043008
--HSIG:0.024, VSIG:0.026, STATUS:FIXED, SATS:11, PDOP:1.776,
HDOP:1.074, VDOP:1.414
GPS,PN837,LA41.325112044582,LN22.022188384351,EL182.503679,--OB
--GS,PN837,N 4600937.4796, E 587159.0891,EL136.4589,--OB
G0,04/19/2022 10:21:07,Base ID read at rover: 0010
G1,BP0010,PN837,DX-2819.684,DY-5609.797,DZ5284.307
G2,VX0.01959469,VY0.01308682,VZ0.02212488
G3,XY0.00011205,XZ0.00014477,YZ-0.00002029
--GT,PN837,SW2206,ST210067008,EW2206,ET210067008
--HSIG:0.021, VSIG:0.024, STATUS:FIXED, SATS:10, PDOP:1.836,
HDOP:1.109, VDOP:1.464
GPS,PN838,LA41.325133366224,LN22.022171671950,EL181.807810,--OB
--GS,PN838,N 4600944.0104, E 587155.1367,EL135.7631,--OB
G0,04/19/2022 10:22:12,Base ID read at rover: 0010
G1,BP0010,PN838,DX-2822.757,DY-5615.220,DZ5288.769
G2,VX0.02440114,VY0.01931159,VZ0.02623168
G3,XY0.00016031,XZ0.00014896,YZ-0.00007094
--GT,PN838,SW2206,ST210132008,EW2206,ET210132008
--HSIG:0.029, VSIG:0.028, STATUS:FIXED, SATS:9, PDOP:1.658,
HDOP:1.024, VDOP:1.303
GPS,PN839,LA41.325136402740,LN22.022205506853,EL182.725453,--OB

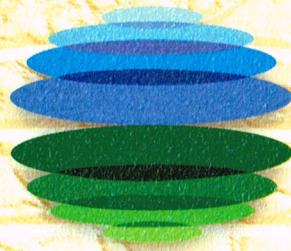
--GS,PN839,N 4600945.0418,E 587162.9665,EL136.6807,--OB
G0,04/19/2022 10:25:20,Base ID read at rover: 0010
G1,BP0010,PN839,DX-2825.639,DY-5607.926,DZ5290.079
G2,VX0.02269662,VY0.01898734,VZ0.02320953
G3,XY0.00029406,XZ0.00000365,YZ-0.00011935
--GT,PN839,SW2206,ST210320008,EW2206,ET210320008
--HSIG:0.029, VSI:0.024, STATUS:FIXED, SATS:8, PDOP:2.734,
HDOP:1.923, VDOP:1.943
GPS,PN840,LA41.325133169204,LN22.022052196618,EL181.969793,--OB
--GS,PN840,N 4600943.6156,E 587127.4493,EL135.9253,--OB
G0,04/19/2022 10:26:34,Base ID read at rover: 0010
G1,BP0010,PN840,DX-2812.217,DY-5640.826,DZ5288.831
G2,VX0.02564854,VY0.01682951,VZ0.02440652
G3,XY0.00020442,XZ0.00012537,YZ-0.00000251
--GT,PN840,SW2206,ST210394008,EW2206,ET210394008
--HSIG:0.027, VSI:0.028, STATUS:FIXED, SATS:10, PDOP:2.011,
HDOP:1.198, VDOP:1.616
GPS,PN841,LA41.325156430794,LN22.021992864849,EL182.006378,--OB
--GS,PN841,N 4600950.6258,E 587113.6127,EL135.9620,--OB
G0,04/19/2022 10:26:51,Base ID read at rover: 0010
G1,BP0010,PN841,DX-2811.443,DY-5655.349,DZ5294.226
G2,VX0.03154856,VY0.02039390,VZ0.03168533
G3,XY0.00021756,XZ0.00026246,YZ-0.00002298
--GT,PN841,SW2206,ST210411007,EW2206,ET210411007
--HSIG:0.034, VSI:0.036, STATUS:FIXED, SATS:9, PDOP:1.869,
HDOP:1.354, VDOP:1.288
GPS,PN842,LA41.3251316866391,LN22.022070868245,EL182.612484,--
--GS,PN842,N 4600943.2104,E 587131.7819,EL136.5680,--
G0,04/19/2022 10:27:19,Base ID read at rover: 0010
G1,BP0010,PN842,DX-2813.113,DY-5636.521,DZ5288.915
G2,VX0.02745981,VY0.01619889,VZ0.02766311
G3,XY0.00024727,XZ0.00020839,YZ0.00006742
--GT,PN842,SW2206,ST210439008,EW2206,ET210439008
--HSIG:0.027, VSI:0.032, STATUS:FIXED, SATS:12, PDOP:3.320,
HDOP:1.989, VDOP:2.658
GPS,PN843,LA41.325120707860,LN22.0220566513945,EL183.066465,--
--GS,PN843,N 4600939.7835,E 587128.4962,EL137.0220,--
G0,04/19/2022 10:27:29,Base ID read at rover: 0010
G1,BP0010,PN843,DX-2809.468,DY-5638.634,DZ5286.681
G2,VX0.02425679,VY0.01444886,VZ0.02448821
G3,XY0.00019432,XZ0.00016270,YZ0.00005661
--GT,PN843,SW2206,ST210449009,EW2206,ET210449009
--HSIG:0.024, VSI:0.028, STATUS:FIXED, SATS:12, PDOP:1.538,
HDOP:0.958, VDOP:1.203
GPS,PN844,LA41.325133970196,LN22.022014812059,EL183.237472,--
--GS,PN844,N 4600943.7582,E 587118.7825,EL137.1931,--
G0,04/19/2022 10:27:41,Base ID read at rover: 0010
G1,BP0010,PN844,DX-2808.238,DY-5648.563,DZ5289.857
G2,VX0.02133348,VY0.01309899,VZ0.02123199
G3,XY0.00016062,XZ0.00009685,YZ0.00004427
--GT,PN844,SW2206,ST210461009,EW2206,ET210461009
--HSIG:0.022, VSI:0.024, STATUS:FIXED, SATS:13, PDOP:1.368,
HDOP:0.884, VDOP:1.044
GPS,PN845,LA41.325148662715,LN22.021983003205,EL183.336428,--
--GS,PN845,N 4600948.2018,E 587111.3562,EL137.2921,--
G0,04/19/2022 10:27:51,Base ID read at rover: 0010
G1,BP0010,PN845,DX-2808.190,DY-5656.497,DZ5293.315
G2,VX0.02061684,VY0.01289689,VZ0.02054805
G3,XY0.00015468,XZ0.00009588,YZ0.00004751
--GT,PN845,SW2206,ST210471008,EW2206,ET210471008
--HSIG:0.021, VSI:0.024, STATUS:FIXED, SATS:12, PDOP:1.447,
HDOP:0.925, VDOP:1.114
GPS,PN846,LA41.325168031905,LN22.021979723626,EL183.415029,--
--GS,PN846,N 4600954.1679,E 587110.5242,EL137.3707,--
G0,04/19/2022 10:28:06,Base ID read at rover: 0010
G1,BP0010,PN846,DX-2811.524,DY-5658.667,DZ5297.839
G2,VX0.02085289,VY0.01258683,VZ0.02421099
G3,XY0.00014545,XZ0.00010991,YZ0.00004344
--GT,PN846,SW2206,ST210486008,EW2206,ET210486008
--HSIG:0.023, VSI:0.026, STATUS:FIXED, SATS:9, PDOP:1.588,
HDOP:1.031, VDOP:1.207
GPS,PN847,LA41.325182150834,LN22.021952445453,EL183.059683,--
--GS,PN847,N 4600958.4472,E 587104.1500,EL137.0153,--
G0,04/19/2022 10:28:24,Base ID read at rover: 0010
G1,BP0010,PN847,DX-2812.076,DY-5665.711,DZ5300.864
G2,VX0.03076646,VY0.02498289,VZ0.03131104
G3,XY0.00046040,XZ0.00035906,YZ0.00019053
--GT,PN847,SW2206,ST210504008,EW2206,ET210504008
--HSIG:0.032, VSI:0.039, STATUS:FIXED, SATS:6, PDOP:1.675,
HDOP:1.028, VDOP:1.323

JB,NMkukuricani dopolna,DT07-12-2054,TM15:44:58
MO,AD0,UN1,SF1.00000000,ECO,EO0.0,AU0
--Stonex SurvCE Version 4.90.31
--CRD: Alphanumeric
--User Defined: MKD-Negotino
--Equipment: Stonex, S8 GNSS, SN:STNS85191002,
FW:S8-150105V1.18
--Antenna Type: [STXS8GS432A
NONE],RA0.0930m,SHMP0.0620m,L10.0752m,L20.0861
m,--L1/L2 GNSS
--Localization File: None
--Geoid Separation File: None
--Grid Adjustment File: None
--GPS Scale: 1.00000000
--Scale Point not used
--RTK Method: RTCM V3.0, Device: Internal GSM,
Network: NTRIP iMAX-Auto
BP,PN10,LA41.290145646988,LN22.052040985716,EL21
4.5085,AG0.0000,PA0.1059,ATUNK,SRROVER,--
--Entered Rover HR: 2.0000 m, Vertical
LS,HR2.0752
GPS,PN1,LA41.325251068000,LN22.022240895000,EL1
76.296000,--
--GS,PN1,N 4600980.5139,E 587170.7407,EL130.6642,--
--GT,PN1,SW-3213,ST-237172000,EW-3213,ET-
237172000
--HSDV:0.014, VSDV:0.030, STATUS:FIXED, SATS:14,
PDOP:2.733, HDOP:0.800, VDOP:2.613, TDOP:2.395,
GDOP:1.316, NSDV:0.010, ESDV:0.010
--DT07-12-2054
--TM15:45:00
GPS,PN2,LA41.325300245800,LN22.022205007800,EL1
73.112000,--
--GS,PN2,N 4600995.5844,E 587162.2409,EL127.4802,--
--GT,PN2,SW-3213,ST-237147000,EW-3213,ET-
237147000
--HSDV:0.014, VSDV:0.040, STATUS:FIXED, SATS:14,
PDOP:2.562, HDOP:0.800, VDOP:2.434, TDOP:2.250,
GDOP:1.225, NSDV:0.010, ESDV:0.010
--DT07-12-2054
--TM15:45:24
GPS,PN3,LA41.325289510000,LN22.022269384800,EL1
72.373000,--
--GS,PN3,N 4600992.4526,E 587177.2000,EL126.7411,--
--GT,PN3,SW-3213,ST-237121000,EW-3213,ET-
237121000
--HSDV:0.032, VSDV:0.050, STATUS:FIXED, SATS:11,
PDOP:2.535, HDOP:0.900, VDOP:2.370, TDOP:2.234,
GDOP:1.199, NSDV:0.030, ESDV:0.010
--DT07-12-2054
--TM15:45:50
GPS,PN4,LA41.325309146800,LN22.022282119200,EL1772.506000,--
2.245000,--
--GS,PN4,N 4600998.5460,E 587180.0780,EL126.6130,--
--GT,PN4,SW-3213,ST-237111000,EW-3213,ET-
237111000
--HSDV:0.050, VSDV:0.080, STATUS:FIXED, SATS:13,
PDOP:4.541, HDOP:0.900, VDOP:4.451, TDOP:3.962,
GDOP:2.219, NSDV:0.040, ESDV:0.030
--DT07-12-2054
--TM15:46:01
GPS,PN5,LA41.325329831800,LN22.022236435200,EL1
72.277000,--
--GS,PN5,N 4601004.7993,E 587169.4139,EL126.6451,--
--GT,PN5,SW-3213,ST-237096000,EW-3213,ET-
237096000
--HSDV:0.014, VSDV:0.030, STATUS:FIXED, SATS:13,
PDOP:2.923, HDOP:0.900, VDOP:2.781, TDOP:2.559,
GDOP:1.412, NSDV:0.010, ESDV:0.010
--DT07-12-2054
--TM15:46:15
GPS,PN6,LA41.325371143600,LN22.022151573600,EL17
2.430000,--
--GS,PN6,N 4601017.3063,E 587149.5938,EL126.7982,--
--GT,PN6,SW-3213,ST-237069000,EW-3213,ET-
237069000
--HSDV:0.036, VSDV:0.060, STATUS:FIXED, SATS:15,
PDOP:3.007, HDOP:0.700, VDOP:2.924, TDOP:2.582,
GDOP:1.541, NSDV:0.030, ESDV:0.020
--DT07-12-2054
--TM15:46:41
GPS,PN7,LA41.325338594200,LN22.022121581400,EL1
72.418000,--
--GS,PN7,N 4601007.1813,E 587142.7644,EL126.7863,--
--GT,PN7,SW-3213,ST-237049000,EW-3213,ET-
237049000
--HSDV:0.014, VSDV:0.030, STATUS:FIXED, SATS:13,
PDOP:2.695, HDOP:0.800, VDOP:2.574, TDOP:2.363,
GDOP:1.296, NSDV:0.010, ESDV:0.010
--DT07-12-2054
--TM15:47:01
GPS,PN8,LA41.325329439400,LN22.022114617200,EL17
3.256000,--
--GS,PN8,N 4601004.3377,E 587141.1846,EL127.6243,--
--GT,PN8,SW-3213,ST-237040000,EW-3213,ET-
237040000
--HSDV:0.014, VSDV:0.030, STATUS:FIXED, SATS:13,
PDOP:2.690, HDOP:0.800, VDOP:2.568, TDOP:2.359,
GDOP:1.293, NSDV:0.010, ESDV:0.010
--DT07-12-2054
--TM15:47:11
GPS,PN9,LA41.325369028600,LN22.022029896600,EL1
72.425000,--
--GS,PN9,N 4601016.3137,E 587121.4036,EL126.7935,--
--GT,PN9,SW-3213,ST-237005000,EW-3213,ET-
237005000
--HSDV:0.045, VSDV:0.070, STATUS:FIXED, SATS:12,
PDOP:2.876, HDOP:0.900, VDOP:2.732, TDOP:2.553,
GDOP:1.325, NSDV:0.040, ESDV:0.020
--DT07-12-2054
--TM15:47:48
GPS,PN10,LA41.325409330600,LN22.022058381600,EL
172.445000,--
--GS,PN10,N 4601028.8261,E 587127.8549,EL126.8133,--
--GT,PN10,SW-3213,ST-236972000,EW-3213,ET-
236972000
--HSDV:0.014, VSDV:0.020, STATUS:FIXED, SATS:15,
PDOP:2.367, HDOP:0.700, VDOP:2.261, TDOP:2.052,
GDOP:1.179, NSDV:0.010, ESDV:0.010
--DT07-12-2054
--TM15:48:19
GPS,PN11,LA41.325451328800,LN22.021988935800,EL1
772.506000,--
--GS,PN11,N 4601041.5881,E 587111.6050,EL126.8744,--
--GT,PN11,SW-3213,ST-236946000,EW-3213,ET-
236946000
--HSDV:0.022, VSDV:0.050, STATUS:FIXED, SATS:15,
PDOP:2.855, HDOP:0.700, VDOP:2.768, TDOP:2.474,
GDOP:1.426, NSDV:0.020, ESDV:0.010
--DT07-12-2054
--TM15:48:44
GPS,PN12,LA41.325404882800,LN22.021946932200,EL
172.753000,--
--GS,PN12,N 4601027.1425,E 587102.0437,EL127.1216,--
--GT,PN12,SW-3213,ST-236917000,EW-3213,ET-
236917000
--HSDV:0.014, VSDV:0.030, STATUS:FIXED, SATS:13,
PDOP:2.653, HDOP:0.800, VDOP:2.530, TDOP:2.328,
GDOP:1.273, NSDV:0.010, ESDV:0.010
--DT07-12-2054
--TM15:49:14
GPS,PN13,LA41.325473938600,LN22.021890834000,EL

172.488000,-- --GS,PN20,N 4601083.2625,E 586995.0903,EL129.4793,--
--GS,PN13,N 4601048.2889,E 587088.7863,EL126.8566,---GT,PN20,SW-3213,ST-236615000,EW-3213,ET-
--GT,PN13,SW-3213,ST-236860000,EW-3213,ET- 236615000
236860000 --HSDV:0.050, VSDV:0.090, STATUS:FIXED, SATS:9,
--HSDV:0.028, VSDV:0.050, STATUS:FIXED, SATS:15, PDOP:3.228, HDOP:2.300, VDOP:2.265, TDOP:3.015,
PDOP:2.543, HDOP:0.700, VDOP:2.445, TDOP:2.210, GDOP:1.154, NSDV:0.040, ESDV:0.030
GDOP:1.259, NSDV:0.020, ESDV:0.020 --DT07-12-2054
--DT07-12-2054 --TM15:54:17
--TM15:50:10 GPS,PN21,LA41.325760902400,LN22.021315144200,EL
GPS,PN14,LA41.325435995800,LN22.021861803600,EL 173.019000,--
173.142000,-- --GS,PN21,N 4601135.2073,E 586954.3078,EL127.3884,--
--GS,PN14,N 4601036.5027,E 587082.1998,EL127.5107,---GT,PN21,SW-3213,ST-236528000,EW-3213,ET-
--GT,PN14,SW-3213,ST-236843000,EW-3213,ET- 236528000
236843000 --HSDV:0.028, VSDV:0.060, STATUS:FIXED, SATS:16,
--HSDV:0.045, VSDV:0.060, STATUS:FIXED, SATS:13, PDOP:2.459, HDOP:0.700, VDOP:2.357, TDOP:2.144,
PDOP:2.757, HDOP:0.800, VDOP:2.638, TDOP:2.444, GDOP:1.204, NSDV:0.020, ESDV:0.020
GDOP:1.275, NSDV:0.040, ESDV:0.020 --DT07-12-2054
--DT07-12-2054 --TM15:55:42
--TM15:50:28 GPS,PN22,LA41.325739362400,LN22.021304330400,EL
GPS,PN15,LA41.325537454000,LN22.021771239000,EL 173.524000,--
172.530000,-- --GS,PN22,N 4601128.5322,E 586951.8818,EL127.8935,--
--GS,PN15,N 4601067.5487,E 587060.8347,EL126.8988,---GT,PN22,SW-3213,ST-236512000,EW-3213,ET-
--GT,PN15,SW-3213,ST-236779000,EW-3213,ET- 236512000
236779000 --HSDV:0.036, VSDV:0.050, STATUS:FIXED, SATS:13,
--HSDV:0.014, VSDV:0.030, STATUS:FIXED, SATS:15, PDOP:2.489, HDOP:0.800, VDOP:2.357, TDOP:2.178,
PDOP:2.527, HDOP:0.700, VDOP:2.428, TDOP:2.197, GDOP:1.204, NSDV:0.030, ESDV:0.020
GDOP:1.248, NSDV:0.010, ESDV:0.010 --DT07-12-2054
--DT07-12-2054 --TM15:55:59
--TM15:51:31 GPS,PN23,LA41.325728086600,LN22.021297346400,EL
GPS,PN16,LA41.325499016800,LN22.021744982400,EL 174.828000,--
172.665000,-- --GS,PN23,N 4601125.0342,E 586950.3052,EL129.1975,--
--GS,PN16,N 4601055.6178,E 587054.8928,EL127.0339,---GT,PN23,SW-3213,ST-236492000,EW-3213,ET-
--GT,PN16,SW-3213,ST-236733000,EW-3213,ET- 236492000
236733000 --HSDV:0.028, VSDV:0.060, STATUS:FIXED, SATS:16,
--HSDV:0.036, VSDV:0.060, STATUS:FIXED, SATS:13, PDOP:2.355, HDOP:0.700, VDOP:2.249, TDOP:2.051,
PDOP:2.803, HDOP:0.900, VDOP:2.655, TDOP:2.489, GDOP:1.158, NSDV:0.020, ESDV:0.020
GDOP:1.289, NSDV:0.030, ESDV:0.020 --DT07-12-2054
--DT07-12-2054 --TM15:56:19
--TM15:52:17 GPS,PN24,LA41.325694202800,LN22.021275189000,EL
GPS,PN17,LA41.325632737000,LN22.021546830000,EL 176.005000,--
172.764000,-- --GS,PN24,N 4601114.5196,E 586945.2963,EL130.3746,--
--GS,PN17,N 4601096.3160,E 587008.4753,EL127.1331,---GT,PN24,SW-3213,ST-236408000,EW-3213,ET-
--GT,PN17,SW-3213,ST-236655000,EW-3213,ET- 236408000
236655000 --HSDV:0.028, VSDV:0.050, STATUS:FIXED, SATS:16,
--HSDV:0.028, VSDV:0.060, STATUS:FIXED, SATS:15, PDOP:2.298, HDOP:0.700, VDOP:2.189, TDOP:2.003,
PDOP:2.497, HDOP:0.700, VDOP:2.397, TDOP:2.174, GDOP:1.126, NSDV:0.020, ESDV:0.020
GDOP:1.229, NSDV:0.020, ESDV:0.020 --DT07-12-2054
--DT07-12-2054 --TM15:57:42
--TM15:53:35 GPS,PN25,LA41.325681906400,LN22.021237044600,EL
GPS,PN18,LA41.325617981800,LN22.021521184800,EL1 177.405000,--
72.919000,-- --GS,PN25,N 4601110.6199,E 586936.5023,EL131.7747,--
--GS,PN18,N 4601091.6925,E 587002.5870,EL127.2882,---GT,PN25,SW-3213,ST-236387000,EW-3213,ET-
--GT,PN18,SW-3213,ST-236642000,EW-3213,ET- 236387000
236642000 --HSDV:0.028, VSDV:0.050, STATUS:FIXED, SATS:16,
--HSDV:0.036, VSDV:0.070, STATUS:FIXED, SATS:12, PDOP:2.296, HDOP:0.700, VDOP:2.187, TDOP:2.002,
PDOP:3.108, HDOP:0.900, VDOP:2.975, TDOP:2.722, GDOP:1.124, NSDV:0.020, ESDV:0.020
GDOP:1.500, NSDV:0.030, ESDV:0.020 --DT07-12-2054
--DT07-12-2054 --TM15:58:04
--TM15:53:53 GPS,PN26,LA41.325732787000,LN22.021216378200,EL
GPS,PN19,LA41.325610422400,LN22.021504007400,EL 178.293000,--
174.143000,-- --GS,PN26,N 4601126.2584,E 586931.5241,EL132.6627,--
--GS,PN19,N 4601089.3126,E 586998.6344,EL128.5122,---GT,PN26,SW-3213,ST-236363000,EW-3213,ET-
--GT,PN19,SW-3213,ST-236627000,EW-3213,ET- 236363000
236627000 --HSDV:0.028, VSDV:0.050, STATUS:FIXED, SATS:16,
--HSDV:0.036, VSDV:0.080, STATUS:FIXED, SATS:12, PDOP:2.290, HDOP:0.700, VDOP:2.180, TDOP:1.998,
PDOP:2.865, HDOP:1.100, VDOP:2.645, TDOP:2.548, GDOP:1.119, NSDV:0.020, ESDV:0.020
GDOP:1.310, NSDV:0.030, ESDV:0.020 --DT07-12-2054
--DT07-12-2054 --TM15:58:28
--TM15:54:06 GPS,PN27,LA41.325758954800,LN22.021164371400,EL1
GPS,PN20,LA41.325590951800,LN22.021488402000,EL 78.428000,--
175.110000,-- --GS,PN27,N 4601134.1859,E 586919.3748,EL132.7977,--

--GT,PN27,SW-3213,ST-236347000,EW-3213,ET- 236006000
236347000 --HSDV:0.028, VSDV:0.050, STATUS:FIXED, SATS:16,
--HSDV:0.028, VSDV:0.060, STATUS:FIXED, SATS:16, PDOP:2.586, HDOP:0.700, VDOP:2.489, TDOP:2.259,
PDOP:2.448, HDOP:0.700, VDOP:2.346, TDOP:2.127, GDOP:1.258, NSDV:0.020, ESDV:0.020
--DT07-12-2054 --TM16:04:24
--TM15:58:44 GPS,PN35,LA41.330106066200,LN22.020292930200,EL
GPS,PN28,LA41.325716627200,LN22.021111082400,EL1 180.521000,--
78.511000,-- --GS,PN35,N 4601238.8392,E 586716.1403,EL134.8921,--
--GS,PN28,N 4601120.9796,E 586907.1827,EL132.8809,---GT,PN35,SW-3213,ST-235937000,EW-3213,ET-
--GT,PN28,SW-3213,ST-236320000,EW-3213,ET- 235937000
236320000 --HSDV:0.022, VSDV:0.050, STATUS:FIXED, SATS:16,
--HSDV:0.028, VSDV:0.050, STATUS:FIXED, SATS:17, PDOP:2.307, HDOP:0.700, VDOP:2.198, TDOP:2.054,
PDOP:2.278, HDOP:0.700, VDOP:2.168, TDOP:1.988, GDOP:1.050, NSDV:0.020, ESDV:0.010
GDOP:1.112, NSDV:0.020, ESDV:0.020 --DT07-12-2054
--DT07-12-2054 --TM16:05:34
--TM15:59:10 GPS,PN36,LA41.330060250800,LN22.020259636200,EL
GPS,PN29,LA41.325754233400,LN22.021001850600,EL 181.310000,--
179.005000,-- --GS,PN36,N 4601224.6130,E 586708.5944,EL135.6812,--
--GS,PN29,N 4601132.2763,E 586881.7295,EL133.3751,---GT,PN36,SW-3213,ST-235917000,EW-3213,ET-
--GT,PN29,SW-3213,ST-236284000,EW-3213,ET- 235917000
236284000 --HSDV:0.022, VSDV:0.050, STATUS:FIXED, SATS:16,
--HSDV:0.022, VSDV:0.050, STATUS:FIXED, SATS:17, PDOP:2.305, HDOP:0.700, VDOP:2.196, TDOP:2.052,
PDOP:2.268, HDOP:0.700, VDOP:2.157, TDOP:1.980, GDOP:1.049, NSDV:0.020, ESDV:0.010
GDOP:1.105, NSDV:0.020, ESDV:0.010 --DT07-12-2054
--DT07-12-2054 --TM16:05:54
--TM15:59:47 GPS,PN37,LA41.330052291200,LN22.020252903000,EL
GPS,PN30,LA41.325841668400,LN22.021063778400,EL 182.050000,--
178.502000,-- --GS,PN37,N 4601222.1388,E 586707.0636,EL136.4213,--
--GS,PN30,N 4601159.4218,E 586895.7563,EL132.8719,---GT,PN37,SW-3213,ST-235910000,EW-3213,ET-
--GT,PN30,SW-3213,ST-236252000,EW-3213,ET- 235910000
236252000 --HSDV:0.022, VSDV:0.050, STATUS:FIXED, SATS:16,
--HSDV:0.022, VSDV:0.050, STATUS:FIXED, SATS:16, PDOP:2.305, HDOP:0.700, VDOP:2.196, TDOP:2.052,
PDOP:2.638, HDOP:0.700, VDOP:2.543, TDOP:2.297, GDOP:1.049, NSDV:0.020, ESDV:0.010
GDOP:1.296, NSDV:0.020, ESDV:0.010 --DT07-12-2054
--DT07-12-2054 --TM16:06:00
--TM16:00:19 GPS,PN38,LA41.330138078600,LN22.020046199400,EL
GPS,PN31,LA41.325945045400,LN22.020829782000,EL 183.030000,--
178.477000,-- --GS,PN38,N 4601248.0285,E 586658.8449,EL137.4016,--
--GS,PN31,N 4601190.6605,E 586841.1464,EL132.8472,---GT,PN38,SW-3213,ST-235854000,EW-3213,ET-
--GT,PN31,SW-3213,ST-236125000,EW-3213,ET- 235854000
236125000 --HSDV:0.022, VSDV:0.040, STATUS:FIXED, SATS:16,
--HSDV:0.028, VSDV:0.050, STATUS:FIXED, SATS:16, PDOP:2.045, HDOP:0.700, VDOP:1.921, TDOP:1.851,
PDOP:2.615, HDOP:0.700, VDOP:2.520, TDOP:2.281, GDOP:0.868, NSDV:0.020, ESDV:0.010
GDOP:1.279, NSDV:0.020, ESDV:0.020 --DT07-12-2054
--DT07-12-2054 --TM16:06:56
--TM16:02:25 GPS,PN39,LA41.330144365400,LN22.020048368400,EL
GPS,PN32,LA41.325858146200,LN22.020756878400,EL 182.274000,--
179.424000,-- --GS,PN39,N 4601249.9740,E 586659.3243,EL136.6456,--
--GS,PN32,N 4601163.6498,E 586824.5740,EL133.7945,---GT,PN39,SW-3213,ST-235847000,EW-3213,ET-
--GT,PN32,SW-3213,ST-236093000,EW-3213,ET- 235847000
236093000 --HSDV:0.022, VSDV:0.040, STATUS:FIXED, SATS:16,
--HSDV:0.050, VSDV:0.080, STATUS:FIXED, SATS:9, PDOP:2.045, HDOP:0.700, VDOP:1.921, TDOP:1.851,
PDOP:3.153, HDOP:1.000, VDOP:2.990, TDOP:2.795, GDOP:0.868, NSDV:0.020, ESDV:0.010
GDOP:1.459, NSDV:0.040, ESDV:0.030 --DT07-12-2054
--DT07-12-2054 --TM16:07:04
--TM16:03:00 GPS,PN40,LA41.330199935000,LN22.020085867800,EL
GPS,PN33,LA41.325957132400,LN22.020505952400,EL 181.355000,--
180.485000,-- --GS,PN40,N 4601267.2210,E 586667.8086,EL135.7264,--
--GS,PN33,N 4601193.4874,E 586766.0575,EL134.8559,---GT,PN40,SW-3213,ST-235824000,EW-3213,ET-
--GT,PN33,SW-3213,ST-236024000,EW-3213,ET- 235824000
236024000 --HSDV:0.022, VSDV:0.040, STATUS:FIXED, SATS:16,
--HSDV:0.022, VSDV:0.050, STATUS:FIXED, SATS:16, PDOP:2.045, HDOP:0.700, VDOP:1.921, TDOP:1.851,
PDOP:2.587, HDOP:0.700, VDOP:2.491, TDOP:2.261, GDOP:0.868, NSDV:0.020, ESDV:0.010
GDOP:1.259, NSDV:0.020, ESDV:0.010 --DT07-12-2054
--DT07-12-2054 --TM16:07:26
--TM16:04:06 GPS,PN41,LA41.330266184600,LN22.015918784600,EL
GPS,PN34,LA41.330004642200,LN22.020539929200,EL 181.499000,--
179.642000,-- --GS,PN41,N 4601287.1939,E 586628.8441,EL135.8707,--
--GS,PN34,N 4601208.2383,E 586773.7552,EL134.0127,---GT,PN41,SW-3213,ST-235784000,EW-3213,ET-
--GT,PN34,SW-3213,ST-236006000,EW-3213,ET- 235784000

--HSDV:0.022, VSDV:0.050, STATUS:FIXED, SATS:16, 235669000
PDOP:2.211, HDOP:0.700, VDOP:2.097, TDOP:1.971, --HSDV:0.022, VSDV:0.040, STATUS:FIXED, SATS:16,
GDOP:1.002, NSDV:0.020, ESDV:0.010 PDOP:2.050, HDOP:0.700, VDOP:1.927, TDOP:1.857,
--DT07-12-2054 GDOP:0.869, NSDV:0.020, ESDV:0.010
--TM16:08:06 --DT07-12-2054
GPS,PN42,LA41.330214943400,LN22.015885469000,EL --TM16:10:01
182.188000,-- GPS,PN49,LA41.330276354600,LN22.015702016000,EL
--GS,PN42,N 4601271.2938,E 586621.3132,EL136.5598,--181.959000,--
--GT,PN42,SW-3213,ST-235764000,EW-3213,ET- --GS,PN49,N 4601289.7289,E 586578.5733,EL136.3311,--
235764000 --GT,PN49,SW-3213,ST-235657000,EW-3213,ET-
--HSDV:0.022, VSDV:0.040, STATUS:FIXED, SATS:16, 235657000
PDOP:2.047, HDOP:0.700, VDOP:1.924, TDOP:1.854, --HSDV:0.022, VSDV:0.040, STATUS:FIXED, SATS:16,
GDOP:0.868, NSDV:0.020, ESDV:0.010 PDOP:2.050, HDOP:0.700, VDOP:1.927, TDOP:1.857,
--DT07-12-2054 GDOP:0.869, NSDV:0.020, ESDV:0.010
--TM16:08:26 --DT07-12-2054
GPS,PN43,LA41.330207133800,LN22.015878318800,EL --TM16:10:14
182.905000,-- GPS,PN50,LA41.330280333200,LN22.015664747600,EL
--GS,PN43,N 4601268.8648,E 586619.6852,EL137.2768,--181.718000,--
--GT,PN43,SW-3213,ST-235756000,EW-3213,ET- --GS,PN50,N 4601290.8527,E 586569.9222,EL136.0902,--
235756000 --GT,PN50,SW-3213,ST-235646000,EW-3213,ET-
--HSDV:0.022, VSDV:0.040, STATUS:FIXED, SATS:16, 235646000
PDOP:2.047, HDOP:0.700, VDOP:1.924, TDOP:1.854, --HSDV:0.022, VSDV:0.040, STATUS:FIXED, SATS:16,
GDOP:0.868, NSDV:0.020, ESDV:0.010 PDOP:2.050, HDOP:0.700, VDOP:1.927, TDOP:1.857,
--DT07-12-2054 GDOP:0.869, NSDV:0.020, ESDV:0.010
--TM16:08:35 --DT07-12-2054
GPS,PN44,LA41.330251667600,LN22.015767865400,EL --TM16:10:25
182.949000,-- GPS,PN51,LA41.330247762200,LN22.015640707400,EL
--GS,PN44,N 4601282.2961,E 586593.9243,EL137.3210,--181.591000,--
--GT,PN44,SW-3213,ST-235727000,EW-3213,ET- --GS,PN51,N 4601280.7381,E 586564.4716,EL135.9633,--
235727000 --GT,PN51,SW-3213,ST-235634000,EW-3213,ET-
--HSDV:0.022, VSDV:0.040, STATUS:FIXED, SATS:16, 235634000
PDOP:2.048, HDOP:0.700, VDOP:1.925, TDOP:1.855, --HSDV:0.022, VSDV:0.040, STATUS:FIXED, SATS:15,
GDOP:0.869, NSDV:0.020, ESDV:0.010 PDOP:2.110, HDOP:0.700, VDOP:1.990, TDOP:1.919,
--DT07-12-2054 GDOP:0.875, NSDV:0.020, ESDV:0.010
--TM16:09:04 --DT07-12-2054
GPS,PN45,LA41.330260629200,LN22.015772630000,EL --TM16:10:36
182.348000,-- GPS,PN52,LA41.330230941200,LN22.015614943400,EL
--GS,PN45,N 4601285.0739,E 586594.9953,EL136.7200,--182.119000,--
--GT,PN45,SW-3213,ST-235718000,EW-3213,ET- --GS,PN52,N 4601275.4774,E 586558.5634,EL136.4913,--
235718000 --GT,PN52,SW-3213,ST-235624000,EW-3213,ET-
--HSDV:0.022, VSDV:0.040, STATUS:FIXED, SATS:16, 235624000
PDOP:2.048, HDOP:0.700, VDOP:1.925, TDOP:1.855, --HSDV:0.022, VSDV:0.040, STATUS:FIXED, SATS:16,
GDOP:0.869, NSDV:0.020, ESDV:0.010 PDOP:2.110, HDOP:0.700, VDOP:1.990, TDOP:1.919,
--DT07-12-2054 GDOP:0.875, NSDV:0.020, ESDV:0.010
--TM16:09:12 --DT07-12-2054
GPS,PN46,LA41.330304357200,LN22.015809863000,EL --TM16:10:46
181.534000,-- GPS,PN53,LA41.330265705800,LN22.015660697600,EL
--GS,PN46,N 4601298.6671,E 586603.4618,EL135.9058,--181.752000,--P
--GT,PN46,SW-3213,ST-235702000,EW-3213,ET- --GS,PN53,N 4601286.3291,E 586569.0377,EL136.1242,--
235702000 P
--HSDV:0.022, VSDV:0.040, STATUS:FIXED, SATS:16, --GT,PN53,SW-3213,ST-235588000,EW-3213,ET-
PDOP:2.049, HDOP:0.700, VDOP:1.926, TDOP:1.856, 235588000
GDOP:0.869, NSDV:0.020, ESDV:0.010 --HSDV:0.022, VSDV:0.040, STATUS:FIXED, SATS:16,
--DT07-12-2054 PDOP:2.050, HDOP:0.700, VDOP:1.927, TDOP:1.857,
--TM16:09:29 GDOP:0.868, NSDV:0.020, ESDV:0.010
GPS,PN47,LA41.330340489800,LN22.015751798600,EL --DT07-12-2054
181.436000,-- --TM16:11:22
--GS,PN47,N 4601309.6523,E 586589.8726,EL135.8079,--GPS,PN54,LA41.330270412200,LN22.015664121200,EL
--GT,PN47,SW-3213,ST-235683000,EW-3213,ET- 181.741000,--P
235683000 --GS,PN54,N 4601287.7905,E 586569.8137,EL136.1132,--
--HSDV:0.022, VSDV:0.040, STATUS:FIXED, SATS:16, P
PDOP:2.050, HDOP:0.700, VDOP:1.927, TDOP:1.857, --GT,PN54,SW-3213,ST-235580000,EW-3213,ET-
GDOP:0.869, NSDV:0.020, ESDV:0.010 235580000
--DT07-12-2054 --HSDV:0.022, VSDV:0.040, STATUS:FIXED, SATS:16,
--TM16:09:48 PDOP:2.050, HDOP:0.700, VDOP:1.927, TDOP:1.857,
GPS,PN48,LA41.330301870800,LN22.015722217400,EL GDOP:0.868, NSDV:0.020, ESDV:0.010
181.612000,-- --DT07-12-2054
--GS,PN48,N 4601297.6565,E 586583.1604,EL135.9840,---TM16:11:30
--GT,PN48,SW-3213,ST-235669000,EW-3213,ET-



КОМОРА НА ТРГОВЦИ ПОЕДИНЦИ ОВЛАСТЕНИ ГЕОДЕТИ
И ТРГОВСКИ ДРУШТВА ЗА ГЕОДЕТСКИ РАБОТИ

Врз основа на член 118 од Законот за катастар на недвижности
(„Службен весник на Република Македонија“ број 55/2013), издава

ЛИЦЕНЦА

ЗА ВРШЕЊЕ ТЕРЕНСКИ ГЕОДЕТСКИ РАБОТИ

на

Трговско друштво за геодетски работи

Геодетски Премер довел Кавадарци

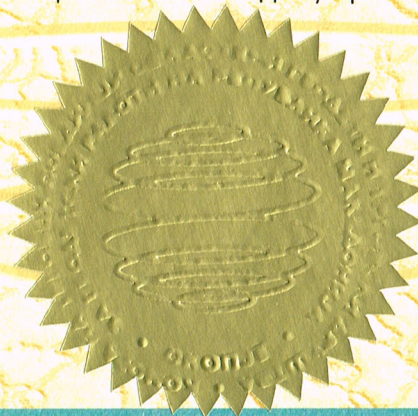
Ул. "Булевар Едвард Кардељ" бр.7 Кавадарци

Назив и адреса на трговецот поединец овластен геодет / трговското друштво за геодетски работи

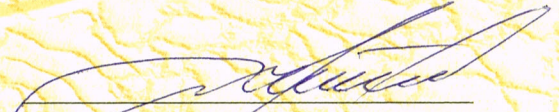
Број: 03-429/3

од 29.04.2014 год.

Ден, месец и година на издавање



КОМОРА НА ТРГОВЦИ ПОЕДИНЦИ
ОВЛАСТЕНИ ГЕОДЕТИ И ТРГОВСКИ
ДРУШТВА ЗА ГЕОДЕТСКИ РАБОТИ


Претседател на Управен одбор
м-р Борис Тунчев, дипл. геод. инж.



ЦЕНТРАЛНИОТ РЕГИСТАР НА РЕПУБЛИКА МАКЕДОНИЈА, преку заменик регистраторот Никола Ковачовски, постапувајќи по пријавата за упис на промена на седиште и запишување одлука за промена на актот за основање од 18.11.2011 год на Трговско друштво за геодетски работи ГЕОДЕТСКИ ПРЕМЕР ДООЕЛ Кавадарци, со примена на член 30 и 41 од Законот за едношалтерскиот систем и за водење на трговскиот регистар и регистар на други правни лица (Службен весник на РМ 84/05, 13/07, 150/07, 140/08, 17/2011, 53/11 год) и член 61 и 253 од Законот за трговските друштва ("Сл. весник на Република Македонија" бр.28/04, 84/05, 25/07, 87/08, 42/10, 48/10, 24/11 год), го донесе следното:

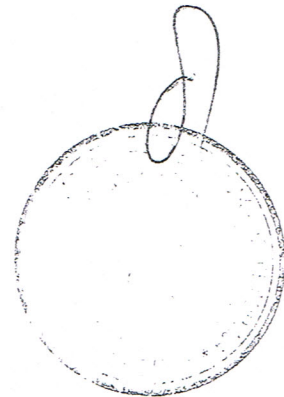
РЕШЕНИЕ

ЕМБС:	6544061
-------	---------

Деловодник	
Прием на пријавата:	24.11.2011
Вид на упис:	Упис на промена
Одобрвање на пријавата:	24.11.2011
Деловоден број:	30620110009577
Начин на доставување:	по пошта

Целосен назив на Субјектот на Упис:	Трговско друштво за геодетски работи ГЕОДЕТСКИ ПРЕМЕР ДООЕЛ Кавадарци
Седиште:	Ул. БУЛЕВАР ЕДВАРД КАРДЕЉ Бр.7 КАВАДАРЦИ КАВАДАРЦИ
Акт:	Друго : Одлука од 18.11.2011 година

Видови на промени	
Промена на седиште	





РЕПУБЛИКА МАКЕДОНИЈА
ДРЖАВЕН ЗАВОД ЗА ГЕОДЕТСКИ РАБОТИ
СКОПЈЕ

Врз основа на чл. 103-г, а во врска со член 62 од Законот за премер, катастар и запишување на правата на недвижностите ("Службен весник на Република Македонија" бр. 27/86, 17/91 и 84/05), Државниот завод за геодетски работи издава

О В Л А С Т У В А Њ Е

на

Стојан Орешков

(име, презиме)

Геодетски инженер

(стручна подготовка)

се стекнува со звање **ОВЛАСТЕН ГЕОДЕТ** за вршење на оперативни теренски геодетски работи и геодетски работи за посебни намени кои се од влијание за одржување на премерот и катастарот на недвижностите.

Број 04-2197/4

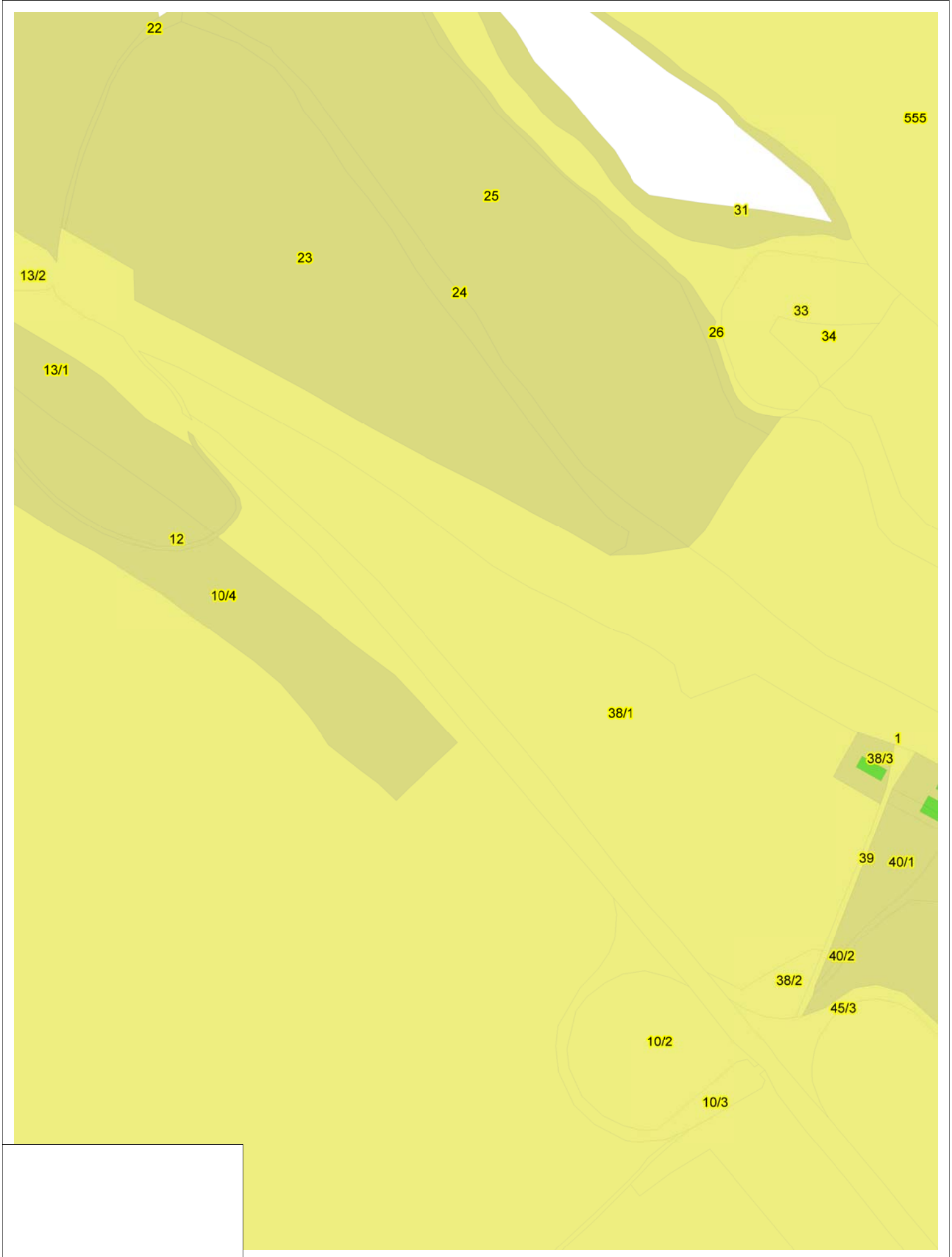
05.13.2007

ден, месец и година на издавање

Директор:

Љупчо Георгиевски
Љупчо Георгиевски







РЕПУБЛИКА СЕВЕРНА МАКЕДОНИЈА
АГЕНЦИЈА ЗА КАТАСТАР НА НЕДВИЖНОСТИ

КООРДИНАТИ НА ТОЧКИ ОД ГЕОДЕТСКАТА РЕФЕРЕНТНА МРЕЖА

Ознака (тип) на геодетска	Бр. на точка	Y	X	H
Тригонометриска точка	4-438	7586473.57	4601250.75	146.44

Плаќањето е успешно завршено

Број на извршената трансакција: 5203791

Назив на налогодавач: Стојан Орешков ул. Едвард Кардељ бр 7	Назив на налогопримач: НРБМ Буџет на РМ
Трансакциска сметка на	Трансакциска сметка на 100-0000000-630-95
Банка на налогодавач:	Банка на налогопримач: AKN 5
Даночен број или ЕМБС: 6544061	Износ: МКД 3484
Повикување на број:	Уплатна сметка:
Цел на плаќање: Издавање на податоци во дигитална форма	Сметка на буџетски корисник: 2100100450-787-11
Потпис:	Приходна шифра и програма: 724116-20 <input type="checkbox"/> преку МИПС
	Датум на уплата: 10.08.2022 Место на плаќање: Интернет Casys cPay

Налог ПП50

ВКУПНО ЗА ПРИЈАВА	3312
АДМИНИСТРАТИВНА ТАКСА	0
ПРОВИЗИЈА	72
ЗАВЕРКА НА ГЕОДЕТСКИ ЕЛАБОРАТ	100.00
ВКУПНО ЗА НАПЛАТА	3484

Плаќањето е успешно завршено

Број на извршената трансакција: 5555940

Датум на валута	23.01.2023
Назив на налогодавач:	Назив на налогопримач:
Стојан Орешков	НРБМ
ул. Едвард Кардељ бр 7	Буџет на РМ
Трансакциска сметка на	Трансакциска сметка на
	100-0000000-630-95
Банка на налогодавач:	Банка на налогопримач:
	AKN 5
Даночен број или ЕМБС:	Износ:
6544061	МКД 928
Повикување на број:	Уплатна сметка:
Цел на плаќање:	Сметка на буџетски корисник:
Издавање на податоци во дигитална форма	2100100450-787-11
Потпис:	Приходна шифра и програма:
	724116-20 <input type="checkbox"/> преку МИПС
	Датум на уплата: Место на плаќање:
	23.01.2023 Интернет Casys cPay

Налог ПП50

ВКУПНО ЗА ПРИЈАВА	664
АДМИНИСТРАТИВНА ТАКСА	0
ПРОВИЗИЈА	14
ЗАВЕРКА НА ГЕОДЕТСКИ ЕЛАБОРАТ	250.00
ВКУПНО ЗА НАПЛАТА	928

Потврда за нарачка: 257176

Податоци за нарачателот

Име на компанија	Геодетски Премер	Улица	Едвард Кардељ
ЕМБС на компанија	6544061	Број	7
Телефон на компанија	043400990	Поштенски број	1430
Име	Стојан	Град	Кавадарци
Презиме	Орешков	Држава	Македонија
Е-пошта	geodetskipremер@yahoo.com		
Телефон	043400990		

Податоци за нарачката

Име на продукт	Начин на превземање	Единечна цена	Кол.	Вкупна цена	Архивски број	Линк за превземање
Координати и надморска височина	Продукт во електронска форма	99.0 ден.	1.0	99.0 ден.	08-19/6659	Order_257176_GeodetskiTocki-KoordinatiNadmorskaVisocina_1660117242386vu1h4q.xlsx Order_257176_GeodetskiTocki-KoordinatiNadmorskaVisocina_1660117242386vu1h4q.pdf
Вкупна цена:		99.0 + 2* = 101.0 ден.				

Начин на плаќање: Онлајн плаќање

Број на трансакција: 23828582

"* Електронскиот документ е валиден само кога се користи во електронска форма."

*Провизија за банка - процент од вкупна сума



РЕПУБЛИКА МАКЕДОНИЈА
АГЕНЦИЈА ЗА КАТАСТАР НА НЕДВИЖНОСТИ

Бр. 03-16050/2

16-03 2017 год.
СКОПЈЕ

место за штембил
на корисникот на услугите

Трговско друштво за геодетски работи
ГЕОДЕТСКИ ПРЕМЕР ДООЕЛ

Бр. 0302-370
03.09 2017 год.
КАВАДАРЦИ

ДОГОВОР

за користење на сервиси на МАКПОС системот
на Агенцијата за катастар на недвижности

Склучен помеѓу:

1. АГЕНЦИЈА ЗА КАТАСТАР НА НЕДВИЖНОСТИ - СКОПЈЕ, со седиште на ул. „Трифун Хаџи Јанев“ број 4, претставувана од директорот г-дин Славче Трпески (во натамошниот текст: **давател на услугите**)

и

2. ГЕОДЕТСКИ ПРЕМЕР од КАВАДАРЦИ, со адреса на живеење/седиште на ул. ЕДВАРД КАРДЕЉ БР.7, претставуван од ОРЕШКОВ СТОЈАН, (во натамошниот текст : **корисник на услугите**).

I. ПРЕДМЕТ НА ДОГОВОРОТ

Член 1

Предмет на овој договор е регулирање на меѓусебните права и обврски помеѓу договорните страни во врска со користењето на сервисите на МАКПОС системот (мрежата од перманентни GNSS станици на територијата на Република Македонија), сопственост на Агенцијата за катастар на недвижности.

II. ДОСТАПНИ СЕРВИСИ НА МАКПОС СИСТЕМОТ

Член 2

Достапни сервиси на МАКПОС системот се:

- МАКПОС-DGNSS - Позиционирање со примена на диференцијална метода;
- МАКПОС-RTK - Позиционирање со примена на кинематичка метода;
- МАКПОС-PP (RINEX) - Позиционирање со примена на статичка метода (дополнителна обработка на податоци);
- Издавање извод од МАКПОС базата на податоци од извршени RTK мерења (log фајлови) и
- Пресметување на координати на геодетски точки врз основа на доставени RINEX податоци.

Сите сервиси на МАКПОС системот се достапни за регистрираните корисници 24 часа на ден, во текот на целата година.

III. ОБВРСКИ НА ДОГОВОРНИТЕ СТРАНИ

Член 3

Давателот на услугите се обврзува:

- врз основа на поднесено барање од корисникот на услугата на истиот да му додели корисничко име и лозинка за пристап до избраните сервиси на МАКПОС системот;
- по потпишувањето на овој договор да му овозможи користење на избраните сервиси.

Член 4

Корисникот на услугите се обврзува:

- во поднесеното барање да ги избере сервисите на МАКПОС системот кои што сака да ги користи, како и моделот за нивно тарифирање;
- на давателот на услугата да му плати соодветен надоместок за користење на избраните сервиси.

IV. ВИСИНА НА НАДОМЕСТОКОТ ЗА КОРИСТЕЊЕ НА СЕРВИСИТЕ НА МАКПОС СИСТЕМОТ И НАЧИН НА ПЛАЌАЊЕ

Член 5

Висината на надоместокот за користење на сервисите на МАКПОС системот е утврдена со „Тарифникот за висината на надоместокот за користење и увид на податоците од Геодетско-катастарскиот информационален систем“.

Член 6

Доколку дојде до промена на тарифните модели и на висината на надоместокот за користење на сервисите на МАКПОС системот за времетраењето на овој договор, договорните страни се согласни да се применуваат новите тарифни модели и цени за надоместок за користење на сервисите на МАКПОС системот.

V. НАЧИН НА ПЛАЌАЊЕ

Член 7

Плаќањето на надоместокот за користењето на сервисите на МАКПОС системот ќе се врши на следниот начин:

- За сервисите МАКПОС-DGNSS, МАКПОС-RTK и за издавање извод од МАКПОС базата на податоци од извршени RTK мерења (log фајлови), плаќањето ќе се врши однапред, пред започнување со користењето на сервисите (припејд);
- За сервисите МАКПОС-PP (RINEX) и за пресметување на координати на геодетски точки врз основа на доставени RINEX податоци, плаќањето ќе се врши месечно според количината на искористени податоци, по доставена

фактура од страна на давателот на услугите (постпејд).

Член 8

Договорните страни се согласни овој договор да претставува основ за секое понатамошно доставување на фактури од страна на давателот на услугите, а по доставени барања на корисникот на услугите.

VI. ДОЛЖНОСТИ И ОДГОВОРНОСТ НА ДОГОВОРНИТЕ СТРАНИ

Член 9

Давателот на услугите е должен да обезбеди непречено функционирање на МАКПОС системот, да врши надзор над работењето на перманентните GNSS станици и да управува со контролниот центар на МАКПОС системот во текот на работното време.

Во случај на непредвиден прекин на работењето на системот или на поедини перманентни GNSS станици давателот на услугите е должен да преземи конкретни активности за отстранување на причините за прекилот на работењето во рок од најмногу 4 часа.

Давателот на услугите е должен во случај на планирани прекини во работењето на МАКПОС системот заради негово одржување/надградување да го извести корисникот на услугите најмалку три дена однапред.

Член 10

Давателот на услугите не одговара за прекини во функционирањето на МАКПОС системот, како и за евентуални грешки и неточности предизвикани од виша сила, од можни ограничувања на глобалните сателитски системи за позиционирање и ограничувања во системот за пренос на податоци и корекциски параметри, кои што се надвор од негова надлежност.

Член 11

Корисникот на услугите е должен податоците од МАКПОС системот да ги користи исклучиво за сопствени потреби и не смее да ги дава на користење на трети лица.

Доколку давателот на услугите утврди неправилности при користењето на податоците, има право на корисникот на услугите да му го одземе правото на пристап до податоците од МАКПОС ситемот.

VII. ВРЕМЕТРАЕЊЕ И ЈАЗИК НА СКЛУЧУВАЊЕ НА ДОГОВОРОТ

Член 12

Договорот се склучува на македонски јазик, со времетраење од една година. Доколку 30 дена пред истекот на договорот некоја од договорните страни писмено не побара негово раскинување, истиот ќе се смета за автоматски продолжен.

VIII. ПРИМЕНЛИВ ЗАКОН

Член 13

За се што не е регуларно со овој договор ќе се применуваат одредбите од

Законот за облигационите односи и позитивните законски прописи во Република Македонија.

IX. РЕШАВАЊЕ НА СПОРОВИ

Член 14

Сите евентуални спорови и недоразбирања кои би произлегле од толкувањето и извршувањето на овој договор, договорните страни ќе се обидат да ги решаваат во духот на добрите деловни обичаи со меѓусебно договарање.

Член 15

Во случај на спор се определува надлежност на Судот во Скопје.

X. ПРЕОДНИ И ЗАВРШНИ ОДРЕДБИ

Член 16

Договорните страни изјавуваат дека во целост ги прифаќаат правните последици кои за нив произлегуваат од склучениот договор и во знак на согласност, истиот своерачно го потпишуваат.

Член 17

Овој Договор стапува на сила и произлегува правно дејство помеѓу договорните страни од моментот на неговото потпишување.

Член 18

Изменување и дополнување на Договорот може да се врши со Анекс на истиот, со заедничка согласност на договорните страни, по писмен пат.

Член 19

Овој договор е сочинет во 6 (шест) еднообразни примероци од кои четири за Давателот на услугата и два за Примателот на услугата.

ДОГОВОРНИ СТРАНИ:

За давателот на услугите:
Директор

Славче Трпески

Контролирал / Одобрил:

Сашо Димески,

Неша Петрушевска,

За корисникот на услугите:

Орешков Стојан



РЕПУБЛИКА СЕВЕРНА МАКЕДОНИЈА
АГЕНЦИЈА ЗА КАТАСТАР НА НЕДВИЖНОСТИ
1110-3/2023 од 23.01.2023 15:21:21

Податоци за сертификатот на АКН на Р. Македонија
Издаден на: ELEKTRONSKI SHALTER
Издавач: Makedonski Telekom CA
Сериски број: 5f25 9d ae
Валиден до: 16.08.2023
Датум и час на потпишување: 23.01.2023 во 15:25:26
Документот е дигитално потпишан и е правно валиден



ИЗВЕСТУВАЊЕ

за електронска заверка на геодетски елаборат

Извршена е електронска заверка на геодетскиот елаборат за Геодетски елаборат за ажурирана геодетска подлога, изработен од: ГЕОДЕТСКИ ПРЕМЕР, заведена под број: shape од 23.01.2023 година.

Со заверката се потврдува дека при изработката на геодетскиот елаборат се користени податоци од Геодетско - катастарскиот информационален систем. Геодетскиот елаборат е доставен во електронска форма преку Е-шалтерот на Агенцијата за катастар на недвижности, на 23.01.2023 15:21:21 часот.



Службено лице
ГЕОДЕТСКИ ПРЕМЕР

(име и презиме, потпис)

РЕПУБЛИКА СЕВЕРНА МАКЕДОНИЈА
АГЕНЦИЈА ЗА КАТАСТАР НА НЕДВИЖНОСТИ
1110-3/2023 од 23.01.2023 15:21:21



ИЗВЕСТУВАЊЕ

за електронска заверка на геодетски елаборат

Извршена е електронска заверка на геодетскиот елаборат за Геодетски елаборат за ажурирана геодетска подлога, изработен од: ГЕОДЕТСКИ ПРЕМЕР, заведена под број: 0805-259-1 од 23.01.2023 година.

Со заверката се потврдува дека при изработката на геодетскиот елаборат се користени податоци од Геодетско - катастарскиот информационален систем.

Геодетскиот елаборат е доставен во електронска форма преку Е-шалтерот на Агенцијата за катастар на недвижности, на 23.01.2023 15:21:21 часот.



Службено лице

ГЕОДЕТСКИ ПРЕМЕР

(име и презиме, потпис)

РЕПУБЛИКА СЕВЕРНА МАКЕДОНИЈА
АГЕНЦИЈА ЗА КАТАСТАР НА НЕДВИЖНОСТИ

1110-3/2023 од 23.01.2023 15:21:21



ИЗВЕСТУВАЊЕ

за електронска заверка на геодетски елаборат

Извршена е електронска заверка на геодетскиот елаборат за Геодетски елаборат за ажурирана геодетска подлога, изработен од: ГЕОДЕТСКИ ПРЕМЕР, заведена под број: dxfskica од 23.01.2023 година.

Со заверката се потврдува дека при изработката на геодетскиот елаборат се користени податоци од Геодетско - катастарскиот информационален систем.

Геодетскиот елаборат е доставен во електронска форма преку Е- шалтерот на Агенцијата за катастар на недвижности, на 23.01.2023 15:21:21 часот.



Службено лице

ГЕОДЕТСКИ ПРЕМЕР

(име и презиме, потпис)

РЕПУБЛИКА СЕВЕРНА МАКЕДОНИЈА
АГЕНЦИЈА ЗА КАТАСТАР НА НЕДВИЖНОСТИ
1105-5878/2022 од 23.11.2022 14:54:28

Податоци за сертификаторот на АНН на Р. Македонија
Издаден на: ЕЛЕКТРОНСКИ СПАЛТЕР
Издавач: Македонски Телеком СА
Сериен број: 5725 90 ае
Валиден до: 16.08.2023
Датум и час на потпишување: 23.11.2022 во 14:54:54
Документот е дигитално потпишан и е правно валиден



ИМОТЕН ЛИСТ БРОЈ: 473 ИЗВОД
Катастарска општина: ЦРВЕНИ БРЕГОВИ 2

ЛИСТ А: ПОДАТОЦИ ЗА НОСИТЕЛОТ НА ПРАВТО НА СОПСТВЕНОСТ									
Ред. бр.	ЕМБГ / ЕМБС	Име и презиме / Назив	Адреса / Седиште	Дел на недвижност	Правен основ на запишување	Бр. на пред. по кој е извршено запишување	Датум и час на запишување		
1	***	ДРУШТВО ЗА ПРОИЗВОДСТВО, ТРГОВИЈА И УСЛУГИ ИЛПА-ТРЕД Д ИЛИДА И ДР. ДОО КАВАДАРЦИ	ИНДУСТРИСКА 2, КАВАДАРЦИ	1/1	Договор за продажба на недвижен имот ОДУ бр.289/21 од 27.08.2021 год. нотар Ванчо Тренев.	1112-561/2021	31.08.2021 08:36:04		

ЛИСТ Б: ПОДАТОЦИ ЗА ЗЕМЛИШТЕТО (КАТАСТАРСКА ПАРЦЕЛА) И ЗА ПРАВТО НА СОПСТВЕНОСТ										
Број на катастарска парцела	Викано место/лица	Катастарска			Површина во м2	Сопственост / сосопственост / заедничка сопственост	Право преземено при конвезија на податоците од стариот ел.систем	Бр. на евид. лист	Бр. на пред. по кој е извршено запишување	Датум и час на запишување
		култура	Н	класа						
38	1	КУКУРИЧАНИ	33	Н	4	45413	СОПСТВЕНОСТ		1112-561/2021	31.08.2021 08:36:04

Периода на внесени шифри и кратенки:		Тип		Опис	
Шифра	Опис	Извод	Дел од содржината на имотниот лист за избраните парцели или згради		
33	Проданите земјишта				
Н	Нива				



Овластено лице:
Љубинка Јаковлева
Име и презиме: Јаковлевска

РЕПУБЛИКА СЕВЕРНА МАКЕДОНИЈА
АГЕНЦИЈА ЗА КАТАСТАР НА НЕДВИЖНОСТИ
1105-361/2023 од 24.01.2023 10:35:08

Податоци за сертифицирање на АКН на Р. Македонија
Издавач: ЕЛЕКТРОНСКИ ШАЛТЕР
Издавач: Македонски Телеком СА
Сервисен број: 5725 99 ае
Валиден до: 16.08.2023
Датум и час на потпишување: 24.01.2023 во 10:35:33
Документот е дигитално потпишан и е правно валиден



ИМОТЕН ЛИСТ БРОЈ: 5 ИЗВОД Катастарска општина: ЦРВЕНИ БРЕГОВИ 2

ЛИСТ А: ПОДАТОЦИ ЗА НОСИТЕЛОТ НА ПРАВОТО НА СОПСТВЕНОСТ

Ред. бр.	ЕМБГ / ЕМБС	Име и презиме / Назив	Адреса / Седиште	Дел на недвижност	Правен основ на запишување	Бр. на пред. по кој е извршено запишување	Датум и час на запишување
1	***	РЕПУБЛИКА МАКЕДОНИЈА		1/1		1122-185/2017	12.07.2017 12:21:36

ЛИСТ Б: ПОДАТОЦИ ЗА ЗЕМЛИШТЕТО (КАТАСТАРСКА ПАРЦЕЛА) И ЗА ПРАВОТО НА СОПСТВЕНОСТ

Број на катастарска парцела	Викано место/улица	Катастарска		Површина во м2	Сопственост / сопственост / заедничка сопственост	Право преземено при конвизија на податоците од стариот егзитен	Бр. на евид. лист	Бр. на пред. по кој е извршено запишување	Датум и час на запишување
		култура	класа						
528	ГОРОВА ЛАКА	г3	пвз	173809	СОПСТВЕНОСТ			1122-185/2017	12.07.2017 12:21:36
528	ГОРОВА ЛАКА	г3	зпз 1	140	СОПСТВЕНОСТ			1122-185/2017	12.07.2017 12:21:36
528	ГОРОВА ЛАКА	г3	зпз 2	55	СОПСТВЕНОСТ			1122-185/2017	12.07.2017 12:21:36
528	ГОРОВА ЛАКА	г3	зпз 3	42	СОПСТВЕНОСТ			1122-185/2017	12.07.2017 12:21:36

Легенда на внесени шифри и кратеники:

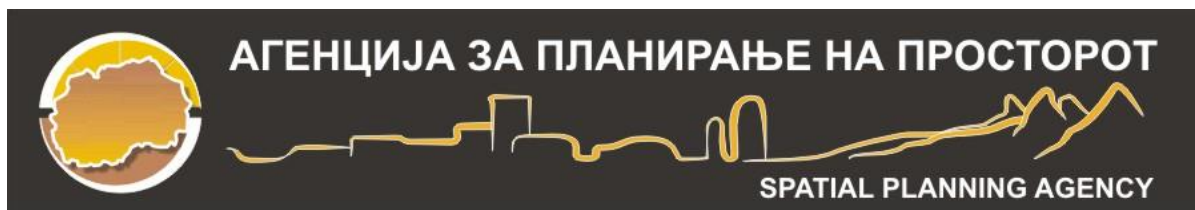
Шифра	Опис	Тип	Опис
гпз	градбено изградено земјиште	Извод	Дел од содржината на имотниот лист за избраните парцели или згради
зпз	Земјиште под зграда		
гз	Ваштанки неподобни земјишта		



Овластено лице:

Љубинка Јаковлева

Име и презиме, потпис



УСЛОВИ ЗА ПЛАНИРАЊЕ НА ПРОСТОРОТ
со намена лесна преработувачка и помалку загадувачка индустрија на КП 38/1,
и дел од КП 528/1 КО Црвени Брегови 2

ОПШТИНА НЕГОТИНО

КОИ ПРОИЗЛЕГУВААТ ОД ПРОСТОРНИОТ ПЛАН НА РЕПУБЛИКА МАКЕДОНИЈА

Тех. бр. Y68522

Скопје, март 2023

УСЛОВИ ЗА ПЛАНИРАЊЕ НА ПРОСТОРОТ
со намена лесна преработувачка и помалку загадувачка индустрија на КП 38/1,
и дел од КП 528/1 КО Црвени Брегови 2

ОПШТИНА НЕГОТИНО

КОИ ПРОИЗЛЕГУВААТ ОД ПРОСТОРНИОТ ПЛАН НА РЕПУБЛИКА МАКЕДОНИЈА

Барател: Општина Неготино

Тех. бр. Y68522

Раководител на задачата:
Валентина Христова Стефановска, д.н.

Раководител на сектор за просторно планирање:
д-р Душица Трпчевска Ангелковиќ, д.и.а.

Агенција за планирање на просторот
Директор

м-р Андријана Андреева, д.и.а.

Скопје, март 2023

**УСЛОВИ ЗА ПЛАНИРАЊЕ НА ПРОСТОРОТ
со намена лесна преработувачка и помалку загадувачка индустрија на КП 38/1,
и дел од КП 528/1 КО Црвени Брегови 2**

ОПШТИНА НЕГОТИНО

На седницата одржана на 11.06.2004 година, Собранието на Република Македонија, го донесе Просторниот план на Република Македонија како највисок, стратешки, долгорочен, интегрален и развоен документ, заради утврдување на рамномерен и одржлив просторен развој на државата, определување на намената, како и уредувањето и користењето на просторот.

Со Просторниот план се утврдуваат условите за хумано живеење и работа на граѓаните, рационалното управување со просторот и се обезбедуваат услови за спроведување на мерки и активности за заштита и унапредување на животната средина и природата, заштита од воени дејствија, природни и технолошки катастрофи.

Со донесувањето на Планот се донесе и Закон за спроведување на Просторниот план на Република Македонија (“Службен весник на Република Македонија” бр. 39/04).

Со Законот се уредуваат условите начините и динамиката на спроведувањето на Просторниот план, како и правата и одговорностите на субјектите во спроведувањето на Планот.

Законот за спроведување на Просторниот план на Република Македонија, се заснова врз следните основни начела:

- јавен интерес на Просторниот план на Република Македонија;
- единствен систем во планирањето на просторот;
- јавност во спроведувањето на Просторниот план;
- стратешкиот карактер на просторниот развој на државата;
- следење на состојбите во просторот;
- усогласување на стратешките документи на државата и сите зафати и интервенции во просторот;
- **координација на Просторниот план на Република Македонија, со другите просторни и урбанистички планови и другата документација за планирање и уредување на просторот, како и со субјектите за вршење на стручни работи во спроведувањето на Планот.**

Спроведувањето на Планот подразбира задолжително усогласување на соодветните стратегии, основи, други развојни програми и сите видови на планови од пониско ниво, со Просторниот план.

Според член 4 од овој Закон, Просторниот план, се спроведува со изготвување и донесување на просторни планови на региони, просторни планови на подрачја од посебен интерес, просторен план на Општина, на општините во градот Скопје и на градот Скопје, како и со урбанистички планови за населените

места и друга документација за планирање и уредување на просторот, предвидена со закон. За изготвување и донесување на плановите од став 2 на овој член, Министерството надлежно за работите на просторното планирање, издава решение за услови за планирање на просторот.

Условите за планирање на просторот, според овој Закон, содржат општи и посебни одредби, насоки и решенија од планската документација од повисоко ниво и графички прилог или прилози кои ги прикажуваат решенијата на Планот.

Во конкретниот случај, Условите за планирање на просторот се наменети за лесна преработувачка и помалку загадувачка индустрија на КП 38/1, и дел од КП 528/1 КО Црвени Брегови 2, Општина Неготино Површината на планскиот опфат изнесува 5,48 ha..

Видот на планската документација да се усогласи со Законот за урбанистичко планирање и Правилникот за урбанистичко планирање.

Условите за планирање треба да претставуваат влезни параметри и насоки при планирањето на просторот и поставување на планските концепции и решенија по сите области релевантни за планирањето на просторот, обработени во согласност со Просторниот план на Република Македонија.

Основни определби на Просторниот план

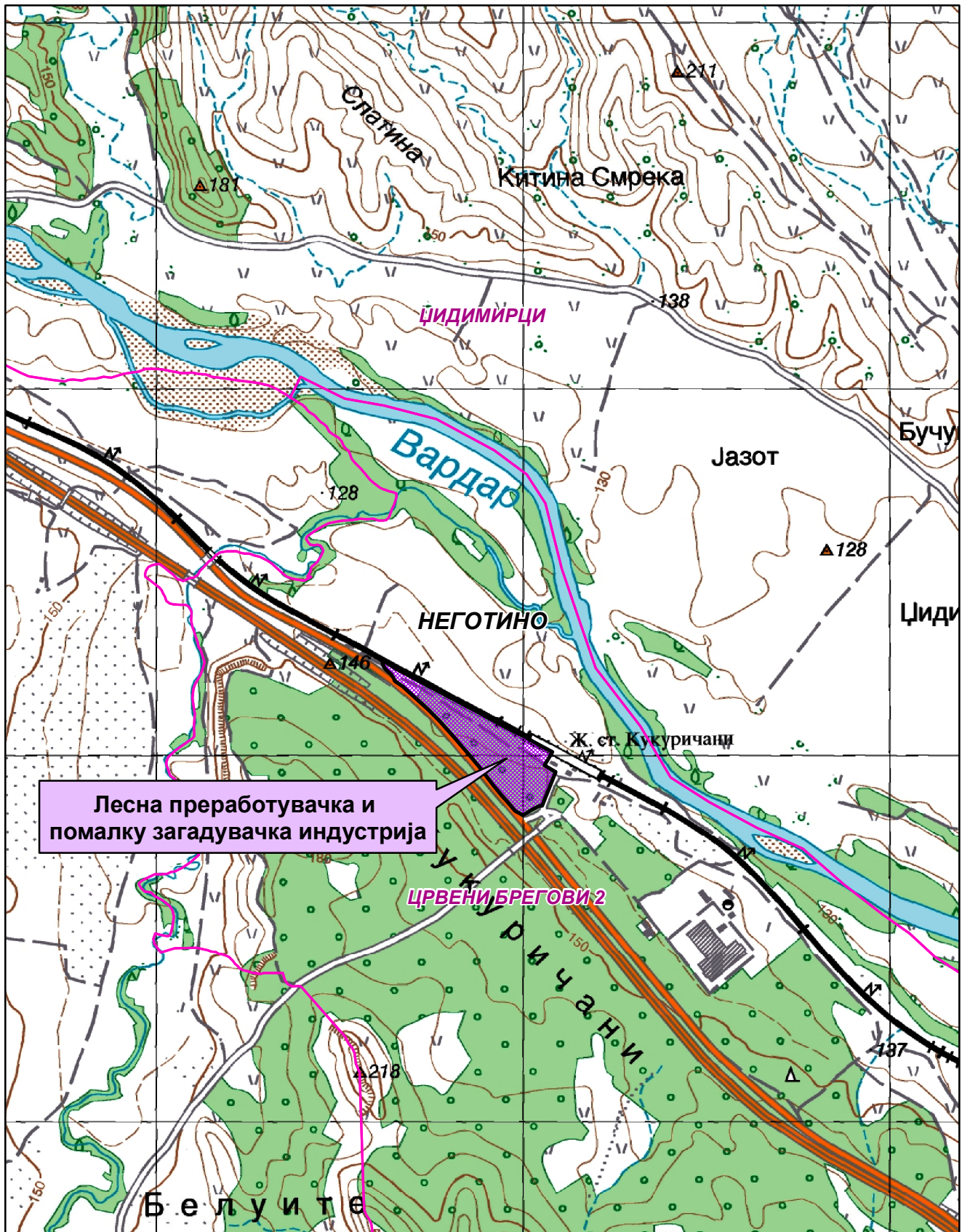
Основната стратешка определба на Просторниот план на Републиката е остварување на повисок степен на вкупната функционална интегрираност на просторот на државата и **обезбедување услови за значително поголема инфраструктурна и економска интеграција со соседните и останатите европски земји**. Остварувањето на повисок степен на интегрираност на просторот на Републиката подразбира **намалување на регионалните диспропорции**, односно квалитативни промени во просторната, економската и социјалната структура.

Во инвестиционите одлуки за материјалното производство, стриктно се почитуваат локациските, техничко-економските и критериумите за заштита на животната средина, кои се усвоени на национално ниво.

Една од основните цели на Просторниот план се однесува на рационално користење и заштита на природните ресурси, искористување на погодностите за производство и лоцирање на преработката на простори врзани со местото на одгледување или искористување. Меѓу приоритетните определби на Просторниот план е заштитата на земјоделското земјиште, а особено стриктно ограничување на трансформацијата на земјиштето од I-IV бонитетна класа за неземјоделско користење, како и зачувување на квалитетот и природната плодност на земјиштето.

Во напорите за унапредување на квалитетот на живеењето во Републиката, посебно тежиште се става на **унапредувањето и заштитата на животната средина**. Состојбата на животната средина и еколошките барања се важен фактор на ограничување во планирањето на активностите, заради што е неопходна процена на влијанијата врз животната средина. Посебно значење имаат заштитата и промоцијата на вредните природни богатства и поголемите подрачја со посебна намена и со природни вредности, важни за биодиверзитетот и квалитетот на животната средина, како и заштитата и промоцијата, или соодветниот третман на културното богатство согласно со неговата културолошка и цивилизациска важност и значење.

Местоположба на локацијата и ружа на ветрови



Лесна преработувачка и помалку загадувачка индустрија

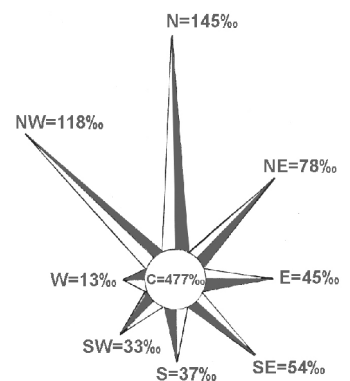
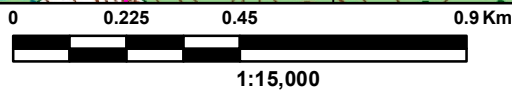
ЦРВЕНИ БРЕГОВИ 2



Општинска граница



Катастарска граница



Природни и климатски карактеристики

Природните карактеристики на едно подрачје претставуваат збир на вредности и обележја создадени од природата, без учество и влијание на човекот. Тие ги опфаќаат: географската и геопрометната положба на подрачјето, релјефните карактеристики, геолошките, педолошките, хидрографските, сеизмичките, климатските и др.

Предметната локација во КО Црвени Брегови 2, Општина Неготино се наоѓа североисточно од населеното место Паликура на надморска височина од 140 м.

Областа Тиквеш и Повардарие каде е лоцирана предметната локација се наоѓа под влијание на медитеранска клима која продира од југ преку Демир Каписката клисура и на континентална клима која продира од север преку Велешката Котлина.

Судирот на две различни климатски влијанија создава модифицирана медитеранска клима со следните карактеристики: просечна годишна температура на воздухот 13,3°C; највисока просечна месечна температура – јули 24,3°C и август 23,8°C; најниска просечна месечна температура - јануари 1,3°C; годишна средномесечна температура над 0°C; број на мразни денови (под 0°C) 58,4 дена; средно траење на мразен период - 112 дена; температурна амплитуда 59,5°C, односно апсолутна максимална температура 42°C и апсолутна минимална температура -17,5°C.

Должината на траењето на сончевиот сјај (осончување) годишно за Средно Повардарие изнесува 2230 часови со максимум во месеците јули и август.

Плувиометриските анализи покажуваат дека ова подрачје е лоцирано во најсушното подрачје во Републиката со следните карактеристики: просечна годишна сума на врнежи – 437mm, максимална сума на врнежи по месеци - 61,2mm - октомври, минимална сума на врнежи по месеци - 47,5mm - мај, поројни врнежи од локален карактер - мај до септември, дневен максимум – 97mm. Просечна годишна влажност на воздухот е 71%. Просечниот број на ведрни денови е 118 дена, облачни 153 и тмурни 94 денови.

Интензитетот на дневниот максимум условува создавање на големи поројни води кои создаваат посебни проблеми во градот.

Снежната покривка се јавува од декември до март или просечно годишно вкупно 71 ден, а вистинскиот број на денови со снежна покривка изнесува 21 ден. Максимално регистрираната висина на снежна покривка достигнува 93cm.

Воздушните струења имаат најголема честина од насоките север 145% просечна брзина 2,0m/sek максимална јачина 10 бофори и северозапад 118% максимална јачина 10 бофори, просечна брзина 2,1m/sek.. Во пределот најголеми се тишините кои изнесуваат 477%.

Економски основи на просторниот развој

Концептот на планиран развој и просторна разместеност на производните и услужни дејности во "Просторниот план на Република Македонија" се темели на дефинираните цели на економскиот развој во "Националната стратегија на економскиот развој", определбите за рационално користење на потенцијалите и

погодностите на развојот, поставеноста на системот на населби, како и политиката за порамномерна и порационална просторна организација на економските дејности.

Според економската структура, фазата од развојот во која се наоѓа економијата, степенот на расположивоста на факторите, економските состојби и економската позиција на Република Македонија во светот, идниот развој на македонската економија е детерминиран од насоките и комбинацијата на инвестициите со другите развојни фактори во Државата.

Концепцијата на просторната организација на производните и услужни дејности поаѓајќи од објективните фактори, пазарните услови, доминацијата на приватната сопственост во економскиот систем и одлуките на државните и локалните органи, се остварува како комбинација на концентрацијата на стопанството на одделни места и дисперзија во просторот кои се комплементарни приоди во развојот и просторната разместеност на економските дејности.

Со разместувањето на производните и услужни дејности и со агломерирањето на населението во просторот, се формираат центри-полови на развојот како што е Градот Неготино со гравитационо влијание врз планскиот опфат на локацијата за која се наменети Условите за планирање на просторот.

Половите на развој ги формираат оските на развојот детерминирани од географските карактеристики на просторите, т.е. релјефот, теченијата на реките и слично, а во современите текови позначајни се деловните односи, комуникациите, како и изградените инфраструктурни системи и стопански капацитети.

Со Просторниот план на Р Македонија дефинирани се пет оски на развој од кои релевантна за Општината на чиј простор припаѓа планскиот опфат за кој се наменети Условите за планирање е развојната оска “Север-југ” која минува по средината на територијата на земјата, следејќи го од Скопје на југ течението на реката Вардар. Формирана е историски во текот на целиот XX век, па и порано, а на југ, преку границата стигнува до Солун. По Првата светска војна таа продолжи и на север, па се спои со оската по течението на реката Морава. Денес, на територијата на земјата ги поврзува градовите: Куманово - Скопје - Велес - Неготино (и Кавадарци) - Демир Капија - Валандово - Гевгелија. На север од Скопје има и еден крак до Приштина. Какви промени и да се случат, во наредните децении оваа оска ќе остане главна.

Развојните оски имаат значајна улога во просторната организација, а во прв ред за модернизација на патиштата, за изградбата на далекуводи, гасоводи итн., со што ќе се создадат предуслови за поттикнување на развојот на вкупната економија во Регионот и интегрален просторен развој на државата.

При спроведувањето на стратегијата за организација и користење на просторот за производните и услужни дејности, решенијата во просторот треба да овозможат поголема атрактивност на просторот, заштита на природните и создадени ресурси и богатства, сообраќајно и информатичко поврзување, локациона флексибилност и почитување на објективните фактори на развојот.

Реализација на документацијата со намена лесна преработувачка и помалку загадувачка индустрија, КО Црвени Брегови 2, Општина Неготино ќе оствари удел во развојот на економските активности во локалната економија.

Меѓутоа, појдовна поставка за просторниот и регионалниот развој е дека за просторното и урбанистичкото планирање не се доволни сознанијата за развитокот на стопанството во земјата, туку треба да се согледаат и да се предвидат и последиците од тој развиток врз неговото разместување во просторот.

Според определбите на Просторниот план, идниот развој и разместеност на производните и услужни дејности треба да базира на одржливост на економијата применувајќи ги законитостите на пазарната економија и релевантната законска регулатива од областа на заштитата на животната средина, особено превенција и спречување на негативните влијанија на производните процеси и технологии врз животната и работна средина.

Користење и заштита на земјоделско земјиште

Зачувувањето, заштитата и рационалното користење на земјоделското земјиште е основна планска определба и главен предуслов за ефикасно остварување на производните и другите функции на земјоделството, а конфликтните ситуации кои ќе произлегуваат од развојот на другите стопански и општествени активности ќе се решаваат врз основа на критериуми за глобална општествено-економска рационалност и оправданост со што ќе се постигнат следните зацртани цели:

- Запирање на тенденциите на прекумерна и стихијна пренамена на плодните површини во непродуктивни цели;
- Зголемување на продуктивната способност на земјоделското земјиште и подобрување на структурата на обработливите површини во функција на поголемо производство на храна;
- Привремено или трајно исклучување од процесот на производство на храна на терените каде концентрацијата на токсични материи од сообраќајни коридори во земјиштето, воздухот и водата се над дозволените норми;
- Рекултивирање и враќање на деградираното земјиште во земјоделска намена со мелиоративни и агротехнички зафати;
- Искористување на компаративните предности и погодности на одделни подрачја и стопанства за повисок степен на финализација и задоволување на потребите на преработувачките капацитети и нивна ориентација кон извоз;
- Обезбедување на материјални и други услови за дефинирање и реализација на програмата за реонизација на земјоделското производство поради рационално искористување на сите природни ресурси, човечки потенцијали и индустриско-преработувачки капацитети;

Согласно Просторниот план на Република Македонија просторот на Републиката е поделен во 6 земјоделско стопански реони и 54 микрореони. Предметната локација припаѓа на Медитерански или Повардарски земјоделско стопански реон поделен на Јужно медитерански со 2 микрореони и Централно-медитерански со 10 микрореони.

При изработка на планската документација, неопходно е воспоставување и почитување на ефикасна контрола на користењето и уредувањето на земјиштето и

утврдување на нормите и стандарди за градба. Меѓу приоритетните определби на Просторниот план е заштитата на земјоделското земјиште, а особено стриктното ограничување на трансформацијата на земјиштето од I-IV бонитетна класа за неземјоделско користење, како и зачувување на квалитетот и природната плодност на земјиштето.

Пренамената на земјоделското земјиште се регулира со Законот за земјоделско земјиште. Доколку при изработка на урбанистичко планската документација се зафаќаат нови земјоделски површини, надлежниот орган за одобрување на планските програми веднаш по заверка на истите, до Министерството за земјоделство, шумарство и водостопанство поднесува барање за согласност за трајна пренамена на земјоделско земјиште во градежно.

Водостопанство и водостопанска инфраструктура

Со цел да се согледаат расположивите водни ресурси согласно Просторниот план на Република Македонија, на територијата на Републиката дефинирани се 15 водостопански подрачја. (ВП): ВП “Полог”, “Скопје”, “Треска”, “Пчиња”, “Среден Вардар”, “Горна Брегалница”, “Средна и Долна Брегалница”, “Пелагонија”, “Средна и Долна Црна”, “Долен Вардар”, “Дојран”, “Струмичко Радовишки”, “Преспа”, “Охридско - Струшко” и “Дебар”.

Просторот на кој се предвидува изградба на стопанскиот комплекс, КО Курија, општина Неготино, припаѓа на водостопанското подрачје (ВП) “Среден Вардар”, кое го опфаќа сливот на река Вардар од вливот на р. Пчиња во р. Вардар до водомерниот профил “Демир Капија” на р. Вардар, а без сливовите на реките Брегалница и Црна Река. На ова ВП припаѓаат десните притоки на реката Вардар: реките Тополка, Бабуна, Луда Мара и Бошава и левите притоки Отавица и Иберијска Река.

За подобрување на режимот на водите, односно за целосно искористување на хидролошкиот потенцијал на водотеците, акумулациите претставуваат клучни објекти во водостопанската инфраструктура. Во ВП “Среден Вардар” изградени се акумулациите “Младост” на реката Отавица и “Лисиче” на реката Тополка. Основна намена на водите од акумулацијата “Младост” е наводнување на обработливите површини, заштита од поплави и нанос. Акумулацијата “Лисиче” треба да обезбеди вода за водоснабдување на градот Велес.

Во идниот период во ВП “Среден Вардар” се предвидува изградба на акумулациите: “Велес”, “Бабуна II”, “Згрополци”, “Традско”, “Кукуречани”, “Криволак”, “Дуброво” и “Демир Капија” на реката Вардар и акумулациите “Бабуна” на р. Бабуна и “Венец” на р. Изворчица.

Планскиот опфат на стопанскиот комплекс за лесна преработувачка и помалку загадувачка индустрија во КО Црвени Брегови 2, Општина Неготино, навлегува во планираната акумулација “Криволак” на реката Вардар. Максималната котата на нивото на водата во акумулацијата “Криволак” се предвидува на 126,6 м.н.в. Основната намена на водите од акумулацијата е производство на електрична енергија, контрола на поплавите и оплеменување на малите води.

Бидејќи просторите погодни за изградба на акумулации се ограничени, стратешка определба е максимална заштита на тие простори со превземање на мерки кои ќе го спречат узурпирањето на крајбрежјето и деградирањето на речното корито.

Потребно е превземање на мерки за целосна заштита на сливното подрачје на акумулацијата. Во сливот на предвидената акумулација забрането е да се изведуваат работи кои би можеле да ги сменат природните услови поради што би можело да дојде до лизгање на теренот, појава на ерозија или создавање на суводолици и порои.

Енергетика и енергетска инфраструктура

Од аспект на енергетиката и енергетската инфраструктура со Просторниот план на Република Македонија се дефинираат состојбите, потребите и начините на задоволување на потрошувачката на разните видови на енергија во Републиката. При тоа приоритет се дава на намалување на увозната зависност на енергенти и енергија, односно задоволување на потрошувачката со домашно производство.

Според статистичките податоци последниве години во Републиката над 30% од потрошената електрична енергија е од увозно потекло за што се одвојуваат големи девизни средства. Зголемената потрошувачка на енергетски горива ја наметнува потребата од подобрувањето на енергетската ефикасност. Европската регулатива “Европа 2020” за паметен, одржлив и сеопфатен развој предвидува мерки за намалување на емисиите на издувни гасови, зголемување на користењето на обновливи извори на енергија и зголемување на енергетската ефикасност. Имплементирањето на овие мерки, ќе придонесе за подобра односно поквалитетна иднина за следните генерации, отворање на нови работни места, а истовремено се обезбедуваат услови за одржлив развој. Со рационално искористување на енергетските извори им се овозможува на идните генерации да имаат ресурси за сопствен раст и развој.

Размената на електрична енергија помеѓу балканските електроенергетски системи (чии земји најчесто се увозници) е многу значајен фактор за натамошниот развој. Електроенергетските системи на балканските земји треба да бидат поврзани со конективни водови кои што нема да претставуваат тесно грло во трансмисија на потребните количини на електрична моќност. РСМакедонија досега има 400 kV конективни водови со Грција (кон Солун и Лерин) и Косово (Косово-Б) и кон Бугарија (Црвена Могила), а во план е градбата на вод кон Албанија. Планираната, со Просторниот план на РМ, траса на водот од Скопје5 кон Србија е сменета и изграден е водот Штип-Србија.

Локацијата со намена лесна преработувачка и помалку загадувачка индустрија, КО Црвени Брегови 2, Општина Неготино, нема конфликт со постојните и планирани преносни и конективни водови. Така постојниот преносен 400kV далновод Дуброво-Скопје4 минува на 3,3km југозападно од оваа локација.

Гасовод

Природниот гас, со сегашната потрошувачка, малку е застапен во енергетскиот сектор во Републиката. Со негова зголемена употреба се воведува еколошки поприфатливо гориво кое со својот хемиски состав и висока калорична моќ, претставува одлична замена за нафтата, нејзините деривати, јагленот и другите цврсти и течни горива. Природниот гас испушта помалку штетни материји во однос на другите енергенти, заради што аерозагадувањето е сведено на минимум.

Изградениот крак Жидилово-Скопје е дел од меѓународниот транзитен гасоводен систем Русија-Романија-Бугарија-СМакедонија. Се планира во идниот период доизградба на гасоводната мрежа во Републиката и поврзување со мрежите на соседните држави што ќе овозможи зголемување на сигурноста во снабдувањето на сите региони во Републиката, но и урамнотежување на потрошувачката во текот на целата година.

Изградбата на гасоводниот систем на делницата-1 Клевовце -Штип-Неготино овозможи поволни услови за развој на гасоводната мрежа во овој регион. Гасоводот на делницата-1 минува на 9,7 km источно од оваа локација.

Заради зголемување на сигурноста во снабдувањето со нафта и нафтени деривати на Републиката изграден е нафтоводот Скопје-Солун со кој се овозможува транспорт на два милиони тони сирова нафта од пристаништето во Солун до Рафонеријата ОКТА. Трасата на изведениот **нафтовод Скопје-Солун** минува на 5,1km западно од оваа локација.

Население

Утврдувањето на концептот на просторната организација, уредувањето и користењето на територијата на Републиката, а во контекст на тоа и стопанската структура, зависи од развојот, структурните промени и просторната дистрибуција на населението.

Врз основа на прогноза за бројот, структурата, темпото на растежот, критериумите за разместување и подвижноста, треба да се покаже просторно-временската компонента на остварување на идната организација и уредување преку демографскиот аспект.

Демографските проекции, кои на планирањето му даваат нова димензија, покажуваат или треба да покажат, како во иднина ќе се формира населението, неговиот работен контингент (работна сила) и домаќинствата и како треба да придонесат кон сестрано согледување на идната состојба на населението како произведен дел, потрошувач и управувач - креатор.

Тргувајќи од определбата дека **популациската политика преку систем на мерки и активности** треба да влијае врз природниот прираст, се оценува дека за обезбедување на плански развој и излез од состојбата на неразвиеност се наметнува водењето активна популациска политика во согласност со можностите на социо-економски развој на Републиката. Во овие рамки треба да се води единствена популациска политика со диференциран пристап и мерки по одделни подрачја, со цел да се постигне **оптимализација во користењето на просторот и ресурсите**, хуманизација на условите за семејниот и општествениот живот на

населението, намалување на миграциите, како и создавање на услови за порамномерен регионален развој на Републиката.

Како демографска рамка, населението е значајна категорија која треба да се има во предвид при апроксимацијата на потенцијалните работни ресурси и потенцијалните потрошувачи и корисници на сите видови услуги.

Урбанизација и мрежа на населби

Урбанизацијата како сложен, динамичен процес треба да претставува основна рамка и влијателен фактор во насочувањето на долгорочниот просторен развој на Република Северна Македонија. Под поимот урбанизација се подразбира во прв ред развој на градовите изразен со порастот на нивното население, социјалните и политички функции и во изградбата и уредување на нивните просторно физички структури. Во поширока смисла урбанизацијата го опфаќа и развојот на руралните населби и простори кој е резултат на промените кои водат кон намалување на разликите помеѓу градот и селото.

Концептот на развојот и уредувањето на селските подрачја за основа ги има целите со кои е предвидено:

- Сеопфатен, рамномерно територијално распределен развој на целата територија;
- Интензивирање на функционалните врски во доменот на стопанството и услугите помеѓу соседните центри со координирано, заедничко организирање на активностите;
- Стимулирање на развојот на основните дејности преку активирање на локалните потенцијали, оптимално искористување на природните погодности и осовременување на производството;
- Создавање услови за непречено вршење на основните човекови активности (функции), обезбедување висок степен на заштита на животната средина и запазување на принципите на одржлив развој;
- Подобрување на животните услови преку плански насочено уредување на населбите и целосно опремување со елементи на комунална инфраструктура;
- Обезбедување на целосна интеграција на руралните населби во системот на населбите во функционалните единици.

Планскиот опфат со намена лесна преработувачка и помалку загадувачка индустрија, КО Црвени Брегови 2, Општина Неготино, би требало да предизвика позитивни импулси и ефекти врз целото непосредно окружување од аспект на повисока организација, инфраструктурна опременост и уреденост на просторот и се разбира економски ефекти манифестирани преку привлекување на нова работна сила и вработување, доколку е базирана врз принципите на одржлив развој и се одликува со максимално почитување и вградување на нормативите и стандарди за заштита на животната средина.

Просторниот развој на руралните населби, базиран на соодветна планска документација наметнува усогласување на истиот со планските решенија и насоки на Просторниот план на Република Македонија во сите сегменти на развојот, со особен акцент на она што значи стратешки решенија и насоки. Неопходно е

почитување на определбите на Просторниот план во однос на дестимулација на проширување на градежното земјиште од една и поефикасно и порационално искористување на постојната ангажирана површина од друга страна, односно:

- При изработка на урбанистичките планови на населбите, површините за сите урбани содржини треба да се бараат исклучиво во рамките на постојните урбани опфати, а надвор од овие рамки за исклучително оправдани цели и потреби, на површини од послаби бонитетни класи (над IV категорија);
- Изградбата на викенд населби, туристички комплекси, стопански зони, земјоделски и други објекти со специфични намени да се насочува кон подрачја кои со планови и програми на општините ќе бидат определени за тие цели.

Домување

Од неколкуте основни функции во населбите, **домувањето** е најголем потрошувач и корисник на просторот, основна содржина на населбите и основен елемент на просторното и урбанистичко планирање. Домувањето општо, а станбената изградба посебно е битна компонента на социјалниот и општествениот развој, организација и уредување на просторот и подигнување на животниот стандард на населението.

Во просторно планските документи домувањето често се набљудува како последица на промените во другите развојни сфери. Примената на концепцијата на полицентричен развој го третира домувањето како посебен тип на развоен ресурс, особено битно за неразвиените подрачја како нови центри на развој.

Бидејќи вложувањето во станбената изградба чини голем дел од приходот на секое домаќинство без стан, очигледно дека во услови на рационално работење и се поостра економска конкуренција, станбеното прашање на работниците, како и оние кои бараат вработување станува се поважна развојна околност. Порастот на цената на станбената изградба и одржување ќе влијае на промена на просторната стратегија на развој на голем број претпријатија кои ќе бидат принудени да ги лоцираат своите погони таму каде веќе постојат работници со решено станбено прашање.

Просторното разместување на новите стопански претпријатија треба да се базира на постоечкиот станбен фонд во помалите населби и нивните технологии во склад со квалификационата структура на населението на таквите подрачја. На тој начин, постоечкиот станбен фонд, како една од почетните развојни ресурси на овие населби станува поттик за јакнење на постоечките и создавање на нови центри, на развој во функција на полицентричен развој.

Во тој контекст планскиот опфат со намена лесна преработувачка и помалку загадувачка индустрија, КО Црвени Брегови 2, Општина Неготино, го поддржува концептот, кој нуди квалитетни услуги во функција на стопанскиот развој, а кој се базира на популацијата и станбениот фонд во населбите во непосредна близина.

Јавни функции

Организацијата на јавните функции, согласно планираната мрежа на населби, поаѓа од постојната мрежа на јавните функции во регионот под претпоставка дека идниот развој на истите ќе се развива во согласност со економските, институционалните и други промени во него.

Организирање на мрежата на јавните функции овозможува:

- достапност на функциите до сите граѓани во регионот;
- воедначен квалитет на пружените услуги;
- активно учество на граѓаните во организација на работата на јавните функции;
- прилагоденост на програмата на јавните служби на локалните карактеристики како и можност за избор на модалитет и вид на услуга.

Развојот на стопанството и системот на населби, економскиот развој, зголемување на степенот на вработеност и севкупната урбанизација на просторот го условува порамномерниот развој на јавните функции, како *потреба за поголем избор на занимања, потреба од соодветно образование, како и остварување на здравствена и социјална заштита*. Мотивите, интересите и инвестиционите критериуми на приватните инвеститори, различните фондации и други непрофитни асоцијации се исто така значајни за организирање на јавните функции.

Планскиот опфат со намена лесна преработувачка и помалку загадувачка индустрија, КО Црвени Брегови 2, Општина Неготино, е надвор од урбаниот опфат на најблиската населба и нема препораки за организација на јавни функции на неа, што значи дека се исклучени и можностите за било каков конфликт помеѓу два типа на функции.

Индустрија

Развојот и просторната разместеност на индустријата претставува значаен фактор за поттикнување на развојот на вкупната економија и модернизација на другите области од економскиот и општествениот живот. Ефикасното и успешно спроведување на насоките и определбите за поттикнување на развојот на индустриските дејности и нивно рационално разместување во просторот ги детерминираат позитивните промени и во другите сегменти на економијата: пораст на вработеноста, зголемување на бруто домашниот производ, подобрување на животниот стандард и др.

Врз основа на сознанијата и определбите на "Националната стратегија за економски развој на Република Македонија" (МАНУ, 1997), како и врз основа на досегашниот развој, а особено концептот на одржлив развој, основните насоки и стратешки определби на долгорочниот развој на индустријата се следните: технолошко реструктурирање, извозна ориентација на водечките сектори и гранки; пошироко воведување и развој на еколошки-просторно прифатливо индустриско производство со развој на штедливи технологии (во однос на природните ресурси, енергијата и горивото и работната сила) и (или) малоотпадни (безотпадни) технологии; зголемување на ефикасноста на производството; почитување на инвестиционите критериуми врз база на

континуирано планирање и прифаќање на пазарните критериуми на стопанисување; стратегија на разместеност на индустриските капацитети која ја респектира просторната структура на факторите на разместеноста, рационалниот распоред на материјалните производствени фондови, од аспект на вкупниот простор на Републиката и потребите од комплексен развој на одделни територијални единици; развој на малите претпријатија, заради остварување на концептот на децентрализиран развој и разместеност на индустријата.

Развојот на индустријата по одделните општини, особено помалите, се очекува да се остварува со градба на мали, флексибилни капацитети и поголема застапеност меѓу другото и на енергетскиот сектор.

Концепцијата за развој и разместеност на индустријата утврдена со "Просторниот план на Република Македонија" е поставена врз основа на повеќе цели и плански определби од кои релевантни за планираните објекти со намена Реализација на документацијата со намена лесна преработувачка и помалку загадувачка индустрија, КО Црвени Брегови 2, Општина Неготино:

- вклучување на еколошките преференци во развојот на индустријата и нејзина алокација и разместување;
- развојот на индустријата во поголема мера да се потпира врз примената на достигнувањата на науката и на техничко-технолошкиот прогрес и иновации во технолошките процеси;
- технолошко реструктурирање, во склад со барањата за модернизација и реконструкција на индустријата;
- стратегија на развој на високите технологии усогласени со концепцијата на одржливиот развој: мала суровинска и енергетска интензивност, висока информативна и научна интензивност, високо учество на стручната работна сила, висока фрагментација на пазарот со специфични барања, високи вложувања во предконкурентни истражувања и сеопфатно влијание врз карактеристиките на голем број сегменти на социо-економскиот систем.

Во планскиот период, индустриското производство се очекува да биде застапено во сите општини и да остварува растеж кој ќе придонесе за зголемување на вработувањето, подобрување на условите за живеење на граѓаните на поширокиот простор на земјата.

Индустријата која е водечка стопанска дејност и двигател на развојот на вкупната економија има значајно влијание врз квалитетот на животната средина. Во услови на усвоената развојна парадигма на "одржлив" развој, напорите треба да се насочат кон суштествени промени во стратегијата и политиката за развој и просторна алокација на индустриски гранки засновани на принципите на еколошка заштита. Според филозофијата на одржлив развој, економскиот односно индустрискиот развој и заштитата на животната средина прават единствен систем. Одржливиот развој претставува алтернатива за загрозените природни и создадени вредности и за создавање на хумано општество и окружување. Разрешувањето на конфликтите во овој систем треба да почива на интеракција на релацијата простор и социо-економската компонентата на развојот.

Сообраќај и врски

Комуникациската мрежа на Република Северна Македонија, сочинета од повеќе комуникациски потсистеми, е етаблирана преку системот за сообраќај и врски врз чија основа, помеѓу другото, се темели и организацијата на просторот на државата. Комуникациските системи во Републиката, кои се од особено значење за развојот на стопанските активности, се очекува да се подобруваат, унапредуваат и да се развиваат во две насоки на развој на комуникациите:

- екстерното поврзување на државата (стратешки коридори);
- интерното поврзување во државата (регионални и локални потреби).

Основа за *екстерното поврзување* на државата се дефинираните комуникациски коридори согласно меѓународните конвенции и препораки, што воедно се и основа за ориентација кон европските и балканските определби за економски и технолошки комуникации, што е од особено значење за извозот.

Основата за *интерното поврзување* во државата односно планирање и развој на патната мрежа на Државата се базира на категоризација на патиштата, на стратешки дефинирани меѓународни коридори за патен сообраќај, на досега изградената европска патна мрежа-ТЕМ со “Е” ознака на патиштата, на досега изградената магистрална и регионална патна мрежа, како и на определбите од долгорочната стратегија за развој.

Мрежата на патишта “Е” ознака што ги дефинира меѓународните коридори за патен сообраќај низ Републиката се: Е-65, Е-75, Е-850, Е-871.

Според Просторниот план на Република Македонија, автопатската и магистрална патна мрежа релевантна за предметниот простор е:

- Е-75 кој се поклопува со магистралниот пат М-1 : (СР-Табановце- Куманово- Велес-Богородица-ГР) - Коридор за патен сообраќај во насока север-југ.
- М-1 - (СР-Табановце-Куманово-Велес-Богородица-ГР).

Врз основа на „Одлуката за категоризација на државните патишта“ овој магистрален патен правец се преименува со ознаката:

- А1 (М-1) - (Граница со Србија-ГП Табановци-Куманово-Велес-Неготино-Демир Капија-Гевгелија-граница со Грција-ГП Богородица и делница Градско-Прилеп-врска со А3).

Во идната патна мрежа на Републиката, основните патни коридори ќе ги следат веќе традиционалните правци во насока север-југ (коридор 10), односно исток-запад (коридор 8), што се вкрстосуваат во просторот помеѓу градовите: Скопје, Куманово и Велес. На тој начин дел од магистралните патишта во Републиката ќе формираат три основни патни коридори, што треба да се изградат со технички и експлоатациони карактеристики компатибилни со системот на европските автопатишта (ТЕМ):

- север-југ: М-1 (Србија - Куманово - Велес - Гевгелија - Грција),
- исток-запад: М-2 и М-4 (Бугарија-Крива Паланка-Куманово-Скопје-Тетово-Струга-Албанија и крак Скопје - Србија),
- исток-запад: М-5 (Бугарија - Делчево - Кочани - Штип - Велес -Прилеп - Битола - Ресен - Охрид- Требеништа - М4 (крак Битола -граница со Грција).

На автопатската и магистралната патна мрежа се надоврзуваат **регионалните патишта**, што заедно со локалните категоризирани патишта ќе ја сочинуваат патната мрежа на Републиката.

Релевантен регионален патен правец за предметната локација, според Просторниот план на Република Македонија, влегува во групата на регионални патишта "Р1" и е со ознака:

- Р1102 – Скопје -Врска со А2-обиколница Скопје-Катланово-Велес-Неготино-Демир Капија-Гевгелија-врска со А1.
- Р1103 - (Лаковица-врска со А4-Неготино-Кавадарци-Дреново-врска со Р1101).

Динамиката за реализација на мрежата, што ќе овозможи целосно опслужување на Републиката, ќе биде во функција на сообраќајните потреби (очекуваниот обем на сообраќајот), потребите за интеграција во европскиот патен систем, како и економската моќ на државата, а трасите на меѓународните и магистралните патишта, задолжително ќе поминуваат надвор од населените места и се предлага да се решаваат со денивелирано вкрстосување со останатата патна мрежа.

При изработка на планската документација од аспект на безбедноста во Патниот сообраќај, да се почитуваат Законот за јавни патишта, законската регулатива во делот на “заштитната зона на патот“ согласно Законот за јавни патишта, како и важечките Законски и подзаконски акти кои ја допираат оваа област.

Железнички сообраќај: Концепцијата за развој на железничкиот систем базира на потребата за модернизација и проширување на железницата во целина, како и поврзување на железничката мрежа на Републиката со соодветните мрежи на Република Бугарија и Република Албанија.

Железничката мрежа на Републиката, во планскиот период, треба да ја сочинуваат: магистрални железнички линии од меѓународен карактер, регионални линии и локални линии.

Магистрални железнички линии од меѓународен карактер:

- СР- Табановце-Скопје-Гевгелија-ГР 213,5 km
- СР - Блаце-Скопје 31,7 km
- СР -Кременица-Битола-Велес 145,6 km
- БГ -Крива Паланка-Куманово 84,7 km
- АЛ-Струга-Кичево-Скопје 143,0 km

Покрај постојните врски Табановце и Блаце на север, односно Гевгелија и Кременица на југ, ќе се изврши и соодветно поврзување на исток кон Република Бугарија, односно на запад кон Република Албанија, со што ќе се овозможи целосно интегрирање на македонскиот железнички систем со соодветните системи на соседните држави.

Во планскиот период меѓудругото, се очекува развој на интегралниот транспорт, односно техничко-технолошкото доопремување на Македонските железници за извршување на задачите и за вклучување во меѓународниот сообраќај, што е во согласност со стратегијата на развојот на железничкиот сообраќај и со реалните можности на Државата.

Според Просторниот план на Република Македонија, железничката мрежа релевантна за предметниот простор е во групата на магистрални железнички линии од меѓународен карактер:

- СР- Табановце-Скопје-Гевгелија-ГР 213,5 km

При изработка на планската документација од аспект на безбедноста во железничкиот сообраќај, да се почитуваат Законот за железнички систем и Законот за сигурност во железничкиот систем, како и важечките Законски и подзаконски акти кои ја допираат оваа област.

Воздушен сообраќај: Воздушните патишта во Државата се интегрален дел од европската мрежа на воздушни коридори со ширина од 10 наутички милји во кои контролирано се одвиваат прелетите над територијата на државата.

Примарната аеродромска мрежа во Државата треба да ја сочинуваат вкупно 4 аеродроми за јавен воздушен сообраќај, и тоа во Скопје, Охрид, Струмица и Битола. Аеродромот во Скопје е оспособен за прием и опрема на интерконтинентални авиони, аеродромот во Охрид е реконструиран во повисока-II категорија, а новите аеродроми што се предвидуваат во Струмица и Битола се предвидени да бидат со доминантна намена за карго транспорт на стоки.

Секундарната аеродромска мрежа се предлага да ја сочинуваат сегашните 5 реконструирани и технички доопремни спортски аеродроми и вкупно 15 аеродроми за стопанска авијација, од кои 7 нови. Покрај тоа треба да се уредат и околу 20 терени за дополнителен развој на воздухопловниот спорт и туризам во согласност со меѓународните прописи за ваков вид на аеродроми.

Радиокомуникациска и кабелска електронско комуникациска мрежа

Радиокомуникациска мрежа е јавна електронска комуникациска мрежа со која се обезбедува емитување, пренос или прием на знаци, сигнали, текст, слики и звуци или други содржини од каква било природа преку радиобранови. Основни елементи на примопредавателниот систем се: антените, антенските столбови, водови, засилувачи и друго.

Јавните електронски комуникациски мрежи треба да се планираат, поставуваат, градат, употребуваат и слично под услови утврдени со Законот за електронските комуникации, прописите донесени врз основа на него, прописите за просторно и урбанистичко планирање и градење, прописите за заштита на животната средина, нормативите, прописите и техничките спецификации содржани во препораките на Европската Унија.

Изложеноста на јавноста на нејонизирачко електромагнетно зрачење со пуштањето во работа на антенски систем не треба да ги надминува вредностите пропишани со Упатството за гранични вредности при изложеност на нејонизирачко зрачење издадено од Меѓународна комисија за заштита од нејонизирачко зрачење (ICNIRP – International Commission on Non-Ionizing Radiation Protection). Агенцијата за електронски комуникации врши контрола со мерење на нејонизирачкото електромагнетно зрачење, со цел да ја утврди усогласеноста на антенските системи со граничните вредности.

Оператори на мобилната телефонија во Републиката се: М-Телеком, А1 Македонија, Телекабел и Лајкамобајл. Тие во своите секојдневни развојни активности вршат:

- Квалитетно мрежно покривање со мобилен сигнал на:
 - региони, општини, населени места,
 - подрачја од јавен интерес (културно-историски, спортски, стопански, индустриски, погранични зони и др.),
 - сообраќајна и транспортна инфраструктура.
- Подготовка на проекти за развој на мрежата согласно постоечката инфраструктура на теренот.
- Усогласување на развојните планови со одделни институции на државата (министерства, управи и сл.).

Овој регион покриени е со сигнал на мобилна телефонија на мобилните оператори.

Кабелска електронска комуникациска мрежа - се користи за дистрибуција на јавни електронски комуникациски услуги до крајниот корисник. Пристапниот дел на мрежата е изграден од кабли (од бакарни парици, коаксијални, хибридни коаксијално-оптички и/или оптички) и придружни дистрибутивни и изводни точки: канали, цевки, кабелски окна/шахти, надворешни ормари и др.

Јавната кабелска електронска комуникациска мрежа и придружните средства треба да се планираат, проектираат, поставуваат и градат на начин кој нема да ја попречува работата на другите електронски комуникациски мрежи и придружни средства, како ни обезбедувањето на другите електронски комуникациски услуги.

Изградбата на јавните електронски комуникациски мрежи и придружни средства треба да се обезбеди:

- заштита на човековото здравје и безбедност,
- заштита на работната и животната средина,
- заштита на просторот од непотребни интервенции,
- заштита на инфраструктурата на изградените јавни електронски комуникациски мрежи,
- унапредување на развојот и поттикнување на инвестиции во јавните електронски комуникациски мрежи со воведување на нови технологии и услуги, а особено со воведување на следни генерации на јавни електронски комуникациски мрежи.

АД “Македонски Телекомуникации” и останатите оператори за своите корисници обезбедуваат широк опсег на услуги како што се: говорни услуги (вклучувајќи услуги со додадена вредност), услуги за пренос на податоци, пристап до Интернет, мобилни комуникациони услуги, јавни говорници и др. Комуникациските услуги се обезбедуваат врз основа на добро воспоставената електронска комуникациска мрежа со примена на најсовремени технологии.

Телефонските корисници во ова подрачје во електронско комуникацискиот сообраќај приклучени се преку телефонската централа во Неготино.

Операторите на јавна кабелска електронска комуникациска мрежа треба да обезбедат можност за широкопојасен пристап до услуги (broadband) со големи брзини на: 100% од домаќинствата покриени со мрежата на операторот со можност за пристап до јавната комуникациска мрежа со брзина на пренос од 30 Mbps и најмалку 50% од домаќинствата покриени со мрежата на операторот со можност за пристап до јавната комуникациска мрежа со брзина на пренос од 100 Mbps.

За новопредвидените градби, изградената електронска комуникациска инфраструктура за пренос со големи брзини треба да им овозможи на сите корисници слободен избор на оператор, а на сите оператори пристап до градбите под еднакви и недискриминаторски услови.

Заштита на животната средина

Анализата на влијанијата врз животната средина, како превентива, има за цел да ги идентификува можните проблеми, да ги рационализира трошоците и да направи оптимален избор на мерките за заштита на животната средина. За разлика од “пасивниот” пристап, со кој се применуваат заштитни мерки по настанатиот проблем, што претставува финансиско оптоварување на производителите, давачите на услуги и општеството во целост, превентивната заштита на животната средина се трансформира во елемент на развој и појдовна основа за глобалното управување со животната средина засновано на принципите на одржливиот развој. Одржувањето на континуитет во следењето на состојбите во медиумите и областите на животната средина, дава претстава за трендот на промени кои настанале во текот на подолг временски период на анализираното подрачје, како основа за планирање и предвидување на промените кои би можело да се очекуваат во животната средина во временската рамка на која се однесува планскиот документ.

Можни закани по животната средина на просторот со намена лесна преработувачка и помалку загадувачка индустрија, КО Црвени Брегови 2, Општина Неготино се: нарушување на квалитетот на воздухот, водите и почвата како резултат на емисија на загадувачки материи, зголемени нивоа на бучава и вибрации и несоодветно управување со отпадот.

Со цел да се обезбеди заштита и унапредување на животната средина на просторот со намена лесна преработувачка и помалку загадувачка индустрија, КО Црвени Брегови 2, Општина Неготино, потребно е да се почитуваат одредбите пропишани во законската регулатива од областа на заштита на животната средина и подзаконските акти донесени врз нивна основа.

Мерки за заштита на животната средина кои треба да се превземат со цел да се обезбеди одржлив развој на анализираното подрачје со минимално негативно влијание врз медиумите и областите во животната средина:

- Да се следи и контролира присуството на загадувачки материи во воздухот со цел да се одржи квалитетот на воздухот во граници на дозволените нивоа на емисии;
- Да се предвидат соодветни технички зафати за пречистување на отпадните води и имплементација на технологии кои ќе овозможат нивно повторно искористување за истата или друга намена;

- Да се контролира квалитетот на пречистените отпадни води пред испуштање во најблискиот реципиент, со цел да се усогласат вредностите на концентрацијата на материите присутни во пречистената отпадна вода со пропишаните гранични вредности на максимално дозволените концентрации на материите присутни во реципиентот;
- Да се превземат активности за намалување на бучавата и вибрациите од опремата, со цел да се избегнат негативните ефекти од бучавата и да се почитуваат пропишаните гранични вредности за дозволено ниво на бучава во животната средина;
- Организирано управување со отпадот со цел да се минимизира негативното влијание врз животната средина, животот и здравјето на луѓето;
- Создавачот и/или поседувачот на отпадни материји и емисии ги сноси сите трошоци за санација на евентуално предизвиканите нарушувања во животната средина;
- Уредување на објектите со заштитно и украсно зеленило. При изборот на вегетацијата да се даде приоритет на видовите (автохтони) со висок биоаккумулативен капацитет за загадувачки материји.

Заштита на природното наследство

Од областа на заштита на природата (*природното наследство, природните реткости и биолошката и пределската разновидност*), документацијата за предметниот простор треба да се усогласи со Просторниот план на Република Македонија на тој начин што, врз основа на режимот за заштита, ќе се организира распоред на активности и изградба на објекти кои ќе се усогласат со барањата кои ги поставува одржливото користење на природата и современиот третман на заштитата.

Особено внимание при заштита на природата, треба да се посвети на начинот, видот и обемот на изградбата што се предвидува во заштитените простори за да се одбегнат или да се надминат судирите и колизиите со инкомпатабилните функции. За таа цел е неопходно почитување на следните принципи:

- Оптимална заштита на просторите со исклучителна вредност;
- Зачувување и обновување на постојната биолошка и пределска разновидност во состојба на природна рамнотежа;
- Обезбедување на одржливо користење на природното наследство во интерес на сегашниот и идниот развој, без значително оштетување на деловите на природата и со што помали нарушувања на природната рамнотежа;
- Спречување на штетните активности на физички и правни лица и нарушувања во природата како последица на технолошкиот развој и извршување на дејности, односно обезбедување на што поповолни услови за заштита и развој на природата;
- Рационална изградба на инфраструктурата;
- Концентрација и ограничување на изградбата;
- Правилен избор на соодветна локација.

Согласно Законот за заштита на природата („Службен весник на Република Македонија“ број 67/04, 14/06, 84/07, 35/10, 47/11, 148/11, 59/12, 13/13, 163/13, 41/14, 146/15, 39/16, 63/16, 113/18 и 151/21) и Законот за животна средина („Службен весник на Република Македонија“ број 53/05, 81/05, 24/07, 159/08, 83/09, 48/10, 124/10, 51/11, 123/12, 93/13, 187/13, 42/14, 44/15, 129/15, 192/15, 39/16, 99/18 и 89/22) потребно е внесување на мерки за заштита на природата при планирањето и уредувањето на просторот и истите треба строго да се почитуваат.

Согласно Студијата за заштита на природното наследство, изработена за потребите на Просторниот план на Република Македонија, на просторот со намена лесна преработувачка и помалку загадувачка индустрија, КО Црвени Брегови 2, Општина Неготино, нема регистрирано ниту евидентирано природно наследство.

Доколку при изработка на документацијата на предметниот простор или при уредување на просторот се дојде до одредени нови сознанија за природно наследство кое би можело да биде загрозено со урбанизацијата на овој простор, потребно е да се предвидат мерки за заштита на природното наследство:

- Утврдување на границите и означување на сите објекти кои би можеле да бидат предложени и прогласени како природно наследство;
- Забрана за вршење на какви било стопански активности кои не се во согласност со целите и мерките за заштита утврдени со правниот акт за прогласување природното добро или Просторниот план за подрачје со специјална намена;
- Магистралната и останатата инфраструктура (надземна и подземна) да се води надвор од објектите со природни вредности, а при помали зафати потребно е нејзино естетско вклопување во природниот пејзаж;
- Воспоставување на мониторинг, перманентна контрола и надзор на објектите со природни вредности и преземање на стручни и управни постапки за санирање на негативните појави;
- Воспоставување на стручна соработка со соодветни институции во окружувањето;
- Почитување на начелата за заштита на природата согласно Законот за заштита на природата.

Заштита на културното наследство

Во своето милениумско постоење, човековата цивилизација од праисторијата до денес, на територијата на нашата држава, оставила значајни траги од вонредни културни, историски и уметнички вредности кои го потврдуваат постоењето, континуитетот и идентитетот на македонскиот народ на овие простори.

Просторниот аспект на недвижното културно наследство е предмет на анализа во корелација со долгорочната стратегија на економски, општествен и просторен развој, односно стратегија за зачувување и заштита на тоа наследство во услови на пазарно стопанство.

Републичкиот завод за заштита на спомениците на културата, за потребите на Просторниот план на Републиката, изготви Експертен елаборат за заштита на

недвижното културно наследство во кој е даден Инвентар на недвижното културно наследство од посебно значење.

Инвентарот содржи список на регистрирани и евидентирани недвижни културни добра, што подразбира список на недвижните предмети со утврдено својство споменик на културата, односно на недвижните предмети за кои основано се претпоставува дека имаат споменично својство. Тоа се: археолошки локалитети, цркви, манастири, џамии, бањи, безистени, кули, саат кули, турбиња, мавзолеи, конаци, мостови, згради, куќи, стари чаршии, стари градски јадра и други споменици со нивните имиња, локации, блиските населени места, период на настанување и општините во кои се наоѓаат спомениците.

Согласно постоечката законска регулатива, видови на недвижно културно наследство се: споменици, споменични целини и културни предели.

На подрачјето на катастарската општина Црвени Брегови, кое е предмет на анализа има евидентирани недвижни споменици на културата (Експертен елаборат):

1. Археолошки локалитет, "Горева Ливада", Црвени Брегови, неолит и бронзено време;
2. Археолошки локалитет, "Керамитчето", Црвени Брегови, доцен среден век;
3. Археолошки локалитет, "Кокигеди", Црвени Брегови, доцноримски период;
4. Археолошки локалитет, "Левава", Црвени Брегови, доцен среден век;
5. Археолошки локалитет, "Керамитчето", Црвени Брегови, доцен среден век;
6. Археолошки локалитет, "Фармата", Црвени Брегови, доцноримски период;

Во Археолошката карта на Република Македонија¹, која ги проучува предисториските и историските слоеви на човековата егзистенција, од најстарите времиња до доцниот среден век, на анализираното подрачје на катастарската општина, евидентирани се следните локалитети:

КО Црвени Брегови- Горева Ливада, населба од неолит; Керамитчето, средновековна населба; Кокигеди, некропола од доцноантичко време; Левава, средновековна населба; Фармата, населба од доцноантичко време.

Според Просторниот план на Р.Македонија, најголем број на цели се однесуваат на третманот и заштитата на културното наследство во плановите од пониско ниво.

При изработка на документацијата од пониско ниво, да се утврди точната позиција на утврдените локалитети со културно наследство и во таа смисла да се применат плански мерки за заштита на недвижното наследство:

- задолжителен третман на недвижното културно наследство во процесот на изработката на просторните и урбанистичките планови од пониско ниво заради обезбедување на плански услови за нивна заштита, остварување на нивната културна функција, просторна интеграција и активно користење на спомениците на културата за соодветна намена, во туристичкото стопанство, во малото стопанство и услугите, како и во вкупниот развој на државата;

¹ МАНУ Скопје, 1996г.

- планирање на реконструкција, ревитализација и конзервација на најзначајните споменички целини и објекти и организација и уредување на контактниот, околниот споменичен простор заради зачувување на нивната културно - историска димензија и нивна соодветна презентација;
- измена и дополнување на просторните и урбанистичките планови заради усогласување од аспект на заштитата на недвижното културно наследство.

Културното недвижно наследство во просторните и урбанистички планови треба да се третира на начин кој ќе обезбеди негово успешно вклопување во просторното и организационо ткиво на градовите и населените места или пошироките подрачја и потенцирање на неговите градежни, обликовни и естетски вредности.

Туризам и организација на туристички простори

Туризмот и угостителството со својата основна функција-прифаќање, сместување и истовремено задоволување на голем број разновидни барања и желби на туристите, влијае врз вкупната економија и развојот на одредена средина, а исто така има изразено влијание и врз просторот во кој ја извршува својата дејност. Туризмот со своето мултиплицирано влијание во процесот на стопанисување, посредно и непосредно, ги вклучува и другите гранки и дејности во вкупната понуда на туристичкиот пазар. Ова, пред сè се однесува на угостителството, трговијата, сообраќајот, занаетчиството, здравството и на разни други видови услуги. Исто така, преку туризмот се нудат и се продаваат нематеријални вредности, како што се: разни информации, обичаи, фолклор, забава, спортско-рекреативни активности и слично.

Врз основа на комплексно согледаните природни и создадени услови и ресурси по обем, квалитет, распространетост или уникатност, функционалност, атрактивност и степен на активност, на територијата на Република Северна Македонија како посебни целини може да се издвојат следните видови на туристички потенцијали: водените површини, планините, бањите, целините и добрата со природно и културно наследство, транзитните туристички правци, градските населби, ловните подрачја и селата.

Согласно со основните долгорочни цели, концептот и критериумите за развој и организација на туристичката понуда, во Републиката се дефинирани вкупно 10 туристички региони со 54 туристички зони.

Предметната локација припаѓа на Средно - Вардарски туристички регион со утврдени 6 туристички зони и 24 туристички локалитети. Низ ова подрачје минува Транзитен туристички коридор.

Заштита од воени разурнувања, природни и техничко-технолошки катастрофи

Согласно Просторниот план на Република Македонија, предметната локација за која се наменети условите за планирање на просторот за лесна преработувачка и помалку загадувачка индустрија, КО Црвени Брегови 2, Општина Неготино, се наоѓа во простори со висок степен на загрозеност од воени дејства. Тоа се простори кои во случај на војна би се нашле во зафатот на стратегиските насоки на нападот на агресорот. Истовремено тоа се насоки кои се совпаѓаат со природните комуникациски коридори во кои се сконцентрирани

најразвиените физички структури и се со најгуста населеност. Оттука во случај на војна во овие простори може да се очекува висок степен на повредливост на физичките структури, луѓето и материјалните добра.

Согласно со Законот за заштита и спасување, **задолжително треба да се применуваат мерките за заштита и спасување кои опфаќаат урбанистичко-технички и хуманитарни мерки.**

Согласно Законот за заштита и спасување („Службен весник на Република Македонија" број 93/12 - пречистен текст, 41/14, 129/15, 71/16, 106/16 и 83/18), мерките за заштита и спасување задолжително се применуваат во процесот на планирање и уредување на просторот и проектирање и изградба на објектите, на начин кој го уредува Владата со подзаконски акт.

Засолнувањето опфаќа планирање, изградба, одржување и користење на јавните засолништа, одржување и користење на изградените засолништа и на другите заштитни објекти за заштита на населението, материјалните добра и културното наследство на Републиката. Јавните засолништа се планираат согласно со програмата на Владата за мерките за заштита и спасување и програмата на единиците на локалната самоуправа за мерките за заштита и спасување, а истите се вградени во урбанистичките планови.

Јавните засолништа според отпорноста се градат како засолништа за основна заштита, во согласност со техничките нормативи за изградба на јавни засолништа што ги донесува директорот на Дирекцијата.

Државата има обврска за изградба на јавни засолништа само во случај на исклучително загрозени објекти што ќе ги утврди Дирекцијата врз основа на геолошко- хидролошките и сеизмичките карактеристики на земјиштето и на капацитетот на задоволување на потребите за засолнување. Единиците на локалната самоуправа имаат обврска да градат јавни засолништа со кои ќе ги задоволат потребните капацитети за засолнување на луѓето, материјалните добра и културното наследство на своето подрачје.

Начинот на изградба на јавните засолништа и одржувањето и користењето на веќе изградените засолништа и други заштитни објекти и определување на потребниот број на засолнишни места со уредба ги уредува Владата.

Сеизмичките појави - земјотресите се доминантни природни непогоди во Државата, кои можат да имаат катастрофални последици врз човекот и природата. Присутни се низ вековите, на десет сеизмички жаришта во земјата или во нејзината поблиска и поширока околина. Земјотресите со умерени магнитуди ($M < 6,0$) можат да предизвикаат сериозни разурнувања, бидејќи традиционално градените објекти, особено во руралните средини, не можат да ги издржат овие земјотреси без значителни оштетувања. Историските податоци покажуваат дека силните земјотреси генерирани на територијата на државата се проследени и со појава на колатерални хазарди (ликвификација, одрони, свлечишта, пукнатини, раседници, померувања), со доминантни одрони и свлечишта, што уште повеќе ги зголемува негативните последици на земјотресите.

Во досегашниот просторен развој на Републиката, природните богатства, географските, морфолошките и другите погодности имале доминантно влијание врз изградбата и уредувањето на нејзината територија, без оглед на присутните

сеизмички ризици. Тоа создава конфликтна ситуација во која најголемите градови, најголем број на населението, индустриските капацитети и најзначајните комуникации, како што се коридорите север - југ и исток - запад, се лоцирани во зоните со најголема сеизмичност (интензитет од VII – X степени на МКС -64).

Локацијата за која се наменети условите за планирање на просторот се наоѓа во зона со **VIII степени по Меркалиевата скала на очекувани земјотреси.**

Намалување на сеизмичкиот ризик може да се изврши со задолжителна примена на нормативно - правна регулатива, со која се уредени постапките, условите и барањата за постигнување на технички конзистентен и економски одржлив степен на сеизмичка заштита, кај изградбата на новите објекти.

Во инвестиционите проекти треба да се разработат мерките за заштита на човекот, материјалните добра и животната средина од природни катастрофи.

Неопходно е перманентно ажурирање на плановите за заштита од елементарни непогоди, кои согласно законските обврски постојат за целата територија на државата, поради присутниот сеизмички hazard, како и изложеноста на други природни катастрофи. Со реализација на наведените приоритети се создаваат реални услови за успешна инженерска превенција и намалување на сеизмичкиот ризик на територијата на целата Држава, односно за ефикасен менаџмент на ефектите и вонредните состојби предизвикани од силните сеизмички сили.

За успешно функционирање на **заштитата од природни и елементарни катастрофи** во процесот на урбанистичко планирање потребно е да се преземат соодветни мерки за **заштита од пожари**, односно евентуалните човечки и материјални загуби да бидат што помали во случај на пожари.

Во однос на диспозицијата на противпожарната заштита, предметната локација во случај на пожар ќе ја опслужуваат противпожарни единици од **градот Неготино.**

Во процесот на планирање потребно е да се води сметка за конфигурацијата на теренот, степен на загрозеност од пожари и услови кои им погодуваат на пожарите: климатско-хидролошките услови, ружата на ветрови и слично кои имаат влијание врз загрозеност и заштита од пожари.

Заради поуспешна заштита во урбанистички планови се превземаат низа мерки за отстранување на причините за предизвикување на пожари, спречување на нивното ширење, гаснење и укажување помош при отстранување на последиците предизвикани со пожари, кои се однесуваат на:

- изворите за снабдување со вода, капацитетите на водоводната мрежа и водоводните објекти кои обезбедуваат доволно количество вода за гаснење на пожари;
- оддалеченоста меѓу зоните предвидени за станбени и јавни објекти и зоните предвидени за индустриски објекти и објекти за специјална намена за сместување лесно запаливи течности, гасови и експлозивни материи;
- широчината, носивоста и проточноста на патиштата со кои ќе се овозможи пристап на противпожарни возила до секој објект и нивно маневрирање за време на гаснење на пожарите.

Заштитата од пожари опфаќа мерки и дејности од нормативен, оперативен, организационен, технички, образовно-воспитен и пропаганден карактер, кои се уредени со Законот за заштита и спасување, како и Уредбата за спроведување на заштитата и спасувањето од пожари.

При појава на природни стихии, како што се **поплавите**, секое организирано општество превзема активни и пасивни мерки за организирана одбрана.

Појавата на **поплави** првенствено е поврзана со природните езера и хидрографската мрежа, но најчестиот вид на поплави и најголемата опасност од нив, сепак, доаѓа од поројните водотеци. Согласно со ова за донесување на брзи, исправни и ефикасни одлуки неопходно е да се располага со:

- однапред разработен план;
- сигурни информации за состојбата во загрозеното подрачје;
- сигурни прогностички информации за очекуваните сосотојби;

Од метеоролошки појави со карактеристики на елементарни непогоди се манифестираат појавата на **град, луњени ветрови и магли**.

Едно од можните и неопходно потребни превентивни мерки за заштита од **техничко - технолошки катастрофи** е планирањето, кое преку осознавање и анализа на состојбите и опасностите од можните инциденти, во одржувањето на инсталациите и опремата, треба да создаде прифатлив однос кон животната средина.

Потребна е доследна примена на основните методолошки постапки за планирање и уредување на просторот:

- оценка на состојбите на природните компоненти на животната средина и степенот на загрозеност од појава на технички катастрофи;
- оценка на оптовареноста на просторот со технолошки системи со одредено ниво на ризик;
- анализа на меѓусебната зависност на природните услови и постојните технолошки системи;
- дефинирање на нивото на постојниот ризик при редовна секојдневна работа на технолошките системи и при појавата на инцидентни случаи;
- процена на загрозеноста на луѓето и материјалните добра;
- утврдување на критериумите за избор на оптимална варијанта на заштита врз основа на проценетиот степен на загрозеност.

Со примена на оваа методолошка постапка може да се очекува остварување на следните основни цели за заштита од техничко-технолошки катастрофи:

- максимално усогласување и користење на просторот од аспект на заштита во рамките на просторните можности;
- вградување на мерките на кои се заснова организацијата на заштита и спасување на човечките животи и материјалните добра од техничко-технолошки катастрофи во определувањето на намената на просторот;
- интегрирање на елементите на загрозеноста на прашањата врзани со заштитата на животната средина.

Заради постигнување на целосна заштита на луѓето, материјалните добра и потесната и пошироката животна средина постојат три нивоа на преземање на сигурносни, превентивни мерки:

Прво ниво: ги вклучува сите мерки кои се преземаат во одржувањето на опремата и инсталациите, заради сигурно користење на опасни материјали во технолошките процеси и одбегнување на технолошки катастрофи.

Второ ниво: се однесува на сите мерки кои треба да обезбедат ограничување на емисијата како последица од пожар, експлозија или ослободување на хемикалии, што може да се случи во околности на поголеми индустриски accidente.

Трето ниво: вклучува мерки кои се преземаат за заштита на животната средина во смисла на ограничување на ефектите од емисија на опасни материји, или последици од пожар и експлозии.

При изработката на плановите од пониско ниво треба да се има предвид следното:

- Потребата од оформување на системот на евиденција и анализа на технолошките accidente, компатибилен на системот МАРС на Европската унија, како база за евиденција на опасни материјали, присутни во технолошките постројки и можни причини на катастрофи.
- Потребата од предвидување на превентивни мерки од страна на стопанските субјекти за спречување на технолошки катастрофи, базирани врз анализата на однесувањето на исти или слични постројки.
- Изработка на соодветни планови и програми за заштита на населението и едукација и тренинг на персоналот во случај на евентуална техничка катастрофа.

Насоки за потребата од спроведување на Стратегиска оцена на влијанието врз животната средина

Во процесот за проценка на влијанието на плановите, стратегиите и програмите врз животната средина и врз здравјето на луѓето (Стратегиска оцена на влијанието врз животната средина-СОВЖС), покрај проценката на влијанијата се предвидуваат и мерки кои имаат за цел заштита на животната средина од сите можни влијанија и тоа уште во процесот на планирање и донесување одлуки за одредени стратегии, планови и програми, т.е. плански документи. Преку навремено спроведување на постапката за СОВЖС се обезбедува идентификување на потенцијалните позитивни и негативни влијанија од реализацијата на планскиот документ врз животната средина, а исто така се дефинираат и алтернативи и можни мерки за спречување, намалување и ублажување на негативните влијанија врз сите елементи на животната средина.

СОВЖС се подготвува во согласност со националната легислатива и одредбите од друга релевантна меѓународна легислатива, која е инкорпорирана во националната, во форма на законски и подзаконски акти и Конвенции, кои се ратификувани од страна на РСМ со посебни закони.

Целта на СОВЖС постапката е да се процени дали планскиот документ е во согласност со поставените цели за животна средина на национално и меѓународно ниво. Целите на стратегиската оцена на влијанието врз животната средина се прикажани преку статусот на: населението, социо-економски развој, човековото

здравје, воздухот, климатските промени, водата, почвата, природното и културното наследство и материјалните добра.

Најдобро е процесот на стратeгиска оцена на влијанието на планскиот документ да се одвива паралелно со развојот на планскиот документ, со цел навремено да се земат во предвид целите на животната средина при дефинирање на целите на самиот плански документ.

Постапката за стратeгиска оцена на влијанието врз животната средина се спроведува во неколку фази, од кои првата е **Утврдување на потреба од спроведување на СОВЖС** (дали планскиот документ ќе има значителни влијанија врз животната средина) согласно со Уредбата за стратегиите, плановите и програмите, вклучувајќи ги и промените на тие стратегии, планови и програми, за кои задолжително се спроведува постапка за оцена на нивното влијание врз животната средина и врз животот и здравјето на луѓето. Оваа фаза претставува изготвување на Одлуката за спроведување или неспроведување на СОВЖС. Органот кој го подготвува планскиот документ е должен да донесе Одлука за спроведување или Одлука за не спроведување на стратeгиска оцена во која се образложени причините за спроведувањето, односно не спроведувањето согласно со критериумите врз основа на кои се определува дали еден плански документ би можел да има значително влијание врз животната средина и врз здравјето на луѓето.

Влијанијата, кои се претпоставува дека може да произлезат со имплементација на документацијата на предметниот простор, може да се разгледуваат од аспект на негативни влијанија и од аспект на идни бенефиции, односно позитивни влијанија, како и генерални мерки за заштита, намалување и ублажување на негативни влијанија се следните:

- Просторот со намена лесна преработувачка и помалку загадувачка индустрија, КО Црвени Брегови 2, Општина Неготино во рамките на предвидениот опфат, се очекува да предизвика позитивни импулси и ефекти врз целото непосредно опкружување од аспект на повисока организација, инфраструктурна опременост и уреденост на просторот, социо-економски развој.
- Просторот со намена лесна преработувачка и помалку загадувачка индустрија, КО Црвени Брегови 2, Општина Неготино ќе има и негативни влијанија врз животната средина, во текот на подготвителните активности заради реализацијата на земјените работи и употреба на градежна механизација. Влијанијата што ќе се јават во фаза на градба (емисии на штетни материи во воздухот, можни штетни влијанија врз почвата (директни и индиректни), емисии на бучава, отпад и влијанија врз флората и фауната), ќе бидат локални и со ограничен временски рок.
- Влијанијата кои ќе се јават во фазата на експлоатација се нарушување на квалитетот на воздухот, водите и почвата како резултат на емисија на загадувачки материи, зголемени нивоа на бучава и вибрации и несоодветно управување со отпадот. Мерки за заштита од овие влијанија се наведени во секторската област: заштита на животната средина.

- Неопходно е воспоставување и почитување на ефикасна контрола на користењето и уредувањето на земјиштето и утврдување на нормите и стандардите за градба. Меѓу приоритетните определби на Просторниот план е заштитата на земјоделското земјиште, а особено стриктното ограничување на трансформацијата на земјиштето од I-IV бонитетна класа за неземјоделско користење, како и зачувување на квалитетот и природната плодност на земјиштето.
- Планскиот опфат нема конфликт со постојните и планирани енергетски водови, радиокомуникациски и кабелски електронско комуникациски мрежи.
- Просторот со намена лесна преработувачка и помалку загадувачка индустрија, КО Црвени Брегови 2, Општина Неготино, нема регистрирано ниту евидентирано природно наследство. Доколку при изработка на планската документација или при уредување на просторот се дојде до одредени нови сознанија за природно наследство кое би можело да биде загрозувано со урбанизацијата на овој простор, потребно е да се предвидат соодветни мерки за заштита на природното наследство согласно со законската регулатива.
- Во делот за заштита на културното наследство, културното наследство е наведено на ниво на катастарска општина, поради што при изработка на планска документација потребно е да се утврди дали на предметната локација има културно наследство и во таа смисла да се применат соодветните плански мерки за заштита на истото и да се постапи во согласност со постоечката законска регулатива.
- За предметниот простор не постои можност за појава на прекугранични влијанија, ниту во фазата на градба, ниту во фазата на експлоатација, поради доволната оддалеченост на предвидениот опфат од границите на Државата.
- Мерки за ублажување на негативните влијанија од евентуални несреќи и хаварии се наведени во секторската област: Заштита од воени разурнувања, природни и техничко-технолошки катастрофи.

При донесувањето на Одлука за спроведување или Одлука за не спроведување на стратегиска оцена за документацијата на предметниот простор со намена лесна преработувачка и помалку загадувачка индустрија, КО Црвени Брегови 2, Општина Неготино, задолжително да се земат во предвид претходно наведените забелешки, како и забелешките од секторските области опфатени со Просторниот план на Република Македонија.

Усогласување на планската документација со Просторниот план

Сите активности во просторот треба да се усогласат со насоките на Просторниот план на државата, особено значителните и оние кои се однесуваат на планирањето и изградбата на:

- државните инфраструктурни системи (патишта, железници, воздушен сообраќај, телекомуникации);
- енергетските системи, енерговоди и поголеми водостопански системи;
- градежните објекти важни за Државата;
- капацитетите на туристичката понуда;
- стопанските комплекси и оние кои се однесуваат на поголеми концентрации (слободни економски зони);
- капацитетите за користење на природните ресурси.

Просторните планови на регионите и подрачјата од посебен интерес и урбанистичките планови се усогласуваат со Просторниот план на Републиката, особено во однос на следните елементи:

- намената и користењето на површините;
- мрежата на инфраструктура;
- мрежата на населби;
- заштитата на животната средина.

Насоките на Просторниот план на Републиката во однос на намената и користењето на површините се однесуваат на заложбата при изработката на урбанистичките планови, површините за сите урбани содржини треба да се бараат исклучиво на површини од послаби бонитетни класи (над IV категорија).

Посебни мерки и активности за остварување на рационалното користење и заштита на просторот, како и посебни интереси на просторниот развој се:

- Обезбедување на спроведување на постојните закони и прописи со кои се заштитува просторот, ресурсите и националното богатство и се организира и уредува просторот со цел за вкупен развој.
- Рационално користење на подрачјата за градба и нивно проширување или формирањето на нови врз база на критериумите за изготвување на соодветна планска документација.
- Насоките и критериумите за уредување на просторот надвор од градежните подрачја треба да се утврдат со помош на стручни основи и упатствата од ресорите на земјоделството, водостопанството, шумарството и заштитата на животната средина.
- Создавање на услови за лоцирање на мали стопански единици.

ЗАКЛУЧНИ СОГЛЕДУВАЊА

Условите за планирање на просторот се наменети за лесна преработувачка и помалку загадувачка индустрија на КП 38/1, и дел од КП 528/1 КО Црвени Брегови 2, Општина Неготино.

Површината на планскиот опфат изнесува 5,48 ha.

Видот на планската документација да се усогласи со Законот за урбанистичко планирање и Правилникот за урбанистичко планирање

Условите за планирање треба да претставуваат влезни параметри и насоки при планирањето на просторот и поставувањето на планските концепции и решенија по сите области релевантни за планирањето во соодветниот плански документ, обработени во “Просторниот план на Република Македонија”.

При изработката на документацијата за предметниот простор, треба да се имаат предвид следните поединечни заклучни согледувања од секторските области опфатени со Просторниот план:

Економски основи на просторниот развој

- При спроведувањето на стратегијата за организација и користење на просторот за економските дејности, решенијата во просторот треба да овозможат поголема атрактивност на просторот, заштита на природните и создадени ресурси и богатства, сообраќајно и информатичко поврзување, локациона флексибилност и почитување на објективните фактори на развојот.
- Реализација на документацијата со намена лесна преработувачка и помалку загадувачка индустрија ,КО Црвени Брегови 2, Општина Неготино, ќе оствари удел во развојот на економските активности во локалната економија. Меѓутоа, појдовна поставка за просторниот и регионалниот развој е дека за просторното и урбанистичкото планирање не се доволни сознанијата за развитокот на стопанството во земјата, туку треба да се согледаат и да се предвидат и последиците од тој развиток врз неговото разместување во просторот.
- Според определбите на Просторниот план, идниот развој и разместеност на производните и услужни дејности треба да базира на одржливост на економијата применувајќи ги законитостите на пазарната економија и релевантната законска регулатива од областа на заштитата на животната средина, особено превенција и спречување на негативните влијанија на производните процеси и технологии врз животната и работна средина.

Користење и заштита на земјоделско земјиште

- Согласно Просторниот план на Република Македонија просторот на Републиката е поделен во 6 земјоделско стопански реони и 54 микрореони. Предметната локација припаѓа на Медитерански или Повардарски земјоделско стопански реон поделен на Јужно медитерански со 2 микрореони и Централно-медитерански со 10 микрореони.

- При изработка на планската документација, неопходно е воспоставување и почитување на ефикасна контрола на користењето и уредување на нормите и стандарди за градба. Меѓу приоритетните определби на Просторниот план е заштитата на земјоделското земјиште, а особено стриктното ограничување на трансформацијата на земјиштето од I-IV бонитетна класа за неземјоделско користење, како и зачувување на квалитетот и природната плодност на земјиштето.

Водостопанство и водостопанска инфраструктура

- Во идниот период во ВП “Среден Вардар” се предвидува изградба на акумулациите: “Велес”, “Бабуна II”, “Згрополци”, “Градско”, “Кукуречани”, “Криволак”, “Дуброво” и “Демир Капија” на реката Вардар. Планскиот опфат на стопанскиот комплекс навлегува во планираната акумулација “Криволак” на реката Вардар. Максималната котата на нивото на водата во акумулацијата “Криволак” се предвидува да биде на 126,6 м.н.в. Основната намена на водите од акумулацијата е производство на електрична енергија, контрола на поплави и оплеменување на малите води.
- Бидејќи просторите погодни за изградба на акумулации се ограничени, потребно е превземање на мерки за целосна заштита на сливното подрачје на акумулацијата. Во сливот на предвидената акумулација забрането е да се изведуваат работи кои можат да ги сменат природните услови поради што би можело да дојде до лизгање на теренот, појава на ерозија или создавање на суводолици и порои.

Енергетика и енергетска инфраструктура

- Локацијата со намена лесна преработувачка и помалку загадувачка индустрија, КО Црвени Брегови 2, Општина Неготино, нема конфликт со постојните и планирани преносни и конективни водови.
- За електроенергетските корисници потребно е да се обезбеди сигурно и непрекинато снабдување со електрична енергија со напон кој ќе биде во дозволените граници.

Урбанизација и мрежа на населби

- Планскиот опфат со намена лесна преработувачка и помалку загадувачка индустрија, КО Црвени Брегови 2, Општина Неготино, би требало да предизвика позитивни импулси и ефекти врз целото непосредно окружување од аспект на повисока организација, инфраструктурна опременост и уреденост на просторот и се разбира економски ефекти манифестирани преку привлекување на нова работна сила и вработување, доколку е базирана врз принципите на одржлив развој и се одликува со максимално почитување и вградување на нормативите и стандарди за заштита на животната средина.

Домување

- Планскиот опфат со намена лесна преработувачка и помалку загадувачка индустрија, КО Црвени Брегови 2, Општина Неготино, го поддржува концептот, кој нуди квалитетни услуги во функција на стопанскиот развој, а кој се базира на популацијата и станбениот фонд во населбите во непосредна близина.

Јавни функции

- Планскиот опфат со намена лесна преработувачка и помалку загадувачка индустрија, КО Црвени Брегови 2, Општина Неготино, е надвор од урбаниот опфат на најблиската населба и нема препораки за организација на јавни функции на неа, што значи дека се исклучени и можностите за било каков конфликт помеѓу два типа на функции.

Индустрија

- Во планскиот период, индустриското производство се очекува да биде застапено во сите општини и да остварува растеж кој ќе придонесе за зголемување на вработувањето, подобрување на условите за живеење на граѓаните на поширокиот простор на земјата.
- Развојот на индустријата по одделните општини, особено помалите, се очекува да се остварува со градба на мали, флексибилни капацитети и поголема застапеност меѓу другото и на агроиндустрискиот сектор.
- Индустријата која е водечка стопанска дејност и двигател на развојот на вкупната економија има значајно влијание врз квалитетот на животната средина. Во услови на усвоената развојна парадигма на “одржлив” развој, напорите треба да се насочат кон суштествени промени во стратегијата и политиката за развој и просторна алокација на индустриски гранки засновани на принципите на еколошка заштита и одржлив развој.
- Една од основните цели на концептот на развој и просторна разместеност на индустријата утврдена со Просторниот план на Република Македонија е примена на стратегијата на развој на високите технологии усогласени со концепцијата на одржливиот развој: мала суровинска и енергетска интензивност, висока информативна и научна интензивност, високо учество на стручната работна сила, висока фрагментација на пазарот со специфични барања, високи вложувања во предконкурентни истражувања и сеопфатно влијание врз карактеристиките на голем број сегменти на социо-економскиот систем.

Сообраќајна инфраструктура

- Според Просторниот план на Република Македонија автопатската и магистрална патна мрежа релевантна за предметниот простор е:
- А1 (М-1) - (Граница со Србија-ГП Табановци-Куманово-Велес-Неготино-Демир Капија-Гевгелија-граница со Грција-ГП Богородица и делница Градско-Прилеп-врска со А3).

- Релевантен регионален патен правец за предметната локација влегува во групата на регионални патишта "Р1" и е со ознака:
- Р1102 – Скопје -Врска со А2-обиколница Скопје-Катланово-Велес-Неготино-Демир Капија-Гевгелија-врска со А1.
- Р1103 - (Лакавица-врска со А4-Неготино-Кавадарци-Дреново-врска со Р1101).
- При изработка на планската документација од аспект на безбедноста во Патниот сообраќај, да се почитуваат Законот за јавни патишта, законската регулатива во делот на “заштитната зона на патот“ согласно Законот за јавни патишта, како и важечките Законски и подзаконски акти кои ја допираат оваа област.
- При изработка на планската документација од аспект на безбедноста во Железничкиот сообраќај, да се почитуваат Законот за железнички систем и Законот за сигурност во железничкиот систем, како и важечките Законски и подзаконски акти кои ја допираат оваа област.

Радиокомуникациска и кабелска електронско комуникациска мрежа

- Локацијата со намена лесна преработувачка и помалку загадувачка индустрија, КО Црвени Брегови 2, Општина Неготино, нема конфликт со постојните и планирани радиокомуникациски и кабелски електронско комуникациски мрежи.
- Преку кабелските електронски комуникациски мрежи, на крајните корисници треба да им се обезбеди сигурен пренос на јавни електронски комуникациски услуги со задоволување на одредени општи и посебни услови за квалитет, во согласност со Законот за електронските комуникации и препораките за обезбедување на одредено ниво на квалитет на пренос.

Заштита на животната средина

- Со цел да се обезбеди заштита и унапредување на животната средина на просторот со намена лесна преработувачка и помалку загадувачка индустрија, КО Црвени Брегови 2, Општина Неготино, потребно е да се почитуваат одредбите пропишани во законската регулатива од областа на заштита на животната средина и подзаконските акти донесени врз нивна основа.
- Да се внимава да не дојде до искористување на земјиштето на начин и обем со кој би се загрозиле неговите природни вредности.
- Да се следи и контролира присуството на загадувачки материји во воздухот со цел да се одржи квалитетот на воздухот во граници на дозволените нивоа на емисии.
- Да се предвидат соодветни технички зафати за пречистување на отпадните води и имплементација на технологии кои ќе овозможат нивно повторно искористување за истата или друга намена.
- Да се контролира квалитетот на пречистените отпадни води пред испуштање во најблискиот реципиент, со цел да се усогласат вредностите на концентрацијата на материите присутни во пречистената отпадна вода со пропишаните гранични вредности на максимално дозволените концентрации на материите присутни во реципиентот.

- Да се превземат активности за намалување на бучавата и вибрациите од опремата, со цел да се избегнат негативните ефекти од бучавата и да се почитуваат пропишаните гранични вредности за дозволено ниво на бучава во животната средина.
- Организирано управување со отпадот со цел да се минимизира негативното влијание врз животната средина, животот и здравјето на луѓето.
- Создавачот и/или поседувачот на отпадни материји и емисии ги сноси сите трошоци за санација на евентуално предизвиканите нарушувања во животната средина.
- Уредување на објектите со заштитно и украсно зеленило. При изборот на вегетацијата да се даде приоритет на видовите (автохтони) со висок биоакмулативен капацитет за загадувачки материји.

Заштита на природно наследство

- Согласно Студијата за заштита на природното наследство, изработена за потребите на Просторниот план на Република Македонија, на просторот со намена лесна преработувачка и помалку загадувачка индустрија, КО Црвени Брегови 2, Општина Неготино, нема регистрирано ниту евидентирано природно наследство.
- Доколку при изработка на документацијата за предметниот простор или при уредување на просторот се дојде до одредени нови сознанија за природно наследство кое би можело да биде загрозувано со урбанизацијата на овој простор, потребно е да се предвидат соодветни мерки за заштита на природното наследство согласно Законот за заштита на природата.

Заштита на културното наследство

- Согласно податоците од Експертниот елаборат за заштита на културното наследство и Археолошката карта на Република Македонија² на подрачјето на катастарската општина Црвени Брегови има евидентирани недвижни споменици на културата и археолошки локалитети.
- При изработка на документацијата од пониско ниво да се утврди точната локација на евидентираното и регистрираното културно наследство и во таа смисла да се применат соодветните плански мерки за заштита на истото.
- Доколку при изведување на земјаните работи се најде на археолошки артефакти, односно дојде до откривање на материјални остатоци со културно-историска вредност, потребно е да се постапи во согласност со постоечката законска регулатива (Закон за заштита културното наследство - „Службен весник на Република Македонија“ број 20/04, 115/07, 18/11, 148/11, 23/13, 137/13, 164/13, 38/14, 44/14, 199/14, 104/15, 154/15, 192/15, 39/16, 11/18, 20/19), односно веднаш да се запре со отпочнатите градежни активности и да се извести надлежната институција за заштита на културното наследство.

² МАНУ Скопје, 1996г.

Туризам и организација на туристички простори

- Предметната локација за која што се наменети Условите за планирање, припаѓа на Средно - Вардарски туристички регион со утврдени 6 туристички зони и 24 туристички локалитети. Низ ова подрачје минува Транзитен туристички коридор.
- Согласно поставките на Концептот и критериумите за развој и организација на туристичката дејност, за непречен развој на вкупната туристичка понуда на ова подрачје, се препорачува, при идната организација на стопанските дејности да се почитуваат критериумите за заштита и одржлив економски развој.



Заштита од воени разурнувања, природни и техничко-технолошки катастрофи

- Локацијата за која се наменети условите за планирање на просторот за лесна преработувачка и помалку загадувачка индустрија, КО Црвени Брегови 2, Општина Неготино, се наоѓа во простори со висок степен на загрозеност од воени дејства. Според тоа во согласност со Законот за заштита и спасување, задолжително треба да се применуваат мерките за заштита и спасување.
- Задолжителна примена на мерки за заштита од пожар.
- Анализираниот простор се наоѓа во подрачје каде се можни потреси со јачина до VIII степени по МКС, што наметнува задолжителна примена на нормативно-правна регулатива, со која се уредени постапките, условите и барањата за постигнување на технички конзистентен и економски одржлив степен на сеизмичка заштита, кај изградбата на новите објекти.

Насоки за потребата од спроведување на Стратегиска оцена на влијанието врз животната средина

- При донесувањето на Одлука за спроведување или Одлука за не спроведување на стратегиска оцена за документацијата на предметниот простор со намена лесна преработувачка и помалку загадувачка индустрија, КО Црвени Брегови 2, Општина Неготино, задолжително да се земат во предвид насоките за потреба од спроведување на Стратегиска оцена на влијанието врз животната средина, како и забелешките и заклучоците од секторските области опфатени со Просторниот план на Република Македонија.

ИЗВОД ОД ПРОСТОРЕН ПЛАН НА РЕПУБЛИКА МАКЕДОНИЈА 2002 - 2020

 МИНИСТЕРСТВО ЗА ЖИВОТНА СРЕДИНА И ПРОСТОРНО ПЛАНИРАЊЕ
 АГЕНЦИЈА ЗА ПЛАНИРАЊЕ НА ПРОСТОРОТ

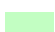













Сектор:
Синтезни карти

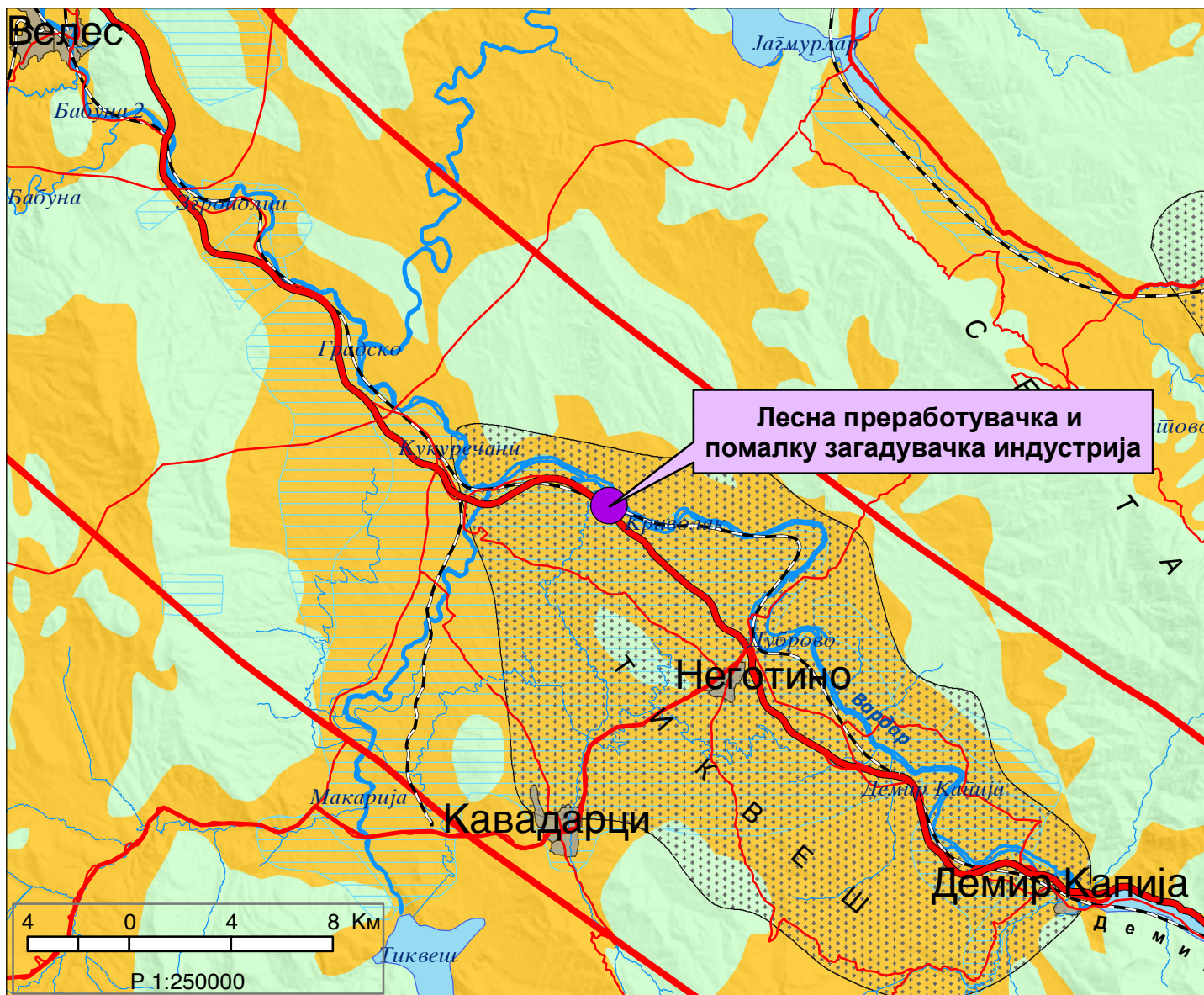
Тема:
Биланс на намена на површините

Користење на земјиштето

Карта бр. 20

Легенда:

 шуми и шумско земјиште	 зони за експлоат. на минерали	 автопат
 земјоделско земјиште	 туристички простори	 магистрален пат
 наводнувани површини	 транзитни коридори	 регионален пат
 високопланински пасишта	 туристички центри	 железничка мрежа
 акумулации		 воздухопловно пристаниште



ИЗВОД ОД ПРОСТОРЕН ПЛАН НА РЕПУБЛИКА МАКЕДОНИЈА 2002 - 2020

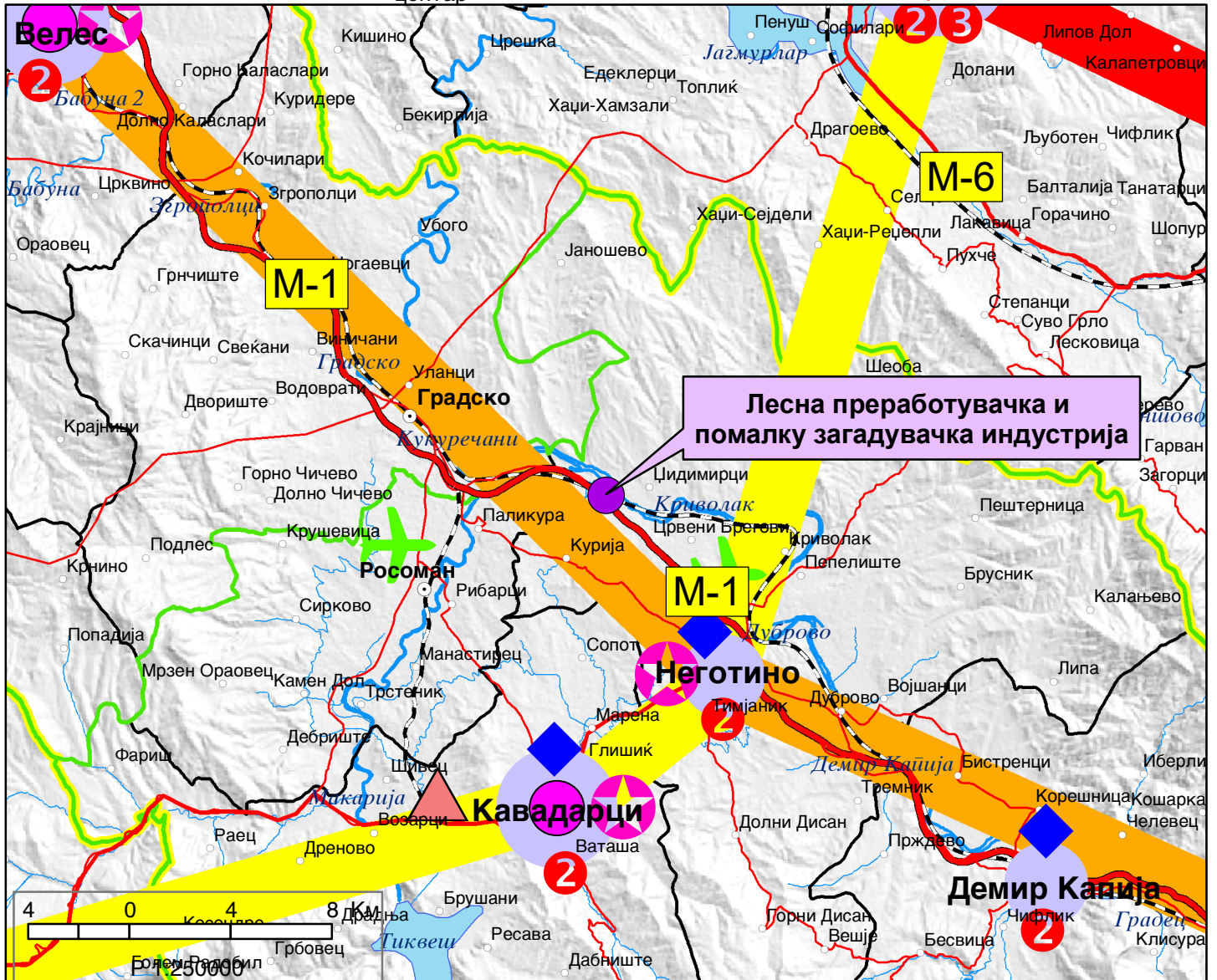
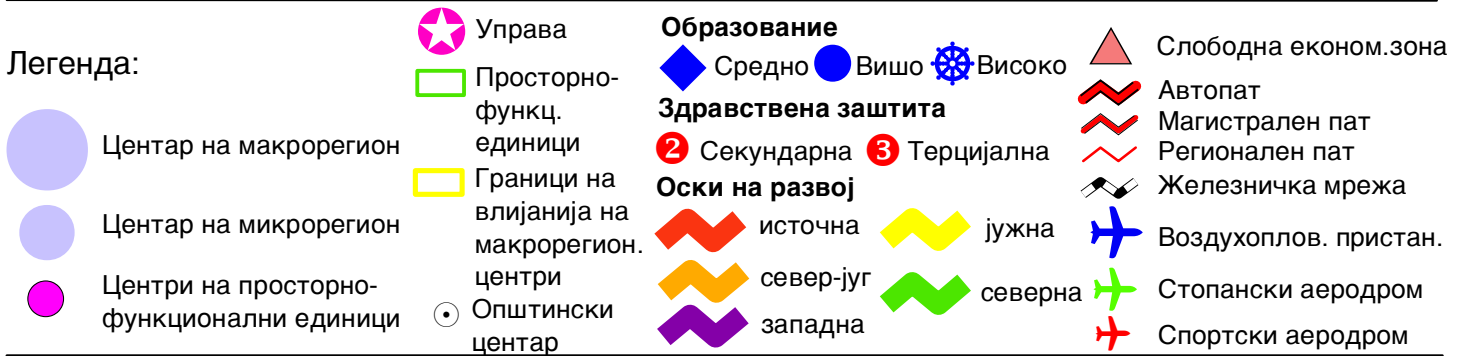
МИНИСТЕРСТВО ЗА ЖИВОТНА СРЕДИНА И ПРОСТОРНО ПЛАНИРАЊЕ
АГЕНЦИЈА ЗА ПЛАНИРАЊЕ НА ПРОСТОРОТ

Сектор:
Синтезни карти

Тема:
Просторно-функционална организација

Систем на населби и сообраќајна мрежа

Карта бр. 22



ИЗВОД ОД ПРОСТОРЕН ПЛАН НА РЕПУБЛИКА МАКЕДОНИЈА 2002 - 2020



МИНИСТЕРСТВО ЗА ЖИВОТНА СРЕДИНА И ПРОСТОРНО ПЛАНИРАЊЕ



АГЕНЦИЈА ЗА ПЛАНИРАЊЕ НА ПРОСТОРОТ

Сектор:

Синтезни карти

Тема:

Техничка инфраструктура

Водостопанска и енергетска инфраструктура

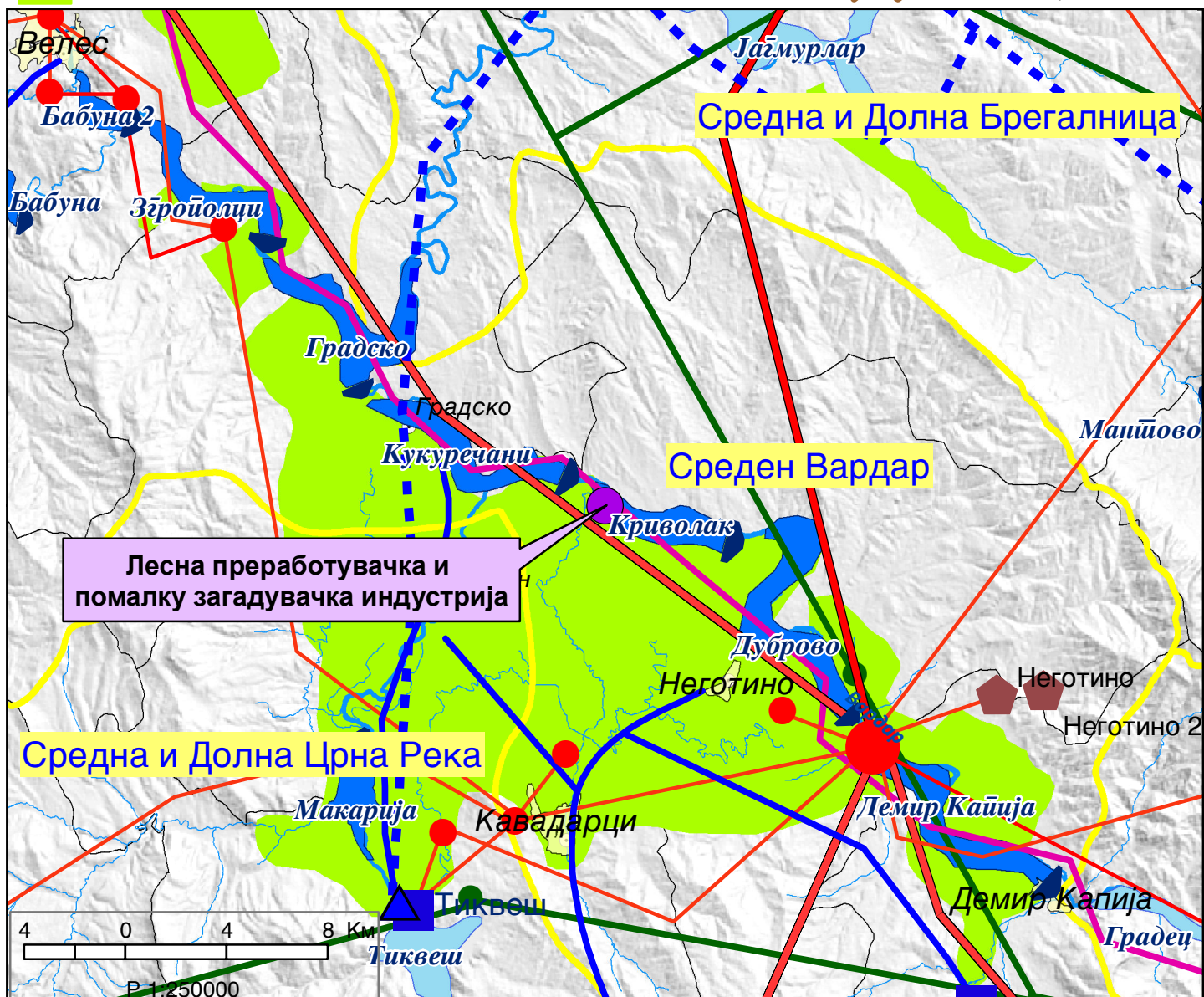
Карта бр. 23

Легенда:

- Изворишта
- Водоводен систем
- Регионален водост. систем
- Акумулации
- Акумулации по 2020г.
- Природни езера
- Наводнувани површини

- Водостопански подрачја
- Термоелектрани
- Хидроелектрани
- Далноводи
 - 110 kV
 - 220 kV
 - 400 kV
- Трафостаници
 - 110 kV
 - 220 kV
 - 400 kV

- Рафинерија
- Нафтовод
- Индустриски топлани
- Рудник на јаглен
- Брикетара
- Гасовод
- Регулациони станици
- Канализационен систем



ИЗВОД ОД ПРОСТОРЕН ПЛАН НА РЕПУБЛИКА МАКЕДОНИЈА 2002 - 2020

 МИНИСТЕРСТВО ЗА ЖИВОТНА СРЕДИНА И ПРОСТОРНО ПЛАНИРАЊЕ

 АГЕНЦИЈА ЗА ПЛАНИРАЊЕ НА ПРОСТОРОТ

Сектор:

Синтезни карти


Тема:


Заштита на животната средина


Реонизација и категоризација на просторот за заштита


Карта бр. 24


Легенда:


 Граници на региони за управување со животната средина


 Заштита на простори со природни вредности


 Рекултивација на деград. простори


 Управување со загад. на воздух и вода


 Заштита на реки со нарушен квалитет

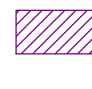
 Заштита на акумулации и реки за водозафати

 Рекултивација на деградирани простори


 Заштита на земјоделско земјиште

 Заштита на шуми

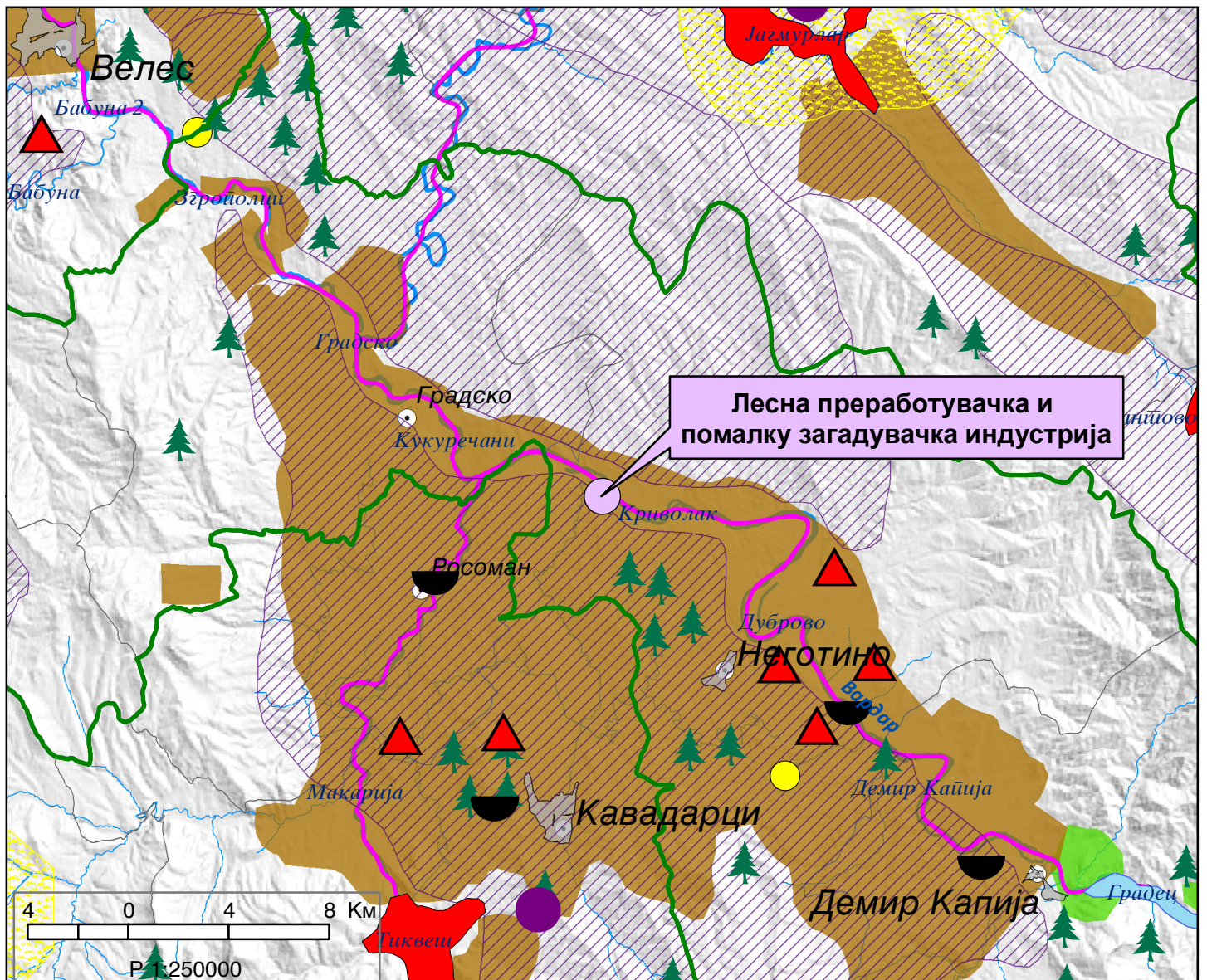
 Поволни подрачја за лоцирање регионални санитарни депонии

 Поволни хидрогеолошки средини за лоцирање на депонии

 Споменичко подрачје

 Археолошки локалитети

 Споменички целини





СЕКТОР ЗА ПРОСТОРНО ПЛАНИРАЊЕ

DEPARTAMENTI PËR PLANIFIKIM HAPËSINOR

Арх.бр. УП1-15 532/2023

Дата...20...03...2023

Врз основа на член 88 од Законот за општа управна постапка ("Службен весник на Република Македонија" бр. 124/15), како и врз основа на член 42, став 1 и став 9 од Законот за урбанистичко планирање ("Службен весник на Република Македонија" бр. 32/20), а во врска со член 4, став 3 од Законот за спроведување на Просторниот план на Република Македонија ("Службен весник на Република Македонија" бр. 39/04), министерот за животна средина и просторно планирање, го донесе следното:

РЕШЕНИЕ

за Услови за планирање на просторот

1. Со ова Решение на Општина Неготино се издаваат **Услови за планирање на просторот наменети за лесна преработувачка и помалку загадувачка индустрија на КП 38/1, и дел од КП 528/1 во КО Црвени Брегови 2, Општина Неготино**. Површината на планскиот опфат изнесува 5,48 ha.

Видот на пласнката документација да се усогласи со Законот на урбанистичко планирање и Правилникот за урбанистичко планирање.

2. Условите за планирање на просторот од точка 1 на ова Решение, изработени од Агенцијата за планирање на просторот со **тех. бр. Y68522** се составен дел на Решението.

3. Условите за планирање на просторот со намена за лесна преработувачка и помалку загадувачка индустрија на КП 38/1, и дел од КП 528/1 во КО Црвени Брегови 2, Општина Неготино, содржат општи и посебни одредби, насоки и решенија и заклучни согледувања со обврзувачка активност од планската документација од повисоко ниво и графички прилози кои претставуваат Извод од планот.

4. Со цел да се обезбеди заштита и унапредување на животната средина, со намена за лесна преработувачка и помалку загадувачка индустрија на КП 38/1, и дел од КП 528/1 во КО Црвени Брегови 2, Општина Неготино, потребно е да се почитуваат одредбите пропишани во законската регулатива од областа на заштита на животната средина и подзаконски акти донесени врз нивна основа.

5. Меѓу приоритетните определби на Просторниот план е заштитата на земјоделското земјиште, а особено стриктното органичување на трансформацијата на земјиштето од I-IV бонитетна класа за неземјоделско користење, како и зачувување на квалитетот и природна плодност на земјиштето. **Планскиот опфат зафаќа земјиште од 4-та бионитетна класа.**



СЕКТОР ЗА ПРОСТОРНО ПЛАНИРАЊЕ

DEPARTAMENTI PËR PLANIFIKIM HAPËSINOR

6. При донесувањето на Одлука за спроведување или Одлука за не спроведување на стратегиска оцена за документацијата за предметниот простор со намена за лесна преработувачка и помалку загадувачка индустрија на КП 38/1, и дел од КП 528/1, КО Црвени Брегови 2, Општина Неготино, задолжително да се земат во предвид насоките за потреба од спроведување на Стратегиска оцена на влијанието врз животната средина, како и забелешките и заклучоците од секторските области опфатени со Просторниот план на Република Македонија.

ОБРАЗЛОЖЕНИЕ

Општина Неготино, врз основа на член 42, став 1 од Законот за урбанистичко планирање (“Службен весник на Република Македонија” бр. 32/20), поднесе барање преку е-урбанизам, со број на постапка УПП 48118 од 19.12.2022 година, до Агенцијата за планирање на просторот за издавање на Услови за планирање на просторот со намена за лесна преработувачка и помалку загадувачка индустрија на КП 38/1, и дел од КП 528/1, КО Црвени Брегови 2, Општина Неготино.

Согласно член 42, став 8 од истоимениот закон, Агенцијата за планирање на просторот ги изработи Условите за планирање на просторот со намена за лесна преработувачка и помалку загадувачка индустрија на КП 38/1, и дел од КП 528/1, КО Црвени Брегови 2, Општина Неготино и ги достави до Министерството за животна средина и просторно планирање под бр. УП1-15 532/2023 од 10.03.2023 година.

Условите за планирање на просторот со намена за лесна преработувачка и помалку загадувачка индустрија на КП 38/1, и дел од КП 528/1, КО Црвени Брегови 2, Општина Неготино претставуваат влезни параметри и смерници при планирањето на просторот и поставувањето на планските концепции и решенија по сите области релевантни за планирањето на просторот.

Заклучните согледувања, дефинирани во Условите за планирање на просторот кои произлегуваат од Просторниот план на Република Македонија претставуваат обврзувачки активности во понатамошното планирање на просторот.

Врз основа на горенаведеното, а согласно член 88 од Законот за општа управна постапка (“Сл. весник на Република Македонија” бр. 124/15), Министерството за животна средина и просторно планирање го донесе ова Решение и одлучи како во диспозитивот.

ПРАВНА ПОУКА: Против решението за услови за планирање на просторот може да се поведе управен спор пред надлежен суд во рок од 15 дена од приемот на решението.

Изготвил: Раиф Сулејмани

Одобрил: Соња Фурнаџиска

Согласен: Дајана Марковска Ристеска



МИНИСТЕР
Каја Шукова

ПРОЕКТНА ПРОГРАМА

За изработка на Урбанистички проект вон опфат на Урбанистички план, со намена Г2 – Лесна преработувачка и помалку загадувачка индустрија, на КП 38/1 и на дел од КП528/1, КО Црвени Брегови 2, Општина Неготино.

За предметната локација нема предходна урбанистичка документација, односно е надвор од плански опфат на Урбанистички план, така што овој Урбанистички Проект треба да е во согласност со Просторниот план на Република Македонија, односно влезен параметар за изработка на самиот проект, ќе биде Просторниот план на РМ преку условите за планирање на просторот и Решението за услови за планирање на просторот.

Изработката на овој УП е во согласност со Член 58, став (6), односно урбанистички проект може да се изработува и за поединечни градби и инфраструктури од државно и локално значење вон населени места и вон опфат на урбанистички планови на земјоделско, шумско и друго земјиште, крајбрежни појаси и други простори за коишто не постојат услови и/или економска оправданост за донесување на урбанистички план согласно овој закон, а постои соодветен или некатегоризиран сообраќаен пристап, во кој случај урбанистичкиот проект се изработува врз основа на прибавени услови за планирање на просторот.

Урбанистичкиот проект ќе се изработи во согласност со Законот за просторно и урбанистичко планирање (Сл.весник на РМ бр.32/20), како и Правилникот за стандарди и нормативи за урбанистичко планирање (Сл.весник на РМ бр.225/20).

За КП38/1 и КП528/1 изработен е геодетски елаборат за ажурирана геодетска подлога. Проектниот опфат на запад, исток и југ е дефиниран по граница на катастарска парцела додека на север оди по осовина на железничка пруга.

КП38/1 и КП528/1 припаѓаат на КО Црвени Брегови 2, Општина Неготино.

Градежна парцела ќе се формира само на КП38/1 со површина од 4.54ха. Опфатот е проширен до осовината на пругата поради проектирање на индустриски колосек до новопроектираната градежна парцела и градбата во неа.

Вкупната површина на КП38/1 изнесува 4.54ха. А површината на проектниот опфат изнесува 5.48ха.

Согласно Правилникот за стандарди и нормативи за урбанистичко планирање (Сл.весник на РМ 225/20), преку изработката на УП се предвидува оформување на градежна парцела со намена:

- група на класа на намени Г-производство, дистрибуција и сервиси;
- основна класа на намена Г2-лесна преработувачка и помалку загадувачка индустрија;
- површината на проектниот опфат според зафаќање на катастарски парцели изнесува 5.48ха.

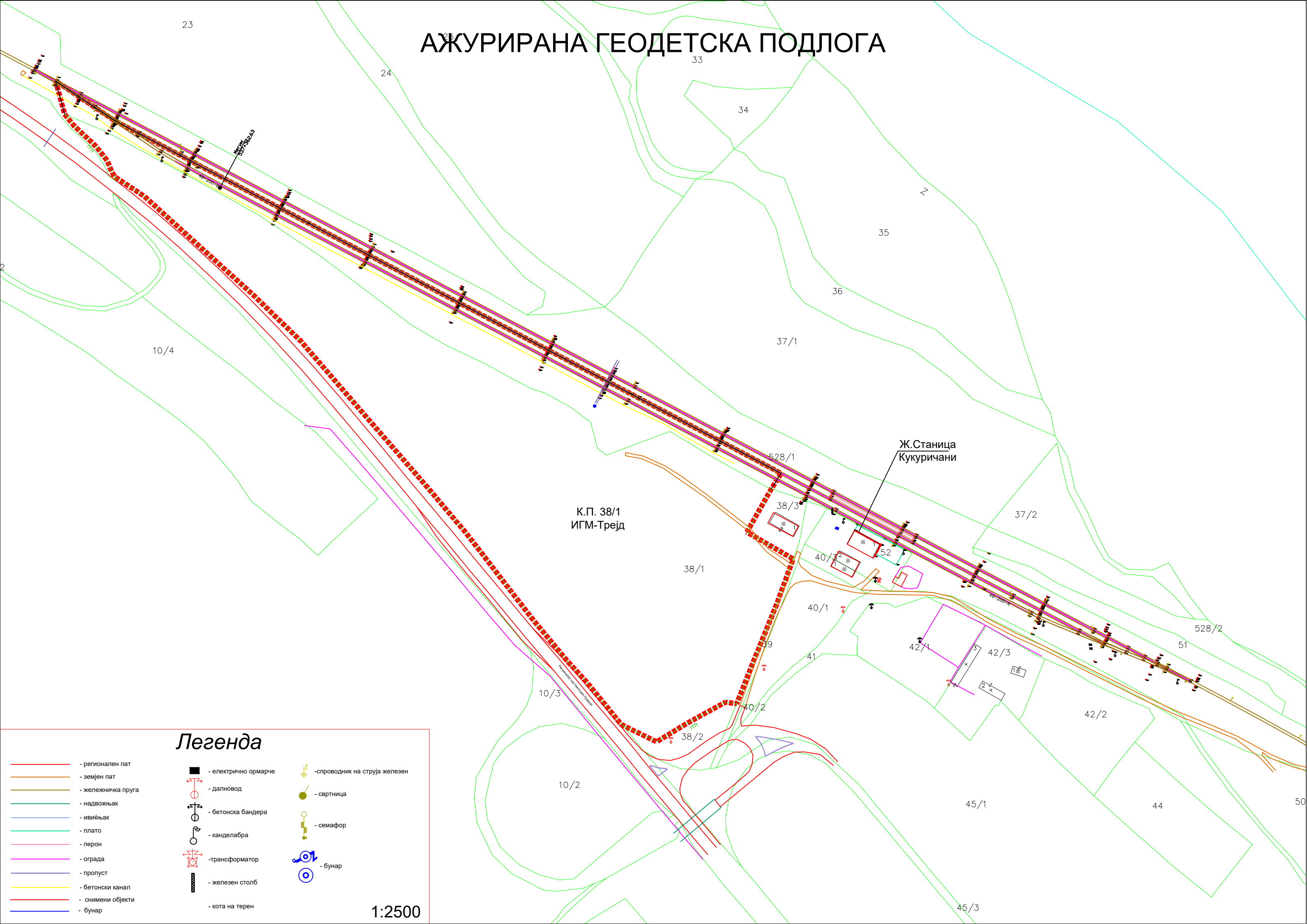
Целта на урбанистичкиот проект е оформување на градежна парцела, утврдување на параметри за градежната парцела и давање насоки за изработка на идејните и основни проекти на градбите. Исто така детално се одредува влез-излез во и од градежната парцела, како и решение на статичниот сообраќај. Се проектира детална комунална инфраструктура во согласност со идејниот проект за градбите и се дава хортикултурно решение за целиот простор.

Изработувач на проектна програма

Урбан ДОО-Штип
Управител
Дејан Диневски



АЖУРИРАНА ГЕОДЕТСКА ПОДЛОГА

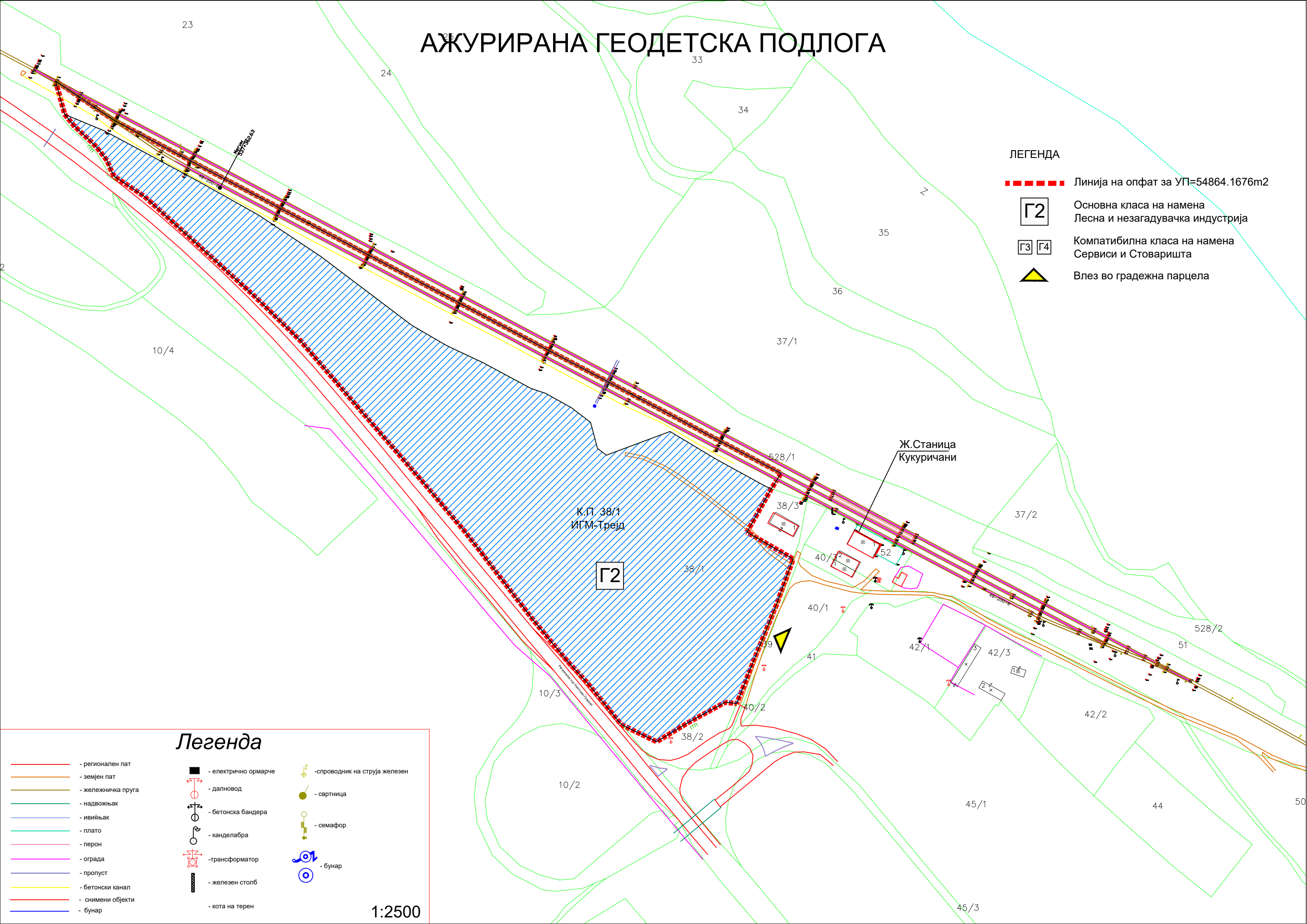


Легенда

- | | | | | | |
|--|--------------------|--|----------------------|--|-------------------------------|
| | - регионален пат | | - електрично ормарче | | -спроводник на струја железен |
| | - земјен пат | | - далновод | | - свртница |
| | - железничка пруга | | - бетонска бандера | | - семафор |
| | - надвожњак | | - ивиџњак | | - бунар |
| | - плато | | - перон | | |
| | - ограда | | - трансформатор | | |
| | - пропуст | | - железен столб | | |
| | - бетонски канал | | | | |
| | - снимени објекти | | | | |
| | - бунар | | | | |
| | | | | | |
| | | | | | |

1:2500

АЖУРИРАНА ГЕОДЕТСКА ПОДЛОГА



ЛЕГЕНДА

- ▬▬▬▬▬ Линија на опфат за УП=54864.1676m²
- Г2 Основна класа на намена
Лесна и загадувачка индустрија
- Г3 Г4 Компатибилна класа на намена
Сервиси и Стоваришта
- ▲ Влез во градежна парцела

Легенда

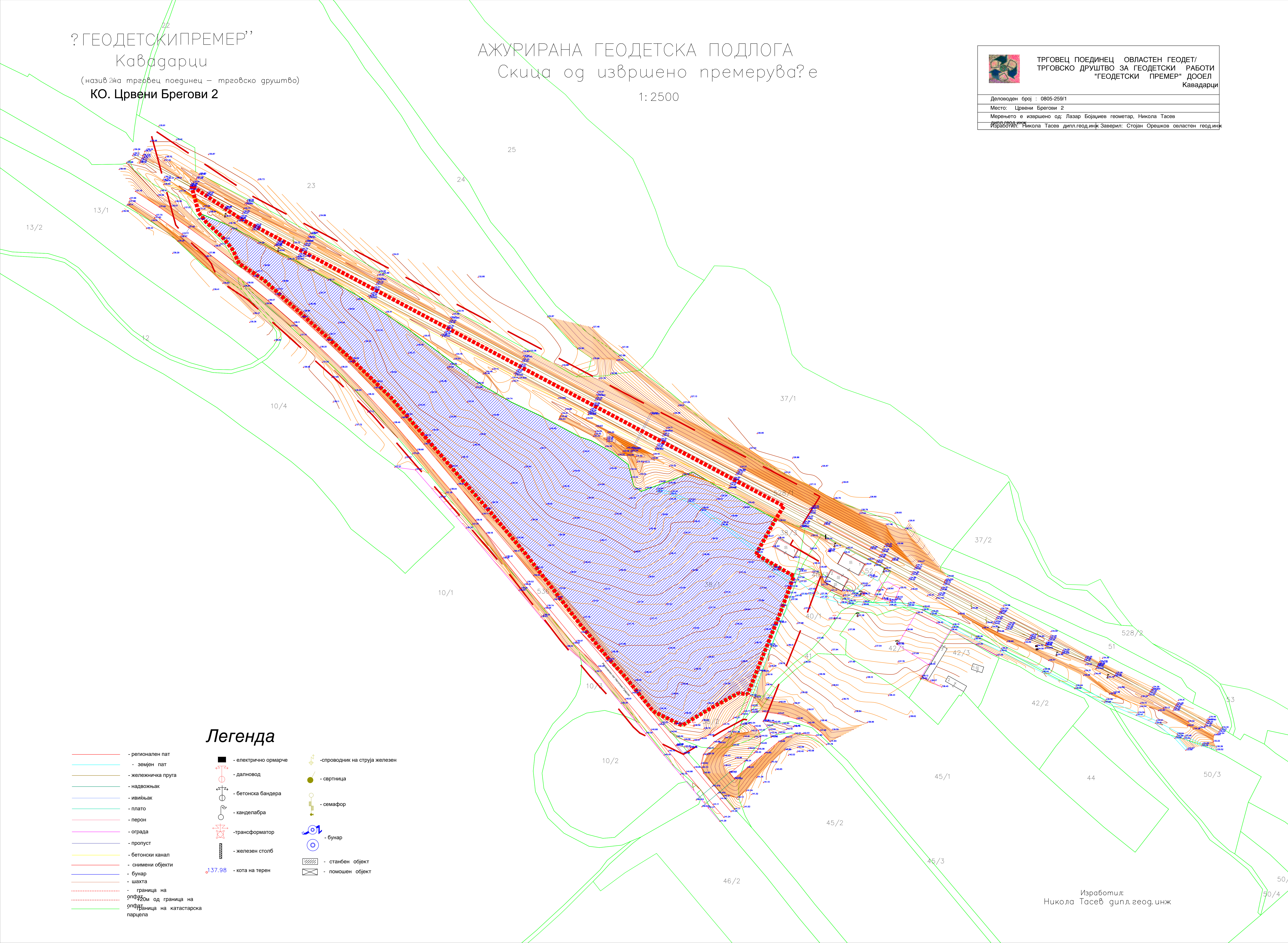
- | | | |
|---|---|---|
| — - регионален пат | ■ - електрично ормарче | — -спроводник на струја железен |
| — - земјен пат | ⚡ - далновод | ● - свртница |
| — - железничка пруга | ⊖ - бетонска бандера | ○ - семафор |
| — - надвожњак | ⊕ - ивиџњак | ⊕ - бунар |
| — - плато | ⊖ - канделабра | |
| — - перон | ⚡ - трансформатор | |
| — - ограда | ▬ - железен столб | |
| — - пропуст | ▬ - жезелен столб | |
| — - бетонски канал | ▬ - жезелен столб | |
| — - снимени објекти | ▬ - жезелен столб | |
| — - бунар | ▬ - жезелен столб | |

1:2500

„ГЕОДЕТСКИ ПРЕМЕР“
 Кавадарци
 (назив на трговец поединец – трговско друштво)
 КО. Црвени Брегови 2

АЖУРИРАНА ГЕОДЕТСКА ПОДЛОГА
 Скица од извршено премерување
 1:2500

	ТРГОВЕЦ ПОЕДИНЕЦ ОВЛАСТЕН ГЕОДЕТСКИ РАБОТИ ТРГОВСКО ДРУШТВО ЗА ГЕОДЕТСКИ РАБОТИ "ГЕОДЕТСКИ ПРЕМЕР" ДООЕЛ Кавадарци
Деловоден број : 0805-259/1	
Место: Црвени Брегови 2	
Мерњето е извршено од: Лазар Божиќев геоматар, Никола Тасев Дипл.инж. Никола Тасев дипл.геод.инж. Заверил: Стојан Орешков овластен геод.инж.	



УРБАНИСТИЧКИ ПРОЕКТ ЗА ФОРМИРАЊЕ НА ГРАДЕЖНА ПАРЦЕЛА НА КП 38/1 И НА ДЕЛ ОД КП 528/1, КО ЦРВЕНИ БРЕГОВИ 2, ОПШТИНА НЕГОТИНО

ЛЕГЕНДА:

- ПРОЕКТЕН ОПФАТ=54864.168m²
- Г2 Лесна преработувачка и помалку загадувачка индустрија
- КП=ГП Градежна парцела=45416.250m²

НАПОМЕНА: Градежна парцела ќе се формира само на КП38/1 со површина од 4.54ха. Опфатот е проширен до осовината на пругата заради проектирање на индустриски колосек до новопроектираната градежна парцела и градбата во неа. Вкупната површина на КП38/1 изнесува 4.54ха. А површината на проектниот опфат изнесува 5.48ха.

УРБАНИСТИЧКИ ПРОЕКТ

ПРИЛОГ КОН ПРОЕКТНА ПРОГРАМА

	Друштво за просторни и урбанистички планови, инженеринг и др.	УПРАВИТЕЛ: Дејан Диневски <i>дипл.арх.инж.</i>	
	"УРБАН" ДОО - ШТИП		ФАЗА: ПП
НАРАЧАТЕЛ:	ИГМ Кавадарци	РАЗМЕР	ТЕХ. БР.
ОДОБРУВАЧ:	Општина НЕГОТИНО	1 : 1000	248/23
ПЛАН:	УРБАНИСТИЧКИ ПРОЕКТ за формирање на ГП со намена Г2 - Лесна преработувачка и помалку загадувачка индустрија, на КП 38/1 и на дел од КП 528/1, КО Црвени Брегови 2, Општина Неготино		
ПРИЛОГ:	АЖУРИРАНА ГЕОДЕТСКА ПОДЛОГА СО НАНЕСЕН ПРОЕКТЕН ОПФАТ И НАМЕНА НА ЗЕМЈИШТЕТО		
ПЛАНЕРИ:	Дејан Диневски арх.инг. <i>овластување бр.0.0371</i>	Елена Стојкова арх.инг.	ДАТА Април 2023
	Дејан Јурак арх.инг. <i>овластување бр.0.0494</i>		ПРИЛОГ бр:02

Легенда

- | | | | | | |
|--|--|--|----------------------|--|--------------------------------|
| | - регионален пат | | - електрично ормарче | | - спроводник на струја железен |
| | - земјен пат | | - далновод | | - свртница |
| | - железничка пруга | | - бетонска бандера | | - semaфор |
| | - надвозник | | - канделабра | | - бунар |
| | - ивицињак | | - трансформатор | | - железен столб |
| | - плато | | - жлезен столб | | - станбен објект |
| | - перон | | - кота на терен | | - помошен објект |
| | - ограда | | | | |
| | - пропуст | | | | |
| | - бетонски канал | | | | |
| | - ситменни објекти | | | | |
| | - бунар | | | | |
| | - шхфта | | | | |
| | - граница на општина | | | | |
| | - граница на општина од граница на општина | | | | |
| | - граница на катастарска парцела | | | | |

Изработил:
 Никола Тасев дипл. геод. инж